



# **ABHANDLUNGEN**

NEUNUNDZWANZIGSTER BAND.

# **ABHANDLUNGEN**

#### DER KÖNIGLICH SÄCHSISCHEN

### GESELLSCHAFT DER WISSENSCHAFTEN.



NEUNUNDZWANZIGSTER BAND, MIT 42 TAFELN UND 97 FIGURE

> LEIPZIG BEI S. HIRZEL



145-4

# **ABHANDLUNGEN**

# DER MATHEMATISCH-PHYSISCHEN CLASSE DER KÖNIGLICH SÄCHSISCHEN GESELLSCHAFT DER WISSENSCHAFTEN.



SIEBZEHNTER BAND.
MIT 43 TAFELN UND 27 FIGUREN.

LEIPZIG

BEI S. HIRZEL

1891.

-/3.19 LSuc 1726.5



#### INHALT.

W. Ins. Die Enwickeinig des menschienen hautenginns tom eine des	
ersten bis zum Beginn des dritten Monats. 1. Verlängertes Mark.	
Mit '4 Tafeln und 18 Holzschnitten	1
W. BRAUNE und O. FISCHER, Die Bewegungen des Kniegelenks, nach einer neuen Methode am lebenden Menschen gemessen. Mit i 19 Ta-	
feln und 6 Figuren	5
R. Hann, Mikrometrische Vermessung des Sternhaufens 2 762, aus-	
geführt am zwölffüssigen Aequatoreal der Leipziger Sternwarte.	
Mit't Tafel	d
F. MALL, Das reticulirte Gewebe und seine Beziehungen zu den Binde-	
gewebsfihrillen. Mit 11 Tafeln	5
L. KREHL, Beiträge zur Kenntniss der Füllung und Entleerung des Her-	
zens. Mil 7 Tafeln	9
J. HARTMANN, Die Vergrösserung des Erdschattens bei Mondfinsternissen.	

#### DIE ENTWICKELUNG

DES

#### MENSCHLICHEN RAUTENHIRNS

VOM ENDE DES ERSTEN BIS ZUM BEGINN DES DRITTEN MONATS

VON

WILHELM HIS.

I. VERLÄNGERTES MARK.

MIT IV TAFELN UND XVIII HOLZSCHNITTEN.

Der im vorigen Jahr publicirten Arbeit über die Formentwickelung des menschlichen Vorderhirns lasse ich hier einen Theil meiner Untersuchungen über die Entwickelung des Rautenhirns folgen. Auch diesmal war die Verfolgung der Formentwickelung das nächste Ziel, allein ich habe mich bald überzeugt, dass es beim Rautenhirn weit mehr als beim Vorderhirn nöthig ist, schon behufs äusseren Formverständnisses auf die Vorgänge Rücksicht zu nehmen, welche in der Dicke der Wand ablaufen, und dass man der histologischen Betrachtung von Durchschnitten einen ausgiebigen Raum zu gönnen hat, Der Schlüssel zum Verständniss der Rautenhirnentwickelung und des Rautenhirnbaues liegt in dem Princip enthalten, wonach die Nervenzellen und die Nervenbündel von bestimmten Ausgangspunkten aus sich ausbreiten. Die zuerst vorhandenen Complexe werden von später kommenden überlagert oder durchwachsen, und das relative Alter eines Theiles bestimmt zugleich dessen Lage zu den übrigen. Schon die bahnbrechenden Arbeiten von P. Fuscusse über die Centralorgane des älteren Fötus haben darauf geführt, die Zeit als einen für das Verständniss des Markbaues bedeutsamen Factor zu erkennen, und ich habe mich meinerseits immer mehr von der Nothwendigkeit überzeugt, dem zeitlichen Ineinandergreifen der Entwickelungsvorgänge ein Hauptaugenmerk zuzuwenden.

leh bin mir der Luckenhaltigkeit meines Materiales und meiner Beobachtungen viel zu sehr bewasst, um auch nur von Weitem den Anspruch auf eine abschliessende Arbeit erheben zu durfen. Schon die Zahl der von mir benützten gut erhaltenen Embryonen ist eine bescheidene. Nun genugt es aber nicht, einzelne Reprisentanten der verschiedenen Altersstufen in mehr oder minder guten Schnittreihen zu besitzen. Die Schnittrichtung, welche für die eine Strecke

des Medullarrohres günstig ist, ist es nicht mehr für die darüber oder darunter liegenden Abschnitte, denn wenn die Schnitte das Rohr an einer Stelle senkrecht zur Axe treffen, so müssen sie naturgemäss andere Stellen schräg oder der Länge nach streifen. Für eine jede Entwickelungsstufe sollte unan daher Reihen von sehr verschiedener Schnittrichtung haben. Bei der Mannigfaltigkeit der zu prüfenden Fragen sollten aber auch Hartungs- und Färbungsweisen, sowie die Schnittdicken vielfach variirt werden, und so wird wohl noch manches Jahr verfliessen, bis sich, sei es in meinen oder in anderen Händen, ein Material beisamuen finden wird, das man als ausreichend bezeichnen darf. Mein diesmaliger Aufsatz schliesst mit dem Beginn des 3. Monats ab, obwohl gerade die nachfolgende Zeit sehr belangreich ist, auch habe ich es unterlassen, vergleichend embryologisches Material in die Besprechung mit aufzunehmen. An bezügliche Beobachtungen in der einen und anderen Richtung fehlt es mir nicht, allein ich ziehe es vor, das Gebiet zu beschränken, und die Hereinziehung neuen Materiales in die Discussion der an und für sich verwickelten Fragen auf später zu versparen. Und so kann dieser Aufsatz mehr nur ein Arbeitsprogramm, als eine durchgeführte Arbeit darstellen, und Manches von dem, was hier blos angedeutet werden konnte, wird später Gegenstand monographischer Durchforschung sein müssen.

#### Eintheilung des Rautenhirns.

Die Bezeichnung Rautenhirn habe ich deshalb eingeführt'), weid das Bedurfnis nach einem zusammenfassenden Wort besteht für die Gesammtheit der Theile, welche die Rautengrube umgeben, für das verlängerte Mark, die Brücke, das Kleinhirn und den Isthmus. Das embryonale Rautenhirn zeichnet sich vor den darüber und den darunter liegenden Strecken des Medullarrohres durch das starke Aussienanderweichen seiner dorsalen Ränder aus. Seine Ruckseite zeigt demmach eine, schon bei äusserer Betrachtung auffallende, scheinbare Oeffnung von rautenföruniger Gestalt, das Raut enfeld. Das selbe beginnt mit einer zugeschäften Spitze an der Nackenbeuge, es

<sup>1)</sup> No. 1, S. 6.

verbreitert sich von unten nach oben hin und erreicht seine grösste quere Ausdehnung an der Stelle der Brückenkrümmung; dann verjungt es sich wieder rasch und läuft mit einer oberen Spitze an der Decke des Isthunus aus. Diese Oeffunug des Bautenhirns ist nur necheinbare, weil eine dunne erpitheliale Deckplatte die auseinanderweichenden Enden des eigentlichen Nervenrohres verbindet.

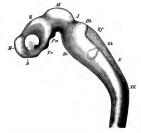


Fig. 1.

G-hira von Embryo Lg. Profil-Construction. Vergr. 35. A Angemblace. H Henisphirenhira. Z Zwiachenhira, M Mittelhira. I Isthmus. Ha Historhira. N Nachbhira. 65 Gehirbikae. K/ Rausenfold, NX Nacheshrimmung. Be Erdeckerkmungg. Pro Processus mamillatis. Tr Trichterfortasts.

Die untere Gränze des Rautenhirns wird durch die Nackenrammung bestimmt, die obere durch eine zwischen Mittelhirn und Isthmus befindliche Furche. Nach dem Verhälten der Wandung lässt sich dasselbe in fünf auf einander folgende Bezirke theilen. Von unten herauf gerechnet, sind dies:

- die an das Rückenmark stossende Anfangsstrecke, oder das Schaltstück,
- 2) der Bezirk des Calamus scriptorius,
- 3) der Bezirk der Rautenbreite,
- 4) der Bezirk von Kleinhirn und Brücke,
- der Isthmus.

Diese fünf Bezirke sind auch am ausgebildeten Gehirn auseinander zu halten und mögen zunächst für dieses charakterisirt werden, che wir an deren embryologische Betrachtung gehen.

Als Ort des Gehirnanfangs ist auch beim Erwachsenen die Nackenkrümmung zu bezeichnen. Allerdiugs pflegt sie sich bei der ublichen Art der Gehirnberausnahme zu verwischen, aber mit Bestimmtheit tritt sie an solchen Gehirnen hervor, welche durch Chromsäureiniection von Leichen in ihrer Lage erhärtet worden siud, und an den Durchschnitten gefrorener Leichen. Die Grösse des Winkels entspricht der Neigung des Clivus gegen die Halswirbelsäule und wird demnach mit der wechselnden Hebuug des Kopfes ab- und zunehuen1). Im einspringenden Winkel der Nackenkrümmung liegt die Pyramidenkreuzung. Der untere Rand der sich öffnenden Rantengrube ist vom convexen Gipfelpunkt der Krümmung 7 bis 8 mm eutfernt. Diese Strecke bezeichnet die Ausdehnung des Schaltstückes, hier liegen auf der Dorsalseite des Markes die beiden Clavae, und im Innern beginnt bereits die Entwickelung der Oliven. Durchschnitte durch das Schaltstück zeigen den Centralkanal noch geschlossen, derselbe nimmt aber mehr und nicht die Gestalt einer Sagittalspalte an, und von Ausseu her kommt ihm eine die beiden Clavae scheidende Spalte entgegen, deren Tiefe von unten nach oben ab-, deren Breite aber in gleichem Maasse zunimmt. Nach beiden Seiten hin erscheint das conisch sich verbreiternde Schaltstück durch einen einspringenden stumpfen Winkel vom Halsmark abgesetzt. Dem Schaltstück gehört das Tuberculum Rolandi an 7).

Die Rautengrube zerfällt bekanntlich in zwei Hauptabschnitte, von denen der medullare Theil von unten nach oben an Breite zunimmt, während der eerebrale Abschnitt in der Richtung nach dem

<sup>11</sup> An dem in Spiritus aufgehobenen Mark einer mit Chromsdure nigierten weithlichen Leiche befrigt der Winkel zwischen Rickenmark und verflügertem Mark 130° An dem Figuren der heiden ersten Tafeln von Baatavis Alfas der propogr. Annt. (No. 2) misst dereelbe Winkel gegen 150°, in Waddeträs Durchsschnitt einer Hochtechwingeren co. 135° (No. 3). An den beiden von Baatavis augebildeten Leichen Lingat der Kopf hinten über, woraus die verminderte Krümung der Markace aben Weiterse verstellnflich wird. Beim Erwachenen fällt die Nackonkrümnung ders Markes im die flüße des Allas. Beim Embryo liegt sie, wie ein Blick auf die Tafel I dieses Anfatzes zeigt, noch sehr viel blöder.

<sup>2)</sup> Schwalbe, No. 1, S. 143.

Mittelhirn hin sich verjüngt. Der untere Abschnitt liegt noch über dem verlängerten Mark, der obere über der Brücke. Jenen be-

zeichne ich in seiner Gesamntheit als Calanius gebiet1), dieser umfasst den Brückentheil und den Isthmus. Auf der Gränze beider Abschnitte liegt eine schmale Querzone, welche in zwei tiefe, ventralwärts reichende seitliche Verlängerungen, die sog. Recessus laterales ausläuft. Es ist dies der Bezirk der Rautenbreite. Der Zugang zu den Recessus laterales führt um den sog. Nacken des C. restiforme herum, und seine Vorderwand erhebt sich vom Boden aus steil ansteigend. Dabei wird er vom Brücken- und insbesondere vom Flockenstiel überwölbt. welch letzterer die eigentliche Decke des Recessus lateralis bildet. Der N.



Fig. 2. the des Erwachsenen. Vergr. 114.

cochleae erreicht das Mark unmittelbar hinter dem Recessus lateralis, von seinen flicherfürnig sich ausbreitenden Bandeln tritt weiterhin ein Theil unter den Boden des Recessus und, darüber hiuaus, in den Brückentheil der Rautengrube. Die in ihrem Verhalten so wechselnden

t) Ich bezeichne hier als Calamusgebiet die gesammte von divergirenden Rändern eingefasste Strecke der Bautengruhe. Bei früherem Aulass (No. 1, S. 354) hatte ich den Begriff etwas knapper gefasst, und auch diesmal bin ich im Zweifel darüber gewesen, welche Begriffsfassung die historisch berechtigte ist. Es ist nämlich nicht leicht aus der Litteratur darüber ins Klare zu kommen, welche obere Gränze die verschiedenen Autoren für den Calamus annehmen. Meistens wird nur im Allgemeinen angegeben, dass das untere sielt zuspitzende Ende der Rautengrube den Namen der Schreibfeder trage. Bei Hallen (Elem. Physiol. IV. 78 findet sich die Angabe, dass die in den N. acusticus übergehenden Striae medullares aus dem Calamus kommen, was für eine der obigen lähuliche, weitere Fassung des Begriffes spricht. Die unterste Region linde ich bei Bradacu als Sebreibfederschnabel bezeichnet (Bau und Leben des Gehirns II, S. 76); dieser Anatom sagt nämlich, dass ader Anfang der Rautengrube die Gestalt des Schnabels einer Schreibfeder besitze, indem die Seitenränder von der Spitze aus in einem kleinen Bogen nach ohen und aussen verlaufen, dessen Wölbung nach innen gekehrt iste.

Striae medullares greifen zum Theil in das Gebiet der Rautenbreite ein, zum Theil verlaufen sie an dessen unterer Gränze.

Lings des Calanusgebietes wird die Rautengrube von divergienden Rändern begränzt. Diese bilden jederseits eine gebroehene Linie, die unteren Randhalften convergiren rascher, d. h. unter einem minder spitzen Winkel, als die oberen. Es handelt sich hierbei, wie pätter gezeigt werden soll, um einen durchgreifenden, schon in fruhester Zeit auftretenden Gegensatz. Die beiden Ilälften des Calamusgebietes sind wohl am Einfachsten nach den in sie eintretenden Hauptnerven als Vagust heil und als Acusticus theil zu bezeichnen. Beide Bezeichnungen passen allerdings nur für das Eintrittsgebiet der betreffenden Nerven, sowohl Vagus als Acusticus überschreiten is den Calamusbezirk auf weitere Strecken hinaus.

Das dreieckige Feld des Hypoglossuskerns erstreckt sich, vom untern Ende des Vagustheiles beginnend, bis hoch in den Acusticustheil hinauf. Seine untere Hälfte wird von der grubenförmig vertieften Ala cinerea eingefasst, während die obere unmittelbar an das Tuberculum acusticum anstüsst. Die Striae medullares umgreifen das obere Ende des Hypoglossusfeldes und senken sich in den Grund der medianen Längsfurche.

Der oberhalb der Breite liegende Theil der Rautengrube zerfällt in den Brückentheil und in den Isthmus'). Jener umfasst die Strecke, welche seitlich von den Brückenstielen begränzt ist, die

<sup>1)</sup> In der Hirmanatomie ist die Bezeichnung »Isthuus« nicht nou, sie findet sieh, wenn auch keineswegs viel gebraucht, bei mehreren älteren Anatonien als Ausdruck für das Verbindungsstück zwischen Kleinbirn und Grosshirn. Bei HALLER liest man bierüber (Elem, Physiol, IV, S. 63); » Medullaris columna inter cerebrum et cerebellum posita, Isthmi nomine quibusdam elaris vivis venita, und cinige Selten später heisst es, dass die processus eerebelli ad testes (Bindearme) deu Isthmus bilden helfen. Ribler scheint den Namen zuerst gehraucht zu haben (Anatomy of the brain, London 1695, S. 126), indessen drückt er sich in seinen Sehilderungen nieht allzuklar aus. Er sagt nämlich vun den Vierhügeln, dass sie oberhalh des Ranmes liegen zwischen Cerebrum und Cerebellum awhich space was before called Isthmus«. Die Stelle dieses » before« habe ich nicht finden können. Brancu (Bau und Leben des Gehirns H. S. 322) führt den Namen ausdrücklich auf Ribley zurück. » Ribley, sagt er, heschreibt zuerst die Haube unter den Namen Isthmus, als den Theil der Medulla oblongata, der zwischen dem grossen und dem kleinen Hirn sieh findet und an welchem die Vierbügel liegen.« Ehenso CREVERLIER (Traité d'Anatomie 4. Edition , Vol. III, p. 386): »On appelle quelques

Seitenwand des Isthmus wird von den Bindearmen und der Schleifer gebildet. Bei der schrägen Anordnung der Brückenfaserung ruht der Isthmus zum Theil noch auf dem oberen Brückenfaserung ruht der Isthmus zum Theil noch auf dem oberen Brückenfaserung ruht die Verbindung beider Bildungen keine so weitgehende, als es äusserlich den Anschein hat. Die Eminentiae teretes setzen sich, in der Verlangerung der Hypoglossusleisten verlaufend, bis in den Aquaeduct herein fort. Im Isthmus liegen jenseits von den sie umfassenden Seitenfurchen unmittelhar die Bindearme. Im Brückenfteil weitet sich aber die Furche zu einer breiteren Grübe mit lateralwärts gekehrter stumpfer Spitze, der Fovea anterior aus. Diese Spitze der Grübe erscheint als deren tiefster Theil.

Eine besondere Beachtung verdient das Tuber-culum acusticum. Mit diesem Namen bezeichnete Scuwaars") eine langgezogene Anschwellung des Rautengrubenbodens, welche, vom lateralen Winkel des letztern ausgebendt, medialwärts durch einen gebogenen Saum begränzt erscheint. Diese Anschwellung nimmt die Rücherförnig sich ausbreitenden Fasern des Schneckennerven auf. Ihr am meisten medianwärts vorgeschobener mittlerer Theil erreicht die Eminentia teres und schiebt sich sogar etwas über deren Rand hinveg. Die beiden Endohschnitte spitzen sich zu, der ohere läuft lateralwärts von der Foves superior, der uutere lateralwärts von der Ala cinerea ans. Die untere Spitze erscheint vermöge ihrer Ueberkreuzung durch die Striae medullares als ein selbstständiges Dreieck, das s. Z. von Stratzen für den Glossopheryageuskern gehalten worden ist. Dem Gesagten zufolge beschränkt sich das Tüberculum aeusticum nicht auf einen einzelnen der oben unterschiedenen Medullarbezirke, sein unte-

fais isthum de l'encréphele, avec Runart, cette portion retrigie et comme étranglée de la masse ousépholique, qui est interméditire au cervour, au cervent et à la moëlle, et qui comprend la protubérance, les pedoneules cérchelleux, les tuber-cules quodrijumeux, les pedoneules cérchelleux, les tuber-cules quodrijumeux, les pedoneules cérchelleux vayuse et la valuel de Vetussens. Bei der hier gegebenen Définition kommen zu dem von mir am Embryonalitum als Ishbusus unterscheidenem Theile einnereits hoch 80 Mitellitum, anderesentsi die Brücke hinra. Theile die mit einander keine enthryologische Einheit bilden. In dem weiteren Simme von Cavarunans gebrauchen auch audere frazgässische Anatomen das Wort Ishmus, so u. A. Sivers; wechter dem Ishmus eerebri in seinen Leibruche ein eigenese Capitel winden (Trafié d'Annomie Ed. 3. vol. III, p. 125).

<sup>1)</sup> SCHWALBE No. 4. S. 120.

res Ende reicht in den Calamustheil, das obere in den Brückentheil, das Mittelstück gehört in den Bezirk der Rautenbreite.

Die führ für den Erwachsenen beschriebenen Abschnitte des Rautenhirns scheiden sich beim Embryo grösstentheils in noch weit



Pig. 3.
Dersalansicht des Rautenberns vom Embryo Rw (cn. I Monat alts, Direct nach der Natur,

schärferer Weise von einander. Nur das Schaltstück macht hiervon eine Ausnahme, insofern es beim Embryo vom Calamustheil noch nicht gesondert erscheint. Die Oeffnung der Rautengrube erstreckt sich nämlich bei Embryonen des 1. und 2. Monats bis zur Höhe des Nackenhockers und sie läuft hier spitz aus. Am ausgebildeten Gehirn erscheint aber das hintere Ende des Calamus gerundet und vom Obex überbrückt, Die Spitze des Rautenfeldes hat somit im Laufe der Entwickelung eine Verschiebung nach oben und eine gleichzeitige Abrundung erfahren, Beide Veräuderungen erklären sich dadurch, dass es im Bereich des Schaltstückes zu einem secundären Zusammentreten der ursprünglich klaffenden Ränder der Rautengrube und im Grunde der Spalte so-

gar zu einer Verwachsung der sich begegnenden Seitenwände konnat. Soweit diese Verwachsung erfolgt, scheidet sich, unter Aufhebung einer ursprünglichen Verbindung, die Ventrikelspalle von einem Busseren, zwischen die Clavae sich einsenkenden Schlitz. An Schnüttreihen fölaler Gehirne vom 5. oder 6. Monat lässt sich die Begegnung der Spaltenränder und ihre theilweise Verwachsung sehr übersichtlich verfolgen. Das Schaltstuck des Rautenhirns von Erwachsenen umfasst somit den Theil des Markes, in desseu Bereich es zu einer setundiren Deckenbildung der Rautengrube gekommen ist. Ursprünglich theilte dieses Stück die Eigenschaften des Galamusgebietes und insbesondere war es auch in ihm zur Bildung einer Rautenipp gekommen. Dadurch wird es aber verständlich, dass sich die Olive bis in das Schaltstuck eis verlängerten Markes herab erstreckt, denn die Rautenlippe ist, wie unten gezeigt werden soll, der Ausgangspunkt der Olivenbildung.

Ausnehmend früh gliedert sich der Calamustheil des Markes in einen untern Abschnitt mit rascher divergirenden und in einen oberen mit minder rasch divergirenden Seitenwandungen. Dies Verhalten ist um so beunerkenswerther, als jenseits von der oberen Calanusshifte das Rohr mach seine unskinde Breite erreicht, der gegenuher sich jene beinalte wie eingeselnürt aussimunt. Dieselbe Gliederung findet sich bei allen Wirbelhlierhirenen bis zu den Selachiern und Knochenfischen herab, und gerade bei den letztern ist sie in besonderem Masses ausgesprochen. Der Grund für die relative Einschnurung der oberen Calanuslatife liegt in den dem Gehirn hier anliegenden Gebörbissen. Durch diese Organe wird die freie seitliehe Ausbreitung der Rohrenwande eingeschräukt, wie dies ein Blick auf beistehenden Holzschnitt ohne Weiteres klar machen kann.



Querschnitt durch das Rautenhirn und die Geberbissen sines Ferellenembrye von 7 mm Lünge. Vergr. 100.

Das durch seinen maximalen Querdurchmesser sich charakterisernede Stuck der Rauten breite tritt am schärfsten bei Embryonen aus der 1. Hälfte des 2. Monats hervor. Bei Embryonen von V bis 5 Wochen hat es eine Länge von V<sub>2</sub> bis ½, mm und ist von anabernd parallelen, der ventralen Profilitien geleichlunfigen Ränderu eingefastst. Im Profil geselten setzt es sich zu der Zeit vom Calamagebiet durch einen stumpfen, vom Kleinhirn durch einen spitzen Winkel ab<sup>5</sup>). Gegen Ende der 5. Woche nähert sich dieser Winkel einem rechten. Später, und zwar noch vor Schluss des 2. Monats, nimmt der vordere Winkel zu, der hintere ab, und das Gebiet der

Man vergt hierfür die Profilbilder meiner Anatomie menscht. Embryonen Taf. XIII, Fig. 5, 6 und 7 und Taf. XIV, Fig. 4, 3, 4 und 5.

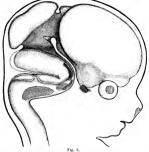
Rautenbreite rückt theilweise unter das Cerebellum. Damit nimmt es die Läge an, welche die aus ihm hervorgehenden Recessus laterales zeitlebens innehaben.

Zwischen Brücken- und hinterer Scheitelkrümmung liegt jener Abschnitt des Rautenhirns, aus dessen dorsaler Hälfte das Cerebellum, aus dessen ventraler die Brücke hervorgeht, oder das Hinterhirn jun engern Sinn. Das Ilinterhirn ist, als Ganzes betrachtet, ein kurzes, kegelförmig sich verjüngendes Rohr, dessen unteres Ende den Ort grösster, dessen oberes Ende denjenigen geringster Breite berührt (Fig. 3). Der scheitelwärts schräg ansteigende Boden des llinterhirns ist der Sattelspalte zugekehrt. Die stark convergirenden dorsalen Ränder begränzen die ohere Hälfte des Rantenfeldes. Infolge der starken Verjüngung des Hinterhirns sind dessen Seitenflächen zugleich nach oben, dem Mittelhirn zugekehrt, und durch eine tief einspringende Furche setzen sie sich von denen des Isthmus ab. Der Boden des Hinterhirns und seine die Deckolatte berührenden dorsalen Räuder verlaufen nicht parallel zu einander. Diese sind viel steiler aufgerichtet als iener, es ist demnach auch nicht möglich. Schnitte durch das Hinterhirn zu legen, welche dasselbe in seiner ganzen Breite rechtwinklig schneiden; wird der Boden rechtwinklig zu seiner Axe getroffen, so sind die Ränder schräg geschnitten und umgekehrt.

Der Isthmus des embryonalen Gehirns erscheint als ein kurzer, enger und seitlich etwas abgeplatteter Röhreushschnitt; am Sem Ilinterhirn entwickelt er sich mit conischer Verjitugung; vom Mittelhirn setzt sich seine Decke fruhzeitig durch einen seharfen Einschnitt ab. Mit fortschreitender Entwickelung des Gehirns wird der Isthmus mehr und mehr von den mächtiger wachsenden Nachbargebilden, dem Kleinhirn und den Vierhügeln, überbagert.

#### Die Axenkrümmung des Rauten- und Mittelhirns.

Die bekannton Hauptkrümmungen des Rauten- und Mittelhirns siud: die Nacken-, die Brückenkrümmung und die beiden Scheitelkrümmungen. Ilierzu kommen weiterhin noch einige Krümmungen untergeordneter Art, die ich gleich besprechen werde. Die Scheitelkrümmungen gehen beim menschlichen Embryo in ihrer Entwickelung allen übrigen voraus. Schon zu Ende der 3. Woche bildet das Grosshirn mit dem Bautenhirn einen annathernd rechten Winkel und im Verlauf der 3. und 5. Woche nimmt die Biegung so sehr zu, dass die Basis des Zwischeuhirns und diejenige des Bautenhirns in langerer Ausdehnung einander zugekehrt und nur durch einen schmalen Spaltraum, die Sattelspalte, von einander



Prafilicanstruting einen strebestlichen Embryo (Dr.). Vergr. v. Die beiden Bushten der Ferm Turiai, wie sie im Mediannehmt vesterfen, sind genätrist derprechte. Die Amschwang der Devlystlet, ben, der fried rebesiels ist am Gehirn durch ein Deppelerstrum ausgegeben. Die Kerse von unterer met eberer Give, von Facialis und der nachige Prätchankern auf des Britzpelerd eingemeknat.

getrennt erscheinen. Die bis beinahe zur Berührung zusammengesehobenen Theile umfassen: vorn die Strecke vom Mammillarhöcker bis zur Trichterspitze, hinten das Gebiet der späteren Brücke. Am oberen Ende der Sattelspalte erhält sich eine von der Basis des Mittelhirus blerdachte Bucht, welche mit einer vorderen Ausweitung in die Supramammillargrube, mit einer hinteren in den über der Brücke liegenden Winkel der Scheielwöllbung ausfauft. Die Bucht bleibt am ausgebildeten Gehirn als Fossa Tarini bestehen, und sie behält ihren primären Charakter bei, insofern sie auch da in zwei winklige Gruben, eine vordere und eine hintere, ausläuft. Die über dem Mammillarkörper liegende Grube ist aus der vordern, die über der Brücke befindliche aus der hintern Scheitelkrümmung hervorgegangen. Beide treten an Medianschnitten des Gehirns sehr ausgeprägt hervor und sie entsprechen in ihrer Lage genau den Gruben, welche das Embryonalgehirn im Laufe des 2. Monats zeigt?).

Die Nackenkrummung des Markohres entwickelt sich entprechend der Vornüberbiegung des gesammten Kopfes. Am Ende der 3. Woche noch mässig ausgebildet, nimmt sie von da ab rasch zu und sie erreicht ihr Maximum im Verlaufe der 6. Woche. Die Axe des verlangerten und diejenige des Ruckenmarkes bilden zu der Zeit mit einander einen Winkel von ca. 65°. Von da ab richtet sich der Kopf wieder auf und die Nackenkrummung nimmt ab, ein Verhalten, das ich bei früheren Anlässen ausührlich erörtert habe").

Eine besonders tiefgreifende Bedeutung für die Gestaltung des gesammten Rautenhirns gewinnt die Brückenkrümmung. Sie bestimmt die Breitenentwickelung der Rautengrube und die Ausbildung des Kleinhirns. Wo sie schwach ist (wie bei Batrachiern und Cyclostonen), da bleibt das Kleinhirn in seiner Eatwickelung zurück, und umgekehrt setzt eine starke Ausbildung des letztern auch eine ausgiebige Brückenkrümmung voraus?) Bei Beurtheilung der Brückenkrümmung voraus? Bei Beurtheilung der Brückenkrümmung voraus? In der Medianechene auseinander zu latten von denigenigen, welchen die das Rautenfeld begrünzenden Ränder bilden. Die Seitenränder sind durchweg starker gebogen als die mediane Axe. Ich habe versucht, für Embryonen der ersten zwei Monate einige Winkelbestimmungen auszuhren. Solche Bestimmungen können nur Annaherungswerbe liefern.

<sup>1)</sup> Bei der Deutlichkeit, mit welcher die beiden zwischen Brücke und Manmillarköper liegenden Buchten an jedem mediangsechnlichene Gebrin herordreten, sind dieselben auch von allen beseren Abhildungen berückstehtigt. Am schärfsten finde ich dieselben bei Brancan Nr. 13, Taf. XIII und bei Brancanz Nr. 15, Taf. Schwierzen her Brucht als sechwärzstehten bei Brancanz Nr. 13, Taf. XIII und bei Brancanz Nr. 15, Taf. Schwierzen bei Brancanz Nr. 15, Taf. XIII und bei Brancanz Nr. 15, Taf. Schwierzen bei Brancanz Nr. 15, Taf. XIII und bei Brancanz Nr. 15, Taf. Nr. 15, Taf. X veidergegeben. Letzterer Anstom bezeichnet die hintere Bucht als sechwärzsteht gestellt und der Schwierzen der Schwierz

Anatomic monsehl. Embryonen Heft 2 u. Heft 3. Mau vergl. besonders die Taf. X und deren Erklärung.

Diese Verhältnisse finden sich auseinandergesetzt in dem Anfsatz über die Gliederung des Gehirns. Verh, der naturf, Ges, in Basel, Bd. IV. 1869.

denn abgesehen von den Ungenauigkeiten, die allenfalls bei Reconstruction von Gehirnen sich einschleichen, ergieht sich eine Schwierigkeit scharfer Bestimmungen darin, dass die Schenkel der zu messenden Winkel keine gestreckten, sondern geschwungene Linien sind. Ich stelle in der nachfolgenden kleinen Tabelle unt solche Werthe zusammen, deren Bestimmung voraussichtlich mit keinen grösseren Fehlern behaftet ist. Allzu unscharf bestimmbare Werthe, wohin u. a. die Werthe für die Embryonen der 6. und 7. Woche gebören, lasse ich weg. Alle Winkel sind auf eine Sagittalbeben projeitr gedacht.

Annähern des Alter					Medialer Brücken- winkel,	Lateraler Brücken- winket,	Winkel der hinleren Schei leikrümmung
3	Wochen	Embr	ryo Lr	(Constructionszeichnung)	140°	115°	120°
4	-	-	Br 3	( - )	133°	-	-
41	/3 -	-	KO	( - )	128°	_	-
41	/2 -	-	N	( - )	127°	_	50°
-	-	-	Rm	(durchsichtiges Profil)	124°	80°	50°
5	-	-	Sch	(Constructionsbild)	110°	70°	
7	-	-	FM	(Sagittalschnitt)	78°	00	33°
8	-	-	Mr	(Constructionsbild)	68°	00	30°

Es ergiebt sich, dass der Werth des lateralen Brückenwinkels
(h. des Winkels, den die Sagitlahrpojecionen der Seitenränder des
Rautenhirns bilden) erheblich rascher abnimmt, als der des medianen
Brückenwinkels. Vom Ende der 7. Woche an legen sich Cerebellum
und Medulla oblongata im grösserer Ausdelnung an einander an; der
laterale Brückenwinkel wird dadurch = 0. Alterdings herubren sich
nierbei nicht die äussersten Ränder der beiderseitigen Flügelplatten,
sondern mehr medialwärts liegende Thieile dieser letztern, ein Verhalten, welches mit der unten zu besprechenden Entwickelung der
Rautenlippe zusammenhängt.

Sehr ausgiebig ist auch die Abnahme des hintern Scheitelwinkels, und da Brücken- und Mammillargegend vom Beginn der 5. Woche ab sich nahezu berühren, so muss voraussichtlich der Zuscharfung des hinteren Scheitelwinkels eine Oelflung des vorderen entsprechen. Eine Messung des letzteren Winkels ist indessen nicht gut möglich, weil der Mammillarhöcker die Feststellung eines vorderen Winkelschenkels nicht zulässt.

Alle die oben aufgeführten Winkel öffnen sich in der Folge wieder: Im Beginn des 4. Monats liegt die Brücke wieder nahezu in der Flucht der Medulla oblongata, mit dieser nun einen stumpfen Winkel bildend, und ebenso erscheinen zu der Zeit die Hirnsehenkel von der Brucke verhältnissmässig sehwach abgebogen. Das Kleinhirn liegt dem verlängerten Mark allerdings bleibend an, allein auch für dieses ist die spätere, aus der Bichtung der Bruckenstiele zu entenlemende Asenstellung eine offenere, als im Beginn des 3. Monats.



Sagittalos Constructionabild einzs fewichentlichen Embryo (Kg), Vergr. ca. 7. Die Deckplatte der Enstengrubist durch feine Schraffung nappgeben. Die Doppellinie beneichest die Anbefungsfeine der Taenin, die feine pankties Linie den Grand der Ranseen Lippenfunke.

Zu den eben betrachteten Hauptkrümmungen des Rautenhirm und seiner Nachbartheile kommen gegen die Mitte des 2. Monats einige fernere Biegungen hinzu, die einer kurzen Betrachtung werth sind. Ieh verweise auf beistelnende Figur 6 und bemerke, dass die bier verzeichneten Verhältnisse für die Entwickelungsstefe durchaus typische sind. Längs der ventralen Profillinie des Gehirns folgt auf die dorsalwärts convexe Nackenkrümmung eine zweite, etwa der halben Galamuslänge entsprechende stumpfe Biegung, deren Winkel gleichfalls dorsalwärts sicht. Weiterbin kommen zwei ventralwärts convexe Biegungen, eine stumpfere hintere und eine minder stumpfe vordere. Letztere ist der eigenfliche Bruckenwinkel, welcher sich durch seine Lage am Eingang der Nattelspalte und dadurch charakterisirt, dass an ihm der N. trigeminus in's Gehirn eintritt. Der hintere von den beiden Winkeln liegt noch vor dem Beginn des Bruckengebietes, wie sich aus seiner Lage zu den Nervenaustritsstellen ergiebt. Beide an der Medulla oblongata auftretende secundare Krümmunngen besitzen nur vorübergehende Existenz und sehon zu Ende des Z. Monats vertileren sies sich wieder (Fig. 5.)

Von oberen Band des Brückengebietes gränzt sich der Istlmus durch eine dorsalwärts convexe Biegung ab und durch eine chensolche vom Mittelhirn. Letztere Biegung ist die mehrfach besprochene hintere Scheitelkrümmung. Der Istlmus selber zeigt sich leicht ventralwärts ausgelogen 1). Beachtenswertle erscheint am Mittelhirn die Verschiebung der ventralen gegen die dorsalen Gränzen. Die hintere Scheitelkrümmung liegt anscheinen unter der Mitte des Mittelhirndaches, und die Bucht der vorderen Krümmung erscheint ihrerseits in die Buckwand des Zwischenhirns vorgeschoben.

Das menschliche Rautenhirn zeigt auf frühen Entwickelungsstufen (Ende des 1. Monats), gleich dem von anderen Wirbelthierembryonen in seiner Seitenwand ein System von sedrägen Falten, von welchen einige hinter der Brückenkritmunung liegen, andere vor derselben. An tadellos erhaltenen Embryonen sind diese Falten durch die Decke der Rautengrube hindurch siehtbar, sie treten aber auch an geeigneten Durchschnitten und an sorgaltlig ausgeführten Plattenmodellen zu Tage. Sie sind beim mensehlischen Embryo nur niedrig, mit ihrem lateralen Ende schneiden sie in den freien Medullarrand ein, während ihr mediales Ende die mittere Bodenfurche des Marks erreicht. Im Ganzen lassen sich vier hintere und zwei vordere Falten unterselteiden. Inwieweit dieselben in der bleibenden

Man vergleiche hierfür auch Taf. I. Abhandt, d. K. S. Gesellich, d. Wissensch, XXIX.

Organisation des Marks Spuren hinterlassen, das bedarf noch besonderer Untersuchungen.

#### Die Längszonen des Rautenhirns und die Rautenlippe.

Der Querdurchschnitt des Rantenhirns besitzt, wenn wir von dem Isthmus absehen, während gewisser Zeit eine fünfeckige Grundform: die beiden dicken Seitenwandungen des Rohres treffen an der Basis in einer Längskante zusammen und sind hier durch eine schmale Bodenplatte verbunden. An jeder Seitenwand scheidet sich die ventrale von der dorsalen Hälfte oder die Grundplatte von der Flügelplatte durch eine Knickung. Die beiden Grundplatten divergiren lateralwärts, während die Flügelplatten eine Zeit laug steil aufgerichtet und unter sich mehr oder minder parallel gestellt erscheinen; die dorsalen Ränder beider Flügelplatten gehen unter rascher Verjüngung in eine dünne Epithellamelle, die Deckplatte über, welche von hintenher die Rautengrube überwölbt. Die allmähliche Entwickelung dieser Grundform habe ich in einer früheren Arbeit besprochen, auf welche hier verwiesen werden kann!). Die Grund- und die Flügelplatte sind der Lichtung zu convex gewölbt, sie bilden daher zwei breite Längsleisten, die Grundleiste und die Flügelleiste. Zwischen den heiden Grundleisten verläuft in der ganzen Länge des Rautenhirns eine tiefe Medianfurche. Die im vorigen Abschnitt erwähnten Faltensysteme der Seitenwand kreuzen zur Zeit ihres Bestehens die beiden Längsleisten in schräger Richtung, leichte Anschwellungen derselben bedingend; dies Verhalten tritt auch an Plattenmodellen der betreffenden Eutwickelungsstufen sehr klar zu Tage,

In eben dem Maasse, als die Brückenkrümnung zunimmt und das lautenhim sich verlreitert, Igen sich die Flügelplatten zur Seite und im Gebiete der Rautenbreite kommt es sehon am Ende der 5. Woche so weit, dass eine von der Grund- zur Flügelleiste gezogene Linio lateralwärts abfallt, d. h. dass die Grundleiste hoher steht, als die Flügelleiste?). Von der Rautenbreite aus schreitet die Seitwärtslegung der Flügelplatten in das Calanusgebiet fort bis in die Nahe

<sup>1)</sup> No. 1, S. 353 u. ff.

<sup>2)</sup> Für ein späteres Stadium zeigt dies Taf. III.

seiner Spitze. Im Gebiete des Kleinhirns bleibt dagegen die mediale Hälfte der Flügelplatten steil aufgerichtet, ohne sieh jemals zur Seite zu legen.



Fig. 7.

Querschnitt durch das Rautenharn vom Embryo Ko (Nl. 10,2 mm), Vergr. 40.



Fig. 8, Querschnitt durch das Rautenhirn von Embryo Ru (Ni. 9,1 mm), Vergr. 40, Ri. Bantenlippo, T.c. Tractus solitarius.

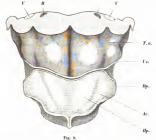
Im Verlauf der 5. Woche kommt es zur Umkrempung des dorsalen Bandes der Flügelplatten und zur Bildung der Bautenlippe. Die Rautenlippe erstreckt sich jederseits von der Höhe des Nackenhöckers ab bis zum Ishtmus, stellenweise breiter, stellenweise schmaler werdend. Von der Mitte des 2. Monats ab findet man in der Hinsicht Folgendes: Die Lippe beginnt an ihrem unteren Ende schmal, nimmt dann beim Uebergeng anf das Calamusgebiet raseb zu und erreicht noch in dessen unterer Halfte ein erstes Maximum. Im Bereich der Rautenbreite ist die Lippe wieder schmal, dann aber erreicht sie am Cerebellum ihre bedeutendste Breite und sie sehiebt sich über die davor liegenden Theile hinweg. Unterhalb des Ishmus die Decke des Hinterhirns erreichend, verjüngt sie sich raseh und lanft zugespielt aus (Füg. 6).

Der laterale Schenkel der Rautenlinne setzt sich in die Deckplatte fort und sein verjüngter Übergangstheil bildet die Tacnia. Eine dorsalwärts gekehrte Furche, die innere Lippenfurche, trennt die der Rautengrube zugewendete Flügelleiste von der Taenia und der Deckplatte. Eine zweite Furche öffnet sich basilarwärts an der äusseren Oberfläche des Rautenhirns, als äussere Lippenfurche. Sie trennt den aufgerichteten Wangentheil vom Lippentheil der Flügelplatte. Diese Furche schliesst sich in der Folge grossentheils durch Verwachsung der einander zugekehrten Wandflächen, und nun können, wie unten gezeigt werden soll, stellenweise Fasern und Zellen durch die neu entstandene Verwachsungsbrücke hindurch treten. Die Verwachsung der äusseren Lippenfurche geschieht nicht überall gleichzeitig: im Bereiche des Kleinhirns ist die Furche ganz besonders tief, hier tritt die Verwachsung erst in später Zeit ein, während sie im Calamusgebiet schon bald nach Eintritt der Lippenbildung v erfolgt. Dafür ist die Verwachsung am Cerebellum eine bleibende, während sie sich am verlängerten Mark nur vorübergehend erhält.

#### Die Deckplatte der Rautengrube und die Plica chorioidea.

Die epithciale Deckplatte spannt sich noch in der Zeit der 5. Woche mit hoher Wölbung über die lang sich hinziehende Rautengrube hinweg. Von der Mitte des 2. Monats ab rücken sich, mit zunehmender Brückenkrümmung, die dorsalen Flüchen des verlängerten Markes und des Kleinhirns bis zur theilweisen Berührung engegen, und nun bildet auch die Deckplatte eine zwischen diese Theile einschneidende Falte. Ich hezeichne diese Falte als Plica chorioid e.a. andeutungsweise ist sie sehon vor der 6. Woche vorhanden, und sie übssert sieh in der Seitenansicht als eine leichte

Einsenkung des dorsalen Profils<sup>1</sup>). Nach voller Ausbildung reicht die Adergeflechtfalte bis zum Rand der Rautenlippe, den sie in schrüger Bichtung kreuzt (Fig. 5 und Fig. 6). Sie hat somit die Gestalt eines halbmondförmig gegen die Ventriekllichtung hereinragenden Bogens und sie scheidet eine sackartig das Kleinhirn umgebende Hullev on einer solchen, welche die hintere Halfte der Rautengrube überdacht. An den beiden Fusspunkten der Adergeflechtfalte ruckt die Abgangstelle der Taenia unehr und mehr nach dem Ventrikel hin, anstalt der ventralwärts umgebogenen Rautenlippe hildet sich ein



Biden der Kastengeibe von Teichenk, Embryo Mr. Genstractionhild. Verge. 15. Die hindere Hälfte ist von der Derhalte unnitteline beropaust, die Adergeferhältlie erscheint an der Figer als ein etwas gebegener werdkattige geneerteien. An einem Frage Frage von der Falle ist die Tennia geger der Vertrielt urfelnlichtig eingewogen. Bp. Hypoglosenbürgd, dr. Als einzers, T.a. Teberechten zenstieren. Er Umschlagsfalle in die Bildi des Kleinhitzen.

medialwärts vortretender häutiger Zwickel, der auch auf späteren Stufen fortbesteht und auf dem Wege makroskopischer Präparation leicht nachzuweisen ist. Im Seitentheil der Adergeflechtfalle kommt es zur Bildung kurzer Epithelzöttehen, diesellem entwickeln sich zu-

i) Diese Einsenkung ist au gut erhaltenen Präparaten constant. Man findet ist dagestellt in den Figuren meiner Anatonie menschl. Embryonen Taf. XIII, Fig. 5—7, Taf. XIV, Fig. 4 und Fig. 3—5 und Taf. X, Fig. 45—24.

nächst in der dem Kleinhirn zugewendeten Faltenschicht und breiten sich von da längs der Seitenwand des oberen Epithelsackes aus.

Die Ansatzlinie der Deckplatte wird ursprunglich ringsberum vom umgeschlagenen Sume der Rautenlippe, der primären Taenia, gebildet. Am verlängerten Mark verlänft die Linie am ventralen Rand der Seitenfläche; am Kleinhirn folgt sie dem von der Rautengrube abgewendeten Rande des Organes. Dieses Verhalten fändert sich in der Folge: die Oberfläche des Kleinhirns verwächst mit dem sie berührenden Theil der Deckplatte, an Stelle der primären, vor dem Cerebellum befindlichen Taenia, entstellt eine secundäre, vom hinteren Rande sich ablösende, und die sackartige Ilulle, welche das Kleinhirn noch in Beginn des 3. Monats beessen hat, ist später spurlos versehwunden. Die ursprungliche Oberfläche des Kleinhirns war eine intraventriculäre, die spätere ist extraventriculär und die Umbildung vollzieht sich eben dadurch, das der betreffende Theil der Deckplatte auf seiner Unterlage festwächst, wodurch die das Gerebellum ungebende Veurfreisspatie schwindet.

Elwas verwickelter als am Kleinhirn gestalten sich die bezuglichen Verhältnisse am verlangerten Mark. Hier wird die Hautenlippe nach vorübergehender Verwachsung mit der anstossenden 
Wandfläche wieder frei, und sie bildet nun eine dunne, veutralwärts 
ausgebogene Platte, deren in die Deckplatte übergehender Theil 
kleine Zöttchen entwickelt (Taf. II). Im Verland des 3. Monats 
richtet sicht der Band der Bautenlippe auf und schlägt sich ventrikelwärts um, so dass nun der zottentragende Theil der Deckplatte 
über die Bautengrube zu liegen kommt. Syater wird auch hier die 
das Corpus restiforme umgebende Gewebsplatte mit ihrer Unterlage 
verföhet, so dass gleich jenseits der secundaren Taenia der zottentragenet. Theil der Deckplatte beginnt.

Bei den eben beschrichenen Veränderungen verliert sich jener Nebernaum des Ventrikels, den wir ohen als innere Lippeuspalte kennen gelerut hatten. Nur an einer Stelle erhält er sich zeitlebens; die im Gebiet der Rautenbreite vorhandenen Recessus laterales zeigen nämlich das unveränderte primäre Verhalten einer lateralwärts vom Flügelwulst herabsteigenden Spalte. Die Rautenlippe hat hier ihre ventrale Ausbiegung bewahrt und ist an der anstossenden Markwand haften gebileben.

# Die ausgebildete Rautengrube in ihren Bezichungen zur embryonalen.

Die Wand des embryonalen Rautenhirns bildet, wie wir oben gesehen haben, zwei gegen die Lichtung vorspringende Paare von Längswülsten, die Grundleisten und die Flügelleisten. Die beiden Grundleisten sind durch eine tiefe Medianfurche von einander geschieden, während sie sich von den Flügelleisten durch eine in ihrer Entwickelung wechselnde Seitenfurche abheben. Es ist nicht schwer am ansgehildeten Gehirn die primären Leisten und Furchen wieder aufznfinden: neben der medianen Längsrinne ziehen sich von der Offnung des Centralkanals ab bis zu dem Eingang des Aquaductes die beiden Grundleisten. Anfangs schmal beginnend, nehmen sie bis in die Höhe der Striae medullares an Breite zu, behalten aber von da ab bis zum oberen Ende der Rantengrube annähernd dieselbe Breite bei. In der Anatomie bezeichnet man sie bekanntlich als die Eminentiae teretes. Seitlich gränzen sie sich durch ein nicht ganz ununterbrochenes System von Längsfurchen ab, welche ans den primären Seitenfurchen abzuleiten sind. Diesem System von Seitenfurchen gehören die beiden Gruben, die Fovea posterior der Ala cinerea und die Fovea anterior an, und als ihr oberstes Ende erscheint der scharfe Einschnitt zwischen der Eminentia teres und deni Bindearm. Am wenigsten vertieft sich die Seitenfurche da, wo die Eminentiae teretes an ihr Tuberculum acusticum anstossen, und die von diesem hinübertretenden Striae acusticae aufnehmen. Das Tuberculum acusticum verdankt seine besondere Hervorwölbung den durch den Schneckennerven dem Gehirn zugeführten Fasern, und als secundar entstandene Bildung verwischt es, in allerdings geringem Maasse, die primäre Gliederung. Am meisten tritt dies hervor in den Beziehungen zum grauen Kern der Ala einerea, welcher wie dies Stilling vor vielen Jahren dargethan hat, vom Acusticushigel (dem Glossopharyngeuskern nach Stilling) in die Tiefe gedrängt wird1). Die Alae einereae nebst den grauen Massen der Corpora restiformia stammen von den Flügelplatten ab, weiter oben

<sup>()</sup> STILLING No. 5. Taf. VII.

geht aus diesen das Kleinhirn hervor und noch weiter die Bindearme. Die Geschichte der aus den Flügelplatten hervorgehenden Theile bietet besondere Verwickelungen, auf welche ich, soweit sie das verlängerte Mark betreffen, im Nachfolgenden eingehen werde.

#### Histologische Gliederung des Rautenhirns, Markgerüst, Septum Medullae und Deckplatte.

Die histologische Gliederung des Rautenhirns ist im Allgemeinen dieselbe, wie diejenige des übrigen Medullarrohres, und ich kann hiefür auf meinen vorjährigen Aufsatz über die Neuroblasten verweisen. Gegen Ende der 4. Woche (bei Embryonen von 6-7 mm NI) haben sich die ursprünglichen Epithelzellen bereits zum Markgerüst umgebildet, und dieses durchsetzt das gesammte Querschnittsfeld. Die innerste und die äusserste Zone des Gerüstes, die Säulenschicht und der Randschleier sind kernfrei; die Mittelschicht umschliesst, gedrängt beisammen liegend, die kernhaltigen Spongioblastenleiber. Entsprechend der ursprünglichen Anordnung der Epithelzellen sind in dieser frühen Zeit die Hauptbestandtheile des Spongiosalagers radiär angeordnet. Die innersten Säulenfasern stehen senkrecht oder nur wenig geneigt zur Ventrikelfläche, dieselbe Richtung zeigen die Leiber der Spongioblasten und die von diesen ausgehenden Hauptbalkenzüge des Randschleiers. Nur an den zugeschärften Rändern der Flügelplatten sind schon jetzt die äusseren Enden der Spongiosabalken etwas ventralwärts abgebogen. Die radiär angeordneten Hauptfaserzüge des Markgerüstes können wir zur Unterscheidung von der übrigen Schwammsubstanz als die Strahlen des Gerüstes bezeichnen. Von ihnen gehen im Bereiche des Randschleiers zahlreiche Nebenbälkehen ab, welche im Allgemeinen senkrecht zu den Axen der Hauptbalken stehen, in ihrer Gesammtheit bilden sie daher ein Fasersystem, welches in concentrischen Bogen parallel zur Aussenfläche des Markes angeordnet erscheint.

Die Dicke der verschiedenen Schichten ist von Anfang ab ungleich, die Saulenschicht und der Randschleier sind schuud, die Spongioblastenschicht erheblich breiter. So messe ich z. B. bei dem ca. 6 mm langen Embryo T an der Grundplatte des Calamusgebietes:

```
die mittlere Dicke der Säulenschicht
                                           zu 0.03 mm

    Spongioblastenschicht - 0,11 -

                   des Randschleiers
                                            - 0,035 -
```

Die Gesammtdicke somit etwas über 0,2 mm

Rasch nimmt mit fortschreitender Entwickelung die Dicke, sowohl der kernhaltigen Schicht als die des Randschleiers zu, während die Säulenschicht als selbstständige Bildung schwindet

Bei dem 10,2 min langen Embryo Ko beträgt, an der Grundplatte gemessen, die mittlere Dicke der zellenhaltigen Schicht 0,22 mm des Randschleiers 0.065 -

Gesammtdicke 0,285 mm

Bei dem 13,8 mm langen Embryo Sch:

die mittlere Dicke der zellenhaltigen Schicht 0,6 mm des Randschleiers 0,16 -

Gesammtdicke 0,76 mm

Bis zu Ende des 2. Monats Embryo Mr) hat die Grundplatte des Calamusgebietes an der entsprechenden Stelle eine Dicke von 1,5 mm angenommen, und in der nachfolgenden Zeit schreitet die Dickenzunahme noch stetig weiter. Dabei sind der zellenfreie Randschleier und die Spongioblastenschicht in gleicher Weise betheiligt, und trotz nachweisbarer reichlicher Einwanderung von Neuroblasten lockert sich das Gefüge heider Wandbestandtheile mehr und mehr auf. Die Ausbreitung des Gerüstes geschieht eben durch Verlängerung der einzelnen Balken, wobei, wenigstens in der hier in Rede stehenden Zeit, die zwischen den Balken vorhandenen Maschenräume an Weite gewinnen.

Das Schwinden einer selbstständigen, kernfreien Säulenschicht hängt zum Theil ab von der lebhaften Entwickelung von Keimzellen und von Neuroblasten in den Lückenräumen der Schicht, zum Theil aber auch von einem Vorrücken ächter Spongioblastenkerne in dieselbe. Neben den Theilungsfiguren der Keimzellen sieht man nämlich bei Embryonen der 5. Woche auch solche, welche im Inneren von Spongioblasten liegen. Sie sind von den ersteren unschwer zu unterscheiden, einestheils durch die nach zwei Seiten sich verlängernde Form der Zellen, denen sie angehören, und anderntheils durch ihre abweichende Lagerung. Die Theilungsfiguren der Keinizellen liegen bekanutlich neben eiuander und deren Theilungsebene steht senkrecht zur Ventrikelfläche. Die sich theilenden Spongioblasteukerne aber pflegen hinter einander, oder genauer bestimat, sehräg zu einander, der eine der Ventrikelfläche etwas näher als der andere, zu liegen.

Wahrend die Säulenschicht auffürt, von der Spongioblastenschieft getrennt zu sein, mett sich in dieser der Gegensatz geltend zwischen einer compacten Inneuschicht und einer minder dichten Mantleschicht; letztere churakterisirt sich, abgesehen von ührem lockeren Gefüge, durch ihren Geltaft an ausgebildeten Neuroblasten und an Nervenfasern. Sie wird im Laufe der Entwickelung immer breiter, and zwar anf Kosten der Innenplatte, welche ihrerseits nehr und mehr sich versehmaßert. Am frühesten vollzieht sich der Auflockerungsprocess der zellenhaltigen Randschichten in Bereiche der Grundpatte, wahrend derselbe in der Füngelphatte nur sehr langsam fortschreitet. Eine dunno Mantelschicht sondert sich zwar auch hier fruhzeitig ab, aber die Hauptmasse der Platte behält urch lange Zeit hindurch ein sehr compactes Gefüge, und sie fällt daber an ge-färhten Schnitten sehon bei sehwacher Vergrösserung durch ihre dunkte Besehafenheit auf.

Als letzter Rest der compacten lanenplatte erhält sich jener innere Theid des Spongioblastenlagers, den wir als Ventrikelepithel zu bezeichnen pflegen. Das Auslaufen der sog, Epithel- oder Ependymzellen in Fasern, welche die Dieke der Markschiehten durchsetzen, ist von Langem her bekannt, und es erscheint uns dies Verhalten jetzt, da wir wissen, dass ursprünglich jede Epithetzelle die ganze Dieke der Wand durchsetzt hat?, in einem anderen Licht als zu der Zeit, du nau die organische Zusunmengehörigkeit der sogen. Epithelzellen mit dem übrigen Markgerüst arieht kannte.

<sup>1)</sup> Zu vergi. Neuro-blasten S. 332 u. ff., wo nach die Verdieste Btx-se's un diese Aufsause gewörigt sind. Das Reecht des seg, Veurftelepfliebt auf seinen Namen ist anfechlahr, Für den Namen lassen sieh die an ausgebildeten Arst scharfe oplatee Abgränzung der Seicheit und irt Wimperbesta auführen. Degeen spricht der Unstand, des dieselbe nicht ein Lager für sich bestehender Zellen unfests, sondern um die innern, tieltweise kernbaltigen Enden von lauggestreckten, durch die ganze Markdicke hindurchreichenden Elementen. Bequennichteitsgrände mögen den bibleverjen Wortgebrauch rechleftrigten, entwickleungs-

Eine besondere Besprechung verdient die Umbildung der Bodenplatto des Rautenhirns zum Septum medullae bez. zum Lager der Raphe. Schon von früh ab erscheinen am Boden der Medianrinne die Epithelzellen, bez. deren Abkömmlingen, die Spongioblasten dicht zusammengedrängt, mit ihren ventralen Fortsätzen leicht fächerförmig divergirend. Von Keimzellen ist zwar die Bodenplatte nicht ganz frei, jedenfalls aber ist sie sehr arm an solchen. Die Keimzellen der Seitenwandungen treten bis dicht an den Rand der Bodenplatte heran, in dieser selber pflegt aber in der Mehrzahl der Fällo die Säulenschicht frei von Einlagerungen zu sein; hier und da linden sich unzweifelhaft innerhalb der Bodenplatte einzelne schön entwickelte Keimzellen mit Mitosen. Es sind dies Elemente, welche meines Erachtens bestimmt sind, späterhin in die Seitengebiete überzutreten und sich deren Neuroblasten beizugesellen. Das Dickenwachsthum der Bodenplatte<sup>1</sup>) erfolgt gleichfalls stätig, aber es bleibt hinter dem der anstossenden Grundplatten nicht unerheblich zurück. Als Folge hiervon ergiebt sich einerseits eine zunehmende Vertiefung der dem Ventrikel zugekehrten Medianfurche, andererseits die Bildung einer medianen Rinne auch an der veutralen Fläche des Rautenhirns. Letztere Rinne erscheint im Vergleich zur ersteren nur sehr seicht, ist aber gleich dieser im ganzen Verlaufe des Rautenhirns nachweisbar.

Vom Grunde der dorsalen his zu dem der ventralen Medianriune erstreckt sich ein dichtes Büschel von Fasern, von denen die mittleren genau sagittal verlaufen, während die mehr seitlich liegenden ventralwärts etwas divergiren. Die Breite dieses medianen Faserbüschels nimmt daher von lanen nach auswärts an Breite tewas zu. Die zu dem Fasersystem gehörigen kernhaltigen Spongioblasten-

geschiebtlich ist es gerechtfertigt, mit Hexsux die Markplatte in ihrer ganzen Dicke abs ein modifiertes Epithel auftrußsen. Es ist wieder einmal einer von der Fällen, wo sich den Thatsachen gegenüber unsere schematisirten Begriffe als unzurreichend erweisen. Der Ausdruck Ependymzellen vermindert das Dilemma und ich werde ihm daher den Vorzug geben.

Die Dicke der Bodenplatte bestimme ich im Calamusgebiete:
 bei Embryo T zu 0.08 mm

```
- - Ko - 0,11 -

- Seh - 0,27 -

- Mr - 1,1 -
```

leiber sind grossenheils nach Art eines Cyfinderepithels längs der Ventrikeloberfläche zusammengedrängt, vereinzelt finden sie sich indessen durch die ganze Tiefe der Schieht verbreitet. Laterale Fortsätze der einzelnen Gerustfasern finden sich besonders in der Nähder ventralen Oberfläche.

Die aus den Epithelzellen der Bodenplatte hervorgegangene mediane Faserlage bezeichne ich als das Septum Medullae; sie ist schon angelegt, ehe transversal verlaufende Nervenfasern da sind, Für die nachfolgende Entwickelung des Markes wird sie dadurch bestimmend, dass sie zwar Nervenfasern, nicht aber Neuroblasten den Durchtritt gestattet, letztere, falls sie überhaupt medianwärts vordringen, machen dies- und jenseits vom Septum Halt, und sammeln sich zu mehr oder minder massigen Complexen, von denen später die Rede sein soll. Die Menge der von beiden Seiten her gegen das Septum herantretenden Nervenbündel nimmt vom Ende des 1. Mouats ab stetig zu. Die Faserbündel treten Anfangs direct durch das Septum hindurch und krenzen sich hier unter spitzen Winkeln mit denen der amleren Seite; anf späteren Stufen begegnet man S-förmigen Biegungen der Faserzüge, und es scheint, dass diese, der Hauptsache nach, auf Reclinung von secnndären Verschiebungen der an das Septum stossenden Theile zu beziehen sind.

Des, was ich oben als Septum Medullae bezeichnet habe, ist, wie nan sieht, das Spongiosagerüst der sogen. Raphe. Es ist dasselhe his in die neueste Zeit herein wenig beachtet worden!) und wie mir scheint, so hat man seine sagittal verlaufenden Fasern häufig nit Nervenfasern verwechselt. Das Septum scheidet die beiden Seitenhälten; von einer Raphe als einer dieselhen verbin denden Bildning darf man erst von dem Zeitpunkt ab reden, wo Nervenfasern die Mittellinie übersehreiten und den Zusaumenhang der beiden Seiten mit einander herstellen.

Die Deckplatte erscheint vom Ende der vierten Woche ab als eine einfache Lage von Zellen, welche im Bereiche der Taenia noch etwas höher als breit (bei Eurhryo T 10—14 μ hoch, 7—8 μ breit), jenseits davon aber breiter als hoch sind (8 μ hoch, 10 μ breit),

So geschicht z. B. in der so eingehenden Darstellung Schwalbe's (Lehrb, der Neurol. S. 624 u. ff.) des Gerüstes der Raphe keine Erwähnung.

Den Charakter einer einfachen Epithellage behält die Deckplatte in der Folge bei. Die Menge ihrer Zellen nimmt stelig zu, denn trotz der wachsenden Ausdelnung der Platte und den zu Ende des 2. Monats auftretenden Faltungen derselben werden die Zellen nicht flacher, sondern etwas bider (zu Ende des 2. Monats bestimme ich deren Höhe zu 41—13 p). Über die Art der Zellenvermehrung in der Deckplatte habe ich keine entscheidenden Erfohrungen, es ist möglich, dass ein Theil des Zuwachses von der Taenia aus vor sieh geht. Hier und da bin ich auch vereinzelt liegenden hellen Zellen in der Deckplatte begegete mit besonders chromatinreichen Kernen.

#### Die primäre und die endgültige Massenvertheilung innerhalb des Querschnittes des Calamusgebietes.

Im Beginn der 5. Woche zeigt der Querschnitt des Calamusgebietes jene fünseckige Grundform, deren oben gedacht worden ist (Fig. 7). Die Seitenwand des Robres lässt drei, unscharf von einander abgegränzte Schichten erkennen, von denen die beiden inneren, die compacter gefügte Innenplatte und die mehr aufgelockerte Mantelschicht zellenhaltig sind, während die äusserste, der Randschleier, aus einem kernfreien Spongiosalager mit hindurchtretenden Zügen von Nervenfasern besteht. Wählen wir als Beispiel etwa die Höhe des Vaguseintrittes, so zeigt hier die Grundplatte in ihrer Mantelschicht den Hypoglossus- und den motorischen Accessorius-Vaguskern. Beide Kerne reichen mit ihren äussersten Zellen bis dicht unter die Oberfläche des Markes. Die von den Glossopharyngeus- und den Vagusganglien zum Gehirn aufsteigenden Wurzeln sammeln sich zu einem der Oberfläche unmittelbar anliegenden Längsstrang, dem Tractus solitarius, oder der aufsteigenden Wurzel der sensibeln Glossopharyngeus- und Vagusfasern. Diese Anordnung der Theile ist sehr verschieden von der späteren, denn sowohl die motorischen Kerne des Hypoglossus, Accessorius, Vagus und Glossopharvngeus, als der Tractus solitarius erscheinen am Ouerschnitte des ausgebildeten Markes tief in's Innere gerückt, und sie werden durch breite Schichten grauer und weisser Substanz von der Oberfläche geschieden.

Behufs einer übersichtlichen Darstellung scheide ich den Quer-

schnitt des ansgebildeten Markes in vier übereinander liegende Schichten:

1) Dem Ventrikel zunächst breitet sich eine Schicht grauer Substanz aus, welche ich als die Schicht der geschlossenen Kerne bezeichne. Am meisten medialwärts liegt in ihr der Hypoglossuskern, auf diesen folgt lateralwärts die Ala cinerea und, von dieser durch eine Furche abgesetzt, ein Complex von Kernen, welchem im Vagustheil des Calamus der Kern des zarten Stranges, weiter oben die grauen Massen des Acusticusgebietes angehören. Als Randkerngruppe (Nuclei marginales) möchte ich diesen Complex zusammenfassen, da es erwünscht erscheint, eine gemeinsame Bezeichnung dafür zu besitzen. Die Randkerne bilden die mediale Hälfte des als Corpus restiforme hervortretenden Wulstes. Wulst sieht mit einer schmalen Fläche dorsomedial-, mit einer zweiten, erheblich breiteren dorsolateralwärts, während seine dritte Fläche ventrolateralwärts gekehrt erscheint. Die Randkerne berühren den dorsalen und einen Theil der lateralen Fläche, an der letztern stossen sie an das im Ouerschnitt halbmondförmige Längshundel der zum Kleinhirn gehenden Fasern, den Funiculus restiformis, und auf der Gränze heider löst sich die Taenia chorioidea vom Mark ab.

2) Unter den compacten Kernen folgt die inter nuediäre Netzehicht), charakterisit sich in bekannter Weise dadurch, das sich in ihr zahlreiche Bündel bogenförnig angeordneter Fasern einerseits mit solchen kreuzen, welche von den überliegenden Kernen in radiärer lichtung ausstrablen und anderseits mit fein zerklüfteten Bündeln von Längsfasern, welche die frei bleibenden Büume des Maschenwerkes allenthalben durchsetzen. Strutzus hat diese Längsfasern als die Fortsetzungen der Vorder- und der Seitenstränge des Buckenmarkes aufgefasst, eine Annahme, der ja auch die späteren Autoren gefolgt sind. Seit Mavxaar findet man für dies Gebiet häufig die Bezeichnungen des inneren und Busseren motorischen Feldes gebraucht.

Die intermediäre Netzschicht enthält im Allgemeinen keine dichten Anhäufungen von Nervenzellen. Dagegen finden sich Zellen verein-

<sup>4)</sup> Die Bezeichnung intermedi\u00e4r gebrauche ich bei dieser Schicht deshalb, weil sich der retieul\u00e4re Charakter zum Theil auch auf die folgende Schicht, die der zerrissenen Kerne (ortsetzt, und es n\u00f6hig erscheint, beide Bildungen auseinander zu balten.

zelt oder in kleinen Gruppen in den Knotenpunkten des Fasernetzes, und ihre Ausläufer gesellen sich den vorbeiziehenden Faserbundeln unmittelbar bei. In dem zwischen Raphe und Hypoglossuswurzeln liegenden Markabschnitt, dem inneren Felde Fuzusies', enthält die Formatio reticularis nur sparsane Zellen und es beruht darauf die Unterscheidung einer Formatio reticularis alba und grisea. Das von der intermediären Netzschicht eingenommene Feld hat im Ganzen die Gestalt ienes Halbmondes, seine beiden Enden erstrecken sich bis zu den Tractus solitarii, welche ihrerseits in bekannter Weise von der grauen Substanz der Alae einereae umfasst werden.

3) Die nun folgende dritte Schicht bezeichne ich als die der zerrissen en Kerne. Dieselbe beginnt, lateralwärts an die Randkerne anschliessend, mit dem Kern des Keilstrauges, zu ihr gebören der Solienstrangkern, der Olivenkern mit den Nebenoliven und den Pyramidenkernen. Eine fortlaufende Kette kleinerer Ganglienklumpen erstreckt sich von den Seitenabschnitten dieser Zone zum offenen Ende des Olivenkerns, ein Verhalten, das beim Fötus und beim Nengeborenen noch auffalliger zu Tage tritt, als beim Erwachsenen. Von Aussen her lagert sich die Substantia gelatinosa eine Strecke weit dem Gebiete der zerrissenen Kerne an. An seiner inneren Seite liegt ein System von S-förmig gebogenen Faserzügen, welche vom C. restiforme bis zum Eingang des gefalteten Kernes hinführen <sup>3</sup>).

Die Kerne der zerissenen Zone besitzen alle ein ungemein dietes Spongiosalager und sie treten daher an gefärhten Präparaten als dunkle Massen hervor. Sie gruppiren sich theils zu gefalteten Blüttern, theils zu einzelnen Streifen und Klumpen. Es gilt dies special auch von den Kernen des zarten und des Keilstranges, und deren Aussehen erweist sich daher, bei schwächerer Vergrüsserung untersucht, als auffallend unruhig. Nicht uneigentlich bezeichnet es Maxsex als ein geflammtes?

4) Um die Zone der zerrissenen Kerne legt sich eine, aus allerdings ganz verschiedenartigen Bildungen bestehende Schicht von

Am besten finde ich dies Fasernsystem in der Figur 450 von W. Kaause's Bandb. d. Anatomie II, 753 wiedergegeben.

<sup>2)</sup> MEYNERT No. 7, S. 769.

weisser Substanz. Zu ihr gehören die Längsfäserzuge des C. restrictione und die Schichten des Stratum zonale, sowie die aufsteigende Wurzel des N. trigeminus. Am meisten medialwürts schliessen sich die Pyramiden an, welche ihrerseits durch einen medianen Schlitz von einander getrent bleiben.

Im Grossen und Ganzen können wir, dem Gesagten zufolge, am Querschnitte des verlängerten Markes zwei aus vorwiegend grauer Substanz gebildete Schichten unterscheiden, die der geschlossenen und die der zerrissenen Kerne, welche lateralwärts unter einander zusammenhängen. Noch weiter schematisirt lässt sich die gesammte graue Substanz als eine einzige gebogene Platte auffassen, deren medialer Abschnitt als Schicht der compacten Kerne den Boden der Rautengrube bildet, deren laterale llälfte jederseits umgelegt und als Schicht der zerrissenen Kerne unter die erstere gelagert erscheint. Der Zwischenraum zwischen beiden Plattenhälften wird von reticulärer Substanz eingenommen, und die äusserste Umkleidung besteht aus weisser Substanz. Die Vergleichung dieser Massenvertheilung mit der früher beschriebenen primären, bei welcher ja die motorischen Kerne und der Tractus solitarius bis dicht an die Aussenfläche heranreichten, ergiebt schon ohne vorangehende Kenntnissnahme der Zwischenstufen, dass die Schicht der zerrissenen Kerne nur secundär in ihre Lage gerückt sein kann, und es wird nun vor Alleni zu untersuchen sein, woher die Bestandtheile dieser Schicht stantmen, und wie sie in ihre Endstellung eingerückt sind.

# Die Öffnung der Rautengrube im Bereiche des Calamus scriptorius.

- Auf der Entwickelungstufe, die wir oben als primären Ausgangspunkt gewählt haben, stehen die beiden Flügelplatten steil emporgerichtet, unter einander nahezn parallel (Fig. 7).
- 2) Auf jene Sufe folgt diejenige der primären Lippenbildung: während der mediale oder Wangentheil der Flügelplatte seine steil aufgerichtete Stellung beihehalt, biegt sich der laterale in früher besprochener Weise lippenartig um und legt sich jenem seitlich an (Fig. 8). Nur vorübergehend erhalt sich die Furche zwischen Wangen- und Lippentheil der Flügelplatte, sie erwächst.

binnen wenigen Tagen, und damit hort die Lippe vorläufig auf, den Charakter einer selbstständigen Bildung zu bewahren. An Stelle einer gebogenen Platte erscheint nun im Soltentheil des Markes ein gerundeter Wulst, dessen laterale Oberfläche die Taenis trägt. Ich bezeichen ihn zumächst als Fluge Isvulst. Die Bildung der Rautenlippe und des Flugelwulstes fallen in die 5. Woche. Die Lippe tritt nämlich bei Embryonen von 8—40 mm NI auf, ihre Verwachsung unt dem Wangentheil vollzieht sieh bei solchen von 41—43 mm.



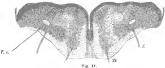
Fig. 40. Querechnitt des verlangerten Marken, Embryo Sch. Vergr. 40.

3) Stufe der Querstellung der Flügelplatte. Mit dem Beginn der 6. Woche macht die \(\text{Offung}\) der Rautengrube einen weiteren Fortschritt, indem sich die heiden Flügelwülste seitlich nulegen, so dass deren Convexität, welche bis dahin dorsalwärts gekehrt war, nun den lateralen Ränd des Markes bildet. Der Wangentheil des Flügelwulstes sieht jetzt dorsalwärts und liegt mit der oberen Fläche der Grundplatte nahezu in derselhen Ebene, wogegen der Lippentheil ventulwärts gekehrt erscheinig.

Die Seitwartsbiegung des Flugelvulstes geht im Vagustheil des verlängerten Markes noch weiter. Sein convexer Rand krümmt sich nämlich ventralwärts und es entsteht dadurch ein neuer lippenartiger Wulst, an welchem die gesammte ursprüngliche Flügelplatte betheiligt ist. Eine reziet, weich auslaufende Rinne scheidet den Wulst von der nedialwärts davon liegenden Grundplatte. Die Rinne behält in der Folge ihre ursprüngliche Tiefe nicht bei, aber sie erweist sich als eine Abhaba 4.8 s. somthe 4 Wernes Aus.

Store Allanogle

bleibende Biblung: durch alle nachfolgenden Stufen hindurch finden wir den aus der Flugelplatte hervorgegangenen Abschnitt des Markes, das Corpus restiforme der beschreibenden Anatonie, durch eine weiche Farche, den Sul'eus restiformis, von dem medialwärts davon liegenden Alsschnitt geschieden.



Querschuitt des verlängertenj Markes. Embryo CR. Vergr. 40,

4) Die Stafe der ersten Olivenbildung. Wahrend die eben geschilderten Unlagerungen der Flügelphatten bez, der Flügelwilste sich vollzogen haben, ist auch das Verhalten der Grundplatten nicht durchweg Jasselbe geblieben. Auf jungeren Stafen treten sie ventriktelwitte nur als flache Leiste hervor, dann aber ninnut

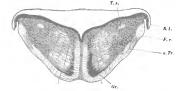


Fig. 42.
Quesschnitt des verl. Marker. Embryo Mr. Vergr. 10. R.l. Secundare Eantenlipper. F.r. Funicalus re-informir, s. Tr. unfatelgrade Trigoniquescorrel. Or. Grazplatte mit einschadenden Oliveratreifen.

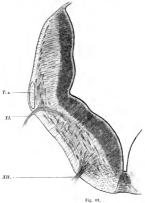
ihre Wölbung zu. Die medialen Hälften der beiderseitigen Oberflächen rücken sich in der Mittellinie entgegen und lassen schliesslich nur eine sehmale Spalte zwischen sich frei. Die lateralen Ilaiften der Grundplattenflächen stellen sich dagegen mehr und mehr transversal und so kommt es schliesslich, dass sie mit einander gleichgerichtet erscheinen und man z. B. bei Fig. 11 eine gemeinsause Querlinie durch die vorspringenden Punkte der beiderseitigen Grund- und Flügelplatten zu legen vermag. Nan folgt weiterhin eine Periode, in welcher der Boden der Spalte sich hebt und diese an Tiefe beträchtlich verliert. In der Zeit ninnnt das Gebiet der Grundplatten an Dieke und an Breite erheblich zu, und auf dem Querschmitte desselben erscheinen die ersten scharf ungränzten Anlagen der Olivenkerne. Der Flügelplattenantheil der Querschmitte erscheint als ein relativ unbedeutender Anlang des in der Grundplatte befindlichen Ilauptfeldes; sowohl dorsal- als vegtralwärts setzt er sich durch eine seichte Furche von diesem letztern ab, und seine laterie Fläche trägt die wieder frei gewordene sevendare Rautenlippe.

### Die Bildung und Ausbreitung der Neuroblasten im Calamusgebiet.

In der Zeit unmittelbar nach Ausbildung des Spongiosalagers beginnt eine sehr lebhafte Production von Keimzellen. So zähle ich z. B. bei Embryo T an den 10 µ dicken Schnitten durch das Calamusgebiet auf jeden Schnitt 60-70 charakteristische Keimzellen mit hellem Protoplasmahof und mit meistens sehr ausgesprochenen Mitosen. Anfangs noch kuglig von Gestalt und in den innern Abschnitten der Sänlenschicht liegend, nehmen die Zellen weiterhin die Form von Neuroblasten an und rücken durch das Spongioblastenlager nach answärts gegen den innern Saum des Randschleiers, hier zu einer ersten Mantelschicht sich anordnend. Der Charakter dieser ersten Mantelschicht ist an dem verlängerten Mark wesentlich derselbe, wie am Rückenmark. Die Schicht beginnt am dorsalen Ende der Flügelplatten sehr schmal, sie verbreitert sich nach voru und läuft medialwärts in einen etwas aufgetriebenen Wulst, den Vorderhorn wulst aus. Dieser Walst amschliesst, wie ich dies bei früherem Anlass gezeigt habe!), in einem grossen Theil seiner Länge den llypoglossuskern, und weiter ohen den Kern des Abducens. Die

<sup>1)</sup> No. 1, S. 360.

heiden Vorderhoruwülste sind durch einen ca. 0,3 mm breiten Zwischenraum von einander geschieden, in welchen die ventrieuläre Medianfurche sich hereindrängt. Die Zelleuplatte, welche die Furehe auskleidet, bildet eine ventralwärts gerichtete Leiste, und zwischen



Quenchnitt durch das verl, Mark von Embryo &o mit eingeneichneten Neuroblasten. Vergr. 140.

XI. Accessorius, XII. Hypoglessus, T.z. Trackus solitarius.

dieser und dem Vorderhornwalst liegt ein vom allgemeinen Randschleier ausgehendes dreieckiges zellenfreies Feld, welches in der Folge von Längsfasern eingenommen wird und das ieh als das printüre Vorderstrangfeld bezeichne. Das von der mediaten Zellenleiste ausgehende Septum Medullae ist im Beginn der 5. Woche noch niedrig und es wird von wenigen Querfasern durchsetzt, welche beiderseits in die primären Vorderstrangfelder eintreten. Ein Theil der Fasern verliert sich hier durch Umbiegung in Längsfasern, ein anderer Theil steht jenseits vom Vorderstrangfeld mit den Zellen der Mantelschicht in Verbindung. Gleich der vorderen Commissur des Ruckenmarkes enthalt somit die primäre Raphe des verlangerten Markes Fasern, welche, aus Zellen der Mautelschicht der einen Seite staumend, in den Vorderstrang der andern Seite übergeben, und avar constatite ich sowohl den Übergang von Fasern, welche unweit der Mittelebene aus Zellen der Grundplatte entspringen, als auch von solehen, welche aus entlegeneren Abschnitten der Flugelphtte berkommen.

Die Mantelschicht enthält in ihrer ganzen Ausdehnung Neuroblasten und von diesen ausgehende Nervenfasern. Am dorsalen Ende der Flügelplatte umfasst sie auf jüngeren Stufen der Breite nach nur 1-2 Zellen, dieselben verlaufen parallel der Oberfläche, und sie entsenden ihre Ausläufer in langgezogenen Bogen ventralwärts. Mit der Annäherung an die Grundplatte nimmt die Mantelschicht an Breite zu, die bogenförmige Verlaufsrichtung ihrer Zellen bleibt im Ganzen dieselbe, nur kommen an ihrer inneren Seite zahlreiche schräg gestellte Neuroblasten hinzu, welche zwischen den radiären Stützfasern der Innenplatte hervortreten und ihre Fortsätze gleichfalls an die Bogensysteine abgeben. Ähnlich gerichtete Zellen mit medialwärts verlaufenden Bogenfasern finden sich weiterhin im gesammten Bereich der Grundplatte bis über den Hypoglossuskern hinaus. Die Neuroblasten der motorischen Kerne des Hypglossus, Accessorius, Vagus u, s. w. schicken ihre zu Buscheln geordneten Fortsätze nach den betreffenden Austrittsstellen an der Oberfläche des Markes. Diese Zellen und Fasern kreuzen sich mit denen der Bogensysteme, insbesondere wird der Hypoglossuskern von Bogenfasern theils von aussen, theils von innen her umgriffen, theils auch direct durchsetzt. Jenseits von der Mantelschicht liegt eine schmale Schicht von Randschleier, welche von Zellen frei ist. Ebenso liegt der Tractus solitarius, nachdem er einmal angelegt ist, lateralwärts von der Zellenstrasse der Mantelschicht.

Die ventralwärts verlaufenden Bogenfasern sind zum Theil bis zur Mittellinie verfolgbar und betheiligen sich hier an der Bildung der Raphe, aber die Zahl dieser die Mitte überschreitenden Fasern ist viel unbedeutender als die der Fasern, welche von der dorsalen Seite her in den Vorderhornwulst eindringen. Entweder ist zu der Zeit ein Theil der Fasern noch zu kurz, um die Mittellinie zu erreichen, oder es biegt ein Theil derselben in die Längsstränge der vorderen Markhälfte um. Die bis zur Commissur verfolgbaren Fasern entstammen den inneren Bündeln der Bogenformation, während die äusseren Bündel noch vor, oder bald nach ihrem Eintritt in das Vorderstrangfeld sich verlieren.

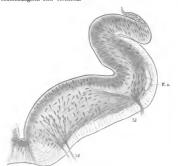


Fig. 14.
Querschnett des verl. Markes von Embryo Eu mit eingener-kacten Neuroblacten, Vergr. 100,

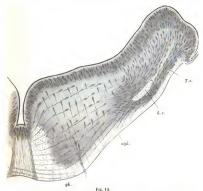
Mit der Eatstehung der Rautenlippe tritt in der Geschichte der Medulla oblongata ein Wendepunkt, ein und es erscheint zum Verständniss der nachfolgenden Stufen nothwendig, die Eigenschaften des Querschuitts gleich nach Bildung der Lippen und vor Verwachsung der ütseseren Lippenspalte genaner zu studiren. Ieh halte mich dabei an die Schuitte des 9,4 mm langen Embryo Ru. [Fig. 43). Infolge der Einbiegung, welche die dorsale Haltle der Flügelplatte erfahren hat, laufen die Balkenstrahlen des ungebogenen Stuckesschrüg un der Furche aus, und sie treffen hier unter spitzen Winkeln zusammen mit denjenigen des austossenden Wangentheils. Der
Wangentheil der Flügelplatte zeigt nonnecht eine 10—15 Zellen breite
Jantelschicht mit medialwärts oder leicht sehräg gerichteten Neuroblasten. Die äusseren Neuroblastengruppen entsenden ihre Fasern
in sehrägen Bogen nach dem angränzenden Randschleier, die Mehrzahl der entstelenden Bogenfasern schlägt innerhalb der Jantelschicht den Weg nach der Grundplatte ein. Lateralwärts reicht die
zellenfuhrende Mantelschicht unnittelhar bis an den Tractus solitarius
herran, und sie wird nach aussen von einem zellenfreien Randschleier
in der Breite von 0,65—0,07 mm überzagt.

Beim Übergang in die Grundplatte ändert sich der Charakter der Mantelschicht; die Zellen erscheinen von da ab minder dicht zusammen gedrängt; Zäge von Neuroblasten mit medialwärts gerichteten Fortsätzen sind auch hier noch bis in den Vorderhornwulst herein vorhanden, aber daneben treten reichlich Zellen mit abweichender Richtung der Ausläufer auf. So finden sich im Seitenhorntheil der Grundplatte Neuroblasten, welche ihre Fasern au deu Accessorius bez. an den motorischen Vagus und Glossopharyngens abgeben, welche demnach mit ihren Spitzen lateralwärts, austatt medialwärts, gerichtet sind. Vor allem aber enthält der Vorderhorntheil der Gruudplatte überwiegende Mengen von Neuroblasten, deren Fortsätze das Mark der Dicke nach durchsetzen, sei es dass sie in Hypoglossuswurzeln übergehen, sei es dass sie sich zwischen den Längs- und Querbäudeln der Grundplatte verlieren. Es kreuzen sich dem Gesagten zufolge innerhalb der Grundplatte die Nervenzellen und die Bündel von Nervenfasern auf das Vielfältigste, und wir können schon jetzt von einer Formatio reticularis derselben reden. Dieselbe erstreckt sich zur Zeit noch durch die ganze Tiefe der Mantelschicht, und eine strenge Scheidung der Netzschicht vom Hypoglossus- und vom Accessoriuskeru ist nicht durchführbar. Immerhin lässt sich unschwer erkennen, dass die Mehrzahl der Wurzelbundel des Hypoglossus aus den tiefen Abschnitten der Mantelschicht berstammt, und dass auch vom Accessorius dasselbe gilt.

Mit der zunehmenden Vertiefung der Mantelschicht hebt sich der Vorderhornwulst der grauen Substanz immer bestimmter von den medialwärts daran liegenden Theilen ab. Das ihn umgreifende Feld des primatren Vorderstranges nimmt auch seinerseits an Tiefe zu, und es wird nunmehr von zahlreiehen Bündeln von Bogenfasern durchsetzt, welche durchweg bis zur Raphe verfolgbar sind. Der grössere Theil dieser Commissurenbündel kommt aus dem Vorderhorn hervor, wobei die am meisten dorsal liegenden ziemlich starke Biegungen beschreiben, um die Raphe zu erreichen. Innerhalb der letzteren verlaufen die Nervenfasern transversal und sie kreuzen die Gerüstfasern des Septum unter rechten Winkeln. Ein kleiner Theil der in die Raphe eintretenden Nervenbündel kommt zunächst aus dem Randschleier. Diese Bündel baben an verschiedenen Stellen des Umfanges die Mantelschicht verlassen, und sie stammen aus solchen Neuroblasten, welche den äusseren Lagen derselben angehören. Die Zahl von Bündeln, welche schon auf die gegenüberliegende Seite des Markes vorgedrungen sind, scheint noch unerheblich. Auf den nächstfolgenden Stufen findet man eine nicht geringe Menge von Faserzügen, welche nach der Aussenfläche des Randschleiers hin schräg auslaufen. Diese Faserzüge sind bereits gekreuzt und sie stammen von Neuroblasten der gegenüberliegenden Seite (Fig. 15).

Sohr hald nach Bildung der Rautenlippe verwachsen im Calamusgehiet die sich berührenden Wandungen der äusseren Lippenfurche und von da ab besteht eine directe Durchtritisbahn für die in der Rautenlippe entstandenen Neuroblasten. Dieselben treten durch die Verwachsungstelle hindurch und gelangen zunächst an die Aussenfläche der bisherigen Mantelschicht der Flügelwange. Durch die Lückenräume des innern Randschleiers dringen sie immer weiter medialwärts vor, umgreifen von Aussen den Tractus solitarius und erreichen ienseitst dieselben das laterale Feld der Grundplatte.

Am übersichtlichsten gestalten sieh die Verhältnisse dieses Zellenstromes in der Zeit kurz nach dessen Auftreten. So ist bei dem 10,5 mm langen Embryo III die Trennung des von der Plagelwange und des von der Rautenlippe herkommenden Zellenstromes noch deutlich erkennlar. Jeuer geltt, wie dies is schon vor Bildung der Rautenlippe der Fall gewesen war, dicht an der inneren Seite des Tractus solitarins vorbrei, wogegen der zweite Strom den letzteren von Aussen her ungerüt. Jenestis des Tractus konneme heide Zellenströme zusammen, und der äussere läuft im Seitentheil der Grundplatte mit verwaschenen Gränzen aus, dem Auslaufe eines trüben Bergbaches in einen klaren See vergleichbar. Auf dieser Stufe ist der von der Rautenlippe herkommeude Zelleustrom noch schmal (0,01—0,06 mm oder 6—8 Zellen breit). Selton bei Embryonen von 13—14 mm XI hat der Strom an Breite bedeutend zugenommen



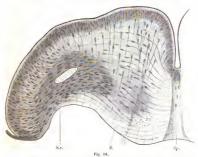
Querschnitt durch das verlängerte Mark am Embryo Ru (NI 10,5 mm) mit eingeisichneten Neuroblassen. Vergr. 100. Der Tractus solltarism 7r. ist von den am der Bautenlippe kommenden Zellen schon umgrößen. Beide Zellenströme, der um der Bautenlippe und der am der Flügelwange kommende sind noch deutlich unterscheidehr.

(auf 0,12-0,16 mm), und zu Ende des 2. Monats ist die nach Aussen vom Tractus solitarius liegende Zellenschicht 10-15 mal so breit als bei Embryo Ha (bei Embryo Mr über ½ mm breit).

Die ursprüngliche Scheidung zwischen dem von der Rautenlippe und dem von der Flügelwange herkommenden Neuroblasteustrom besteht nur sehr karze Zeit, da die Gräuzen zwischen beiden Strömen diess- nud jenseits des Tractus solitarius sich bäld verwischen. Wahrend nun aber der äussere Strom an Breite immer mehr zuminnut, bleibt der Abstand zwischen dem Tractus und der Ventrikelfläche während des ganzen 2. Monats anhæze derselbe (0.24—0.27 mm). In der Flügelwange findet zwar während der Zeit eine reichliche Neubildung von Neuroblasten statt, allein diese treten grussentheils in radiärer Richtung durch die primäre Mantelschicht hindurch bis in die aussere Zellenlage. Der Tractus solitarius selber zeigt sich in der Zeit von einzehen radiär gestellten Neuroblasten durchsetzt. Ich fasse den Zusamunenhang der Verhältnisse so auf, das etwa von der 6. Woche ab die in der Flügelwange entstandenen Neuroblasten in den von der Rauteuflippe herkommenden Strom übertreten und mit jenem gemeinsam den breiten Complex bilden, welcher der Tractus solitarius von Aussen her umgreiß.

Die von der Seite her in die Grundplatte eindringenden Neuroblasten rücken nun schaarenweise gegen die Mittellinie vor, indem sie die Seiten- und Vorderhornfelder ventralwärts streifen. In korzer Entfernung vom Septunu und an der Gränze des das letztere einsämmenden weissen Substauzstreifens nachen die am meisten medialwärts vorgedrungenen Neuroblasten halt und sammelu sich zu einer sagittal gestellten dicken Platte, der Gränzplatte, wie ich sie nennen werde. Dieselbe durchsetzt mehr als die halbe Tiefe des Markonerschnittes, bleibt indessen von der ventralen Oberfläche gleichwie von dem Septum durch einen schmalen Streifen von Randschleier geschieden. Da wo die Gränzplatte ihre grösste Entwickelung erreicht, ist sie medialwärts ausgebogen und zeigt, anschliessend an ihren sagittalen, einen kürzeren ventralen Schenkel, dessen Richtung der Markfläche parallel verläuft, Zahlreiche schräge Zellenstreifen verbinden die Gränzplatte mit dem Complex, welcher an der Granze der Grundplatte, ventralwarts vom Tractus solitarius angehäuft ist, und durch dessen Vermittelung hängt sie mit den Massen der Flügelplatte selber zusammen (Fig. 12).

So bekommen wir folgende allgemeine Anordnung der Zellenmassen: Die unter dem Boden des Ventrikels sich hinziehenden Zellenlager der Grundplatte setzen sich über dem Tractus solitatius hinweg in das Gebiet der Flügelplatte fort, von hier aus führt eise zusammenhängende Reilhenfolge von mehr oder minder dieht gelagerten Zellensträngen unter dem Tractus solitarius vorbei in die Grundplatte zurück und diese Stränge finden ihr Ende in der dem Septom zugekehrten Gränzplatte. Wir haben also zwei, jenseits vom Tractus solitarius in einander umbiegende Zellenschiehten und erkennen darin unschwer jene beiden Schiehtlen wieder, welche ich für



Querschnitt durch das verlängeste Mark am Embryo CE (NI 13,6 mm) mit eingemeichneten Neuroblasten. Vergr. 100. S. r. Sulcus restifernis, & gekreunte Fasern der Raphe.

das ausgebildete Mark als die Schicht der geschlossenen und die der zerrissenen Kerne unterschieden labe. Zwischen beiden liege selon jetzt ein intermediares Lager von netzforniger Substauz; von Aussen her wird die Schicht der zerrissenen Kerne von einem schmannen Streifen von Randschleier unfasst. Dieser hängt medialwärts mit dem zellenarunen Substansstreifen zusammen, welcher nechen der Raphe liegt und dem auch das ohen beschriebene primäre Vorderstrangfeld angehört.

Dem Gesagten zufolge finden die Zellenmassen der primären Grundplatte ihre Verwendung bei der Bildung der motorischen Vorder- und Seitenhornkerne (des Hypoglossuskerns einerseits, des motorischen Accessorins-, Vagus- und Glossopharvngeuskerne andrerseits), ans ihnen stammen auch grossentheils die zerstreuten grauen Herde der reticulären Substanz. Die primäre Flügelplatte liefert dagegen ans ihrer medialen Hälfte die Ala cinerea, nebst der Gruppe der Randkerue. Ans ihrem Lippentheil gehen alle die Zellen hervor, welche dem Complex der zerrissenen Kerno angehören. Diese Zellen verlassen den Ort ihrer ersten Bildung und durchdringen die medialwärts daran liegenden Gebiete des Markes. Die Bildung der Rautenlippe und ihre Verwachsung mit der an sie anstossenden Fläche bilden die einleitenden Vorgänge, welche die so weit reichende Ausbreitung ihrer Zellen erst möglich machen. Die Oliven und ihre Nebengebilde sind demnach, soweit es sich um ihre Zellen haudelt, Abkömmlinge der Flügelplatte und morphologisch entstammen sie derselben Längszone des Markrohres, aus der in höher gelegenen Abschnitten des Gehirns das Cerebellum, die Vierhügel, die Sehhügel und die Grosshirnhemisphären hervorgehen.

## Der Querschnitt des Calamusgebietes gegen Ende des 2. Monats.

Auf die etwas summarische Beschreibung des vorigen Abschnittes lasse ich nun eine eingehendere Darstellung folgen\*); Gegen Ende des 2. Monats, bei Endryonen von 18—22 mm Ni., stellt sich der offene Theil des verlängerten Markes als eine dicke, leicht dorsalvarfts gekrumnter Platte der, welche sich nach beiden Seiten hin etwas verjüngt. (Taf. II.) Wir unterscheiden au ihr eine dorsale, eine ventrale und zwei niedrige Seitenflächen. Neben den letzteren findet sich jederseits der Übergang der Taenia in die Deck-

<sup>1)</sup> Die frontal geschuittenen Endryvonen, welche bei obiger Beschreibung benutzt worden sind, tragen die Bezeichungser Ze (N 18,5 mm) und Mr (N 2 mm), ferner Bd und Mg. Die Noitzen über die genauere Länge der beiden tetzen Endryonen sind mit abhanden gekoumen. In ihrer Krawickelung selene diese zwischen den beiden zuerst aufgeführten, und ihre Länge musse z. 20 mm betragen bahen. Mg ist ist um weniges weiere entwickelt als bd. Die Proliferonstruction von Mg findet man in obiger Fig. 8, 8, 16, die von Mr in Fig. 5, 8, 13.

platte. Die dorsale, dem vierten Ventrikel zugekehrte Fläche erscheint um schwach, die ventrale, äussere Fläche dagegen sturker gebogen. Jene zeigt ausser einer tiefen medianen Längsrinne zwei seichte Seitenfurchen, welche die ursprüngliche Gränze von Grundplatte und Flügelplatte bezeichnen. Auch an der ventralen Oberfläche sind drei Längsfürchen vorhanden, eine mittlere und zwei selliche, von denen die letzteren seichter sind, als die Mittelfurche, und einen breiten Boden haben. Dies sind die Solci restiformes der obigen Darstellung, durch welche die späteren Corpora restiformia vom übrigen Mark getrennt werden. Das medialvarts davon liegende Gebiet umfasst die Anlage der Oliven und den dazwischen liegenden Streifen der Olivenzwischensechicht. Von Pyramiden') kann man zu der Zeit noch nicht reden, dagegen lässt sich an den Austrittslinien der Hypoglossuswurzeln erkennen, wo die Gränze des engeren Olivenbezirkes zu suchen ist.

An der dorsalen Markfläche scheidet die seichte Seitenfurche die aus der Grundplatte hervorgegangene Eminentia teres von den der Flugelplatte entstammenden Bearken der Ala cinerea und der Randkerne. Zu einer sebärferen Umgränzung der Kerne ist en och nirgends gekommen. Der Tracturs solliatins liegt der dorsalen Markfläche sehr viel näher, als der ventralen, er zeigt einen etwas abgeplatteten Querschnitt und die in ihn übergelienden sensibeln Norvenbündel erreichen ihn an seinem medialen Rande.

Mit Hulfe der oben beschriebenen Furchen und des Tractus solitarius ist man im Stande, das Feld der ursprünglichen Grundplatte ziemlich scharf von dem der Flügelplatte zu trennen, und da fällt allerdings auf, wie sehr das letztere Gebiet hinter dem ersteren in der Flächenzunahme zurückhleibt. Laut planimetrischer Aussesung der Markquerschnitte in der Höhe des Vaguseinrittes macht der Antheil der Flügelplatte am Gesammtquerschnitt im Beginn des 2. Monats (Ko) 41,5 %, aus, am Ende desselben Monats (Mr) nur och 27,5 %, vorübergehend fällt der Werth sogar noch under 25 %,

Nach FLEKRISG, dem wir den Nachweis von dem späten Auftreten der Pyramiden verdanken, fehlen diese beim Fötus von 11—12 cm S.S., beim Fötus von 25 cm S.S. sind sie dagegen vorhanden und haben die Ollven bereits zur Seite gedrängt. No. 8. S. 132 und 142 und 1af. X. Fig. 4 und 5.

Wahrend von der Stufe Ko zur Stufe Mr das Feld der Grundplatte auf das ungefähr 10fache ansteigt, ist bei dem der Flügelplatte eine nur ungefähr 5fache Zunahme vorhanden 1). Die Änderung im Verhältniss der Flügelplatte zur Grundplatte ist mit der Thatsache in Beziehung zu bringen, dass die in der ersteren entstehenden Neuroblasten den Ort ihrer Bildung grossentheils verlassen und in die Grundplatte übertreten.

Die Flügelplatte bewahrt ihr dichtes Gefüge durch geraume Zeit; gegen Ende des 2. Monats beginnt sie sich indessen auch ihrerseits aufzulockern, und ihre frühere so breite und unscharf abgegranzte Innenschicht reducirt sich, gleichwie in der Grundplatte auf jene etwa 50 μ dicke Lage von inneren Spongioblasten, welche wir in der Folge als das Epithel des Ventrikels zu bezeiehnen pflegen. Die innere Spongioblastenschicht besteht nunmehr in ihrer ganzen Ausdebnung aus radiär gestellten Zellen, deren Kerne bis nahe an die Ventrikelfläche heranreichen. Ihre inneren Enden verbinden sich zur M. limitans interna und diese sieht man an gut erhaltenen Präparaten von langen Wimpern überragt. Die Zellenleiber lagern sich büschelweise zusammen, und zwischen den einzelnen Büscheln bleiben freie Zwischenräume übrig, als die Stellen, wo früher Keimzellen und Neuroblasten gelegen haben2). Nach auswärts entsenden die Spongioblasten feine fadenförmige Fortsätze, die auf grosse Entfernung hin verfolgbar sind und als Markstrahlen zur ventralen Oberfläche sich verlängern. Desgleichen finden sich zu der Zeit spindelförmige und dreieckige Spongioblastenleiber durch die gesammte

t) Folgendes sind die Ergebnisse der Messung:

1.38

My. . . 1.82

75,6

24.4

absolutes Maass der Querschnitte in qmm in % des Gesammtquerschnittes Gesammtquerschnitte: Grundpl.: Grundplatte: Flügelplatte: Flugelpl.: Ko. . . 0,40 0.234 0.166 58.5 41.5 Zio. . 1,24 0,90 0,34 72.6 27,4 Dd. . 1.58 1,24 0.34 78.5 21.5

<sup>0.44</sup> Mr. . . 3,20 0,88 72,5 27,5 2,32 Das Musimum von der relativen Entwickelung der Flügelplatte fällt, wie man sieht, nicht auf den 8 Wochen alten Embryo Mr, sondern auf die etwas jüngeren Embryonen Dd und My und dies erklärt sich dadurch, dass bei Mr die Längsbündel

der Corpora restiformia schon erheblich an Umfang gewonnen haben. 2) Neuroblasten-Anfsatz No. 9, S. 323 and Taf. II, Fig. 16.

graue Substanzanlage zerstrent, ja sogar bis in die weisse Substanz hereierscheend. Dieht unter der Schieht der inneren Spongioblastenleiber finden sich Blutgefasse, und in der Grundplatte liegen Gruppen von Neuroblasten, welche ihre Faserbändel ventralwärts, in der Richtung der Hypoglossawurzeln eutsenden.

Die Sonderung einer epithelartigen Gränzsehicht um den Ventrikelraum herum fällt zusammen mit dem Sehwinden von Keinzellen in dessen Umgebung. Zuerst verlieren sich diese Elemente in der Grundplatte, später erst in der Flügelplatte und zuletzt im Lippengebiete der letzteren. So finde jeh bei Zw innerhalb der Grundplatte nur sehr sparsame, innerhalb der Flügelplatte ziemlich reichliche Keinizellen mit Mitosen. Auch bei Dd enthält die letztere noch zahlreiche Keimzellen, bei Mr sind solehe nur noch im lateralen Theil der Flügelplatte aufzufinden. Mit dem Sehwinden der Keimzellen fallen die Bedingungen zur Bildung neuer Neuroblastenschübe dahin, wir können also das Ende des 2. Monats als die Zeit bestimmen, in der die Bildung neuer Nervenzellen im verlängerten Mark aufhört. Das Vorhandensein einer unbestimmt auslaufenden Innenschicht kann als gröberes Merkmal dafür angeschen werden, dass der Bildungsprozess neuer Nervenzellen noch im Gang ist. Mit dessen Abschluss koniuit es zur epithelähnlichen Begränzung der inneren Spongioblastenlage. Die Bestandtheile dieser Lage sind zwar schon vor der Zeit ihres scharfen Hervortretens vorhanden gewesen, aber sie waren durch die Massen der bei der Neuroblastenbildung betheiligten Zellen verdeckt, und es bedurfte der Entfernung der letzteren, um dieselben isolirt zur Anschauung zu bringen.

Wie dies oben dargellun wurde, so hatte sich im Laufe der 5. Woche die primäre Rautenlippe uit dem anstessenden Wangentheil der Fligelplatte verbunden, und von dem Zeitpunkt ab hatte sie an die medialwarts von ihr liegenden Markabschnitte gedrängte Schaaren von Neuroblasten abgegeben. Nach Einstellung ihrer productiven Thätigkeit trennt sieh die Rautenlippe durch eine tief einschneidende Spalte vom Corpus restiforme ab und wird von Neuen frei. Es ist diese ein sehr anfällender Vorgang, aber er lässt sich mit grosser Bestimutheit feststellen. Bei dem Embryo Ze geht die von der inneren Spongioblastenschicht bekleidete innere Lippenfurche un stumpfen Seiternande des Markes vorbei veutralwärst, und ihre

mediale Gränzschicht hängt noch allenthalben ohne Unterbi chung mit der übrigen Markmasse zusammen. Bei Mr hat die Spalt noch dieselbe Stellung wie zuvor, ihre mediale Gränzschicht ist al r nur noch an ihrem dorsalen Emle mit dem Corpus restiforme verl. nden, im Übrigen durch einen von der Bauchseite herkommenden Schlitz davon abgesetzt. Es bestelit somit neuerdings eine Baute lippe, welche zwar aus der primären hervorgegangen, von dieser aber durch ihre dünne hautartige Beschaffenheit wesentlich unterse ieden ist und die nur deren von Neuroblasten entleerten Rest da stellt. lch werde sie als see undare Rautenlippe bezeichnen. Se besteht aus einer der inneren Spalte zugekehrten Lage von die it gedrängten Zellen und aus einer nach Aussen davon befindlichen dinnen Schicht von spongiöser Substanz. Am Ursprung beträgt ihre Dicke etwa 1/10 mm, nach dem ventralen Ende verjüngt sie sich bis auf ein Drittel dieses Werthes und geht dann mit rascher Umbiegung in die den Ventrikel lateralwärts abschliessende Epithelplatte über. Diese Platte fängt vom Ende des 2, Monats ab zottenartig gegen den Ventrikelramu vorspringende Auswüchse zu bilden. Insofern wir späterhin unter dem Worte Taenia den markhaltigen Substanzstreifen verstehen, welcher den Zusammenhang der massigen Gehirntheile mit der epithelialen Adergeflechtplatte vermittelt, so ist ersichtlich, dass der ganze freie Theil der secundären Lippe in der Taeniabildung mit aufgeht. Es umfasst somit die secundare oder definitive Taenia ein breiteres Gebiet als die primäre. Ihre laterale Gränze wird durch den Beginn der Chorioidealzotten bezeichnet, ihre mediale durch den Ursprung des medialen Lippenrandes aus dem Corpus restiforme.

Der Beginn der Abspaltung ist bei den Embryonen Ind und My zu erkennen, lieter trentt eine noch wenig tiefe Furche den ventralen Rand der Lippe von einem compacten Bundel von Längsfasern, welcher als rundlicher Strang über die Oberfläche bervortritt. Bei weiter fortgeschrittener Spaltenbildung erscheint auch dies Faserbundel breiter und es greift tief in die niedlale Spaltenwand über-Es ist dies das Faserbundel des Corpus restiforme oder der Funiculus restiformis, der als solcher ins Kleinhirn führt. Ein keilfürniger Fortsatz der anstossenden Bindegewebsmasse dringt in den ventralen Spalteneingang vor. In der Folge hebt sich die aus der secundaren Rautenlippe hervorgegangene Taenia vom Corpus restiforme ab und wendet sich mit ihrem scharfen Rande lateralwärts.

#### Gliederung der grauen Substanz.

Auch am Schlusse des 2. Monats tritt die Gliederung der grauen Substanz noch lange nicht mit der Schärfe hervor, welche spätere Perioden kennzeichnet. Wohl sind die Nervenzellen zum Theil schon in ihre bleibende Lage eingerückt, aber die Nervenzellen als solche, besonders die protoplasmaarmen Jugendstufen derselben genügen noch nicht, um der Schnittfläche iene scharfe Zeichnung zu geben, durch welche die weiter entwickelten Nervenkerne sich abheben. Die scharfe Umgränzung der ausgebildeten Nervenkerne findet ihre Hauptbedingung in der Ausbildung eines ungemein dichten Spongiosalagers. Man braucht nur einen feinen Durchschnitt vom verlängerten Mark eines älteren Fötus oder eines Neugeborenen anzusehen, um die Überzengung zu gewinnen, dass die auffallendsten Eigenthümlichkeiten der Oliven oder anderer scharf gezeichneten grauen Massen durch die Gerüstsubstanz bestimmt sind. Erst in späteren Perioden erreicht aber die die Nervenzellen umsehliessende Gerüstsubstanz dieses dichtere Gefüge, bis zum Schluss des 2. Monats ist dasselbe verhältnissmässig noch sehr lose.

Bei sehwacher Vergösserung erscheint, wie wir oben sahen, jede Seitenhäfte des Markquerschnittes als ein schräges Viereck mit abgerundeten Ecken. Die utediale Seite des Vierecks wird durch die Baphe, die laterale zuerst durch die innere und später durch die äussere Lippenspalte begränzt. Weitaus der grösste Theil des Feldes sit von der Anlage grauer Substanz eingenommen, und das Gebiet weisser Substanz erscheint nur als ein schmader Saum. Dieser Saum bildet einen im spitzen Winkel gebrochenen Bogen, dessen medialer Schenkel der Baphe, dessen ventraler der freien Oberfäche entlang lauft. Nach Wiederablösung der häutigen Bautenlippe dehnt sich das Gebiet weisser Substanz auch auf die Gränzflüche der äusseren Lippenspalte aus.

Die Zellen vertheilen sich ungleich über das Feld der grauen Substanz, die unfänglichste Anhäufung derselben findet sich in der lateralen Halfte um den Tractus solitarius herum, und jenseits von Abbasell. J. K. S. Geruleth, 4. Wieserh, XXIX.



demselben. Ein dorsalwärts von der aufsteigenden Trigeminuswurzel liegender Zellenhaufen beurkundet sich durch diese seine Lage als Vorläufer der gelatinösen Substanz. Andere besonders dichte Massen nehmen die dorsolaterale Ecke des Markes ein, und hier dauert auch, wie dies oben gezeigt wurde, die Neubildung von Zellen am längsten an. Die Gränzplatte bildet eine fernere massige Anhäufung und sie begränzt das grane Feld medial- und ventralwärts. Seitwärts hängt die Gränzplatte durch schräge Verbindungsstreifen mit den Zellenhaufen des Corpus restiforme zusammen. Am dorsalen Rande des grauen Feldes liegt unter der Ependymschicht der Eminentia teres ein unregelmässig umgränztes Zellenlager, welchem die motorischen Kerne des Rautengrubenbodens angehören. Indem die eben anfgezählten dichteren Zellenlager die vier Seiten des grauen Feldes bilden, umrahmen dieselben ein relativ zellenarmes Mittelfeld, welches den Hamptraum der früheren Grundplatte einnimmt und als die Anlage der Substantia reticularis sich erweist.

Somit können wir am Ende des 2. Monats vier, allerdings nnscharf von einander gesonderte Gebiete unterscheiden:

- 1) Das Gebiet der motorischen Kerne.
- 2) Das Gebiet der Substantia reticularis.
- Das Gebiet der lateralen Kerne mit Inbegriff der Substantia gelatinosa.
- 4) Das Gebiet der Olivenkerne.

Diese vier Gebiete bedürfen mit Rücksicht auf die in ihnen vorkommenden Zellen und Faserzüge einer gesonderten Schilderung.

Ge biet der motorischen Kerne. Innerhalb des an und für sich sehon etwas diehteren Zellenlagers unter der Ependymschicht treten einzelne unregelmässig umgränzte Nester hervor, deren Elemente sich durch ütre Grösse und Form von den einfachen Neurohisten unterscheiden. Das Protoplasma dieser Zellen ist dem Kerne nicht mehr einseitig angedigt, es bildet um den Kern herum eine allseitige Umkleidung, die allerdings noch schmal ist und die halbe Kernbreite kaum erreicht, Ausser dem Avenfortsatz zeigen diese Zellen noch einen oder zwei kurzere, anscheinend stumpf auslanfende Fortsätze, deren einer vom Gegenpol auszugehen pflegt. Am anffälligsten treten diese Zellemanssen hervor, eineskleis im Ursprungsgebiet der Vorderbornwurzeln von Abdeness und Hypoglossus und anderntheils in dem der motorischen Scienhornwurzeln von Trigeminus, Glossopharyngeus, Vagus und Accessorius. In diesen verschiedenen Gebieten reichen die Wurzelbiadel bis nahe an die Ependymschicht heran, bei ihrem weiteren Verlauf nach Aussen gesollen sich aber denselben kleiener Neuroblastengruppen bei, von denen sie Faserzuschuss bekommen, und so pflegen die aufgezählten Kerne weder nach der Fläche noch nach der Tiefe eine scharfe Umgränzung zu besitzen.

Zwischen den Faserzügen, welche nach ihrer Verlaufsrichtung den Wurzelhündeln der Vorder- und der Seitenhorngruppe zuzuweisen sind, finden sich grössere Mengen von radiär verlaufenden 
Bundeln, welche die Formatio reticularis durchsetzen, ohne jedoch 
die Oberfähert zu erreichen, Auch diese Faserbündel sind von Zugen 
von Neuroblasten begleitet, welche bis an die Gränze der weissen 
Substanz heran reichen können. Die Menge dieser radiären Faserund Zellenzüge ninmt im Allgemeinen von lanen nach Aussen hin 
ab, was den Schluss erlaubt, dass die betreffenden Nerven innerhalb 
der Formatio reticularis ihre Richtung ändern und in Längsbündel 
umbiegen.

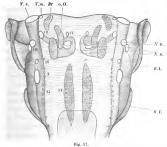
Die Formatio reticularis ist nach dem chen Gesagten von der Schicht der motorischen Kerne nicht scharf zu scheiden. Ihre Bestandtheile sind, ausser den eben beschriebenen, radiär gestellten Faser- und Zellenbindeln, solche Zuge, welche in Bogenlinien der Raphe zustreben. Auch bei diesen sind die Faserbahnen von gleichläufigen Neuroblasten begleitet. Radiäre und Bogenfasern bilden zusammen ein netzförmiges Flechtwerk, in dessen Maschenräumen die Querschnitte von feinen Lingsfasern sichtlar sind. Es besitzt somit die Formatio reticularis im Wescntlichen schon den Charakter, der in belieben zukommt. Blutgefässe und von Spongioblasten begleitete Gerüststrahlen durchsetzen das Mark in gleichfalls radiärer Richtung und es bedarf ofmals einer sorgfalligen Prüfung, um diese Bildungen von einander und von den Nervenbündeln zu unterscheiden.

Das Gebiet der lateralen Kerne bildet einen zellenreichen Complex, innerhalb dessen der Traetus solitarius eine natürliche Orientirungsmarke giebt. Wir können sonach die Massen nach ihrer Lage zum Traetus bezeichnen. Eine Scheidung der verschiedenen Kerne mit Ausnahme etwa der Substantia gelatinosa ist zur Zeit nicht undgilch, dagegen vermag man die Richtung festzustellen, nuch welcher die Fauer- und Zellenzüge in den verschiedenen Districten angeordnet siad. Das laterale Markgebiet zeigt im Allgemeinen zwei sich kreuzende Verlaufrichtungen von Zellen und Fasera, eine radürer und eine bogunfünige. Die in Bogunlien angeordnete Zellen finden sich aun reichtlichsten in der Strecke ventrafwärts vom Solitärtractus, und eis schliessen sich ohne bestimmte Gränze den gestreiften Massen des Olivenbezirkes an. Die radüren Züge gaben ühre Huptvertretung medialwärts vom Tractus, und während ein Theil derselben bis zur weissen Substauz ventralwärts vordrigt, verireren sich andere schon vorher in die Dicke des Markes. Im Bezirk lateratwärts vom Tractus zeigen die aus der Rautenlippe sich eutwickelnden Zellenscharen einen schrägen, evertrulsteralwärts gerichteten Verlauft, und sie convergiren gegen die Ecke, in welcher sich der Funiculus restiferns bildet.

Den Ausgangspunkt für die Betrachtung des Olivenbezirkes bildet die oben beschriebene Gränzplatte. Sie besteht aus Neuroblasten, welche, aus der Rautenlippe stammend, medialwärts bis zur Gränze des medialen weissen Substanzstreifens vorgerückt sind, und die hier halt gemacht haben. Gegen das weisse lauenfeld setzt sich die Platte verhältnissmässig scharf ab, wogegen ihre laterale Begränzung weniger scharf erscheint. Die Platte nimmt nändich an ihrer lateralen Fläche zahlreiche Zellenstreifen auf, welche im allgemeinen um so dichter und breiter sind, ie näher au der ventralen Markfläche sie liegen. Diese Olivenstreifen bilden mit der ventralen Markfläche sehr spitze Winkel, iudem ihr laterales Ende etwas weiter dorsalwärts zu reichen pflegt, als das mediale. Die ventrale Gränzplatte besteht da, wo sie deutlicher ausgebildet ist, aus einer Aufeinanderfolge verdickter Enden von schräg gerichteten Olivenstreifen, und in ihr wechseln daher von früh ab zellenreiche Schichten mit zellenarmen. Eine gleiche Schichtung macht sich auch an der Hauptplatte geltend. Lateralwärts reichen die Olivenstreifen bis in das Gebiet der Seitenkerne herein, ihr Verlauf ist ein gebogener und iu der Regel bestehen sie aus ie einem dichteren lateralen und medialen Abschnitt, zwischen welche sich ein helleres Mittelstück einschiebt. Die Gränzplatte und die Olivenstreifen bestehen aus Neuroblasten, deren Axencylinder medialwärts gerichtet sind. In der

Gränzplatte bilden dieselben eonisch angeordnete Gruppen, deren Faserbüschel dem Septum zustreben.

Die Granzplatte wird von den Hypoglossuswarzeln in schräger Richtung durchisetzt und zwar ziemlich weit lateralwärts. Insoweit die Hauptmasse der Platte medialwärts von diesen Nerven liegen bleibt, kann sie nur bei Bildung der medialen Nebenoliven Verwendung finden. Bei der Bildung der Hauptolive spielen die oben beschricbenen Olivenstreifen die Hauptrolle und es ist leicht zu sehen, dass zu Ende des Z. Monast das zur Olivenbildung dienende Zellenmaterial noch nicht vollständig an Ort und Stelle gebracht ist. Am Ende



Ventica Filchemanist des verificações Series e to Fabry Jr. Controctionable, Verge, 15.— Dis Kress voltice das de lorgapient, shore of lorga beste Problem 2 and bester and singuestica. The Seriescular verification singuitações, crists said die des Trottus internedios susperificados una la die F. restification superificados anglements adquestication for de K. rechnica politication, and and refugilies and lastes verification, and and the series of the seri

des 3. Monats dagegen erscheint die Olive bereits als gezackte Masse, mit ihrer offenen Stelle allerdings noch mehr dorsalwärts gerichtet als später. Ihre secundäre Drehung kommt durch die später auftretenden Pyramiden zu Stande.



Gleichzeitig mit der olivaren Gränzplatte bilden sich in einem hotgegegenen Abschnitte des Bautenhirns die obere Olive und innerhalb des Bruckengelietes ein zackiger Bruck ern, den wir als zackigen Bruck enkern bezeichnen können. Die Lage dieser beiden Kerne ist aus den Constructionsfiguren 5 und 17 zu entsehmen. Der obere Olivenkern liegt medialwärts vom Facialiskern, den er nach oben überragt (Taf. III). Der zackige Brückenkern steht etwas weiter lateralwärts als die beiden Olivenkern.

#### Gliederung der weissen Substanz.

Die weisse Substanzanlage bildet, auf dem Querschnitt betrachtet, einen im Winkel gebroehenen Bogen, welcher aus einem medialen, neben der Raphe liegenden und einem ventralen, die Oberflache einstumenden Schenkel besteht. Jenen bezeichne ich mit Fruxnis als kas innere Feld, diesen als die weisse Randzone des verlängerten Markes. Nach Abspaltung der secundären Rautenlippe kommt dazu noch ein kürzerer lateraler Schenkel, welcher vom Funiteulus restiformis eingenommen wird.

Flechsig 1) zerlegt nach den Beobachtungen am älteren Fötus sein inneres Feld in mehrere Unterabtheilungen, zunächst in die Vorderstrangreste und die Olivenzwischenschicht, und erstere theilt er wieder in die binteren Längsbündel und den Vorderstrangtheil der Formatio reticularis. Diese zwei, bez. drei Abschnitte des inneren weissen Feldes sind, wie die Vergleichung der verschiedenen Entwickelungsstufen ergiebt, nicht alle gleichzeitig aufgetreten. Zuerst hat sich der Theil gebildet, den man mit einem sehr unzweckmässigen Namen das hintere Längsbündel nennt. Wir sind diesem Feld schon bei Embryonen vom Beginn des 2. Monats begegnet, und wir haben es dort (S. 36) das primäre Vorderstrangfeld genannt. Dasselbe bildete einen Zwickel, welcher den Vorderhornwulst medialwärts umgriff, und es liess sich constatiren, dass das Feld, gleichwie im Rückenmark, Längsfasern enthält, welche das Vorderhorn der gegenüberliegenden Seite verlassen haben. Das primäre Vorderstrangfeld liegt im Raum zwischen

<sup>()</sup> No. 8, S. 332 und Taf, XI, Fig. 2.

der medianen Längsfurche der Rautengrube und dem motorischen Vorderhorn, und es wird sichtbar zu einer Zeit, da das Septum medullae noch sehr niedrig ist. Dieselbe eharakteristische Lage im einspringenden Winkel zwischen dem Hypoglossuskern und dem dorsalen Aufangstheile der Raphe kommt auch dem hinteren Längsbundel des entwickelten Markes zu.

Das Septum sowohl, als der zellenführende Bezirk der Grundplatte nehmen im Verlaufe des 2. Mouats an Tiefe erheiblich zu, und
damit gewinnt auch das zwischen beiden eingeschlossene innere
weisse Feld entsprechend an Ausdehnung. Dasselhe enthält ein Gerutst von verzweigten Bälkchen und es wird der Quere nach von
logenförmigen zur Ruphe tretenden Faserzügen durchsetzt. Im hinterra Längsbundel sind diese Faserzüge dunn, im übrigen Feld viel
stärker, und deren Zahl nimmt im gesamuten Innenfeld mit der Zeit
erheiblich zu. Die Tiefenzunahme des Septum beruht auf einer
Verlüngerung seiner Gerutsfäsern, womit auch eine Versehiebung einzelner kernhaltigen Zellenleiber einhergeht. Ebenso sind bei der
Dickenzunahme der Grundplatte die gerustbildenden Elemente in erster
Linie betheitigt und der durch deren Ausdehnung gewonnen Raum
wird weiterhin von den neu sich vorsehiebenden Zellen- und Faserzügen durchsetzt.

Die weisse Randzone hat je nach Ort und Entwickelungsstufe etwas verschiedene Breite. Im Allgemeinen beträgt diese zwischen 0.1 und 0.15 mm. Stellenweise dringen die Olivenstreifen so tief in dieselbe vor, dass sie als besondere Schicht kaum mehr vorhanden ist. Ausser dem spongiösen Gerüst enthält die Randzone vor Allem die Züge von gekreuzten Bogenfasern. Etwa von der Mitte des 2. Monats ab (Embryo CR Fig. 16), d. h. noch ehe die Olivenzellen in ihre Lage eingerückt sind, begegne ich, wie oben (S. 40) erwähnt wurde, Bündeln, welche von der Raphe aus zur freien ventralen Markfläche hinführen. Diese Faserhündel sind nach rückwärts durch die Raphe hindurch bis zwischen die Zellengruppen der andern Seite zu verfolgen, es sind somit solche, welche die Mittellinien bereits gekreuzt haben und welche auf dem Wege sind, lateralwärts weiter vorzudringen. Anfangs findet man diese gekreuzten Faserbundel in mässiger Zahl und sie laufen in einiger Entfernung von der Mittellinie an der ventralen Oberfläche aus. Zu Ende des 2. Monats

hat ihre Menge erheblich zugenommen, ein guter Theil derselben erreicht nunmehr als Guttelfasern die laterale Oberfläche des Markes und geht hier in den zu der Zeit auftretenden Funiculus restiformis über.

Im Maschenwerk zwischen den Gerüst- und den Bogenfasern der weissen Randzone finden sich vielfach zertheilte Bündel von feinen Längsfasern. Ihr Gebiet erstreckt sich von der Austrittslinie der Hypoglossuswurzeln seitwärts bis zu der Linie, längs deren die motorischen Seitenhornwurzeln, der Nn. accesorius, vagus und glossopharyngeus das Mark verlassen. Jenseits von dieser Linie treten compacte Stränge von Längsfasern auf, und zwar sind am Querschnitte zwei Hauptfelder "unterscheidbar, ein ventral- und ein lateralwärts gerichtetes. Das ventralwärts gerichtete Feld ist von abgeplattet ovaler Gestalt und es besteht aus drei oder vier, durch Bogenfasern unterbrochenen Schichten von groben Fasern, ich bezeichne dasselbe vorerst als Tractus intermedius. Dorsalwärts davon liegt die Subst, Rolandi als gedrängter Zellenhaufen, ventralwärts wird es von der Oberfläche durch einen Gürtel von Bogenfasern geschieden. Die motorischen Seitenwurzeln streifen den medialen Rand des Tractus intermedius, die sensibeln Wurzelbündel von Vagus und Glossopharyngeus halten sich an dessen lateralen Rand, treten indessen grossentheils noch durch den Tractus hindurch.

Der Tractus intermedius ist, soweit ich ihn bis jetzt verstehe, 
kein einheitliches Gehilde, Sein oberer Theil unfasst die aufsteigende Wurzel des N. trigeminus. Bei Embryo My ist der Tractus
von oben herab bis in die Höhe der unteren Vaguswurzeln zu verfolgen, und soweit indehte er wohl in der Zeit dem Trigeminus zuzutheilen sein. Bei Mr reicht derselbe bis in's Ruckenmark herab,
sein unterer Theil ist aber erheblich breiter als der obere, was nur
verständlich erscheint unter der Voraussetzung eines neu hinzukommenden Antheils. Der Lage nach ist an die Kleinhirnseitenstrangsbahn
zu denken, welche nach der Darstellung Fuscusse's lateralwärts von
der aufsteigenden Wurzel des Trigeminus und in unmittelbarer Berütung mit dieser sich entwickelt'). Ist diese Voraussetzung, die
der Prüfung durch weiteres Material bedarf, richtig, so besteht der

<sup>1:</sup> Flecusic No. 8, S. 325 and Taf. XX, Fig. 1.

Tractus intermedius aus der vom verlängerten Mark in's Rückenmark eindringenden Trigeminuswurzel und aus der vom Rückenmark asch dem verlängerten Mark sich ausbreitenden Kleinhirnseitenstrangbahn. Bei My ist von letzterer sicherlich noch nichts vorlanden.

Der Tractus intermedius wird von den oberflächlich verlaufenden Bogenfasern theils durchsetzt, theils überlagert. Diese gelangen jenseits davon in ein Feld, das man als das des Funiculus restiformis oder als Area restiformis bezeichnen kann. Dasselbe ist nur unscheinbar, so lange sich die secundäre Rautenlippe nicht abgelöst hat. Nach erfolgter Ablösung nimmt das Feld fast den ganzen Raum ein zwischen der Austrittslinie der äussersten sensibeln Fasern und der Abgangsstelle der Rautenlippe. Die Area restiformis bildet nunmehr einen etwas gebogenen, breiten Streifen, in dessen medioventrale Kante die Bogenfasern eintreten, während die dorsolaterale ein mehr oder minder abgerundetes Bündel von gröberen Longitudinalfasern umschliesst. Letzteres Bündel finde ich in seinen Anfängen schon bei My angelegt, aber nur im untersten, an das Rückenmark anstossenden Theil der Medulta oblongata. Schon in der Höhe der Vaguswurzeln fehlt das Bündel nebst den zu ihm hintretenden Bogenfasern. Dagegen zeigt sich dasselbe bei Mr bis zur oberen Gränze des verlängerten Markes, es ist erheblich mächtiger als zuvor und verliert seine scharfe Umgränzung in eben dem Maasse, als ihm neue Faserbündel aus den schräg sich umbiegenden Bogenfasern zuwachsen. Den Hauptzuwachs bilden die zum Theil sehr mächtigen Gürtelstränge, d. h. die Bündel von Bogenfasern, welche von der weissen Randzone oder von deren unmittelbarem Gränzgebiet aus in den Funiculus eintreten. Ein Theil dieser Bündel ist schon von der Mittellinie ab innerhalb der Randzone verlaufen, ein anderer Theil hat streckenweise die grane Substanz durchsetzt, und sein Gebiet reicht bis zur dorsalen Gränze des Olivenbezirkes. Da nun die Gürtelstränge zum überwiegenden Theil auf Olivenzellen der gegenüberliegenden Seite zurückführbar sind, so bestätigt sich die Auffassung MEYNERT'S 1), welcher zuerst gelehrt hat, dass die Corpora restiformia Fasern aus der gegenüberliegenden Olive beziehen.

Bei Fleenste No. 8., Taf. XX, Fig. 4 ist der Bezirk der Fasern, welche aus den Oliven und der Formalio reticularis abgeleitet werden, lateralwärts von

Weniger klar ist das Verhalten der Bogenfasern der tiefgelegenen Frimärbezirke der grauen Substanz: ein irgendwie ausgiebiger Übertritt solcher Fasern in den Funiculus restiformis ist nicht zu constatiren. Es ist möglich, dass ein solcher erst in Entwickelung begriffen ist, vielleicht gelangen indessen die gekreuzten tieferen Bogenfasern überhaupt nicht in die Funiculi restiformes, sondern biegen in Längsfasern um, oder sie erleiden noch vor Erreichung der Gränze der grauen Sutstanz ein anderes Endselichen.

#### Nervenkerne und Nervenwurzeln. Tractus solitarius.

Jene klare Übersichtlichkeit, mit welcher sich die Nervenkerne und Nervenwurzeln zu Ende des ersten Monats dargestellt haben, ist zu Ende des zweiten Monats nicht mehr vorhanden: die Menge der neu hinzugekommenen Zellen und Faserzüge hat die Einfachlieit des ursprünglichen Bildes aufgehoben, und noch fehlt das Moment, welches später die Erkennung der zusammengehörigen Zellengruppen erleichtert, ihre Zusammenfassung durch diehte Gerütstubstanzen. So ist una beim Studium der Nerenkerne vor allem daruuf angewiesen, die an der Oberfläche hervortretenden Wurzelbündel als Ausgangspunkt der Beobachtung zu nehmen und von diesen aus rücklänlig die zugebürigen Centren im Mark aufzusselchen?).

Der Austritt der Nervenwurzeln aus dem Mark, bez. deren Eintritt in dasselbe geschieht in drei Zeilen (Fig. 47):

in der Zeile der motorischen Vorderhornwurzeln,
- - - - Seitenhornwurzeln,
- - - - sensibeln Wurzeln.

der Kleinhirussitenstranghahn und oherflichtlicher als diese gezeichnet, nach den Ammerkungen im Text kommen jedoch auch Vermüschungen beider Bahen vor. Jedenfalls ist daraus zu entnehmen, dass die Arca resistermis zum grossen Theil noch ven der Kleishirussetenstranghahn mit Denutzt wird. Bei Embryo Jir ist letztere Bahn bichkens in ihren unteren, dem Tractus internedius angehörigen Theil vorhanden. Da die Fasern der Arca resistermis nur lose geschichtet sind, ist die Moglichkeit eines pachtigslichen Enderingens neuer Besandsteile verständlich.

 Ausser den oben aufgeführten Reihen von frontal geschnittenen Embryonen habe ich zur Ausarbeitung dieses Abschnittes die quergeschnittenen Embryonen Zie (18,5 mm NI), Lo (28,5 mm SSL) und die vorzügliche Sagittalreihe von FM (17,5 mm NI) henützt. Jede dieser Zeilen pflegt eine mehrfache zu sein, entsprechend der Zusammensetzung der Nerven aus versehiedenen Bündeln, welebe theils hinter einander, theils aber auch neben einander zur Überfläche treten. Die Zeilen der motorischen Vorder- und der Seitenhorn-wurzeln sind durch einen breiten Zwischenraum von einander geschieden, dagegen liegen die der letzteren und der sensiblen Wurzeln nahe beisammen, und sie eonvergiren nach abwärts, bis sie sich am unteren Ende des Yagusgebietes unmittelbar berühren. Der Tractus intermediut renat theilwiese die lateralen motorischen Wurzeln von den sensibeln. Letztere treten mit ihren Bündeln durch dessen laterale Iläftle hindurch, wahrend die motorischen Seitenhornwurzeln seinen medialen Rand streifen.

Von der Brückenkrümnung aus nach abwärts folgen sich in der mittleren Zeile die Bundel des N. abducens und die des N. hypoglossus. Jene, 6—8 an der Zahl, erscheinen in geringem Abstande hinter der Brückenkrümnung und treten in sehräger Bichtung nach vorn, um sich zu einem Stamm zu vereinigen. Zwischen den hintersten Abducens- und den vordersten Hypoglossusbundeln bleibt ein ziemlich langer, wurzelfreier Raum übrig. Der Hypoglossus gebt aus einer Reihe von Wurzelbäundeln hervor, die zunächst zu zwei, auf längere Entfernung getrennt bleibenden Stämmehen zusammentreten. Das Austritsseheit des Hypoglossus reicht his zum einspringenden Winkel der Narkenkrümmung. In unmittelbarem Ansehluss an die untersten Bündel dieses Nerven folgen die obersten des N. eervie. I. Die zwischen beiden Wurzelgebieten hindurchtretende A. vertebralis bezeichnet an Sagittalschnitten genau, was dem einen und deu anderen angehört.

Die Reibe der sotlichen motorischen Wurzeln beginnt oben mit der compact auftretenden kleinen Portion des Trigeminus, welelte sich gleich nach ihrem Freiwerden dem Ganglion Gasseri medialwärts anlagert. In einiger Entfernung davon, aber in derselben Fluebt legend, kommt der N. facialis mit mehreren sehr diechen Blundeln, dann folgt ein längerer leerer Zwischenraum, jenseits dessen die in den Glossopharyngeus übergehenden Bundel frei werden; ihre Austritisstelle fällt in die Höbe der obersten sensibeln Bundel dieses Nerven. Ebenso treten die in den Vagus übergehenden obersten Seitenhornwurzeln neben dem oberen Rande der sensibeln auf. Von da aus erstreckt sich eine fortlaufende Reihe hervortretender Bündel bis zum Ruckenmark herab, von denen die paar ersten direct in den Vagusstamm übergehen, während die nachfolgenden zum Accessorius sich sammeln.

Verfolgt man die aufgezählten motorischen Wurzeln in 's Mark hinein, so ergiebt sich Folgendes: Die Bundel des N. abd u.c.n. s. lassen sich zu Zellengruppen zurückverfolgen, welche gleich unter dem subventriculären Facialisstama liegen. Der hier befindliche Abducenskern ist indessen nicht scharf zu unugränzen, auch erstrecken sich längs der Wurzelbündel kleine Gruppen von Neuroblasten bis tief in die Formatio reticularis herein.

Der N. hypoglossus verhält sich ganz ähnlich wie der Abneens, auch seine Wurzelbündel sind zum Theil bis dicht unter die Lage der Ependymzellen, zu hier liegenden Neuroblastengruppen zu verfolgen, zum Theil aber stammen die Fusern aus solchen Zellen, welche in verschiedenen Tiefen der Fornatio reticularis, deren von Innen herkommenden Bündeln sich anlegen. Anch der Hypoglossuskern bildet noch keine abgeschlossene Masse, die ihm angehörigen Zellengruppen liegen zerstreut und durch zellenarme Zwischenfelder von einander getreant.

Von den Seitenhorrnerven kommt der motorische Trigenin us zunätehst aus einem dreikantigen Zellenhaufen, welcher gleich diesseits von der Brückenkrümmung seinen Anfang ninmt und der unter deu Boden der Rautengrube am Randtheil der Grundplatte gelegen ist. Der Zellenhaufen verlängert sich nachweisbar in das Brückengebiet blinein, allein ich vernag nicht zu erkennen, wie weit herauf man von einem Trigeminuskern reden darf, und auch über das Verlaulten der absteigenden Wurzel gewähren meine Präparate keine entscheidenden Auschauungen.

Der N. facialis tritt mit nehreren compacten Bündeln zur Dierfläche und behauptet den Charakter eines geschlossenen Stammes in seinem gesammten subventrieulären Theile, d. h. in der Strecke, welche neben der Mittellinie liegt, im Knie selber und in dem lateralwärts laufenden Querstück. Dagegen bilden die aus dem Kern zum Ventrikelboden heraufsteigenden Wurzeln keine gröberen Bündel, sondern sie treten vereinzelt unter die Ventrikelfläche. Der Kern des Facialis ist ziemlich bestimmt umgränzt, er überragt nach oben nur um Weniges die Höhe des subventriculären Querstücks, nach unten hört er in der Höhe der ersten austretenden Glossopharyngeuswurzeln auf. Ventralwärts reicht er bis unweit vom Rand der Formatio reticularis, medialwärts von seiner oberen Hälfte liegt der Kern der oberen Olive, lateralwärts davon die austretenden Facialisbundel und ein daneben belindlicher Zellenhaufen, der (Taf. III) zur Substantia zedatinoss zehört.

Die Kerne der motorischen Wurzeln von Gloss op har yngeus, y agus und Accessorius liegeu gleich dem motorischen Trigeminuskern unter und etwas medialwarts von der Rinne, welche am Boden der Rautengrube die Flügel- von der Grundplatte scheidet. Auch diese Kerne bilden keine zusamnenhängenden Massen, sondern bestehen aus kleinen, mehr oder minder bestimmt umsehriebenen Zellenbanfen, von denen einige auf dem Querschnitt eine dreieckige Grundform darbieten.

Das Verhalten der in das Mark eintretenden sens ibel n. Wurzeln ist am besten an Sagittalschnitten zu studiren, obwohl auch diese keine nach allen Richtungen hin entscheidenden Anschaunagen geben. Jeder der drei sensibeln Nerven, der Trigeminus, Glossopharyngeus und Vagus geben einen starken Complex von Fasern an und Vagus geben einen starken Complex von Fasern an bei dem Ruckeumark zustrebende sog, aufsteigende Wurzel ab'). Die aufsteigende Wurzel des erstgenannten Norven verlänft im Tractus

<sup>1)</sup> Den Ausdruck »aufsteigende Wurzel« habe ich in dieser und in früheren Arbeiten beibehalten, der Sinn jedoch, den ich mit dem Wert verbinde, ist ein anderer als der ursprünglich gemeinte. Caanke und Meinent, die meines Wissens zuerst ven aufsteigenden Glossepharvngeus-, Vagus- und Trigeminuswurzeln gesprinchen baben, sind von der Voraussetzung ausgegangen, dass diese Wurzeln in tiefer liegenden Abschnitten des Centralorganes entspringen und ven da aus in aufsteigender Richtung ihre Austrittsstelle erreichen. Diese Auffassung haben auch die späteren Forscher getheilt und sie haben beim Gebrauch der Bezeichnung einer anfsteigenden Wurzel« ganz allgemein die Verlaufsrichtung des intermedullar gelegenen Wurzelstückes im Auge gehabt. Nun wachsen aber die Wurzeln der oben genannten Nerveu von den Gauglien aus in's Gehirn hereiu und von da aus in der Richtung des Rückenmarkes weiter. Es wäre daher gerechtfertigt gewesen, die bisherige Bezeichnung in die von absteigenden Wurzeln« umzukehren. Ich habe mich bierzu nicht entschliessen köunen, weil Ich befürchten musste, dadurch Verwirrung zu schaffen. Es kann auch die bisberige Bezeichnung sehr wohl beibehalten werden, nur haben wir das Wert »aufsteigend«, anstatt auf die intramedullare, auf die zwischen Ganglien und Gehirn gelegene, extramedullare Strecke

intermedius, die von Glossopharyngeus und Vagus treten in den Tractus solitarius, ausserdem aber gehen von diesen Nerven auch starke Bandel nach anderen, z. Th. entgegengesetzten Richtungen ab, ebenso laufen die Fasern des N. acusticus nach ihrem Eintritt in's Mark nach vüllig verschiedenen Richtungen auseinander. Dies Ausseinanderstrahlen der in das Mark eintretenden Nerven erscheint in einem neuen Licht, seitdem wir durch Ravor v Cala wissen, dass die das Bückenmark eintretenden sensibeln Fasern sich theilen und dass jeder ihrer Theilzweige feine Collateraläste nach der grauen Substanz entsendet. Dies gilt, wie Kollings gezeigt lat, auch für die Nn. Trigeminus, Glossopharyngeus und Vagus.

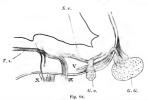
Es muss monographischen Arbeiten vorbehalten bleiben, für jeden dieser Nerven die genaue Endigungsweise festustellen und die nachfolgenden Bemerkungen können sich nur auf das gröbere Verhalten derselben unmittelbar nach ihren Eintritt in's Mark beziehen.

N. trigeminus. Wie alle Nerven, die aus umfänglichen Ganglien kommen, so besteht auch der N. trigeminus in seinem Wurzelstück aus Bündeln von gekreuztem Verlauf, hintere Bündel treten nach vorn, vordere nach rückwärts, mediale Bündel lateralwärts, laterale medialwärts. Weitaus die Hauptmasse der Fasern wendet sich kurz nach ihrem Eintritte in's Mark spinalwärts und geht in die aufsteigende Wurzel über. Diese besteht aus drei his vier flachen Bündeln, welche aus dem vorderen Theil des Ganglion hervorkommen und, unter einem rechten Winkel umbiegend, nahe an der Oberfläche ihren Weg nehmen. Die Bündel divergiren etwas gegen die Eintrittsstelle des N. vestibuli hin, dann treten sie wieder näher zusammen, in der Folge kreuzen sie sich noch mit den sensibeln Bündeln des Glossopharyngeus und des Vagus. Das untere Ende der aufsteigenden Trigeminuswurzel ist schwer zu bestimmen, weil die vom Rückenmark herkommende Kleinhirnseitenstrangbabn sich an sie anlagert. Der oben beschriebene Tractus intermedius besteht anfangs nur aus der aufsteigenden Trigeminuswurzel, später umfasst er

zu beziehen. In dem Sinn können wir auch die Wurzeln des N. olfactorius und den N. opticus als »austeigend« bezeichnen, Gleichbedeutend mit der Bezeichnung einer »aufsteigenden Wurzel« 1st diejenige einer »Hinterstrangbildung« des Gebirns (man vergl. No. 1, S. 376).

die beiden in entgegengsetzter Richtung zusammentreffenden Bidungen. Zwischen den Bundeln des Stranges und mediodorsalwärts von ihm finden sich dichter gehäuße kleine Zellen als Anlage der Substantia gelatinosa. Vou aussen her werden die Bundel von den in den Funiculus restiformis übergehenden Bogenfasern umgriffen. (Man vergl. auch Taf. II bis IV.)

Noch schwieriger zu entwirren sind die Verhältnisse der übrigen in das Mark eindringenden Wurzelbündel des Trigeminus. Der medialste Abschnitt der Wurzel wird von starken Bündeln eingenommen, welche aus dem dritten Aste stammen und nach ihrem weit vorn erfolgenden Eintritt die Richtung nach dem Ventrikelboden einschlagen. Diese Bündel sind wohl durchweg der motorischen Por-



Svilicher Sagittalechnitt derch das vedlingsets Mark der Swichenti, Endrys P.K. Die Figur ist ein erreinfache ter Ansrug der in Tat. IF mitgebridten Erhotsprache und ich verweise und die Erkläung jeuer Teilelle. 6. 6. danglion Gaszeri, G. s. danglion vestiball, S. s. Nerma ventiball, gablig eich spalltand, Z. s. Tractes solitaries, Y. N. teipenfams, H. Glessopharrygen, S. N. wagen, S. N. serva

tion des Nerven zuzuweisen. Dagegen gieht der laterale Theil der Wurzel zahlreiche Bundel, welche am Tractus intermedius vorbei tiefer in's Mark eindringen, dann aber die Schnittebene verlassen. Weiterbin zeigen die am meisten lateral gelegenen Sagittalschnitte schon sehr starke Langsblindel, welche eine Strecke weit cerebralwärts verlaufen, und dieselhen Bundel sind auch an solchen Schnitten leicht wieder zu finden, welche den Bruckentheil des Rautenhirms flach treffen. Sie stammen aus den medial gelegenen Abschnitten des Ganglions, nehmen aber infolge ihres schrägen Verlaufes die Seitenhaltte des Eintritisfeldes ein. Diese Fasern kommen in schräger Richtung mit denen des Funiculus restiformis zusammen. Ihre Verlaufsrichtung macht wahrscheinlich, dass sie in's Cerebellum eindringen, immerhin vermag ich hiefür noch keine bestimmten Belege beizubringen.

Die beiden Stämme des N. neustieus treten in gekrenzter Richtung an das Mark heran 1) und nehmen in bekannter Weise den Funiculus restiformis zwischen sieh. Der N. vestibuli, etwas über dem N. cochleae und medialwarts vom Enniculus restiformis eintretend, ist von den Bündeln des Tractus intermedins theilweise noch durchwachsen. Dann wendet er sich in leichtem Bogen dorsalund etwas medialwärts, oline indessen den Boden des Ventrikels zu erreichen. Sagittalschnitte zeigen, dass der N. vestibnli in zwei schwalbenschwanzförnig auseinander weichende dicke Bündel zerfällt, das eine derselben wendet sich cerebralwärts und ist über den Bündeln des Tractus intermedius hinweg bis in die Höhe des Trigeminuseintritts zu verfolgen, dann löst es sich auf und seine Theilstücke verlieren sich zwischen den Zellengruppen dieser Gegend. Das zweite Bündel verläuft suinalwärts und zwar in schräg dorsal ansteigender Richtang. Auch dieses Bitadel zerfällt weiterhin in auchrere Theilstücke. Theile desselben lagern sich unzweifelhaft dem Traetus solitarius an, da wo dieser aus den eintretenden Glossopharvngeusbundeln seinen Anfang nimmt. An Querschnitten zeigt sich der hintere Abschnitt des N. vestibuli als flaches Bündel, welches von der Eintrittsstelle dieses Nerven ab bis zu derjenigen des N. glossopharyngeus verfolgbar ist, allmählich schwächer werdend und seine bestimmte Umgranzung verlierend.

Der N. coch leac magreiß im Bogen den Funiedus restiformis und dringt, zwischen diesem und der Bautenlippe hindurch, als geschlossener Stamm bis unter die Ependymschieht des Ventrikelbodens, hier breiten sich seine Fasern unch verschiedenen Richtungen auseinander, indem sie den letztern als Tuberculum ensticum hugelartig emporvoliben. Der Eintrittstheil des Cochlearnerven wird von Zellenstreifen der Rautenlippe durchsetzt, welche bis ventralwärts vom Fanicalus restiformis vordringen<sup>5</sup>).

<sup>1)</sup> Hierüber zu vergleichen die Abhandlung meines Sohnes No. 10, S. 10, ff.

<sup>2)</sup> Abgebildet ebendaselbst Fig. 18,

Die cerebralen Fasern der Portio intermedia scheinen sich den rückläufigen Fasern des N. vestibuli anzuschliessen.

Der N. glossopharyngeus tritt mit seinen Bündehn durch die laterale Hälfte des Tractus intermedius und die darauf folgenden Zellenschichten hindurch in den Tractus solitarius ein. Dieser ist anfangs schmal, ninmt aber dann an Breite zu und wird durch hindurchiretende Markstrahlen in mehrere nebeneinander liegende Bündel zerdegt. Beim vierwöchendlichen Embryo wur der Tractus noch sehr kurz gewesen), dann aber hat er sich rasch verlängert und sehon von der 6. Woche reicht er bis in das Ruckenmark herab. Am Schluss des 2. Monats lässt er sich als zusammenhängendes Bündel noch ein gutes Stück über die Nackenkrummung hinaus verfolgen und geht dann seitwärts in die Längsbundel des Ruckenmarkes über.

Die Vagus bundel treten auch ihrerseits bis zum Tractus soliarius herauf und biegen in demselben um. Dies Verhalten ist seit Rolles 3, Arbeiten in Abrede gestellt und der Tractus solitarius nur dem Glossopharyngeus zugetheilt worden. Sagittalschnitte von Embryonen lassen indessen nicht den geringsten Zweifel am Übergang von Vagusblundeln in den Strang.

Sowohl die Wurzelbündel des Glossopharyngeus als die des Vagus entsenden ausser den in den Tractus eingehenden Fasern auch solche, welche andere Richtungen einschlagen. Mit der Annaherung an den Tractus zerfallen nämlich die einzelnen Bundel in einen stärkeren, in den Tractus einlenkenden Theil und in einen zweiten schwächeren, dessen Fasern den Tractus überschreiten und sieh zwisehen den Zellen am Boden der Rautengrube verlieren.

## Rückblick auf den zeitlichen Ablauf der Markentwickelung.

Das Studium der Markentwickelung lehrt uns in der Zeit einen für die Beurtheilung des Markbaues äusserst wichtigen Factor kennen.

Abhandl, d. K. S. Gerollech, d. Wissensch, XXIX.

<sup>4)</sup> No. I, S. 374 und Taf. I u. II, Fig. 1 u. 4.

ROLLER im Archiv f. mikr. Anat. Bd. XIX (No. 12), man vergl. auch die unter Hitzie's Leitung geschriebene Dissertation von Böttigen, No. 12.

In einem jeden seiner Ouerschnitte enthält das verlängerte Mark Bestandtheile, die von früh ab vorhanden gewesen und solche, die erst später hinzugekommen sind. Die letztern hinwiederum können in ganz verschiedenen Perioden im Ouerschnitte erschienen sein, sei es, dass die betreffenden Zellen und Fasern sich erst später gebildet und ausgebreitet haben, sei es dass Faserzüge grössere Strecken durchmessen mussten, ehe sie den Ort des Ouerschnittes erreichen konnten. Neu hinzutretende Theile können sich, soweit dies der Raum erlaubt, zwischen bereits vorhandene eindrängen, noch häufiger aber lagern sie sich den letztern von Aussen her auf. Es besteht somit eine streng gesetzmässige Beziehung zwischen der zeitlichen Reihenfolge, nach welcher die Theile eines Markdurchschnittes auftreten und ihrer topographischen Auordnung. Diese Beziehung geht soweit, dass wir aus der Lagerung eines Theiles auf den relativen Zeitpunkt seiner Entwickelung schliessen können und umgekehrt. Für das verlängerte Mark lässt sich im Allgemeinen der Satz aussprechen, dass die Theile eines Ouerschnittes um so früher vorhanden gewesen sind, ie näher sie dem Ventrikel liegen, und umgekehrt, dass die zuletzt auftretenden Theile die oberflächlichsten Lagen einnebmen.

Am frühesten sondert sich die Schicht von Spongioblasten, welche wir oben als Ependymzellen bezeichnet hatten, oder das sog. Ventrikelepithel. Die Fortstitze dieser Spongioblasten durchsetzen das Mark in radürer Richtung und nach seiner jeweiligen Dicke. Wähend geraumer Zeit wichst das von ihnen gehildete Genst durch successive Längenzunahme der einzelnen Balken, und dem Auftreten neuer nervöser Schichten des Markes geht stets die Bildung des zu ihrer Aufnahme bestimmten Gerstslagers voraus.

Wie die Ependynzellen zuerst sich ausbilden, so hört auch bei hinen der Nachschub neuer Elemente zuerst auf, oder mit andern Worten beschränkt sich die Entwickelung neuer Spongioblasten auf einen kurzen und sehr frühen Zoitraum. Am Ende der 5. Woche beobachte ich noch unzweifehalte Kenrvennehrungen innerhalb von Ependymzellen, später sind mir ähnliche Bilder nicht mehr begegnet. Die Bildung neuer Nervenzellen halt dagegen bis zum Schluss des 2. Monats an.

Auf die Bildung der Spongioblastenlager folgt der Zeit nach die Ausscheidung jener Neuroblastengruppen, welche die motorischeu Kerne zu liefern haben. Diese Gruppen liegen anfangs fast alle nale an der freien Oberfläche des Markes und entsenden ihre Fasern auf kurzestem Wege über diese hinaus. Nur die Fasern des N. Facialis und die des Trochlearis machen eine Ausnahme von dieser Regel. Allein auch sie treten sehr frübzeitig auf, und so erscheint es als durebgreifendes Entwickelungsgesetz, dass von allen aus Markneuroblasten stammenden Nervenfasern nur die zu allererst entstehenden frei werden können. Alle Fasern späterer Bildung sind darauf angewiesen, ihre Bahnen internneutlalter zu suchen.

Fast gleichzeitig mit den ersten motorischen Wurzeln entwickeln sich die ersten Systeme von Bogenfasern. Von den dorsalen Abschnitten des Markes ausgehend, wachsen dieselben ventralwärts aus, um entweder die Mittellinie zu überschreiten, oder um auf derselben Seite in Längsbündel überzugehen. Die zuerst auftretenden Bogenfasern durchsetzen noch grossentheils die motorischen Kerne, oder sie verlaufen selbst nach einwärts von ihnen. In der Folge nimmt indessen immer mehr die Menge derjenigen Bündel zu, welche die Kerne von Aussen her umgreifen und die somit die Bildung der eigentlichen Formatio reticularis einleiten. Diese Bündel sind im Allgemeinen kräftiger, als die zuerst aufgetretenen. Sie stammen urspringlich durchweg aus Zellen der Flügelplatte, aber mit den Faserbündeln rücken auch die einzelnen Neuroblasten medialwärts vor. Bogenfasern und Bogenzellen kreuzen sich mit Fasern und Zellen. welche in radiarer Richtung aus der Innenschicht der Grundplatte hervordringen, und so wandelt sich durch die Vermengung der aus verschiedenen Ouellen kommenden Elemente der ventrale Abschnitt der primären Grundplatte zur Netzsubstanz um.

Die ersten Bogenfasern der grauen Substanz sind sehon lange vor Bildung und Vervachsung der Rautenlippe vorhanden [Fig. 13). Zeitlich gliedert sich somit die graue Substanz in drei sich folgende, allerdings unscharf von einander gesonderte Schichten: die der Ependymzellen, die der motorischen Kerne und die der relieularen Substanz. Dieselben liegen gemäss der Polge ihrer Enstehung, die innerste ist die zuerst, die äusserste die zuletzt gebildete. Der Tractus solitarius ist noch völlig ausserhalb der grauen Substanz jensetis vom lateralen Ende der primären Formatio refeluatra.

Nunmehr folgt nach Verwachsung der Rautenlippe die Bildung

jenes den Tractus solitarius von aussen umwachsenden Zellenstromes, aus welchem, wie wir oben sahen, der Complex der Olivenkerne sich zu bilden hat. Rasch nimmt die Breite dieses Stromes zu und damit gleichzeitig die Zahl der Faserbundel, welche die Richtung nach der Mittelbehene hin einschlagen. Das innere weisse Feld wird von den Faserbündeln wie von Leitersprossen durchsetzt. Wo num bei jüngern Embryonen deren nur 4-6 zühlen konnte, da finden sich deren später 10-12 und schliesslich gegen Ende des 2. Monats 20-30. Die innersten Sprossen sind die zuerst, die äussersten die zuletzt entstandenen, und es giebt die Reihenfolge derselben unmittelbaren Aufselbuss über deren relatives Alter.

Der hier ausgesprochene Satz ergiebt sich ans der primären Anordnung der sich entwickelnden Faserzüge. Schon vor Bildung der Rautenlippe und ebenso in der nachfolgenden Zeit erscheinen alle der Raphe zuwachsenden Faserbündel medioventralwärts gerichtet. Sie verlaufen mit ihren medialen Enden näher an der Oberfläche. als mit den lateralen (Fig. 13, 14 und 15). Die oberflächlicher liegenden Neuroblasten senden ihre Fasern zunächst in die weisse Randschicht und nur mittelbar, durch kurze oder längere Strecken von dieser hindurch, zum Innenfeld und zur Raphe. Gemäss dem Vorhandensein der ventralen Mittelfurche erfahren sie dann beim Eintritt in die Raphe mehr oder minder ausgiebige Verbiegungen. Die in einem gegebenen Zeitpunkt äussersten Bogenfasern des Innenfeldes und der Raphe bleiben dies nicht lange, denn sie werden bald von anderen, von der Seite her kommenden Bündeln überlagert. Bei Embryonen der 5. und 6. Woche beobachtet man zahlreiche Bündel, welche in der Nähe der Oberfläche, medioventral gerichtet, auslaufen. Dieselben bestehen aus Fasern, welche auf dem Weg zu ihrem Ziel begriffen sind, dasselbe aber noch nicht erreicht haben. Von diesen im Vordringen begriffenen Bündeln erreichen aber jeweilen die niehr lateralwärts auslanfenden die Mitte später, als die medial davon endigenden, und sie haben ihren Weg an deren äusserer Seite vorbei zu nehmen.

Die auf kürzere oder längere Strecke in der weissen Randschicht verhaufenden Bogenfasern werden in der Folge in die grane Substanz mit aufgenommen, indem sie von Zellenmassen eingeholt werden, welche, sei es von der Grund-, sei es von der Flugelplatte abstammen. Die graue Masse der Grundplatte wüchst nämlich auf Kosten der weissen Randschicht, indem sie ihre Elemente immer tiefer in diese vorsehiebt. Vorübergehend kann die weisse Randsehicht beinahe vollständig verbraucht erseheinen.

Für das innere Feld ergiebt sich nach dem früher Gesagten die Lagerungsweise der einzelnen Abtheilungen genau nach der zeitlichen Reihenfolge der Bildung, zuerst entsteht der primäre Vorderstrang oder das hintere Längsbündel, dann Flecusie's Vorderstrangtheil der Formatio reticularis, die Substantia reticularis alba neuerer Autoren. Diese ist ebenso, wie die intermediäre Retieulärschicht der grauen Substanz aus der urspritnglichen Anlage der Grundplatte hervorgegangen. Mit den Olivenkernen tritt sodann die Olivenzwischenschicht auf, und in einer sehr viel späteren Zeit folgen die Pyramiden. Am Ende des 2. Monats ist noch nicht einmal das Lager für die letzteren vorhanden. Die an die ventrale Mittelfurche anstossende Eeke der weissen Randzonc erscheint als der Ort, wo wir die Pyramiden zu suchen haben. Allein zu der Zeit finden wir dies Gebiet von reichliehen und dichten Zügen von Bogenfasern durchsetzt, wie sie in einer nachfolgenden Periode nur noch dorsalwärts von den Pyramiden vorhanden sind. Sind dann endlich die ersten Pyramidenbündel angelegt, so zeigen sie sich an ihrer ventralen Fläche nackt. Noch später als die Pyramiden und als allerletzte Bildung treten die die Pyramiden umfassenden äusseren Gürtelfasern auf.

Innerhalb des inneren weissen Feldes hildet sich durchweg das Gernst vor den Lingsfassern. Letztere scheinen aber in derselben Reihenfolge wie dieses aufzutreten. So finde ich z. B. bei Embryo My die ventrale Baltle des inneren Feldes noch ansecheinend frei von Längsfassern, indessen das Gerüst sich selom scharf vom durchsichtigen Grunde abbehl. Bei Mr dagegen euthält auch die ventrale Bläfte des Innenfeldes Längsfassern. Allerdings liegen sie hier noch minder dieht als in den littleren Längsbündeln, und das innere Felderscheint daher, bei sehwacher Vergrösserung geselben, durchsichtiger als das aussere.

Besonders beachtenswerth erscheint die Stellung der aufsteigenden Trigeminuswurzel. Zur Zeit ihres ersten Auftretens lagert sich die Wurzel, gleich den Wurzeln von Glossopharyngeus und Vagus,

dem Medullarrohr üusserlich an <sup>9</sup>). Diese Anlagerung geschielt für alle der Nerven in derselben Längszone, nämlich etwas dorsalwärts von der Seitenkante des Marks. Eine entpsrechende Lagerung zeigen auch die sensibeln Wurzeln der Rumpfnerven bei ihrem llerantreten an das Rückenmark. Während aber diese zu einer einbeiltichen Bildung, dem primären llinterstrang sich vereinigen, treffen im verlangerten Mark der den Glossopharyngeus und Vagus aufnehmende Tractus solitarius und der Tractus Trigeminus nicht zusammen, sondern sie bleiben durch einen breiten Zwischenraum von einander gesehieden.

Das Verhalten wird verständlich, so wie man sich davon Rechenschaft giebt, dass das Auswachsen der Nervenfasern mit einer gewissen Langsamkeit vor sich geht. Der Trigeminus erreicht das Mark erheblich weiter oben, als die Nn. glossopharvngeus und vagus, er braucht somit eine gewisse Zeit, um in das Niveau der letztern zu gelangen. Eine Verbindung seiner aufsteigenden Wurzel mit dem Tractus solitarius wäre möglich gewesen, wenn die Begegnung beider Bildungen vor Umlegung der Rautenlippe erfolgt wäre. Indem aber letztere den Tractus solitarius vor Anlangen des Trigeminus umgriffen hat, ist die Mögliehkeit einer Verbindung abgeschnitten worden und der letztere Nerv musste seinen Weg an der Aussenfläche der von der Rautenlippe gelieferten Zellenmassen vorbei nehmen. Die aus den Olivenkernen stammenden Gürtelfasern kommen zum Theil noch später als die Trigeminuswurzel an der betreffenden Stelle an und gehen daher an dieser vorbei in den gleichfalls oberflächlich sich anlegenden Funiculus restiformis über.

In einer späteren Arbeit gedenke ich die Geschiehte von Kleinhirn und Brueke zu geben, und da wird ich auch am letzteren Organ zeigen, wie uns das Princip vom sehichtenweisen Aufbau der Theile für deren Verständniss einen sicheren Schlüssel gewährt.

<sup>1)</sup> No. 1, S. 364, Fig. 21.

# Nachtrag.

Seit Abschluss obiger Arbeit ist mir durch die Güte von Hern Collegen J. Kotaxax in Basel ein in Schnitto zerlegter menschlicher Enbryo von 17 mm NI geschenkt worden (Embryo Bury oder Bu). Conservation des Embryo und Schnitte sind trefflich, die Entwickehungsstafe ist in meinen bisberigen Schnittreiben ungenügend vertreten gewesen, und so habe ich an diesem neuen Material eine Anzahl von ergänzenden Beobachtungen machen können. Folgende Punkte scheinen mir der besonderen Anfahrung werth zu sein:

- 4) Die aufsteigende Wurzel des N. trigeminus ist noch kurz, ihre Bündel sind bis in die Höhe des N. acusticus nachzuweisen, in der des N. glossopharyngeus sind keine mehr vorhanden.
- 2) Der N. vostibuli geht medullarwärts in eine schräge Faserplatte über, welche sich durch eine Reihe von Schnitten lindurch verfolgen lässt und die schliesslich die dorsolaterale Seite des vom N. glossopharyngeus ausgehenden Tractus solitarius erreicht.
- 3) Medialwärts vom N. vestibuli, zwischen ihm und den untersten Bündeln des N. facialis, tritt der N. Wrisbergi vom Knieganglion aus als selbstständiges Bündel in das Mark. Das Bündel ist durch seine compacte Beschalfenheit und seine groben Faserbündel charakterisirt, und es verläuft, dem medialen Rand der Acusticusphatte folgend, spinalwärts, dann erreicht es den eintretenden N. glossopharygeus und schliesst sich demselben bei seinem Übergang in den Tractus solitarius an. Es kommt somit innerhalb des Markes u einer Zusammenfassung der Geschmacksnerven der vorderen und hinteren Zungenhälfte. Jene sind in dem N. Wrisbergi, bez. in der Chorda tympani, diese in dem N. glossopharyngeus enthalten.
- 4) Die von der festgewachsenen Rautenlippe ausgehenden Zellenmassen sind zu einzelnen Olivenstreifen angeordnet, dagegen existirt noch keine der Mittelebene zugekehrte olivare Gränzplatte.
- Entsprechend der wenig fortgeschrittenen Entwickelung der Olivenanlagen fehlt noch jede Spur eines Funiculus restiformis.

#### Citirte Litteratur.

- W. Ilis, Zur Geschichte des Gehirns. Abb. der K. S. Ges. d. Wissensch., phys. math. Abth. 1888, Bd. XIV, No. VII.
- 2) W. Braune, Atlas der inpogr. Anatumie. 3. Aufl. Leipzig 1888.
- 3) W. Walderer, Mediauschnitt einer Hochschwangeren. Bonn 4886.
- 4) G. Schwalbe, Lehrbuch der Neurolngie. Erlangen 1881.
- B. STILLING, Über den Bau der Medulla ablingsta. Erlangen 1843.
   W. KRAUSE, Handbuch der menschl. Anatomic, Hannover 1876 und 1879.
- 7) Mentert, Vom Gehirn der Säugelbiere in Stricken's Hdb. der Gewebelehre. Leinzig 1872. Bd. II.
- 8) P. Flechsig, Die Leitungsbahnen im Gehirn und Rückenmark. Leipzig 1876.
- W. His, Die Neuroblasten und ihre Entstehung im umbryonalen Mark. Abh. d. K. S. G. d. Wissensch, Leipzig 1889.
- 10) W. His jun., Zur Entwickelungsgesch. des Acustico-Facialisgebietes. Archiv für Anat. u. Phys., anat. Abtb. 1889, Suppl. S. 1.
- 11) RILLER, Archiv für mikr. Anat. Bd. XIX. Der centrale Verlauf des N. glossn-pharyngeus.
- 42) Воттибев, Beitrag zur Lehre van den chron. pragr. Augenmuskellähmungen und zur feinern Hirnanatamie. Archiv f. Psychiatrie, Bd. XXII.
- 13) Bradach, Vnm Bau und Leben des Gehirus. Leipzig 1822. Bd. II.
- 14 REIGHERT, Der Bau des menschl. Gehirns, Leipzig 1859.

## Erklärung der Tafeln I-IV.

Taf. I. Sagittalschnitt des Twöchendt, menschl. Embryo F.M. Vergr. (6. —
Der Schnitt liege aube an der Mittelcheen um dezigt die verschiedenen Archerinmungen des Hirrorbres, die Nackonkrümmung, die Brückenkrümmung, die sentrale
Ambiegung des Isalmuns, die hintere und die vordere Scheitelkrümmung. Nahe
an der Basis des verlängerten Markes sind die untere und die obere Olite als
ande Streifen siehtburs. Aut Vorderktur zeigt der Boden zwei iste für zu Basis
herabreichende Spalten, den Recessus infundbulti und Rec. opticus. Über dem
ersteren wählt sich das Corpus mannulibre gegen die Statielspalte vor. Vor dem
Recessus opticus liegen zwei Buchten mit Irreiterem Eingung, von denen die vordere bakenfüring zurückgebogen ist. Es sind dies die Höhlungen des hinteren
und des vorderen Riechluppens. Das zurückgebogene Eude des vordern Riechluspens ist der Bulbus officierins

Taf. II. Querschnitt durch das verlängerte Mark (Vagustheil) des 8wochentl. Embryo Mr. Vergr. 42. Zu vergleichen die Darstellung im Text S. 49 u. ff.

Td. III. Querschnitt durch das verlingsrett Mork desselhen Enabryo Grünze szischen Acusticasthei und Rastorberrijel. Vergr. 3.1. Ama sicht unter dem Boden des Ventrisels beiderseits den N. facialis sie getogenen hellen Streifen lateralwärst tenden. Links it der aus seinem Gangion hervortenden N. esteiholi eine Streick weit in das Mark verfolghar, dann verlieren sich die Bindel plützlich, indem sie des Schnittebene verlassen. Lateralwärst vom N. vestibull liget quergetroffen der Funication restifornis. Die aufstelgende Trigenniuswurzel, auf Td. II als flaches Band sieltlars, ersteihein hel Td. III vom N. vestibull durche-schnitten, ein Theil fürer Faserbindel liget noch medialwärts von diesem Nerven. Dorsalwärts dawn being als damkler Fleck die Substantia gelations, sie wird vom N. facialis medialwärts gestrefth. Der auf die Subst. gelations folgende etwas anfgelockerte Kern der oberen Olive. Der Facialiskern seht vom ventralen Markrand etwas weiter ab als die Subst. gelations der Olive.

Taf. IV. Seitlicher Sagittalschmit durch den Kopf von Endreyo F.R. Vergr. 21. 1

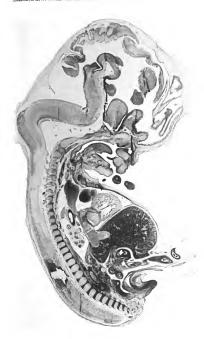
For Schmit endlich einen Theil der Medults obtongst und das Gebelt der Rautenbreite. Vor und etwas unterhalb von der Brickenkrümmung liegt das breite
Ganglion Gassert. Von den oberstene aus ihm hervorkommenden Fassern sieht zun
zwei Bündel medultarwirts umbiegen. Dieselben verlaufen sohe am basiltzen
zwei Bündel medultarwirts umbiegen. Dieselben verlaufen sohe am basiltzen
swei Barnten auf der Schaffen der Schaffen des Schaffen des Schaffen des Schaffen über, welcher von da ab bis zum hinteren
fand des Schaffen verfeighen ist. Bis über den Vagssehritti hinnen zeitgl diesersen

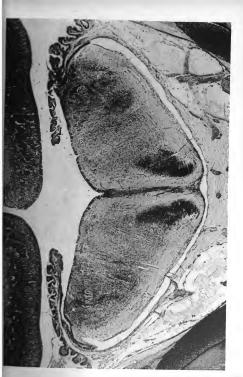
#### 74 WILHELM HIS, DIE ENTWICKELUNG DES MENSCHL, RAUTENHIRNS ETC.

Streifen eine Längsfaserung. welche sich als Fortsetzung der Trigeminusbündel deuten lösst. Der dunkle Fleck über den in's Mark eintretenden Trigeminusbündelu gehört zur Subst. gelatinosa.

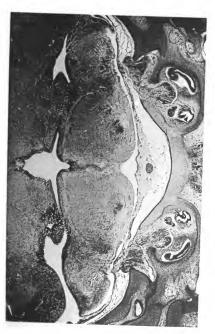
Medullarwärts vom G. Gasseri folgt, von einer Knorpelkapeel umschlossen, das Labyrinth und zwar dessen verkündarfielt. Vom Gnaglion vestlubtli ist ein Slück als dunkter Fleck sichtbar. Von ihm aus treten breite Blündel des Verhöreren in Mart, weche sich mit denne des Trigenimus kreuzen. Emseits von letzterem wendet sich ein Theil des Verhördnerven medullarwärts, ein anderer geht ein entgegengesetzett Richtung. Beide Theile verlieren sich weiterhin, indem litze Blündel die Schnittebene verlassen. Die medullarwärte streitenden Bindel sind bis dicht an dem Tractus solitizus zu verfolzen, dessen dersselle hand sie berüfferen.

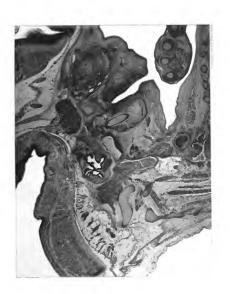
Hinter dem Gebürrogan tritt der N. glossopharyngeus mit zwei dicken Strüngen in Sark ein. Ein Thell von den Fasern dessehen biegt in den, von da ab scharf sich unngränzenden Tractus soliktriss um, andere Faserzüge überschreiten den letzteren und Janfen zwischen den ventriekelvsit advon befindlichen Zelfsemassen aus. Der N. vapus erscheint ausserhalb des Markes mit 8—10 kurzen Bündeln. Im Mark seher sind nur zwei Vagusbündel sichtlar, weche beiden mit leicht geschwungenen Bogen in den Tractus übergehen. Die Beobechtung unter dem Märoskop zegi unch für diesem Nerven, dass einzelne Faserbücheid den Tractus überschreiten und unterhalb des Ventrikelbodens sich verlieren. Man vergl. auch Für die Se Tates.





In a Gorgle





### DIE

# BEWEGUNGEN DES KNIEGELENKS

NACH EINER NEUEN METHODE

AM

## LEBENDEN MENSCHEN

GEMESSEN

VON

W. BRAUNE UND O. FISCHER.

MIT XIX TAFELN UND VI FIGUREN.

Dass zur Erkenntniss der animalen Golenkmechanismen Unteraubungen am lebenden Körper nothwendig sind, und dass die am freigelegten Gelenk des Cadavers ausgeführten Versuche nur die Grundlage dazu bieten können, ist eine allgemein anerkannte und schon längst ausgesprochene Thatsache. Nur hat es bisher an einer Methode gefehlt, Messungen am Lebenden auszuführen, die genau genug sind, um daraus brauchbare Resultate abzuleiten. Selbst die geistreiche Untersuchung von Bownren und Lore (Canauss Lees, The movements of the lower jew. Boston med. journal 1889), welche die Bewegung des Unterkiefers am Lebenden registrirte, ist nicht vollständig ausreichend, da sie nur eine Projection der doppelt gekrümmten Curven liefert.

Es war nichts Neues, als Lexourra bei seinen Untersuchungen ber die Rotation des menschlichen Vorderarms (Le coude et la rotation de la main. Archives générales de médécine. Août 4871. Mai et Juin 1877) die Nothwendigkeit der Beobachtungen am Lebenden besonders betoute, und ferner unrichtig, dass er die Versuch am Lebenden am Stelle der Cadaverversuche gesetzt haben wollte.

Da seine und die nachfolgende Arbeit Hassac's eine so grosse Bewegung in anatomischen Kreisen hervorriefen und noch jetzt Anerkennung finden, so ist es nothwendig, dies ausdrucklich hervorzubehen. Die Exactheit der von ihnen angewandten Untersuchungsmethoden war sicher nicht die Ursache des allgemeinen Interesses.

Lecowre stellte seine Versuche am Lebenden in der Weise an, dass er das untere Ende des menschlichen Vorderarmes in einen unnachgiebigen Metallring einzwängte, und daran die Grösse der Bewegung der Vorderarmknochen bei der willkurlich ausgeführten Rotation abzulesen versuchte. Er kam zu dem Resultat, dass bei der Drehung die Ulna in gleicher Weise wie der Radius sich betheilige.

Diese Methode leidet an dem Fehler, dass die Bewegung der Ulna durch äussere Gewalt erzeugt wird; denn der Radius ist in dem Lecourrischen Ringe nur dadurch bewegich, dass er das Capitulum Ulnae am Innenrande des festgehaltenen Ringes bei der Rotationsbewegung fortschiebt. Bei festgehaltener Ulna wurde sich der Radius überhaupt nicht in dem fest umspannenden Ringe bewegen lassen. Dass aber die Bewegung, welche die Ulna dabei macht, nicht diejenige sit, welche ihre Nuskeln allein hervorbringen, sondern dass sie durch äussere Gewalt erzwungen wird, geht schon daraus hervor, dass eine Drebung derselben auch dann noch eintritt, wenn der Ring nicht kreisförnig, sondern ellipisch gestaltet ist.

Am gleichen Fehler leiden die Heiberg'schen Versuche, aus denen gleichfalls eine Drehung der Ulna bei der Rotation des Vorderarmes abgeleitet wird (Пельяка, die Drehung der Hand. Leipzig, 1884).

Bereits in einer früheren Arbeit (Die bei der Untersuchung von Gelenkbewegungen anzuwendende Methode. 13. Band Nr. 3 der Abhandlungen der math.-phys. Classe der Gesellschaft der Wissenschaften. Leipzig, 1885) haben wir nachgewiesen, dass äussere Gewalten abnorme, nicht natürliche Bewegungen in den menschlichen Geleuken hervorbringen können, da die Gelenke nicht von starren, unnachgiebigen Massen gebildet sind. Es zeigte sich zwar, dass ieder Punkt der Ulna innerhalb eines Flächenstreifens bestimmter Grösse sich so bewegen kann, dass er sich innerhalb dieses Flächenstreifens in jede beliebige vorgezeichnete Curve zwingen lässt, es zeigte sich aber auch, dass die Ulna nur dann von dieser Beweglichkeit Gebrauch macht, wenn man von aussen her einen seitlichen Druck auf sie ausübt, wie ihn die eigenen Muskeln nie hervorzubringen im Stande sind. Wenn man dagegen die Ulna ohne jeglichen seitlichen Druck gegen den Humerus beugt, so bewegt sie sich zwangläufig, d. h. nrit nur 4 Grade der Freiheit, und dadurch wird man nun erst in die Möglichkeit versetzt. die successiven Stellungen der Rotationsaxen bei der Bewegung zu ermitteln.

Dies gilt für die Gelenkbewegungen sowohl am Lebenden, wie

am Cadaver. Auch am Lebenden hat man die Gelenkbewegungen zu trennen, je nachdem sie activ durch die Action der eigenen Gelenkmuskeln, oder passiv durch andere Gewalten, z. B. durch die Schwere des Körpers allein, hervorgebracht oder wenigstens beeinflusst werden.

Es muss noch untersucht werden, in wie weit überhaupt bei passiver Bewegung die eigene Gelenkmuskulatur thätig ist; ob die Bewegung ganz die gleiche bleibt, mag das Bein in hängender Lage darch die Muskeln frei bewegt oder, wie beim Niederkauern des Körpers, durch die Last des Rumpfes mit gebeugt werden, ob die Hand in freier Haltung dieselben Bewegungen macht wie beim Anstemmen des Körpers, beim Stützen und Klettern. Die animalen Gelenke unterscheiden sich dadurch von den Maschinengelenken, die aus starren Massen gebildet sind, dass bei ihnen nicht die Form des Gelenktheiles das allein Bestimmende für die Art der Gelenkbewegung ist. Dem ungeachtet sind sie aber Gelenke mit präciser Führung des bewegten Theiles, wie sich aus unseren Versuchen ergiebt. Dadurch nun, dass zweierlei Arten von Bewegungen in den Gelenken möglich sind und unterschieden werden müssen: die durch die Muskeln allein und die durch eine noch dazu kommende äussere Gewalt, wird eine Mannichfaltigkeit der Bewegungen erzeugt, wie sie nie durch starre Gelenkformen gewonnen werden könnte.

Beispiele hierfür sind sohr zahlreich beizubringen. Durch den Druck der Körperlast auf das Fussgewölbe, nm nur ein Beispiel hervorzuheben, werden in den Fussgelenken noch andere Bewegungen erzeugt als durch die Action der Muskeln allein, und dadurch der Fuss zu einem sehr brauchbaren Greifappurat umgeformt. Wir würden nicht so sicher stellen, so sicher gehen, so sicher klettern können, wenn die Fussgelenke aus starren Massen gebildet wären.

Man ist im Stande an verschiedenen Gelenken, nicht nur am Gubilagelenk, sondern auch am Handgelenk, an den Metacarpophalangalgelenken, am Kniegelenk u. s. w. durch seitlichen Druck abnorme Bewegungen des Gelenkes zu erzeugen, wie sie die eigenen Muskeln nie hervorzubringen im Stande sind.

Es hat sich bei allen von uns untersuchten Gelenken herausgestellt, dass die Gelenkformen verschiedene Bewegungen an sich zulassen, ohne dass der lebende Körper mit seinen Muskeln von allen Gebrauch macht. Am Evidentesten hat sich dies an der Hand und an den Metacarpophalangalgelenken gezeigt. Dies für die animalen Gelenke sicher allgemein gültige Gesetz wird auch durch die schon lange bekannten Bewegungen des Auges bestätigt (Dossess, Lesrisc). Durch diese Erscheinungen am lebenden Korper wird aber, wie schon anfangs erwähnt wurde, die Untersuchung am Cadaver nicht entbehrlich. Schon in unserer ersten Arbeit (a. a. O. 43. Bd. Nr. 3. p. 316) wurde hervorgehoben, dass seine genaue Untersuchung des freigelegten Gelenkes am Cadaver die Grundlage der Untersuchung des Gehenkmechanismus) bilden muss, damit man zunächst die Construction des Gelenkmechanismus an sich erfasst. Erst dann, [wenn dies vorausgegungen] können die bewegenden Muschen und überhaupt die Functionirung des Ibenden Organismus ins Auge gefasst werden, um die Erscheinung in ihrer Totalität zu erkonnens.

Das Ziel der Gelenkuntersuchungen darf nicht in letzter Linie darin gesucht werden, festzustellen, was alles für Bewegungen im Gelenk nüglich sind, sondern welche Bewegungen am lebenden Körper zur Ausführung kommen. Hierbei kommt man von selbst auf die Frage, ob überhaupt die animalen resp. menschlichen Gelenke eine feste Führung zeigen, so dass bei allen Beugegraden die Gelenkflüchen in Contact sind, oder ob die Gelenkflüchen sich nur in sehr beschränkten Masse berühren.

Aus der Form der Gelenkflachen wurde man schliessen müssen, dass bei keinem Gelenk ein steter Contact stattfinden könne, weil alle Gelenkflachen mehr oder weniger von den geometrischen Formen der Flüchen abweichen, die allein eine congruente Verschiebung ermöglichen. Denn wie schon früher ausseinander gesetzt wurde, sind es nur die Oberflächen der Rotationskörper, und die Schraubenflächen, welche diese Bedingungen erfülleu, und diese findet man nirgends volkommen ausgehildet.

Das bestätigt sich auch, wenn man Schnitte durch gut gehärtete, in ihrer Lage erhaltene Gelenke führt, mag die Sicherung der Lage durch Eingspsen oder durch Geffreentlassen geschehen, Immer berühren sich die Gelenkflächen nur an einer sehr beschräukten Stelle, wenn sie sich überhaupt berühren, und an allen anderen Stellen findet ein Klaffen statt, sodass man an gefrorenen Gelenken eine Eisschale gefrorener Synovia aus der Gelenkspalte herausziehen kann.

König 1) fand bei seinen Untersuchungen an gefrorenen Hüftgelenken, dass kein Contact der Knorpelflächen stattfindet, wenn man ohne Druck das Gelenk selbst in den verschiedensten Stellungen zum Frieren bringt. Wurden dagegen die Gelenktheile, in dem betreffenden Falle der Schenkelkopf, mit Gewalt in die Pfanne hineingepresst und durch scharf angezogene Drähte in dieser Lage erhalten, dann liess sich ein Knorpelcontact nachweisen, aber auch nur an einer kleinen unscheinbaren Fläche. Die herausgenommene schalenförmige Eiskruste, welche sich zwischen Kopf und Pfanne gebildet hatte, zeigte in diesem Falle eine der Contactfläche entsprechende Unterbrechung. Kong schlicsst daraus, dass alle Bewegungen, welche beim Hängen der Extremität ausgeführt werden, den innigen Anschluss des Kopfes an die Pfanne und die dadurch bedingte fortwährende allgemeine schleisende Bewegung ausschliessen. Es sei aber möglich, nur bis jetzt noch nicht nachgewiesen, dass bei den Bewegungen des hängenden Beines der Kopf durch irgend welche Kraft in die Pfanne hineingepresst werde, dann wurde ein inniger Contact eintreten. So weit Konig.

Sollte aber wirklich beim Gebrauch der Gelenke immer nur ein on beilweiser Contact stattfinden, so würde daraus folgen, dass man von einer bestimmten Gelenkbewegung gar nicht reden kann; denn die Contactstellen brauchten nicht jedesmal dieselben zu sein, wenn man die Flexion von Neuen ausführte. Es würde die Bewegung ebenso unvollkommen ausfallen, wie bei abgenutzten Maschinentheilen, nämlich sehöteterud, was man auch am Cadaver bei jedem Gelenk durch gewaltsamen seitlichen Druck hervorbringen kann.

Die Annahme einer so unvollkommenen und unregelmässigen Bewegung widerspricht aber der täglichen Erfahrung, welche nichts von Bewegungen loser und schlottender Gelenke zeigt.

Es muss demnach eine Einrichtung vorhanden sein, welche trotz der incongruenten Formen der zugehörigen Gelenkstachen die Bewegung zu einer bestimmten macht. Und diese Einrichtung

<sup>4)</sup> Köxig. Zur Palhologie der Knochen und Gelenke. Deutsche Zeitschrift für Chirurgie. III. Bd. pag. 256. 1873. Tafel VIII und IX.

ist in dem Knorpelüberzug der Gelenkenden gegeben, der die Unebenheiten der Knochen und die Incongruenz der Gelenknlächen durch seine grosse Deformirbarkeit und Elasticität auszugleichen im Stande ist.

Die Gebruder Wassa geben in übere Arbeit über die Gebrwerkeuge p. 133 an, dass der Knorpelüberzug an den Gelenken dort am stärksten sei, wo der grösste Druck stattfinde. Man findet jedoch den Knorpelüberzug am Füssgelenk nicht stärker angelegt als am Hünfgelenk, ebenso wenig sieht man ihn bei Tbieren mit grosser Körperlast an den tragenden Extremitäten besonders stark ausgebildet. Am Cubitalgelenk des Pferdes z. B. ist der Knorpelüberzug von nur geringer Mächigkeit (Tafel VIII).

Demnach kann es nicht der auf dem Gelenke lastende Druck allein sein, der für die Stärke des Knorpelüberzuges in Frage kommt.

Man findet bei der Vergleichung thierischer Gelenke den Knorpelüberzug dann dünn, wenn die Knochenformen nur wenig von den reinen Formen der Flächenarten abweichen, die eine congruente Verschiebung auf sich selbst zulassen, wie z. B. bei den Charniergelenken am Fusse des Pferdes, des Rebes etc., dagegen sehr stark angelegt, wenn die Abweichung der Knochenform von einer dieser Flächenarteu eine sehr grosse ist, wie z. B. an dem oberen Ende der Tibia beim menschlichen Kniegelenk.

Da der Knorpel nun eine biegsame elastische Masse darstellt, so hann dadurch bei Druck die Gelenkflache cerrigirt und der reinen Form genähert werden. Und dies wird um so mehr der Fall sein, je mehr sich eine Deformitbarkeit des Knorpelüberzugs durch Druck bei den Gelenkbewegungen berausstellt.

Um dies zu untersuchen, wurden Gelenke durch Schrauben sebr est an einander gepresst und in Gyps eingegessen, welcher die Gelenkstellungen fixirte. Beim Durchsägen ergab sich nun, dass in viel höherem Grade, als man erwartete, die Knorpel sich gegenseitig abgeplattet hatten und breite Contacilfächen boten, so dass dadurch ein Klaffen nicht mehr im Innern des Gelenkes vorbanden war wie vorher ohne Druck. Die Formen der Gelenkflächen, welche das abgelöste Gelenk zeigt, sind also nicht die Formen, welche die Gelenkflächen unter Druck bei den natürlichen Bewegungen annehmen. So findet sich das bestätigt, worauf Kowa binweist, wenn er sagt, dass es möglich sei, aher noch nicht nachgewiesen, dass bei den Bewegungen des hängenden Beines der Schenkelkopf durch irgend eine Kraft in die Pfanne hineingepresst werde, um einen innigen Contact zu erzeugen.

Kösie würde dies auch selbst gefunden haben, wenn er bei seinen Versuchen den Draht noch stärker angezogen und dadurch einen noch grösseren Druck angewendet hätte.

Tafel IX und X zeigen die Schnittflichen durch den Condylus suternus Femoris et Tibiee eines menschlichen Kniegelenks, am rechten Beine ohne Pressung (Tafel IX), am linken Beine mit Pressung (Tafel X). Beide Extremitäten sind im frischesten Zustande von einem normal gebauten Menschen unmittelbar nuch der Enthauptung genommen worden. Tafel XI zeigt ebenfalls einen Sagitalschnitt durch das Kniegelenk eines normal gebauten kräftigen Mannes im Gehiete des Condylus ext. femoris geführt, mit Pressung; Tafel XII dasselbe durch das Kniegelenk eines anderen Individuums in Beugestellung.

Man könnte vielleicht hierbei den Einwand erheben, dass ein zu starker Druck angewendet worden sei, wie er bei den Bewegungen durch die eigenen Muskeln nie erzeugt werde.

Es ist bei den Bestimmungen der Rotationsmomente (a. a. 0. Bd. XIV. Nr. 8. Leipzig 1888) etc. nachgewiesen worden, dass am Cubitalgelenke des Menschen die Beugemuskeln am Anfange der Beugang fast mit ihrer ganzen Kraft auf das Gelenk pressend einwirken, dass erst mit weiter gehender Beugung das Rotationsmoment mehr und nohr zunimmt und der Druck auf das Gelenk, welcher durch die Beugemuskeln bervorgebracht wird, demensprechend abnimmt. Wenn Jemand bei hörtzontal gestrecktem Arme im Stande ist, durch seine Beugemuskeln nicht nur einen halben Centner zu halten, sondern auch durch Beugung im Cubitalgelenke zu heben, so werden die Beugemuskeln, die diese Hehung vollführen, mit einer Componente auf das Gelenk drucken, welche viel grösser ist als die hewegende Componente selbst, so dass man nicht fehl geht, wenn man in diesem Falle einen Pruck von

mehreren Centnern auf das Gelenk annimmt. Noch weit grösser wird der Druck auf das Kniegelenk sein. Es wird also hier ein Druck einwikten, der jedenfalls grösser ist, als wir ihn bei unseren Gelenkversuchen angewendet hahen. Die Muskeln arbeiten sich also bei der Bewegung förmlich aus dem Knorpel eine Pfanne heraus und erzeugen durch die Gestaltveränderung des Knorpels die gleitenden Flächen.

In der Ruhe, also bei der horizontalen Lagerung des Körpers, federn die Gelenkknorpel in ihre ursprüngliche Form zurück, treten ausser Contact und schaffen damit andere Bedingungen für die Strömung der Gewebsflüssigkeit im Knorpel, als bei der Bewegung.

Die Bedeutung dieser Veründerlichkeit des auf den Knorpel wirkenden Druckes für die Ernährung des Gelenkknorpels liegt auf der Hand

Mit diesen Voraussetzungen ging es nun an die Untersuchung eines einzelnen Gelenkes des menschlichen Körpers. Wir wählten dazu das Kniegelenk aus mehreren Gründen. Dasselbo zeichnet sich nämlich nicht nur durch eine sehr grosse Incongruenz der Gelenkflächen, sondern auch durch eine sehr grosse Flächenauschenung derselben aus. An keinem anderen Gelenk macht sich die Muskel-cinwirkung so geltend und springt so sehr in die Augen, wie am Knie.

Ferner aber forderte gerade das Kniegelenk zur Untersuchung auf, weil es ganz allgemein als ein Gelenk mit 2 Graden der Freiheit bezeichnet wird, von Sapper und Testur sogar als ein Gelenk von 3 Graden der Freiheit.

Die Gehrüder Wassa (Gehwerkzeuge. Göttingen, 1836) gaben an, dass das Kniegelenk nicht nur Beugung und Streckung um eine transversale Axe, sondern auch Rotation, wenn es sich in Beugestellung befindet, um eine zur ersteren senkrechte Axe gestatte. Und alle Forscher, die nach Wassa das Kniegelenk untersuchten, stimmen in der Hauptsache damit überein. Auf pag. 170 des oben angeführten Werkes der Gebrüder Wassa beisst es:

»Die beiden im Knic zusammengelenkten Knochen, das Oberschenkelbein und das Schienbein, können sich in 2 verschiedencn Ebenen an einander drehen; erstens in der senkrechten Ebene, in der beide Knochen liegen, um eine horizontale von der rechten nach der linken Seite gehenden Axe (Beugung und Streckung); zweitens in horizontaler, der Gelenkfläche des Schienbeins parallelen Ebene, um die verticale Längsaxe des Schienbeins (Pronation und Supination). •

»Beide Bewegungen haben nicht immer die nämlichen Schranken, sondern die der Pronation und Supination sind weiter oder enger bei größserer Beugung der Streckung und ungekehrt. Ferner, pag. 171: »Der Umfang der Beugung und Streckung, am Cadaver in Kniegelenk gemessen, betrug 1652 in Mittel von 4 Versuchen. Derselbe Winkel betrug nach an zwei lebenden Menschen angestellten Messungen im Mittel nur 44,8%».

Der Umfang der Pronation und Supination betrag nach Wasan's Messung am Cadaver bei einer Beugung des Kniees von ungefahr 145° im Mittel 39°. Bei Abnahme der Beugestellung bis zu 90° nahm der Umfang der Pronation und Supination nur wenig ab, so dass er immer noch im Mittel 34° betrag. Fuhr man aber fort, das Bein noch weiter zu strecken, so nahm der Drehungswinkel der Pronation und Supination so schnell ab, dass er bei völliger Streckung ganz verschwunden war und die Pronation und Supination in dieser Lage ganz unnöglich wurde.

Das Knie kann also nach Wassa nicht zu den Charniergelenken gerechnet werden, denn es hat keine feststebende Drehungsaxe; vielmehr rollen die Condylen des Oberschenkels wie ein Rad auf der fast horizontalen Oberfläche der Tibia, bei der Streckung vorwarts, bei der Beugung ruckwarts [pag. 200]; auch können sich ic Condylen des Oberschenkels auf der fast horizontalen Oberfläche der Tibia um eine senkrechte Axe drehen, d. b. auf eine ahnliche Weise, wie die Vorderräder eines Wagens beim Untenken. Dadurch wird eine Pronation und Supination des Unterschenkels möglich, die ungefähr 39° beträgt. —

Nach den Weben'schen Untersuchungen verdanken wir namentlischausen, Mexen und Hexae eine Bereicherung unseres Wissens ich Mechanismus des Kniegelenkes. Auch diese Forscher stimmen mit Weben darin überein, dass eine zweifnehe Bewegungsmöglichkeit in dem menschlichen Kniegelenk gegeben sei; dass wir nur um eine schwankende Axe beugen und strecken können, ausserdem aber bei Beugestellung noch eine Rotation auszuführen vermögen. Lawasa (Sitzungsberichte der Wiener Akademie 1858. 32. Band, ag. 99 u. fl.), der namentlich sehr eingehend die Formen der das Kniegelenk bildenden Knochen untersucht hat und daraus die Bewegung im Gelenk ableitete, unterscheidet ausdrücklich zwischen reiner Beugung, reiner Rolation und combinirter Beugung (mit Rotation).

Henke (Handbuch der Anatomie und Mechanik der Gelenke. Leipzig u. Heidelberg 1863) sagt pag. 217:

»Der Unterschenkel articulirt mit dem Oberschenkel nur durch den einen seiner beiden Knochen, während ihn der andere gar nicht berührt und also auch keine eigene Beweglichkeit gegen ihn hat, sondern nur der des ersten folgt. Trotzdem ist die Bewegung im Knie zwischen Tibia und Femur nicht eine nur einfache, wie die der Ulna unter dem Hunerus, sondern eine doppelte, wie die der Radius. Die Tibia dreht sich unter dem Femur zur Flexion und zur Rotation; letzteres aber in viel beschränkterem Masse. Fur beides wirkt eine Gruppe von 4 Articulationen zusammen, die beide Knochen mit 2 Bandscheiben bilden.

Hisxx macht ferner auf pag. 232 die für den Gelenkmechanismus überhaupt sehr wichtige Bemerkung, dass die Elasticität der Bandscheiben und die reichliche Synovia des Kniegelenkes zur Ausgleichung kleiner Tugenauigkeiten des Contactes mit wirken, um Verseliebungen müglich zu machen, die nicht ganz mathematisch definirbar sind. Auf pag. 238 heisst es dann ferner:

»Die Beugung beträgt, wie bekannt, fast zwei rechte Winkel; der Spielraum der reinen Rotation bei etwa halber Bengung [90<sup>6</sup>] nicht ganz halb so viel.

\*Es ist ausserdem leicht ersichtlich, dass beide Arten der combiniren Bewegung, da sie sich nur aus einer verschiedenne Yogen ganz derselben einfachen zusammensetzen, durch alle möglichen Abstufungen mit einander verbunden auftreten können, wovon die oben angeführten Modificationen der Flexion mit mehr gleichmässiger oder mehr pfützlicher Hinzufugung der sehliesslich immer mit ihr verbundenen Rotation nur die kleineren Beispiele sind. Denn wenn in einer mittleren Beugungsstellung durch vollkommene Anusherung der vorderen Ränder von Bandscheibe und Tibinfläche in der einen, der hinteren in der anderen unteren Artieutlation, die vollkommensten Rotationen zu Stande kommen, so kann von jeder derselben aus un sofort die Beugung oder Streckung beginnen, indem die eine Bandscheibe gleich in der Lage zur Tibia bleibt, in die sie durch die eingetretene Plexion sehliesslich kommen muss, und es verbindet sich dann nur mit dieser nothwendig die der vorhergegangenen entgegengesetzte Rotation.\*

Mayas (Statik und Mechanik des menschlichen Knochengerüstes. Leipzig 4873, pag. 357, 358) unterscheidet bei den Bewegungen des Kniegelenkes ausser Beugung und Streckung noch zwei Arten der Rotation; die eine, als Schlussrotation bezeichnet, ist nach ihm ein integrirendes Moment der Flexionsbewegung, die andere, nur bei Beugestellung möglich und durch die Form des Condylus externus Tibiae bedingt, ist nach Mayas eine davon zu trennende, selbständige Bewegung. Also auch Mayas schreibt dem menschlichen Kniegelenk zwei Grade der Freiheit zu.

Histar (Anatomie des Menschen. Bänderhehre, 2. Aufig. 1872.

aga. 154) schliesst sich den Ansichten der Gebrüder Wanna über
den Mechanismus des Kniegelenkes an. In Beziehung auf den Contact der Gelenkflächen bemerkt er gegen Laxora und Histas, dass man
die Bewegungen des Kniegelenkes auf Drehungen um Axar regelmissiger Rotationskörper nicht zurückführen könne; dies setze Berührungen der Gelenkflächen voraus, die die Beobachtung am
geöffneten Gelenke nicht bestätige. Bei jeder Stellung sei der Contact des kugligen Schenkelkopfes und der fast ebenen Endfläche der
Tibia sehr beschränkt, fast linear. Nicht einnal mit Hulfe der Bandscheiben gleichen sich nach Histas die Incongruenzen der beiden
articulirenden Knochen völlig aus; es bleiben immer noch Räume
übrig, die durch bewegliche Fettpolster und durch Synovia auszufüllen sind.

Es würde zu weit führen die Reihe der Citate aus allen Handbüchern der Anatomie zu vervollständigen. Auch kann wohl sehon aus dem Grunde von einer vollständigen Citatensammlung abgesehen werden, weil nicht überall in den Handlüchern erkennhar ist, was auf eigener Forschung beruht und was Referat fremder Arbeiten ist.

Nur einige ausländische Autoren müssen noch Erwähnung finden.

CREVEILBIER (Traité d'Anatomie, Paris, 1877 L. I pag. 424, 425)

giebt im Wesentlichen dieselbe Darstellung wie Weben und Henle. Über die Rotation sagt er nur, dass dieselbe bei halber Beugung ausführbar und im Ganzen sehr beschränkt sei.

SAPPEY (Anatomie descriptive. T. I. Paris, 1876 pag. 711) nimmt wie Testur (Anatomie, Paris 1889, tome I, pag. 440) ausser den zwei Bewegungen der Flexion und Rotation noch eine dritte Bewegungsmöglichkeit für das Kniegelenk an. Er erwähnt nämlich ausdrücklich die Mouvements latéraux. »Ces mouvements ont été passés sous silence par tous les auteurs. Les frères Weber, qui ont fait une étude si approfondie des mouvements de flexion, d'extension et de rotation, ne paraissent pas les avoir observés. Leur existence cependant n'est pas moins évidente sur celle des mouvements latéraux du coude. On les constate sans peine à l'aide du même moyen. Le femur étant fixé dans un étau, et la jambe demi-fléchie sur la cuisse, il est facile d'imprimer à l'extrémité inférieure du tibia des mouvements oscillatoires d'une amplitude de 2 à 3 centimètres. Pendant ces oscillations les deux ligaments latéraux se soulèvent alternativement, l'externe plus que l'interne. Au toucher, leur soulèvement et leur tension sont également très-appréciables. Dans la flexion extrême, les mouvements latéraux diminuent d'étendue. Pendant le mouvement d'extension ils s'affaiblissent de plus en plus, et disparaissent lorsque l'extension est complète.«

Moans, the Anatomy of the joints of man. London, 1879. pag. 376, der sich in hervorragender Weise mit Gelenkuntersuchungen beschäftigt hat, nimmt auch in Kniegelenk einen Mechanismus mit 2 Graden der Freiheit an; er sagt, dass ausser der Schlussrotation noch eine willkurliche (free) Rotation vorhanden sei, welche erst bei einer Beugestellung von circa 150° an möglich sei und bis zu. 36° betragen könne.

shesides the rotation round a vertical axis, which is one of the accompanying movements of slight flexion and nearly completed extension of the knee-joint, there is a much more free rotation, also round a vertical axis, when the joint is flexed. This is pronation and supination of the knee. It begins to be possible when the knee is bent at an angle between 150° and 155°, and becomes freer and freer as the joint is bent more and more. The axis of rotation passes through the inner tubercle of the spine of the tibia,

so that the outer ubberosity moves in the arc of a larger circle than does the inner, and therefore is required to move more easily and freely; to this end the shape of its articular facet and the loose connexion of the external semilunar cartilage with it are adapted.» The ligaments are relaxed in flexion sufficiently so allow of a rotation of 36°.\*

Ebenso Reeves, human Morphology. Vol. I. London, 4882. pag. 523.

Er schreibt: The knee being mainly a hinge joint, its usual motions are flexion and extension, but in addition there is rotation of the leg when the joint is semiflexed.

In Quan's Elements of Anatomy, herausgegehen von Thomson, cbafer, Thane, London 1882. 9. edition, Vol. I, p. 176 heisst es: sin extension of the joint [the knee-joint] no rotation of the leg is possible; in the flexed condition a considerable amount is allowed.\*

Beim ersten Versuche, der an dem Kniegelenk eines frischen Cadavers angestellt wurde, suchten wir zunächst, wie früher beim Cubitalgelenk, unter möglichster Vermeidung jedes störenden Seitendrucks zu beugen und zu strecken. Dies wurde dadurch zu erreichen gesucht, dass der Oberschenkel horizontal festgeschraubt wurde, und zwar so, dass den Punkten an der Tibia eine verticale Bewegungsebene zukam, soweit man überhaupt von einer einzigen Bewegungsebene hier reden kann. Die Bewegung selbst wurde mittels zweier Fäden ausgeführt, welche beide in der mittleren Bewegungsebene lagen, und in entgegengesetzter Richtung gespannt erhalten wurden, ohne seitlichen Zug, sodass der bewegte Knochen in jeder Beugelage sich feststellen liess. Mit der Tibia waren 3 Nadeln fest verbunden, deren Spitzen die jeweilige Lage des Knochens im Raume bestimmten. Die Lagen der 3 Nadelspitzen worden dann für jede Phase der Bewegung auf ein rechtwinkliges räumliches Coordinatensystem bezogen, in der von uns immer angewandten Weise.

Bei den Messungen zeigte sich nun, dass auch bei den frischesten

Gelenken Abweichungen nach der Seite hin sich nicht völlig vermeiden liessen, jedenfalls viel schwerer als beim Ellbogengelenk. Denn bei Wiederholung der Bewegung liefen die Nadelspitzen nicht wieder absolut genau in denselben Raumeurven.

Nachdem sich schon ergeben hatte, dass die Knorpelflächen nur bei Druck sich innig berühren, musste der Grund dieser Abweichungen in dem mangelnden Gelenkdruck gesucht werden.

Darauf lin wurde nun der Versuch in der Weise abgeändert, dass man den natürlichen Verhältnissen entsprechend einen Druck auf die Gelenkflächen während der Bewegung ausübte. Zu dem Zweck wurde durch die Tibis in transversaler Richtung möglichst nahe am Kniegelenk ein Loch gebohrt, durch welches ein ziemlich starker Faden hindurch lief. Die beiden Enden des Fadens lagen aber Rollen, die auf dem Rürenden Stativ zu beiden Seiten der Oberschenkelcondylen so angebracht waren, dass die Stelle, an welcher der Faden über die Rölle lief, in die Verlängerung der Faden wurden dann Gewichte von je 20 Pfd. angebracht. Dieser Druck erreicht erfelich noch lange nicht den auf das Gelenk wirkenden atturlichen Druck; aber grössere Gewichte liessen sich nicht anbringen, weil sonst die Festigkeit des Stativs gelitten hätte. Wenigstens gelang es dadurch die seitlichen Abweichungen möglichst zu beschränken.

Es zeigte sich dabei in der That, dass die Nadelspitzen bei wichtenbler Bewegung wieder in denselben Bahnen liefen. Es wurde also zwar dadurch eine Zwangsbewegung gewonnen, man war aber noch nicht sicher, ob diese Zwangsbewegung auch identisch mit der am Lebenden stattfindenden ist, bei der die Muskeln doch mehr oder weniger auch seitliche Componenten bei ihrer Wirkung aufweisen.

Diese Versuche würden indess jedenfalls bessere Resultate geben, als die früheren ohne Druck; sie wurden aber von uns nicht verwerthet, weil es schliesslich gelang, direct am Lebenden Messungen anzustellen.

Es ist für unsere Arbeit zunächst von untergeordnetem Interesse, nachzuweisen, wie gross die Abweichungen sind, die diese Versuche von denen am Lebenden aufweisen; Abweichungen, die allein dem Umstande zuzuschreiben wären, dass man nicht genau die Druckverhältnisse im Gelenk nach Grösse und Richtung am Cadaver nachahmen kann.

Der erste einleitende Versuch, den wir am Lebenden machten. war folgender: An einem normal gebauten jugendlichen Manne wurde durch einen Gypsverband eine starre mit dem Unterschenkel fest verbundene Masse geschaffen, in welcher 3 Nadeln sich so anbringen liessen, dass ihre Spitzen die gleiche Stellung einnahmen wie bei den Cadaverversuchen. Der Unterschenkel wurde ruckweise durch die eigenen Muskeln ohne jede äussere Einwirkung gebeugt und bei jeder Phase der Bewegung eine Zeit lang unterstützt, um die Coordinaten messen zu können. Dabei wurden aber ziemlich unregelmässig gestaltete Projectionscurven gewonnen, die auch bei Wiederholung der Bewegung stark von einander abwichen. Der Mann konnte eben trotz geeigneter Unterstützung des Beins den übrigen Körper nicht so lange ruhig halten, dass das nächste Stück der Bewegung als directe Fortsetzung des vorausgebenden angesehen werden konnte. Es führte deshalb dieser Versuch zu keinem brauchbaren Resultat, da dem Manne wegen der Messung nicht gestattet werden konnte, die Bewegung von einem Ende zum anderen ohne Unterbrechung auszuführen.

Wenn überhaupt ein solcher Versuch am Lebenden zu brauchharen Ergebnissen führen sollte, so musste es möglich gemacht werden, während der ununterbrochenen Bewegung die Coordinaten der drei fest mit dem Unterschenkel verbundenen Punkte für eine möglichst grosse Anzahl von Beugestellungen zu messen, ohne dass man dabei die Beugung in irgend einer Weise beeinflusste. Es müssen also die Coordinaten aus der Ferne gemessen werden, und dazu gibt es bei der schnellen Aufeinanderfolge der einzelnen zu messenden Beugestellungen ein vortreffliches Mittel, nämlich die Photographie.

Die Photographie ist als Hiffamittel bei den Untersuebungen on Bewegungen am lebenden K\u00f6rper sebon mehrfach angewendet worden. Marer benutzte sie, um die verschiedenen Phasen des Ganges zu f\u00e4ren unter Bowersen's Leitung die Curven eines fest mit dem Unterkiefer verbundenen Apparates wahrend der Bewegung desselben (Boston Med. and surgient journal. Boston 1889. Bd. 424 pag. 8 u. ff.) und gewann dadurch ebenfalls nur eine Projection der Bewegungseurven von Punkten des bewegten Kuochens.

Um die Bewegungen eines Körpers im Raume zu bestimmen, genügt eine Projection aber nicht. Man braucht wenigstens deren zwei. Daher photographirten wir die Bewegungen des Beines gleichzeitig in zwei senkrecht zu einander stehenden Richtungen.

Maker gewann Bilder von den einzelnen Phasen des bewegten Körpers dadurch, dass er eine Vorrichtung an seinem photographischen Apparat angebracht hatte, welche die Exposition der Platte in kurzen gemessenen Zeiträumen unterbrach. Bei gleichzeitiger Projection auf zwei zu einander senkrechte Ehenen Bast sich diese Methode aber nur sehr schwer ausführen, denn sie setzt voraus, dass beide Apparate in ganz kurzen Intervallen zu vollständig gleicher Zeit geoffnet und geschlossen werden.

Wir verlegten daher die Unterbrechung nicht in den Verschluss der Apparate, sondern in das photographische Object selbst, so dass es gar nicht nöthig war, hesondere Einrichtungen des Verschlusses an den Apparaten anzubringen.

Für wissenschaftliche Zwecke ist es nicht nothig, von dem gesammten bewegten Körper Bilder zu schaffen (wie es die bekannten Serieuphotographien von Asseurtz zeigen), sondern es genutgt, ist sogar besser, nur einzelne markirte Punkte desselben zu projiciren. Aus diesem Grunde hat Maars sein Versuchsolject mit enganliegendem schwarzen Tricot bekleidet und die Stellen, auf die es ihm ankam, durch Leife Streifen daran kenntlich gemacht. Es wurde genügt haben, wenn er nur die Gelenkstellen durch helle Punkte bezeichnet hätte.

Deshalb beschrankten wir uns bei der Untersuchung nur darauf, die Bewegung von drei fest mit dem Körper verbundenen Punkten photographisch zu fixiren. Diese Stellen wurden dadurch intermittireud leuchtend und photographirbar gemacht, dass man daselhst ekktrische Punken überspringen liess, welche von einem einzigen Russkonzrischen Funkeninductor geliefert wurden, so dass sie für unsere Zwecke an allen drei Stellen absolut gleichzeitig erschienen. Das Photographisch geschah im halb dunklen Zimmer, um nicht alle Nebensachen mit auf die photographische Platte zu bekommen. Den Unterbrecher des Russkonzrischen Apparates stellten wir so ein, dass wahrend der Beugung des Kniegelenks, welche ungefähr 1 bis 2 Secuaden Zeit erforderte, 20—30 Funken übersprangen, also 20—30 Plassen flixir untern.

Das Fussgelenk wurde, wie die Abbildungen zeigen, eingegypst, um die Bewegungen in demselben völlig auszuschliessen, und um eine Grundlage zu gewinnen, auf der sich Hokstätechen befestigen liessen, die als mit der Tibis starr verbundene Körper die Bewegung der für die Leitungsdrübte. Sie trugen an ihrem Bussersten Ende je zwei Metallschrauben mit Spitzen, die sich beliebig einander nahern liessen. An diesen Spitzen sprangen die Funken über. Die genauere Enrichtung derselben ist aus beifolgender Figur 1 zu ersehen.

Leichte Holzstäbehen wurden genommen, um nicht durch eine zu grosse Gewichtsvermehrung die Bewegung des Beines zu beeinflussen. Sie mussten aber auch eine entsprechende Starke besitzen, um nicht zu federen und fremde Bewegungen in den Versuch hinein zu bringen. Beides wurde durch eine Verjungung der Stabcben nach ihrer Spitze hin erreicht.

Die Funkenbilder mussten birneibend deutlich auf der Platte erscheinen, aber doch auch möglichst klein bleiben, um eine genaue Messung ihrer Lage im Coordinatensystem zu ermöglichen. Cadmium und Zink, Metalle, welche an sich chemisch wirksameres Funkenlicht geben, erwiesen sich für unseren Zweck nicht so brauchbar als Messinz, weil die



g. 1.

Funkenbilder zu gross, förmlich klecksig wurden, und die Spitzen sich zu rasch abnutzten (cfr. Taf. VII<sup>a</sup> u. VII<sup>b</sup>). Die Messingfunken genügten allen Anforderungen, wie die Bilder deutlich zeigen.

Als geeignete Stellung des Mannes erwies sich die Bauchlage. Der Mann wurde platt auf den Tisch gelegt, so dass der Oberschenkel in einer (esten abgepassten Metallschiene lag, an der zwei Pelotten angebracht waren, die sich fest an die Condylen des Femur anschrauben liessen, so dass die Rollung desselben bei der Beugung des Kniess möglichst ausgeschlossen blieb.

Weiter war es aber auch nothwendig, die Bewegung auf ein räumliches Coordinatensystem zu beziehen. Dies wurde folgendermassen erreicht. Eine in einem Holzrahmen befestigte Glastafel von 1 gm Flächeninhalt wurde mit Asphaltlack bestrichen, und darauf ein rechtwinkliges Quadratcentimeternetz eingeritzt. Die mittelste Verticallinie dieser Tafel wurde als Z-Axe angenommen und in die Verlängerung derselben in den Rahmen auf der einen Seite eine dünne Mettallhülse und auf der anderen Seite eine feine Metallspitze angebracht. Die Tafel wurde so aufgehängt, dass die Z-Axe genau senkrecht stand und ein festes Charnier bildete, um welches die Tafel gedreht werden konnte. Ein sicheres schweres Stativ mit einem Metallstift, der genau in die Hulse hineinpasste, lieferte einen Theil der Charnieraxe. Die Spitze am unteren Rahmen der Tafel spielte in einem feinen Loche, das in einen Marmorklotz eingebohrt worden war. Der Stift an dem Stativ und das Loch in dem Marmorklotz wurden vorher genau durch einen Senkelfaden in einer durch die Höhe des Holzrahmens bestimmten Entfernung von einander senkrecht über einander gebracht. Die Tafel hing dabei an einer Metallkette, die an der Decke des Zimmers befestigt war, so dass das Gewicht der schweren Tafel dadurch vollständig äquilibrirt wurde, und Stift sowohl wie Spitze im Marmorklotz nur dafür zu sorgen hatten, dass die Axe immer genau vertical blieb. Als Anfangspunkt des ganzen Coordinatensystems wurde die Kreuzung der Z-Axe mit der mittleren horizontalen Linie auf der Tafel genommen.

Nachdem die Funkeneurven photographirt worden waren, wurde diese Tafel an derselben Stelle, an der sich vorher der Mann befunden hatte, aufgehängt und mit ihrem Netz auf dieselben Platten, welche die Funken aufgenommen hatten, photographirt. Das Photographire der Tafel auf die beiden Platten wurde hister einander vorgenommen und die Tafel dabei jedes Mal durch Drehen um die feste Z-Axe so gestellt, dass ihre Ebene senkrecht zu der optischen Axe des betreffenden Apparates stand.

Vor dem ganzen Versuch waren die beiden photographischen Apparate so aufgestellt worden, dass ihre optischen Axen genau horizontal verliefen, und zwar in gleicher Höbe über dem Fussboden, so dass also ihre Verlängerungen sich im Coordinatenanfangspunkt der Täfel schnitzt. Durch Beleuchtung der Tafel von hinten her mit Magnesiumlicht wurde das Photographiren des Coordinatengitters ermöglicht.

Da sich herausstellte, dass sich die Linien der Tafel genau als gerade Linien photographirten, so war es nicht nüthig, das ganze Netz zu photographiren, was für die Erkennung und Aufeinanderbeziehung der Funkenbilder sehr störend gewesen wäre; sondern es genutgte, nur die Ränder zu beleuchten, zu photographiren und nachträglich die ganzen Linien durch Ausziehen zu vervollständigen.

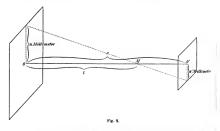
Da die photographischen Bilder durch Lichtdruck vervielfhiligie worden sind (Tafel 1° bis Vi³), jede neue Reproduction aber das Bild etwas schwächt, so sind diese hinterher ausgezogenen Linien nicht mehr überall ganz deutlich zu erkennen: dasselhe gilt von den ebenfalls erst hinterher eingefragenen Zahlen

Zu Versuchsobjecten benutzten wir zwei junge, muskelkriftige, normal gebaute Soldaten, II und M, und wiederholten die Versuche mehrere Male hintereinander.

Als X-Axe des Coordinatensystems wurde die optische Axe des einen und als Y-Axe die optische Axe des anderen photographischen Apparates genommen und zwar so, dass die positve Richtung der X-Axe vom Coordinatenanfangspunkt aus nach dem hetreffenden Apparat hin, dagegen die positive Richtung der Y-Axe vom Coordinatenanfang aus nach der Seite gerichtet war, wo der Apparat nicht stand. Als positive Richtung der Z-Axe, welche, wie schon erwähnt, durch die feste Charmieraxe der Tafel gebildet wurde, nahmen wir die Richtung vom Coordinatenafangspunkt nach oben an.

Durch das Pholographiren der Funken und der Tafeln auf ein und dieselbe Platte hat man eine Projection der Funken auf das Coordinatensystem erreicht. Diese Projection ist jedoch keine rechtwinklige, sondern eine centrale, deren Centrum in dem optischen ist, da die Linsendicke bei der grossen Entfernung des Objectes vom Apparat unbeschadet der Genauigkeit vernachlässigt werden kann. Die Coordinaten der Punkte, welche man aus den photographischen Biddern bekommt, sind daher noch nicht die richtigen rechtwinkligen Coordinaten der Punkte; sie sind aber hinreichend, um aus ihnen die rechtwinkligen Coordinaten zu herechnen. Zur kurzeren Darstellung der Ableitung der betreffenden Transforma-

mationsformeln sollen die Coordinaten der Punkte, welche von dem photographischen Bilde der YZ-Projection gewonnen sind, mit dem Index a und die, welche aus dem photographischen Bilde der XZ-Projection stammen, mit dem Index b bezeichnet werden. Die Entfernung des optischen Mittelpunktes des Apparates, dessen optische Axe mit der X-Axe zusammenfallt, von dem Coordinaten-anfangspunkt soll mit  $l_a$ , und die Entfernung des optischen Mittelpunktes des Apparates, dessen optische Axe mit der Y-Axe zusammenfallt, vom Coordinatenanfangspunkt mit  $l_b$  bezeichnet werden. Dann lassen sich die rechtwinkligen Coordinaten x, y, z eines jeden Punktes mit Bilfe der Grössen  $x_b, y, z_b, z_b, z_b, z_b$ , herechnen.



Um die Eutfernung des optischen Mittelpunktes eines der beiden photographischen Apparate vom Coordinatenanfangspunkt und damit das eine Centrum der Gentralprojection zu finden, hat man nicht nöblig, sich mit den Linsenverhältnissen im Apparat selbst zu beschättigen, sondern es genutg festzustellen, in welchen Verhältniss das betreffende photographische Bild im Vergleich zu den wahren Dimensionen verkleinert ist, und in welcher Entfernung e von der Tafel sich die photographische Platte beim Versuche befunden hat.

Bezeichnet man, wie in obenstehender Figur 2, den optischen Mittelpunkt mit M, die Entfernung desselben von der Tafel mit L

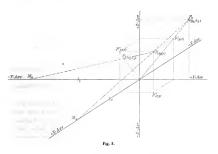
und entsprechen n' Millimeter auf dem photographischen Bild n Millimetern der Tafel, so hat man infolge der Achnlichkeit des photographischen Bildes mit dem wirklichen Object folgende Proportion:

$$l:(e-l)=n:n';$$

daraus folgt

$$l = \frac{n}{n + n'} e.$$

Mit Hilfe dieser Formel berechnet man bei jedem Versuche die beiden Grössen  $l_a$  und  $l_b.$ 



Eeziechnet man die Centralprojection eines Punktes P auf die YZ-Ebene mit  $P_a$ , die rechtwinklige Projection desselben Punktes auf die YZ-Ebene mit P, die Centralprojection dieses Punktes auf die XZ-Ebene mit  $P_b$ , die rechtwinklige Projection auf die XZ-Ebene mit P' und die beiden optischen Mittelpunkte mit  $M_a$  und  $M_b$ , so folgt aus der obenstehenden Figur 3:

Aus (I) und (III) folgt:

$$\begin{aligned} &l_b \cdot x + x_b \cdot y = l_b \, x_b \\ &y_a \cdot x - l_a \cdot y = l_a \, y_a \end{aligned}$$

 $x: I_1 = (z_2 - z): z_2$ 

Aus (II) folgt:

(IV)

$$z=z_a-\frac{x\cdot z_a}{l_a}$$

 $u: l_b = \langle z - z_b \rangle : z_b$ 

und daraus:

(II)

$$\begin{split} x &= \frac{l_a l_b \cdot x_b + x_b y_a \cdot l_a}{l_a l_b \cdot x_b y_a} & \text{Aus (IV) folgt:} \\ y &= \frac{l_a l_b \cdot y_a - x_b y_a \cdot l_b}{l_a l_b + x_b y_a} & z = z_b + \frac{y \cdot z_b}{l_b} \end{aligned}$$

Dadurch, dass man zur Berechnung der Coordinate z zwei von einander unabhängige Formeln besitzt, hat man zu gleicher Zeit eine Controle für die Messung der Grössen  $x_b$  und  $y_a$  und die Berechnung der z- und y-Coordinaten.

Im Ganzen wurden an den zwei Individuen (H und M) je zwei Versuche angestellt, und zwar so, dass jedes Mal das Bein in der Ruhe von zwei Seiten photographirt wurde und dann gleich darauf die Funkeneurven wahrend der Bewegung projeirt wurden. An jeden Individuum wurden zur Goutrob zwei Versuehe hintereinander gemacht, so dass wir im Ganzen sechs Doppelaufnahmen zur Untersuchung verwendet haben. Dieselben finden sich am Schlusse der Arbeit auf seeks Doppelaufalafeln:

Auf Tafel  $I^*$  und  $I^*$  ist das Bein des Mannes H in der Ruhelage mit den drei Funkenbildern photographirt.

Tafel II\* und II\* geben die Funkencurven für den ersten Versueh mit H.

Tafel III<sup>a</sup> und III<sup>b</sup> die für den zweiten Versuch mit H.

Auf Tafel  $W^a$  und  $W^b$  sieht man das Bein von  $\pmb{M}$  in ruhender Lage mit den drei Funkenbildern.

Auf Tafel V\* und V\* die Funkencurven des ersten Versuches mit M.

Auf Tafel VP und VP dieselben des zweiten Versuches mit M. Auf Tabellen I, II, III, IV sind die abgelesenen Centralcoordinaten  $y_a$ ,  $z_a$ ,  $x_b$ ,  $z_b$  für die einzelnen Phasen, welche durch die Funken fixirt sind, angegeben. Am Schlusse der Tabellen findet sich noch die Berechnung der Werthe der Grössen  $l_a$  und  $l_b$  für die zugehörigen Tafeln.

Die Grössen I, und I, stimmen bei den vier Tafelpaaren nicht vollständig überein, was darin seinen Grund hat, dass die Glastafel mit dem Gitter bei jedem Versuch immer von Neuem aufgestellt wurde, wobei nicht zu verneiden war, dass die verticale Drehungsaxe derselben nicht absolut genau an dieselle Stelle kanı, was ja für den einzelnen Versuch ganz gleichgiligi ist.

Tabelle I.

Abgelesene Centralcoordinaten für Tafel II<sup>a</sup> und II<sup>b</sup>. II. I. Versuch.

		Pun	kt I.	(liegt i	n derVer	Puni längeru:		bialängs	sxe).	Puni	t III.	
i,	y,	Z <sub>a</sub>	$x_b$	z,	y,	z,	$x_b$	$z_b$	y,	3,	$x_{b}$	$z_{b}$
1					-41,2					+15,8		
			+20,4		-41,2		- 0,1	- 8,9	-20,9			
3			+20,0		-41,2		0	- 8,4		+16,3		
å		-49.3		-46, 2	-41,2		0	- 7,4		+16,7		
5	+10,7	-49,6	+18,1	-46,6	-44,3	- 5,3	0	- 5,4	-19,5	+17,6	+14,8	+17,
6	+ 7,3	-49.8	+16,4	-47.0	-41.2		0	- 0,9	-17.9	+19,3	+16,0	+19,
7	+ 3,3	-49.0	+15,4	-46,7	-40.7	+ 3,8			-15,9	+21,8	+16,1	+21,
8	- 0,4	-47,5	+15.8		-39.8	+ 8,4	- 1,2	+ 9,3	-13.9	+24,6	+15,3	+24.
9	-3.8	-45,5	+16,9	-43.6	-38.5	+12.8	- 2,2	+11.0	-11,4	+27.4	+14.2	+27
0	- 7,3	-43.2	+17,6	-44.5	-36,7	+17.6	- 3.0	+19.1	- 8,6	+30,0	+43.4	+29
14	-11.3	-40.5	+17.7	-39.0	-34.4	+22.8	- 3.4	+24.6	- 4.8	+32,4	+13.0	+31
12	-45.2	-37.0	+18.2	-35.9	-30.6	+28.1	- 4.0	+30.0	- 0.5	+34.6	+12.2	+33
13	-19.3	-32.5	+18.8	-31.6	-25,9	+33.3	- 4.9	+35.5	+ 4.8	+36.4	+11.3	+35
4	-22.1	-28.6	+18.9	-28.0	-21.8	+37,4	- 5,7	+39,1	+ 8,8	+37.3	+10,7	+35
15					-17.3			+12.6		+37,9		
16	-25.9	-21.4	+18.5	-21.0	-14.1	+42.7	- 6.7	+44.7	+15,8	+38.0	+10.0	+36
17	-27.0	-18.9	+18.3	-18.5	-44.4	+44.3	- 6.9	+16.2	+18,3	+37.9	+ 9.9	+35
18	-27.8	-16.3	+18.9		- 8.3				+20.7		+ 9.8	+35
9					- 5.8				+22.7		+ 9,7	+35
05	-29,1	-11.3	+17.8	-41.0	- 2.7	+47.8			+25,1	+37.0	+ 9.5	+34
21		- 7,8			+ 1.3				+27,9		+ 9.3	+34
22	-29.9		+16,9		+ 4.9				+30,5		+ 9.2	+33
2.3	-29.8		+16,6		+ 8.3			+50.7		+34.5		+32
24	-29.7		+16.5	+ 1,1	+11,2			+50.7		+33.7		
25	-29.3				+13,8					+32,8		
26	-28.9	+ 5,1	+16.1	+ 5 4	+15,8	+50.0	-40.0	+50.9		+32,0		+29
27	-28.4				+17.9						+ 8.0	+28
28					+19.8							+28
29					+21,6				+41,8		+ 7.7	+27
30	-27.3	+11.3	+15.8	+11.4	+22.7	+49.2	-11.1		+42.5			+26
					+23.7							+26
					+21.7							+25
	-26,3	19 6	45 6	. 12 0	Tat, 1	10.5	11,0	10,0	1110,0	07.0	7,1	+25

Fur Talel II is 
$$t_1 = 980$$
 mm,  $t_1' = 1424$ , mm,  $t_2 = 1218$ , cm, fur Talel II is  $t_1 = 980$  mm,  $t_2' = 1418$ , mm,  $t_3 = 716$ , 0 cm, folglich ist  $t_4 = \frac{980}{980 + 1424}$ .  $\cdot 421$ , 8 cm = 368,3 cm und  $t_4 = \frac{980}{980 + 1413}$ .  $\cdot 716$ , 0 cm = 640,9 cm .

		Punk	t I.			Punk	t 11.			Punk	111.	
Nr.	y.,	z <sub>e</sub>	$x_b$	z,	y <sub>a</sub>	3,	$x_b$	$z_b$	y.,	3,	$x_b$	3,
- 1		-48,7	+19,0	-45,6		- 6,1		- 6,5		+17,7		
2				-45,7	-42,2	- 5,8	- 3,2		-21,3			
3				-45,9						+18,8		
4				-46,4		- 4,3	- 3.7			+20,0		
				-45,9				+ 2,7	-18,0	+21,9		
6		-47,4		-45,0					-46,2	+24,4		
7	- 3,9	-45,2	+16,7	-43,4	-40,0	+40,7		+11,6		+27,0		
8				-44,4				+16,3	-44,7	+29,6	+ 8,9	+29,4
	-11,0							+20,9		+31,8		+31,4
10	-14,4	-37,7	+18,2	-36,5	-33,9	+23,4	-10,0	+25,5	- 5,4	+33,9		+33,4
44		-35,2	+48,7	-34,2	-31,8	+26,6	-11,0	+28,9	- 2,7	+35,4		+34,8
12					-28,8					+36,5		+35,9
13	-22,0	-29,4	+18,6	-28,8	-25,9	+32,9	-12,9	+35,5	+ 3,7	+37,3		+36,5
	-24,4											+37,0
	-25,9											+37,4
17	-27.3			-18,0					+14.8			+37,2
				-15,6					+17.0			+37,0
19				-13,0					+17,0			+36,7
				-11,5				+47,3				+36.2
24				- 9,5		45 9	-16,5	+48.0	199 7	+37,6		
				- 7.2	- *,1	166 6	46.0	1000	+24.7	27.0	3,3	28 0
				- 5.0	+ 1.1	+47.4	-16,2	+49.4	+26,4	+36,6	+ 3,2	+34 7
	-31.6			- 2,8	3 0	+47.6	-46.5	. 40 3	+28,3	35 0	+ 3 4	+33,9
	-31.5	- 1.0	+12.8	- 0.9	+ 5,9	447 9	-46.8	-19.1	±90 9	+35 3	1 3 9	+33 3
	-34,5			+ 1.0	+ 8,0	±48 0	-47.0	-19 5	+31 9	+34 8	- 3 9	+39.7
27	-31.3											+32.4
	-31,1											+31,6
29	-31.0	+ 4.7	+11.7	+ 4.8	+12,2	+48.1	-17.4	+49.3	+34.3	+33.2	+ 3.3	+31.1
	-30.9	+ 5.7	+11.4	+ 5.9	+13,2	+48.0	-17.5	+49.2	+35.0	+32.9	+ 3,3	
	-30,8											

Fur Tafel III<sup>1</sup> is t 
$$n = 980$$
 m,  $n' = 442,3$  mm,  $t_s = 421,8$  cm, fur Tafel III<sup>1</sup> is  $n = 980$  m,  $n' = 444,9$  mm,  $t_s = 746,0$  cm, folglich is  $t_s = \frac{980}{980 + 142,3}$  is  $21,3$  cm = 368,3 cm, und  $t_b = \frac{980}{980 + 141,5}$  · 716,0 cm = 640,8 cm .

 $\label{eq:Tabelle III.} Abgelesene Centralcoordinaten für Tafel V^a und V^b, \quad \textit{M.} \quad I. \ Versuch.$ 

		Pun	kt I.		Punk	t II.		Punkt III.			
	y,	3,	$x_b = z_b$	y <sub>a</sub>	3,	$x_b$	z,	$y_e$	2,	$x_{i}$	3,
4	+17.5	-46.7	+24.5 -42.4	-40.5	-12.2	+5.2	-12.8	-23.8	+14.7	+15.9	+14.
			+24.3   -42.5			+4.9		-23,6			
			+23.8 -42.7		- 9.8	+4.6		-23,1			
ş	+13.2	-47.1	+23.2 -43.0	-40.9	- 7.3	+4.0		-22.3			
5	+10.9	-47,2	+21,9 -43,6	-\$1.0	- 4.2		- 4.3	-24.3	+49.4	+16,0	+19
	+ 7.9	-47.1	+20,7 -43,7	-40.9	- 0,5	+2.7	- 0.4	-20.0	+21.5	+16,2	+21
7			+20,3 -13,4			+4.9		-48.2			
8	+ 0.8	-44.1	+20,8 -41.6	-39,6	+ 8,9	+1.4	+ 9.6	-16,0	+27.6	+15,2	+27
9	- 2,9	-42.2	+21,0 -39,8	-38,2	+43.9	+0.2	+11.8	-13.2	+30,6	+14.5	+29
			+21,4 -38.0			-0.4	+19,7			+43.8	
			+21,7 -36,3			-1,0	+23.4			+13,3	
			+21,9 -31,9			-1.4	+26,0	- 5,9	+36,5	+12,9	+35
			+22,2 -32,5			-2,1	+29,9	- 2,8	+38.2	+12,3	+37
			+22,7 -29,6			-2.6		+ 1,1			
			+23,5 -25,5			-3,4		+ 6,1			
			+24,1 -22,2			-3,4		+10,1			
7			+24,7 -48,4			-3,9	+\$\$,7			+ 9,3	
			+25,1 -11,7			-1,4		+18.8			
9			+25,3 -11.3			-5,0		+22.3			
0			+25,3 - 7,5			-5,5		+26,4			
4	-23, 2		+25,3 - 3,7			-5,7		+30,6			+38
5			+25.4 - 0.5			-5,7		+34,1			+37
3			+25,4 + 2,2			-5.5		+36,9			+3€
å			+25,6 + 4,3			-5.3		+39,6			+35
			+25,7 + 6,7			-5,3		+41,9			+33
			+25,7 + 8.9			-5,5		+44,0			
			+25,7 +44.4					+46,4			
			+25,6 +13,3					+48,4			
			+25,3 +15.4					+19,8			
0	-17,2	+18.3	+24,9 +17,5	+31,1	+51,4	-7,3	+50,0	+51,4	+29,7	+ 6,0	+27
4	-16,7	+19,9	+24,3 +19,0	+33,4	+50,9	-7,7	+49,2	+52,5	+28,6	[+5,9]	+25

Fur Tafel V ist 
$$n=980$$
 mm,  $n'=14.2, \text{h mm}$ ,  $t_s=124.8$  cm, fur Tafel V is  $n=980$  mm,  $n'=145, \text{h mm}$ ,  $t_s=716, 0$  cm, folglich ist  $t_s=\frac{980}{980+145, 4}$ ,  $121.8$  cm  $=368.3$  cm, 
$$h=\frac{980}{980+145, 4}$$
,  $126, 0$  cm  $=640, 7$  cm.

Tabelle IV.

Abgelesene Centralcoordinaten für Tafel VI<sup>a</sup> und VI<sup>b</sup>. M. II. Versuch.

		Punk	kt I.			Punk	t II.			Punk	ш.	
N.	y,	3,	$x_{b}$	$z_b$	$y_a$	3,	$x_b$	3,	<i>y</i> <sub>a</sub>	3,	$x_{b}$	$z_{b}$
4	+13,1	-45.8	+26,3	-41.5	-42.8	- 9.6	+4.3	-10.0	-25,2	+16.8	+14.6	+16.8
9	+12,5	-46,0	+25,9	-41,8	-42,9	- 9,0	+4.4		-25,0			
				-42,3			+3,6		-24,7			
4	+ 8.0	-46,7	+23,1	-43.0	-43,0	- 3.8	+2.5	- 4.0	-23.4	+19,9	+15,0	+19.8
5	+ 2,7	-45.8	+21.7	-12.8	-42,5	+ 3.0	+1,0	+ 3.2	-20.9	+23,9	+14.9	+23,
6	- 2.4	-43.5	+21.5	-41.0	-41.2	+ 9.7	-0.4	+10.6	-17.8	+28,2	+43.8	+27.
7	-12.1	-37.4	+21.3	-35.5	-35,7	+23.2	-3,0	+24.9	- 9,1	+35.8	+12.0	+35.
8	-16.0	-33.4	+21.9	-31.7	-32,0	+28.9		+30,9				
					-27,9		-4.7		+ 0.9			
0	-21.5	-24.0	+23,4	-23.1	-22,9	+38,9	-5.1	+40.9	+ 6,6	+42,2	+ 9,2	+40,
1	-23.6	-17.8	+24.4	-17,1	-16,6	+43,7	-5.8	+45.5	+13.2	+43,2	+ 8.1	+41.
2	-25.1	-10.5	+24.8	-10,0	- 8,7	+48.2	-6.5	+49.6	+20,8	+43,2	+ 7.1	+40.
3	-25,7	- 4,7	+24.8	- 4.4	- 1,6	+51,0	-6.8	+51,8	+26,9	+12,2	+ 6,8	+39,
4	-25.0	+ 4.7	+24,6	+ 4,5	+10,1	+53.3	-7,0	+53,3	+36,1	+39,1	+ 6,4	+36,
5	-24.0	+ 8,2	+24.6	+ 8.0	+14.8	+53.6	-7.5	+53,2	+39,8	+37,4	+ 6,0	+34.
6	-23.2	+11.4	+24,1	+11,1	+18,9	+53,3	-8.0	+52.8	+42,3	+35,8	+ 5,9	+33,
7	-22.5	+43,7	+23.9	+13,3	+21.7	+53.0	-8,4	+52.3	+44,3	+34.5	+ 5.7	+31,
8	-21.4	+16,3	+23.6	+15,9	+25.0	+52.4	-8,9	+51.4	+46,6	+32.8	+ 5.3	+30,
9	-20.3	+18.7	+23.1	+18.1	+28,0	+51.7	-9.3		+48,4			
					+30,8		-9,6		+50,4			
П	-18.9	+22,4	+21.9	+21.8	+32,9	+50,1	-9.8	+48,9	+51,1	+28,3	+ 5,1	+25.

Fur Tatel VI is 
$$n=980$$
 mm,  $n'=112,3$  mm,  $s_s=121,8$  cm, fur Tatel VI is  $n=980$  mm,  $n'=1114,7$  mm,  $s_s=716,0$  cm, folglich ist  $l_s=\frac{980}{980+412,3}$ :  $421,8$  cm =  $368,3$  cm, und 
$$l_s=\frac{980}{980+114,7}$$
:  $716,0$  cm =  $611,0$  cm .

Aus diesen abgelesenen Coordinaten berechnet man mit Hulfe der Formeln auf pag. 24 die rechtwinkligen Coordinaten. Dieselben finden sich in den folgenden Tabellen V, VI, VII, VIII niedergelegt.

Tabelle V.

Berechnete rechtwinklige Coordinaten für Tafel IIa und IIb. H. I. Versuch.

		P	unkt	1.	(1	iegt	in d	erVerlä	Punkt gerung		bialán	zsax)	e).	P	unkt I	11.	
Ŋ,	$x_1$	y,		z,	Mittel für z	4	r,	y,	_	5,	Mit		$x_{i}$	y,	-	1,	Mittel for z <sub>1</sub>
					4 -46,34 5 -46,4			-41,2									4 +45,3
					6-16,5		0,1	-11.2									5 +45,15 7 +45,7
					0 -46.8		0	-41.2		- 6.							3 +16.2
					3 -47,2		0	-41.3		- 5.							2 + 17.05
					5 -47.5		0	-11.2									6 +48.3
					9-46.9												2 +21,0
					4 -45,45												7 +23.6
	+16,8				4-43.4	-	2,1	-38,7	+12,9	+13.	2+13	.05	+43,	-11,0	+26.4	+26.	5 +26.41
10.	+47.4	- 7.0	-44.5	-41.	0 -44,4	1-	2,8	-37.0	+47.7	+48.	0 + 17	.85	+13,5	8.3	+28.9	+29.	4 + 29.1
					3 -38,4	-	3,2										5 +31,4
12	+17.8	-14,4	-35,9	-35,	4 -35,41	-	3,8										6 +33.55
					7 -30,8		4,7										4 +35.39
4 \$	+48,2	-21,1	-27,9	27,	1 -27,15									8 + 8,2			
					1 -23,2		6,0							+12.4			
					2-20,3			-14,4				,6	+10,5	+15,4	+36,9	+36,	9+36.9
					8-17,9												8 +36.5
					3 -15,4		6,9		+46,6								6 +36.65
19	+17,2	-27,0	-13,3	-13,	2 -13,2	1	7,2										4 +36.4
20	+17,0	-27,7	-10,8	-10,	5 -10,68	1	7,8		+48,8					+24,8			
	+16,6						8,2		+49,9								4 +35,3
	+16,1							+ 5,0						+32,2			5 +34.5
	+15,9							+11.5									7 +32.7
	+15,5							+11,3									9 +31.4
	+15.4			+ 5.				+16.2						+37,2			
	+15.4							+18.4					. 0,1				5 +30.6
					6 + 8,5												7 +29 65
					+10,0			+92.2									9+28.95
					+10,85									+41,6			
34	445 4	-95 7	+44.6	+11	+11,65	Li	1 7	+91.4	+50.6	+50	+50	6					0 +28.35
					+12,55												+27.55
33	+15 0	-25 2	+13.0	+13.3	+13,15	1-1	2.4	+26.2	+50.3	+50	1+50	3	+ 7.9				+27.25
-0	, 0			1	1,		-, .	0, 0		1. 50,	1.00	- 1	,.	1	,0	, ,	

 ${\bf Tabelle~VI.}$  Berechnete rechtwinklige Coordinaten für Tafel III $^{\rm a}$  und III $^{\rm b}$ . H. II. Versuch.

Punkt 1.				Punkt II.					Punkt III.			
x,	y,	z,	Mittel für 3,	$x_{i}$	y,	3 <sub>1</sub>	Mittel für z.	x,	y,	z,	Mittel fur z.	
-	-		<u> </u>				-	-		_	-	
		-46,4-46,3				- 6,1 - 6,1				+47,2 +17,1		
		-46,2-46,3			-42,6					+17,4 +17,2		
		-46,5-46,4 -46,6-46,5				- 4,0 - 3,8 - 4,3 - 1,4				+48,2+18,2		
		-46,2-46,4				+ 2.3 + 2.5				+24,2+24,3		
		-45,0-45,0				+ 6.4 + 6.6				+23.7 +23.6		
		-43.2 -43.1				+10.9 +10.9				+26,3 +26,3		
		-41,0-40,9				+15.2 +15.3		+ 8.7	-41.5	+28,9 +28,9	+28 9	
		-38,7 -38,6				+19.5 + 19.7				+31,2+31,0		
		-35.9 - 35.7				+24.0 +24.4				+33,3 +33,4		
18,2	-46.4	-33.5 - 33.3	-33.4	-10.5	-32.7	+27.4 +27.4	+27.4	+ 5.9	- 2.7	+34.5 +34.7	+34.6	
		-30,6 -30,6	-30,6	-11,5	-29.7	+30,9 +30,9	+30,9	+ 5,1	+ 0,7	+36,0 +35,9	+35,95	
						+34.0 +34.0				+36,8 +36,7		
						+37,0 +36,8				+37,5 +37,4		
						+39,5+39,5				+37,8+37,7		
						+44,7 +44,8				+38,0 +37,9		
						+43,4 +43,2				+38,0 +38,0		
						+\$4,7 +\$6,7				+37,9 +38,0		
						+45,9+45,8				+37,7 +37,8		
						+46,8 +46,8				+37,5 +37,4 +37,3 +37,4		
						+48.6 +48.7				+36,7+36,5		
	-30,0					+49,2+49,2				+36,3 +36,1		
		- 2.7 - 2.7				+49.7 +49.6				+35.6 +35.4		
	-30,4					+50,1 +49,9				+35,0 +34,8		
						+50.2 +50.4				+34,5 +34,3		
		+ 2.2 + 2.4				+50,4 +50,3				+33.9 +33.7		
	-30.4					+50.4 +50.3				+33.4 +33.2		
	-30,0					+50,4 +50,3				+32,9 +32,7		
	-29,9	+5,5+5,6	+ 5,55	-47,9	+13,8	+50,3 +50,3	+50,3	+ 3,5	+34,7	+32.6 +32.4	+32,5	
10,7	-29,9	+6,0+6,0	+ 6,0	-18,0	+14,7	+50,4 +50,2	+50,3	+ 3,5	+35,0	+32,4 +32,2	+32,3	

Tabelle VII.

Berechnete rechtwinklige Coordinaten für Tafel Ve und Vb. M. I. Versuch.

	1	Punkt I.			I	Punkt (I.			Punkt 111.			
Nr.	$x_i = y_i$	3,	Mittel für z,	$x_i$	$y_{i}$	3,	Mittel für z <sub>t</sub>	$x_{3}$	y <sub>3</sub>	z,	Na ferg	
	+25,2+46,3					-12,0 -12,0						
	+24,9+15,6					-11,2-11,1						
3	+24,4 +14,4	-43,8-43,6	-43.7			- 9,7 - 9,6						
6	+23,7 +12,4	-44,4-43,8	-43,95									
	+22,3 +10,3					- 4.2 - 4.0				+18.6+1		
	+24,0 + 7.5					- 0,5 - 0,4						
	+20,4 + 4,4 +20,8 + 0,8									+23,2 +2		
	+20,8 + 0,8					+13,9+13,9				+29.4 +2		
	+21.2 - 5.7					+13,5+13,9						
	+21.4 - 7.9					+21.9 +21.8				+33.8 +3		
	+21,6 - 9,6					+24.7 +24.6				+35.2 +3		
	+21.8 -12.0					+28.4 +28.4				+36,9 +3		
	+22.2 -14.4					+32.5 +32.5		+11.5		+38.7 +3		
	+22.8 -16.8					+37,3 +37.2						
	+23.4 -18.1					+40.5 +40.5				+41.2 +4		
	+23.9-49.4					+43.7 +43.6				+44.9 +4		
	+24,2-20,4					+46,5+46,3				+42.0 +4		
	+24.4 -21.0				- 7.8	+48,4+48,4	+48.4			+42,0+4		
	+24.4 -24.4					+50,4 +50,4				+41.5 +4		
24	+24,1-21,6	- 3,5 - 3,6	-3,55	-5,7	+ 1,9	+52.0 +52,0	+52,0	+ 7,5	+30,0	+40,7+4	0.5+10	
22	+24,5 -21,4	- 0,4 - 0,5	- 0.45	-5,8	+ 6,4	+53,1+53,2	+53,45	+ 7,5	+33,4	+39.5 + 39	9.3 +35	
	+24,5 -24,4					+53,8 +53,8		+ 7,5		+38,4 +31		
21	+24,7 -20,6	+ 4,3 + 4,2	+ 4,25			+54,1+54,2				+37,3 +3		
	+24,8 -20,0					+54,2+54,4			+41,4	+36,1 +36	5,0 -341	
	+24,9 -19,3					+54,2 +54,3				+34,8+3		
	+24,9 -18,5					+54,0 +54.0				+33,5 +33		
	+24,8 -47,7									+32,1 +3		
	+24,6 -46,9							+ 6,5	+49,0	+30,6 +30	0.6 -34	
	+24,2-16,0					+52,5 +52,5				+29,2+29		
31	+23,7 -45,6	+18,6 +18,5	+18,55	-8,1	+33,8	+52,0 +51,8	+51,9	+ 6,4	+51,7	+28,1 +21	3,0 -251	

Tabelle VIII.

Berechneto rechwinklige Coordinaten für Tafel VIa und VIb. M. II. Versuch.

1	unkt I.		P	unkt II.		1	unkt III.	
$x_i = y_i$	==1	Mittet für S	x, y,		Mittel für z <sub>2</sub>	x, y,		Mittel für z <sub>3</sub>
26, \$\ + 11, 6\$ 25, \$\ + 14, 6\$ 25, \$\ + 14, 6\$ 25, \$\ + 14, 6\$ 25, \$\ + 14, 6\$ 21, \$\ + 2, 6\$ 221, \$\ + 2, 6\$ 221, \$\ + 2, 6\$ 221, \$\ + 2, 6\$ 221, \$\ + 2, 6\$ 221, \$\ + 2, 6\$ 221, \$\ + 2, 6\$ 221, \$\ + 2, 6\$ 221, \$\ + 2, 6\$ 222, \$\ + 2, 6\$ 223, \$\ + 224, 6\$ 223, \$\ + 224, 6\$ 223, \$\ + 224, 6\$ 223, \$\ + 224, 6\$ 223, \$\ + 224, 6\$ 223, \$\ + 224, 6\$ 223, \$\ + 224, 6\$ 223, \$\ + 224, 6\$ 224, \$\ + 224, 6\$ 244, \$\ + 244, 6\$ 244, \$\ + 244, 6\$ 244, \$\ + 244, 6\$ 244, \$\	-42,7 -42,6 -43,1 -43,0 -43,7 -43,5 -43,4 -43,0	-42.5 + -53.05 + -54.05 + -44.	3,8-42,4 3,4-42,6 2,3-42,7 0,9-42,4 0,4-41,2 2,8-36,0 3,8-32,3 4,5-28,3 5,7-46,9 6,4-8,9 7,1+10,3 7,7+15,1 8,7+22,2 9,2+25,6 9,7+28,7	- 8,9 - 8,7 - 7,5 - 7,5 - 3,8 - 3,7 + 3,0 + 3,0 + 9,7 + 9,9 +23,4 + 23,5 +29,2 + 29,3 +34,3 + 34,4 +39,4 + 39,4 +41,4 + 44,0 +45,0 + 48,9 +51,9 + 51,7	- 8,8 - 7,5 - 3,75 + 3,0 + 9,8 +23,45 +29,25 +34,35 +34,35 +44,35 +51,8 +54,2 +54,5 +54,2 +53,6 +53,0	+14,1 -24, +14,2 -23, -22,-14,4 -20, +13,4 -17, +10,9 - 4, +10,9 - 4, +10,1 + 0,; + 7,3 +20, + 6,8 +35, + 6,4 +39, + 6,4 +34, + 6,4 +34, + 5,7 +45,	2+16,2+16,5 7+16,4+16,5 7+17,0+17,4 5+19,1+19,1 +23,0+23,4 +27,2+27,2 +34,7+34,6 3+37,5+34,6 3+37,5+37,5 3+39,5 442,2+42,1 442,3+42,2 444,4+41,1 5+32,4+3,3+2,2 444,4+3,1 5+33,4+38,3 1+33,9+33,9 1+33,9+33,9 1+33,7+30,7+30,6	+46,4 +47,05 +49,4 +23,05 +27,2 +34,65 +37,5 +39,5 +41,4 +12,45 +41,4 +12,45 +41,4 +38,35 +36,75 +35,45 +33,9 +32,2 +30,65
-21,3 -17,8	+21,1+21,2	+21,15	10,3[+33,8	+a1,a +a1,a	+31,3	+ 3,5,+30,	+27,9+27,9	+21,9

Ausserdem ergeben sich aus Tafel 1<sup>8</sup> und 1<sup>16</sup> einerseits, und Tafel 1<sup>8</sup> und 1<sup>18</sup> and 1<sup>18</sup> a

Abgelesene Coordinaten des Gelenkmittelpunktes und der drei Punkte in der Ruhe, und Werthe der Grössen  $l_n$  und  $l_k$ :

Fur Tafel la und lb.

Coordinaten des Gelenkmittelpunktes:

 $y_a = +15.0$ ;  $z_a = -4.0$ ;  $x_b = 0$ . Abhandi, d. K. S. Gosellsch. d. Wissensch. XXIX.

Coordinaten der drei Punkte in der Ruhe:

Punkt 1.		Punkt II.	Punkt III.
$\begin{vmatrix} y_a \\ +12,3 \end{vmatrix} \begin{vmatrix} z_a \\ -48,8 \end{vmatrix} + 21,0$	$\begin{bmatrix} z_b & y_a \\ -45,2 & -40,9 \end{bmatrix}$	$\begin{bmatrix} z_a & x_b & z_b \\ -7,2 & -0,8 & -7,8 \end{bmatrix}$	$\begin{array}{c c} y_a & z_a & x_b & z_b \\ -19,9 & +17,2 & +13,0 & +17,1 \end{array}$
			mm, $\varepsilon_a = 424.8 \text{ cm}$ , mm, $\varepsilon_b = 746.0 \text{ cm}$ ,
	$l_e = \frac{986}{980 + }$	) 142,5 · 421,8 ci	п = 368,3 сш
und	$l_b = \frac{980}{980 + 1}$	114.9 · 716,0 ci	n = 640,8 cm.

Für Tafel IVa und IVb:

Coordinaten des Gelenkmittelpunktes:

$$y_a$$
  $z_a$   $x_b$   $+ 47,5$   $-3,5$   $0$ 

Coordinaten der drei Punkte in der Ruhe:

Ponkt I. Punkt II. Für Tafel IV ist n=980 mm, n'=142.2 mm,  $\epsilon_a=421.8$  cm, für Tafel IV ist n=980 mm, n'=114.8 mm,  $\epsilon_b=746.0$  cm, folglich ist  $l_s = \frac{980}{980 + 142.2} \cdot 421,8 \text{ cm} = 368,4 \text{ cm}$ 

und 
$$l_b = \frac{980}{980} + 114.8 \cdot 716.0 \text{ cm} = 640.9 \text{ cm}.$$

Daraus berechnen sich folgende rechtwinklige Coordinaten für den Gelenkmittelpunkt und die drei Punkte in der Ruhe:

Für Tafel la und lb.

Coordinaten des Gelenkmittelpunktes:  $x_0 = 0$ ;  $y_0 = .15,0$ ;  $z_0 = -4.0$ .

$$x_0 = 0$$
;  $y_0 = 10,0$ ,  $x_0 = -10,0$ .

Coordinaten der drei Punkte in der Ruhe:

Punkt I.	Punkt II.	Punkt III.			
x, y, z, Mittel von z,	x <sub>1</sub> y <sub>2</sub> z <sub>3</sub> Millel von z <sub>4</sub>	x <sub>3</sub> y <sub>3</sub> z <sub>3</sub> Mittel			

Coordinaten des Gelenkmittelpunktes:

$$x_a = 0$$
;  $y_a = 47.5$ ;  $z_a = -3.5$ .

Coordinaten der drei Punkte in der Ruhe:

Punkt 1.	Punkt II.	Punkt III.
$x_i$ $y_i$ $z_i$ Mittel von $z_i$ $x_i$ 23.3 +17.4 -45.2 -45.4 -45.45 +4.	y <sub>1</sub> 2 <sub>1</sub> Mittel von z <sub>2</sub> -13,5 -13,3 -13,4	$x_3$ $y_3$ $x_3$ $x_3$ $x_4$ $x_5$

Wie schon in einer früheren Arbeit ausführlich auseinandergesetzt wurde, kann man sich dadurch eine genaue Vorstellung von dem ganzen Bewegungsvorgang verschaffen, dass man die ganze Bewegung in lauter kleine auf einander folgende Rotationen zerlegt, Nimmt man nur diese Verrückungen klein genug, so hat man in dieser Folge von Rotationen mit genügender Annäherung ein Bild des ganzen Bewegungsvorganges. Eigentlich müsste man, anstatt von Rotationen, von Schraubenbewegungen sprechen; da aber die ganze Bewegung nahezu so vor sich geht, dass die Längsaxe der Tibia sich in einer einzigen Ebene bewegt, so werden die Schraubenhöhen, wenn überhaupt von solchen die Rede sein kann, nur ganz verschwindende Bruchtheile von Millimetern betragen, und es würde eine vollständige Verkennung der Genauigkeit sein, welche man bei aller Sorgfalt in der Anordnung des Versuches erzielen kann, wollte man sich auf eine Berechnung der Schraubenhöhen, welche den einzelnen Verrückungen entsprechen, einlassen.

Es wurden bei der Annahme, dass die Bewegung auf lauter kleinen Rotationen besteht, die Curven von zwei fest mit der Tibia verbundenen Punkten genügen, um die Bewegung vollständig zu analysiren. Wir haben aber absichtlich drei Punkte genommen und auf diese Weise eigentlich das Mittel von drei Versuchen gezogen, nämlich:

- 4. die Bewegung, wie sie sich aus den Curven der Punkte I und II.
- 2. die Bewegung, wie sie sich aus den Curven der Punkte II und III. und
- 3. die Bewegung, wie sie sich aus den Curven der Punkte III und 1 ergibt.

Da es sich jedesmal um dieselbe Bewegung handelt, so liegt in der Anwendung von drei Punkten ein Mittel, die unvermeidlichen Beebachtungs- und Ablesungsfehler bis zu einem gewissen Grade zu eorrigiren.

Um die Richtung der Drehungsaxe zu finden, welche einer solchen kleinen Vertruckung entspricht, hat nam nur zu beachten, dass alle Punkte bei einer reinen Rotation sich in parallelen Ebenen bewegen, welche sämmtlich senkrecht auf der Rotationsaxe stehen. Es genütgt, ein der senkrecht zur Rotationsaxe stehenden Ebenen zu bestimmen, um damit die Richtung der Rotationsaxe selbst zu erhalten.

Zu diesem Zwocke hat nan uur nüthig, die Strecken zwischen Anfangs- und Endstellung eines jeden der drei Punkte bei einer Verrückung parallel mit sich selbst so zu verschieben, dass die Anfangsstellungen der drei Punkte in einen einzigen Punkt des Raumes fallen. Dann werden alle drei Strecken in eine einzige Ebene fallen müssen, welche senkrecht zu der Rotationsaxe steht.

Die Gleichung dieser Ebene ist die Gleichung derjenigen Ebene, welche durch die drei Endstellungen nach der Verschiebung gelegt ist; dieser Ebene gehört auch die gemeinsame Anfangsstellung an.

Für die Berechnung ist es am einfachsten, die drei Strecken nach dem Coordinatenanfangspunkte zu verschieben. Dann läuft nämlich die Verschiebung auf eine einfache Subtraction der entsprechenden Coordinaten der Endstellung und Anfangsstellung bei jeder Verrückung hinaus. Die Differenzen sind daun die Coordinaten der Endstellungen nach der Verschiebung. Dieselben sind für die vier Versuche in den folgenden Tabellen IX, X, XI, XII niedergelegt und mit x', y', z' bezeichnet worden. Wir haben nicht die Verrückungen zweier auf einander folgender Funken genommen, weil dieselben bei ihrer Kleinheit zu grosse Fehler gegeben hätten, sondern wir haben bei jeder Verrückung drei Punkte übersprungen. Es sind aber trotzdem alle Punkte bei der Berechnung benutzt worden, so dass wir bei aufeinander folgender Nummerirung der Funken z. B. die Verrückung 4 bis 5, 2 bis 6, 3 bis 7 u. s. w. haben. Dabei sind, wie schon früher, die Coordinaten die zum Punkt I gehören, mit dem Index 1, die zum Punkt II gehörigen mit dem Index 2, die zum Punkt III gehörigen mit dem Index 3 versehen worden.

Tabelle IX.

Differenzen der Coordinaten. Tafel II<sup>a</sup> und II<sup>b</sup>. II. I. Versuch.

		Punkt I.			Punkt 1	I.	1	Punkt 1	П.
Ver- rückung	x'	$y_i'$	z,	$x_i'$	y' <sub>1</sub>	z,'	$x_i'$	$y_{i}'$	z'
4, 5	-2,6	- 2,6	- 0,85	+0,1	- 0,4	+ 3,55	+4,0	+ 1,5	+ 4,75
2, 6	-4,2	- 5,7	- 1,15	+0,1	0	+ 7.45	+2,2	+ 3,0	+ 3,1
3, 7	-4.9	- 9,1	- 0,35	-0,5	+ 0,4	+44,95	+2,2	+ 4,7	+ 5,35
4, 8	-2,7	-12,1	+ 4,4	-1,1	+ 4,3	+45,6	+1,3	+ 6,2	+ 7,45
5, 9	-1,6	-43,8	+ 3,8	-2,1	+ 2,6	+18,2	-0.4	+ 7,7	+ 9,4
6,10	+0.8	-44.0	+ 6,45	-2,8	+ 4.2	+48,8	-2,4	+ 8,8	+10,45
7,44	+4.9	-14.0	+ 8,45	-2,7	+ 6,4	+49,2	-2,8	+10,6	+10,35
8,12	+2,0	-44,0	+10,3	-2.7	+ 9,0	+19,95	-2,8	+12,8	+ 9,9
9,43	+4.4	-14.7	+12.6	-2,6	+12,5	+20.8	-2,5	+15,7	+ 8,9
10,14	+0,8	-44,0	+43,95	-2,7	+14,9	+19,9	-2,4	+46,8	+ 7,3
44,45	+0,7	-12.4	+15,25	-2,8	+16,8	+18,15	-2,5	+47,0	+ 5,4
12,16	0	-10,2	+14,85	-2,8	+46,5	+45,4	-2,0	+45,9	+ 3,35
13,17	-0,7	- 7,4	+12,9	-2.4	+14,9	+11,4	-1,2	+43,4	+ 1,5
14,18	-0,8	- 5,4	+11,75	-1.4	+13,6	+ 8,85	-0,7	+11,6	+ 0,35
45,49	-0,9	- 3.8	+ 9,95	-1,2	+44,7	+ 6,35	-0.4	+ 9,7	- 0,35
16,20	-0.8	- 3,4	+ 9,65	-1,2	+44,6	+ 5,2	-0,3	+ 9,1	- 0,9
17,21	-0,9	- 2,5	+40.5	-4.4	+12,6	+ 4,65	-0.5	+ 9,4	- 4,5
18,22	-4,3	- 2,1	+44,0	-4,7	+43.5	+ 4.15	-0.5	+ 9,6	- 2,45
19,23	-1,3	- 4,5	+41,8	-1,7	+44,4	+ 3,6	-0.4	+10,1	- 2,85
20,24	-1,3	- 0,7	+44,65	-4,5	+44,3	+ 2,7	-0,4	+ 9,5	- 3,25
21,25	-1,1	+ 0.2	+40,65	-1,5	+12,9	+ 1,6	-0,5	+ 8,6	- 3,4
22,26	-0,7	+ 0,9	+ 9,45	-1,6	+44,2	+ 0,7	-0,7	+ 7,5	- 3,3
23,27	-0.5	+ 1,3	+ 8,35	-1.8	+ 9.9	+ 0,1	-1,4	+ 6,5	- 3,15
24,28	-0.4	+ 1,6	+ 7,55	-1,8	+ 8.9	- 0,35	-1,2	+ 5,9	- 3,1
25,29	-0.3	+ 1.6	+ 6,75	-4.7	+ 8,0	- 0,55	-1,0	+ 5,1	- 3,0
26,30	-0,3	+ 4,5	+ 5,8	-4,3	+ 7,2	- 0.7	-0.8	+ 4,4	- 2,7
27,34	-0,3	+ 1,5	+ 4,75	-1,0	+ 6,0	- 0.75	-0,5	+ 3,6	- 2.4
28,32	-0,3	+ 1,3	+ 4.0	-0,8	+ 5,4	- 0,7	-0,4	+ 3,0	- 2,1
29,33	-0,2	+ 1,2	+ 3,45		+ 4,0	- 0,65	-0.3	+ 2,4	- 4,7

In diesen und den folgenden Tabellen können die Zahlen derselben Spalte nicht, wie es in den früheren Tabellen der Fall ist, eine gewisse Stetigkeit im Zunehmen oder Abnehmen zeigen, da die einzelnen Funken nicht in genau gleichen Zeitintervallen gekommen sind.

[38

 ${\bf Tabelle~X.}$  Differenzen der Coordinaten. Tafel III^a und III^b.  $\it H.$  II. Versuch.

		Punkt I			Punkt I	I.		Punkt I	II.
Ver- rückung	$x_i'$	y;	z' <sub>4</sub>	$x'_{i}$	y' <sub>1</sub>	3,	$x_i'$	y's	2,
1, 5 2, 6 3, 7 4, 8 5, 9 6,40 7,44 8,42 9,43 10,44 41,45 12,46 13,47 14,48	-3,2 -3,4 -4,6 +0,4 +4,4 +4,7 +4,6 +0,9 -0,3 -4,4 -4,4 -4,9 -2,0	- 6,6 - 9,5 -11,2 -12,8 -13,4 -13,4 -14,5 -10,4 - 9,2 - 8,5 - 7,2 - 6,4 - 5,0	+ 0,05 + 1,25 + 3,3 + 5,6 + 7,5 + 9,2 + 9,75 + 10,35 + 10,7 + 10,8 + 11,35 + 11,35 + 10,7 + 10,0	-0,8 -1,9 -3,4 -3,8 -4,7 -4,6 -4,3 -4,2 -3,9 -3,7 -3,3 -3,0 -2,4 -2,4	+ 0,2 + 1,0 + 1,9 + 3,3 + 5,0 + 6,8 + 8,0 + 9,5 + 10,6 + 11,2 + 12,6 + 12,7 + 12,7 + 12,3	+ 8,5 +12,25 +14,8 +16,45 +17,2 +17,55 +16,5 +15,65 +14,4 +12,85 +12,4 +10,85 + 9,3 + 7,8	+1,0 +0,1 -1,3 -2,9 -4,0 -4,3 -4,0 -3,6 -3,2 -2,6 -2,0 -1,3 -0,8	+ 3,5 + 5,0 + 6,2 + 7,5 + 8,7 +10,4 +11,1 +12,4 +12,4 +12,5 +11,9 +11,0 +10,0	+4,4 +6,55 +8,4 +9,5 +9,55 +9,55 +8,3 +7,05 +5,65 +4,25 +3,45 +2,0 +1,25 +0,5
15,19 16,20 17,21 18,22 19,23 20,24 21,25 22,26 23,27 24,28 25,29 26,30 27,31	-2,1 -2,2 -2,2 -2,2 -2,0 -1,7 -1,7 -1,5 -1,1 -1,1 -0,7 -0,8	- 4,0 - 3,4 - 2,7 - 2,4 - 1,6 - 0,7 - 0,5 - 0,4 + 0,4 + 0,6 + 0,4	+ 8,95 + 8,45 + 8,4 + 8,4 + 8,8 + 7,85 + 7,4 + 6,25 + 5,55 + 4,6 + 3,7	-1,8 -1,2 -1,2 -0,9 -0,7 -1,0 -1,0 -1,2 -1,0 -0,7 -0,7 -0,5	+10,8 +10,0 +10,2 +10,4 +10,4 +11,4 +11,4 +10,5 + 9,8 + 9,0 + 7,4 + 6,6 + 5,4 + 4,6	+ 6,35 + 5,05 + 4,45 + 3,95 + 2,85 + 2,25 + 4,5 + 4,5 + 0,7 + 0,35 + 0,45 - 0,05	-0,3 -0,3 -0,3 -0,3 -0,3 -0,4 +0,4 +0,2 +0,3 +0,2 +0,4	+ 9,0 + 8,0 + 7,8 + 7,7 + 7,4 + 7,5 + 7,4 + 6,4 + 5,9 + 5,0 + 4,4 + 3,8 + 2,9	0 -0,5 -0,8 -1,35 -1,55 -2,15 -2,3 -2,2 -2,4 -2,0 -2,4 -1,9 -1,5

		Punkt I.			Punkt II	l.	Punkt III.		
Ver- rückung	$x_i'$	y;	s;'	$x_i'$	y's	34	$x_i'$	y' <sub>3</sub>	2,
1, 5	-2,9	- 6,0	- 0,8	-1,8	- 0,7	+ 7,9	+0,2	+ 2,4	+ 4,45
2, 6	-3,9	- 8,1	- 0,75	-2,4	- 0,5	+40,7	+0,4	+ 3,5	+ 5,95
3, 7	-4,0	-10,0	+ 0,25	-2.5	+ 0,1	+43,65	+0.1	+ 4,7	+ 7,75
4, 8	-2,9	-41,6	+ 2,3	-2,7	+ 1,0	+16,1	-0,5	+ 6,0	+ 9,4
5, 9	-1,4	-43,0	+ 4,6	-2,9	+ 2,4	+48,0	-1,3	+ 7,7	+10,8
6,40	+0,2	-13,2	+ 6,55	-2,9	+ 5,1	+19,0	-2,1	+ 9,3	+41,35
7,11	+1,0	-12,0	+ 7.5	-2,7	+ 5,2	+17,85	-2,3	+ 9,7	+10,5
8,12	+0,8	-10.1	+ 7,2	-2,3	+ 6,2	+15,7	-2,0	+ 9,6	+ 8,65
9,13	+0,9	- 9,3	+ 7,75	-2,2	+ 6,9	+44,5	-2,0	+10,0	+ 7,5
10,14	+1,0	- 8.7	+ 8,85	-2,4	+ 8,3	+43,95	-2,4	+40,9	+ 6,7
11,15	+1.4	- 8,9	+11,05	-2,4	+11,1	+15,4	-2,3	+13.6	+ 6.7
12,16	+1.8	- 8,5	+12,85	-2,0	+13,0	+45,85	-2,5	+15,5	+ 6,05
13,17	+2,1	- 7,4	+14,05	-1,8	+15,2	+15,25	-2,7	+46,8	+ 4,95
14,18	+2,0	- 6,0	+14,65	-4.8	+46,5		-2,5	+47,3	+ 3,35
15,19	+1.6	- 4,2	+14,0	-1,9	+16,1	+44,45	-2.6	+45.9	+ 1,5
16,20	+1,0	- 3,3	+44,35	-2,2	+17,3	+ 9,9	-2.6	+46.4	+ 0.3
17,21	+0,2	- 2,2	+14,35	-1,9	+18,0	+ 8,35	-2,0	+45,9	- 1,2
18,22	+0,3	- 1,0	+13,8	-1,5	+18,4	+ 6,75	-4,5	+45,0	- 2,55
19,23	+0,1	- 0,1	+12,95	-0.7	+17,9	+ 5,4	-0,7	+46.6	- 3,6
20,21	+0,3	+ 0.8	+11,5	+0,4	+16,4	+ 3,75	-0.2	+12,9	- 4,2
21,25	+0,7	+ 1,6	+10.05	+0.3	+44,7	+ 2,3	0	+44,4	- 4,55
22,26	+0,4	+ 2,1	+ 9,05	+0,1	+13,4	+ 4.1	-0,4	+ 9,8	- 4,7
23,27	+0,4	+ 2,6	+ 8,8	-0,4	+12,9	+ 0,2	-0,3	+ 9,1	- 4,85
24,28	+0,1	+ 2,9	+ 8,7	-1,0	+12,7	- 0,45	-0,8	+ 8,5	- 5,25
25,29	-0,2	+ 3,4	+ 8,55	-1,8	+12,2	- 4,4	-1,0	+ 7,9	- 5.45
26,30	-0,7	+ 3,3	+ 8,5	-2,0	+11,9	- 4,75	-0,9	+ 7,4	- 5,5
27,34	-4,2	+ 2,9	+ 7,7	-2,4	+40,8	- 2,1	-0,8	+ 6,4	- 5,4

Tabelle XII.

Differenzen der Coordinaten. Tafel VI<sup>a</sup> und VI<sup>b</sup>. M. II. Versuch.

		Punkt I.		1	Punkt II		Punkt III.		
Ver- rückung	$x_i'$	y',	z;	$x_t'$	y' <sub>1</sub>	24	$x_3'$	y' <sub>3</sub>	2,
1, 4 2, 5 3, 6 4, 7 5, 8 6, 9 7,10 8,11 9,12 10,13 11,14 12,15	-3,4 -4,6 -3,9 -2,5 -0,4 +0,3 +1,4 +2,1 +2,1 +1,5 +0,1 -0,1	- 4,7 - 9,4 -12,8 -18,9 -17,5 -45,5 - 8,8 - 7,0 - 5,6 - 3,8 - 4,3 + 1,0	- 1,2 - 0,55 + 2,4 + 8,65 + 11,95 + 13,75 + 12,45 + 14,5 + 17,5 + 18,2 + 20,95 + 17,4	-1,7 -2,9 -3,8 -5,1 -4,7 -4,1 -2,1 -1,9 -1,9 -1,4 -1,3	- 0,4 0 + 1,4 + 6,7 +10,1 +12,9 +12,8 +15,4 +19,4 +21,6 -27,2 +24,0	+ 5,65 +11,8 +17,3 +27,2 +26,25 +24,55 +15,95 +15,1 +14,6 +12,4 + 9,9 + 5,65	+0,5 +0,3 -0,8 -2,7 -3,5 -3,3 -2,5 -2,6 -2,8 -2,2 -1,5 -0,9	+ 1,8 + 3,9 + 6,6 + 43,6 + 16,1 + 18,0 + 15,2 + 16,9 + 19,5 + 20,0 + 22,6 + 18,8	+ 2,9 + 6,65 +10,15 +15,55 +14,45 +12,3 + 6,45 + 1,65 + 2,75 + 0,3 - 3,8 - 5,5
13,16 11,17 15,18 16,19 17,20 18,21	-0,6 -0,5 -0,9 -0,8 -1,2 -1,5	+ 2,3 + 2,4 + 2,5 + 2,7 + 2,7 + 2,2	+15,0 + 8,5 + 7,65 + 6,9 + 6,75 + 5,8	-1,4 -1,6 -1,5 -1,5 -1,4 -1,4	+20,9 +11,9 +10,5 + 9,4 + 9,4 + 8,2	+ 2,65 - 0,05 - 1,0 - 1,45 - 1,85 - 2,1	-0,8 -0.7 -0,7 -0,8 -0,7 -0,2	+15,2 + 8,4 + 6,7 + 6,4 + 5,8 + 4,5	- 6,25 - 4,45 - 4,55 - 4,5 - 4,6 - 4,3

Die Gleichung der Ebene, welche durch die drei Punkte mit den Coordinaten  $x_i'$ ,  $y_i'$ ,  $z_i'$ ;  $x_i'$ ,  $y_i'$ ,  $z_i'$ ;  $x_i'$ ,  $y_i'$ ,  $z_i'$  gelegt ist, lautet, Ax + By + Cz = D,

wobei die Grösse D den Werth Null besitzen muss, da die Ebene durch den Coordinatenanfang hindurchgeht. Leder der Coefficienten A, B und C stellt sich als Summe von drei Determinanten dar, nämlich:

$$A = (y_1'z_1' - y_1'z_1) + (y_1'z_1' - y_1'z_1) + (y_1'z_1' - y_1'z_1)$$

$$B = (z_1'x_1' - z_1'x_1) + (z_1'x_1' - z_1'x_2') + (z_1'x_1' - z_1'x_1)$$

$$C = (x_1'y_1' - x_2'y_1) + (x_1'y_1' - x_1'y_2) + (x_1'y_1' - x_1'y_1)$$

Daraus folgen als Gleichungen der Normalen zu dieser Ebene durch den Coordinatenanfangspunkt:

$$y = \frac{B}{A}x$$
 und  $z = \frac{C}{A}x$ .

Die Berechnung der Grössen A, B und C und der Quotienten  $\frac{B}{A}$  und  $\frac{C}{A}$  ist in folgenden vier Tabellenpaaren niedergelegt: XIII<sup>a</sup> und XIII<sup>b</sup>, XIV<sup>a</sup> und XIV<sup>b</sup>, XV<sup>a</sup> und XV<sup>b</sup>, XVI<sup>a</sup> und XVI<sup>b</sup>.

Tabelle XIII<sup>a</sup>.

Berechnung der 9. Determinanten. Tafel II<sup>a</sup> und II<sup>b</sup>. II. 1. Versuch.

Ver- rückung	$y'_1 z'_3 \\ -y'_3 z'_1$	y' z' -y' z' -y' z'	y', z' <sub>1</sub> -y' <sub>1</sub> z' <sub>1</sub>	$z_{i}'x_{i}' - z_{i}'x_{i}'$	z' <sub>3</sub> x' <sub>1</sub> -z' <sub>1</sub> x' <sub>3</sub>	$\begin{array}{c c} z_i'x_i'\\ -z_i'x_i' \end{array}$	$x_i'y_i'$ $-x_i'y_i'$	$x_3'y_1'$ $-x_1'y_3'$	$x_i'y_i'$ $-x_i'y_i'$
1, 5	- 5,50		- 9,31	+ 3,37	- 3,70 -10,49	+ 9,14			+ 0,52
3, 7	- 54,02	+ 47,04	- 12,16 -108,60	+28,96	-25,44	+58,72	-3,23	+ 3,01	+ 0,57
4, 8 5, 9			-190,58 -261.04	+28,47	-21,93 -13,52	+40,58	- 8,51 -45 43	+ 1,01	-16,82 -33,14
6,10	-121,55	+203,06	-290,29	-15.86	+23.84	-33,10	-14,56	+26,56	-35,84
7,11 8,12	-166, 26	+270,44	-322,88 -372,00	-29,13	+48,64	-59, 29 -67,71	-9,36	+13,60	-25,64 $-19,80$
9,13	-215,31 -225.55	+328,65 +336.56	-463,26 -486,45	-28,86 -28.05	+43,96	-61,88 -53,58			-20,72 $-25,88$
11,15	-247,83	+326,21	-484,26 -399,04	-30,25	+44,90	-55,40 -41,58	-5,60	+19,10	-22,96 -28,56
13,17	-126,99	+180,09	-276,57	-10,53	+14,43	-19,11	- 9,63	+18,05	-25,97
14,48	- 65,69	+ 95,18	-207,59 -141,54	- 2,96	+ 7,94	- 6,22	- 6,96	+10,25	-18,44 -45,09
16,20	- 57,76 - 69,61	+ 85,02	-128,06 -143,92	- 2,64	+ 3,64	- 7,42	- 7,44 - 6,86	+ 8,24	-13,00 -14,84
18,22	- 68,86	+101,08	-157,21	- 5,73	+ 8,29	-13,30	- 9,57	+13,53	-21,12
19,23	- 72,12	+408,40	-175,32 $-168,48$	- 5,95	+ 8,88	-15,38 -13,96	- 8,53	+12,63	-21,27 -19,64
21,25	- 57,62 - 42,21	+ 92,27	-137,06 -105,21	- 5.77	+ 8.92	-14,21 -14,63	- 6,45 - 4,16	+ 9,36	-13,89 - 6,40
23,27	- 31,83	+ 58,37	- 82,53 - 67,75	- 5,78	+40,76	-14,98 -13,73	-0.81	+ 1,82	- 2,64 - 0,68
25,29	- 21,19	+ 39,22	- 54,88	- 4,55	+ 7,65	-11,64	-0,67	- 0,07	+ 0,32
26,30 27,34	- 16,36 - 11,70	+ 20,70	- 42,84 - 29,62	- 2,02	+ 3,09	- 7,75 - 4,97	-0,60	+ 0,33	- 0,21 - 0,30
28,32	- 8,61 - 5,94	+ 14,73	- 21,31 - 43,38	- 4,40	+ 2,23	- 3,44	- 0,36	+ 0,38	- 0,49

Tabelle XIII<sup>b</sup>.

Berechnung der Coefficienten, Tafel II<sup>a</sup> und II<sup>b</sup>, H. I. Versuch.

Ver- rückung	$A = (y'_1 z'_3 - y'_3 z'_4) + (y'_3 z'_1 - y'_1 z'_2) + (y'_1 z'_4 - y'_4 z'_1)$	$B = \\ (z_1' x_3' - z_1' x_1') \\ + (z_1' x_1' - z_1' x_3') \\ + (z_1' x_2' - z_1' x_1')$	$C = (x'_1y'_3 - x'_3y'_1) + (x'_1y'_1 - x'_1y'_2) + (x'_1y'_2 - x'_1y'_1)$	$\frac{B}{A}$	$\frac{c}{\bar{A}}$
1, 5	- 11,54	+ 8,81	+ 2,07	- 0,76	- 0,18
2, 6	- 50,59	+ 36,76	+ 0,94	- 0,73	- 0,02
3, 7	- 115,58	+ 62,24	- 6,73	- 0,54	+ 0,06
4, 8	- 178,79	+ 47,12	- 24,32	- 0,26	+ 0,14
5, 9	- 217,76	+ 20,08	- 30,43	- 0,09	+ 0,14
6,10	- 208,78	- 25,12	- 23,84	+ 0,12	+ 0,11
7,11	- 225,69	- 41,78	- 47,28	+ 0,18	+ 0,08
8,12	- 267,82	- 48,20	- 45,56	+ 0,18	+ 0,06
9,13	- 349,92	- 46,78	- 45,52	+ 0,13	+ 0,04
10,14	- 375,44	- 42,31	- 45,32	+ 0,11	+ 0,04
11,15	- 372,88	- 43,75	- 9,46	+ 0,12	+ 0,04
12,16	- 313,57	- 32,70	- 19,68	+ 0,40	+ 0,06
13,17	- 223,47	- 15,24	- 17,55	+ 0,07	+ 0,08
14,18	- 167,30	- 7,13	- 12,10	+ 0,04	+ 0,07
15,19	- 112,05	- 4,89	- 11,80	+ 0,04	+ 0,44
16,20	- 100,80	- 6,45	- 12,23	+ 0,06	+ 0,42
17,21	- 111,58	- 8,33	- 11,99	+ 0,07	+ 0,44
18,22	- 124,99	- 10,74	- 17,16	+ 0,09	+ 0,11
19,23	- 137,82	- 13,24	- 18,95	+ 0,40	+ 0,14
20,24	- 132,20	- 11,03	- 15,54	+ 0,08	+ 0,12
21,25	- 102,41	- 11,05	- 10,98	+ 0,11	+ 0,11
22,26	- 73,58	- 11,48	- 5,94	+ 0,16	+ 0,08
23,27 24,28 25,29 26,30 27,34 28,32 29,33	- 55,99 - 43,77 - 36,85 - 29,60 - 20,62 - 15,49 - 9,02	- 10,00 - 8,59 - 8,54 - 6,25 - 3,90 - 2,58 - 2,04	- 1,60 - 0,48 - 0,42 - 0,05 - 0,57 - 0,47 - 0,32	+ 0,18 + 0,20 + 0,23 + 0,21 + 0,19 + 0,17 + 0,22	+ 0,03 + 0,04 0 + 0,03 + 0,03 + 0,04

 ${\bf Tabelle~XIV^a}.$  Berechnung der 9 Determinanten. Tafel Ill $^a$  und lll $^b.~H.~II.~{\bf Versuch}.$ 

Ver- ruckung	y' z' -y' z'	y'_1 z'_1 -y'_1 z'_3	$y_{i}'z_{i}' \\ -y_{i}'z_{i}'$	$z_1'x_1' \\ -z_1'x_1'$	z'_x'_ -z'_x'_3	$z_i'x_i'$ $-z_i'x_i'$	$x_{i}'y_{i}' \\ -x_{i}'y_{i}'$	$x_3'y_1' \\ -x_1'y_3'$	$x_{i}'y_{i}' - x_{i}'y_{i}'$
1, 5	- 28,93	+ 27,23	- 56,41			+27,16		+ 4,60	
2, 6	- 54,70	+ 68,47	179.02	+13,67	-20,43	+35,60	- 9,00	+14,55	27.76
3, 7 4, 8		+163,60		+ 0,67	- 0,07	-22,92	-10,70	+36,37	18 21
5, 9		+194,28		99 50	. 49 70	-59,33	90.90	+40,22	54 57
6,10			-292,46			-72,15	-18 60	-38 65	-48,70
7,11		+211,14				-68,32	-15 73	+34 84	-40,52
8,12		+206,34				-57,55	-16.62	+30.54	-39,75
9,13		+191,44				-48,93	-44.44	+27.08	-35,26
10,14		+169,78		-17,68	+26,80	-36,40	-15.65	+27,55	-37,40
11,15	-411,56	+168,65	-215,86	-13,80	+19,23	-24,14	-46,05	+30,75	-44,94
12,16		+449,46		- 8,10	+41,95	-18,86	-19,19	+26,02	-39,38
13,17		+125,32				- 8,01	-16,56	+25,78	-38,04
14,18	- 72,10	+102,50	-157,00		+ 3,00				-34,10
15,19	- 57,15	+ 80,55	-122,06		+ 2,68				-29,88
16,20		+ 63,65			+ 3,54	+ 1,33	- 6,60	+48,53	-25,72
17,21		+ 61,02			+ 4,49		- 6,30	+17,97	-25,68
18,22		+ 59,53			+ 5,40		- 3,81	+17,57	-24,77
19,23		+ 58,94		- 2,09	+ 5,59	+ 0,89	~ 2,06	+15,28	-21,92
20,24	- 45,24				+ 6,82		- 3,42	+15,42	-23,46
21,25	- 40,12 - 31,16				+ 4,73				-18,55
22,26 23,27	- 31,16 - 28,38				+ 2,95				-17,16 -13,62
24,28	- 18,30		- 45,97	- 1,79				+ 5,62	
25,29	- 45,40			- 1,40				+ 4.92	
26,30	- 40,83		- 24,75	- 1,31				+ 2,72	
27,31		+ 11,33			+ 1,20			+ 2,32	

Tabelle XIV<sup>b</sup>.

Berechnung der Coefficienten. Tafel III<sup>b</sup> und III<sup>b</sup>. II. II. Versuch.

			-		
	A =	B =	C =	В	c
Ver- rückung	$(y_{1}'z_{3}'-y_{3}'z_{2}')$	$(z_2'x_3'-z_3'x_2')$	$(x_{i}'y_{3}'-x_{3}'y_{i}')$	$\frac{B}{A}$	A
ruckung	+(y'_3 z'_1 - y'_1 z'_3)	+(5'x'-5'x')	$+(x_3'y_1'-x_1'y_3')$	A	A
	+(y'_1 z'_2 - y'_2 z'_1)	$+(z_{i}'x_{i}'-z_{i}'x_{i}')$	$+(x_{i}'y_{i}'-x_{i}'y_{i}')$		
1, 5	- 57,81	+ 25,77	- 4,32	-0,45	+ 0,07
2, 6	- 103,85	+ 28,84	- 46,20	-0,28	+0,16
3, 7	- 137,22	+ 10.65	- 30,03	-0,08	+0,22
4.8	- 457,46	- 47,33	-30,87	+ 0.11	+ 0,20
5, 9	- 168,93	- 38,04	-35,21	+0,23	+ 0.21
6,10	- 189,26	- 47,89	- 28,65	+0,25	+ 0,15
7,44	- 188,21	- 46,35	- 24,44	+0.25	+ 0, 13
8,12	- 194,38	- 40,68	- 25,86	+0.21	+0,13
9,43	- 490,44	-35,94	- 22,62	+0.19	+ 0,12
10,14	- 177,28	- 26,98	- 25,50	+0,15	+0,14
14,15	- 188,77	- 48,74	- 27,24	+0,10	+0.14
12,16	- 176,51	- 45,04	- 32,55	+0,09	+ 0,18
13,17	- 449,94	- 6,27	- 28,79	+0.04	+ 0,19
44,48	- 126,60	- 4,47	- 28,38	+0,04	+0,22
15,19	- 98,66	- 1,99	- 22,74	+0,02	+0,23
16,20	- 78,90	+ 2,76	- 43,79	-0,03	+0,17
17,24	- 76,48	+ 1,97	- 44,01	-0.03	+0,48
18,22	- 77,45	+ 4,40	- 44,04	-0.06	+ 0.14
19,23	- 73,65	+ 4,39	- 8,70	-0,06	+0,12
20,24	- 82,48	+ 2,17	-11,46	-0,03	+0,44
21,25	- 71,18	- 2,16	- 12,46	+ 0.03	+ 0,18
22,26	- 59,70	- 4,40	- 43,74	+0,07	+ 0,23
23,27	- 50,74	- 7,26	- 13,67	+ 0,14	+0,27
24,28	- 32,22	- 6,95	- 9,34	+0,22	+0,29
25,29	- 26,63	- 3,70	- 6,46	+0,14	+0.24
26,30	- 16,96	- 3,55	- 3,84	+0,21	+0,23
27,34	- 12,75	- 4,44	- 2,64	+0,11	+ 0,20

Ver- rückung	$y_{q}'z_{3}' - y_{3}'z_{q}'$	$\begin{array}{c} y_3'z_4' \\ -y_1'z_3' \end{array}$	y' <sub>1</sub> z' <sub>1</sub> -y' <sub>2</sub> z' <sub>1</sub>	$z_4'x_3' \\ -z_3'x_4'$	$z_3'x_1' \\ -z_1'x_3'$	$z_1'x_1' \\ -z_2'x_1'$	$x_{1}'y_{3}' - x_{3}'y_{1}'$	$x_{3}'y_{1}' \\ -x_{1}'y_{3}'$	$\begin{array}{c} x_i'y_i' \\ -x_i'y_i' \end{array}$
4, 5			- 47,96			+24,35	- 4,48	+ 5,76	- 8,77
	- 40,42	+ 45,57	- 87,04	+16,77	-22,90	4.43,30	- 7,33	+10,41	-15,06
3, 7			-436,52	+20,74	-31,02	+53,97		+17,80	
4, 8			-189,06	+17,33	-16,11	+40,48		+23,20	
5, 9			-245,04	+ 7,92	- 9,14	+11,86	-19,21	+27,68	-41,06
6,10	-130,16	+210,73	-277,65	- 6,98	+26,02	-22,79	-18,36	+25,86	-37,46
7,14	-118,54	+198,75	-253,20	-12,70	+27,75	-38,10	-14,23	+17,90	-27,20
8,12	- 97,09	+159,08	-207,92	-11,50	+21,32	-39,12	- 9,68	+13,12	-18,96
9,13			-188,32	-42,50	+22,25	-30,40		+ 9,60	
10,14			-194,82	15,22	+25,28	-32,53	- 5,46	+ 7,37	- 9,97
14,15	-135.07	+209,91	-259,74			-44,76		+ 4,43	
12,16			-304,77	-27,52	+43,01	-54,23	+ 1,50	- 6,65	+ 6,40
13,17	-480,96	+272,67	-326,44	-32,26	+48,33	-57,31			+18,60
14,48			-325, 12			-54.17			+22,20
15,19	-153,13	+228,90	-272,23			-44,44	+11,65	-14,52	+47,78
16,20			-280,92	-25,08	+37,61	-44,47	+9,56	- 7,52	+40,04
17,21	-134,92	+225,52	-276,67	-18,98	+28,46	-28,93	+5,79	+ 1,22	- 0,58
18,22			-256,53			-22,72	+ 4,65	- 3,00	+ 3,93
19,23	-112,20	+186, 12	-232,34	- 6,30	+8,70	- 9,60	+ 2.45		+ 1,72
20,24	-147,25	+151,71	-185,60	- 0,33	+ 1,04	+ 0,02	+ 4,57	- 4,03	+ 4,84
21,25	- 92,41	+118,83	-444,05			+1,40	+ 3,33		+ 9,81
22 26	- 73,76	+ 98,56	-148,96	+ 0.36	- 0,97	+ 0,46	+ 2,32	-4,13	+ 5,45
23,27	- 64,38	+ 92,69	-113,00	- 2,00	+0.70	- 3,60	+0,23	- 4,42	+ 6,20
24,28	- 62,85	+ 89,17	-144,79	- \$,89	+6,43	- 8,65	+ 1,66	-3,17	+ 4,47
25,29	-57,80	+ 84,44	-107,72	- 8,71	+9,64	-15,61	- 2,02	- 1,52	+ 3,14
26,30	- 52,50	+ 81,05	-106,92	- 9,42	+11,50	-18,22	- 4,09	+ 2,21	
27,34	- 44,88	+ 64,94	- 89,25	- 9,66	+12,64	-18,69	-4,80	+ 5,36	- 6,87

Ver- rückung	$A = (y'_1 z'_3 - y'_3 z'_4) + (y'_1 z'_1 - y'_1 z'_3) + (y'_1 z'_2 - y'_2 z'_4)$	$B = (z'_2x'_3 - z'_3x'_2) \\ + (z'_3x'_1 - z'_1x'_3) \\ + (z'_1x'_2 - z'_2x'_1)$	$C = (x'_{2}y'_{3}-x'_{2}y'_{3}) + (x'_{3}y'_{1}-x'_{1}y'_{3}) + (x'_{1}y'_{2}-x'_{2}y'_{3})$	$\frac{B}{A}$	$\frac{c}{\lambda}$
1, 5 2, 6 3, 7 4, 8 6,10 7,11 8,12 9,13 10,14 1,15 42,16 11,15 42,16 11,15 42,16 11,15 42,16 11,15 42,16 11,15 42,16 41,15 41,	- \$5,25 - 81,89 - 124,23 - 153,42 - 184,90 - 197,08 - 172,99 - 145,93 - 134,32 - 136,54 - 148,87 - 218,19 - 234,70 - 236,77 - 196,46 - 203,40 - 186,07 - 199,48 - 188,42	+ 21,20 + 37,17 + 43,69 + 34,70 + 40,64 - 43,75 - 20,35 - 20,35 - 20,35 - 22,47 - 31,32 - 38,74 - 44,24 - 39,57 - 21,78 - 28,91 - 21,78 - 21,7	7,49 -11,98 -19,36 -26,72 -32,59 -29,96 -23,53 -15,52 -12,85 -8,06 -4,75 +4,10 +12,74 +14,91 +12,08 +5,58	- 0,47 - 0,45 - 0,36 - 0,24 - 0,06 + 0,07 + 0,43 + 0,20 + 0,45 + 0,46 + 0,48 + 0,48 + 0,48 + 0,48 + 0,48 + 0,48 + 0,48 + 0,40 + 0,44 + 0,40 + 0,08 + 0,08 + 0,08 + 0,08 + 0,08 + 0,08 + 0,09 + 0,41 + 0,40 + 0,40	+0,16 +0,15 +0,16 +0,17 +0,18 +0,17 +0,18 +0,14 +0,10 +0,03 -0,04 -0,05 -0,05 -0,03 -0,03 -0,03
20,24 21,25 22,26 23,27 24,28 25,29 26,30 27,34	- 451,44 - 447,63 - 94,46 - 84,69 - 85,47 - 84,08 - 78,37 - 69,49	+ 0,73 - 0,42 - 0,45 - 4,90 - 7,44 - 14,68 - 16,14 - 15,71	+ 5,38 + 5,37 + 3,34 + 2,04 + 2,66 - 0,40 - 3,61 - 6,31	0 0 0 + 0,06 + 0,08 + 0,18 + 0,21 + 0,23	-0,04 -0,05 -0,04 -0,02 -0,03 0, +0,05 +0,09

Tabelle XVI<sup>a</sup>.

Berechnung der 9 Determinanten. Tafel VI<sup>a</sup> und VII<sup>b</sup>. M. II. Versuch.

Ver-	y', z',	y' 3'	y', z',	z'a'	z',x'	3/x'	$x_4'y_4'$	$x_1'y_1'$	$x_1'y_1'$
ruckung	$-y_{3}'z_{4}'$	-y' <sub>1</sub> z' <sub>3</sub>	$-y_i'z_i'$	$-z_{3}'x_{2}'$	$-z'_{1}x'_{3}$	$-z_i'x_i'$	-x'3y'3	$-x_3'y_1'$	$-x_1'y_1'$
4, 4		+ 41,47			- 9,26			+ 3,77	
2, 5		+ 58,37			-30,49	+55,87		+45,24	- 26,39 - 54,10
4, 7		+444,53				+23,88		+85,03	
5, 8		+145,27				-45,66		+67,69	- 86,29
6, 9 7,40		+438,45			+49,06			+45,75	
8,11		+277,60			+47,46			-17,29	
9,12	-231,35	+356,65	-424,26	-35,65	+54,77	-63,91	+17,27	-25,27	+ 30,10
10,13		+365,44				-53,48		-21,64	
11,14		+468,53				-30,32 $-22,05$		+ 0.98	
13,16		+242.37				-49,44		+ 7,28	
14,17			-101,26			-43,62		+ 2,44	
15,18 16,19	- 44,07	+ 62,47				-12,37 -11,51		+ 4,35	
17,20		+ 51,57				-41,67		+ 5,07	
18,21		+ 35,56				- 9,53	- 3,34		

Tabelle XVI<sup>b</sup>.

Berechi	nung der Co	efficienten.	Tafel VI <sup>a</sup> un	d VI <sup>b</sup> . M.	II. Versuch.
Ver- rückung	$A = (y'_2 z'_3 - y'_3 z'_4) + (y'_3 z'_1 - y'_1 z'_3) + (y'_1 z'_2 - y'_1 z'_4)$	+(z'_3x'_1-z'_1x'_3)	$C = (x'_1y'_2 - x'_2y'_2) + (x'_3y'_1 - x'_1y'_3) + (x'_1y'_2 - x'_2y'_1)$	$\frac{B}{A}$	$\frac{c}{A}$
1, 4	- 26,89	+ 49,74	- 5,72	-0,73	+ 0,24
2, 5	- 95,03	+ 48,27	- 22,49	-0,54	+ 0,24
3, 6	- 480,57	+ 46,32	- 42,08	-0,26	+ 0,23
4, 7	- 426,23	+ 44,22	- 79,38	- 0,03	+ 0,49
5, 8	- 444,48	- 33,58	- 58,92	+ 0,08	+ 0,44
6, 9	- 402,98	- 45,26	- 45,16	+ 0,11	+ 0,44
7,10 8,11 9,12	- 213,60 - 234,98 - 295,96	-34,65 -42,22 -44,79	+ 0,24 + 9,68 + 22,10	+0,16 +0,18 +0,15	-0,04 -0,07
10,13	- 346,62	-39,40	+ 13,06	+ 0,12	-0,04
11,14	- 444,28	-49,45	+ 9,75	+ 0,04	-0,02
12,15	- 347,55	-48,07	- 2,96	+ 0,06	+0,01
13,16	- 235,93	-44,53	- 6,60	+ 0,06	+0,03
14,17	- 74,73	- 12,53	- 4,46	+ 0,47	+ 0,05
15,18	- 64,62	- 9,04	- 4,20	+ 0,45	+ 0,07
16,19	- 47,98	- 7,98	- 2,38	+ 0,47	+ 0,05
47,20	- 49,38	- 6,57 - 6,93	- 3,97	+0,13	+0,08

Damit hat man die Richtung der successiven Drehungsauce, welche alle nach dem Coordinatenanfangspunkt verlegt sind, gewonnen. Da der Anfangspunkt unseres zumächst willkurlich gewählten Coordinatensystems nicht mit dem Gelenkmitelpunkt zusammenfällt, durch letzteren aber alle Axen mit grosser Annäherung hindurchgehen, so soll ein neues Coordinatensystem  $\xi$ ,  $\eta$ ,  $\zeta$  eingeführt werden, dessen Axen mit den Axen des früheren parallel laufen und dessen Anfangpunkt gerade in den Gelenkmittelpunkt hineinfällt.

Dieses neue Coordinatensystem stellt sich als besonders zweismässig für die weitere Untersuchung heraus. Um alle Punkte und Linien auf dasselbe beziehen zu können, war es zumächst nöthig, die Coordinaten des Gelenkmittelpunktes im alten Coordinatensystem bei allen vier Versuchen Gestzustellen.

Bei H. I. Versuch waren die Coordinaten des Gelenkmittelpunktes

$$x = 0$$
,  $y = +15$ ,  $z = -4$ .

Daraus erhâlt mun die Coordinaten des Punktes II, indem man von ihnen die obigen Coordinaten des Gelenkmittelpunktes abzieht. Da Punkt II aber ein Punkt der Tibialängsaus eist, so ist durch diese Coordinatentransformation gleichzeitig die Tibialängsause durch den Coordinatenatangspunkt gelegt worden. Die neuen Coordinaten des Punktes II sind mit  $\xi_1, \eta_s, \xi_s$  bezeichnet und in folgender Tabelle XVII niedergelegt worden.

Tabelle XVII.

Coordinaten  $\xi_s$ ,  $\eta_s$ ,  $\zeta_s$  eines Punktes der Tibialängsaxe (Punkt II). II. II. Versuch. Tafel II<sup>a</sup> und II<sup>b</sup>.

Nr.	Š	η,	ζ,	Nr.	Š,	$\eta_{a}$	ζ,
4	-0,1	-56,2	- 4,7	18	- 6,9	-23,5	+50,6
3	-0,1	-56,2	- 4,4	19	- 7,2	-20,9	+51,65
3	0	-56,2	- 4.0	20	- 7,8	-47.8	+52.8
4	0	-56,2	- 3,05	24	- 8,2	-43.7	+53.9
5	0	-56,3	- 4,45	22	- 8,6	-10,0	+54,75
6	0	-56.2	+ 3,05	23	- 8,9	- 6,5	+55,25
6	-0.5	-55.8	+ 7.95	24	- 9,3	- 3,5	+55,5
8	-1,1	-54.9	+42,55	25	- 9,7	- 0,8	+55,5
9	-2,1	-53,7	+17,05	26	-10,2	+ 4,2	+55,45
10	-2.8	-52,0	+21,85	27	-40,7	+ 3,4	+55,35
44	-3,2	-49,4	+27,15	28	-14,1	+ 5,4	+55,45
12	-3.8	-45,9	+32.5	29	-11,4	+ 7,2	+54,95
13	-4.7	-44,2	+37.85	30	-14,5	+ 8,4	+54.75
1.4	-5.5	-37,1	+41.75	31	-44,7	+ 9,4	+54,6
15	-6,0	-32.6	+45,3	32	-41,9	+10,5	+54,45
46	-6.6	-29.4	+47.6	33	-12,1	+11,2	+54.3
47	-6,8	-26,3	+49,25		,.	,-	1,

Als Coordinaten des Gelenkmittelpunktes hatten sich bei  $\emph{H}.$  Versuch II ergeben:

$$x=0$$
 ,  $y=+14.5$  ,  $z=-4$  .

Bei M. Versuch 1:

$$x = 0$$
,  $y = +17.5$ ,  $z = -3.5$ .

Bei M. Versuch II:

$$x=0$$
 ,  $y=+16.5$  ,  $z=-4$  .

Dem entsprechend ergeben sich für die Coordinaten  $\xi_i$ ,  $\eta_i$ ,  $\zeta_i$  in dem neuen Coordinatensystem folgende in den Tabellen XVIII, XIX, XX niedergelegte Werthe.

Tabelle XVIII.

Coordinaten  $\xi_1$ ,  $\eta_2$ ,  $\zeta_2$  eines Punktes der Tibialängsaxe (Punkt II). Täfel III<sup>a</sup> und III<sup>b</sup>. H. II, Versuch.

Nr.	Š <sub>2</sub>	$\eta_0$	ζ,	Nr.	E,	7/0	ζ,
4	- 3,0	-57,4	- 2,1	47	-14,8	-29,0	+47,3
2 3	- 3,0	-57.4	- 4,75	18	-45,3	-26,3	+48,7
3	- 3,1	-57.4	+ 0,1	49	-15,6	-23,8	+49,85
4	- 3,5	-57,0	+ 2,8	20	-15.7	-24,5	+50,8
5	- 3,8	-56,9	+ 6,4	21	-16,0	-18,8	+51,75
6	- 4.9	-56,4	+10,5	22	-16,2	-45,9	+52,65
6 7 8	- 6,2	-55,2	+14,9	23	-16,3	-13,4	+53.2
8	- 7,3	-53.7	+19,25	26	-16,6	-40,4	+53,65
9	- 8,5	-51,9	+23,6	25	-17.0	- 8.3	+54,0
40	- 9,5	-49,3	+28,05	26	-47,2	- 6,1	+54,15
44	-40,5	-47,2	+31,4	27	-17,5	- 4,4	+54,35
12	-11,5	-44.2	+34,9	28	-17.6	- 3,0	+54,35
13	-12.4	-41.3	+38.0	29	-17,7	- 4,7	+54,35
14	-13.2	-38,4	+40.9	30	-47.9	- 0.7	+54,3
15	-43,8	-34,6	+43,5	34	-48,0	+ 0,2	+54,3
16	-14,5	-31,5	+45,75		-/-		1

Tabelle XIX.

Nr.	5,	$\eta_{s}$	ζ,	Nr.	5,	$\eta_s$	ζ,
1	+4,9	-57,4	- 8,5	47	-3,8	-33,6	+47,15
2	+4.6	-57,6	- 7,65	18	-4,3	-29,2	+49,9
3	+4,3	-57,8	- 6,15	19	-4,9	-25,3	+51.9
4	+3,7	-58,0	- 3,65	20	-5,5	-20,5	+53,9
5	+3.1	-58,4	- 0,6	21	-5,7	-45,6	+55,5
6	+2,5	-58,4	+ 3,05	22	-5,8	-11.1	+56,65
7	+1,8	-57,4	+ 7,5	23	-5,6	- 7,4	+57,3
8	+1,0	-57.0	+12,45	24	-5,4	- 4.4	+57,65
9	+0,2	-55,7	+17.4	25	-5,4	- 0,9	+57.8
10	-0,4	-54,0	+22,05	26	-5,7	+ 2,3	+57,75
44	-0,9	-52,5	÷25,35	27	-6,0	+ 5.5	+57,5
12	-4,3	-50,8	+28,15	28	-6,4	+ 8,6	+57.2
43	-2,0	-48.8	+31,9	29	-7,2	+11,3	+56,7
14	-2,5	-45,7	+36,0	30	-7,7	+14,2	+56,0
15	-3,0	-51,4	+40,75	34	-8,1	+46,3	+55.4
46	-3,3	-37,8	+44,0		,,,	,,,,	

Tabelle XX.

Coordinaten  $\xi_1$ ,  $\eta_2$ ,  $\xi_3$  eines Punktes der Tibialängsaxe (Punkt II). Tafel VI<sup>a</sup> und VI<sup>b</sup>. M. II. Versuch.

Nr.	5,	η,	ζ,	Nr.	<i>5</i> ,	η,	ζ,
4	+4,0	-58,8	- 5,4	12	- 6,4	-25,4	+52,95
2	+3,8	-58,9	- 4,8	43	- 6,8	-48,4	+55.8
2	+3,4	-59,1	- 3.5	4.4	- 7,4	- 6,2	+58,25
4	+2,3	-59,2	+ 0,25	45	- 7,7	- 4,4	+58,6
5	+0,9	-58,9	+ 7.0	16	- 8,2	+ 2,8	+58.45
6	-0,4	-57.7	+43,8	17	- 8,7	+ 5,7	+58,2
7	-2,8	-52.5	+27,45	18	- 9,2	+ 9,1	+57,6
8	-3,8	-48,8	+33,25	19	- 9,7	+42,2	+57,0
9	-4,5	-44,8	+38,35	20	-10,1	+45,4	+56,35
10	-4,9	-39,7	+43.4	21	-40,3	+17,3	+55,5
14	-5.7	-33,4	+48,35		'	1 '	,

Durch diese Coordinatentransformation wird man in die Lage versetzt, auf möglichst kurzem Wege die Entfernung des Punktes II von dem Gelenkmittelpunkt und die Winkel zu beroehnen, welche die einzelnen photographisch füsirten Lagen der Tibialängsaxe mit der Strecklage dersetben bilden. Jeder dieser Winkel ist der Beugungswinkel, welcher jeder der fixirten Lagen entsprieht.

Die Entfernung des Punktes II vom Gelenkmittelpunkt, d. h. vom Coordinatenanfangspunkt, berechnet sich nach der Formel:

$$V_{\xi_1^1+\eta_1^1+\zeta_1^1}$$

Als Entfernung des Punktes II vom Gelenkmittelpunkt ergab sieh auf diese Weise

für H. I. Versuch: 56,4 cm,

für H. II. Versuch: 57,3 cm,

für M. III. Versuch: 58,2 cm, für M. IV. Versuch: 59,1 cm,

Diese vier Wertbe können natürlich gar nicht untereinander übereinstimmen, da sie von der Lage des Stäbchens II im Gypsverband bei jedem einzelnen Versueh abhängig sind.

Wir haben für alle Stellungen der Thislälingsase die Entferungs des Punktes II vom Gelenkmittelpunkte bereehnet und gefunden, des innerhalb der Grenzen der erreichbaren Genauigkeit die Werthe des jedem einzelnen Versuehe unter sich vollständig übereinstimmen, da sie nur in einigen Ausnalimefallen um 0,3 em von den oben angegebenen Werthen abweichen. Zur Berechnung des Beugungswinkels w hat man die Formel

$$\cos \omega = \frac{\hat{s}_{i(i)} \cdot \hat{s}_{i(i)} + \hat{r}_{i(i)} \cdot \hat{r}_{i(i)} \cdot \hat{r}_{i(i)} + \hat{s}_{i(i)} \cdot \hat{s}_{i(i)}}{V(\hat{s}_{i(i)}^{i} + \hat{r}_{i(i)}^{i} + \hat{r}_{i(i)}^{i} + \hat{r}_{i(i)}^{i})(\hat{s}_{i(i)}^{i} + \hat{r}_{i(i)}^{i} + \hat{r}_{i(i)}^{i} + \hat{s}_{i(i)}^{i})},$$

\*\*\*\*

$$\xi_{v(k)}$$
,  $\eta_{v(k)}$ ,  $\xi_{v(k)}$  die Coordinaten des Punktes II für die Stellung  $k$  bedeuten.

die Coordinaten des Punktes II für die Stellung & bedeuten.

Mit Hilfe dieser Formel haben sich die folgenden Werthe des Beugungswinkels as ergeben, wie sie in Tabelle XXI niedergelegt sind. Dabei sind nur die Winkel, welche zu den Stellungen 2 und 3 bei allen vier Versuchen gehören, nicht auf diesem Wege berechnet worden. Es wurde hier von einer späteren Stellung der Thislängs-axe ausgegangen und rückwärts der Winkel, den die Stellungen 2 und 3 mit dieser späteren Stellung bilden, berechnet. Dieses Verlahren empfehalt sich aus dem Grunde, weil wegen der grossen Nähe der Stellungen 2 und 3 an der Streckstellung die Beugungswinkel zu klein ausfallen, und deshalb die Rechnung zu ungenane Resultate liefert.

Tabelle XXI.

Beugungswinkel & bei den vier Versuchen:

H. I. Versuch. H. II. Versuch. M. I. Versuch. M. II. Versuch.

Nr.	Tafel IIs, 11b	Tafel IIIa, IIIb	Tafel V*, Vb	Tafel VIa, VI
4	00	00	00	00
2	00	0° 20'	0°40'	0° 4 0'
3	0° 50′	20 0'	2º 0'	20 0'
4	2º 20'	5° 0'	4° 10'	3°30'
5	3°30′	8° 30'	7° 50′	120 20'
6	8° 0'	12° 50'	14º 20'	49° 40'
7	43° 0'	17° 20'	18° 0'	33° 30′
8	47° 40'	22º 10'	21° 10'	\$ 0° 20'
9	22° 30'	26° 50′	26° 10'	46° 30'
10	27° 50'	32º 10'	34° 0'	53°30'
11	33°50'	36° 10'	34° 40'	64° 20'
12	\$ 0° 20'	44° 0'	37° 50'	70° 20'
13	47°30'	45° 40'	42° 0'	77° 50'
14	53° 20'	49°40'	47° 10'	89° 40'
15	59° 10'	54° 0'	53° 30'	940 20'
46	63° 20'	57° 30′	58° 10'	98°30′
47	66° 50'	60° 50'	63° 30'	101° 20'
18	70° 0'	63° 50'	68° 40'	104°40'
19	72° 50′	66° 40'	73° 0′	407° \$0'
20	76° 20'	69º 40'	78° 10'	440°40'
24	80° 40'	72° 0′	83° 20'	112°50'
22	84°30'	75° 0′	87° 50'	
23	88° 0'	77° 40'	94°30′	
24	91010	80° ± 0'	94° 50'	1
25	93° 50'	82° 50'	98° 0'	
26	95° 50′	85° 0'	101° 10'	
27	98°10'	86° 40'	104° 20'	
28	100° 10'	88° 0'	107° 20'	
29	1020 0'	89° 20'	110° 10'	
30	103° 10'	90° 20'	143° 0'	1
31	104° 10'	91° 20'	115° 10'	i
32	105° 20'			
33	106° 0'	1		1

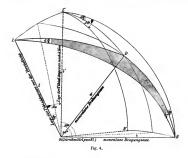
Im Vorausgebenden wurden die Axen berechnet, um welche der Unterschenkel godreht werden muss, um aus der Stellung 1 in die Stellung 5, aus der Stellung 2 in die Stellung 6 u. s. w. zu gelangen. Da die Verrückungen von 1 bis 5, von 2 bis 6, u. s. w. sehr klein sind unt ur wenige Grade betragen, wie aus den vorigen Tabellen ersichtlich ist, so kann mon diese Axen mit genü-

gender Annäherung als die auf einander folgenden momentanen Drehungsaxen für die Bewegung des Unterschenkels auffassen, und zwar in Bezug auf eine Stellung des Unterschenkels, welche in der Mitte zwischen Anfangs- und Endstellung bei jeder Verrückung liegt. Jede dieser Axen wird nur dann mit der Normalen auf die Ebene zusammenfallen, in welcher sich die Tibialängsaxe beim Übergang von der Stellung 1 in die Stellung 5 u. s. w. mit genügender Annäherung bewegt, wenn diese Bewegung ohne eine gleichzeitige Rollung des ganzen Unterschenkels um die Tibialängsaxe vor sich geht. Findet eine gleichzeitige Rollung statt, so wird die momentane Drehungsaxe von der Normalen auf die Bewegungsebene abweichen, und zwar um so mehr, je grösser die gleichzeitige Rollung ist. Es ist daher in der gegenseitigen Lage der momentanen Drehungsaxe und der Normalen auf die Bewegungsebene, die wir momentane Beugungsaxe nennen wollen, ein Mittel gegeben, die Grösse der gleichzeitigen Rollung zu berechnen.

Bekanntlich kann der Effect zweier auf einander folgender Drehungen eines Körpers um zwei durch denselben Punkt im Raume gehende Axen durch eine einzige Drehung ersetzt werden, selbstverständlich um eine von den beiden Drehungsaxen verschiedene Axe. So stellt die von uns berechnete juomentane Drehungsaxe die Axe dar, um welche der Unterschenkel gedreht werden muss, um in dieselbe Endstellung zu gelangen, die er einnehmen würde, wenn er erst um die oben näher bezeichnete momentane Beugungsaxe gebeugt, und dann hinterher um die Tibialängsaxe gerollt wird. Ans diesem Grunde kann man rückwärts die Drehung um die momentane Drehungsaxe zerlegen in eine reine Beugung und eine darauf folgende Rollung um die Tibialängsaxe. Stellt man sich vor, dass die Beugungsaxe nicht mit dem Unterschenkel, sondern mit dem fixirten Oberschenkel während der Verrückung fest verbunden bleibt, so ist nicht nöthig anzunehmen, dass der Unterschenkel erst gebeugt und darauf gerollt wird, sondern Bengung und Rollung können während der ganzen Verruckung gleichzeitig vor sich gehen. In dieser Weise findet natürlich auch die wirkliche Bewegung statt.

Die vorausgehenden Betrachtungen haben nur Gültigkeit für den Fall, dass die Beugungsaxe und die Tibialängsaxe sich immer schneiden, eine Aunahme, die bei dem Kniegelenk vollständig zulössig ist. In untenstehender Figur 4 soll der Punkt O den Gelenkmittel-punkt (Coordinatenafnangsunkt), die Gerade OB oder b die nomentane Beugungsaxe, die Gerade OL oder l die Lage der Tibialängsaxe vor der Verrückung, und die Gerade OL oder l' die Lage der Tibialängsaxe axe nach der Verrückung darstellen.

Dann ist der Winkel LOB sowohl als der Winkel  $LOB=90^\circ,$  weil ja die Beugungsaxe senkrecht auf der Bewegungsebene LOE steht.



Der Winkel LOL ist der Winkel, um welchen bei dieser Verrückung die Tihialangsave gebeugt worden ist. Da wir in der Tabelle auf pag. 53 den Winkel, den irgend eine Stellung der Tibialangsave mit der Streckstellung derselben bildet, mit & bezeichnet haben, so ist der Winkel LOL' als die Zunahme dieses Winkels & durch As bezeichnet worden.

Die gleichzeitige Rollung um die Thiallangsaxe soll die Grösse 36 besitzen; dann kann nan sich nach dem oben Gesagten den Beugungsvorgang wahrend der Verruckung der Einfachheit halber so vorstellen, dass der Unterschenkel zuerst ohne Rollung um die Axo GB durch den Winkel Jw. gedreht wird, und dann hinterher der ganze Unterschenkel um die Axe OL d. h. die Endstellung der Tibialängsaxe durch den Winkel Ab in der Richtung, welche der Pfeil in Figur 4 angibt, gerollt wird. Die Axe OB wird während der reinen Beugung mit einer zum Unterschenkel festen geraden Linie zusammenfallen; während der Rollung wird diese gerade Linie des Unterschenkels aus der Lage OB heraustreten und in eine Lage OB' übergehen. Dieselbe Endstellung des Unterschenkels kann nun auch dadurch erreicht werden, dass derselbe um eine Axe OD oder d gedreht wird, welche die Durchschnittslinie der beiden Ebenen darstellt, die durch die Gerade OB bezüglich OL' gehend die Winkel LBL' und BL'B' halbiren. Die Punkte L, L', B, B' und D sind auf einer Kugel mit dem Radius 1 um den Mittelpunkt O liegend angenommen. Man hat so ein sphärisches Dreieck L'DB und ein ihm symmetrisches sphärisches Dreieck LDB; in letzterem ist die Seite  $LB = 90^{\circ}$ , die Seite LD gleich dem Winkel zwischen der Anfangsstellung der Tibialängsaxe und der momentanen Drehungsaxe und die Seite DB gleich dem Winkel zwischen der momentanen Drehungsaxe und der Beugungsaxe. Die beiden letzteren Winkel sollen kurz mit (1d) und (db) bezeichnet werden. Der Winkel LBD des sphärischen Dreiecks hat den Werth  $\frac{J\omega}{\omega}$ , da OB senkrecht auf der Ebene LOL' steht und infolge dessen die Tangentialchene in B an die Kugel parallel der Ebene LOL' läuft. Der Winkel BLD ist gleich  $\frac{A\theta}{2}$  und der Winkel LDB ist gleich dem Supplementwinkel zu der Hälfte des Winkels, um welchen die Drelung um die momentane Drehungsaxe OD stattfinden müsste. Aus der Figur geht hervor, dass bei dieser Lage des Punktes D gegen B, sobald es sich um die rechte untere Extremität handelt, die Rollung nach einwärts stattfinden würde. Bei Auswärtsrollung würde der Punkt D auf demselben Kreise unterhalb B zu liegen kommen. Daraus folgt aber, dass bei Einwärtsrollung ∠ (ld) < 90° und bei 

Nach dem Sinussatze für sphärische Dreiecke besteht zwischen den vier Winkeln  $\frac{f \theta}{2}$ ,  $\frac{f \omega}{2}$ ,  $(d \, b)$  und  $(l \, d)$  die Relation:

$$\sin \frac{J\theta}{2} : \sin \frac{J\omega}{2} = \sin (db) : \sin (ld)$$
.

Daraus folgt zur Berechnung des Rollungswinkels 19 die Formel:

$$\sin \frac{\Delta \vartheta}{2} = \frac{\sin \frac{\Delta \omega}{2} \cdot \sin(db)}{\sin(ld)}.$$

Zur Berechnung des Winkels (db) ist es zunächst nötbig, die successiven Lagen der Beugungsaxe OB zu berechnen. Dieselbe ist, wie schon erwähnt, die Senkrechte auf die Ebene, welche durch die Anfangs- und Endstellung der Tibialängsaxe bei jeder einzelnen Verrückung gebildet wird. Da wir in den Tabellen XVII-XX die Coordinaten \$,, \$\eta\_1\$, \$\xi\_2\$ eines Punktes der Tibialangsaxe für alle fixirten Stellungen berechnet haben für den Fall, dass die Tibialängsaxe von dem Anfangspunkte des Coordinatensystems ausgeht, so wird die Ebene durch zwei successive Stellungen der Tibialängsaxe, auf das Coordinatensystem \$, \eta, \xi\$ bezogen, durch den Mittelpunkt gehen. Aus diesem Grunde stellt sich die Gleichung derselben in besonders einfacher Form dar, nämlich in der Form;

 $(\eta_{\nu \alpha} \xi_{\nu \alpha} - \eta_{\nu \alpha} \xi_{\nu \alpha}) \xi + (\xi_{\nu \alpha} \xi_{\nu \alpha} - \xi_{\nu \alpha} \xi_{\nu \alpha}) \eta + (\xi_{\nu \alpha} \eta_{\nu \alpha} - \xi_{\nu \alpha} \eta_{\nu \alpha}) \zeta = 0$ wobei  $\xi$ ,  $\eta$ ,  $\zeta$  die laufenden Coordinaten,  $\xi_{\pi(i)}$ ,  $\eta_{\pi(i)}$ ,  $\zeta_{\pi(i)}$  die Coordinaten des Punktes II für die Anfangsstellung und  $\xi_{2(k)}$ ,  $\eta_{2(k)}$ ,  $\zeta_{3(k)}$  die Coordinaten des Punktes II für die Endstellung der Tibialängsaxe bei ieder Verrückung bedeuten. Bezeichnet man der Einfachheit wegen die drei Coefficienten der Gleichung der Beugungsebene mit A', B' und C', so dass also die Gleichung lautet:

$$A'\xi + B'\eta + C'\zeta = 0,$$

so ergeben sich als Gleichungen der Normalen zu dieser Ebene im Coordinatenanfangspunkte, d. h. aber nach unserer Bezeichnung als Gleichungen der Beugungsaxe:

$$\eta = \frac{B'}{A'} \xi$$

$$\xi = \frac{C'}{A'} \xi.$$

$$\zeta = \frac{G}{A'} \, \xi$$

Es ist also nöthig, die Grössen A', B', C',  $\frac{B'}{A'}$ ,  $\frac{C'}{A'}$  für jeden der vier Versucbe und für jede von uns in Betracht gezogene Verrückung zu berechnen. Die Resultate dieser Rechnung sind in den folgenden vier Tabellen niedergelegt worden.

Tabelle XXII.

Berechnung der Coefficienten der Beugungsebene und der Normalen auf dieselbe für die Tibialängsaxe. Tafel II<sup>a</sup> und II<sup>b</sup>. H. 1. Versuch.

Ver-	A'=	B'=	C'=	B'	C'
rückung	$\eta_{n(1)} L_{n(k)}$	$\xi_{s(i)} \xi_{s(k)}$	S2(1) 172(L)	<u> 7</u>	A'
(i+k)	$-\eta_{g(k)}\zeta_{g(i)}$	- 52(A) 52(A)	$-\xi_{z(k)}\eta_{z(i)}$	А	Λ
4, 5	- 199,98	- 0,11	+ 5,63	0	-0,03
2, 6	- 418,69	+ 0,30	+ 5,62	0	-0,01
3, 7	- 669,99	+ 2,00	- 28,10	0	+0,04
4, 8	- 872,75	+ 3,35	- 61,82	0	+0,07
5, 9	-1021,54	+ 2,41	-148,23	0	+0.12
6,10	-4069.37	- 8,54	-157,36	+0,01	+0,45
7,44	-1122,24	- 44,87	-453,86	+0,04	+0,14
8,12	-1208,21	- 9,94	-458,43	+0.01	+0,13
9,43	-1330,08	- 0,65	-165,87	0	+0,12
10,14	-1360,37	- 3,27	-182,12	0	+0,13
44,45	-4352,73	- 47,94	-192,08	+0,04	+0,14
12,16	-1229,34	- 33,62	-191.22	+0.03	+0,15
13,17	-1033,65	- 24,94	-162,55	+0,02	+0,16
14,18	- 896,14	- 9,77	-126,74	+0,01	+0,14
15,49	- 737,02	- 16,26	-109,32	+0,02	+0,15
16,20	- 705,04	- 22,80	-444,84	+0,03	+0,16
17,21	- 742,85	- 37.33	-122,50	+0,05	+0,16
18,22	- 780,62	- 57,39	-433,40	+0,07	+0,17
19,23	- 849,00	- 61,88	-439,24	+0,08	+0,17
20.24	- 803,10	- 58,44	-138,24	+0,07	+0,17
24,25	- 717,23	- 67,73	-126,33	+0,09	+0,18
22,26	- 620,20	- 81,58	-112,32	+0,13	+0,18
23,27	- 547,62	- 98,56	- 99,81	+0,18	+0,18
24,28	- 492,72	-103,16	- 89,07	+0,21	+0,48
25,29	- 443,56	- 99,69	- 78,96	+0,22	+0,18
26,30	- 400,08	- 79,22	- 71,88	+0,20	+0,48
27,31	- 334,65	- 63,37	- 60,80	+0,19	+0,18
28,32	- 285.04	- 51,89	- 52,29	+0,18	+0,48
29,33	- 224,48	- 45,87	- 40,56	+0.20	+0,48

Tabelle XXIII.

Berechnung der Coefficienten der Beugungsebene und der Normalen auf dieselbe für die Tibialängsaxe. Tafel  $\Pi^a$  und  $\Pi^b$ . H.  $\Pi$ . Versuch.

Ver- rückung (i+k)	$A' = $ $ \eta_{\mathfrak{s}(i)} \zeta_{\mathfrak{s}(k)} $ $- \eta_{\mathfrak{s}(k)} \zeta_{\mathfrak{s}(i)} $	$B' = \sum_{2(i)} \xi_{2(k)} - \sum_{1(k)} \xi_{2(i)}$	$C' = \xi_{1(i)} \eta_{2(k)} - \xi_{2(k)} \eta_{2(i)}$	$\frac{B'}{A'}$	$\frac{C'}{A'}$
4, 5	- 484,93	+27,18	- 46,28	-0,06	+0,40
2, 6	- 697,72	+40,07	-111,49	-0,06	+0,16
3, 7	- 845,27	+45,57	-182,90	-0,05	+0,22
4, 8	- 946,89	+46,93	-228,45	-0,05	+0,24
5, 9	-1010,68	+35,28	-286,43	-0,03	+0,28
6,10	-1055,95	+37,69	-300,38	-0,04	+0,28
7,14	-1030,00	+38,23	-286,96	-0.04	+0,28
8,42	-1023,28	+33,40	-294,86	-0.03	+0,29
9,13	- 997,52	+30,36	-292,54	-0,03	+0,29
10,14	- 947,67	+18,29	-288,84	-0.02	+0,30
11,15	- 966,76	+23,43	-288,06	-0,02	+0,30
12,16	- 922,80	+20,07	-278,65	-0,02	+0,30
13,17	- 851,49	+24,12	-251,64	-0,03	+0,30
14,18	- 779,80	+17,07	-235,77	-0.02	+0,30
15,19	- 689,51	+ 9,33	-211,32	-0,04	+0,31
16,20	- 616,58	+18,33	-182,80	-0,03	+0,30
17,21	- 611,51	+ 9,10	-185,76	-0,04	+0,30
18,22	- 610,36	+16,60	-182,79	-0,03	+0,30
19,23	- 598,17	+17,37	-178,90	-0,03	+0,30
20,24	- 625,15	- 0,98	-493,62	0	+0,31
21,25	- 585,68	-45,75	-186,80	+0,03	+0,32
22,26	- 539,82	-28,35	-174.66	+0.05	+0.32
23,27	- 494,21	-45,10	-162,78	+0,09	+0,33
24,28	- 404,29	-42,03	-433,24	+0,10	+0,33
25,29	- 359,30	-31,85	-118.01	+0,09	+0,33
26,30	- 293,33	-35,32	- 97,15	+0,12	+0,33
27,31	- 249,79	-28,05	- 82,70	+0,14	+0,33

Tabelle XXIV.

Berechnung der Coefficienten der Beugungsebene und der Normalen auf dieselbe für die Tibialängsaxe. Tafel V<sup>a</sup> und V<sup>b</sup>. M. I. Versuch.

Ver- rückung (is k)	$A' = $ $\eta_{2(k)} \zeta_{2(k)} - \eta_{2(k)} \zeta_{2(k)}$	$B' = \zeta_{1(i)} \xi_{2(k)} - \zeta_{2(k)} \xi_{3(i)}$	$C' = \xi_{1(i)} \eta_{2(k)} - \xi_{1(i)} \eta_{2(i)}$	$\frac{B'}{A'}$	$\frac{C'}{A'}$
4, 5	- 459,41	- 23,44	-106,75	+0,05	+0,23
2, 6	- 620,44	- 33,45	-123,26	+0.05	+0.20
3, 7	- 784,66	- 43,32	-441,49	+0,06	+0,18
4, 8	- 930,15	- 49,71	-152,90	+0.05	+0,16
5, 9	-1044,36	- 54,06	-161,05	+0.05	+0,15
6,10	-1116,40	- 56,34	-158,24	+0.05	+0,14
7,44	-1053,73	- 52,38	-145,89	+0.05	+0.14
8,12	- 972,09	- 44,33	-124,90	+0.05	+0,13
9,13	- 927,71	- 44,18	-121,16	+0,04	+0,13
10,14	- 936,32	- 40,72	-416,72	+0,04	+0,12
11,15	-4089,88	- 39,38	-120,24	+0,04	+0,11
12,16	-1171,13	- 35,69	-418,50	+0.03	+0,10
13,17	-1229,08	- 26,92	-118,24	+0.02	+0,10
44,48	-1229,23	- 30,05	-123,51	+0,02	+0,10
15,19	-4117,69	- 43,97	-126,96	+0.04	+0,11
16,20	-1135,12	- 64,13	-140,25	+0.06	+0,12
17,21	-4129,26	- 57,85	-132,24	+0,05	+0,12
18,22	-1100,29	- 45.83	-121,63	+0,04	+0,11
19,23	-1065,63	- 9,87	-405,42	+0,01	+0,10
20,24	- 960,83	+ 26,01	- 88,15	-0,03	+0,09
21,25	- 854,73	+ 29,76	- 79,44	-0,03	+0,09
22,26	- 771,31	+ 12,05	- 76,64	-0,02	+0,10
23,27	- 740,65	- 21,80	- 75,20	+0.03	+0,10
24,28	- 730,34	- 60,08	- 72,68	+0.08	+0,10
25,29	- 704,47	-109,98	- 67,50	+0,16	+0,10
26,30	- 691,25	-125,47	- 63,23	+0,18	+0,09
27,34	- 632,55	-433,35	- 53,25	+0,21	+0.08

Tabelle XXV.

Berechnung der Coefficienten der Beugungsebene und der Normalen auf dieselbe für die Tibialängsaxe. Tafel VI<sup>a</sup> und VI<sup>b</sup>. M. II. Versuch.

Ver- rückung (6 k)	$A' = \\ \eta_{n(i)} \zeta_{n(k)} \\ - \eta_{n(k)} \zeta_{n(i)}$	$B' = \zeta_{n(i)} \xi_{n(k)} - \zeta_{n(k)} \xi_{n(i)}$	$C' =$ $ \xi_{\mathfrak{g}(i)} \eta_{\mathfrak{g}(k)} $ $ -\xi_{\mathfrak{g}(k)} \eta_{\mathfrak{g}(i)} $	$\frac{B'}{A'}$	$\frac{C'}{A'}$
1, 4 2, 5 3, 6 4, 7 5, 8 6, 9 7,10 8,11 9,12 10,13	- 334,38 - 695,02 -4047,53 -1611,92 -1616,82 -1594,55 -4188,74 -1248,93 -4398,07 -4429,72	-13,42 -30,92 -45,52 -63,83 -56,52 -46,76 -12,98 -5,79 -7,47 -24,70	-401,56 -170,81 -249,82 -286,54 -267,74 -241,73 -146,09 -152,14 -472,42 -481,27	+0,04 +0,04 +0,04 +0,04 +0,03 +0,03 +0,04 +0,04 +0,04	+0,30 +0,25 +0,22 +0,18 +0,47 +0,45 +0,42 +0,12 +0,12 +0,13
11,14 12,15 13,16 14,17 15,18 16,19 17,20 18,21	-4645,78 -4414,34 -4244,48 - 692,86 - 613,90 - 553,49 - 557,63 - 491,43	-44,26 -32,67 -60,40 -93,55 -95,60 -99,56 -97,58 -82,68	-201,80 -186,62 -167,46 - 94,41 - 82,95 - 72,88 - 73,80 - 65,43	+0,04 +0,02 +0,05 +0,14 +0,16 +0,18 +0,17 +0,17	+0,12 +0,43 +0,44 +0,14 +0,14 +0,13 +0,13 +0,13

Zur bequemeren Darstellung sovohl des durch die momentanen Drehungsaxen OB als auch des durch die momentanen Beugungsaxen OB gebildeten Kegels sind diese Axen in Bezug auf das ? p. Coordinatensystem, bei welchem sowohl alle Drehungsaxen als auch alle Beugungsaxen und ebenfalls, wie sehon frheer erwähnt, alle Tübialangsaxen durch den Coordinatenanfangspunkt gehen, mit einer Ebene geschnitten worden, welche in der Richtung der positiven E-Axe in der Entfernung von 100 mm parallel mit der 7p. Ebbne verflußt.

Die Coordinaten der durch den Versuch festgestellten Punkte dieser Durchschnittscurven der Axenkegel ergeben sich für die momentanen Drehungsaxen aus den Grössen  $\frac{B}{A}$  und  $\frac{C}{A}$  der Tabellen XIII<sup>6</sup>, XIV<sup>6</sup>, XV<sup>6</sup> und für die momentanen Beugungsaxen aus den Grössen  $\frac{B'}{A'}$  und  $\frac{C'}{A'}$  der Tabellen XXII bis XXV durch Multiplication mit 100. Die Richtigkeit dieser Angabe geht aus den Gleichungen der momentanen Drehungsaxen und der momentanen Drehungsaxen und der momentanen Beugungsaxen hervor, wenn man in Rucksicht zicht, dass in dense Beugungsaxen hervor, wenn man in Rucksicht zicht, dass in dense Beugungsaxen

Gleichung  $\xi = 100$  der Durchsehnittsebene, überall für  $\xi$  der Werth 100 eingesetzt werden muss. Die so gewonnenen Coordinaten sind in den folgenden Tabellen XXVI bis XXIX niedergelegt worden, da sie für die weitere Berechnung gebraucht werden.

Tabelle XXVI.

Coordinaten der Durchschnittscurve der beiden Axenkegel

mit der Ebene  $\xi = +100$  (in Millimetern). Tafel II<sup>a</sup>, II<sup>b</sup>. II. I. Versuch.

Ver-		ngsaxen		omentanen ngsaxen	bei einem Beugungs-
rückung	η	5	η	ζ	winkel von
4, 5	-76	-48	0	- 3	4° 45'
2, 6	-73	- 2	0	- 1	€° 0'
3, 7	-54	+ 6	0	+ 4	6° 55'
4, 8	-26	+11	0	+ 7	10° 0'
5, 9	- 9	+14	0	+42	13° 0'
6,10	+12	+11	+ 1	+45	47° 55'
7,11	+48	+ 8	+ 1	+15	23° 25'
8,12	+18	+ 6	+ 1	+13	29° 0'
9,43	+43	+ 4	0	+12	35° 0'
10,11	+11	+ 4	0	+13	40° 35'
44,45	+12	+ 4	+ 1	+44	46° 30'
12,16	+10	+ 6	+ 3	+15	54° 50′
13,17	+ 7	+ 8	+ 2	+16	57° 10'
14,48	+ 4	+7	+ 1	+14	64° 40'
15,19	+ 4	+11	+ 2	+15	66° 0'
16,20	+ 6	+12	+ 3	+16	69° 50'
47,24	+ 7	+44	+ 5	+16	73° 45'
18,22	+ 9	+14	+ 7	+17	77945
19,23	+40	+15	+ 8	+17	80° 25'
20,24	+ 8	+12	+ 7	+17	830 45'
21,25	+11	+11	+ 9	+18	87° 45'
22,26	+46	+ 8	+13	+48	900 10'
23,27	+48	+ 3	+48	+18	93° 5'
24.28	+20	0	+24	+48	95° 40'
25,29	+23	+ 4	+22	+18	97° 55′
26,30	+21	0	+20	+18	99° 30'
27,31	+19	+ 3	+19	+18	101º 10'
28,32	+47	+ 3	+48	+18	402° 45'
29,33	+22	+ 4	+20	+18	104° 0'

Die Beugungswinkel in der letzten Columne sind in dieser wie in den folgenden Tabelleu das arithmetische Mittel aus den Beugungswinkeln der Anfangs- und Endstellung der Tibialtangsaxe bei jeder Verrückung.

Tabelle XXVII.

Coordinaten der Durchschnittscurve der beiden Axenkegel mit der Ebene  $\xi = +100$  (in Millimetern). Tafel III<sup>a</sup> und III<sup>b</sup>. II. Versuch.

Ver-		omenlanen ogsaxen		omentanen agsaxen	bei einem Beugungs-
ruckung	η	ζ	η	ζ	winkel von
1, 5	-45	+ 7	- 6	+10	4º 15'
2, 6	-28	+16	- 6	+16	6° 35'
3, 7	- 8	+22	- 5	+22	9° 40'
4, 8	+11	+20	- 5	+24	13° 35'
5, 9	+23	+21	- 3	+28	47° 40'
6,10	+25	+15	- 4	+28	22° 30'
7,11	+25	+43	- 4	+28	26° 45'
8,12	+21	+13	- 3	+29	34° 35′
9,13	+19	+12	- 3	+29	36° 0'
10,14	+15	+14	- 2	+30	40° 55'
11,15	+10	+14	- 2	+30	45° 5'
12,16	+ 9	+18	- 2	+30	49° 25'
13,17	+ 4	+19	- 3	+30	53° 0'
14,18	+ 4	+22	- 2	+30	56° 45'
15,19	+ 2	+23	- 1	+34	60° 20'
16,20	- 3	+17	- 3	+30	63° 30'
17,21	- 3	+18	- 1	+30	66° 25'
18,22	- 6	+14	- 3	+30	69° 25'
19,23	- 6	+12	- 3	+30	72º 10'
20,21	- 3	+14	0	+31	74° 55′
21,25	+ 3	+18	+ 3	+32	77° 25'
22,26	+ 7	+23	+ 5	+32	80° 0'
23,27	+14	+27	+ 9	+33	82º 10'
21,28	+22	+29	+10	+33	84° 20'
25,29	+15	+24	+ 9	+33	86° 5'
26,30	+21	+23	+12	+33	87° 40'
27,31	+11	+20	+11	+33	89° 0'

[64

Tabelle XXVIII.

# Coordinaten der Durchschnittscurve der beiden Axenkegel mit der Ebene $\mathfrak{z}=+400$ (in Millimetern). Tafel $V^a$ und $V^b$ . M. 1. Versuch.

Ver-		omentanen ngsaxen	für die me Beugun		bei einem Beugungs-
rückung	η	5	η	ζ	winkei von
1, 5	-47	+16	+ 5	+23	3° 55'
2, 6	-45	+15	+ 5	+20	6º 0'
3, 7	-36	+16	+ 6	+18	100 0'
4, 8	-21	+17	+ 5"	+16	12º 40'
5, 9	- 6	+18	+ 5	+15	17° 0'
6,10	+ 7	+45	+ 5	+14	240 40'
7,11	+43	+14	+ 5	+14	26° 20'
8,12	+20	+11	+ 5	+43	29° 30'
9,13	+15	+10	+ 4	+13	34° 5'
10,14	+16	+ 6	+ 4	+12	39° 5'
11,15	+17	+ 3	+ 4	+11	44° 5'
12,16	+18	- 1	+ 3	+10	48° 0'
13,17	+18	- 6	+ 2	+10	52° 45'
14,18	+17	- 5	+ 2	+10	57° 55'
15,19	+16	- 7	+ 4	+11	63° 15'
16,20	+14	- 6	+ 6	+12	68° 10'
17,21	+10	- 3	+ 5	+12	73° 25'
18,22	+ 8	- 3	+ 4	+11	78° 15'
19,23	+ 4	- 4	+ 1	+10	82º 45'
20,24	0	- 4	- 3	+ 9	86° 30'
21,25	. 0	- 5	- 3	+ 9	90° 40'
22,26	0	- 4	- 2	+10	94° 30'
23,27	+ 6	- 2	+ 3	+10	97° 55′
24,28	+ 8	- 3	+ 8	+10	104° 5'
25,29	+18	0	+16	+10	404° 5'
26,30	+21	+ 5	+18	+ 9	107° 5'
97 34	+93	+ 9	101	± 8	1000 15'

Tabelle XXIX.

Coordinaten der Durchschnittscurve der beiden Axenkegel mit der Ebene  $\xi = +100$  (in Millimetern). Tafel VI<sup>a</sup> und VI<sup>b</sup>. M. II. Versuch.

Ver- rückung		omentanen ngsøxen	für die momentenen Beogungsexen		bei einem Beugungs-
	η	ζ	η	ζ	2° 45′ 6° 30′ 10° 35′ 19° 30′ 26° 20′
4, 4	-73	+21	+ 4	+30	2º 45'
2, 5	-51	+24	+ 4	+25	6º 30'
3, 6	-26	+23	+ 4	+22	10° 35'
4, 7	- 3	+19	+ 4	+18	190 30'
5, 8	+ 8	+15	+ 3	+17	50° 50'
6, 9	+11	+11	+ 3	+15	32° 50'
7,40	+16	0	+ 1	+12	43°30'
8,11	+48	- 4	0	+12	50° 50'
9,12	+45	- 7	+ 1	+12	58° 25'
10,43	+12	- 4	+ 9	+13	65° 40'
44,44	+ 4	- 2	+ 1	+12	75° 30′
t2,15	+ 6	+ 1	+ 2	+13	82° 20'
13,16	+ 6	+ 3	+ 5	+14	88º te'
14,17	+17	+ 6	+14	+14	95° 30'
15,18	+15	+ 7	+16	+14	99° 36'
16,19	+17	+ 5	+18	+13	103° 5'
17.20	+13	+ 8	+17	+13	406° 0'
18.21	+15	+16	+17	+13	108° 45'

Mit Hulfe dieser Coordinaten, denen mit Rucksicht auf ihre Lage in räumlichen Coordinatensystem noch als dritte Coordinate in allen Fallen  $\hat{z} = +100$  zuzufügen ist, und mit Hulfe der Coordinaten  $\hat{z}_r$ ,  $\eta_r$ ,  $\zeta_r$  eines Punktes der Tibiallangsaxe in den Tabellen XVII bis XX gewinnt man bei entsprechender Abänderung der Coordinaten-bezeichnung aus der Formel für es auf pag. 52 die Winkel (db) und (dd), d. b. die Winkel zwischen momentaner Beugungsaxe einerseits und die Winkel zwischen Tibiallangsaxe und momentaner Drehungsaxe andererseits.

Aus diesen Winkeln und aus den Differenzen Jo der Beugungswinkel für die einzelnen Stellungen der Tibialängsaxe berechnet man nun nach der Formel:

$$\sin \frac{d\theta}{2} = \frac{\sin \frac{d\omega}{2} \cdot \sin (db)}{\sin (dd)}$$

Abhandl, d. K. S. Gesellsch. d. Wissensch. XXI

die Grösse des Rollungswinkels JO bei jeder Verruckung. Die Resultate dieser Berechnung sind in den Tabellen XXX bis XXXIII niedergelegt worden. Die letzte Columne dieser Tabelle enthält wieder die Beugungswinkel, für welche man diese Grösse der Rollung anzunehmen hat, und die vordetzte Columne enthält die Grösse der Rollung, welche auf 4 Grad Beugung bei dem betreffenden Beugungswinkel kommen wurde.

Durch die Angaben dieser vorletzten Columne wird erst eine Vergleichung der Resultate der vier Versuche ermöglicht,

Tabelle XXX.

Berechnung der Rollungswinkel.

Tafel II<sup>a</sup> und II<sup>b</sup>. H. I. Versuch.

Ver- ruckung	Δω	(db)	( <i>ld</i> )	19	Auf to Beugung kommen Rollung	bei einem Beugungs- winkel von
1, 5	3° 30'	37° 40'	520 40'	+20 42'	+46'	10 45"
2, 6	8° 0'	36° 10'	54° 0'	+5° 50'	+44'	4º 0'
3, 7	12º 10'	28° 20'	62° 0'	+6°32'	+32'	6° 55'
4, 8	45° 20'	45° 0'	76° 0'	+40 4'	+16'	40° 0'
5, 9	19° 0'	5° 10'	85° 10'	+1042	+ 5'	13° 0'
6,10	19° 50'	6° 50'	96° 30'	-20 22	- 7'	17° 55'
7,11	20° 50'	10°30'	100° 0'	-3°50'	-44'	23° 25'
8,12	220 40'	10° 20'	1000 20'	-4° 6'	-11'	29° 0'
9,13	25° 0'	8° 40'	98°30'	-3° 46'	- 9'	35° 0'
10,11	25° 30'	8° 10'	97040'	-3° 38'	- 9'	40° 35'
41,45	25° 20'	8º 30'	98° 10'	-3° 46'	- 9'	46°30'
12,16	23° 0'	6030	96°30'	-2°36'	- 7'	54° 50'
13,17	49° 20'	5° 20'	940 40'	-1048'	~ 6'	57° 10'
14,18	16° 40'	to 50,	940 10'	-1°16'	- 5'	64° 40'
15,19	13° 40'	2º 30'	920 20'	-0° 36'	- 3'	66° 0'
16,20	13° 0'	20 50'	92040	-0° 38'	- 3'	69° 50'
17,21	13° 50'	3º 20'	93° 20'	-0°48'	- 3'	73° 45'
18.22	14° 30'	20 0'	920 0'	-0°30'	- 2'	77° 15'
19.23	15° 10'	20 0'	920 0'	-0°32'	- 2'	80° 25'
20,24	14° 50'	20 50'	92" 50"	-00 44'	- 3'	83° 45'
21,25	13º 10'	3° 50'	93° 50'	-0° 52'	- A'	879 45'
22,26	110 20'	5º 50'	95°50′	-1º 10'	- 6'	90° 10'
23,27	100 10'	8° 30'	98°30'	-1°32'	- 9'	93° 5′
24.28	90 0'	100 0'	400° 0'	-4°36'	-11'	95° 40'
25,29	8º 10'	90 20'	99° 20'	-4° 20'	-10'	97° 55′
26,30	7° 20'	10° 0'	400° 0'	-1° 18'	-10'	99° 30'
27,34	60 0	8º 30'	98°30'	-0° 54'	- 9'	101° 10'
28,32	5° 10'	8º 30'	98°30'	-0° 46'	- 9'	102045
29,33	40 0'	7030	97°30'	-0° 32'	- 8'	104° 0'

Die Rollung nach innen ist mit + bezeichnet, die nach aussen mit -.

Tabelle XXXI.

Berechnung der Rollungswinkel,
Tafel III<sup>a</sup> und III<sup>b</sup>. H. II. Versuch.

Ver- rückung	Δω	(db)	(Id)	13	Auf 4° Bougung kommen Rollung:	bei einem Beuguogs- winkel von
1, 5	8°30′	200 10'	69° 0'	+1034	+14'	4º 45'
2, 6	12030'	14° 50'	77° 50'	+1018'	+ 6'	6° 35′
3, 7	15° 20'	1º 30'	88°30'	+0012	+ 1'	90 4 0'
4, 8	17º 10'	9º 10'	990 0'	-4° 23'	- 5'	13° 35'
5, 9	18° 20'	14° 50'	105° 0'	-20 25'	- 8'	17° 40'
6,40	190 20'	45° 50'	105° 50'	-2044	- 8'	550.30,
7,44	18°50'	170 40'	107° 40'	-2°59'	-10'	26° 45'
8,12	18° 50'	45° 40'	105° 40'	-2°38'	- 8'	34°35′
9,43	18° 20'	15° 10'	105° 10'	-20 28'	- 8'	36° 0'
10.16	17°30'	12° 50'	102° 50'	-1°59'	- 7'	40° 55'
11,45	17°50'	10° 10'	1000 40	-1° 40'	- 6'	450 5'
12,16	16° 50'	90 0'	990 0'	-4° 20'	- 5'	490 25'
13,17	45° 40'	6° 40'	96° 40'	-0° 55'	- 4'	53° 0'
14,18	140 10'	5° 3 0'	95° 30'	-0° 44'	- 3'	56° 45'
15,19	12° 40'	40 20'	940 20'	-0° 29'	- 2'	60° 20'
16.20	11020'	5° 40'	950 40'	-0°34'	- 3'	63° 30'
17.21	140 10'	5º 20'	950 20'	-0°34'	- 3'	66° 25'
18,22	11° 10'	6° 50'	96° 50'	-0° 40'	- 4'	69° 25'
19.23	110 0'	8º 10'	98° 10'	-0° 47'	- 4'	720 10'
20,24	41°30'	7° 50'	97° 50'	-0° 47'	- 4'	74° 55'
21,25	10° 50'	7º 10'	97° 10'	-0° 44'	- 4'	77° 25'
22,26	10° 0'	5° 0'	95° 0'	-0° 26'	- 3'	80° 0'
23,27	90 0'	30 40'	930 40'	-0° 17'	- 2'	82º 10'
24,28	7º 20'	3° 10'	93° 10'	-0° 12'	- 2'	840 20
25,29	6° 30'	5° 0'	95° 0'	-0° 17'	- 3'	86° 5'
26.30	5° 20'	5° 50'	95° 50'	-0° 16'	- 3'	87° 40'
27,34	4° 40'	7° 0′	97° 0'	-0° 17'	- 4'	89° 0'

10\*

Tabelle XXXII.

Berechnung des Rollungswinkels.

Tafel V<sup>a</sup>, und V<sup>b</sup>. M. I. Versuch.

Ver- ruckung	Δω	(db)	(ld)	13	Auf 4° Beugung kommen Bollung:	bei einem Beugungs- winkel von:	
1, 5	7° 50'	28° 0'	62º 0'	+20 5'	+16'	3°55′	
2, 6	10° 40'	270 0'	63° 0'	+2° 36'	+15"	6º 0'	
3, 7	16° 0'	230 0'	670 20'	+3° 23'	+43'	10° 0'	
4, 8	170 0'	14030'	75° 20'	+2012'	+ 8'	120 40'	
5, 9	18° 20'	6°30'	83° 40'	+10 2'	+ 3'	17° 0'	
6,10	190 40'	1010'	91010'	-0° 12'	- 1'	240 10'	
7,11	160 10'	4°30'	940 30'	-0° 39'	- 2'	260 20'	
8,12	16° 40'	80 40'	980 10'	-4°46'	- 5'	29° 30'	
9,13	45° 50'	6º 10'	960 10'	-0°51'	- 3'	340 5'	
10,14	16° 10'	7° 30'	97°30'	-1° 4'	- 4'	39° 5′	
11,15	18° 50'	8° 50'	980 50'	-1027	- 5'	440 5'	
12,16	20° 20'	10° 30'	100°30'	-1°52'	- 6'	48º 0'	
13,17	21°30'	120 20'	1020 20'	- 20 20'	- 7'	52° 45'	
14,18	24°30'	14° 50'	404°50'	-2014	- 6'	57° 55'	
15,19	19°30'	12º 10'	1020 10'	-20 6'	- 6'	63° 15'	
16,20	20° 0'	44° 0'	1010 0'	-1°56'	- 6'	68° 10'	
17,21	190 50'	8° 30'	98° 30'	-4° 28'	- 4'	730 95	
18,22	19° 10'	8° 0'	980 0	-4° 20'	- k'	78° 15'	
19,23	18°30'	6º 20'	96° 20'	-1° 1'	- 3'	82º 45'	
20,24	16° 40'	70 40'	97° 40'	-1° 7'	- 4'	86° 30'	
21,25	14° 40'	80 20'	980 20	-1° 4'	- 5'	900 40'	
22,26	130 20'	7° 50'	97° 50'	-0° 55'	- 4'	94030	
23.27	12° 50'	7010'	97° 10'	-0°48'	- 4'	97° 55'	
24,28	12030	70 20'	97° 20'	-0°48'	- 4'	101° 5'	
25,29	12º 10'	5° 30'	95° 30'	-0° 35′	- 3'	404° 5'	
26,30	11°50'	20 20'	920 20'	-0°14'	- 1'	107° 5'	
27,31	10°50'	0° 30'	89° 30'	+0° 3'	ó	109° 45'	

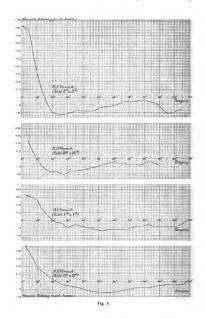
Tabelle XXXIII.

Berechnung des Rollungswinkels.

Tafel VI<sup>n</sup> und VI<sup>b</sup>. M. II. Versuch.

Ver- růckuog	Δω	(db)	( <i>td</i> )	19	Auf 4° Beugung kommen Rollung:	bei einem Beuguogs- winkel von
1, 4	5° 30'	38° 0'	52° 0'	+20 9'	+23	20 45
2, 5	11° 40'	28° 40'	64° 40'	+30 11'	+16'	6° 30'
3, 6	47° 40'	16° 30'	73° 20'	+2032'	+ 9'	40° 35'
4, 7	28° 0'	40 0'	86° 0'	+0058	+ 2'	19° 30'
5, 8	280 0'	3020'	920 40'	-0° 48'	- 2'	26° 20'
6, 9	270 20'	5º 0'	95° 0'	-1011	- 3'	32° 50'
7,10	20° 0'	40° 50'	400° 50'	-1°54'	- 6'	43°30'
8,11	210 0'	43° 20'	1030 20'	-20 29"	- 7'	50° 50'
9,12	23° 50'	43° 20'	403° 20'	-2° 48'	- 7'	58° 25'
10,13	240 20'	14° 0'	404° 0'	-20 21'	- 6'	650 40'
34,44	280 20'	7º 50'	97° 50'	~1°56′	- 4"	75° 30'
12,45	240 0'	7º 10'	97° 10'	-1°30'	- 4'	820 20'
13,16	200 40'	6º 0'	96° 0'	-40 5'	- 3'	88º 40'
45,47	140 40'	4º 30'	94°30'	-0° 28'	- 2'	95° 30'
15,48	40° 20'	30 40'	93° 40'	-0° 20'	- 2'	99°30'
16,19	90 40	40 40'	940 40'	-00 22'	- 2'	403° 5'
17,20	90 20'	30 40'	93° 40'	-0° 15'	- 2'	106° 0'
18,21	8º 10'	4º 20'	88° 40'	+0° 6′	+ 4'	108° 45'

Um eine Vergleichung zwischen den Resultaten der vier Versuche zu ermöglichen, sind in der Figur 5 auf folgender Seite Curven aufgezeichnet worden, deren Abseissen die Grüssen der Beugungswinkel angeben, und zwar so, dass jedem Millimeter 1 Grad entspricht. Die Ordinaten zeigen die Grössen der Rollung an, welche bei dem betreffenden Beugungsgrade auf 1 Grad Beugung kommen würden; hier entspricht jedem Millimeter eine Winkelminute.



Aus diesen Curven ist ersichtlich, dass die zwei Curven, welche sich auf ein und dasselbe Individuum beziehen, von geringen Abweichungen abgesehen, fast identischen Verlauf zeigen. Ein Beweis für die Anwendbarkeit und Genauigkeit der Methode.

Die erste und zweite Curve unterscheiden sich nur dadurch, dass bei der ersten der Durchschnittspunkt mit der Abscissenaxe um 5° weiter nach rechts liegt. Dies hat darin seinen Grund, dass bei dem zweiten Versuch die Bewegung nicht von derselben Stelle an durch Funkengebung markirt worden ist, so dass also bei dem zweiten Versuch die ersten fünf Grade für die Aufzeichnung verloren gegangen sind. Die Strecklage des Beines, welche der Strecklage bei dem ersten Versuche entspricht, liegt bei dem zweiten Versuch noch 5° weiter zurück, als die Stellung, von der an die Funken ausgelöst wurden. Man hat daher die zweite Curve 5 Millineter weiter nach rechts zu verschieben, um sie mit der ersten Curve in Uebereinstimmung zu bringen. Entsprechendes wurde bei jedem neuen Versuche zu berocksichtigen sein.

Beim dritten und vierten Versuch beträgt die Differenz weniger, etwa nur  $24^{\circ}.$ 

Aus allen vier Versuchen geht hervor, dass mit der Beugung aus der Strecklage zunächst eine starke Rollung nach innen verbunden ist, welche dann rasch abnimmt, und bei circa 15° bei dem einen Individuum, bei circa 20° bei dem andern Individuum ihr Ende erreicht hat.

Um die Gesammtrollung für diese ersten 15 resp. 20 Grade zu erhalten, hat man nur nöthig, den Flächenraum zu messen, welcher begrenzt wird durch die positive Richtung der Abscissenaxe, die positive Richtung der Ordinatenaxe und das Stück der Curve, welches zwischen beiden liegt.

Von 15° resp. 26° Beugung an tritt eine Bollung nach aussen ein, welche bei beiden Individuen im Durchschnitt 5 Winkelminuten bei jeder Beugung um 1 Grad beträgt. Ein individueller Unterschied tritt um insofern auf, als bei dem ersten Individuum die Auswätsschlung von 14° Beugung isz zu circa 60° Beugung mehr als 5 Minuten und von da an bis zu circa 90° weniger als 5 Minuten beträgt, wahrend bei dem zweiten Individuum die Rollung sich gleichmässiger vertheilt. Der Effect dieser Auswärtsrollung ist der, dass bei der

rechtwinkligen Beugestellung der Unterschenkel zum Oberschenkel fast wieder genau so orientirt ist als bei der äussersten Streckstellung; indem bis dahin die Auswärtsrollung die vorangegangene Einwärtsrollung nahezu wieder aufgehoben hat.

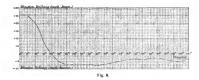
Um das Durchschnitsresultat von den vier Versuchen zu erhalten, ist es nöthig, sich von den Abweichungen der Ausgangsstellung un abhängig zu machen. Es ist daber bei allen vier Versuchen die Beugestellung, bei welcher die Rollung für einen Moment ganz aufgehört hat, demselben Beugesgrad zugewiresen worden, anmich 20° Beugung. Es macht sich infolge dessen nöthig, die erste Curve in Fig. 5 um 5 Millimeter, die zweite Curve um 40 Millimeter nach recku und die vierte um 2½ Millimeter nach leinks zu verschieben, danät die Durchschnittspunkte der vier Curven mit der Abscissenaxe alle an die Stelle von 20° Beugung fallen.

Nimmt man das arithmetische Mittel aus den entsprechenden Ordinaten dieser vier Curven nach vorausgegangener Verschiebung, so ergeben sich folgende Durchschnittswerthe der Rollungswinkel:

Bei		Beugung	+	25	Winkelminuten,
	10°		+	20	
	150		+	8	
	200			0	
9	250		-	5	10
	$30^{o}$		-	7	
	35°		-	7	
	40°			7	
	45°			7	
	$50^{\alpha}$		-	7,5	
	55°		-	7	
16	$60^{\rm o}$		-	6	
	$65^{o}$		-	5	
	70°	10	-	4	
	75°			3,5	
	80°			4	
	85°		-	3	
	90°		_	3	
	950			4	
	400°		-	5	
	$405^{\rm o}$		-	5	
	$440^{\rm o}$		-	3,5	

Die entsprechende Rollungscurve ist in beifolgender Figur 6 aufgezeichnet worden.

Aus dieser Figur ergiebt sich, dass zu Anfang der Beugung von der Streckstellung aus die Beugung mit einer starken Einwärtsrollung des Unterschenkels verbunden ist. Ganz zu Anfang kommt



auf jeden Grad der Beugung nahezu 30 Minuten Rollung, Die Einwärtsrollung nimmt aber bei zunehmender Beugung nahezu gleichmässig ab und hat bei circa 20° Beugung ihr Ende erreicht. Von da an beginnt eine entgegengesetzte Rollung des Unterschenkels nach aussen, die wir in der Figur, um sie von der ersten Rollung zu unterscheiden, als negativ bezeichnet haben. Diese Auswärtsrollung ist geringer als die erste; sie nimmt zwar zunächst stetig zu, erreicht aber schon bei 30° Beugung ihr Maximum in der Grösse von 7 Minuten für eine Beugung von 1 Grad. Auf dieser Höhe erhält sie sich bis zu 55° Beugung und nimmt dann allmählich ab, bis sie bei 70° Beugung auf 4 Minuten für 1 Grad Beugung herabgesunken ist. Von da ab bleibt sie im weiteren Verlaufe der Beugung zunächst nahezu constant. Nach 410° Beugung scheint sie dann noch mehr abzunehmen und allmählich ganz zu verschwinden, eine Erscheinung, die sich deshalb nicht sicher constatiren liess, weil unsere Versuchsindividuen in ihrem Apparate nicht weit über die rechtwinklige Beugestellung hinausgehen konnten. Im Ganzen beträgt die Einwärtsrollung von 0° bis 20° Beugung, wie sich aus der Grösse des von der Curve und den beiden Coordinatenaxen gebildeten Flächenraumes ergiebt, nahezu 6°, während die darauffolgende Auswärtsrollung bis zu 90° Beugung ebenfalls eine Grösse von abgerundet 6° erreicht hat, wodurch die Einwärtsrollung wieder ausgeglichen wird. Bei dem Uebergang aus einer Beugestellung in die

Streckstellung werden die Rollungen genau dieselben Werthe haben, aber in entgegengesetztem Sinne verlaufen.

Damit ist nur ein Beispiel erledigt von dem, was man Alles nun aus dem einmal gewonnenen Fundament berechnen kann.

Ohne neue Versuche lässt sich jede weitere Frage für das Kniegelenk beantworten. Um nur ein weiteres Beispiel anzufuhren, könnte man durch Rechnung ableiten, in welcher Weise die Bewegung des Oberschenkels bei festgestelltem Unterschenkel vor sich geben würde.

Die Methode lat sich für diese Zwecke als genügend genau herausgestellt. Man braucht aur zu bedenken, ein wie kleiner Winkel ein Winkel von einer Minute ist, und dann zu vergleichen, wie genau die Rollungswerthe in Minuten ausgedrückt bei verschiedenen Versuchen an dennselben Individuum übereinstimmen. Diese Üebereinstimmung wurde sich nicht ergeben baben, wenn wir nicht bei unseren Versuchen jede Kleinigkeit berücksichtigt hätten.

### Resultate.

Die Messungen der Gelenkbowegungen am Lebenden ersetzen incht die Messungen am Cadaver, wie Lecowts und Hausen bebauptet baben, sondern ergtnzen dieselben nur. Schon in einer früberen Arbeit haben wir betont, dass die Freilegung des Gelenks ma Cadaver, die Bestimmung der Gelenkformen, der Gelenkbander, der Gelenkusskeln als Grundlage für weitere Untersuchung am Lebenden vorausgehen muss. Die Messungen am Lebenden sind aber bei animalen Gelenken, welche aus biegsamen nachgiebigen, nicht aus starren unnachgiebigen Massen gebildet sind, unentbehrlich.

Bei Maschinengelenken mit starren Massen bedingt die Gelenkform allein schon die Art der Gelenkbewegung; bei animalen Gelenken sit dies nicht der Fall, weil hier die nachgiebigen Massen eine Veränderlichkeit der Gelenkflächen während der Bewegung bedingen und auch abnorme Bewegungen zulassen, wenn abnorme Bussere Gewalten angewendet werden, weil ferner die eignen Muskeln hier berticksichtigt werden mussen, und weil die Natur von Bewegungen, welche die Form des Gelenkes an sich zulassen würde, vielfach nicht Gebrauch macht.

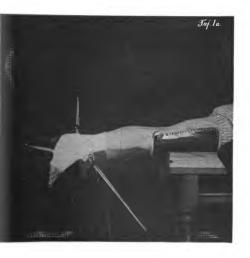
Gelenkmessungen am lebenden Körper sind schon vielfach gemacht worden, in besonders ausgezeichneter Weise von Maaru De Bowornen, welche die Photographie zu Hulfe nahmen, um den bewegten Theil zu projiciren. Diese Messungen reichen aber nicht aus, da die betreffenden Forscher nur eine Projection gewannen, und bekanntlich, wenn es sich um Bewegungen im Raume handelt, mindestens zwei Projectionen nothwendig sind.

Es ergab sich, dass der Druck, welchen die Muskeln bei der Bewegung auf das Gelenk ausüben, eine feste Contactflache an dem Knorpel erst erzeugt, eine Pfanne sich erst herausarbeitet, und dass am Lebenden eine willkürliche Rollung, d. h. eine willkurliche Rolation des Unterschenkels um seine Langsane bei jeder beliebigen Beugestellung fast ganz ausgeschlossen ist.

Aus unseren Messungen am Lebenden ergab sich, dass das Kniegelenk nur einen Grad der Freiheit besitzt, dass die Bewegung eine zwangläufige ist, bei der keine feste Axe existirt, und dass mit der Beugung stets Rollung des bewegten Knochens sich verbindet.

Die Methode der Untersuchung bestand darin, dass während der Beugung an drei starr mit dem Unterschenkel verbundenen Stellen gleichzeitig in der Secunde eiwa 20 Fanken durch einen Ruhmkorffsehen Inductor erzeugt wurden, die durch Photographie in zwei senkrecht aufeinander stehenden Richtungen auf ein Coordinatennetz projicirt wurden.

Aus den Beobachtungen ergab sich, wie Fig. 6 zeigt, dass im Afang der Beugung von der Bussersten Strecklage aus eine starke Einwärtsrollung vorhanden ist, deren Werth zuerst eirea 30 Winkelminuten für 1 Grad Beugung beträgt. Diese Rollung ninmt mit dem Fortschreiten der Beugung ziemlich schnell ab und hört bei circa 30° Beugung für einen Moment ganz auf. Von da an tritt eine Auswärtsrollung auf, welche bei 30° Beugung die Grösse von 7 Minuten für jeden Beugungsgrad angenommen hat und sich bis zu 55° Beugung ziemlich constant auf dieser Höhe erhält. Von 55° bis 110° Beugung wird die Röllung nach aussen geringer und beträgt im Durchschnitt ungefähr vier Minuten für jeden Beugungsgrad. Durch diese Auswärtsrollung sit bei der rechtwinkligen Beugestellung der Effekt der voraufgegangenen Einwärtsrollung wieder aufgehoben worden, denn sowohl die Gesamtrollung nach innen bei der Beugung von der Streckstellung aus um 20°, als auch die darauffolgende Gesamtrollung nach aussen bei der weitergehenden Beugung bis zur rechtwinkligen Beugestellung besitzt eine Grösse von 6°.

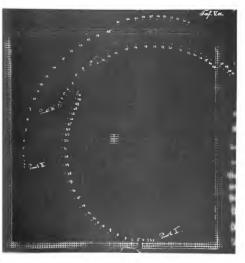


H. in der Ruhelage, vor dem I. Versuch. Projection auf die YZ-Ebene, Pag. 33, 34.

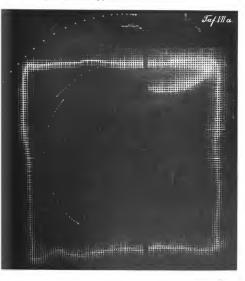


H. in der Ruhelage, vor dem I. Versuch.
Projection auf die XZ-Ebene.

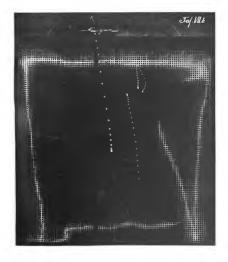
Pag. 33, 34.



M. I. Versuch.
Projection auf die YZ-Ebene.
Tabelle III. Pag. 28.



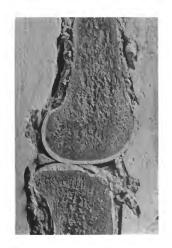
Projection der Cadmiumfunken auf die YZ-Ebene. Pag. 49.



Projection der Cadmiumfunken auf die XZ-Ebene.



Sagittalschnitt durch das Unbitalgelenk des Pferdes. Pog. 8.



Sagittslschnitt durch die änsseren Gondylen eines menschlichen Kniegelenks, ohne Pressung. Rechtes Bein, Individuum A.

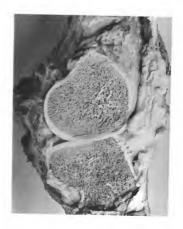
Pag



Sagittalschaitt durch die Ausseren Condylen eines menschlichen Kniegelenks, mit Pressung. Linkes Bein, Individuum A.

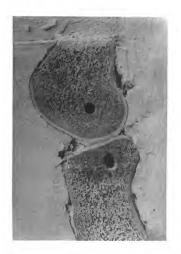
Pag. 9.





Sagittalschnitt darch die äusseren Gendylen eines menschlichen Kniegelenks, mit Pressnag. Individuum B.

Page 9



Sagittalschnitt durch die änsseren Condylen eines menschlichen Kniegelenks, in Beugestellung, mit Pressung. Individunm C.

Pag. 9.

## MIKROMETRISCHE VERMESSUNG

DES

## STERNHAUFENS ∑ 762

AUSGEFÜHRT

AM ZWÖLFFÜSSIGEN AEQUATOREAL DER LEIPZIGER STERNWARTE

VON

REINHOLD HAHN.

MIT EINER TAFEL.

Der im Folgenden behandelte Sternhaufen ist in keinem der vorhandenen Cataloge gesondert aufgeführt. Der Gruud hierfür ist entweder, dass er in der sternreichen Gegend, in welcher er sich befindet, nicht auffällig genug hervortritt, oder dass er inumer nur als Theil des Sternhaufens G. C. 1410 angesehen worden ist. Seine munittelbare Anchbarschaft uit diesem Objecte, das von Herru Dr. Petes") in den Jahren 1879 und 1882 hier in Leiqzig mit dem 8zölligen Refractor vermessen worden ist, war die Veranlassung, dass er von mit zur nukrometrischen Ausnessung gewählt wurde.

Die hier vorliegenden Messungen wurden schon im Winter 1885,86 begonnen und im nätchsten Jahre fortgesetzt, doch ergab die Reduction dieser Beobachtungen bei geringer Anzahl von Messungen zu wenig übereinstimmende Resultate, als dass aus ihnen genügend sichere Sternpositionen hätten abgeleitet werden können. Herr Professor Baxsa hatte daher die Freundlichkeit, das latstument im mehreren Theilen einer Durchsicht unterwerfen zu lassen; nach Beendigung derselbeu wurden die Messungen im Winter 1888/89 wieder aufgenommen.

Das Instrument sellst ist aus früheren Publicationen hinreichend bekannt?); es sollte nach Beendigung der vorliegenden Messungsreihe abgenommen werden, um einem neuen Nefractor Platz zu machen. Die Reparaturen beschränkten sich deshalb auf das Nothwendigste;

BRUNO PETER, Monographie der Sternhaufen G. C. 4460 etc. Abhandl. d. Königl. süchs. Gesellschaft der Wissenschaften, Bd. XV, No. I.

H. C. Vocret, Beobachtungen von Nebelflecken und Sternhaufen. Leipzig, 1867. — II. C. Vocret, Der Sternhaufen z Persei. Leipzig, 1878. — G. Koct, Mikrometrische Vermessung des Sternhaufeus Herschel 1712. Leipzig, 1876. Vgl. übrigens auch Ann. 1).

ebenso wurden verschiedene Aenderungen, die zum Theil als Vorversuche für die Einrichtung des neuen Refractors dienen sollten, nur in ganz provisorischer Art ausgeführt. Dieser Umstand hat die Güte der Messungen, wie sich später ergeben wird, stellenweise merklich beeinflusst; bei der angegebenen Lage der Dinge liess sich dies iedoch nicht änderu. Der Klemmarm der Stundenaxe war ursprünglich nur mit Reibung ohne jede Sicherung aufgekeilt gewesen: der Arm hatte sich gelöst und wurde jetzt mit mehreren Schrauben festgesetzt. Damit war die lange Jahre hindurch unbrauchbar gewesene Feinbewegung in AR wieder wirksam gemacht. Das Uhrwerk hatte schon früher abgenommen werden müssen; als eine Art Ersatz hierfür wurde auf die Triebschraube des Uhrkreises ein Schnurlauf ohne Ende gesetzt, der zum Ocular reichte und sowohl rasche als langsame Bewegungen in AR gestattete. Der Ocularauszug erhielt eine Theilung mit Bewegungsschraube, um begnemer als bisher focusiren zu können. Die Nonien des Positionskreises wurden um ca. 90° versetzt, um eine etwas bequemere Ablesung zu erhalten. Das Mikrometer wurde gereinigt und ein neues Fadennetz aufgezogen. über das weiterhin das Nähere angegeben ist. Erwähnt mag noch werden, dass die sehr ausgiebige Beleuchtung des Mikrometers bei dem einen der Oculare im hellen Felde am Rande einen grossen dunkeln Fleck zeigte, welcher verschwand, als die Oeffnung des Augendeckels etwas grösser gebohrt wurde.

Die Untersuchung des Mikrometers wurde zunächst nur auf die Ausniessung des Netzes und die Ermittelung eines provisorischen Werthes einer Schrauhenrevolutiou erstreckt, weil die für die eigentliche Ausniessung des Objects verfügbare Zeit nur knapp bemessen war.

Voriiegende Arbeit enthâlt im Wesentlichen nur die neueren Messungen, d. h. die des Winters 1888/89. Die älteren, also diejenigen, welche in den Jahren 1885 bis 87 angestellt worden waren, sind nur insoweit mit hinzugezogen worden, als sie sich mit den neueren in Uebereinstimmung befanden und vollständig einwurfsfrei waren. Es beziehen sich daher auch fast alle Angaben über die Beobuchtungsart und den Plan der Beobachtung auf die neueren Messungsreiben, während über die älteren nur soviel hinzugefügt wurle, als zum Verständniss unumganglich nothwendig ist.

#### I. Untersuchung des Mikrometers.

#### a. Das Fadennetz.

Das Mikrometer in seiner neuen Gestalt bestand aus nur einer beweglichen Fadenplatte mit 2 aufeinander senkrechten Fadensystemen von 9 und 3 Fäden, von denen das letztere der Schraubenaxe paraffel war. Es war also kein fester Faden vorhanden. - Es sollten bei den Messungen nur so wenig Schrauben-Revolutionen als möglich benutzt werden; deshalb erhielten die 9 Fäden folgende Anordnung: Bezeichne ich sie mit den Nunmern 1 bis 9, wobei Faden 1 der Schraube zunächst liegt, und nehme ich für den Augenblick ein Intervall von 2 Revolutionen als Längen-Einheit an, so hatten die ersten sechs Fadenpaare (1, 2) bis (6, 7) die Distanz 1, das Paar 7-8 die Distanz 8, und das Paar 8-9 die Distanz 7. Durch diese Anordnung der Fäden konnte man mit dem Netze alle Distanzen von der Grösse 4-21, also von 4-42 Schrauben-Revolutionen messen, ohne die Schraube um mehr als böchstens zwei Umdrehungen bewegen zu müssen. Im Folgenden ist die oben angenommene Bezeichnung der Fäden durchweg beibehalten worden. Die zu diesen 9 Fäden senkrechten 3 Fäden sollen mit A, B, C bezeichnet werden; A ist der oberste Faden, wenn Faden 1 links sich befindet, vom Ocular aus gesehen.

Zur Bestimmung der Intervalle 1—9 wurde dieses Fadensystem auf der Theilmaschine ausgemessen. Die hierzu benutzte Theilmaschine ist von Hindenkard und Schraum in Freiberg gebaut; an ihrem Schlitten war mittelst einer senkrechten Säule und eines wagerechten geschlitzen Armes mit Gelenk ein mit Fadeamikroneter verschenes Ablesemikroskop angebracht worden. Die Ausmessung geschah folgendermassen: Der Indeut der Theilmaschine wurde auf eine runde Ablesung eingestellt und darauf mittelst der Mikrometerschraube des Mikroskopes der Mikroskop-Faden und der Faden des Netzes, mit dem die Messung begonnen werden sollte, zur Deckung gebracht. Hierauf wurden dann der Reihe nach die Fäden des Netzes mittelst der Schraube der Theilmaschine eingestellt und die Reihe in umgekehrter Ordnung wiederholt, nachdem zuvor der Anfangspunkt an der Messschraube der Theilmaschine um 0.5" verstellt und die Conicidenz der beitden Fäden mittelst der Schraube am Mikroskop wieder heigestellt worf-

den war. Es wurde längs der 3 Querfäden A, B, C, und zwar in der Ordnung B, A, C, B gemessen. In Tab. 4 sind die Resultate, nach diesen Fäden geordnet, aufgeführt.

Tabelle 1.
Messungen an Faden B.

1889	1+ 3100	2+ 2590	3+ 2120	4+ 1630	5+ 1080	6+ 610	7+ 140	8- 3870	9- 7390
Oct. 20	+5.7 +6.5 +2.1 +2.9	+1.7 +3.0 +1.1 -0.1 +2.9	-2.8 -3.5 -3.9 -0.6 -3.1	+5.2 +6.5 +5.6 +4.4 +6.4	-2.8 -4.0 -1.9 -0.6 -3.1	-3.3 -4.0 -0.9 -2.6 +0.9	+5.7 +6.0 +5.6 +8.9 +6.9	+0.2 -1.5 -0.4 +0.9 -0.1	+0.7 -2.0 +3.4 -3.4 -2.6 dunk- ies Feld
Oct. 21		+2.9 -0.6 +3.1	-3.1 -2.6 +0.1	+3.9	-3.1 -1.6 -2.9	-0.1	+6.9	+4.9	-2.6 -2.6)
Oct. 21	+0.5	+1.5	+1.0	+5.5 +7.2	-4.5 -1.3	-0.5 +0.2	+5.5	+0.5	+0.5 -1.3 helles
Oct. 21 Oct. 21 Oct. 22	+2.6 -1.1 -1.2	+1.6 +2.8 +1.8	-3.4 -4.2 -9.7	+7.1 +1.8 +1.8	-0.9 -3.2 +2.8	-0.9 -1.7 -0.2	+5.6 +8.3 +8.3	-0.4 +3.3 +4.8	-0.9 -1.7 -1.7
H D	+3.4	+1.3 +2.2	-2.7 $-2.5$	+5.3 +5.3	-2.3 -1.7	$-1.2 \\ -0.9$	+6.7 +5.7	+0.7 +2.2	-1.1 -0.9
H-D	+2.5	-0.9	-0.2	0.0	-0.6	-0.3	+1.0	-4.5	-0.2
Mittel	+2.1 ±0.68	+1.8 ±0.34	-2.6 ±0.78	+5,3 ±0.39	-2.0 ±0.56	-1.0 ±0.36	+6.9 ±0.56	+1.4 ±0.69	-1.0 ±0.51
	±2.37	±1.19	±2.71	±1.36	±1.94	±1.24	±1.95	±2.44	±1.76

			1	fessung	en an Fa	aden A.			
1889	1+ 3100	2+ 2590	3+ 2120	4+ 1630	5+ 1080	6+ 610	7+ 140	8- 3870	9- 7390
Oct. 20 Oct. 20 Oct. 21	+8.8	+6.5 +6.3 +5.1	-1.5 -2.2 -2.6	+1.5 +0.8 +1.9	- 9.0 -11.2 -10.6	-4.5 -2.7 -2.1	+1.5 -1.7 -1.6	+4.0 +3.3 +3.9	+3.5   dunk- +8.8   les +5.9   Feld
Oct. 24 Oct. 24 Oct. 22	+8.1 +9.0 +8.1	+7.6 +8.0 +6.1	-2.4 -2.5 -1.4	+2.6 +2.0 -4.4			-0.9 -0.5 +1.6	+3.4 +3.5 +6.4	+6.1 +6.0 +6.6 helles
H D	+8.9 +8.4	+6.1 +7.2	-2.1 -2.1	+1.4 +0.1		-3.4 $-3.9$	$-0.6 \\ +0.1$	+3.7 +4.2	+6.4 +6.2
H - D	+0,5	-1.4	0.0	+1.3	0.0	+0.8	-0.7	-0.5	-0.4
Mittel	+8.7	+6.7	-2.1		-10.3	-3.5	-0,3	+4.0	+6.1
	±0.30	±0.39 ±0.99	±0.22		± 0.52 ± 1.26		±0.35 ±1.48		±0.32 ±1.69

Messungen an Faden C.

1888	1+ 3100	2+ 2590	3+ 2120	\$+ 1630	5+ 1080	6+ 610	7+ 140	8- 3870	9 7390
Oct. 20 Oct. 21	-3.9 $-5.8$ $-2.6$	-4.9 +0.7 -4.6	-2.9 -3.3 +0.9	+7.6 +6.7 +7.9	+7.1 +8.7 +9.9	+1.1 -1.8 -0.6	+13.1 +13.2 +12.4	+0.6 +0.2 -2.1	- 7.4 dunk- - 8.3 les -11.4 Feld
Oct. 21 Oct. 21 Oct. 22	-4.6 $-2.2$ $-5.2$	-1.6 -3.7 -2.7	-1.1 +0.3 -2.2	+8.4 +5.8 +8.3	+6.9 +8.3 +9.3	+1.4 -0.7 +0.3	+11.9 +12.8 +11.8	-4.1 -0.2 -0.2	- 7.6 -10.7 - 9.2 belles Feld
H D	-1.1 -1.0	-2.9 $-2.7$	-1.8 -1.0	+7.4 +7.5	+8.6 +8.2	-0.4 +0.3	+12.9 +12.2	-0.4 -1.5	- 8.9 - 9.2
H - D	-0.1	-0.2	-0.8	-0.1	+0.4	-0.7	+ 0.7	+1.1	+ 0.3
Mittel	-4.0	-2.8	-1.4	+7.5	+8.4	0.0	+12.5	-1.0	- 9.4
	$\pm 0.58$	$\pm 0.86$	±0.70	±0.41	±0.49	±0.49	± 0.23	$\pm 0.73$	± 0.64
	±4.43	±2.44	±1.72	±1.01	±1.19	±1.21	$\pm$ 0.57	±1.79	± 1.57

Diese Tabellen geben die Messungsresultate nicht direct, sondern vermehrt oder veruindert um eine dem schliesslichen Mittelwerthe nabeliogende Zahl, sodass also statt — 3103.9 gegeben ist: — 3103.9 + 3100 = — 3.9. Die betreffenden Hilfsgrössen sind in den Köpfen der Columne angegeben. Als Einheit ist  $\mu=0.00$ t mm angenommen. Die Zahlen sind die Mittel aus je 2 Messungen und geben die Eatfernungen der einzelnen Päden von einem ideellen Mittelfaden an, der durch den Schwerpunkt des Systemes geben wurde. Die Messungen wurden bei hellem Felde und mit hellen Fäden in dunklem Felde ausgeführt.

Die 3 Theile der Tab. 4 enthalten in den ersten 12, resp. 6 Zeilen die Messungsresultate. Die Werthe für denselben Faden stehen untereinander. Die sechstletzte Zeile enthält die Mittel aus den Beobachtungen mit F\u00e4den-, die f\u00e4nftentigen mit elderen, die f\u00e4nftentigen mit elderen zeile die Differenz hell minus dunkel. Die 3 noch \u00fcbrigen Zeilen enthalten der Reihe nach die Gesammt-Mittel, die mittleren Fehler von diesen und die mittleren Fehler eines Einzelwerthes.

Im Folgenden sind die Differenzen » Hell minus Dunkel» zusammengestellt.

	4	2	3	4	5	6	7	8	9
			-0.2						
			+0.0						
C	-0.4	-0.2	-0.8	-0.1	+0.4	-0.7	+0.7	+1.1	+0.3

Sie zeigen rein zufälliges Verhalten, sodass es gerechtfertigt ist, einfach die Mittel der Beobachtungen »Hell» und »Dunkel« zu nehmen.

An den in Tab. I gegebenen mitteren Fehlern fällt auf, dass is sowohl im Allgemeinen sehr verschieden gross sind, als auch dass die Durchschnittswerthe derselben für die Messungen an den Fäden A, B, C ziemlich stark von einander abweichen, besonders dass der durchschnittliche m. F. der Mittelwerthe für Messungen an B, trotzdem die Anzahl der Messungen hier die doppelte von denen an den andern Fäden war, grösser ist, als der für die Messungen an A. Die durchschnittlichen mittleren Fehler sind:

				für einen Werth	für ein Mitte
für	Messungen	an	A	± 1.26 µ	± 0.32 µ
		2	B	± 1.88 »	± 0.54 m
			c	± 1.40 z	± 0.57 a

Als Ursache fur die zuerst genannten Unregelnätssigkeiten darf nan wohl die improvisirte Befestigung des Einstellungs-Mikroskopes an der Theilmaschine ansehen, die kamm genügend stabil war; somst müssten bei der anscheinenden Schärfe der Einstellungen die einzelnen Reihen in sich besser übereinstimmen. Für die Verschiedenheit der mittleren Fehler der Messungen an A, B, C weiss ich keinen Grund anzugeben. — Der mittlere Fehler eines Einzelwerthes, berechnet aus allen 216 Werthen, ist  $\pm 1.72 \, \mu = \pm 0.091$ , also der einer Einstellung  $\pm 2.43 \, \mu = \pm 0.7129$ ).

Um nun definitive Werthe für die Faden-Abstände zu erhalten. bildete ich, da sich die Faden A und C in genügend gleichen  $\Delta$ bständen vom Faden B befinden, die Werthe  $\frac{1}{4}(B + \frac{A+C}{2})$  für jeden Faden. Dies darf geschehen, da B auf der doppelten  $\Delta$ nzahl von Messungen wie A und C beruht, also B und  $\frac{A+C}{2}$  gleiche Gewichte haben. Der Faden A ist zwar um 47 Bogen-Minuten gegen den Faden B geneigt, doch giebt dies selbst für die grösste Distanz. 7396.1  $\mu$ , nur  $0.1 \mu$  aus, einen Betrag, der vernachlässigt werden kaun. Zugleich bilde ich noch die Werthe: A-C und  $B-\frac{A+C}{2}$ .

<sup>1)</sup> Bei der Verwandlung von Mikrons in Bogenseeunden ist 1  $\mu=$  0.053 angenommen. (Siehe S. 162.)

Tabelle 2.

	4	c	$\frac{A+C}{3}$	В	$\tfrac{1}{2} \left( B + \tfrac{A+C}{2} \right)$	$B - \frac{A+C}{2}$	$c-\Lambda$	m. F.
1	-3091.3	-3101.0	-3097.6	-3097.9	-3097.7	-0.3	-12.7	$\pm 0.38$
2	-2583.3	-2592.8	-2588.0	-2588.2	-2588.4	-0.2	- 9.5	$\pm 0.29$
3	-2122.4	-2121.4	-2121.7	-2122.6	-2122.1	-0.9	+ 0.7	$\pm 0.43$
4	-1629.3	-1622.5	-1625.9	-1624.7	-1625.3	+1.2	+ 6.8	$\pm 0.23$
5	-1090.3	-1071.6	-1080.9	-1082.0	-1081.4	-1.4	+18.7	$\pm 0.33$
6	-643.5	-610.0	- 641.7	- 611.0	- 611.4	+0.7	+ 3.5	$\pm 0.23$
7	-140.3	-427.5	- 433.9	- 433.8	- 433.8	+0.1	+12.8	$\pm 0.30$
8	+3874.0	+3869.0	+3871.5	+3871.4	+3871.4	-0.1	- 5.0	$\pm 0.39$
9	+7396.4	+7380.9	+7388.5	+7389.0	+7388.7	+0.5	-15.2	$\pm 0.34$

Die Werthe  $4\left(B+\frac{A+C}{2}\right)$  sollen fernerhin als definitive Werthe der Faden-Abstände in Mikrons gelten!). Als Maass ihrer Genauigkeit können einerseits die Werthe  $B-\frac{A+C}{2}$  dienen, die ja eigenlich gleich Null sein müssten. Andrerseits wurden aber auch not ein mittleren Fehler für  $4\left(B+\frac{A+C}{2}\right)$  berechnet aus den mittleren Fehlern für B, A und C. Sie befinden sich in Tab. 2 in der letzten Columne. Ihnen nach zu urtheilen scheinen die Endresultate für die einzelnen Fäden ziemlich gleiche Genauigkeit zu besitzen. Der durchschnittliche mittlerer Fehler für eine dieser Faden-Distanzen. B und B von söchen Messungsreichen zu erlangen ist, die sonst zur Bestimmung von Faden-Distanzen angewendet werden. — Aus dem oben gegebenen m. F. einer Einstellung berechnet sich übrigens der m. F. einer definitiven Distanz in guter Uebereinstimmung mit dem oben gegebenen Werfte zu B o. 33 p. 10 p

Um diese Faden-Distanzen weiterhin brauchbar zu machen, erubrigt noch, den Werth eines Mikrons in Bogen-Secunden zu bestimmen. Dies geschah mittelst Sterndurchgängen auf folgende Weise. Ist  $I_a$  die Zeit des Durchganges eines Sternes durch den Faden u, I, diejenige des Durchganges durch den ideellen Mittelfaden, und ist der Ahstand des Fadens  $\alpha$  vom ideellen Mittelfaden in Mikrons  $m_{\alpha}$ ,  $\delta$  die Declination, so erhält man

$$t_{\alpha} - t_{0} = m_{\alpha} \cdot y \cdot \sec \theta$$

f) Die weitere Rechaung selbst wurde für die Fäden 2, 3, 7, 8, 9 mit Werthen ausgeführt, die um 0.6 µ grösser sind.

oder für die Summe aller Fäden nach der Carcur'schen Ausgleichungsmethode

$$\Sigma[t_{\alpha} - t_{\circ}] = y \cdot \sec \delta \cdot \Sigma[m_{\alpha}].$$

Von den in eckige Klammern eingesehlossenen Werthen sind hier die absoluten Beträge zu summiren. y giebt dann die Beziehung zwischen Mikrons und Zeit- resp. Bogen-Secunden. Zu Anfang und zu Ende der gauzen neueren Beoluchtungsreihe wurde eine derartige Bestimmung von y ausgeführt mittelst Durchäugnen von Sternen zwischen 60° und 70° Declination innerhalb der Stundenwinkel — 0:5 und + 0:5 in beiden Lagen des Mikrometers, Von jedem Stern wurden 8 Durchäugneg genoumen.

Oct	

	Sehr, Lage	$\Sigma(t_{\alpha}-t_{\epsilon})$		1000
7 Cephei	links	167:379	1	3:556
a Cephei		171.223		3,554
a Cephei	rechts	171.198		3.551
24 Cephei		256.310	= 22.5204 y · sec δ	3.555
24 Cephei	links	256,633	= 22.5204 y · sec o	3.559
7 Cassiop.		160.647		3.554
ε Cassiop.		176.931		3.554
t Cassiop.	rechts	201.022	1	3.5543
-				

Mittel 3:55514 ± 0:00066 m. F. einer Bestimmung ± 0.00235

1889 April 29.

	Schr. Lage	$\Sigma (t_{\alpha} - t_{o})$		1000 y
d Urs. maj.	rechts	237:959		3:5581
30 H. Urs. maj.	links	197.866		3,5552
30 H. Urs. maj.	rechts	197.978		3.5572
α Urs. maj.		172,670	= 22.5204 y sec 8	3.5577
α Urs. maj.	links	172.305	= 22.3204 y sec 0	3,5502
ð Urs. maj.	3	119.570		3,5537
76 Urs. maj.		178,108		3,5505
76 Urs. maj.	rechts	178,390		3.5561
			Mittel	3:55185 ± 0:00109

m. F. einer Bestimmung ± 0.00311

Bilde ich zunächst bei beiden Reihen die Differenzen der Mittelwerthe der Durchgänge bei Schraube »rechts« und »links«, so erhalte ich

1888 Oct. 28 1889 April 29

Die Differenz bei der zweiten Beobechtungsreihe ist sehr beträchtlich. Man k\u00fcnnte vielleicht vermuthen, dass die Positionskreis-Einstellung bei s\u00e4chrauber rechts's immer bedeutend anders gewesen ist, als bei s\u00e4chraube links«, dass also die \u00e4\u00e4den in der einen Lage eicht senkrecht zur Richtung der t\u00e4giehen Bevegung gestanden haben. Die Positionskreis-Ablesungen waren am 29. April 1889 (olgende:

Schr.	rechts	Schr. links	
d Urs. maj.	137° 22.7	30 H. Urs. maj.	347°24.
30 H. Urs. maj.	137 22.7	α Urs. maj.	347 26.
α Urs. maj.	137 22.7	ð Urs. maj.	347 26.
76 Urs. maj.	137 24.5	76 Urs. maj.	347 26.
Mittel:	137º 23.1		317° 25.

Der Unterschied ist zu unbedeutend, als dass man ihm die Schridt an der Abweichung geben könnte, und die Frage nech der Ursaehe obiger Erscheinung muss offen bleiben. Diese Differenz «Rechts minus Links» ist auch für das Resultat ohne Bedeutung, da die Vertheilung der Beohachtungen auf beide Lagen der Schraube gleichmassig ist. Die Übereinstimmung der beiden Endresultate ist ja auch sonst eine genügend gute, da beide Werthe innerbalb der durch ihre mittleren Fehler gezogenen Gronzen liegen. Unter Berücksichtigung der aus den mittleren Fehlern sich ergebenden Gewichte wurde ich also erhalten:

$$1 \mu = 0.00355507 = 0.05332605$$
.

Um einen Anhalt zu haben, ob eine oder die andere Fadendistanz in der Zwisehenzeit sieh verändert habe, wurden sie noch direet aus den beobaehteten  $t_{\alpha}-t_{\epsilon}$  berechnet.

1	11	111	1V	v	Vί	VII	VIII	1X	X
1	-41:0129	56	-11:0052	89	- 77	-11:0127	-44:0448	+ 2	-66
2	- 9.2077	52	-9.2020	68	- 57	-9.2014	- 9.2007	+63	+13
3	- 7.5439	47	- 7.5445	40	+ 6	- 7.5447	-7.5444	8	+ 5
į.	- 5.7744	55	~ 5.7875	54	+164	- 5.7782	- 5.7777	-68	+98
5	- 3.8416	44	- 3,8509	28	+ 93	-3.8445	-3.8442	-29	+67
6	- 2.1752	53	- 2.4799	97	+ 47	- 2.4736	-2.1734	+16	+65
7	- 0.1806	80	-0.4676	69	-430	-0.1760	-0.1760	+46	-84
8	+13.7662	75	+13.7626	97	+ 36	+13.7637	+13.7626	-25	+ 0
9	+26.2672	73	+26.2672	66	+ 0	+26.2682	+26.2664	+10	-14

In dieser Tabelle stehen in Columne I die Fadennummern, in Col. II die Werthe  $t_a - t_a$  für 88 Oct. 28, in Col. IV dieselben Werthe für 89 Apr. 29, in Col. III und V die mittleren Fehler der Zahlen in

Col. II und IV, in Col. VI die Differenz II-IV, in Col. VII und VIII die mit den beiden Werthen für y berechneten Fadenabstände, in Col. IX und X die Differenzen der Columnen VII und II, resp. VIII und IV. Die Zahlen der Col. VI lassen nicht auf reelle Veränderungen in den Fadendistanzen schliessen. Die grösste Abweichung beträgt noch nicht 0:02, dagegen der durchschnittliche mittlere Fehler einer Differenz in Col. VI, wie er sich mit den Werthen aus Col. III und V bereclinet, ± 0:009. - Es scheint aber bei der zweiten Beobachtungsreihe ein klein wenig anders focusirt gewesen zu sein, als bei der ersten, da die aus ihr erhaltenen Fadenabstände etwas grösser sind, als die andern. Es wurde zwar stets mit constantem Focus beobachtet, nachdem zu Beginn der Reihe an mehreren aufeinander folgenden Abenden durch Trennung feinerer Doppelsterne die Ablesung der Focusirungs-Scala für Einstellung auf den Brennpunkt ein für alle Mal bestimmt worden war. Doch da es wegen Beobachtung terrestrischer Marken öfters nothwendig war, den Ocular-Auszug weit herauszuschrauben, ist es möglich, dass bei der späteren der beiden hier in Frage kommenden Reihen die Einstellung eine etwas andere war, als bei der ersten. - Die Differenzen in den Columnen IX und X sind Werthe: Rechnung minus Beobachtung. Die aus ihnen berechneten mittleren Fehler einer Fadendistanz sind

Also auch hiernach ist die erste Bestimmung die genauere. Mit aus diesen mittleren Fehlern berechneten Gewichten ergieht sich beinahe identisch mit oben:

$$1\,\mu = 0.00355505 = 0.05332575\,.$$

Es wurde fernerhin angenommen:

$$1\mu = 0.00355506 = 0.0533290$$
.

Die hiermit berechneten Faden-Distanzen vom Schwerpunkt sind:
1 2 3 4 5 6 7 8 9

Aus der oben angeführten Beziehung zwischen Millimeter und Bogenmaass würde sich die Brennweite des Fernrohrs zu 3867.72 mm berechnen mit einer Unsicherheit von 1.2 mm.

Die Werthe C-A in Tabelle 2 wurden noch zur Bestimmung der Neigung der 9 Declinations-Fäden benutzt unter Zugrundelegung des Werthes 838,6 für den Abstand der Fäden A und C.

Die α' sind die Winkel, welche die Fäden mit dem ideellen Mittelfaden bilden, die a ihre Winkel auf den fernerhin immer als Hauptfaden betrachteten Faden 7 bezogen. Denkt man sich alle 9 Fäden, jeden mit sich selbst parallel, in den Mittelpunkt des Mikrometers verlegt, so ist ein Winkel a positiv, wenn der betreffende Declinations-Faden nach einer höheren Ablesung am Positionskreis zeigt, als der Hauptfaden. Die obigen Vorzeichen der Winkel α' und a sind also umzukehreu, wenn man sie mit der Positionskreis-Theilung in Einklang bringen will, da diese von links über oben nach rechts geht. Mit diesen Vorzeichen sind aber dann die Winkel α zugleich die Correctionen, welche an die Positionskreis-Ablesung anzubringen sind, wenn das Fadennetz mit einem andern Faden als dem Hauptfaden auf den Parallel eingestellt ist, um sie auf die Einstellung mit dem Hauptfaden zu reduciren.

Zur genäherten Bestimmung der Abstände der Fäden A, B, C wurden 89 Mai 4 einige Durchgänge von φ Virg. registrirt. Die Durchgänge geschahen längs der Fäden 1, 7, 9 in der Reihenfolge 7, 1, 9, 7. Folgendes Täfelchen giebt die einzelnen Resultate und die Zahl der Durchgänge.

Diese Werthe sind noch mit cos ở zu multipliciren. Da anzunehmen war, dass auch die Fäden A, B, C nicht parallel seien, und da die Abstände der Fäden 1 und 9 vom Hauptfaden 7 nicht gleich sind, wurden obige Zahlen einer kleinen Ausgleichung unterworfen. Als Abstände der 3 Stundenfäden A, B, C längs des Fadens 7 erhielt ich auf die Weise die Werthe:

```
A—B B—C

Aus Beobachtungen an Faden 1 4220 41674

2 2 7 421.9 447.4

3 2 9 421.9 446.7

Mittel 42159 446.7
```

Die Uebereinstimmung ist eine hinreichend genügende, da diese Fadenabstände nur zu Nebenuntersuchungen gebraucht werden.

Die Winkel zwischen den Fäden B. resp. A. B. C und Hauptfaden 7 wurden auf directem Wege ermittelt, der zwischen B und 7 unter Benutzung einer terrestrischen Marke, die zwischen A, C und B, resp. 7 durch Einstellen der betreffenden Fäden auf den scheinbaren Parallel nach der allgemein gebräuchlichen Methode, indem ich einen dem Aequator nahen Stern am Anfang des Gesichtsfeldes auf den Faden einstellte und längs desselben entlang laufen liess. Hatte er sich am Ende des Gesichtsfeldes vom Faden entfernt, so brachte ich ihn mittelst der Mikrometerschraube des Positionskreises nochmals mit dem Faden zur Deckung. Geschehen beide Einstellungen in gleichen Abständen vom Mittelfaden, so giebt das Mittel aus der ursprünglichen und der späteren Positionskreis-Ablesung eine ziemlich richtige Einstellung auf den Parallel. Durch Wiederholung des Verfahrens gelängt man rasch zu genügend sicheren Resultaten. Hierbei wurden die Einstellungen mit den Fäden A. B. C eingeschlossen von denen mit dem Hauptfaden 7, so dass eine etwaige Aenderung des scheinbaren Parallels während der Dauer der Beobachtung das Resultat nicht entstellen konnte. Die hier folgenden Werthe beziehen sich auf die Winkel, die bei »Schraube oben« eingeschlossen werden von dem rechten Theil des Hauutfadens 7 und den oberen Theilen der Fäden A, B, C.

		4B7	417	407
88	Nov. 28	89045,9		
88	Dec. 49	89 44.9		
89	Mai 4	89 45.0	90°2.'6	89°46.7
	Mittel	89045/3	900976	89º16'

# b. Die Mikrometerschraube.

# 1. Fortschreitender Gang.

Da bei der Ausmessung des Sternhaufens nur einige Revolutionen der Schraube, nämlich die \$5. bis 50., in Auwendung kommen sollten, so brauchte auch die Untersuehung auf fortschreitenden Gang sieh nur auf den mittleren Theil, die Revolutionen 39 bis 55, zu erstrecken. Alle Messungen wurden so angestellt, dass der Einfluss des periodischen Fehlers der Sehraube vermicden wurde, und jede Messungsreihe wurde sofort in umgekehrtem Sinne wiederholt. Da der zu untersuchende Theil 16 Revolutionen umfasste, wurden Intervalle von 8, 4 und 2 Revolutionen ausgemessen; diese Abstände hatten die Fadenpaare (3, 7), (4, 6), (6, 7). Die Einstellung geschah bei den ersten Messungen in die Mitte zwischen zwei Theilstriche einer Glasscala, die sieh in einem zum Zweeke der Sehraubenuntersuchung gefertigten Ocular-Mikroskope befand. Dieses war in Ermangelung eines geeigneteren Hilfsmittels aus einem Barometer-Ablesemikroskope improvisirt worden; es sass auf Reibung in einem Holzcylinder und mit diesem in einem Messingröhrchen, welches an Stelle des Oculares an den Oeularschlitten angesehraubt wurde. Da aber die Einstellung auf die Scalastriche wegen mangelhafter Schärfe derselben nieht sicher genug erschien, wurde senkrecht zu den Striehen der Scala in das Mikroskop ein Faden eingezogen, mittelst dessen dann Coineidenzen in der gewöhnliehen Weise gemessen wurden. Die Anwendung eines Ocular-Mikroskopes war nothwendig, weil ja das neue Fadennetz des Mikrometers keinen festen Faden hatte. -Jedes Intervall wurde 64 Mal gemessen. Ifier folgen die Resultate der verschiedenen Reihen.

# Intervall von 8 Revolutionen.

		39*-47"	47'-55'	Einstell.	Temp.	
89	Febr. 44	7:9327	7:9482	16	-4%	Coincidenzen.
89	Febr. 41	7.9350	7.9143	16	-1.1	Einstellung in die Mitte.
89	März 22	7.9380	7.9107	16	+2.8	Coincidenzen.
89	April 40	7.9404	7.9403	16	+8.8	Coincidenzen.

## Intervall von 4 Revolutionen.

		39!0-43!0	13:0-17:0	47:0-54:0	51:0-55:0	Einstell.	Temp.	
89	Febr. 17	4:0530	4:0560	4:0423	4:0409	8	+496]	
89	Febr. 17	4.0560	4.0546	4.0466	4.0386	8	+1.6	١.
89	April 42	4.0534	4.0557	4.0460	4.0379	8	+9.9	5
89	April 13	4.0556	4.0538	4.0482	4.0360	8	+7.9	Coincidenzen
89	April 14	4.0509	4.0516	4.0376	4.0355	8	+7.8	
89	April 16	4.0575	4.0539	4.0447	4.0291	8	+7.2	å
89	April 17	4.0557	4.0581	4.0468	4.0349	8	+6.6	v
89	April 18	4.0548	4.0553	4.0429	4.0332	8	+7.0	
	Mittel	4:0546	4:0548	\$10444	4:0358	Sa. 64		

Intervall von 2 Revolutionen,

			39:0-41:0	44:0-43:0	43:0-45:0	45:0-47:0	47:0-49:0	49:0-51:0
89	Mai	34	2:0317	2:0326	2:0385	2:0351	2:0304	2:0289
89	Juni	4	2.0343	2.0322	2.0314	2,0329	2.0284	2.0271
89	Juni	2	2.0336	2.0361	2.0335	2.0312	2.0308	2.0227
89	Juni	3	2.0270	2.0289	2.0313	2.0298	2.0268	2.0265
89	Juni	á	2.0325	2.0300	2.0318	2.0336	2.0290	2.0235
89	Juni	5	2.0328	2.0302	2.0341	2.0316	2.0271	2.0251
89	Juni	6	2.0315	2.0295	2.0312	2.0304	2.0299	2.0242
89	Juni	7	2.0302	2.0331	2.0301	2.0307	2.0259	2.0248
89	Juni	8	2.0344	2.0348	2.0313	2.0305	2.0284	2.0260
	Mit	tel	2:0319	2:0316	2:0321	2:0315	2:0283	2:0251

#### 54:0-53:0 53:0-55:0 Einstell. Temp.

	*****	010001	Orgons	0. 61	
89	Juni 8	2.0230	2.0228	. 8	+25.1
		2.0240	2.0194	8	+23.9
89	Juni 6	2.0230	2.0233	8	+23.6
89	Juni 5	2.0220	2.0213	8	+23.9
89	Juni 4	2.0228	2.0208	8	+24.3
89	Juni 3	2.0232	2.0219	8	+24.7
		2.0200	2.0228	4	+23.8
89	Juni 1	2.0253	2.0229	8	+24.3
		2:0231	2:0257	4	+2300

Zu dieser letzten Reihe sind noch einige Bemerkungen hinzzufugen. Die Beobachtungen vom 31. Mai und 2. Juni 1889 wurden mit halbem Gewicht zur Mittelbildung herangezogen, da sie auf auf der halben Zahl von Einstellungen beruhen. — Ferner wurddiese ganze Messungsreihe angestellt, nachdem der Refractor schon auseinander genommen war. Der Ocularuszug mit dem Mikrometer war, ohne sonst etwas daran zu ändern, auf ein Stativ gestellt worden, auf welchen dann gemessen wurde.

Bei allen 3 Messungsreiben wurde die Schraubenlage vier Malgowechselt. — Zur Beurtheilung der Genauigkeit wurden aus den Abweichungen der einzelnen Resultate vom ihrem Tagesmittel die mittleren Fehler für die ersten beiden Intervalle berechnet. Es belauft sich für die Messungen des Intervalls von 8 Revolutionen der mittlere Fehler eines Mittels aus 16 Einstellungen auf  $\pm$  0:0009, der mittlere Fehler einer Distanz, aus einer Messung auf  $\pm$  0:00075, also der einer Pointirung auf  $\pm$  0:0053. Bei diesen Messungen wurden, wie sehon oben bemerkt, Gönicidenzen und Einstellungen in die Mitte verwendet. Für die Ausnessangen einen Bitervalls von 8 Revolutionen erhält man folgende mittlere Fehler: Der m. F. eines Mittels betrug  $\pm$  0:0005, derjenige einer Distanz aus einer Messung  $\pm$  0:0045, also der einer Coincidenz  $\pm$  0:0032. Hier waren nur Coincidenzen angewendet worden. Die Coincidenz-Bestimmungen sind also viel genauer als die Einstellungen in die Mitte

Mit den Mittelwerthen von Seite 165, 166 wurden dann die Fehlergleichungen von der Form

$$i_m + F_b - F_a = R(a - b) - I_m$$

gebildet.  $I_n$  ist hier 87:000, 40:000, 27:000, ferner  $i_m$  die Correction, die an diese drei Werthe anzubringen ist, um den wahren Abstand der benutzten Fâden zu erhalten, R(a-b) der Messungswerth im Sinne: »böhere Ablesung minus niederes,  $F_a$ ,  $F_a$ , sind die Correctionen, die wegen fortsettreitenden Ganges an die Angaben der Schraube bei den Ablesungen a und b anzubringen sind. Die Numerirung der Faden ist der Zählung der Schraube netgegengesetzt, so dass der Einstellung eines Objectes mit einem Faden von niedrigerer Nummer die höhere Schrauben-Ablesung entspricht.

So wurden 14 Fehlergleichungen und nach Einführung der Bedingungsgleichungen

$$F_{ss} = F_{ss} = 0$$

40 Normalgleichungen erhalten. Schliesslich ergaben sich folgende Correctionen in Columne 1:

	I.	II.
=	0.0	0.0
200	- 33.6	- 30.8
=	-64.2	- 58.7
=	-100.1	- 92.4
=0	-430.4	-119.5
=	-133.5	-125.6
=	-107.9	-102.7
=0	- 58.9	- 56.3
==	0.0	0.0
	11 11 11 11 11 11	= 0.0 = -33.6 = -64.2 = -100.1 = -130.1 = -133.5 = -107.9 = -58.9

Die Einheit ist 0:0001. Setzt man diese Werthe in die Fehlergleichungen ein, so ist der grösste übrig bleibende Fehler 0:0011 = 0.015. Die Fehler von diesem Betrag gehören zu den Gleichungen, welche auf Messungen des Intervalls von 8 Revolutionen beruhen; die Fehler würden kleiner ausgefallen sein, wenn die Anzahl dieser Messungen vermehrt worden wäre, den Gleichungen also grösseres Gewicht hätte gegeben werden können. Eine bequemere Bestimmung der Correctionen erhält man, wenn man zunächst mit Hilfe der Messungen des Intervalls von 8 Revolutionen F., hestimmt, dann mit den Werthen für 4 Revolutionen  $F_{uv}$  und  $F_{uv}$ , und schliesslich  $F_{uv}$ ,  $F_{uv}$ ,  $F_{uv}$ F., dazwischen hängt. Die auf diese Weise sich ergebenden Correctionen sind in Columne II der obigen Tabelle enthalten. - Der Betrag des fortschreitenden Ganges ist ohne Beeinträchtigung der Genauigkeit für Mcssungen innerhalb 2 Revolutionen der Mikrometerschraube zu vernachlässigen. Eine Nebenuntersuchung, die der Bestimmung des Schraubenwerthes in Bogen-Secunden, macht es aber doch wünschenswerth, eine Tabelle der Correctionen in Folge fortschreitenden Ganges zu haben, und sie ist in Folgendem für ein 0:5 Intervall gegeben, mit 0:0001 als Einheit.

3950	+130	44:5	+39	50:0	+ 6
39.5	+122	45.0	+30	50.5	+ 14
40.0	+113	45.5	+21	51.0	+ 22
40.5	+104	46.0	+13	51.5	+ 34
44.0	+ 96	46.5	+ 6	52.0	+ 45
44.5	+ 89	47.0	0	52.5	+ 58
42.0	+ 81	47.5	- 2	53.0	+ 74
42.5	+ 73	48.0	- 4	53.5	+ 85
43.0	+ 66	48.5	- 4	54.0	+ 99
43.5	+ 57	49.0	- 3	54.5	+114
44.0	+ 48	49.5	+ 1	55.0	+130
44 5	. 20	50.0	. 6		

Die tabulirten Werthe sind auf folgendem Wege erhalten: Aus dem in Columne I der obigen Tabelle gegebenen Werthen sind auf graphischem Wege die Correctionen für die Schrauben-Ablesungen von 05 zu 05 abgeleitet worden. Zu diesen wurde dann der Werth + 130.1 addirt, die negative Correction  $F_{\nu}$ . Die Tabelle giebt also die Zahlen, welche man erhalten bätte, wenn statt der Gleichung  $F_{\mu} = F_{as} = 0$  als Bedingungen angenommen wären  $F_{\mu} = F_{ss} ; F_{sc} = 0$ . Bilredurch wurden meistens positive Correctionen und ausserdenn für die Mittelwerthe der Tabelle, also für die am meisten gebrauchten Schrauben-Ablesungen, kleine Zahlen erhalten

## 2. Periodischer Gang.

Zur Ermittehung des periodischen Ganges der Mikrometerschraube 
urde ein Intervall von 0.5 kevolutionen mit Iläfe der in dem oben 
schon erwähnten Ocularmikroskope befindlichen Glasscala ausgemessen, 
deren Theilstriche 6.75 auseinander stehen. Für die Anfangsstellungen 
17.0, 47.1, 47.2 u. s. w. der Schraube wurden an 10 Tagen je 
4 Messungen vorgenommen; die unten gegebenen Werthe heruhen 
also auf 40 Einstellungen. — Ein Intervall von 0.25 war auf keine 
Weise mit Hilfe dieser Scala und der Distanzen der Faden 4 his 9 
herzustellen. Es musste also von Messungen eines solchen Intervalles, 
so wünschenswerth sie an und für sich gewesen wären, abgesehen 
werden.

Die Pointrung auf die Striche der Glasscala war sowohl beim Einstellen in die Mitte zweier Striche, als auch beim Einstellen mit schmaler Lichtlinie ober- und unterhalb des Theilungsstriches keine sehr scharfe, da sich die Theilung wegen des Reflexes an den eingeritzten Strichen bei verschiedener Kopfstellung und Beleuchtung zu verschieben schien. Der mittlere Fehler eines der unten gegebenen Werthe, berechnet aus den Abweichungen der Tagesmittel vom Gesamtmittel, beträgt im Durchschnitt ± 2000-121; hieraus berechnet sich der mittlere Fehler einer einzelnen Distanz zu ± 0:0077, einer einzelnen Pointirung zu ± 0:0054. — Zur Ausmessung wurde nur die Revolution 47—48 beautzt, als diejenäge, welche in der Mitte der späterhin immer in Anwendung gebrachten Revolutionen 45 bis 50 laz.

24				u'-u-F		BeobRech.	
	и	[u'-u]	u'-u	beob.	berechn.	BeoDRech.	0 - 0
	47:0	0:5104	0:5088	+ 6	+ 8	- 2	+16
	47.4	0.5103	0.5099	+17	+27	-10	+42
	47.2	0.5124	0.5121	+39	+36	+ 3	+ 8
	47.3	0.5120	0.5447	+35	+31	+ 4	+38
	47.4	0.5095	0.5093	+11	+14	- 3	+11
	47.5	0.5078	0.5076	- 6	- 8	+ 2	-47
	47.6	0.5052	0.5050	-32	-27	- 5	-17
	47.7	0.5038	0.5037	-45	-36	- 9	+34
	47.8	0.5059	0.5059	-23	-31	+ 8	+20
	47.9	0.5076	0.5077	- 5	-14	+ 9	+49
	48.0	0.5075					-15
						Mittel	+16

Die hier gewählte Bezeichnung ist die in Bathnow's sphärischer Astronomie angewendete.

Die Werthe u'-u sind die zur Rechnung benutzten, wegen fortschreitenden Ganges verbesserten Werthe, die Werthe  $(u'-u)^2$  die directen Mittel der Tagesresultate. Bei den Werthen u'-u ist noch zu erwähnen, dass der für 17.0 aufgeführte Werth das Mittel aus den Werthen für 1770 auf 1870 ist. Mr. Fer hält met

$$F = 0.5082 = 182^{\circ} 57.1$$

Mit ihm wurden die Werthe u'-u-F links gebildet. Zur Bestimmung der Constanten in der Gleichung für die Correction  $\varphi(u)$  wegen periodischen Ganges

$$\varphi(u) = a_{\scriptscriptstyle 1} \cos u + b_{\scriptscriptstyle 2} \sin u + a_{\scriptscriptstyle 2} \cos 2u + b_{\scriptscriptstyle 2} \sin 2u$$

erhält man die Gleichungen:

$$9.998 \ a_4 = +0.0044$$
  
 $9.998 \ b_4 = +0.0173$   
 $-0.515 \ a_2 = +0.0032$   
 $-0.515 \ b_4 = -0.0006$ 

also:

$$a_i = + 0.000110; b_i = + 0.001730; a_i = -0.006213; b_i = + 0.001165.$$

Mit diesem Werthe ist das unten folgende Corrections-T\u00e4felchen berechnet. Wie man sieht, kann im \u00e4ussersten Falle der periodische Fehler der Schraube die Beobachtung um 0:0145 = ca. 0.2 entstellen. Man darf ihn also nicht vernachlässigen. — Bei fast allen Declinations-Beobachtungen des Sternhaufens ist der Einflüss des periodischen Fehlers vermieden worden, indem ich von 2 um 0°5 oder von 4 um 0°25 verschiedenen Ablesungen der Schraube aus als Anfangspunkten mass. Ist aber bei der Eile, mit der die Declinationsnessungen angestellt werden musten, diese Vorsicht einmal vergessen worden, so wurde dann die Messung mittelst der hier folgenden Tabelle verbessert. — Die Zahlen, die im Täfelchen Seite 170 in der Golumne u'-u-F rechts gegeben sind, stellen diese Wertlie dar, wie sie sich für 0°0, 0°1, 0°2 etc. ergeben aus den berechneten Correctionen. Sie stimmen genügend mit den beobachteten Wertlien überein.

Correctionen wegen periodischen Ganges.

0:00	-58	0:50	-66
0.05	-34	0.55	-55
0.40	+ 5	0.60	-22
0.15	+ 47	0.65	- 14
0.20	+75	0.70	+39
0.25	+79	0.75	+ 45
0.30	+59	0.80	+ 28
0.35	+20	0.85	- 3
0.40	-23	0.90	-37
0.45	-56	0.95	-58
0.50	-66	1.00	-58

Als Einheit für die Correctionen ist 0:0001 angenommen.

# 3. Bestimmung des Bogenwerthes einer Schrauben-Revolution.

Da die Distanz der Fäden in Mikrons gegeben, und hinwiederum die Beziehung zwischen Mikrons und Bogensecunden festgestellt ist, erübrigte nur noch, einige Faden-Distanzen in Schrauben-Revolutionen zu bestimmen, um den Wertlt einer solchen in Bogenmass zu ermitteln. Hierzu wurden zunachst die Abstände der Fadenpare (1, 2), (2, 3) ... (6, 7) ausgemessen, und zwar längs des Fadens B. Dann aber gaben die behufs Untersuchung des fortschreitenden Ganges der Schraubt gemeessen Intervielle (1, 2), (4, 6), (3, 7) Material für diesen Zweck ab. Tabelle 3 enthalt das gesummte Beobachtungs-Material. Die einzelnen Columnen erklart wohl ihre Ueberschrift genuteend.

Tabelle 3.

No.	Datum	Temper.	1-2	2-3	3 — 4	4-5	5 — 6	6-7	Anz.	Lage	Better
4	88 Nov. 21	+ 4.6	2'0330	1:8630	1:9690	2:1600	1:8830	1:9040	4	и	1
2	88 Dec. 7	+ 3.1	2,0260	1,8640	1.9800	2.4670	1.8730	4.8990	4	r	4
3	88 Dec. 7	+ 3.4	2.0210	1,8640	1,9750	2,1690	1,8720	1.8900	2	ı	1 3
4	89 Jan. 25	+ 1.7	2,0300	1,8620	1,9760	2,1520	1.9080	1,8950	- 5	14	9
5	89 Jan. 25	+ 2.2	2.0260	1.8480	1.9740	2.1260	1.9150	1.9020	4		2
6	89 Jan. 26	+ 3.4	2.0290	1.8620	1.9720	2.1300	1.9170	1.9000	4	ı	- 1
7	89 Jan. 26	+ 3.9	2.0300	1.8560	1,9830	2,1410	1.9190	1,9010	- 4	r	2
8	89 Jan. 29	+ 2.7	2.0260	1,8600	1.9780	2,1420	1.9070	4.9030	4	0	4
9	89 Jan. 29	+ 2.8	2.0240	1.8550	1.9730	2.1660	1.8990	4.8980	4	14	4
10	89 Febr. 44	- 4.4			h	7.9	243		64	ı	1
44	89 Febr. 17	+ 1.6				4.0	484 mm		64	0	1
12	89 März 22	+ 2.8					243		32	r	1 1
13	89 April 10						253		32	ı	1.4
44	89 April 12						482		32	I	1
15	89 April 13	+ 7.9				4.0	484		32	r	4
16	89 April 14	+ 7.8				4.0	439		32	24	4
17	89 April 46					4.0	461		32	16	1.4
18	89 April 17					4.0	484		32	r	1
19	89 April 18			ł		F-4 4.0	465		32	i	4
20	89 April 18	+ 7.1	2.0254	1.8627	1.9806	2.1567	4.8874	1.9080	4	1	1
21	89 April 23	+45.0						1.9036		· r	1
22	89 Mai 31	+23.0	2,0307						32	0	1.1
23	89 Juni 1								64	0	1
24	89 Juni 2	+23.8	2.0288						32	r	. 4
25		+24.7		ì					64	r. 1	1.1
26	89 Juni 4	+24.3	2.0280						64	24	1.4
27	89 Juni 5	+23.9	2.0280						64	14	1.4
28	89 Juni 5		2,0293	1.8707	4.9744	2.1645	1.8899	1.9030	A	14	1 4
29			2.0278				710		64	0	1
30			2.0273						61	r	- 1
34	89 Juni 7		2.0279	1.8581	1.9731	2.1689	4.8743	1.9011		r, 1	. 1
32			2,0289						61	11	1.4
33			2.0267		1.9769	9.4677	1.8792	1.9044			1
34	89 Juni 11									r	- 1

Bemerkungen: () Der fortschreitende Gang wurde berücksichtigt.

Alle diese Werthe sind bis auf die in Zeile 3, 4, 5 und 7 wegen des Fehlers durch fortschreitenden Gang der Schraube verbessert. Bei den eben angeführten war es nicht möglich, diese Correction anzubringen, da Versehen beim Notiren der ganzen Revolutionen vorgekommen waren. Dass aber das Nichtorrigiren der genannten Beobachtungen wegen dieses Fehlers kaum von Einfluss sein kann, geht aus Folgendem hervor. Mittelt man für die Beobachtungen 1, 2, 6, 8, 9, 20, 28, 31, 33, 31 die Correctionen der einzehen Fadenpaare

<sup>2)</sup> Der fortschreitendo Gang wurde nicht berücksichtigt.

wegen fortschreitenden Ganges, so erhält man die folgenden Werthe (in Einheiten der 4. Decimale einer Revolution), die als Durchschnittswerthe der Correctionen an die uncorrigirten Zahlen anzubringen wären.

lliernach würden sich für die Ausgleichung nur für die Werthe der drei Distanzen (4, 2), (2, 3), (6, 7) Orrectionen von den Beträgen + 4, - 4, - 5 ergeben. Diese Beobachtungen gehen aber mit sehr kleinem Gewicht in die Bechnung ein, entstellen also wohl kaum durch obige Fehler das Endresultat.

Die Zahlen der Tabelle 3 haben wegen der verschiedenen Anzahl der Messungen verschiedenen Gewichte. Ausserdem ist die Uebereinstimmung der Resultate von verschiedenen Tagen nicht in gleicher Weise befriedigend in den verschiedenen Columnen. Um hierauf bei der Ausgleichung in gehöriger Weise Rucksicht nehmen zu können, wurden für die einzelnen Faden-Combinationen die Mittelwerthe gebildet unter Berticksichtigung der aus der Anzahl der Messungen sich ergebenden Gewichte und aus den Abweichungen des Einzelwerthes vom Mittelwerthe die mittleren Fehler berechnet. Hier folgt eine Zusammenstellung dieser Werthe.

Faden- Intervall	Mittel- werthe	Zahl der Reiben	Zahl der Einstell.	m. F. des Mittels	m, F. einer Einstellung	berechnet	Gewicht aus der Einst-Anz.
1-2	2:0282	23	572	±0:00026	± 0700626	15	10
2-3	1.8597	1.5	60	151	1096	4	4
3 - 4	1.9758	15	60	97	712	t	4
4-5	2,1567	15	60	402	3114	0	4
5 - 6	1.8909	1.5	60	480	3722	. 0	1
6-7	1.9021	45	92	97	932	4	2
4 - 6	4,0473	7	256	63	1015	2	4
3 - 7	7.9245	3	128	34	349	10	9

Die mittleren Fehler für die Distanzen (4, 5), (5, 6) sind aufallend gross gegenüber den übrigen, und der vom Intervall (3, 7) dagegen sehr klein. Was letzteren Umstand anbetrifft, so erklärt er sich wohl dadurch, dass hier nur 3 Messungsreihen angestellt wurden, die zufällig gut mit einander übereinstimmten. — Bei den Intervallen (4, 5), (5, 6) liegt die Vermuthung nahe, dass Faden 5 nicht straff eingespannt war. Nimmt man von den Werthen der Tabelle 3

-

Mittel, indem man die Tagesresultate der Positionskreislage nach zusammenfasst, und bildet die Differenzen »oben — unten«, »oben rechts«, u. s. w., so erhält man folgende Werthe:

```
4-5 5-6 6-7 4-6 3-7
     1-2 2-3 3-4
      +3
           -84
                 +33
                      -154
                            + 51
                                   -30
                                               +34
                                   + 3
o - r
      +6
           -45
                 - 6
                      - 159
                            +103
                                                0
o-l
      +5
           -75
                 -96
                      -116
                                   - 2
                                               +11
r-l
                                         +3
```

Aus den grossen Zahlen in den Columnen für die beiden fraglichen Intervalle und ihren entgegengesetzten Vorzeichen geht die Realität dieser Vermutlung hervor. Im Uebrigen scheint ein Einfluss der blikrometerstellung auf die Messungen nicht vorhanden zu sein. Die Mittelwerthe für o-u, o-r und o-l sind, wenn man die Intervalle (l, 0) und (5, 0) susschliests, serh klein, nämlich

```
o - u = -0.0008; o - r = -0.0008; o - l = -0.0017.
```

Auf das negative Vorzeichen darf man keinen zu grossen Werth legen, da die Differenzen »ohen — unten« bei den Messungen für periodischen Gang positiv sind (siehe Seite 170, Tabelle, letzte Col.).

Im Hinblick auf ihre Unzwerdzsigkeit mussten denn bei der folgenden Ausgleichung die Intervalle (4, 5), (5, 6) unberücksichtigt bleiben. Ebenso wurde hei den Declinationsmessungen des Sternbaufens der Faden 5 möglichst wenig beautzt.

Man erhält nun zur Bestimmung des Bogenwerthes einer Revolution folgende 6 Gleichungen:

```
P_{i}
aus Intervall 4-2
                    210282 R = 509.5 \mu
      ,
            2 - 3
                    1.8597R = 466.0 *
            3-4
                    1,9758 R == 496.9 a
            6 - 7
                    1.9021 R = 477.5 s
            4-6
                    4.0473R = 1043.9 a
                                           2
                                                 £
                                                 2
      .
            3 - 7
                    7.9245 R = 4988.3 *
                                           10
```

Die Zahlen in den Columnen  $P_i$ ,  $P_i$  sind die beiden Arten Gewichtszahlen der 2 letzten Columnen der Tabelle auf Seite 173.

Die Ausrechnung mit den Gewichten P, lieferte den Werth:

```
t Revol. = 250.916 \mu \pm 0.0579 \mu
= 13,3811 \pm 0.00309
```

25]

und den mittleren Fehler einer Gleichung vom Gewicht  $1=\pm 1.57\,\mu$ . die Ausrechnung mit den Gewichten P, den Werth:

1 Revol. = 
$$250.860 \mu \pm 0.1107 \mu$$
  
=  $13.3781 \pm 0.00589$ 

und als mittleren Fehler einer Gleichung vom Gewicht 1 = ± 1.79 u. Beide Werthe für R liegen innerhalb der von ihren mittleren Fehlern bezeichneten Grenzen. Der zweite Werth ist jedoch bedeutend ungenauer als der erste, und es soll daher diesem der Vorzug gegeben werden. Da aber nach Tabelle 3 ziemliche Unterschiede zwischen den Temperaturen der einzelnen Tage sich zeigen, ca. 25° Cels., wurde noch der Versuch gemacht, den Temperatur-Coefficienten für den Werth einer Schrauben-Umdrehung abzuleiten. Die Gleichungen wurden in der Form angesetzt:

$$AR + A(t - t_n) dr = M,$$

wo M das Messungsresultat in Mikrons ist, A die gemessene Distanz in Revolutionen, R der gesuchte Werth einer Revolution in Mikrons, t die Temperatur bei der Messung,  $t_a = +10^{\circ}$  Celsius, und dr der zu ermittelnde Temperatur-Coefficient. -- Natürlich mussten die Angaben der Tabelle 3 in anderer Weise zu Mitteln vereinigt werden, als dies oben geschehen ist. Folgende Zusammenstellung giebt die Constanten der Gleichungen, die benutzten Faden-Intervalle, und die Zeilen von Tabelle 3, die gemittelt wurden, um die betreffenden Constanten zu liefern. Die letzte Columne enthält die Gewichte der Gleichungen, wie sie sich ergeben unter Berücksichtigung des mittleren Fehlers einer Einstellung für die Messungen des betreffenden Intervalls (siehe die Tab. Seite 173) und der Anzahl der zum Mittel vereinigten Einstellungen. Hierbei zeigt sich das Gewicht der Gleichungen II, IX, XI, XII, XIII so gering, dass sie kaum bei der Ausgleichung auf den Wertli der Unbekannten Einfluss haben können; sie sind deshalb weggelassen worden.

	Fad,-Interv.	No. der Tab. 3	A	t - t	М	Anzahl	P
1	1 2	1-9	210276	- 7.0	509.5	36	4
11	2 - 3	1-9	1.8593	- 7.0	466.0	36	0
111	3 - 4	1 9	1.9756	- 7.0	496.9	34	4
11	6 - 7	1 9	1.8991	-7.0	477.5	36	1
v	3 7	10, 12	7.9243	- 9.1	1988,3	96	9
VI	4-6	- 11	1.0181	- 84	1013.9	64	4

+13.7477.5 20 0

XIII 6 - 7

1,9039 Man erhält also im Ganzen 8 Fehlergleichungen, und aus ihnen folgende Normalgleichungen:

```
876.0517R - 348.61dr = + 219813.29,
-348.6100 R + 3875.90 dr = -87336.63.
```

Hieraus ergeben sich die Werthe:

```
R = 250.928 u \pm 0.0465 u = 43.3817 \pm 0.00248.
dr = +0.0360 \,\mu \pm 0.02213 \,\mu = +0.00192 \pm 0.001180.
```

Der mittlere Fehler einer Gleichung vom Gewicht 1 ist ± 1.3522 μ = ± 0".07211. Der Werth für R stimmt gut mit dem ersten der oben erhaltenen überein, aber der gefundene Temperatur-Coefficient kann nicht als reell betrachtet werden. Hiergegen spricht sowohl der grosse mittlere Fehler im Vergleich zum Betrag der Unbekannten selbst, als der Umstand, dass bei Aenderung der den Gleichungen beigelegten Gewichte der Werth für dr sich erheblich ändert. Auch der grosse absolute Werth und das positive Vorzeichen ist verdächtig. Professor Vogel fand zwar bei Gelegenheit seiner Ausmessung des Perseus-Sternhaufens ebenfalls einen positiven Temperatur-Coefficienten von derselben Grösse, doch suchte er ihn dadurch zu erklären, dass er annahm, die Fadenplatte ändere bei Temperatur-Wechsel ihre Stellung zum Focus, und der positive Werth des Temperatur-Coefficienten beruhe auf Vergrösserung des Faden-Intervalls durch parallactische Verschiebung. Dies kann aber nicht zur Erklärung des vorliegenden Falles dienen, da ja hier nicht wie von Vogel direct Sterndurchgange zur Bestimmung des Faden-Intervalles benutzt wurden. An eine so starke Aenderung der Faden-Intervalle in Folge der Ausdehnung der Messingplatte, auf welcher die Fäden befestigt sind, kann aber auch nicht gedacht werden, da die Platte dieselbe war, welche bei den Messungen von Herrn Dr. Peter die Fäden trug, dieser aber aus Messungen, die bei grösseren Temperatur-Unterschieden als hier angestellt wurden, einen wesentlich kleineren, negativen TemperaturCoefficienten gefunden hat. Es ist deshalb angebracht, den hier ermittelten Temperatur-Coefficienten lediglich als Rechnungsgrösse anzuschen, die bei der Reduction der Beobachtungen nicht in Rücksicht zu ziehen ist. Das Beobachtungs-Material ist wohl zu dieser Bestimmung nicht ausreichend genug. Dies ist um so weniger zu bedauern, als bei den Declinations-Beobachtungen des Sternhaufens in der Rogel nur Distanzen von höckstens 2 Revolutionen mit der Schraube ausgemessen wurden; auf diese Grössen hat aber der Temperatur-Coefficients, soweit er von dem Unterschied der Ausdehnungs-Coefficienten von Stahl und Messing, den Metallen der Mikrometerschraube und Fadeephatte, herruhrt, keinen Einfluss. Es soll daher von der Benutzung der letzten Ausgleichung ganz abgesehen werden, und als definitiven Werth betrachte ich den der ersten Ausgleichung gänz seite 174

1 Revol. =  $250.916 \,\mu \pm 0.0579 \,\mu = 13^{\circ}3811 \pm 0^{\circ}00309$ gültig für die Mittel-Temperatur +  $13^{\circ}6$  Cels.

Die Temperatur-Unterschiede könnten aber einen entstellenden Einfluss auf die Beobachtungen auch dadurch ausgeübt haben, dass sich Rohr und Padesplatte ungleich ausgedelnt, also die Winkelwerthe der Pades-Distanzen nit der Temperatur sich geändert hätten. Dies ist deswegen nieht ausnehmen, weil beide Theile des Instrumentes aus gleichem Metalle bestanden. Herr Dr. Petza hat in der oben angeführten Monographie dies ebenfalls angenommen und seine Annahme durch Beoluchtungen bestätigt gefunden.

Als die Reduction der Beobachtungen begonnen wurde, war das Beobachtungs-Material zur Untersuchung des Werthes einer Revolution noch nicht abgeschlossen. Da ferner überhaupt die Absicht bestand, einen endgultigen Werth erst aus den Beobachtungen des Sternhaufens selbst abzuleiten, so musste die Rechnung mit provisorischen Werthen begonnen werden. Es wurde angenomusen.

1 R = 13.3800und  $1 R = 250.95 \,\mu$ . Hieraus erhält man  $1 \,\mu = 0.0533171$ 

und mit diesem Werthe sind die Faden-Distanzen gerechnet, welche zur Reduction benutzt wurden. Da also die Grösse, in welcher die Declinations-Messungen vorläufig gegeben sind, nicht nothwendig einer Bogensecunde gleich ist, möge sie zum Unterschiede von dieser statt mit ", mit " bezeichnet und Netzsecunde genannt werden. Schliesslich wird man die Beziehung erhalten:

$$1^{\circ} = a \cdot 1^{\circ}$$

und es ist dann noch zu untersuchen, ob das a so stark von 1 verschieden ist, dass die Deelinatiousmessungen deswegen verbessert werden nulssen.

Die weiterhin benutzten Faden-Abstände sind:

1-2 2-3 3-4 4-5 5-6 6-7 7-8 8-9 27:17 24:85 26:49 29:00 25:06 25:46 213:56 487:53

Dieses sind also nur genäherte provisorische Werthe, während die Distanzen auf Seite 162 aus Beobachtungen abgeleitet sind.

# II. Beobachtungs-Methoden und Reduction der Beobachtungen.

Die wenig befriedigende Uebereinstimmung der älteren Messungen in AR mochte ihren Grund mit darin haben, dass nicht genugende Sorgfalt auf die Einstellung des Mikrometers auf den wahren Parallel verwendet worden war. Die Einstellung auf den wahren Parallel war datuals geschehen nach der allgemein gebräuchlichen, oben schon näher bezeichneten Methode, und zwar wurde die einmal erhaltene Einstellung für mehrere Abende beibehalten und nur vor dem Beobachten controllirt. - Bei der neuen Beobachtungsreihe wurde wesentlich anders verfahren, indem ich eine Methode benutzte, die früher wohl noch nicht zur Anwendung gekommen ist. Es wurde nicht eine möglichst genaue Einstellung auf den wahren Parallel vorgenommen, sondern nur eine genäherte auf den scheinharen, und vor und nach jeder Beohachtungsreihe wurde, wenn es das Wetter erlaubte, der Winkel bestimmt, den der angenäbert eingestellte Instrumenten-Parallel mit dem seheinbaren Parallel bildete, und zwar auf ähnliche Weise, wie bei Meridian-Instrumenten die Bestimmung der Neigung des Querfadens geschicht. Dieser Winkel wurde dann benutzt, um die Beobachtungen wegeu der Fehler zu eorrigiren, die dadurch entstanden waren, dass mit einem nicht genau orientirten Fadennetz gemessen worden war.

Das Verfahren bei Bestimmung des Nedgungswinkels zwischen dem Parallel des Instrumentes und dem scheinbaren Parallel war

d:

(g D

100

L)SE

de '

des -

de. s

reals.

abel:

1100/0

neser s

or Fo

m nit

els Ir

Parallel

folgendes. Die Ablesung des Positionskreises für die Einstellung auf den letzteren war ungefähr bekannt. Der Hauptfaden wurde genähert so eingestellt und die Positionskreis-Nonien abgelesen. Dann wurde das Instrument auf einen Stern von gleicher Declination wie der Sternhaufen gerichtet - entweder \* 30 des Sternhaufens oder S Monocerotis - und während dieser das Gesichtsfeld von einem Rande zum andern passirte, wurden mehrere Einstellungen auf ihn mit dem Hauptfaden durch die Mikrometerschraube gemacht. Aus den Zeiten der Einstellungen und den Ablesungen der Mikrometerschraube erhält man dann leicht den gesuchten Winkel, wobei die verschiedenen Einstellungen eines Durchganges nach der Cauchy'schen Methode ausgeglichen wurden. Es wurden nur solche Durchgänge zu Bestimmungen herangczogen, bei denen mindestens 3 Einstellungen gelungen waren. Im Maximum erhielt ich 7 Einstellungen während eines Durchganges, der ca. 110 Zeitsecunden beanspruchte. Zu einer vollständigen Bestimmung des Neigungs-Winkels p, und damit des Nullpunktes des Positionskreises, wurden, wenn es wegen des Wetters angängig war, 4 bis 6 Durchgänge genommen. Von diesen erfolgte bis Mitte Januar 89 die eine Hälfte immer bei Schraube oben, die andere bei Schraube unten, und ausserdem wurde die Einstellung des Positionskreises bei jedem Durchgange um ca. 20' verändert. Es sollten hierdurch die beim Ablesen der Nonicn gemachten Fehler eliminirt werden. Da jedoch die auf diesem Wege erlangten Resultate nicht sehr befriedigten, so wurde, nachdem einige Zeit bei Declinationsmessungen der Hauptfaden nach der gewöhnlichen Methode auf den scheinbaren Parallel eingestellt worden war, ein anderer Weg eingeschlagen, der auch, scheinbar wenigstens, besser zum Ziele führte. Es wurden nämlich mehrere - bis sechs -Durchgänge bei ein und derselben Positionskreis-Stellung zur Bestimmung des Winkels p genommen. Die nun erhaltenen Resultate stimmten unter sich allerdings besser überein, aber die wesentlichste Fehlerursache bei dem benutzten Instrument war wohl nicht eliminirt.

Zur Erklärung der grüsseren Unsicherheit der ersten Art der Bestimmung muss nämlich erwälnt werden, dass die Ablesung des Positionskreises eine sehr ungenaue war. Bei verschiedenen Stellungen der Beleuchtungslampe erhielt ich bis um 3' verschiedene Ablesungen der Nonien. Es zeigte sich nach mehreren Versuchen am vortheilhaftesten, als definitive Ablesung das Mittel aus den beiden Ablesungen zu nehmen, welche man bei entgegengesetzten Positionen der Handläuppe erhielt. Ausserdem suehte ich noch durch bäufige Wiederholungen der Ablesungen die Unsicherheit dersellben zu verringern.

Im Folgenden möge nun die erste Art der Neigungsbestimmung mit Methode I, die letztere mit Methode II bezeichnet werden.

Wahrend also bei der ersten Methode der durch die unsichere Ablesung der Nonien gemachte Fehler in das einzelne Resultat eingeht, bleibt er bei der zweiten Methode als Constante im Mittel enthalten.

Bei Methode I ergiebt sich der mittlere Fehler einer Bestimmung aus einem Durchgange, bei dem ungefähr 4 bis 5 Einstellungen gelangen, zu ± 2'93, der mittlere Fehler des Mittels aus den Beobachtungen in einer Schraubenlage zu ± 1'79 (c. 2.7 Durchgünge) und schliessich der mittlere Fehler des Mittels gebildet aus den beiden Mittelwerthen für die Lagen Sehr. o und Sehr. u, zu ± 1'26 (ca. 5.4 Durchgänge). Berschent man aber die mittleren Fehler aus den Abweichungen der einzelnen Durchgänge von dem Gesammtmittel, so erhalt man als m. F. eines Resultates aus einem Durchgange ± 3'21, und als m. F. des Gesammtmittels ± 1'41.

Bei Methode II ergiebt sich als mittlerer Fehler einer Bestimung ± X.19 und als mittlerer Fehler des Mittels aus 4.1 Durchgungen ± 0.93. Die Differenz der mittleren Fehler der Einzelbestimmungen nach beiden Methoden giebt einen Anhalt über die Grösse des mittleren Fehlers bei der Nonienablesung: er ist en. ± 1/0.

— Der Betrag des mittleren Fehlers einer Bestimmung ist bei der Schärfe der Einstellungen mit der Mikrometerschraube immerhin gross, doch lässt er sich aus Folgendem einigennassen erklären.

Den Neigungswinkel p erhält man nach der Formel

$$\sin p = \frac{\sum [e - e_0]}{\sum [l - l_0]},$$

in welcher die eckigen Klammern wieder die Seite 160 angegebene Bedeutung haben.  $\Sigma^i[e-e_i]$  ist die Summe der Ahweiehungen der einzelnen Schrauben-Ablesungen von ihrem Mittelwerth (ausgedrückt in Bogenseeunden) und  $\Sigma^i[t-t_i]$  der entsprechende, mit 15 cos  $\delta$ 

347

multiplicirte Ausdruck für die Einstellungszeiten. Bezeichnet man  $d\Sigma[e-e_a]$  mit de und  $d\Sigma[t-t_a]$  mit dt, so ist

$$dp = \left(\frac{de}{\Sigma[t-t_0]} - dt \sin p\right)^{\epsilon} \sec p.$$

Nimmt man nun  $\Sigma[t-4]=100^{\circ}$  an, de=0031=0.41—das ist der mittlere Fehler einer einzelnen Einstellung mit der Mikromoterschraube —, und dt=0.5, da die Notirungen der Zeit der Einstellung ungefähr auf 0.5 Zeitsecunden genau sind, so ergiebt sich hieraus

$$dp = 5'$$
 10' 15'  
 $dp = \begin{cases} 59'' & 63'' & 66'' \\ 51 & 51 & 47 \end{cases}$  bei entgegengesetztem  $de$  Vorzeichen von gleichem

Die Ungenauigkeit von  $\Sigma[e - e_s]$  und  $\Sigma[t - t_s]$  wird wohl aber meistens grösser sein als die angenommene, und der berechnete mittlere Feliler einer Bestimmung aus einem Durchgange ist demnach nicht unverhältnissmässig gross. Aber auch die stärkeren, bis zu ca. 10' gehenden Abweichungen bei den Bestimmungen nach Methode I erklären sich aus der Natur der Methode selbst. Denn nimmt man an, dass bei 6 Einstellungen während eines Durchganges die Hälfte der Ablesungen und Einstellungszeiten um obige Beträge in demselben Sinne entstellt sind, so sind die Werthe  $\Sigma[t-t]$  und  $\Sigma[e - e]$  um den dreifachen Betrag entstellt, und da bei dieser Methode auch p grössere Werthe erhält - bis 1° 30' -, so berechnet sich dp beispielsweise für  $p = 1^{\circ} 0'$  im ungünstigen Falle zu 309". Hierzu kommen nun noch, wie schon erwähnt, die Fehler der unsicheren Ablesung der Nonien. - Ist ein Instrument mit genügend scharfen Ablesevorrichtungen am Positionskreis ausgerüstet, so lassen sich durch mehrfach wiederholte Durchgänge mit dieser Methode der Parallelbestimmung sicher recht gute Resultate erzielen, und während man bei dem gewöhnlich angewandten Verfahren nur darauf bedacht ist, Fehler zu vermeiden, ist es mit diesem möglich, etwaige Feliler zu ermitteln. Der Zeitaufwand, den diese Bestimmung erfordert, ist nicht allzugross. Ich registrirte die Einstellungszeiten und notirte auf den Streifen zugleich mit die Schraubenablesungen mittelst des Morse-Alphabetes. Es verstrichen im Durchschnitt während 6 Durchgängen noch nicht ganz 12 Minuten.

Während der Beobachtung machte es oft den Eindruck, als wenn die Einstellungen in der Nähe der Ränder des Gesichtsfeldes bedeutend von den andern abwichen. Es lag die Vermuthung nahe, dass am Rande Bildverzerrungen einträten, oder dass der benutzte Faden von der geraden Linie viel abwiche. - Um hierüber Gewissheit zu erlangen, wurden die nach der Ausgleichung der einzelnen Durchgänge übrig bleibenden Fehler der Einstellungen für alle Bestimmungen mit dem Hauptfaden untersucht, indem sie in Gruppen, entsprechend den Unterschieden der Einstellungszeiten vom Durchgang durch die Mitte des Gesichtsfeldes, getheilt wurden. Allerdings war der Durchgang durch den Querfaden B nicht registrirt worden, und es musste zu einem Nothbehelf gegriffen werden. Die Einstellungen auf den zur Bestimmung benutzten Stern geschahen nicht immer gleich nach seinem Eintritt ins Gesichtsfeld, wohl aber bis kurz vor seinem Austritt. Es wurde nun angenommen, dass die letzte Einstellung stets innerhalb eines Zeitraumes von 10 Secunden vom Austritt an rückwärts gerechnet stattgefunden habe. Unter dieser Annahme wurden, von der letzten Einstellung ausgehend, die Einstellungszeiten und die dazu gehörigen übrigbleibenden Fehler der Einstellungen in Gruppen von 40 zu 10 Secunden getheilt, die einzelnen Gruppen gemittelt und die mittleren Fehler berechnet, natürlich getrennt für jede Schraubenlage. Hier folgen die Werthe.

182

 $+50^{8}$ 

Schraube unten. Schraube oben. Entfernung m. F. m, F. m. F. m. F. Ae. Anzabl 1e Anzabl v. d. Mitle 4 Einstell, d. Mittels 4 Einstell, d. Mittels -50° -0.005014 ±0:0492 ±0:0132 -0:0010 28 -40\* 83 369 68 50 289 54  $-30^{\circ}$ 59 287 37 -43 67 286 35 306 -20°25 40 40 + -10\* 50 68 339 39 + 60 312 40 0= 9 19 293 45 + - 4 65 338 19 +10°100 53 + 38 55 344 83 308 45 + 32 62 367 \$7 +20°+30\* 6 256 27 + 32 78 61 + +500 99 286 24 284 58

Das Vorzeichen der *Se* ist so gewählt, dass sie als Correctionen anzusehen sind, die an die Schrauben-Ablesungen anzubringen wären.

134 230 20

54

305 30 -

94 107

Die mit »Anzahl • uberschriebene Columne giebt die Zahl der zum Mittel vereinigten Einzelwerthe an. Auffällig ist sofort, dass die Correctionen Je für die beiden Schraubenlagen fast durchweg entgegengestetzes Vorzeichen haben. Ferner scheint in beiden Lagen ein Gang angedeutet zu sein. Dies würde auf eine Durchbiegung des Fadens hindeuten; doch sind die berechneten Correctionen von so geringem Betrag, dass von ihrer Anbringung abgesehen worden ist. Ausserdem sind die mittleren Fehler der Je oft viel grösser als die Je selbst. Auf eine unsicherere Einstellung am Rande des Gesichtsfeldes gegen- in Columne 4 und 8 nicht geschlossen werden — Gruppe (— 50) ist auszuschliessen, da für sie zu wenig Beobachtungen vorliegen —i der durchschuttliche Fehler einer Destinations-Einstellung ergicht sich aus diesen Werthen für Schr. u. zu ± 0.0323, für Schr. o. zu ± 0.0298, im Mittel zu ± 0.031 = ± 0.441.

Bildet man bei den Bestimmungen nach Methode I die Differenz der Mittel aus den Bestimmungen bei Schr. o. und bei Schr. u. für einen Abend, so scheint bei Beobachtungen mit Schr. o. die Ablesung für den Nullpunkt des Positionskreises grösser zu sein, als bei Beobachtungen mit Schr. u. Aus den 25 Bestimmungen erhält man für diese Differenz den Werth — 0'84. Aber der mittlere Fehler dieses Mittels ist ± 162. Folglich ist ihre Realität zu bezweifeln.

In Tabelle 4 sind die einzelnen Parallel-Bestimmungen aufgeführt.

	1 abene 4.										
_	1	2	3	4	5	6	7	8	9	10	
88	Nov. 5	7 7	-4141 +0 9	o.u. 26.'4 o.u. 22.9	5 4	1. 25.5	7	24.'6	-26 4m	Mittel.	
				o.u. 24.7							
88	Nov. 9	7	-4 11 +1 57	o.u. 26.6 o.u. 22.0	6	1. 25.0	7	24.3	-1 7	Mittel.	
				o.u. 25.6 o.u. 23.3		1. 24.7	7	24.4	-0 43	Mittel.	
88	Nov. 44	7	-3 25 +2 14	o.u. 26.6 o.u. 49.9	4	1. 24.0	7	24.4	-0 35	Mittel: { Gewicht 2.	
		17	+2 36	o.u. 19.1 o.u. 22.6	6	1. 24.0	7	20.8	-0 32	Mittel.	
88	Nov. 13	7	-3 0 +0 28	o.u. 24.4 o.u. 20.1	5	1. 22.7	7	20.4	0 0	Ausgeglichen.	

Taballa 4

	1		2	3	- 8	5	6	7	8	9	40
88	Nov.	26	7	-2k 17	o.u. 21.'s	6	_		21.15	-2h 47m	- An disser bold
88	Nov.			-2 21	o.u.18.3		-	ш	18.3	-2 21	Parallelisotra- mangen erhabet
88	Nov.	30	-	-2 5	o.u. 24.0	6	1.20.2		-	-	- Versehen von
88	Dec.	-	8	-2 45	lo.u. 16. i	6	r. 13.5	8	20.0	-2 45	gekommen.
88	Dec.	3			lo.u.19.7		r.15.0	8	23.8	+1 40	
88	Dec.	š		-9 53 +4 7	o.u. 17.3	7	r. 45.1	8	20.2	+0 37	Mittel.
88	Dec.	5	8	-2 35	o.u. 13.8					. 0 15	Maria A
0 0	D			+4 5	lo.u. 12.7		г. 2.5	8	16.8	+0 45	Mittel.
	Dec.		7	-1 18	o.u.19.9		1.20.2	7	19.7	+0 38	Mittel.
88	Dec.	8	11111	+0 42	u. 19.5 u. 18.0 u. 17.7		1.20.2	7	18.5	+1 7	Mittel.
88	Dec.	10	7	-2 10	u 22.1		u. 22.1		22.1	-2 40	
88	Dec.	13	7	-3 0	o.u. 21.5	6	u.l. 23.3	7	21.5	-3 0	
88	Dec.	15	7	-4 26 +3 40	u. 23.1 u. 21.5		u. 23.4	Н	22.3	+1 7	Mittel.
88	Dec.	22	7	-3 50	u. 25.0		u. 24.0		91.0	-3 50	-
88	Dec.	25	7	-3 10	u. 21.0		u. 21.0			-3 10	
88	Dec.	27	7	-1 30 +1 38	u. 23.8		u. 23.8	L	22.9	+1 34	Mittel,
88	Dec.	28	7	-1 32	u. 25.7		u. 25.7		25.7	-1 39	
88	Dec.	29	7	-3 0 -0 7	u 25.2 u.26.0		u. 25.6		25.6	-1 26	Mittel.
88	Dec.	30	7	-0 53	u. 25.5		u, 25.8		25.8	+0 23	Mittel.
89	Jan.	9	÷	-1 10	u. 24.9		n. 27.0		21 0	+1 10	-
	Jan.	3	Ė	+2 25	u. 23.8		u. 23.8			+9 95	
	Jan.	5	÷	-3 12	0.25.5		0.25.1			-3 12	- 1 -
	Jan.	5	1	-3 15	u.21.0		0.40.1		20.0	-5 42	
			7	+0 3 +3 51	u. 24.6 u. 26.0		u.24.3	Н	24.9	+0 13	Mittel.
89	Jan.	6	7	+0 39	u. 25.2		u. 25.2	Ш	25.2	+0 39	
89	Jan.	15	7	-2 10	o.u. 23.5	6	u.28.6	_	23.5	-2 40	
89	Jan.	13	7	+1 22	u. 22.7	ī	u. 28.2	_	22.7	+1 22	
89	Jan.	15	7	-3 53	u.28.9	3	u.26.1	-	24.9	-3 53	
N9	Jan.	15	7	-1 50	u. 24.7	٠	ս. 21. ն	_	21.7	-4 50	
	Jan.			-0 31	0.25.0		0.25.3	Н	25.0	-4 45	
K9	Febr	. 3		2 36	0.22.6		o. 24.8		21.3	-4 0	Mittel.

4	2	3	- 6	5	6	7	8		9	10
89 Febr. 5	7	-2h 26m	0.28.4	4	0. 24.5	F	28, 8	-9	h 26"	
89 Febr. 7	7	-0 34	0.24.2	3	0.25.0	-	24.2	-0	31	
89 Febr. 13	7	-0 57 +1 19	0.26.4	3	0.25.4	-	24.0	+0	11	Mittel.
89 Febr. 28	7	-0 53 +2 33	0.26.4	6	o. 25.5	-	26.6	+0	50	Mittel.
89 Marz 4	7	-4 3 +3 40	0.23.2	4 3	0.25.0		23.8	+4	3	Mittel.
89 Marz 5	7	+0 18	0.26.5	å	0.24.5		26,5	+0	18	
89 Marz 6	7	-4 3 +4 30	o. 25.2 o. 22.3	3	0.24.8	H	23.7	+1	43	
89 Marz 7	7	-4 35 +4 48	o. 25.8 o. 25.9	3	n. 24.5 o. 23.9	L	25.8	+4	36	Mittel.   In 2 SchrLage beobschiet, De-halb in Columns 2 Worths.
89 März 9	7	-0 44	0.25.5	4	0.24.4	_	25.5	-0	44	\$ 10-11au.
89 März 46	7	-0 19	u. 24.4	á	0.24.4		24.4	-0	19	
89 Mära 23	7	+1 16	u. 25,6	å	u. 21.2	-	25.6	+1	16	
39 Marz 26	7	+2 35	u. 23.5	å	u. 23,7	-	23.5	+2	35	
89 Marz 28	7	+0 42	u.26.4	6	u. 26.5 r. 27.2	-	26.4	+0	12	Siehe Bem, zu März 7
39 April 3		+1 19	u. 23.6 u. 20.8	6 5	u. 24.0 r. 26.4	1	24.4	0	0	Ausgeglichen, Siehe Bemerk, zu März 7
89 April 4	77	+1 21	u. 25.3 u. 23.0	7 6	r. 24.7	1	25.6	0	0	Ausgeglichen.
9 April 5		+4 40 +4 32	u. 25.9 o. 22.7	6	r.94.8	4	25.9	0	0	Ausgeglichen.
9 April 6		+1 50 +4 32	o. 26.7 o. 23.6	77	1. 23.7 r. 24.4	7	26.7	0	0	Ausgeglichen. Siehe Bemerk, zu März 7
9 April 16	7	+2 54	u. 23.8	6	r. 22.3	4	23.8	+2	54	Demerk, 2d Marz 7
9 April 19		+2 48	0.24.3	6	r. 23.5 1. 24.4	7	24.8	0	0	Ausgegfichen. Siebe Bemerk, zu März 7

Columne 1 enthält das Datum;

Columne 2, die Angabe des benutzten Fadens, da die Einstellungen nicht immer nur mit dem Hauptfaden erfolgten;

Columne 3, den Stundenwinkel des Sternes bei der Bestimmung;

Columne 4, die Minuten der Positionskreis-Ablesung, welche aus der Bestimmung für die Einstellung auf den scheinbaren Parallel berechnet wurde, die Grade der Ablesung ergeben sich aus der Angabe der Schraubenlage (o., u. l., r.), bei welcher die Beobachtung gemacht wurde,  $(o = 227^{\circ}, u = \$7^{\circ}, l = 137^{\circ}, r = 317^{\circ})^{1});$ 

Columne 5, die Anzahl der Sterndurchgänge;

Columne 6, die Minuten der Positionskreis-Ablesung, bei der die AR.resp. Deel.-Messungen vorgenommen wurden;

Columne 7, die Angabe des zu AR.-Messungen benutzten Fadens;
Columne 8, die Minuten der Ablesung f
ür Einstellung auf den definitiven Instrument-Parallel des betreffenden Abeudes;

Columne 9, den Stundenwinkel, f\u00fcr den die Angabe in Col. 8 gilt; Columne 10, die Angabe der Art, wie Col. 8 und 9 aus Col. 4 und 3 erhalten wurden und sonstige Bemerkungen.

Hierzu ist noch zu beuerken, dass ein « in Colunne 5 besagt, dass die Bestimmung des lastrument-Parallels durch Entlanglaufenlassen eines Sternes llangs eines Fadens erfolgt ist, und dass die 
llorizontallinien die Bestimmungen insofern in Gruppen theilen, als 
zwisehen den beiden durch sie getrennten Beobaehtungstagen der 
Ocularauszug wegen Beobachtungen an terrestrischen Marken oder 
dergl. weit herausgezogen worden war, also leicht dadurch eine 
Veränderung des Nullpunktes hervorgerufen worden sein kann. — 
1888 Nov. 30 war ein Verschen bei Nolirung des zur Bestimmung 
benutzten Fadens vorgekommen. Es wurde deshalb vorgezogen, für 
diesen Tag keine Correction wegen der Neigung des InstrumentParallels gegen den scheinbaren anzuhringen.

Die Werthe in Columne 4 zeigen keine gute Uebereinstimmung. Dies liegt eines Theils natürlich daran, dass sie nicht für denselben Stundenwinkel gelten: denn Parallel-Bestimmungen in verschiedenen Stundenwinkeln müssen im Allgemeinen verschiedene Ablesungen des Positionskreises liefera, sowohl wegen der Aenderung der Lage des seheinbaren Parallels gegen den wahren durch die Refraction, als auch wegen der Lagenänderungen des Nullpunktes des Positionskreises durch die Einwirkung der Schwere, die je nach der Stellung des Instrumentes verschieden sein wird. Andern Theils würden aber auch Bestimmungen in demselhen Stundenwinkel an verschiedenen

<sup>4)</sup> AR.- und Deel.-Messungen wurden an demselben Fadensystem (F\u00e4den 1 bis 9) angestellt. Deshalb weichen die Nullpunkte des Positionskreises bei den Messungen der beiden Coordinaten un 90° von einander ab.

Tagen nicht dieselben Werthe liefern wegen der Acnderungen in der Aufstellung des Instrumentes. Wie beifolgende Tabelle<sup>1)</sup> zeigt, haben sich zwar die Hauptconstanten der Aufstellung, § und Ţ, die Abstände des Instrumenten-Pols vom 6<sup>3</sup>- und 0<sup>3</sup>-Meridian, leidlich gehalten; aber die Collimation e und der Winkel i, zwischen den beiden Axen scheinen sehr variabel gewesen zu sein.

Dat	lum	Temp.	5	η	e	С	i,	$\Delta p$	41
88 O	ct. 25		-0.4	+1.'2	+2.1	+1.'9	+2.'2	+1.0	+ 1:7
88 O	ct. 28		+0.2	+0.7	+0.2	-3.8	-3.9	+0.4	-14.4
88 D	ec. 7	+ 200	+0.3	+1.2	+1.5	+5.3	+5.6	+0.6	-13.7
89 Fe	br. 13	- 5.5	+0.7	+0.8	+0.4	+2.0	+2.1	+0.6	- 1.7
89 A	pril 6	+ 7.3	+0.4	+1.0	+0.7	+0.6	+0.3	+0.6	- 2.9
89 M	ai 9	+16.8	+0.9	-0.7	+0.9	-1.2	-1.3	+0.9	+ 1.2

Ihre Beträge vom 28. Oct. und 7. Dec. 1888 differiren um ca. 9; und eben so gross würde die durch sie hervorgerufene Aenderung des Yullpunktes des Positionskreises sein. Also darf man wohl als wesentlichsten Grund für die Schwankungen des Nullpunktes die starke Veränderlichkeit von e und i, während der Beobachtungsperiode ansehen.

Zur Verwerthung der Parallel-Bestimmungen für die Rechnung würe es wohl das Entsprechendste gewesen, das gesammte Beobachtungsmaterial in ähnlicher Weise auszugleichen, wie es Scuruz gelegentlich seiner Vermessung des Sternhaufens 20 Vulpec.?) mit seinen Zulpunktsbestimmungen gethan hat, um aus ihrer Gesammtheit oder nach Zusammenfassung in einzelne Gruppen aus diesen für die ganze Beobachtungsdauer resp. für gewisse Perioden einen absoluten Vullpunkt und Constanten zur Bestimmung der Aenderung desselben durch die Schwere zu ermitteln. Dies wurde jedoch unterlassen, sowohl wegen der Ungleichmässigkeit des Materials als auch besonders deswegen, weil bei der grossen Vertaderlichkeit von eu und i, zu diesem Zwecke häufiger Aufstellungsbeobachtungen lätten angestellt werden müssen, als geschehen ist. Hier wurde ein einfacheres Verfahren eingeschlagen.

t) Die Bezeichnung ist die im Chauvener'schen Handbuch eingeführte.

Mikrometrisk Bestämning af 104 Stjernor inom teleskopiska Stjerngruppen
 Vulpeculae. Stockholm 1873. Siehe § 3.

Die Werthe des Nullpunktes, die zu einer Correction der Messungen benutzt wurden, befinden sich in Columne 8. Sie wurden auf folgende Weise erhalten. An Abenden mit nur einer Parallel-Bestimmung wurde diese als constant für den ganzen Abend angesehen. Waren an einem Abend mehrere Bestimmungen nach der gewöhnlich angewendeten Methode, durch Entlanglaufenlassen eines Sternes an einem Faden, gemacht worden, so gab das Mittel aus diesen Einzelbestimmungen den definitiven Abendwerth, da dieses Verfahren nicht sieher genug erschien, um daraus Aenderungen des Nullpunktes mit der Zeit ableiten zu können. Dies geschah aber wenigstens theilweise bei den Doppelbestimmungen an einem Abend nach der anderen Methode. Die Differenzen der Anfangs- und Endbestimmung desselben Abends zeigen, wie das ja nach dem Verhalten der betreffenden Werthe selbst in Columne 4 der Tabelle 4 nicht anders zu erwarten ist, ebenfalls keine besondere Uebereinstimmung, auch wenn man davon absicht, dass sic je nach der Differenz der Stundenwinkel, in denen sie angestellt wurden, verschieden sein müssen. Bei der Erörterung der Frage, ob zur Reduction der Beobachtungen auch hier nur das Mittel der Bestimmungen desselben Abendes als constante Grösse, oder eine Variation mit der Zeit angewendet werden sollte, musste daher das vorliegende Material specicller untersucht werden. In Tabelle 5 sind die Differenzen der in Frage kommenden Doppelbestimmungen zusammengestellt.

Tabelle 5.

4	2	3	4	5	6
88 Nov. 5	-4h2	+014	-3.5	5	å
88 Nov. 9	-1.2	+1.9	-1.6	6	3
88 Nov. 10	-2.9	+2.4	-2.3	4	4
88 Nov. 11	-3.4	+2.2	-6.7	4	4
88 Nov. 12	-3.7	+2.6	+3.5	6	6
88 Nov. 13	-3.0	+0.5	-1.3	4	5
88 Dec. 3	-0.4	+3.7	+1.4	5	4
88 Dec. 4	-2.9	+4.4	-1.3	7	7
88 Dec. 5	-2.6	+4.4	-1.1	6	6
88 Dec. 7	-2.8	+4.4	-0.3	6	7
89 Febr. 3	-2.6	+0.6	-2.5	4	2
00 5-1- 10					

t	2	3	4	5	6	
89 Febr. 28	-099	+255	+0.4	4	4	
89 März 4	-1.0	+3.2	+1.2	4	3	
89 März 6	-1.0	+4.5	-2.9	4	2	
89 März 7	-1.6	+4.8	+0.4	4	3	
89 April 3	+1.3	+5.5	-2.8	6	5	
89 April 4	+1.3	+4.4	-2.3	7	6	
89 April 5	+1.7	+4.5	-3.2	6	4	
89 April 6	+4.8	+4.5	-3.4	7	7	
89 April 49	10 8	48.4	-3 4		e	

#### Erklärung.

Columne 1 enthält das Datum.

- 2 » den Stundenwinkel der 1. Bestimmung,
  - a 3 n a a 2. n
     b 4 a die Differenz der Resultate beider Bestimmungen,
     n Anzahl der Durchgänge bei der 4. Bestimmung,

Aus den oben gegebenen mittleren Fehlern einer Parallel-Bestimmung wird der durchschnittliche Werth des mittleren Fehlers einer Differenz von 2 Bestimmungen für Methode I zu ± 1'9, für Methode II zu ± 1/3 berechnet. Der mittlere Fehler ist also oft von derselben Grösse, wie die Differenz selbst. Hiernach empfahl es sich, auch für die meisten dieser 21 Abende einfach das Mittel aus beiden Bestimmungen zur Reduction zu verwenden. Nur für solche Abende, wo die durch die einzelnen Durchgänge erhaltenen Bestimmungen der Beobachtungen am Anfang und Ende ziemlich augenfällig durch ihren gemeinsamen Mittelwerth getrennt sind, an denen also die Bestimmungen vorher z. B. durchweg grösser, die nachher kleiner sind als das Mittel aus beiden Bestimmungen, wurde, wenn ausserdem noch der speciell für diesen Abend berechnete mittlere Fehler der Differenz kleiner war als die Differenz selbst, eine Variation ausgerechnet. Da, wie wir später sehen werden, für Declinations-Messungen die Einstellung des Fadennetzes um beinahe 1° vom scheinbaren Parallel abweichen kann, ohne dass hierdurch merkliche Fehler entstehen, so brauchen zur Ermittelung einer Variation nur die Abende berücksichtigt zu werden, an denen AR.-Unterschiede gemessen wurden, also folgende sechs:

	4	2	3	4	5	6	7
4.	88 Nov. 13	-3 <sup>h</sup> 0	+055	-1.3	±1.'25	-1.3	0
2.	89 April 3	+1.3	+5.5	-2.8	±1.24	-4.0	-1.2
3.	89 April 4	+1.3	+4.4	-2.3	±1.07	-2.5	-0.2
ŝ.	89 April 5	+1.7	+4.5	-3.2	±0.93	-2.4	+0.8
5.	89 April 6	+1.8	+4.5	-3.1	$\pm 0.79$	-2.4	+0.7
6	89 April 49	49.8	+5.4	-3 4	-4 96	-98	+0.6

Die Columene enthalten der Reihe nach: Datum, Stundenwinkel der 1. Bestimmung, Stundenwinkel der 2. Bestimmung, Stundenwinkel der 2. Bestimmung hierenz der Resultate der beiden Bestimmungen im Sinne: \*2. Bestimmung minus 1. Bestimmung\*, mittlerer Fehler der Differenz, ausgegliehene Differenz, und \*Rechnung minus Beobachtung\*.

Diese 6 Abende zeigen nun allerdings eine grössere Gleichmässigkeit, und innerhalb der Sicherheit der Bestimmungen überhaupt darf man vohl annehmen, dass für alle 6 Abende die Variation dieselbe sei. Deshalb wurde zur Ermittelung derselben eine Ausgleichung der 6 Abende vorgenommen unter Berücksichtigung der 1. und 2. Potenzen der Stundenwinkel. Sind  $\Theta_1$  und  $\Theta_2$  die Stundenwinkel bei der 1. und 2. Bestimmung, so wurden die 6 Gleichungen in der Forma angesetzt:

$$(\Theta_i - \Theta_i)v + (\Theta_i^i - \Theta_i^i)v' = D$$

und es ergaben sich

$$v = -0.009 \pm 0.128$$
  
 $v' = -0.139 \pm 0.035$ 

Das von den 1. Potenzen von  $\theta$  abhängige Glied ist also ganz u vernachlässigen. Wie die Differenzen R — B zeigen, ist die Darstellung durch diese Werthe eine leidlich zufriedenstellende. Der grösste übrigbleibende Fehler 12 ist immer noch etwas kleiner, als der Fehler, der bei einfachem Mittelnehmen entstanden wäre. Mit dem Factor v' wurde zunächst aus jeder der beiden Bestimmungen eines Alsendes der Nullpunkt für v0 Stundenwinkel gerechnet; die beiden so erhaltenen Werthe wurden dann gemittelt und von diesen ausgeglichenen Nullpunkte aus der Nullpunkt für v0 Stundenwinkel gerechnet. — In Columne 8 der Tabelle 4 ist für die betreffenden Abende der ausgeglichene Nullpunkt für v0 gegeben vullpunkt für v0

41)

Als für die Correction der Beobachtungen in Rücksicht zu ziehender Werth von p, der Neigung des Instrument-Parallels gegen den scheinbaren, wurde die Differenz zwischen den Angaben der Columnen 8 und 6 der Tabelle 4 genommen, wobei zu bemerken ist, dass die Werthe der Columne 8 die Ablesung so geben, als wenn die Bestimmung immer mit dem Hauptfaden geschehen sei. Ist also mit einem andern Faden als dem Hauptfaden gemessen worden, so muss der Werth in 8 noch corrigirt werden um den Betrag des Winkels, welchen der Hauptfaden mit dem betreffenden Faden einschliesst. Ausser der Bestimmung dieser Winkel auf Seite 163 sind ihre Beträge noch auf zwei anderen Wegen ermittelt worden; nämlich einmal ergeben sie sich aus den Unterschieden der Positionskreis-Ablesungen, wenn man auf den scheinbaren Parallel der Reihe nach mit den verschiedenen Fäden des Netzes einstellt, und dann lassen sie sich leicht berechnen aus den Unterschieden der Resultate, die man erhält, je nachdem man die Fadendistanzen längs des Fadens A oder C mit der Mikrometerschraube misst. Hier folgen die Werthe, die auf diese drei Arten erhalten wurden, in Columne 1 die aus Messungen mit der Theilmaschine, in Columne 2 die aus Parallel-Bestimmungen, und in Columne 3 die aus Messungen mit der Schraube gewonnenen. Columne 4 enthält die definitiven Werthe, d. h. die Mittelwerthe der Columnen 1 bis 3, wenn man den Werthen unter 2 das Gewicht 1 giebt, da die zu ihrer Gewinnung angewendete Methode bedeutend unsicherer ist als die beiden andern.

Faden	- 1	2	3	4
1 - 7	+5.6	+4.'2	+3.'9	+4.6
2 - 7	+4.9	+2.8	+3.2	+3.8
3 7	+2.6	+2.7	+1.9	+2.3
4-7	+1.3	+0.5	+0.8	+0.9
5 - 7	-1.3	-0.9	-2.6	+4.7
6 - 7	+2.0	+0.5	+1.2	+1.4
8 - 7	+3.9	+3.1		+3.6
9 - 7	+6.1	+6.8		+6.3

Für die oben erwähnte Reduction kommen nur in Betracht die Werthe 4-7 und 8-7; diese sind genügend sicher bestimmt.

Der Winkel p ist für Declinations-Messungen, so lange er kleiner bleibt als 4°, und wenn die Einstellungen der beiden Sterne möglichst genau an demselben Stundenfaden geschehen, ganz ohne Einfluss, da der scheinbare Declinations-Unterschied gleich ist den gemessenen multiplicirt mit cos p.— Fur  $d\theta=10^\circ$  würde die anzubringende Correction bei  $p=4^\circ$  erst  $0^\circ$ 1 ausmachen. p wurde immer so klein gehalten, dass die Correction vernachlassigt werden konnte.

Die AR.-Messungen müssen um den Betrag

corrigirt werden. Diese Correction wurde für die 6 Abende mit variablem p mit der Correction für Refraction verbunden. Für die Abende mit constantem p wurde sie aber allein angebracht und die Refraction ganz vernachlässigt, da in diesem Falle die Unsicherbeit der Correction für p grösser sit als der Betrag der Refraction.

Die Berechnung der Refraction geschah mit einer mittleren Declination  $\delta = 9^{\circ}$  35' für alle AR.-Messungen und für diejenigen Declinations-Messungen, die in einem Stundenwinkel Lleiner als 3<sup>h</sup> angestellt worden waren; für die Stundenwinkel zwischen 3<sup>h</sup> und 5<sup>h</sup> wurde sie in Declination gesondert gerechnet für  $\delta = 9^{\circ}$  5', 9° 15', 9° 35' und 9° 55', was sich als hinreichend genau erwies für die vorkommenden  $\delta$ -Differenzen.

Wie schon bemerkt, musste darauf geachtet werden, dass bei den Declinations-Messungen die Einstellungen der beiden zu messenden Sterne möglichst genau an demselben Stundenfaden erfolgten. Der gleiche Fehler, der hierdurch vermieden werden sollte, wäre entstanden, wenn der Faden B, an dem mit nur wenigen, später zu crwähnenden Ausnahmen die Einstellungen geschahen, nicht parallel zu der Schlittenführung war. Seine Stellung gegen diese musste deshalb untersucht werden, und dies geschah mit Hülfe des Ocular-Mikroskopes, indem die Striche der Glasscala dem Faden B parallel gestellt wurden. Schätzte man nun die Stellung des Fadens B zwischen zwei Scalenstrichen, bewegte dann den Faden um einige Schrauben-Revolutionen vorwärts und schätzte seine Stellung wiederum, so gab das Verhältniss der seitlichen Verschiebung des Fadens gegenüber den Scalenstrichen zur Grösse seiner Vorwärtsbewegung durch die Schraube den Winkel, welchen er mit der Richtung der Schlittenführung bildete. Es fanden sich so folgende Werthe:

Der so erhaltene Mittelwerth - 1'7 ist erstens nicht sehr sicher, dann aber giebt er auch nichts aus, da ja bei den Messungen nur ganz wenige Schrauben-Umdrehungen nothwendig waren, um von einem Stern auf den andern zu gelangen. Bemerkt sei hier noch, dass, wenn man die zu diesem Zwecke angestellten Beobachtungsreihen trennt, je nachdem die Schrauben-Ablesungen über oder unter 45:0 liegen, eine Drehung des Schlittens aufzutreten scheint, die von positiven Werthen nach negativen geht bei wachsenden Revolutionen. den Betrag von einer Minute aber nicht überschreitet. Hierfür sprechen auch die Zahlen, welche man erhält, wenn man mit ein und demselben Faden Parallel-Bestimmungen macht bei verschiedenen Ablesungen der Mikrometerschraube. Die Beträge sind aber so klein, dass sie auf die Messungen nicht von dem geringsten Einfluss waren; deshalb wurde diese Sache auch nicht weiter verfolgt. Herr Dr. Peter fand bei seinen Mikrometer-Untersuchungen mit anderen Methoden genauere Werthe für eine Drehung in demselben Sinne

Ueber die Messungen selbst ist noch Polgendes zu bemerken: Rectascensions- und Declinations-Differenzen wurden getrennt beobschett. In Rectascension wurden 8 Durchgänge, in Declination 4 Einstellungen eines Sternpaares als gentigend für die Bestimmung eines Abendwerthes angesehen. Im Ganzen sollte die Bestimmung jeder Coordinate an 6 Abenden vorgenommen werden und zwar gleichmässig vertheilt auf beide Schraubenlagen des Positionskreises, abgesehen von den brauchbaren Beobachtungen der alteren Reibe. Doch gelang dies nur für die Rectascension ziemlich vollständig. In Beclination sind nur 4 Messungen im Durchschnitt für jedes Sternpaar erhalten worden, und diese sind leider nicht gleichmässig auf beide Lagen der Schraube vertheilt. Das Wetter war in den Monaten Februar und Marz 1889 zu ungstasig, um das Programm in dem einen Winter vollständig durchführen zu können, und das Instrument und ein Furläghet 1889 aberborchen, sodas Nachmessungen nicht

stattfinden konnten<sup>1</sup>). — Alle Messungen geschalten in einer Lage des Instrumentes, nämlich bei vorangehendem Fernrohr.

Die Fadenantritte wurden registrirt, und aus den Registrirungen wurden die Stundenwinkel gerechnet. Der ganze Bereich des Sternhaufens war in mehrere Zonen getheilt worden, und es wurden womöglich Antritte aller Sterne einer Zone bei ein und demselben Durchgange registrirt.

Die Bestimmung des Stundenwinkels für die Declinations-Messungen erfolgte meistens nit Hülfe einer genau nach Sternzeit eingestellten Taschenuhr, die am Ocularkopfe aufgehangen war.

Die Beobachtungen gesehahen zum grössten Theil bei Fadenbeleuchtung, wenige nur bei hellem Feld mit weissem oder rothem Licht. Die Messung schwächerer Sterne bei hellem Felde machte während der Beobachtung den Eindruck grösserer Unsieherheit, deshalb wurde die andere Beleuchtungsart vorgezogen, wenn sie auch die Augen stärker angriff.

Für zwei Sterne mit beinahe gleicher Rectascension wurde, weil kein Ührwerk vorhanden war, ein besonderes Beohaehtungsverfahren angewendet. Diese wurden nämlich in Rectascension stets, in Declination vom 28. Februar ab<sup>3</sup>), an zwei verschiedenen Fäden bez. Querfäden beobachtet ersp. eingestellt, und zwar in wenkelnder Reihenfolge. War Stern A zuerst an Faden 1 und Stern B an Faden 2 beobachtet worden, so wurden dann ebensoviel Durchgänge registirt, bei denen Stern B an Faden 1 und Stern A an Faden 2 beobachtet wurde. Entsprechend geschahen die Declinations-Einstellungen der zu messenden Sterne an den Fäden B und C, oder B und A albzwechselnd. Sind dann  $Aa_u$  und  $Aa_d$  die auf beide Arten gefundenen

Im Folgenden sind nur Differenzen aufgeführt, die an mindestens 2 Abenden beobachtet wurden.

AR.-Differenzen,  $\Delta \delta_i$  und  $\Delta \delta_i$  die beiden  $\delta$ -Differenzen, so wären  $\Delta a$  resp.  $\Delta \delta$ , die scheinbare AR.- resp. Deel.-Differenz

$$\Delta a = \frac{\Delta a_i - \Delta a_i}{2}, \qquad \Delta \delta = \frac{\Delta \delta_i + \Delta \delta_i}{2},$$

wenn das Netz vollkommen wäre, d. h. wenn alle Påden parallel wären, resp. Winkel von 90° mit einander bådeten. Da dies aber bei dem lier benutzten Netz nieht der Fall war, mussten kleine Correctionen angebracht werden. Für Rectaseension wird die Correction nach der Formel berechnet:

wo  $\beta$  die Neigung der bei den Anfritten benutzten Fäden gegen einander ist. — Bezeichnet man für die Deelinations-Messungen die Abstände der beiden Messungsfäden längs der beiden für die Einstellung benutzten Querfäden mit  $f_i$  und  $f_i$ , und ist  $f_i - f_i = e_i$  so sit die Correction für diese beelinations-Messungen einfach gleich

$$+\frac{5}{c}$$

Es erübrigt also noch die Distanzen der Fäden 1 bis 9, genessen längs der Querfäden A und C, zu berechnen. Dazu wurden die Angaben dieser Distanzen in Mikrons, wie sie die Ausmessung des Notzes mit der Theilmaschine ergeben hat, benutzt. Diese Messungen haben allerdings nur das halbe Gewicht von den an Fäden B vorgenommenen, doch hat ja die halbe Differenz e wieder dasselbe Gewicht. Hier folgt eine Zusammenstellung der Abstände der Fäden 1 bis 9 längs der Querfäden A, B, C, aus der sich die Werthe für die c ohne Muhe ergeben.

Fadenpaar	A	В	c
1-2	27:09	27:17	27:26
2-3	24.59	24.85	25.13
3 4	26.27	26.49	26.59
4-5	28.74	29.00	29.38
5 — 6	25.42	25.06	24.62
6 7	25,23	25.46	25.72
7 - 8	214.03	213.56	212.98
8-9	187.79	187.53	187.35

Bei diesen Messungen von Sternpaaren mit kleinen AR.-Differenzen wurden für jede der beiden Faden-Combinationen nur 4 Durchgänge in Rectascension, oder 2 Einstellungen in Declination als zur Bestimmung eines Abendwerthes genügend erachtet; der Mittelwerth der Messungen mit einer Faden-Combination hatte also nur das Gewicht 4 gegenüber den andern Abendwerthen, ihre halbe Summe oder Differenz war aber wieder von gleichem Gewicht mit diesen.

Von auderen Reductionen wurden noch die auf den Anfang des Beobachtungs-Jahres und, wenn nöthig, auf das mittlere Aequinocitium 1885.0 augebracht. Beide Reductionen wurden für vier den Sternhaufen einschliessende Eckpunkte gerechnet. Für jeden einzelnen Beobachtungstag wurlen dam Täfelchen aufgestellt, die schon die Summe beider Reductionen enthielten, so dass man aus ihnen direct die Reduction vom Beobachtungstag auf m. Aequ. 1885 entnehmen konnte. — Wie ich schon bei der Mikrometer-Untersechung erwähnt labe, war der Einfluss des fortschreitenden Ganges der Schraube und der Temperatur auf den Werth einer Schrauben-Undrehung bei diesen Messungen so gering, dass er vernachlässigt werden konnte, während die periodischen Fehler der Schraube durch die Beobachtungs-Methode im Allgemeinen eilminit sein sollen.

Wegen der Beobachtungs-Methoden und der Reduction der alteren Beobachtungen kann ich auf die Arbeit des Herrn Dr. Parna verweisen, da ich bei diesen Beobachtungen genau in derselben Weise verfahren bin, wie er. Auch waren die benutzten Reductionsforssen, wie der Werth einer Schrauben-Revolution, die Correctionen wegen fortschreitenden Ganges, wegen periodischen Ganges und wegen des Einflusses der Temperatur auf den Werth einer Schrauben-Umdrehung die dort aufgeführten.

Tabelle 6 enthalt die meteorlogischen Daten der in Betracht kommenden Beobachtungstage. Fur die Beobachtungsjahre 85, 86, 87 geben die Columnen dieser Tabelle der Reihe nach: Datum, ausseres Thermometer, inseres Thermometer, Barometer, Thermometer in der Kuppel, Fernorhiage'), Schraubenlage, Nullpunkt des Positionskreises, Angabe der Fäden, die zur Coincidenz-Bestimmung benutzt worden waren, und Coincidenz; für die Jahre 88 und 89 Datum, ausseres Thermometer, inneres Thermometer, Barometer, Thermometer in der Kuppel, und Schraubenlagen, in denen beobachtet wurde. Die Thermometer haten alle die Celsuis-Scala.

t) Die älteren Beobachtungen waren in beiden Fernrahrlagen angestellt worden.

# Tabelle 6.

					1885					
Nov. 2	- 0	328	+ 200	754 mm	- 428	R.	0.	0°26.′5		
Dec.	5 +	4.5	+ 6.3	758	+ 1.0	R.	0.	0 26.5	BIII	32!2768
Dec.	7 -	4.4	+ 3.4	754	-4.0	R.	0.	0 25.5	B 11	46.2540
Dec. 2	- 0	1.3	+ 2.0	761	+ 0.7	R.	u.	0 27.0		
Dec. 2'	7	0.0	+ 4.9	764	+ 0.4	R.	0.	0 26.5		
Dec. 3	- 0	2.2	+ 1.3	753	- 1.3	R.	0.	0 27.0		
					1886					
Febr.		4.95	+ 0.9	753mm	- 424	R.	0.	0°27.'0		
			- 1.5	773	- 5.9	R.	0.	0 27.0		
		4.7	- 1.7	766	- 3.3	R.	0.	0 27.0		
Febr. 2			- 0.5	756	- 0.7	R.	0.	0 27.0		
Febr. 2	5 -		- 0.2	754	- 1.0	R.	0.	0 27.5		
Febr. 2			- 2.0	760	- 7.9	R.	0.	0 27.5		
Marz 8		6.6	- 1.2	764	- 3.6	R.	0.	0 27.0		
Marz S	- (	5.6	~ 1.6	763	- 3.6	R.	0.	0 27.5		
Marz 10			- 1.9	763	- 4.4	R.	0.	0 27.5		
Marz 2	5 +	5.8	+ 4.0	755	+ 8.3	R.	0.	0 27.5		
Marz 2	9 +	9.3	+11.6	750	+12.6	L.	u.	0 27.5		
April	1 +	5.8	+ 8.6	763	+ 8.8	L.	0.	0 27.5		
April	+ 5	8.8	+ 9.1	758	+11.2	L.	о.	0 27.5		
April 3	3 +	15.7	+10.5	755	+16.6	L.	о.	0 27.5		
April 3	7 +	8.4	+ 9.8	754	+ 9.4	L.	0.	0 27.5		
April 1	1 +	5.6	+ 7.8	747	+ 7.4	L.	0.	0 27.5		
April 11	8 +	10.4	+10.6	754	+11.0	L.	u.	0 27.0		
Sept. 3	) +	10.2	+14.8	754	+43.4	R.	u.	0 27.0	BII	46:2100
Oct.	1 +	10.8	+15.2	754	+13.5	R.	u.	0 27.0		
Oct. 41	8 +	4.7	+11.0	746	+ 9.1	R.	u.	0 27.0	BiI	46,3037
Oct. 2	+ 6	2.1	+ 8.0	764	+ 5.4	R.	u.	0 26.0	BII	46.3064
Oct. 30	) +	0.8	+ 7.7	762	+ 5.5	R.	u.	0 26.0		
Nov.	3 +	2.8	+ 7.7	756	+ 5.4	R.	u.	0 26.0	BII	46,3036
Nov.	9 +	2.7	+ 8.3	743	+ 5.7	R.	u.	0 27.0	ви	46.2986
					1887					
Jan.	7 -	794	- 420	736***	- 494	R.	о.	0° 27.'0	ВП	46:3214
Jan.		4.9	- 0.7	740	- 2.7	R.	0.	0 27.0	BII	46.3172
Jan. 4			- 4.5	759	- 9.0	R.	0.	0 27.5	BII	46.3483
Jan. 45		6.7	- 4.4	758	- 4.8	R.	0.	0 27.5	BII	46.3239
Jan. 2			- 4.4	763	+ 0.1		0.	0 27.5	BII	46.3252
Jan. 2	5 +		+ 0.2	764	+ 1.3	R.	0.	0 27.0	BII	46.3191
Jan. 2			+ 0.5	764	+ 0.3	R.	0.	0 27.5	BH	46.3250
Marz	+	3.2	+ 3.0	764	+ 5.0	R.	0.	0 27.5	RII	46,3330

REINHOLD HAHN,										
			1888	ı						
Nov.	5	- 3%	+590	758mm	+ 494	r.				
Nov.	8	- 3.5	+2.5	758	- 4.4	r.				
Nov.	9	- 3.7	+2.2	759	- 1.6	r.				
Nov.	10	- 4.8	+1.2	760	- 2.6	r.				
Nov.	44	- 4.2	+4.6	757	- 1.8	r.				
Nov.	12	- 3.6	+4.5	755	- 1.9	r.				
Nov.	43	- 3.5	+1.0	754	- 2.0	r.				
Nov.	30	+ 5.2	+6.8	746	+ 5.8	1.				
Doc.	4	+ 4.7	+6.7	752	+ 3.8	1.				
Dec.	3	+ 1.8	+6.4	760	+ 4.5	1.				
Dec.	4	+ 1.3	+5.5	761	+ 3.4	1.				
Dec.	5	- 0.4	+4.7	762	+ 2.7	1.				
Dec.	7	- 1.3	+3.5	760	+ 1.9	r. u.				
Dec.	8	- 0.7	+3.3	757	+ 4.4	r. u.				
Dec.	10	+ 0.7	+3.7	754	+ 1.2	u.				
Dec.	13	- 5.4	+4.5	765	- 2.6	1. u.				
Dec.	14	- 4.5	+0.5	760	- 2.0	u.				
Dec.	24	- 3.6	+1.2	742	-0.6	u.				
Dec.	22	- 0.4	+1.3	743	+ 0.2	u.				
Dec.	25	+ 3.3	+2.8	748	+ 3.2	u.				
Dec.	27	- 4.5	+2.5	755	+ 0.9	u.				
Dec.	28	- 0.8	+2.4	754	+ 1.6	u.				
Dec.	29	-4.2	+2.0	754	+ 0.8	u.				
Dec.	30	+ 0.3	+2.2	752	+ 4.5	u.				
			1889							
	2	-1002	-190	768**	- 790					
Jan. Jan.	3			769	- 7:0	u.				
		-10.2	-4.7			u.				
Jan.	5	- 8.0	-1.9	765	- 4.9 - 3.8	u.				
Jan.	6	- 6.4	-1.9	759		u.				
Jan.	12	- 4.4 + 0.6	-1.8 +0.3	755 743	- 2.8 + 1.2	u.				
Jan.	13	+ 0.6 - 4.6	-0.2	752	- 3.0	u.				
Jan.	14	- 4.6	-1.9	757	- 5.7	u.				
Jan.	45		-3.5	755	- 8.6	u.				
Jan. Jan.	27	-10.8 - 0.7	+0.9	765	0.0	u.				
				736	- 0.4	u.				
Febr.		- 4.0 - 5.4	+1.8	747	- 0.4 - 4.3	0.				
		- 1.9	+0.2	741	- 4.3	0.				
Febr.						0.				
Febr.		-10.6	-3.0	752	-10.0	0.				
Febr.	28	- 7.3 - 6.8	-2.0	745 754	- 3.9 - 4.5	0.				
marz	*	- 6.8	-1.9	104	- 4.5	0.				

- 4.7 - 7.2 -1.8

-2.0 -1.2

752 - 04

6

7 - 1.0

- 3.4 756

- 4.2 759

MINDOMETRICAL	Varantana	 C	V 700	100

Marz	9	+ 0.7	+0.02	749mm	+ 3.3	0.
Marz	16	- 4.2	-0.2	758	- 2.6	u.
Marz	26	+ 5.4	+5.4	745	+ 6.5	u.
Marz	28	+ 4.8	+4.3	759	+ 5.7	u. 1.
April	3	+ 4.4	+4.8	744	+ 3.7	r.
April	4	+ 3.4	+4.9	743	+ 5.4	r.
April	5	+ 4.2	+5.2	742	+ 5.5	r.
April	6	+ 6.0	+5.9	744	+ 7.3	1. r.
April	16	+ 3.7	+5.9	746	+ 6.0	r.
April	19	+11.4	+6.9	756	+11.2	l. r.

Tabelle 7 entlalt die im Beobachtungs-Journale vorgefundenen Bemerkungen. Die Beobachtungen vom 3. April 1889 wurden von der Rechnung ausgeschlossen, da sie durchweg stark von den Beobachtungen auderer Tage abwichen und sich in kein System bringen liessen. Wahrscheinlich war durch unvorsichtige Manipulation mit dem Schutztuche, das beim Beobachten über den Kopf gezogen wurde, um störendes Licht von seitwarts fernzuhalten, und welches am Ocularkopf des Refractors befestigt war, die Feinbewegungsschraube des Positionskreises zu wiederholten Malen verstellt worden.

# Tabelle 7.

1885.

Nov. 20 & Sehr uuruhige Bilder.

Dec. 2 Beleuchtungslampe brennt unruhig; Chronograph sehreibt unregelmässig.

Dec. 7 Luft rubig: Bilder wechselnd, manchmal recht scharf.

Dec. 20 Bilder unruhig, aber scharf. Dec. 27 Sehr stürmisch, H—III.

Dec. 30 Luft und Bilder gut, zuletzt schlechter.

#### 1886.

Fcbr. 5 Nebel.

49]

Febr. 8 Luft durchsichtig, Bilder ruhig, aber verwaschen. Fadenbeleuchtung schlecht.

Febr. 9 Luft II, Bilder erst sehr verwaschen, dann besser. Fadenbeleuchtung schlecht.

Febr. 20 Dunst und C. Schwache Sterne nicht oder schwer sichtbar. Bilder schaff. Luft rubig.

Febr. 25 Luft nicht durchsichtig, Bilder aber gut.

Febr. 28 Luft unruhig, aber durchsichtig, Bilder zerfahren.

Marz 8 Bilder gut, Luft etwas unruhig.

Abbaodi 4 K. 8. Gesellech. 4. Wissenech. XXIX.

200

- Marz Luft durchsichtig, aber sehr unruhig, Bilder später wegen Bewölkung verwaschen.
- Marz 40 Luft gut, Bilder versehwommen, Beleuchtung sehlecht.
- Marz 25 Bilder ganz schleeht, Luft sehr unruhig.
- Marz 29 Luft anfangs sehr unruhig, dann besser, Ill.
- April 4 Bilder anfangs sehr verwaschen, Luft unruhig, dann besser. III.
- April 2 Luft und Bilder in grösseren Stundenwinkeln ganz schlecht. \* 32 nur als breiter Streifen siehtbar. Vorher Luft und Bilder II.
- April 7 Bilder ganz verwasehen, oft durch Wolken beobachtet. IV. Fadenbeleuchtung sehlecht wegen (; plötzlich vollständig bedeckt.
- April 44 Wegen Bewölkung Beobachtung bald aufgegeben. IV. April 48
- Sept. 30 Bilder, Luft II.
- 4 Luft erst sehr unruhig, dann besser. Oct.
- Oct. 48 Bilder verwaschen, Luft gut. ( .
- Oct. 29 Bilder und Luft II, etwas unruhig.
- Oct. 30 Wegen Unwohlseins Beobaehtung aufgegeben.
- 3 Bilder verwaschen und unruhig; Wolken und Nebel. Bisweilen aber sehr durehsiehtige Luft.
  - Nov. 9 ( Oft Wolken, sonst II.

# 1887.

- Jan. 7 @ Bilder und Luft gut.
- 8 Luft unruhig, Bilder etwas verwasehen. Nebel, Wolken. III. Jan.
- 48 Wegen grosser Kälte klemmt das Instrument bei AR.-Bewegung. Jan. Aus demselben Grunde sind wohl alle Messungen dieses Abends minderwerthig.
- 49 Bilder und Luft ausgezeiehnet. Jan.
- Jan. 24 Bilder und Luft gut. Himmel plötzlich bedeckt.
- 26 Luft sehr weehselnd, Bilder gut. Jan.
- 27 Luft sehr durehsiehtig, Bilder gut, zuerst sehlechter. Jan.
- Marz 4 Luft und Bilder gut. (.

#### 1888

- 5 Luft durchsichtig, aber sehr unruhig. Die hellen Fäden ersehienen nach kurzer Zeit verschwommen. 8 Luft und Bilder gut, zuletzt durch Wolken beobaehtet; dann wegen
- Bewölkung Beobachtung aufgegeben, Nov. 9 Luft ruhig; Bilder oft verschwommen. Augen waren sehr bald
- angegriffen, deshalb die hellen Fäden oft verwaschen gesehen.
  - Nov. 10 Luft und Bilder sehr gnt.

Nov.

- Nov. 11 Luft und Bilder gut, gegen Morgen aber etwas unruhig. Die Tasterfeder am Chronographen hat stellenweise sehlecht oder gar nieht gesehrieben.
- Nov. 12 Luft und Bilder gut; bei der ersten Index-Bestimmung unruhigere Bilder,

- Mikrometrische Vermessung des Sternhaufens ∑ 762.
- Nov. 43 Bilder etwas verwaschon, später besser. Luft unruhig, Augen angegriffen, deshalb Fäden nicht immer scharf geschon.
- Nov. 30 Luft sehr durchsiehtig, aber häufig leichte Wolken. Schwache Sterne sehr unsicher.
- Dec. 1 Immer durch Wolken heobachtet; Bilder unruhig und matt.
  Dec. 3 Luft und Bilder sehr gut, zu Anfang und Endo aber unruhig.
- Augen angegriffen.

  Dec. 4 Luft äusserst durchsichtig, aber etwas unruhig; Bilder nicht immer scharf. Hauptstern 44 als Doppelstern vermuthet, er erschien
- als Streifen von unten links nach oben rechts. Zähler des Registrir-Apparates blieb oft hängen; dadurch bei ausgefallenen Secundenzeichen die Streifen-Ablesung etwas unsicherer.
- Dec. 5 Luft durchsichtig, aber unruhig, Bilder sonst gut. F\u00e4den zuweilen nicht scharf. — Hauptstern 14 vermuthlich doppelt gesehen.
- Dec. 7 Luft und Bilder ziemlich gut, etwas unrubig. F\u00e4den oft verschwommen.
- Dec. 8 Luft unruhig, Bilder leidlich; F\u00e4den oft verschwommon. Nach Sehluss der Messungen auf Hauptstern 14 Geusirt; doch konnte ich ihn nicht wirklich trennen, der Stundenwinkel war wohl zu gross,
- Dec. 10 Bilder leidlich gut, Luft unruhig. Beobschtung durch vollständige Bewölkung abgebrochen.
- Dec. 43 Luft bei der 4. Index-Bestimmung sehr unruhig; dann aber Luft und Bilder gut. F\u00e4den nicht immer scharf. \u00bb.
- Dec. 44 Bilder leidlich, aber recht unruhig. (und Dunst, Cirrostrati. Schwache Sterne nicht sichtbar.
- Dec. 21 Nur eine Messungsreihe erhalten, dann vollständig neblig.
- Dec. 22 Nur 2 Reihen erhalten, dann Nebel.
- Dec. 25 Immer durch Wolken beobachtet. Bilder unruhig und oft ganz schwach.
- Dec. 27 Luft und Bilder recht gnt.

541

- Dec. 28 Bilder zuerst unruhig, dann wegen Wolken und Nebel verwaschen und sehwach.
- Dec. 29 Bilder unruhig und verwaschen, hesonders gegen Ende. Schwacho Sterne schlecht. Herr Dr. Peres sah den Hauptstern 44 ebenfalls doppelt.
- Dec. 30 Bilder leidlich, aber sehr unruhig. Schwache Sterne schwierig zu messen. Gegen Ende immer Wolken, dann ganz bedeckt.

#### 1889.

- Jan. 2 Bilder ziemlich gut, doch Luft sehr unruhig. Schwache Sterne schwierig zu messen.
- Jan. 3 Bilder scharf, Luft leidlich gut. Fadenbeleuchtung wird nach und nach ganz schwach, da der Gasdruck wegen der Kilte geringer wird. Die Beobachtung musste deshalb schliesslich ganz aufgegeben werden. Auch die Elasticität der Spiralfeder, die der Mikrometerschraube entgegenwirkt, war eine geringere als sonst.

[52

- Jan. 4 Bilder schaff und Luft durchsichtig, aber während der ersten Hälfte ausserordentlich unruhig. Die Fadenbeleuchtung ist mangelhaft, da das Gas schlecht brennt.
- Jan. 5 Luft äusserst unruhig, Bilder leidlich, oft matt. Nebel.
- Jan. 6 Bilder ausserordentlich unruhig, doch meistens schr scharf, anfangs matt. Sturm. Luft zuletzt sehr durchsichtig.
- Jan. 42 Bilder ganz unruhig, IV. (, (Hof. Dunst und Cirri. Zuletzt
- ganz trübe.

  Jan. 43 Bilder zerfahren und unruhig, Ruhe und Schärfe V, in der Mitte der Messungsreihe IV. C. Clof.
- Jan. 14 Luft und Bildor II. Die Beobachtung musste wegen vollständiger Bewölkung abgebrochen werden.
- Jan. 45 Bilder leidlich schaft, aber ganz und gar unruhig, IV. Dunst, (, ( llof. Die Fadenbeleuchtung wird nach und nach schlechter,
- da das Gas allmählich versagt.

  Jan. 27 Luft sehr unruhig, Bilder theilweise versehwommen. Oft Wolken und zuletzt ganz bedeckt. Während der Beobachtungen mit
  «Schraube unten« Zugschnur für Alt.-Bewegung zur schnelleren
  Bewerkstelligung der Messungen viellen benutzt, und wohl incht
- Fobr. 3 Luft sehr unruhig, Bilder verschwommen und aufgeblasen,

immer mit der nöthigen Vorsicht.

- Febr. 5 Ganz schlechte Bilder, Luft äusserst unruhig, wenn auch durchsichtig. IV. Durch Bewölkung Beobachtung abgebrochen.
- Febr. 7 Bilder aufgeblasen und unruhig, Luft aber durchsichtig. III—IV. Fadenbeleuchtung mangelhaft, F\u00e4den erscheinen fast immer dick. Zuletzt ganz bedeckt.
- Febr. 43 Luft und Bilder ganz schlecht, IV. Das Gas friert nach und nach ganz ein, deshalb Fadenbeleuchtung ganz schlecht. €, ziemlich voll.
- Febr. 28 Luft und Bilder III, letztere zorfahren. Immer Cirri. Zuletzt ganz bedeckt.
- Marz 4 Luft erst sehr unruhig, dann besser. Ruho II--III, Schärfo III--IV. Immer Nebel. Augen sind sohr angegriffen.
- März 5 Von Anfang an Wolken, sehr bald ganz bedeckt.
- Marz 6 Rube II, Schärfe II—III. Bei 1. Index-Bestimmung Luft sehr unrubig.
- März 7 Luft sehr wechselnd, eine Zeit lang sehr durchsichtig und klar. Zuletzt ganz schlecht. Rube und Schärfe II—III im Durchschnitt.
- März 9 Bilder und Luft, besonders bei der Index-Bestimmung und Messung der Hauptsterne ganz schlecht. Schärfe III, Rube IV. Sehr bald ganz bedeckt.
- März 16 Schärfe II, Ruhe IV. Von Anfang an Dunst und Girri. Wegen vollständiger Bedeckung Beobachtung bald aufgegeben. Bei der Index-Bestimmung Bilder ganz und gar unruhig.
- Marz 23 Mit Girri der Ilimmel schon gleich am Anfang überzogen, und sehr bald ganz trübe.

März 28 Immer Wolken, Sterne ganz schwach. Ruhe III, Schärfe II. Ilimmel sehr bald ganz trübe.

April 3 Rube und Schaffe III—IV, manchnol noch schlechter. Das Belais am Registrir-Apparat hat mangelhaft gearbeitet. Die Beobachtungen dieses Abendes sind nicht verwertbet werden, da sie fast alle beträchtlich von den andern Resultaten abwichen und sich diese Abweichausen in kein System brinzen liesen.

April 4 Bei 4. Index-Restimmung Rube IV, dann Rube und Schärfe II. Sehr durchsiehtige Luft; Ilauptstern 44 als Doppelstern ganz deutlich gesehen. Wegen nicht günstig gewählter Gembinationen musten Fadenantritte oft ziemlich am Rande des Gesichtsfeldes beobachte werden.

April 5 Ruhe III, Schärfe II-III.

April 6 Rube und Schärfe III, bei 4, Index-Bestimmung IV.

April 16 Ruhe II-III, Schärfe IV. Immer Wolken, bald ganz bedeckt.

April 49 Ruhe III—IV, Schärfe III, Sterne unter 40<sup>m</sup> meistens nicht zu sehen. Wolken.

# III. Ableitung der Endresultate und Genauigkeit derselben.

Als Plan für die Beobachtung war festgesetzt, jeden mit dem schien, an mindestens zwei llauptsterne! anzeschliessen. Da das Object eine grössere Ausdehnung von Norden nach Suden hat, musste auch eine grössere Ausdehnung von Norden nach Suden hat, musste auch eine grössere Ausdehnung von Norden nach Suden hat, musste auch eine grössere Ausdehnung von Norden nach Suden hat, solche gasten Berein gleichmässig vertheilter Sterne als Hauptsterne gewählt werden, wenn nicht zu grosse Decimations-Distanzen erhalten werden sollten. Als solche galten die Sterne 4, 5, 10, 11, 26, 30, 32, 40, 41 nach der Numerirung der Arbeitsliste. Bei dieser Vertheilung wurde es möglich, in Declination jeden Stern mit geinem Hauptstern nördlich und südlich von ihm zu verbinden. In Rectaseension wurde thunichst jeder Stern mit mehr als zwei Hauptsternen verbunden. — Als im December 1889 die Declinations-Bestimmungen wieder auf-

<sup>1)</sup> Eine Aussahme macht Stern 61, der uur durch Verwechedung mit Hauptstern 5 zu den Beobachtungen herzagezogen worden war. Er ist in Declimition nicht an 2 Hauptsterne, sondern an 1 Hauptstern und die beiden Sterne 49, 55 angeschlossen worden. Seine Nummer 61 hat er nachträglich erhalten: der Rectassension nach müsste er die Nummer 10 haben.

genommen wurden, zeigte es sich, dass Hauptstern 11 vermuthlich ein ziemlich schwacher und enger Doppelstern war, auf den es sich seiner in der Nord-Sud-Richtung länglichen Gestalt wegen schlecht einstellen liess. In den beiden vorhergehenden Jahren war mir die Duplicität nicht aufgefallen, ebensowenig bei den Rectascensions-Messungen, da die Verbindungslinie der beiden Sterne beinahe in den Stundenkreis fällt. Es wurde von da ab vorgezogen, als Hauptstern an seiner Stelle für die Declinations-Messungen den Stern 48 zu wählen, und die früher gemessenen Declinations-Differenzen für Hauptstern 14 zu streichen. - An späteren Beobachtungs-Abenden mit besserer Luft (siehe Bemerkungen Tabelle 7) habe ich die Duplicität von \*14 sicher festgestellt, wenn auch die optische Kraft des Instrumentes nicht ausreichte, um Messungen an ihm vornehmen zu können. Der Stern scheint auch andererseits noch nicht als Doppelstern erkannt zu sein, wenigstens habe ich ihn in keinem der mir zugänglichen Verzeichnisse von Doppelsternen aufgeführt gefunden. - Doppelsterne sind ferner noch die Hauptsterne 30 und 32. Der Begleiter von 30 ist als Stern 31 hier mit vermessen worden. Von den beiden Componenten von 32 ist nur der hellere, also der nachfolgende südlichere Stern in Betracht gezogen worden, da dieser Stern überhaupt kaum zum Sternhaufen selbst zu rechnen ist. Er wurde aber mit in die Beobachtungen aufgenommen, weil er das hellste Object in dieser Gegend war.

Die Tabellen 8 und 9 enthalten nun die einzelnen Messungen in AR. und Decl. Vorauf geben die Messungen der Hauptsterne unter sich, darauf folgen die der übrigen Sterne, geordnet nach den Nummern der angeschlossenen Sterne.

Tabelle 8 enthält die Rectascensions-Differenzen und giebt

- in Columne 1 das Datum

  " 2 den Stundenwinkel der Beobachtung,
- » 3 a) durch o. = oben, u. = unten, r. = rechts, l. = links die Bezeichnung der Lage der Schraube des Positiouskreises,
- » 3b) durch d. oder h. die angewendete Beleuchtungsart; hier bedeutet d. dunkles Feld mit hellen F\u00e4den nnd h. helles Feld,

- in Columne 3 c) durch I, II, III die angewendete Vergrösserung; hier bedeutet I 444-, II 193-, III 288-fache Vergrösserung,
  - » 4 die Anzahl der Durchgänge,
  - 5 das Mittel der Differenzen der Faden-Antrittszeiten der beiden Sterue,
- 6 die Summe der Correctionen (Correctionen wegen Reduction auf scheinbaren Ort und mittleres Acqu. 1855.0, wegen der Neigung des Instrument-Parallels gegen den scheinbaren, und wegen Refraction).
  - 7 die Summe der Wertlie in Columne 5 und Columne 6,
- 8 durch die Zahlen 1), 2) etc. Hinweise auf die am Fusse der Messungsreibe eines Sternpares sich befindenden Anmerkungen und durch die Zahl ‡ Angabe des Gewichts des betreffenden Abendwerthes. 2 F. bedeutet, dass die Sterne in der sehon beschriebenen Art an 2 F\u00e4den beobachtet wurden.

# Tabelle 8.

				4 -	<b></b> 5		
89	März 28	+3h 43m	r. h. II	8	- 6:670	+0:054	- 6:616 1)
89	April 4	+2 49	r. d. II	8	- 6.757	+0.047	- 6.710
89	April 5	+2 49	r. d. 11	6	- 6.818	+0.045	- 6.773
89	April 6	+2 35	l. d. 11	8	-6.739	-0.008	- 6.747
89	April 19	+5 1	l. d. 11	8	-6.729	+0.025	- 6.704
	() Ima	or durch \	Volken.				- 6:710 ± 0:027
				4-	-10		
86	Febr. 8	+2h 58m	o. d. I	17	-20:817	+0:003	-20:844
88	Nov. 9	-4 5	l. b. 1	8	-20.920	-0.007	-20.927
88	Nov. 9	-0.45	I. d. II	7	-20.894	-0.007	-20.901
88	Nov. 11	-4.48	l. d. 11	8	-20.804	-0.006	-20.807
88	Nov. 12	-0 7	l. d. 11	8	-20.832	-0.015	-20.847
88	Nov. 43	-0 44	l. d. 1	7	-20.826	-0.014	-20.840
88	Dec. 4	+2 33	r. d. II	7	-20.793	-0.001	-20.794
88	Dec. 5	+0 6	r. d. II	9	-20.767	+0.026	-20.741
89	April 4	+3 12	r. d. II	7	-20.854	-0.016	-20.867
89	April 6	+2 25	L d. II	7	-20.888	+0.005	-20.883
89	April 49	+4 38	l. d. 11	8	-20.882	-0.007	-20.889
							-20:846 ± 0:016

```
14-30
85 Dec. 2
                                 6
             +0150m
                       o. d. II
                                     -20:617
                                                 0:000
                                                          -20:617
85 Dec. 30
             +9 34
                       o. d. Il
                                44
                                     -20.702
                                                -0.002
                                                          -20.704
                       o. d. II
86 Febr. 9
             +3 12
                                9
                                     -20.633
                                                -0.002
                                                          -20.635
             -1 0
                       o. h. II
                                22
                                     -20.620
                                                 +0.003
                                                          -20.617
86 Febr. 20
86 März 8
             +9 44
                       o. d. 11
                                24
                                     -20.585
                                                +0.001
                                                          -20.584
86 März 9
             +0 28
                       o. d. 11
                                20
                                     -20.621
                                                 +0.004
                                                          -20.617
88 Nov. 13
             -4 43
                       1. d. II
                                7
                                     -20.706
                                                 +0.024
                                                          -20.682
             +3 30
                       r. d. II
89 April 4
                                 8
                                     -20.712
                                                 +0.047
                                                          -20.665
             +3 58
                       r. d. II
                                 8
                                     -20.749
                                                 +0.049
                                                          -20.700
89 April 5
                       I. d. II
89 April 6
             +9 48
                                     -20.640
                                                -0.004
                                                          -20.614
                       l. d. II
89 April 49
             +4 27
                                     -20.547
                                                 0.000
                                                          -20.547
                                                          -20:635 ± 0:015
                                14-40
                                     -30:397
85 Dec. 2
             -0<sup>h</sup> 45<sup>m</sup>
                       o. d. II
                                 9
                                                -0.009
                                                          -30:406
                                     -30.424
                                                +0.008
                                                          -30.416
85 Dec. 30
             +3 29
                       o. d. Il
                                40
86 Febr. 5
             -2 3
                       o. d. 11
                                10
                                     -30.567
                                                -0.006
                                                          -30.573
86 Marz 8
             +2 22
                       o. d. II
                                18
                                     -30.416
                                                 +0.004
                                                          -30.412
86 Marz 9
             +0 14
                       o. d. 11
                                     -30.419
                                                 0.000
                                                          -30.419
                                20
86 Marz 10
             +1 31
                       o. d. 11
                                 8
                                     -30.196
                                                 +0.003
                                                          -30.493
             -9 38
                                 7
                                     -30.600
                                                -0.010
                                                          -30.640
88 Nov. 44
                       l. d. Il
88 Nov. 12
             -154
                       I. d. II
                                 9
                                     -30.516
                                                -0.054
                                                          -30.567
88 Nov. 30
             -0 39
                       r. d. I
                                     -30.437
                                                -0.016
                                                          -30.453
88 Dec. 4
             -1.18
                                 8
                                     -30.447
                                                 +0.004
                                                          -30.446
                       r. d. ll
                                                          -30.499
88 Dec. 5
             -121
                       r. d. 11
                                 8
                                     -30,600
                                                 +0.104
89 April 4
             +2 57
                       r. d. 11
                                 8
                                     -30.489
                                                -0.062
                                                          -30.554
89 April 5
             +3 58
                       r. d. II
                                 8
                                     -30.475
                                                -0.068
                                                          -30.543
             +2 55
                       L d. II
                                     -30.530
                                                          -30.562
89 April 6
                                 8
                                                -0.032
89 April 19
             +4 20
                       I. d. 11
                                     -30.524
                                                 -0.028
                                                          -30.549
                                 8
                                                          -30:500 ± 0:018
                                26 - 10
             +1h 20m
                                17
                                     +22:191
                                                 0.000
                                                          +92:191
86 Febr. 20
                       o. h. II
86 Marz 9
             -0 9
                       o. db.ll
                                24
                                     +22.138
                                                 +0.001
                                                          +22,139 1)
                                7
                                                          +22.146
89 April 4
             +3 20
                       r. d. II
                                     +22.103
                                                 +0.043
89 April 5
             +2 30
                       r. d. II
                                 9
                                      +22.160
                                                 +0.038
                                                          +22.198
89 April 6
             +2 17
                       I. d. II
                                56
                                      +22.168
                                                -0.014
                                                          +22,154
89 April 6
             +4 13
                       r. d. II
                                63
                                     +99 174
                                                 +0.039
                                                          +22,210
89 April 19
             +3 46
                       r. d. II
                                40
                                     +22.109
                                                 +0.041
                                                          +22.150
89 April 19
             +$ $$
                       l. d. II
                                9
                                      +22,236
                                                 +0.021
                                                          +22.257
      t) 26 schwach im hellen Felde, deshalb Beleuchtung
                                                          +22:181 + 0:014
        gewechselt.
                                26 - 30
85 Dec. 28
             +31 23m
                                53
                                     - 5:703
                                                          - 5:704
                       o.dh.ll
                                                 +0:002
86 Febr. 8
             +0.34
                       o. h. II
                                43
                                     -5.632
                                                -0.002
                                                          -5.634
                       o. d. II
                                     -5.702
                                                          -5,700
86 Febr. 9
             +2 26
                                 9
                                                +0.002
88 Nov. 8
             -2 43
                       I. d. II
                                 8
                                     -5.640
                                                 0.000
                                                          - 5.640 1
                                                -0.011
88 Nov. 9
             -338
                       l. d. 11
                                 9
                                     -5.711
                                                          - 5.722 2 F.
88 Nov. 9
             +1 13
                       l. h. II
                                     -5.668
                                                 -0.011
                                                          -5.679
88 Nov. 13
             -1 2
                       I. d. 1
                                 9
                                     -5.694
                                                -0.020
                                                          -5.714
89 April 4
             +3 26
                       r. d. II
                                     -5.694
                                                -0.038
                                                          - 5.732
89 April 5
             +6 12
                       r. d. 11
                                8
                                     -5.673
                                                -0.014
                                                          -5.744
89 April 6
             +2 47
                       L d. II
                                 9
                                     -5.742
                                                +0.004
                                                          -5.738
                                     - 5.659
                                                          - 5.675
89 April 19
             +4 34
                       l. d. II
                                 9
                                                -0.016
                                                          - 5:695 ± 0:011
      i Durch Wolken beobachtet.
```

			44-	- 40		
85 Dec. 30	$+3^{h}49^{m}$	o. d. 11	15	+ 3:803	-0:007	+ 3*796
88 Nov. 5	-3 47	I. d. II	10	+3.795	+0.012	+ 3.807
88 Nov. 8	-3 36	I. d. II	8	+ 3.809	+0.002	+ 3.811
88 Nov. 9	+1 2	l. h. II	8	+ 3.889	+0.011	+ 3.900
88 Nov. 10	-0 58	l. d. 11	7	+ 3.786	+0.012	+ 3.798
88 Nov. 12	-2 11	1. d. 11	9	+ 3.818	+0.026	+ 3.814 + 3.917
88 Nov. 30	-1 8 +3 11	r. d. 1 r. d. 11	10	+ 3.910	-0.007	+ 3.917
88 Dec. 4 88 Dec. 5	+1 43	r. d. 11	8	+ 3.791	-0.057	+ 3.790
88 Dec. 5	+3 58	r. d. 11	8	+ 3.867	+0.042	+ 3.909
89 April 5	+3 35	r. d. 11	9	+ 3.849	+0.038	+ 3.887
89 April 6	+3 0	I. d. II	8	+ 3.835	-0.004	+ 3,831
or injuri						+ 3:848 ± 0:014
			14-	- 32		+ 3.618 ± 0.014
88 Nov. 9	+0 <sup>h</sup> 59 <sup>m</sup>	l. b. II	7	+12:544	-0:019	+12:525
89 April 1	+2 28	r. d. 11	10	+12.460	-0.058	+12.402
89 April 5	+3 45	r. d. 11	11	+12,499	-0.065	+12.434
89 April 6	+3 3	I. d. 11	7	+12,401	+0.006	+12,395
89 April 19	+3 14	I. d. II	8	+12,465	-0.027	+12.438
						+12:439 + 0:023
			1-	- 40		
88 Nov. 10	-2h 15m	L d. II	9	-71:700	-0:017	-74:747
88 Nov. 11	-2 38	I. d. II	7	-71.847	-0.009	-71.856
88 Nov. 12	-2 42	I. d. II	9	-71,698	-0.033	-71.731
88 Nov. 30	-0 39	r. d. 1	7	-71.777	-0.012	-71.789
88 Dec. 4	-1 48	r. d. II	9	-71.814	-0.003	-71,817
88 Dec. 5	-1 21	r. d. 11	8	-71.823	+0.054	-71.769
						-71:780
			1 -	- 14		-11.100
88 Nov. 9	+0h 10m	l. d. 1	9	-41:299	+0:006	-\$1:293
88 Nov. 10	-2 32	i. d. II	9	-41.359	+0,006	-41 353
88 Nov. 11	-2 54	I. d. II	8	-41.244	+0.001	-41.243
88 Nov. 30	+0 49	r. d. 1	6	-41.315	+0.004	-44,314
88 Dec. 1	-148	r. d. 1	9	-41.248	-0.010	-41.258
88 Dec. 4	-2 8	r. d. H	8	-41.278	-0.803	-44.284
88 Dec. 5	-1 40	r. d. II	7	-41.269	-0.048	-41.317
						-41:294
			2-	-11		
85 Dec. 30	+3h 8m	o. d. 11	9	-32:118	-0:002	-32:120
86 Febr. 20	+1 48	o. d. 11	10	-32.214	+0.002	-32.212
88 Nov. 9	+0 10	l. d. 1	9	-32.184	+0 009	-32.175
88 Nov. 10	-232	I. d. II	9	-32.317	+0.008	-32,309
88 Nov. 11	-254	l, d. 11	8	-32.106	+0.002	-32.104
88 Nov. 30	+0 49	r. d. 1	6	-32.110	+0.007	-32.103
88 Dec. 1	-1 48	r. d. I	9	-32.183	+0.011	-32.172
88 Dec. 4	-2 8	r. d. ll	8	-32.202	-0.002	-32.204
88 Dec. 5	-1 40	r. d. II	7	-32.199	-0.056	-32.255

-32:184

1) Yom 5. Durchgang an Fäden verschwommen.

[-30:434]

-30:438

99	748	I ROBETRIS	.ne team	E336.N	u DES STEE	CHIACIESA	- 102.	^
				6-	-30			
88 Nov. 88 Nov. 88 Nov. 88 Dec. 88 Dec. 88 Dec.	9 11 3 4	-0 <sup>h</sup> 12 <sup>m</sup> -3 38 -2 12 +1 54 +1 12 +2 16	I. d. 14 I. d. 44 I. d. II r. d. I r. d. 44 r. d. 41	7 9 8 7 8	-36:201 -36:172 -36:235 -36:060 -35:931 -36:010	-0:013 -0.014 -0.006 +0.020 0.000 +0.052	-36:247 -36:486 -36:241 -36:040 -35:934 -35:958 [-36:095]	1 2
				7	-15		-36:101	
85 Dec. 88 Nov. 88 Nov.	. 9	+3 <sup>h</sup> 8 <sup>m</sup> +0 10 -2 32	o. d. II I. d. I I. d. II	9 8 9	-14:161 -14:139 -14:218	+0:001 +0:005 +0:006	-11:163 -11:131 -11:212	1 2
88 Nov. 88 Nov. 88 Dec. 88 Dec. 88 Dec.	41 30 4	-2 54 +0 49 -1 45 -2 8 -1 40	I. d. II r. d. I r. d. I r. d. I r. d. II	8	-14.105 -15.220 -14.146 -14.102 -14.101	+0.001 +0.005 -0.006 -0.002 -0.033	-14.104 -14.215 -14.152 -14.104 -14.134	njin mija
				-	-40		[-11:156] -11:153	
86 Febr 86 März 88 Nov. 88 Nov. 88 Nov. 88 Nov. 88 Dec. 88 Dec.	10 10 11 12 30	+2 <sup>k</sup> 24 <sup>m</sup> +0 58 -2 15 -2 38 -2 42 -0 39 -1 48 -1 21	o. d. II o. d. 44 l. d. 41 4. d. II l. d. II r. d. I r. d. II r. d. II	7 9 7	-\$4:677 -\$4:669 -\$4:58\$ -\$4:707 -\$4:573 -\$4:603 -\$4:636 -\$4:753	+0:005 +0:004 -0:016 -0:008 -0:036 -0:011 -0:001 +0:068	-\$\$:672 -\$\$:665 -\$\$:600 -\$\$:745 -\$\$:609 -\$\$:616 -\$\$:637 -\$\$:685 [-\$\$:651]	1 2
				8.	_4		-44:653	
88 Nov. 89 Apri		-2 <sup>h</sup> 54 <sup>m</sup> +3 12	l. d. l r. d. #	8	+16:202	+0:011 +0.012	+16:216 +16:119 +16:167	
				8 -	- 26			
86 Febr 88 Nov. 88 Nov. 88 Dec.	10	+1 48" +0 15 -1 44 +1 44	o.hd.ll L d. ll l. d. ll r. d. l	18 8 8	-26:927 -26.952 -26.969 -27.023	0:000 -0.009 -0.005 +0.010	-26:927 -26.964 -26.974 -27.043	9

88 Dec. 4 +1 4 r. d. H 8 -26,919 -0.001 -26,920 88 Dec. 5 +2 37 r. d. H 9 -27,055 +0.027 -27.028

4) Vom 5. Durchgang an Fäden verschwommen.

+0.027 -27.028

- Service Group

				8-	- 10			
00	Nov. 12	-0 <sup>h</sup> 23 <sup>m</sup>	l. d. II	9	- 4:786	-0:028	- 4:814	
	Nov. 12	-0 32	1. d. 1	9	- 4.734	-0.013	- 4.747	
	Dec. 3	+0 44	r. d. 1	10	- 4.750	-0.017	- 4.767	
	Dec. 4	+0 39	r. d. 11	9	- 4.841	-0.002	- 4 843	
	Dec. 5	+0 6	r. d. H	7	- 4.736	-0.042	- 4.778	
	Dec. 7	+2 48	i. d. II	8	- 4.829	+0.008	- 1.821	
							- 4:795	
							7.70	
				8 -	- 30			
88	Nov. 5	-0h 12m	l, d. I	7	-32:636	-0.019	-32:655	
88	Nov. 12	+4 36	l. d. II	8	-32.604	-0.043	-32.644	
89	April 4	+3 46	r. d. II	8	-32.586	-0.057	-32.643	
89	April 5	+3 22	r. d. II	8	-32.650	-0.052	-32.702	
89	April 6	+3 54	r. d. II	10	-32.577	-0.045	-32.622	
							-32:653	
				0	- 14			
				9 -	- 14			
86	Febr. 20	+3138m	o. d. 11	9	~43:602	+0:006	-44:596	
86	Marz 8	+3 53	o. d. 11	10	-11.548	+0.007	-44.544	
88	Nov. 5	-250	l. d. 11	7	-11.509	-0.013	-11.522	
88	Nov. 8	-3 8	1. d. II	9	-41.602	-0.004	-41.603	
88	Nov. 41	-0.44	1. d. 31	9	-44.557	-0.005	-41,562	
89	April 3	+3 44	r. d. II	7	-44.550	-0.054	-31,604	
	April 1	+2 57	r. d. II	8	-44.580	-0.033	-11,613	
	April 5	+3 58	r. d. 11	8	-11.575	-0.036	-43,614	
							-34:584	
					0.0			
				9-	- 30			
88	Nov. 5	-0h \$3 m	1. d. 11	10	-32:086	+0:001	-32:085	
88	Nov. 8	-2 48	1. d. 11	8	-32.434	-0.003	-32.434	
88	Nov. 9	-0 23	l. d. II	6	-32.462	0.000	-32.162	
88	Dec. 3	+1 54	r. d. 1	7	-32.434	-0.007	-32.438	
88	Dec. 4	+1 12	r. d. II	- 8	-32.200	-0.002	-32,202	
88	Dec. 5	+2 16	r. d. 11	8	-32.122	-0.016	-32.438	
							-32:143	
			10	) Ha	uptstern.			
				11-	10			
	Dec. 3	+25 5m	r. d. I	13	+ 0:275	-0:016	+ 0:259	2F. 4
	Dec. 4	+1 19	r. d. ll	13	+ 0.327	+0.009	+ 0.233	2F. 4
	Dec. 5	+2 45	r. d. ll	14	+ 0.434	-0.055	+ 0.339	2F.
	Dec. 7	+2 55	l. d. II	43	+ 0.310	+0.026	+ 0.336	2 F.
	Dec. 8	+3 41	1. d. 11	10	+ 0.376	+0.026	+ 0.411	2 F.
	Dec. 13	+4 23	l. d. 11	11	+ 0.472	+0.035	+ 0.507	2F.
da	Dec. 13	T # 23	. d. 11	. 1	T 0.414	+0.000		
							[+ 0:371]	
							+ 0!382	

					11-	- 26			
	Nov.		+0h 15m	J. d. 11	9	-22:003	-0:003	-22:006 1)	
	Nov.		-1 44	1. d. 11	9	-21,988	-0.003	-21.994	
	Nov.		-1 2	l. d. 1	9	-21.809	-0.005	-21.814	1
	Dec.	3	+1 44	r. d. 1	9	-21.916	+0.002	-21.914	1112
	Dec.	4	+1 4	r. d. 11	8	-21.945	0.000	-21.945	2
	Dec.	5	+2 37	r. d. 11	9	-21.917	+0.005	-21.912	
10								[-21:930]	
	1	Vom	5. Durchg	ang Fåden	vers	chwommen.		. ,	
								-24:944	
						30			
88	Nov.	5	-0 <sup>h</sup> 12 <sup>m</sup>	l. d. II	7	-27:670	-0:015	-27:685	
	Nov.	8	-2 13	J. d. 11	7	-27.573	-0.002	-27.575 1)	
	Nov.	9	-3 38	1. d. H	8	-27.666	-0.015	-27.681	
	Nov.		-2 12	l. d. H	8	-27.590	-0.007	-27.597	
	Nov.		-1 2	1, d. 1	9	-27.503	-0.023	-27.526	1
	Dec.	3	+1 54	r. d. 1	7	-27.569	+0.021	-27.515	4
	Dec.	4	+1 12	r. d. 11	8	-27.511	0.000	-27.514	
8	Dec.	5	+2 16	r. d. ff	8	-27.569	+0.061	-27.508	
	10	Dure	h Wolken	beobachtet	١.			[-27:578]	
								-27:585	
					12	10			
84	Nov.	9	-2h13m	l. d. 1	8	+ 5:546	+0:024	+ 5:570 1)	1
	Nov.		+1 50	f. d. 11	8	+ 5.604	+0.054	+ 5.658	A
	Nov.		-0 32	f. d. 1	8	+ 5,539	+0.044	+ 5.583	1
								[+ 5:604]	•
			n verschw echt zu be	ommen, se	liwac	he Sterne			
		senie	ent zu be	opacnten.				+ 5:617	
					12	26			
86	Febr.	28	+2h 6m	o. d. 11	7	-16:496	0:000	-16:496	
88	Nov.	10	+1 12	1. d. fl	8	16.605	+0.007	-16.598	
	Nov.		-257	f. d. II	9	-16.449	+0.021	-16.428	
	Nov.		-1 55	I. d. II	9	-16.517	+0.014	-16.503	
	Dec.	ŝ	-053	r. d. II	10	-16.572	-0.002	-16.574	
88	Dec.	5	-0.34	r. d. II	9	-16.453	-0.049	-16,502	
								-46:517	
					12	- 30			
218	Dec.	98	-0h14m	o. d. 11	11	-22:178	-0:001	-22:179	
	Febr.		+1 43	o. d. 11	10	-22,172	+0.001	-22,171	
	Febr.		+2 54	o. d. 11	8	-22.182	+0.003	-22,179	
	Nov.	5	-0 43	1. d. 11	19	-22.176	-0.003	-22,179	
	Nov.	8	-2 48	1. d. 11	9	-22.074	-0.002	-22.073	
	Nov.	9	-0 23	1, d. 11	6	-22.158	-0.004	-22.162	
88	Dec.	4	~1 19	r. d. I	10	-22.205	+0.001	-22.204	1
	Dec.	4	-1 23	r. d. 11	9	-22.161	-0.001	-22.162	-
88	Dec.	5	-1 3	r. d. II	7	-22.224	+0.007	-22,217	
								[-22:170]	

00	Dec.	3	+1	2.1	r. a. II	,	+ 9.761	-0.00z	+ 9:159
						15-	- 26		
85	Dec.	28	+43	43 m	o. d. II	12	-12:510	-0:004	-12:511
86	Febr.	28	+1	18	o. d. 11	44	-12.541	0.000	-12,541
88	Dec.	3	+1	4.4	r. d. 1	9	-12.594	+0.026	-12.568
88	Dec.	4	+4	4	r. d. 11	8	-12.516	0.000	-12.516
88	Dec.	5	+2	37	r. d. 11	9	-12.599	+0.067	-12.532
88	Dec.	7	+3	17	1. d. 11	8	-12.665	-0.045	-12.680
88	Dec.	8	+3	25	l. d. II	8	-12,562	-0.026	-12.588
									-12:562

				16-	1 5			
	Dec. 30	+3h 29m	o. d. II	10	+ 3!845	-0:007	+ 3*838	
	Febr. 20	+3 15	o. d. 11	6	+ 3.952	-0.006	+ 3.946	
	Marz 40	+1 31	o. d. 11	8	+ 3.856	0.000	+ 3.856	
	Nov. 40	-4 48	I. d. 11	8	+ 3.945	+0.019	+ 3.964	2 F.
	Nov. 13	-1 44	1. d. 11	12	+ 3.865	-0.036	+ 3.791	žr.
	Dec. 3	+2 32	r. d. 1	9	+ 3.827	-0.004	+ 3.791	
	Dec. 4	+4 32	r. d. II	8	+ 3.986	-0.001	+ 3.896	
88	Dec. 5	+2 3	r. d. II		+ 3.977	-0.061		
							+ 3:895	
				16-	40			
		ob Fam	1 11	10	001870	-0:003	-26:573	
	Dec. 2	-0151m	o. h. 11 o. d. 11	8	-26:570 -26,622	+0.002	-26,620	
	Dec. 30	+4 5		9	-26.670	+0.002	-26,667	
	Febr. 20	+2 28	o. d. 11	8	-26.654	-0.004	-26,658	
	Nov. 9 Nov. 10	+0 33	i. d. 11 i. d. 11	10	-26.728	-0.004	-26.732	
		-1 13 +0 49	l. d. II	9	-26.591	-0.004	-26.599	
	Nov. 12 April 4	+3 58	r. d. H	8	-26.575	-0.006	-26,584	
	April 6	+3 32	r. d. H	8	-26,602	+0.004	-26.598	
03	April 0	+3 32	1. u. 11		-20.002	+0.004		
							-26:628	
				16	- 44			
00	Nov. 5	-3h 33m	L. d. 11	10	-30:449	-0:016	-30:465	
	Nov. 10	+2 2	L d. II	10	-30,423	-0.015	-30.438	
	Nov. 12	+1 6	i. d. 11	9	-30.323	-0.034	-30,357	
	April 4	+2 38	r. d. II	9	-30.311	-0.040	-30.351	
	April 5	+3 35	r. d. H	9	-30.383	-0.044	-30.427	
	April 6	+3 19	r. d. 11	8	-30,404	-0.034	-30.438	
	p						-30:413	
							-50.410	
				17-	-10			
88	Nov. 9	-2h 43m	I. d. 1	9	+12:051	+0:020	+12:074	1)
88	Nov. 42	+4 50	l. d. 11	6	+12.027	+0.046	+12.073	
88	Nov. 13	-0 32	i. d. 1	9	+11.947	+0.036	+11.983	
							+12:012	
		en verschw echt zu be		enwac	ne Sterne			
	90.14	cem za be	obacinea.					
				17-	26			
86	Febr. 9	+2h 26th	o. d. il	10	-10:224	-0.002	-10:226	
	Febr. 25	+1 55	o. d. 11	41	-10,106	0,000	-10.106	
	Febr. 28	+2 6	o. d. 11	7	-10,151	0.000	-40,451	
	Nov. 10	+1 12	i. d. II	8	-10.195	+0.004	-10,191	
	Nov. 12	-2 57	i. d. 11	9	-10.200	+0.012	-10.488	
	Nov. 43	-4 55	1. d. H	9	-10.072	+0.007	-10.065	
88	Dec. 4	-0 53	r. d. li	10	-10.019	-0.004	-40.020	
88	Dec. 5	-0 31	r. d. H	9	-40.488	-0.028	-10.216	

		-					
			17-	- 30			
85 Dec. 28	-0 <sup>h</sup> 11 <sup>m</sup>	o. d. 11	11	-15:829	-0:001	-15:830	
86 Febr. 8	+1 43	o. d. II	10	-15 877	+0,001	-15,876	
86 Febr. 25	+1 41	o. d. II	10	-15.886	+0 002	-15.884	
86 Febr. 28	+2 54	o. d. II	9	-15.798	+0.003	-15.795	
88 Nov. 5	-0 43	I. d. II	9	-15.782	-0.007	-15.789	
88 Nov. 8	-2 48	1. d. 11	9	-15.866	-0.001	-15,867	
88 Nov. 9	-0 23	I. d. II	6	-15.962	-0.007	-15.969	
88 Dec. 1	-4 19	r. d. 1	10	-15.884	+0.005	-15.879	
88 Dec. 4	-1 23	r. d. 11	9	-15.856	0.000	-15.856	
88 Dec. 5	-1 3	r. d. 11	8	-15.836	+0.028	-15.808	
						-45:855	
			48.	-14			
85 Dec. 30	+3h 8m	o. d. II	9	+ 5:843	+0:001	+ 5:844	
86 Febr. 20	+1 68	o. d. 11	9	+ 5.804	0.000	+ 5.804	
88 Nov. 9	+0 10	l. d. I	9	+ 5.753	+0.006	+ 5.759	
88 Nov. 10	-2 32	I. d. II	8	+ 5.799	+0.005	+ 5,804	
88 Nov. 11	-2 54	l. d. 11	8	+ 5.914	+0.003	+ 5.917	
88 Nov. 30	+0 49	r. d. 1	6	+ 5.838	+0.004	+ 5 842	
88 Dec. 4	-1 48	r. d. 1	9	+ 5.897	-0.003	+ 5.894	
88 Dec. 4	-2 8	r. d. 11	8	+5.850	0.000	+5.850	
88 Dec. 5	-1 50	r. d. II	7	+ 5,874	-0.022	+ 5,852	
						+ 5:841	
			10	10		7 0.041	
00 01- 5	-2h 3n		9		0.007	21,020	
86 Febr. 5 86 Febr. 20	+2 21	o. d. II o. d. II	11	-24:626 -24:663	+0.004	-21:630 -24.659	
88 Nov. 10	-2 15	o. d. 11	8	-24.663	-0.017	-24.624	
88 Nov. 11	-2 18		7	-24.671	-0.017	-21.679	
88 Nov. 12	-2 12	I. d. II I. d. II	9	-24.550	-0.040	-24.590	
88 Nov. 30	-0 39	r. d. 1	7	-24,654	-0.012	-24.663	
88 Dec. 4	-1 48	r. d. 11	8	-21.587	0.000	-24.587	
88 Dec. 5	-1 21	r. d. 11	8	-24.652	+0.079	-21.573	
oo nec. o	-1 21	1. 0. 11		-24.002	+0.015	-24:626	
				1.0		-24.626	
				- 10			
85 Dec. 2	-6k51m	o. h. 11	8	-22:158	-0.005	-25:160	
85 Dec. 30	+4 5	o. d. 11	9	-22.137	-0.001	-22.138	
86 Febr. 20	+2 18	o. d. 11	10	-22.091	+0.001	-22.090	
88 Nov. 9	+0 33	l. d. 11	8	-22.014	-0.002	-22.013	
88 Nov. 10	-1 15	I. d. II	10	-22.211	+0.001	-22.210	
88 Nov. 12	+0 49	l. d. 11	9	-21.976	+0.004	-21.972	
89 April 4	+3 58	r. d. II	8	-22.112 -22.125	+0.012	-22.100	
89 April 6	+3 32	r. d. 11	8	-22.125	+0.009	-22.116	
						-22:100	
				- 11			
88 Nov. 5	−3 <sup>h</sup> 33 <sup>m</sup>	I. d. 11	10	-25:937	-0:013	-25:950	
88 Nov. 10	+2 2	l. d. II	10	-25.931	-0.011	-25.942	
88 Nov. 12	+1 4	I. d. II	9	-25.984	-0.023	-26.007	
89 April 4	+2 38	r. d. 11	9	-25.888	-0.021	-25.912	
89 April 5	+3 35	r. d. II	9	-25.903	-0.027	-25.930	
89 April 6	+3 19	r. d. 11	8	-25.909	-0.021	-25.930	
						-25:945	

1

85	Dec. 28	+22 24 m	o. d. II	11	+16:537	-0:002	+16:535
86	Febr. 28	+0 46	o. d. II	44	+16.561	0.000	+16,561
88	Nov. 9	-2 13	I. d. 1	9	+16.574	+0.015	+16.589
88	Nov. 12	-0 23	I. d. II	9	+16.503	+0.034	+46.534
88	Nov. 13	-0 32	l. d. 1	8	+46.522	+0.025	+16.547
88	Dec. 3	+0 44	r. d. 1	40	+16.563	-0.024	+16.539
88	Dec. 4	+0 39	r. d. II	9	+16.577	-0.004	+16.576
88	Dec. 5	+0 6	r. d. II	7	+16.609	-0.064	+16.545
89	April 19	+3 46	r. d. II	40	+16.557	+0.038	+46,595

1 Fäden verschwommen.

#### 20 - 26

85	Dec. 28	+1h 43m	o, d. II	44	- 5:619	100:0-	- 5:620	
86	Febr. 8	+1 21	o.hd.II	33	- 5,663	-0.001	- 5.664	
86	Febr. 28	+1 18	o. d. II	44	-5.622	-0.001	- 5.623	
88	Nov. 40	+0 45	l. d. II	9	- 5.787	-0.002	- 5.789 1	
88	Nov. 41	-1 44	I. d. II	9	-5.724	-0.001	- 5.725	
88	Nov. 43	-1 55	l. d. II	9	-5.626	-0.003	-5.629	
88	Dec. 4	-0 53	r. d. Il	10	- 5.626	+0.002	-5.624	
88	Dec. 5	-0 34	r. d. II	9	-5,610	+0.005	- 5.605	

20 - 30

1) Vom 5. Durchgang an Fäden verschwommen.

# [- 5:660] - 5:652

88	Nov. 8	-2h 43m	l. d. 11	8	-11:326	-0:001	-11:327
88	Nov. 9	-3 38	l. d. II	9	-11.358	-0.013	-11.371
88	Nov. 12	+1 36	l. d. II	8	-11.261	-0.029	-14.290
88	Nov. 43	-1 17	l. d. i	12	-11.289	-0.02I	-11.310
89	April 4	+3 46	r. d. II	8	-11.372	-0.042	-41.444
89	April 5	+3 22	r, d. II	8	-44.445	-0.039	-11.454
89	April 6	+3 54	r. d. II	10	-11.507	-0.034	-14.661
	4) Du	rch Wolken	beobachte	t.			-44:372

# 21-14

86	Febr. 8	-034m	o. d. 11	9	+11:967	-0:002	+11:965
86	Febr. 20	+3 38	o, d. II	9	+11.939	+0.001	+41.940
86	März 9	+1 36	o, d. II	10	+11.971	-0.001	+11.970
88	Nov. 5	-3 9	l. d. II	7	+41.997	-0.005	+11.992
88	Nov. 8	-3 8	I. d. II	9	+12.040	+0.001	+12.041
88	Nov. 40	-1 34	l. d. II	9	+12.047	-0.004	+12.043
88	Nov. 30	+0 49	r. d. 1	5	+11.932	-0.002	+11.930
88	Dec. 1	-1 48	r. d. 1	9	+11.970	+0.006	+11.976
88	Dec. 4	-2 8	r. d. II	8	+12.040	+0.002	+12.042
88	Dec. 5	-140	r. d. II	7	+12.011	+0.026	+12,067
							+11:997

Abhandi, d. K. S. Gesellech, d. Wissensch, XXIX.

				21	- 30			
	Dec. 30 Febr. 9	+2634m +3 42	o. d. II o. d. II	44 40	- 8:685 - 8 632	-0:001 -0:001	- 8:686 - 8,633	
86	Febr. 20	+4 3	o. d. II	13	- 8.648	-0.006	-8.654	
	Marz 9	+1 10	o. d. II	10	- 8,657	+0.002	- 8.655	
	Nov. 5	-2   5	I. d. II	44	- 8.638	+0.007	- 8.634	
	Nov. 9	-0.12	I. d. II	8	- 8.731	+0.008	- 8.723	
	Nov. 12	-1 33	I. d. II	9	-8.706	+0.018	- 8.688	
89	April 5	+1 13	r. d. II	9	-8.720	+0.028	- 8.692	
							- 8:670	
				22	<b>— 26</b>			
88	Nov. 10	+1h33m	I. d. II	10	- 2:374	+0:018	- 2:353	2F.
	Nov. 12	-257	I. d. H	9	-2.373	+0.024	- 2.349	
	Nov. 13	-249	I. d. II	10	-2.225	+0.027	-2.198	2F.1) 1
	April 5	+2 54	r. d. 11	12	- 2.313	+0.020	- 2.293	2 F.
89	April 19	+3 23	r. d. II	13	- 2.316	+0.022	- 2.294	2 F.
	1) Fäd	en verschw	rommen.				[- 2:297]	
							- 2:308	
					- 30			
	Dec. 2	+0 <sup>b</sup> 50 <sup>m</sup>	o. d. 11	6	- 8:067	0:000	- 8:067	
	Febr. 9	+2.55	o. d. 11	44	- 8.034	+0.004	- 8.033	
	Marz 8	+3 44	o. d. II	10	- 8.057	+0.001	- 8.056	
	Nov. 5	-1 38	I. d. II	10	- 8.077	0.000	- 8.077	
	Nov. 8	-2 32	I. d. II	9	- 8.077	-0.001	- 8.078	
	Nov. 10 Dec. 3	-0 14 +1 54	I. d. II r. d. I	7	- 8.011 - 7.956	-0.002	- 8.013 - 7.956	
	Dec. 4	+1 12	r. d. II	8	- 7.935	0.000	- 7.935	
	Dec. 5	+1 12	r. d. II	8	- 7.980	+0.001	- 7.979	
(,,,	Dec. o	72 10	1. 0. 11		- 7.500	+0.001		
							- 8:022	
					-14			
	Febr. 8	-0h12m	o. d. II	9	+12:586	-0.004	+12:582	
	Marz 8	+3 55	o. d. 11	10	+12.616	+0.007	+12.623	
	Nov. 5	-2 17	l. d. II	10	+12.603	-0.014	+12.589	
	Nov. 12	-0 37	L d. II	8	+12,694	-0.033	+12.661	
	Nov. 13 Dec. 3	-1 45 +1 21	l. d. 11 r. d. 1	7	+12,660	-0.024	+12.636	
	Dec. 4	+0 8	r. d. II	8	+12.770	+0.029	+12.628	
	Dec. 5	+0 18	r. d. II	7	+12.567	+0.002	+12.772	
00	Dec. 0	70 10	1. 0. 11	•	712.001	+0.071		
							+12:641	
					-11			
	Febr. 20	+3 <sup>h</sup> 15 <sup>m</sup>	o. d. 11	10	+13:234	-0:006	+13:228	
	Marz 10	+1 31	o. d. 11	44	+13.337	-0.001	+13.336	
	Nov. 10	-1 48	I. d. II	8	+13.279	+0.016	+13.295	
	Nov. 12 Dec. 3	-1 54 +2 32	L d. II	9	+13.199	+0.036	+13.235	
	Dec. 4	+2 32	r. d. I r. d. II	9	+13.330	-0.029	+13.301	
	Dec. 5	+1 32	r. d. II	8	+13.454	0.000 -0.074	+13.454	
99	Dec. 9		ч. п	0	+10.11	-0.074		
							+13:321	

				23-	- 40			
e m	Dec. 2	-0h51m	o. h. 11	10	-17:155	-0:002	-17:157	
	Dec. 30	+4 5	o. d. II	9	-17.133	+0.002	-17.228	
	Febr. 20	+2 48	o. d. II	40	-17.234	+0.002	-17.232	
	Marz 10	+0 58	e. d. II	14	-17.171	+0.003	-17.168	
88	Nov. 9	+0 33	I. d. II	8	-17.250	-0.009	-17.259	
88	Nov. 10	-1 45	I. d. II	10	-17.281	-0.007	-17.291	
88	Nov. 12	+0 49	I. d. II	9	-47.247	-0.025	-17.272	
89	April 4	+3 58	r. d. II	8	-47.147	-0.018	-17.165	
89	April 6	+3 32	r. d. II	8	-47.472	-0.013	-17.185	
							-17:217	
				21.	-15			
86	Febr. 8	-0h ( 2m	o. d. 11	10	+13:925	-0:003	+137922	
	Marx 8	+3 40	o. d. 11	10	+13.952	+0.005	+13.957	
	Nov. 5	-2 50	l. d. 11	8	+13.902	-0.012	+13.890	
	Nov. 8	-3 8	l. d. 11	8	+13.942	÷0.001	+13.943	
	Nov. 12	-0 47	I. d. II	8	+13.856	-0.021	+13.835	2 F.
	April 4	+2 57	r. d. II	8	+13.996	-0.030	+13.966	
	April 5	+4 42	r. d. II	8	+13.975	-0.044	+13.931	
							+13:921	
				21.	26			
00	V 10	ah aa-						
	Nov. 43	-2h38m	J. d. 11	12	- 1:036	+0:023	- 1:043	2 F.
	Dec. 7 Dec. 8	+3 24	I. d. II I. d. II	12	- 1.104 - 0.910	+0.020	- 1.084 - 0.880	2 F. 2 F.
	April 5	+3 46	r. d. 11	12	- 0.910	+0.030		
	April 19	+3 23	r. d. II	13	- 0.992	+0.024	- 0.968 - 0.912	2 F. 2 F.
69	Аринто	TO 20	1. 0. 11	1.5	- 0.570	TU.020		21.
							- 0:977	
				21-	- 30			
85	Dec. 30	$+2^{h} 5^{m}$	o, d. 11	10	- 6:671	0:000	- 6:671	
86	Febr. 8	+0 31	o. h. II	21	- 6.721	+0.00 f	-6.720	
	Febr. 9	+2 55	o. d. 11	10	-6.604	+0.001	-6.603	
	Febr. 25	+1 22	o. d. 11	40	- 6.616	$\pm 0.002$	- 6.644	
	März 8	+3 44	o. d. II	10	-6.650	+0.001	-6.649	
	Nov. 5	-043	l. d. II	8	- 6.629	+0.001	-6.628	
	Nov. 9	-0.23	I. d. II	6	- 6.643	0.000	- 6.643	
	Nov. 12	-1 33	l. d. II	9	- 6.709	+0.002	- 6.707	
	Dec. 5	+2 46	r. d. II	8	- 6.567	-0.006	- 6.573	
89	April 5	+3 43	r. d. II	8	- 6.669	÷0.005	- 6.664	
							- 6:650	
				25-	10			
	Nov. 9	$-2^{h}13^{m}$	I. d. 1	8	+21:789	+0:020	+21:809	1) 1
	Nov. 12	+1 50	I. d. II	7	+21.779	+0.043	+21.822	
	Nov. 13	-032	l. d. I	9	+21.647	+0.035	+21.682	1
	Dec. 3	+0 44	r. d. 1	8	+21.672	-0.034	+21.638	1
	Dec. 4	+0 39	r. d. 11	7	+21.746	-0.001	+21.745	-
88	Dec. 5	+0 6	r. d. II	7	+21.863	-0.078	+21.785	
	() Fäde	n verschw	ommen, so	hwaci	he Sterno		[+21:747]	
		echt zu bei					+21:759	

15.

			25	26				
88 Nov. 40 88 Nov. 42 88 Nov. 43 88 Dec. 4 88 Dec. 4 88 Dec. 5	-1 11 -2 19 -0 27 -0 23 +2 53	l. d. fl l. d. fl l. d. fl r. d. fl r. d. ff r. d. ff	10 10 11 17 12 15	- 0:562 - 0.542 - 0.345 - 0.463 - 0.460 - 0.372	+0:005 +0.012 +0.009 -0.007 -0.004 -0.022	- 0:557 - 0.530 - 0.336 - 0.470 - 0.464 - 0.394 [- 0:458]	2F.1) 2F. 2F.1) 2F. 2F. 2F.	
4) Fa	den verschv	vommen.				- 0:457		
			25	30				
85 Dec. 28 86 Febr. 28 88 Nov. 8 88 Nov. 40 88 Nov. 44 88 Dec. 4 88 Dec. 5	+2 54 -2 48 -0 34 -2 42 -1 19 -1 23	o. d. [[ o. d. f] l. d. ff l. d. ff i. d. ff r. d. f r. d. f r. d. f wach,	11 8 8 8 8 10 9 8	- 6:228 - 6:232 - 6:255 - 6:254 - 6:144 - 6:243 - 6:074 - 6:165	-0:002 +0.003 -0.004 -0.009 -0.003 +0.009 -0.044 +0.043	- 6:230 - 6:229 - 6:256 - 6:260 - 6:147 - 6:204 - 6:422 [- 6:194]	1)	
		9	е н	auptstern.		- 0:190		
		~						
				-4				
88 Nov. 9 88 Nov. 44 88 Nov. 42 89 April 4	-1 18 -0 7	l. d. [ l. d. f] l. d. f] r. d. f[	8 8 9	+13:631 +13.127 +13.392 +13.136	+0:015 +0.007 +0.032 +0.034	+43:646 +43.434 +43.424 +43.470 +43:493		
			27	10				
85 Dec. 28 86 Febr. 8 86 Febr. 9 86 Febr. 9 88 Nov. 9 88 Nov. 44 88 Nov. 42 88 Nov. 43 88 Dec. 3 88 Dec. 5	+2 58 +2 9 +0 46 -3 42 -1 3 -0 23 -0 11 +2 43 +1 50	o. d. II o. d. II o. d. II l. d. II l. d. II l. d. II r. d. II r. d. II r. d. II	11 16 12 11 7 9 9 8 7 8	+22:593 +22:622 +22:594 +22:612 +22:634 +22:633 +22:638 +22:547 +22:743 +22:744 +22:704	-0:004 -0.003 -0.004 0.000 +0.008 +0.004 +0.017 +0.012 -0.012 -0.000 -0.030	+22:592 +22.619 +22.590 +22.612 +22.542 +22.607 +22.655 +22.529 +22.734 +22.744 +22.674		
					-,,,,,	+22:627		
			27	26				
88 Nov. 40 88 Nov. 42 88 Nov. 43 89 April 5 89 April 19	+0 32 -2 32 +2 56	l. d. ll l. d. ff l. d. ff r. d. ff r. d. ff	8 12 10 12 13	+ 0:334 + 0.476 + 0.427 + 0.490 + 0.464	-0:012 -0.021 -0.016 -0.016 -0.017	+ 0:322 + 0.455 + 0.411 + 0.474 + 0.444 + 0:421	2 F. 2 F. 2 F. 2 F. 2 F.	
						+ 0:421		

٠.	9	.,,,,,,	MOREINE	CHE TERM		a pro Cire		- 102.	2.0
					27	- 30			
96	Nov.	5	-0h12m	l. d. 1	7	- 5:224	-0:019	- 5:243	
	Nov.		+1 36	I. d. II	8	- 5.481	-0.044	- 5.225	
	Nov.		-1 17	i. d. i	12	- 5.132	-0.034	- 5,166	
	April		+3 46	r. d. 11	8	- 5.210	-0.066	- 5.276	
	April		+3 22	r. d. 11	8	- 5,145	-0.061	- 5.206	
	April		+3 54	r. d. 11	10	- 5.167	-0.053	- 5,220	
							-,		
								- 5:223	
						-14			
86	Febr.	20	+3h38m	o. d. II	8	+47:255	-0:001	+17:254	
86	Marz	9	+4 36	o. d. 11	10	+17.287	-0.002	+17.285	
88	Nov.	5	-250	I. d. II	8	+17.240	-0.002	+17.238	
	Nov.	8	-3 8	l. d. 11	9	+17.308	0.000	+17.308	
	Nov.		-0.37	l. d. 11	8	+17.235	-0.003	+17.232	
	Dec.	3	+1 21	r. d. 1	7	+17.316	+0,005	+17.321	
	Dec.	4	+0 8	r. d. ll	7	+17.244	+0.002	+17.246	
88	Dec.	5	+0 18	r. d. 11	8	+17.250	+0.012	+17.262	
								+17:268	
					30	30			
	Dec.		+2h34n	o. d. 11	14	- 3:422	0:000	- 3:422	
	Febr.		+3 12	o. d. 11	10	- 3.454	-0.001	- 3.455	
	Febr.		+4 3	o. d. 11	14	- 3.109	-0.009	- 3.418	
	Marz		+1 10	o. d. 11	9	- 3.406	+0.002	- 3.404	
	Nov.	5	-2 5	I. d. 41	11	- 3.388	+0.012	- 3.376	
	Nov.	9	-0 12	I. d. II	8	- 3.512	+0.012	- 3.500	
	Nov.		-1 33	I. d. II	9	- 3.459	+0.025	- 3.434	
89	April	5	+3 13	r. d. H	9	- 3.404	+0.035	- 3.369	
								- 3:422	
					29	14			
88	Nov.	5	-3h 9m	I. d. 11	6	+18:440	-0:003	+18:437	
88	Nov.	10	-134	1. d. 11	9	+18,609	-0.001	+18.608	
88	Nov.	11	+9 55	l, d, li	- 8	+18.526	0.000	+18.526 1	
88	Nov.	30	+0 49	r. d. 1	6	+18.542	-0.001	+18.541	ş
88	Dec.	4	-148	r. d. 1	9	+18,409	+0.004	+18.413	1
88	Dec.	4	-2 8	r. d. 11	8	+18.567	+0.001	+18,568	
88	Dec.	5	-440	r. d. 11	7	+18.551	+0.016	+18.567	
	()	Taste	rfeder an	Registrir-	Appar	at in Unord-		[+18:523]	
	- 1	gave	, Streifen	schlecht al	zules	en.		+18:531	
					90	30			
	Nov.	5	-4 h 38 m	l. d. 11	7	- 2:027	+0:011	- 2:016	
	Nov.	8	-2 32	l. d. 11	9	- 2.181	-0.009	- 2.190 21	
	Nov.		-0 39	I. d. II	10	- 2.161	-0.001	- 2.165 21	
	Dec.	1	-0 43	r. d. 1	13	- 2.212	-0.002	- 2.244 21	
	Dec.	4	-0 32	r. d. 11	14	- 2.249	+0.007	- 2.242 21	
88	Dec.	5	+3 9	r. d. 11	13	- 2.166	-0.045	- 2.211, 21	r.

# REINHOLD HAHN,

				34	o na	upistern.				
					31-	-15				
	Nov.		-2h50m -3 8	I. d. II I. d. II	8	+21:002	-0:013 +0.002	+20:989		
88	Nov.	44	-0 11	I. d. II	8	+20.996	-0.004	+20.992		
	Dec.		+1 21	r. d. 1		+20.997	+0.027	+21.024		1
	Dec.		+0 8	r. d. II		+21.101	+0.002	+21.103		
88	Dec.	5	÷0 18	r. d. II	8	+20.942	+0.066	+21.008		
								[+21:022]		
					31.	- 26		+21:022		
0.0		0"			10		. 0:001			
	Febr. Marz		+1 55° +1 15	o. d. II o. d. II	12	+ 6:164	+0.012	+ 6:165 + 6.065	')	
	Nov.		+1 12	l. d. II	5	+ 6.064	+0.012	+ 6.075		
	Dec.		-0 53	r. d. II		+ 6.414	+0.017	+ 6.434		
	Dec.	5	-0 31	r. d. II	9	+ 6.169	-0.059	+ 6.110		
	Dec.	7	+2 33	I. d. II		+ 6,160	+0.013	+ 6.173		
	Dec.	8	+3 2	1. d. II	7	+ 6,129	+0.022	+ 6.151		
	Dec.		+4 1	1. d. II		+ 6.033	+0.022	+ 6.055		
110	Dec.				•••	+ 0.000				
		1) *	31 sehr so	hwach.				+ 6:116		
					31-	<b>—</b> 30				
88	Nov.	5	-1h38m	l. d. II	44	+ 0:311	+0:002	+ 0:313	2F.	
	Nov.		-2 32	l. d. II	9	+0.524	0.000	+0.524	2F.	
	Nov.		-0 39	l. d. II		+0.128	0.000	+0.128	2F.	
	Dec.	4	-0 43	r. d. 1		+0.392	0.000	+0.392	2F.	1
	Dec.	4	-0 32	r. d. II		+0.128	+0.004	+0.129	2F.	
88	Dec.	5	+3 9	r. d. Il	12	+ 0.444	-0.002	+0.439	2F.	
								[+ 0:421]		
				0.	. 17.			+ 0:423		
				- 52		uptstern.				
					33 -	14				
	Marz		+4234=	o. d. II	10	+22:098	0:000	+22:098		
	Dec.	3	+2 32	r. d. 1	8	+22.280	-0.034	+22.219		į
	Dec.	\$	+4 32	r. d. II	8		0.000	+22.105		
88	Dec.	5	+2 3	r. d. II	8	+22.172	-0.083	+22.089		
								[+22:135]		
					33	- 40		+22:119		
	Nov.		-1, 4=	l. d. 11	7	- 8:531	-0:004	- 8:535		
	Nov.		-2 25	l. d. II		- 8.532	-0.011	- 8.543		
	Nov.		-4 33	r. d. II		- 8.544	-0.004	- 8.548		
	Nov.		-0 39	r. d. 1		- 8.500	-0.001	- 8.504		į
	Dec.	ě	-1 48	r. d. II	8	- 8.505	0.000	- 8.505		
88	Dec.	5	-1 21	r. d. II	7	- 8.394	+0.019	- 8.375		
								[- 8:502]		

				33 -	- 44			
88	Nov. 30 Dec. 4	-1 h 8 m +3 11	l. d. 1 r. d. 11	9	-12:333 -12:360	-0:011 0.000	-12:313 -12:360	1
	Dec. 5 Dec. 8	+1 43 +3 55	r. d. 11 1. d. 11	8	-12.397 -12.435	+0.076 -0.030	-12.321 -12.465 [-12:372]	
							-12:376	
				34 -	40			
	Dec. 2	-0h54m	o. h. 11	9	- 7:278	-0:001	- 7:279	
85	Dec. 30	+4 5	o. d. 11	9	- 7.324	-0.003	-7.327	
86	Febr. 20	+2 48	o. d. II	10	-7.302	+0.001	-7.304	
86	Marz 10	+0 58	o. d. 11	43	-7.234	+0.003	-7.234	
88	Nov. 9	+0 33	<ol> <li>d. II</li> </ol>	8	-7.336	+0.001	-7.335	
88	Nov. 10	-1 15	1. d. 11	10	-7.360	+0.003	- 7.357	
88	Nov. 12	-0 49	l. d. 11	9	-7.329	+0.007	-7.322	
89	April 4	+3 58	r. d. II	8	-7.307	+0.012	-7.295	
89	April 6	+3 35	r. d. 11	8	- 7.299	+0.010	-7.289	
							- 7:304	
							7.300	
				34-	- 6 6			
	Nov. 5	$-3^{k}33^{m}$	I. d. II	10	-11:088	-0:009	-11:097	
	Nov. 10	+2 2	l, d. 14	10	-11.157	-0.008	-11.165	
	Nov. 12	+1 5	L d. 11	9	-11.206	-0.020	-11.226	
	April 1	+2 38	r. d. 11	9	-44.059	-0.024	-44.083	
	April 5	+3 35	r. d. 11	9	-11.123	-0.026	-11.119	
89	April 6	+3 19	r. d. 11	8	-11.146	-0.020	-11.166	
							-11:118	
				35	- 4			
					-			
	Nov. 9	-2h54m	l. d. 1	- 8	+54:884	+0:017	+51:898	
	Nov. 11	-1 18	l. d. 11	8	+51.595	+0.009	+51.604	
	Nov. 12	-0 7	I. d. 11	8	+51.689	+0.034	+51.723	
89	April 4	+3 12	r. d. 11	9	+51.662	+0.038	+51.700	
							+51:731	
				35	-10			
60	Nov. 9	-3 <sup>b</sup> 12 <sup>m</sup>	1. d. fl	7	+30:837	+0:010	+30:817	
		-1 3	1. d. 11	9	+30,809	+0.005	+30.814	
	Nov. 11 Nov. 12	-0 23	1. d. 11	9	+30,809	+0.005	+30.819	
	Nov. 12	-0 23	l. d. 1	8	+30.837	+0.020	+30.853	
	Dec. 3	+2 43	r. d. II	7	+30.880	-0.014	+30.866	
	Dec. 4	+1 50	r. d. fl	ź	+30.939	0.000	+30,939	
	Dec. 5	+0 6	r. d. 11	6	+30.795	-0.037	+30.758	
	Dec. 5	+1 23	r. d. 11	7	+30.914	-0.037	+30.877	

+30:854

444		10	AND O	LD ILAMA,			
			35-	- 26			
86 Febr. 8	+1h 16m	o.hd.II	20	+ 8:677	0:000	+ 8:677	
86 Febr. 28	+1 18	o. d. II	14	+ 8.717	-0.002	+ 8.715	
88 Nov. 12	+0 32	1. h. II	11	+ 8.615	-0.021	+8.594	2F.
88 Nov. 43	-2 32	l. d. H	5	+ 8.748	-0.012	+8.736	2F.
89 April 5	+3 5	r. d. 11	9	+ 8,630	-0.019	+ 8.611	
89 April 19	+3 36	r. d. 11	10	+ 8.622	-0.021	+ 8.604	
						+ 8:656	
			35	-30			
88 Nov. 5	-0 <sup>h</sup> 12 <sup>m</sup>	I. d. II	6	+ 2:883	-0:017	+ 2:866	
88 Nov. 12	+1 36	l. d. 11	8	+ 3.059	-0.042	+ 3.017	
88 Nov. 13	+1 17	1. d. I	12	+3.070	-0.032	+3.038	
89 April 4	+3 16	r. d. 11	8	+ 2,980	-0.061	+ 2.919	
89 April 5	+3 22	r. d. 11	8	+ 3.007	-0.056	+ 2.951	
89 April 6	+3 54	r. d. ll	10	+ 2.996	-0.049	+ 2.947	
						+ 2:956	
				-15			
88 Nov. 5	-2h50m	l. d. 11	8	+21:292	-0:012	+24:280	
88 Nov. 8	-3 8	l. d. II	9	+21.134	+0.002	+24.136	
88 Nov. 11	-0 11	1. d. II	9	+24.274	-0.004	+24.270	
88 Dec. 3	+1 21	r. d. 11	7	+24.169	+0.026	+24.195	
88 Dec. 4	+0 8	r. d. II	8	+21.217	+0.002	+21.219	
88 Dec. 5	+0 18	r. d. II	8	+24.410	+0.063	+24.173	
						+24:212	
			36	26			
88 Dec. 4	-0h 53m	r. d. II	10	+ 9:254	-0:001	+ 9:253	
88 Dec. 5	-0 31	r. d. II	9	+ 9.360	-0.062	+ 9,298	
88 Dec. 7	+2 33	l. d. II	8	+ 9.352	+0.014	+ 9,366	
88 Dec. 8	+3 2	l. d. 11	8	+ 9.302	+0.022	+ 9.324	
88 Dec. 43	+4 1	I. d. II	11	+ 9.251	+0.022	+ 9.273	
						+ 9:303	
			36	- 30		7 3.000	
85 Dec. 30	+2h 5m	o. d. II	8	+ 3:509	0:000	+ 3:509	
88 Nov. 9	-0 23	l. d. II	6	+ 3.578	+0.004	+ 3.579	
88 Nov. 10	-0 14	l. d. 11	9	+ 3.580	+0.002	+ 3.582	
88 Nov. 11	-0 40	i. d. II	7	+ 3.535	0.000	+ 3.535	
88 Dec. 1	-1 19	r. d. 1	10	+ 3.491	0.000	+ 3,491	1
88 Dec. 4	-1 23	r. d. ll	8	+ 3.574	0.000	+ 3.574	1
88 Dec. 5	-1 3	r. d. II	8	+ 3.496	-0.005	+ 3,491	
oo bee. o	0	1. u. n		+ 3.450	-0.000	+ 3:537	
			37.	- 40		+ 3:544	
86 Marz 10	+0128m	o. d. II	12	- 4:462	+0:003	- 4:459	
88 Nov. 8	-3 32	I. d. II	8	- 4.484	-0.001	- 1.482	
88 Nov. 10	-1 1	l. d. 11	7	- 4.460	+0.004	- 4.456	
88 Nov. 12	-1 1 -2 18	l. d. 11	9	- 4.460 - 4.463	+0.010	- 4.456 - 4.453	
88 Nov. 30	-1 33	r. d. II	9	- 4.408	+0.002	- 4.406	
88 Dec. 4	+2 57	r. d. 11	9	- 4.333	-0.001	- 4.400	
88 Dec. 5	+1 54	r. d. II	8	- 4.397	-0.025	- 4.422	
89 April 4	+3 58	r. d. II	5	- 4.546	+0.013	- 4.533	
оз арти т	70 00	1. d. 11	3	- 4.340	₹0.013		
						- 4:443	

73]

```
37-14
             -3h 33m
                       l. d. 11
                                     - 81937
88 Nov. 5
                                                -0:007
                                                         -8:244
88 Nov. 8
             -348
                       l. d. 11
                                     -8.410
                                               -0.603
                                                         -8.443
88 Nov. 10
             +1 45
                       l. d. 11
                                 9
                                     -8.303
                                                -0.008
                                                         - 8.341 1
88 Nov. 12
             -2 14
                       l. d. II
                                     -8.294
                                                -0.014
                                                         -8.308
                                 8
88 Nov. 30
             -18
                       r. d. 1
                                 9
                                     -8.274
                                                -0.005
                                                         -8.276
88 Dec
             +3 11
                       r. d. II
                                10
                                     -8.200
                                                -0.001
                                                         -8.204
88 Dec. 5
             +1 & 43
                       r. d. Il
                                8
                                     -8.250
                                                +0.031
                                                         -8.219
89 April 5
             +3 35
                       r. d. H
                                 8
                                     -8.256
                                                -0.015
                                                         -8.274
                                 8
                                     - 8.317
                                                         -8.329
89 April 6
             +3 19
                       r. d. 11
                                                -0.012
                                                         [- 8:286]
      4) Fäden undeutlich.
                                                         - 8:286
                                38 - 40
             -3h 44m
88 Nov. 8
                       l. d. li
                                 9
                                     -4:583
                                                0:000
                                                         -4:583
88 Nov. 40
             -0.58
                       l. d. II
                                 7
                                     -4.734
                                                +0.006
                                                         -4.728
88 Nov. 12
             -2 25
                       l. d. 11
                                43
                                     -4.851
                                                +0.015
                                                         -4.836
             -1 21
                                     -4.608
                                                +0.003
88 Nov. 30
                       r. d. 1
                                40
                                                         -4.605
                       r. d. H
88 Dec. 4
             +3 0
                                9
                                     -4.493
                                                -0.004
                                                         -4.494
                       r. d. 11
                                 8
88 Dec. 5
             +152
                                     -4.417
                                                -0.045
                                                         - 4,462
                                                         - 4:618]
                                                         - 4:649
                                38 - 44
88 Nov. 5
             -3h47m
                       l. d. 11
                                10
                                    - 8*539
                                                -0:005
                                                         -8:544
88 Nov. 8
             -3 36
                       l. d. 11
                                     -8.490
                                                -0.662
                                                         -8.199
                                8
88 Nov. 30
                       l. d. 1
                                                         - 8,127
             -4 5
                                 9
                                     -8,423
                                                -0.00$
             +3 3
                       r. d. 11
                                     - 8.597
                                                -0.001
88 Dec. 4
                                                         -8.598
88 Dec. 5
             +150
                       r. d. H
                                 9
                                     -8.322
                                                +0.021
                                                         -8.301
                                                         [- 8:472]
                                                         - 8:477
                                39 - 10
88 Nov. 9
            -2h 43m
                       l. d. 1
                                     +33:446
                                               +0:020
                                                         +33:436 1)
88 Nov. 12
             +4 56
                       l. d. 11
                                               +0.044
                                     +33,549
                                                         +33.593
88 Nov. 43
             -0.32
                       l. d. 1
                                 9
                                     +33.490
                                                +0.035
                                                         +33,525
                       r. d. 1
88 Dec. 3
             +0 44
                                10
                                     +33.486
                                                -0.034
                                                         +33,452
             +0 39
                       r. d. 11
                                     +33.481
88 Dec.
                                9
                                                 0.000
                                                         +33.481
88 Dec. 5
             +0 6
                       r. d. 11
                                     +33.594
                                                -0.688
                                                         +33,506
                                                         +33:499
      () Fäden verschwommen.
                                39 - 26
85 Dec. 28
             +3h 13m
                       o. d. 11
                                9
                                     +11:328
                                                -0:002
                                                         +11:326
86 Febr. 8
             +0.31
                       o. h. H
                                13
                                     +11,335
                                                0.000
                                                         +11.335
86 Febr. 9
                       o. d. 11
                                     +11.267
             +2 26
                                40
                                                -0.002
                                                         +11,265
86 Febr. 25
             +4.55
                       o. d. 11
                                10
                                     +11.285
                                                -0.002
                                                         +11.283
86 Febr. 28
             +2 6
                       o. d. 11
                                6
                                     +11.268
                                               -0.002
                                                         +11.266
             +1 12
                       I. d. H
                                 8
                                     +11,278
88 Nov. 10
                                                +0.002
                                                         +11.280 1
88 Nov. 11
             -1 54
                       l. d. II
                                     +41,260
                                                +0.003
                                                         +11.263
88 Nov. 13
                       l. d. 1
                                 9
                                     +11.298
             -1 2
                                                +0.003
                                                         +11,301
                                                         +11.276
89 April 5
             +3 5
                       r. d. 11
                                 9
                                     +11.278
                                                -0.009
89 April 19
             +3 36
                       r. d. II
                                 8
                                     +11.257
                                                -0.003
                                                         +11.254
                                                         +11:285
```

1 Vom 5. Durchgang an Fäden verschwommen.

			39.	- 30			
85 Dec. 28	8 -0 <sup>k</sup> 46 <sup>m</sup>	o. d. 11	11	+ 5:644	-0:002	+ 5:642	
86 Febr. 8		o. d. 11	10	+ 5.591	0.000	+ 5.591	
	5 -0 43	I. d. II	9	+ 5.600	-0.007	+ 5,593	
	8 -2 13	i. d. ii	8	+ 5,645	+0.001		1)
	9 -3 38	l. d. 11	9	+ 5.670	-0.008	+ 5.662	,
88 Nov. 16		I. d. 11	8	+ 5,575	-0.008	+ 5.567	
88 Nov. 43		I. d. 1	9	+ 5,603	-0.015	+ 5.588	
89 April		r. d. 11	8	+ 5.629	-0.030	+ 5.599	
89 April		r. d. II	8	+ 5.590	-0.027	+ 5,563	
89 April (		r. d. 11	10	+ 5.657	-0.024	+ 5,633	
	rch Wolken.					+ 5:608	
1, 100	ca worken.	5.0	) Ha	uptstern.			
				-15			
88 Nov. 1	5 -2 <sup>h</sup> 50 <sup>m</sup>	I. d. 11	8	+30:772	-0:011	+30:761	
	8 -3 8	1. d. 11	9	+30:772	+0.003	+30.757	
88 Nov. 1		1. d. 11	7	+30.754	-0.002	+30.757	
	3 +1 21	r. d. 1	7	+30.863	+0.002	+30.734	ı
	4 +0 8	r. d. 1	9	+30.703	+0.003	+30,975	9
	5 +0 18	r. d. II	8	+30.761	+0.062	+30.823	
oo Dec.	0 +0 10	r. a. 11		+30,701	+0.002		
						[+30:818]	
				<b>— 26</b>		+30:826	
	-0 <sup>h</sup> 53 <sup>m</sup>	r. d. ll	10	+15:811	0:000	+15:811	
	5 -0 34	r. d. 11	8	+16.011	-0.063	+15.948	
88 Dec. 7		l. d. 11	8	+15.960	+0.014	+45.974	
88 Dec. 13	8 +3 2 3 +4 1	l. d. li	10	+15.971	+0.024	+15.995	
88 Dec. 1.	3 +4 1	I. d. 11	10	+10.862	+0.024		
				- 30		+15!923	
	9 -0 <sup>h</sup> 23 <sup>m</sup> 0 -0 14	l. d. 11	6	+10:162	+0:002	+10:164	
88 Nov. 40		l. d. II	9	+10,262	+0.002	+10.264	
88 Nov. 1		1. d. 11 r. d. 1	7 8	+10.146	+0.002	+10.148	
	1 -1 19 4 -1 23	r. d. 1 r. d. 11	9	+10.216	+0.004	+10.230	1
	5 -4 3	r. d. 11	8	+10.227	+0.008	+10.235	
an Dec.	0 -1 3	r. a. 11		+10.227	+0.008		
						[+10:215]	
			10			+10:212	
				14			
	2 +0121"	o. d. 11	10	+32:285	+0:002	+32!287	
	8 -0 31	o. d. II	9	+32.394	-0.002	+32.392	
86 Febr. 20		o. d. 11	15	+32.377	-0.001	+32.376	
	+1 36	o. d. 11	19	+32,161	-0.003	+32.458	
	5 -3 9	l. d. []	7	+32.304	0.000	+32,304	
88 Nov. 10		l. d. 11	9	+32,503	+0.003	+32.367	41
88 Nov. 14		1. d. 11	6	+32.365	+0.002	+32.367	7
	1 -1 48	r. d. I	9	+32.198	+0.002	+32.200	
	1 -1 48	r. d. 1 r. d. 11	8	+32.519	+0.002	+32,522	
	5 -1 40	r. d. 11	7	+32.319	+0.005	+32.392	
						+32:384	
() Tas	terfeder in U	nordnung;	Streife	en schlecht a	bzulesen.	+32:384	

			12	30			
85 Dec. 30	+2h34m	o. d. 11	10	+11:711	~0!002	+11:709	
86 Febr. 9	+3 12	o. d. 11	9	+11.615	-0.002	+11.613	
86 Febr. 20	+4 3	o. d. 11	11	+11.783	-0.010	+11.773	
88 Nov. 5	-2 5	1. d II	11	+11.747	+0.015	+11.762	
88 Nov. 9	-0 12	I, d. 11	8	+11.632	+0.015	+11.647	
88 Nov. 12	-1 33	I, d. 11	8	+11.766	+0.030	+41.796	
88 Dec. 3	+2 23	r. d. I	9	+11.858	-0.025	+11.833	
88 Dec. 4	+1 39	r. d. H	9	+11.728	0.000	+11.728	
88 Dec. 5	+2 9	r. d. 11	5	+11.794	-0.064	+11.730	
						+11:732	
			43	14			
86 Febr. 8	-0h (2m	o. d. 11	10	+34:343	-0:003	+34:340	
86 Marz 8	+3 55	o. d. 11	10	+34.264	-0.005	+34.259	
88 Nov. 5	-2 50	I. d. 11	8	+34,330	-0.014	+34.319	
88 Nov. 8	-3 8	I. d. II	8	+34,105	+0.004	+34.109	
88 Nov. 11	-0 11	I. d. 11	9	+34.269	-0.002	+34.267	
88 Dec. 3	+1 21	r. d. I	7	+34.120	+0.026	+34.446	
88 Dec. 4	+0 8	r. d. 11	9	+34.340	+0.003	+34.343	
88 Dec. 5	+0 18	r. d. II	8	+34.127	+0.064	+34.191	
						[+34:247]	
						+34:253	
			43	-26			
88 Dec. 4	-0153=	r. d. 11	9	+19:323	0:000	+19:323	
88 Dec. 5	-0 31	r. d. II	9	+19.453	-0.062	+19.391	
88 Dec. 7	+2 33	l. d. 11	8	+19.452	+0.014	+19.466	
88 Dec. 8	+3 2	I. d. 11	7	+19.339	+0.023	+19.362	
88 Dec. 43	+4 1	I, d. 11	10	+19.440	+0.024	+19.464	
						+19:404	
			43	30			
88 Nov. 9	-0h 93 m	I. d. II	6	+13:687	+0:003	+13:690	
88 Nov. 10	-0-23-	i. d. ii	6	+13.650	+0.002	+13.652	
88 Nov. 11	-0 40	i. d. 11	8	+13.667	+0.002	+13,669	
88 Dec. 1	-1 19	r. d. I	9	+13.644	0.000	+13.654	
88 Dec. 4	-1 23	r. d. 11	8	+13.684	+0.001	+13.685	
88 Dec. 5	-1 3	r. d. 11	8	+13.685	-0.005	+13,680	
						[+13:670]	
						+13:672	
		6.0	Ha	upistern.		1101011	
			45	10			
85 Dec. 28	+9h 94 m	o. d. II	44	+441933	-0:004	+41:932	
86 Febr. 28	+0 46	o. d. II	14	+41,962	-0.002	+41,960	
88 Nov. 9	-2 13	l. d. 1	9	+41,893	+0.015	+11.908	15
88 Nov. 12	-0 23	l. d. 11	9	+41.923	+0.030	+41.953	i
88 Nov. 12	-1 50	i. d. 11	7	+41.920	+0.030	+41,950	
88 Dec. 3	+0 44	r. d. 1	10	+41.883	-0.021	+41.862	
88 Dec. 4	+0 39	r. d. II	- 8	+41.847	0,000	+41.847	
88 Dec. 5	+0 6	r. d. II	7	+41.963	-0.059	+41.904	
4) Pad	en verschw	ommen				+\$1:915	
i, rau	· · · · · · · · · · · · · · · · · · ·	ommen.					

			45	26			
85 Dec. 28	+1143m	o. d. 11	11	+19:551	-0:001	+19:550	
86 Febr. 8	+2 39	o. d. II	19	+19.637	-0.001	+19,636	
86 Febr. 28	+1 18	o. d. 11	41	+19.695	-0.003	+19.692	
88 Nov. 10	+0 15	l. d. 11	8	+19,606	-0.002	+19,604	
88 Nov. 11	-1 44	i. d. ii	9	+19.644	0.000	+19.644	
88 Nov. 13	-1 2	i. d. i	9	+19.792	-0.004	+19.788	
89 April 3	+2 57	r. d. 11	9	+19.798	-0.010	+19.788	
89 April 5	+3 5	r. d. II	9	+19.717	-0.007	+19.710	
89 April 19	+3 36	r. d. 11	9	+19 766	-0.008	+19.758	
						+19:686	
						+10.000	
			45	<b>— 30</b>			
88 Nov. 5	-0h \$3m	I. d. II	9	+14:128	-0:011	+14:117	
88 Nov. 8	-2 13	l. d. 11	8	+14.009	+0.002		1)
88 Nov. 9	-3 38	I. d. II	8	+14.051	-0.012	+14.039	•
88 Nov. 41	-2 12	I. d. II	8	+14,106	-0.004	+14,102	
88 Nov. 12	+1 36	l. d. 11	8	+14.010	-0.031	+13.979	
88 Nov. 13	-1 2	I. d. I	9	+43.998	-0.023	+13.975	
89 April 4	+3 46	r. d. 11	8	+14.050	-0.047	+44.003	
89 April 5	+3 22	r. d. II	8	+13.989	-0.044	+13.945	
89 April 6	+3 54	r. d. 11	40	+14.012	-0.038	+13.974	
f) Dur	ch Wolken	beobachte	ι.			+14:016	
			46	14			
85 Dec. 2	+0 <sup>k</sup> 21 <sup>m</sup>	o. d. II	10	+37:955	+0:002	+37:957	
86 Febr. 8	-0 31	o. d. 11	7	+38.044	-0.006	+38.038	
86 Marz 9	+1 36	o. d. II	10	+38.100	-0.003	+38.097	
88 Nov. 5	-3 9	l. d. 11	7	+37.939	+0.002	+37.941	
88 Nov. 10	-1 34	I. d. II	8	+37.945	+0.003	+37.948	
88 Nov. 11	+0 55	l. d. 11	7	+37.927	-0.003		1)
88 Nov. 30	+0 49	r. d. I	6	+37.903	-0.004	+37.902	
88 Dec. 4	-1 48	r. d. I	9	+38.125	-0.015	+38.110	
88 Dec. 4	-2 8 -1 40	r. d. II r. d. II	8	+38.170	-0.008 -0.052	+38,162	
88 Dec. 5	-1 40	r. a. 11	1	+38.170	-0.05Z		
				at in Unord	nung;	[+38:019]	
Stre	eifen schlec	ht abzulese	n.			+38:021	
			16	30			
88 Nov. 5	-2h 5m	1. d. 11	9	+17:571	+0:011	+17:582	
88 Nov. 12	~1 33	I. d. II	6	+17.502	+0.021	+17.523	
88 Dec. 3	+2 23	r. d. 1	9	+17.551	-0.017	+17.534	
88 Dec. 4	+1 39	r. d. II	9	+17.506	0.000	+17.506	
88 Dec. 5	+2 9	r. d. II	5	+17.574	-0.045	+17.529	
						[+17:535]	
						+17:535	
						+11:000	

-

77]

88	Nov.	9	-2554m	l. d. 1	8	+67:967	+0:007	+67:974	1
88	Nov.	9	-045	1. d. 11	6	+67.936	+0.007	+67.943	•
88	Nov.	11	-4 48	1. d. II	8	+67.927	+0.009	+67.936	
88	Nov.	12	-0 7	1. d. II	8	+68.026	+0.001	+68.027	
88	Dec.	3	+3 43	r. d. II	8	+68.020	+0.019	+68.039	
88	Dec.	4	+2 33	r. d. II	8	+68.070	+0.010	+68.080	
88	Dec.	5	+0 51	r. d. II	8	+67.900	+0.033	+67.933	

[+67:990] +67:992

+44:436

#### 47-10

88	Nov.	11	-4 m 3 m	<ol> <li>d. II</li> </ol>	7	+47:191	+0:003	+47:194	
	Nov.		-0 23	l. d. II	8	+47.006	+0.002	+47.008	
88	Nov.	43	-0 11	l. d, 1	8	+47.027	0.000	+47.027	
88	Dec.	3	+2 43	r. d. II	7	+47.243	+0.004	+47.247	
88	Dec.	3	+2 55	r. d. II	8	+47.059	+0.004	+47.063	
88	Dec.	å	+1 50	r. d. II	8	+47.184	+0.002	+47.186	
88	Dec.	4	+2 2	r. d. H	8	+47.110	+0.002	+47.112	

[+47:120] +47:127

#### 48-14

85	Dec. 30	+3h 8m	o. d. II	9	+44:380	+0:002	+44:382	
86	Febr. 20	+1 48	o. d. II	9	+44.400	-0.003	+44.397	
86	Marz 40	+0 24	o. d. II	10	+44.530	~0.003	+44.527	
88	Nov. 9	+0 10	I. d. I	9	+44.356	+0.010	+44.366	
88	Nov. 10	-1 48	1. d. 11	8	+44.380	+0.010	+44.390	
88	Nov. 11	+0 55	l. d. Il	8	+44.384	+0.005	+44.386	4).
	Nov. 12	-1 54	1. d. 11	9	+44.410	+0.019	+44.429	
88	Nov. 30	+0 49	r. d. 1	6	+44.457	+0.007	+44.464	
88	Dec. 4	-148	r. d. 1	9	+44.434	-0.004	+44.430	
	Dec. 4		r. d. ll		+44.559	+0.001		

Tasterfeder am Registrir-Apparat in Unordnuog, deshalb Streifen schlecht abzulesen.

## 48-40

86	Febr. 5	-2h 3m	o. d. 11	10	+13:928	-0:002	+13!926
86	Febr. 20	+2 24	o. d. II	44	+43.864	+0.004	+13.862
86	Marz 40	+0 58	o. d. II	4.4	+43.939	-0.002	+13.937
88	Nov. 10	-2 15	1. d. II	9	+13.979	-0.012	+13.967
88	Nov. 44	-238	1. d. II	7	+13.853	-0.004	+13.849
88	Nov. 12	-2 42	<ol> <li>d. II</li> </ol>	8	+13.025	-0.033	+13.992
89	April 4	+3 58	r. d. ll	8	+13.959	-0.054	+13.908
							+13:920

# REINBOLD HARN,

				49	4			
88	Nov. 9	-0h45m	I. d. II	7	+75:923	-0:001	+75:922	
88	Nov. 11	-1 18	t. d. 11	7	+75,959	+0.002	+75.961	
	Nov. 12	-0 7	I. d. II	8	+75,969	-0.005	+75.964	
88	Dec. 3	+3 13	r. d. II	8	+75.897	+0.012	+75.909	
88	Dec. 4	+2 33	r. d. II	8	+75.905	+0.003	+75.908	
88	Dec. 5	+0 54	r. d. II	9	+75.894	+0.026	+75.947	
							+75:930	
				49	5			
89	April 4	+2h (9m	r. d. II	8	+69:176	+0:028	+69:204	
	April 5	+2 19	r. d. II	8	+69.212	+0.027	+69.239	
	April 6	+2 35	I. d. II	8	+69,120	-0.012	+69.108	
	April 19	+4 4	1. d. II	8	+69.074	+0.009	+69.083	
							+69:157	
				49	10			
88	Nov. 43	-1h 2m	l. d. 1	7	+55:061	-0:017	+55:044	
88	Dec. 3	+2 55	r. d. 11	8	+55.007	+0.023	+55.030	
88	Dec. 4	+2 2	r. d. II	8	+55.072	+0.003	+55.075	
88	Dec. 7	+3 8	t. d. II	8	+55.084	-0.008	+55.076	
88	Dec. 8	+3 25	t. d. II	8	+55.165	-0.017	+55.448	
89	April 5	+2 40	r. d. II	'8	+55.075	-0.034	+55.041	
							+55:069	
				50	1 4			
	Dec. 30	+3 <sup>h</sup> 8 <sup>m</sup>	o. d. II	9	+48:607	0:000	+48:607	
	Febr. 20	+4 48	o. d. II	10	+48.569	-0.003	+48.566	
	Marz 10	+0 24	o. d. II	4.6	+48.732	-0.005	+48.727	
	Nov. 9	+0 10	1. d. 1	8	+48.547	+0.006	+48.553	
88	Nov. 10	-1 48	t. d. li	8	+48,630	+0.007	+48.637	
88	Nov. 11	+0 55	I. d. It	8	+48,651	+0.005	+48.656	)
88	Nov. 12	-4.54	t. d. ti	9	+48.676	+0.009	+48.685	
88	Nov. 30	+0 49	r. d. 1	6	+48.667	+0.005	+18.672	
	Dec. 4	-1 48	r. d. 1	9	+48,712	+0.001	+48.743	
	Dec. 4	-2 8	r. d. II	8	+48.746	+0.002	+48.748	
88	Dec. 5	-1 10	r. d. II	7	+48.770	-0.008	+48.762	
					at in Unord	nung,	+48:666	
		nally Streife						

# 50 --- 40

85	Dec. 2	-0h45=	o. d. 11	9	+48:409	-0:002	+18:107
86	Febr. 5	-2 3	o. d. II	9	+18.096	0.000	+48,096
86	Febr. 20	+2 24	o. d. li	44	+18.113	+0.004	+48.414
86	Marz 10	+0 58	o. d. II	4.6	+48.204	-0.004	+18.200
88	Nov. 10	-2 45	t, d. II	9	+48.187	-0.016	+18.171
88	Nov. 44	-2 38	1. d. It	7	+18.147	-0.005	+18.142
88	Nov. 12	-2 42	I. d. II	9	+48.229	-0.042	+18.187
89	April 4	+3 58	r. d. II	8	+18.230	-0.067	+18.163

+18:147

79]	A	likrometri:	SCHE VERM	ESSU!	ig des Ste	RNBAUFENS	Σ 762.	229
				51-	10			
88 No	v. 12	+1 <sup>h</sup> 50 <sup>m</sup>	I. d. 11	6	+59:443	+0:037	+59:480	
88 No	v. 13	-0 32	1. d. 1	9	+59.380	+0.029	+59.409	1.
88 De		+0 44	r. d. 1	10	+59.446	-0.026	+59,390	ì
88 De	c. 4	+0 39	r. d. II	9	+59.556	+0.001	+59.557	3
88 De	e. 5	+0 6	r. d. li	6	+59.500	-0.070	+59.430	
							[+59:453]	
							+59:467	
					26			
86 Fe		+2h 26m	o. d. l1	9	+37:034	-0.002	+37:029	
86 Fe		+2 6	o. d. 11	6	+37.151	-0.003	+37.148	
88 No		+0 15	1. d. Il	8	+36.999	+0.002	+37.001	1)
88 No		-1 44	I. d. II	9	+37.158	+0.002	+37.160	
88 No		-1 2	l. d. 1	9	+37.274	+0.002	+37.276	1
88 De		-0 53	r. d. II	10	+37.218	+0.002	+37.220	
		-0 34	r. d. 11	9	+37.260	-0.002	+37.258	
	i) Vo	m 5. Durch	igang an Fi	iden	verschwomm	en.	[+37:156]	
					9.0		+37:147	
					<b>— 30</b>			
88 No		-0h 43m	l. d. II	9	+34:543	-0.008	+31:535	
88 No		-3 38	1. d. II	8	+31.377	+0.003	+31.380	
88 No		-2 12	I. d. II	8	+31.536	-0.008	+31.528	
88 No 88 De		-1 2 -1 19	l. d. 1	9	+31.580	-0.019	+31.561	1
88 De		-1 19	r. d. l r. d. ll	10	+31.383	+0.012	+31.395	1
88 De		-1 z3 -1 3	r. d. II	8	+31.423	+0.003	+31.426	
00 De		-1 0	1. u. II		+31.319	+0.034	+31:453	
				52	-4		+31:433	
88 No	v. 9	-0h 45m	1. d. II	7	+84:606	+0:002	+81:608	
88 No		-1 18	l. d. II	8	+81.544	+0.002	+81.547	
88 No		-0 7	1. d. II	8	+81.612	-0.003	+81,608	
88 De		+3 13	r. d. II	8	+81.537	+0.012	+81.549	
88 De	. 4	+2 33	r. d. II	8	+81,624	+0.004	+81.628	
88 De	. 5	+0 54	r. d. II	9	+81.406	+0.024	+81,430	
							+81:562	
				52	5			
89 Ap		+5p 1 3m	r. d. 11	8	+74:847	+0:027	+75:875	
89 Ap		+2 19	r. d. H	8	+74.897	+0.026	+74.923	
89 Ap		+2 35	<ol> <li>d. II</li> </ol>	8	+74.776	-0.013	+74.763	
89 Ap	ril 19	+2 4	1. d. 11	8	+74.867	+0.008	+74.875	
							+74:859	
				52	10			
88 No		-4 h 5 m	1. h. 1	8	+60:644	-0:005	+60:639	
88 No		-0 11	1. d. 1	8	+60.752	-0.017	+60.735	
88 De		+2 55	r. d. II	8	+60.749	+0.023	+60.772	
88 De		+2 2	r. d. ll	8	+60.700	+0.003	+60.703	
88 De		+3 8	l. d. II	8	+60.740	-0.008	+60.732	
88 De		+3 25	I. d. II	8	+60.782	-0.016	+60.766	
89 Ap	ril 5	+2 40	r. d. 11	9	+60.674	-0.034	+60.640	
							+60:712	

				53	-10			
88	Nov. 9	-2h13=	I. d. I	8	+67:859	+0:034	+67:893	1)
88	Nov. 12	+1 50	I. d. II	7	+67,894	+0.050	+67.944	,
88	Nov. 13	-0.32	I. d. 1	9	+67,929	+0.040	+67.969	
88	Dec. 3	+0 11	r. d. 1	10	+67,886	-0.035	+67.851	
	Dec. 4	+0 39	r. d. II	9	+67.936	+0.001	+67,937	
88	Dec. 5	+0 6	r. d. II	7	+67.984	-0.093	+67.891	
	() Fad	en verschw	ommen.				+67:914	
				53-	- 26			
86	Febr. 9	+2h 26m	o. d. II	10	+45:800	-0:004	+45:796	
88	Nov. 10	+1 12	1. d. II	8	+45.797	+0.008	+45.805	
88	Nov. 41	-1 44	1. d. II	9	+45.703	+0.005	+45,708	
88	Nov. 43	-1 2	1. d. I	9	+45.716	+0.012	+45,728	
	Dec. 4	-0 53	r. d. fl	10	+45.752	+0.004	+45.753	
88	Dec. 5	-0 31	r. d. 11	9	+45.708	-0.025	+45,683	
							+45:745	
				53-	- 30			
86	Febr. 8	+24 4=	o, d. II	6	+40:158	-0:002	+40*156	
86	Febr. 28	+2 54	o. d. 11	9	+39.995	-0.004	+39.994	
	Nov. 5	-0 43	l. d. II	10	+40.122	-0.002	+40.420	
	Nov. 8	-2 13	1. d. II	8	+40.147	+0.004	+40,151	1)
	Nov. 9	-3 38	1. d. 11	9	+40.117	-0.003	+40.144	
	Nov. 11	-2 12	1. d. II	8	+40.034	+0.004	+40.032	
	Nov. 13	-1 2	l. d. 1	9	+40.021	-0.009	+40.012	
	Dec. 4	-1 19	r. d. 1	10	+39.990	+0.007	+39.997	
	Dec. 4 Dec. 5	-1 23 -1 3	r. d. H	9	+10.052	+0.002	+40.054	
00			r. d. II		+10.025	+0.033	+40.058	
	t) Dur	ch Wolken	beobachtet	L			+40:072	
				54	-11			
86	Febr. 20	+1h 48m	o. d. II	9	+61:672	-0:004	+61:668	
88	Nov. 10	-1 48	I. d. H	8	+64.719	+0.018	+61.737	
	Nov. 12	-1.54	I. d. II	9	+61.624	+0.036	+61,660	
	April 3	+3 41	r. d. II	6	+61.703	+0.058	+61.761	
	April 4	+2 57	r. d. II	8	+61.664	+0.036	+61.700	
89	April 5	+3 58	r. d. II	8	+61,696	+0.041	+61.737	
							+61:710	
					-40			
	Febr. 5	-2h 3m	o. d. 11	9	+31:247	-0:005	+31:212	
	Febr. 20	+5 51	o. d. II	10	+31.189	-0.001	+31.188	
	Marz 40	+0 58	o. d. 11	13	+31.229	-0.003	+31.226	
	Nov. 9	+0 33	l. d. H	7	+31.223	-0.007	+31,216	
	Nov. 10	-2 15	I. d. II	9	+31.259	-0.004	+31,255	
	Nov. 11 Nov. 12	-2 38 -2 42	l. d. II l. d. II	7 9	+34.159	0.000	+31.459	
	April 4	+3 58	r. d. II	8	+31.282	-0.015 -0.028	+31.267	
	April 6	+3 35	r. d. II	8	+31.232	-0.028	+31.211	
.,,	April 0	10 30	d. II		T01.202	-0.021		
							+31!221	

[80

				55-	- 40			
	Dec. 30 Febr. 20	+4h 5m +2 48	o. d. ll o. d. ll	9 10	+32:789	-0:002 -0.002	+32:787 +32,856	
	Nov. 10	-4 15	l. d. II	40	+32.795	+0.002	+32.797	
	Nov. 12	+0 49	I. d. II	9	+32.798	+0.006	+32.804	
	April 4	+358	r. d. 11	7	+32.916	+0.003	+32.919	
89	April 6	+3 35	r. d. II	8	+32,864	+0.001	+32.865	
							+32:838	
				55-	- 11			
88	Nov. 5	-3h33m	l. d. II	40	+29:133	-0:007	+29:126	
88	Nov. 40	+2 2	l. d. 11	8	+29,099	-0.008	+29.094	
	Nov. 12	+1 4	1. d. II	9	+29.040	-0.021	+29,019	
	April 4	+2 38	r. d. II	9	+29.088	-0.033	+29.055	
	April 5	+3 35	r. d. ll	8	+29.070	-0.036	+29.034	
89	April 6	+3 49	r. d. II	8	+29.049	-0.029	+29.020	
							+29:057	
				56-	- 26			
88	Nov. 10	+1142m	1. d. 11	8	+58:631	+0:010	+58:641	
88	Nov. 11	-1 55	I. d. 11	9	+58,661	+0.006	+58,667	
	Nov. 13	-1 2	l. d. 1	9	+58,609	+0.047	+58.626	1
	Dec. 4	-0.53	r. d. ll	10	+58.755	+0.002	+58.757	
88	Dec. 5	-0 31	r. d. li	9	+58.703	-0.036	+58.667	
							[+58:672]	
							+58:677	
				56	- 10			
88	Nov. 9	~2h 43m	1. d. I	8	+80:769	+0:012	+80°781 1)	1
	Nov. 12	+1 50	J. d. II	6	+80.868	+0.055	+80,923	-
	Nov. 13	-0 32	l. d. 1	8	+80.659	+0.045	+80.704	1 2
	Dec. 3	+0 44	r. d. 1	40	+80.828	-0.039	+80.789	- 2
	Dec. 4	+0 39	r. d. II	9	+80.921	+0.002	+80.923	
80	Dec. 5	+0 6	r. d. 11	7	+80.983	-0.102	+80.881	
	1) Fäd- sehe		ommen, sc	hwaci	he Sterne ka	um zu	[+80:833]	
	Sene						+80*859	
					- 30			
	Febr. 8	+2h im	o. d. II	6	+53:050	100:0-	+53:049	
	Febr. 28 Nov. 5	+2 54	o. d. 11	8	+53.022	0.000	+53.022	
	Nov. 8	-2 43	1. d. II 1. d. II	7	+53.489 +52.905	0.000 +0.006	+53.489 +52.911 1)	
	Nov. 9	-3 38	l. d. II	8	+53,422	0.000	+53.422	1
	Nov. 11	-2 12	l. d. 11	7	+53,040	+0.002	+53.042	
	Nov. 43	-1 2	1. d. 1	8	+52.961	-0.003	+52.958	3
	Dec. 4	-1 19	r. d. 1	10	+52.971	+0.008	+52.979	3
	Dec. 4	-1 23	r. d. II	9	+53.004	+0.003	+53.007	
88	Dec. 5	-1 3	r. d. li	7	+53.017	+0.023	+53.040	
	1) Dur	ch Wolken	beobachte	L.			[+53:032]	
							+53:046	
	kbhandi, d. R	. S. Gesellsch.	d. Wissensch	ZZIZZ .			16	

			57	10				
88 Nov. 9	-2h13m	1. d. 1	8	+ 94:027	+0:011	+ 94:038	1)	
88 Nov. 12	+1 50	1. d. II	7	+ 94.066	+0.040	+ 94.106	,	
88 Nov. 13	-0 32	l. d. 1	9	+ 94.002	+0.033	+ 94.035		
88 Dec. 3	+0 44	r. d. 1	10	+ 94.062	+0.052	+ 94,114		
88 Dec. 4	+0 39	r. d. II	9	+ 94.089	+0.003	+ 94.092		
88 Dec. 5	+0 6	r. d. 11	6	+ 94,085	-0.068	+ 94.017		
43 804	ea verschw					+ 94:067		
1) Fau	en verschw	ommen.	57.	- 26				
85 Dec. 28	+3h 13m	o. d. H	10	+ 71:831	+0:001	+ 74:832		
86 Febr. 28	+2 6	o. d. 11	7	+ 71.809	-0.004	+ 74.805		
88 Nov. 40	+0 45	1. d. II	9	+ 71.779	+0.005	+ 71.784	1)	
88 Nov. 44	-1 44	1. d. II	9	+ 71.801 + 71.884	+0.005	+ 71.806 + 71.889		
88 Nov. 43	-1 2 -0 53	l. d. l r. d. ll	10	+ 71.884	+0.005	+ 71.889		
88 Dec. 4 88 Dec. 5	-0 53 -0 34	r. d. II	9	+ 71.882	+0.001	+ 71.867		
i) Von	a 5. Durch	gang an Fä	iden 1	verschwommer	١.	+ 71:838		
			57-	30				
85 Dec. 28	-0h 16m	o. d. II	8	+ 66:176	-0:001	+ 66:175		
86 Febr. 8	+2 4	o. d. II	6	+ 66.208	-0.002	+ 66.206		
86 Febr. 25	+2 20	o. d. II	8	+ 66,038	-0.001	+ 66.037		
86 Febr. 28	+2 54	o. d. 11	9	+ 66,094	0.000	+ 66.094		
88 Nov. 5	-0 43	1. d. II	9	+ 66,218	-0.004	+ 66.214		
88 Nov. 8	-2 13	l. d. II	8	+ 66,165	+0.006		1)	
88 Nov. 9	-3 38	1. d. II	8	+ 66.235	-0.006	+66.229	′	
88 Nov. 41	-2 12	1. d. II	-8	+ 66.110	+0.004	+ 66.111		
88 Nov. 43	-1 2	1. d. l	9	+66.190	-0.044	+ 66.176		
88 Dec. 1	-1 19	r. d. 1	10	+ 66.034	+0.014	+ 66.048		
88 Dec. 4	-1 23	r. d. II	9	+ 66.213	+0.005	+ 66.218		
88 Dec. 5	-4 3	r. d. II	7	+ 66,124	+0.057	+ 66.478		
t) Dur	ch Wolken	beobachtel	l.			+ 66:155		
			58	10				
88 Nov. 9	-2h13m	I. d. 1	8	+100:536	+0:013	+100:549	1)	
88 Nov. 12	+1 50	l. d. II	7	+100.519	+0.047	+100.566		
88 Nov. 43	-0 32	1. d. 1	9	+100.554	+0.039	+100.593		
88 Dec. 3	+0 44	r. d. 1	10	+100.512	-0.029	+100.483		
88 Dec. 4	+0 39	r. d. 11	9	+100.630	+0.002	+100.632		
88 Dcc. 5	+0 6	r. d. I	7	+100.670	-0.083	+100.587		
t) Fad	en verschw	ommen.				-100:568		
			58	- 26				
85 Dec. 28	+3h13m	o. d. II	10	+ 78:274	+05004	+ 78:275		
86 Febr. 9	+2 26	o. d. H	10	+ 78,449	-0.005	+ 78.444		
88 Nov. 40	+0 15	l. d. fl	9	+ 78.214	+0,009	+ 78.223	1)	4
88 Nov. 11	-4 44	1. d. II	9	+ 78.287	+0.007	+ 78.294	•	•
88 Nov. 43	-1 2	l. d. 1	9	+ 78.122	+0.011	+78.433		
88 Dec. 4	-053	r. d. 11	40	+78.437	+0.003	+78.440		
88 Dec. 5	-0 34	r. d. II	9	+ 78,444	-0.012	+78.402		
t) Von	5. Durch	eang an Fá	den v	erschwommen		[+ 78:359]		
.,						+ 78:369		

				58-	- 30				
86	Febr. 8	+2h &m	o. d. 11	6	+ 72:717	-0:002	+ 72:715		
	Febr. 28	+2 54	o. d. 11	9	+ 72,701	-0.002	+ 72,699		
	Nov. 5	-0 43	l. d. II	40	+ 72,747	0,000	+ 72,747		
	Nov. 8	-2 43	l. d. II	6	+ 72.817	+0.007		1) 1	
88	Nov. 9	-3 38	1. d. II	8	+ 72,755	0.000	+ 72,755	, 4	
	Nov. 41	-2 12	1. d. l1	8	+ 72.702	+0.003	+72.705		
	Nov. 43	-1 2	1. d. 1	9	+72.728	-0.009	+72.719		
	Dec. 1	-1 19	r. d. 1	40	+ 72.611	+0.012	+72.623		
	Dec. 4	-1 23	r. d. H	9	+ 72.672	40.004	+72.676		
88	Dec. 5	-4 3	r. d. H	7	+ 72.671	+0.044	+ 72.715		
	1: Du:	reb Wolken	beobachte	t.			[+ 72:718]		
							+ 72:712		
				59	- 26				
	Dec. 28	+3h 43m	o. d. II	10	+ 86:513	-0:005	+ 86:508		
	Dec. 4	-0 53	r. d. 11	9	+ 86.501	+0.004	+86.508		
	Dec. 5	-0 34	r. d. 11	9	+ 86,553	-0.067	+86.486		
	Dec. 7	+2 33	l. d. H	8	+ 86.537	+0.020	+86.557		
	Dec. 8	+3 2	1. d. 11	. 7	+ 86.420	+0.030	+86.450		
88	Dec. 13	+4 4	l. d. 11	41	+ 86.460	+0.029	+ 86.489		
							+ 86:500		
				<b>5</b> 9 -	- 30				
	Febr. 28	+2554m	o. d. II	9	+ 80:762	-0:004	+ 80:758		
88	Nov. 10	-0 14	1. d. II	8	+80.752	+0.009	+80.761		
	Nov. 11	-0 40	l. d. 11	8	+80.727	+0.007	+ 80.734		
	Nov. 12	-1 33	1. d. 11	8	+80.741	+0.043	+80.754		
	Dec. 4	-1 19	r. d. 1	40	+80.740	+0.002	+80.742		
	Dec. 4	-1 23	r. d. H	9	+ 80.823	+0.005	+80.828		
88	Dec. 5	-1 3	r. d. II	7	+ 80.886	-0.044	+ 80,875		
							+ 80:779		
				59 -	-15				
88	Nov. 5	-2h50m	l. d. 11	8	+101:385	-0:003	+104:382		
	Nov. 8	-3 8	1. d. 11	9	+101.440	+0.009	+101.119		
	Nov. 11	-0 11	l. d. II	9	+101.471	\$60.0+	+101.475		
	Dec. 4	+0 8	r. d. II	9	+101.473	+0.007	+104.480		
88	Dec. 5	+0 18	r. d. II	8	+101.371	+0.058	+101.429		
							+101:113		
				60	-14				
	Nov. 5	-2h50=	i, d. II	8	+108:381	0:000	+108:384		
	Nov. 8	-3 8	1. d. 11	9	+108.532	+0.010	+108.512		
	Nov. 11	-0 11	l. d. H	9	+108.512	+0.005	+108.517		
	Dec. 3	+1 21	r. d. 1	7	+108.556	+0.021	+108.577	1	
	Dec. 4	+0 8	r. d. 11	9	+108.590	+0.006	+108.596		
88	Dec. 5	+0 18	r. d. II	7	+108,487	+0.045	+108.532		
							[+108:524]		
							+108:520		

16\*

234

				60	26			
86	Febr. 2	8 +2h 6m	o. d. 11	7	+93:588	-0:008	+93:580	
88	Dec.	-0 53	r. d. II	9	+93.584	+0.003	+93.587	
88	Dec.	5 -0 34	r. d. 11	9	+93.657	-0.081	+93.576	
88	Dec.	7 +2 33	I. d. II	8	+93.705	+0.022	+93.727	
88	Dec.	8 +3 2	l. d. li	7	+93.764	+0.034	+93.795	
88	Dec. 43	3 +4 1	L d. II	11	+93,593	+0.034	+93.627	
							+93:649	
				60	<b>—</b> 30			
88	Nov. 40	0 -0h44m	I. d. 11	8	+87:832	+0:012	+87:844	
	Nov. 4		i. d. ii	8	+87.827	+0.009	+87,836	
	Nov. 4		i. d. ii	9	+87.884	+0.019	+87.903	
	Dec.		r. d. 1	10	+87.933	0.000	+87.933	
88	Dec.	-4 23	r. d. 11	9	+87.936	+0.004	+87.940	
88	Dec.		r. d. 11	7	+87.914	-0.024	+87.890	
							[+87:894]	
							+87:887	
				64	-4			
	Dec.		r. d. Il	8	+46:520	+0:025	+46:545	
	Dec.		r. d. 11	8	+46.497	+0.002	+16.499	
88	Dec.	5 +0 54	r. d. 11	9	+16,396	+0.062	+16.458	
							+16:501	
				61	10			
88	Dec. 9	-4h 5m	1. h. 1	8	~ 4:295	-0:017	- 4:312	
	Dec.		r. d. 11	8	- 1.297	+0.036	- 4.261	
88			r. d. H	8	- 4.300	+0.001	- 4.299	
88	Dec.	+18	r. d. H	7	- 4.327	+0.089	- 4.238	
							- 4:277	

" a 2 den Stundenwinkel der Beobachtung,

» 3 a) b) c) dasselbe wie Columne 3 a) b) c) der Tabelle 8,

» 4 die Anzahl der Einstellungen jeden Sternes,

» 5 die Angabe der benutzten Fäden,

<sup>3</sup> 6 das mit der Schraube durchmessene Intervall in Schrauben-Revolutionen,

> 7 den gemessenen Declinations-Unterschied der beiden Sterne, ausgedrückt in Netzsecunden bei den neuen, in Bogensecunden bei den alten Beobachtungen,

in Columne 8 die Summe der Correctionen (Correctionen wegen Reduction auf scheinbaren Ort und mittl. Aequ. 1885.0 und wegen Refraction),

- 9 den corrigirten Declinations-Unterschied,
- 10 dasselbe wie Columne 8 der Tabelle 8.

Die Columnen 5 und 6 von Tabelle 9 kommen nur für die Messungen von 1888/1889 in Betracht; bei den älteren ist das Resultat gleich in Bogensecunden, nicht erst in Schraubenrevolutionen gegeben. Unter den Nummern des Sternpaares, auf welches sich die

Messungen beziehen, sind in Tabelle 9 noch 3 Grössen aufgeführt,  $m, \sigma - u$  und  $d\sigma; m$  ist die Grössenclasse; welcher der Stern angehört;  $\sigma - u$  der in Rechnung gebrachte Unterschied der Beohattungen bei \*Schraube und bei \*Schraube untens;  $d\sigma$  die Correction zur Verwandlung der Netzsecunden in Bogensecunden.

Tabelle 9.

							4	5				
				m = 9.7		o	· u	= 0.22	$d\sigma = 0$	.17		
89 89	Marz Marz Marz Marz Marz	6 7 9	+2 <sup>h</sup> 40 <sup>m</sup> -0 45 +0 9 -0 27 +0 11	o. d. ll o. d. ll u. d. ll o. d. ll u. d. ll	6 6 4 4	6 9 6	9 9 6 9 6	+0:750 +0.667 +0.535 +0.700 +0.599	-436959 -435.48 -433.74 -435.92 -434.56	-0.02 +0.04 -0.46 +0.04 -0.45	-436,56 -435,39 -434,56 -435,83	2 F. 2 F. 2 F. 2 F.
89	Marz Marz Marz	26	+2 53 +1 3	u. d. II u. d. II	5		6	+0.544	-434.60 -434.62	-0.45 -0.53 -0.46	-435.40 -434.75 -435.47 -435.42	2 F. 2 F. 2 F. 2 F.
							4	10				
				m = 9.7		0	· u	= 0.22	$d\sigma = 0$	.06		
87	Jan.	19	-3h 43m	o. h. II	5				+145.49	+0"01	+145,"50	
88 88 89 89 89 89	Dec. Dec. Dec. März März März März März	7 8 10 13 4 6 7 9	+0h 24m -1 12 -1 16 -2 7 +2 45 -0 35 +0 16 +0 21 +1 39	u. d. fl u. h. ll u. h. ll u. h. ll o. d. fl o. d. fl u. d. fl u. d. fl u. d. fl	\$ \$ \$ \$ \$ 5 6 5 \$	2 1 1 7 1 7	7 7 7 7 6 4 7 4 6	+1:048 +1:1468 +0:995 -0:978 +0:867 -0:995 -0:824 -0:983 +0:996	+15598 +156.59 +145.17 +144.95 +144.47 +144.72 +147.04 +145.88 +145.89	-0:03 -0.02 -0.02 -0.04 -0.08 -0.08 -0.08 -0.08	+144%69 +146.34 +1453.99 +144.77 +144.44 +144.92 +146.77 +145.08 +145.67	± 0″27

```
5-40
                    m = 8.4
                               a - u = 0.00 da = 0.21
86 April 48 +3h 15m n. d. 11 4
                                                +580"59 +0"79 +584"38
86 Oct. 1 -1 14 u.d. H 4
                                              +580.73 +0.50 +581.23
87 Jan. 49 -3 28 o. h. ll 4
                                                +584.09 +0.25 +581.34
                                                                 +581."32 ± 0.05
                                    10 -- 26
                    m = 9.4 o - u = 0.00 d\sigma = 0.44
88 Dec. 7 +0h 9m u.d. II 4 1 8 +0:306 -375:68 -0:40 -375:99
88 Dec. 8 -1 1 u, h, 11 5 1 8 +0.319 -375,85 -0.41 -376,40
88 Dec. 10 -1 27
                     u. h. II 5 4 8 +0.336 -376.05 -0.44 -376.30
88 Dec. 13 -1 57
                     u. h. II 5 | 1 8 +0.348 -376.24 -0.40 -376.48
89 Marz 4 +2 51 o. d. II 5 8 1 +0.346 -376,20 -0.08 -376,42
89 Marz 6 -0 26 o. d. II 6 8 1 +0.366 -376.48 -0.02 -376.65
89 Marz 7 +0 23 u.d. II 5 1 8 +0.299 -375,59 -0.02 -375,75
89 Marz 9 -0 13 o. d. II 4 8 1 +0.396 -376.86 -0.02 -377.02
89 Marz 16 +0 20 u. d. II 4 1 8 +0.367 -376.50 -0.01 -376.65
89 Marz 28 +1 32 u. d. II 5 | 1 8 +0.299 -375.59 -0.02 -375.75
                                                                 -376"30 ± 0"13
                                    26 - 30
                     m = 9.4 a - n = 0.00 da = 12
85 Nov. 20 +0534m o. b. 11 5
                                               +302,"32 +0,"45 +302,"47
86 April 1 +3 26 o. b. 11 6
                                                +301,60 +0.23 +301.83
88 Dec. 7 -0h 4m u.d. II 5 4 8 +0!736 +302:93 +0!46 +303"24
88 Dec. 8 -0 49
                    u. h. H 5 4 8 +0.688 +302.39 +0.47 +302.68
88 Dec. 10 -1 38
                     u. h. II 4 4 8 +0.717 +302.62 +0.18 +302.92
88 Dec. 13 -4 45
                    u. h. 11 4 4 8 +0.623 +304.42 +0.48 +304.72
88 Dec. 13 -1 43 u.b.11 4 4 0 +0.023 +301,42 +0.10 +303,32 28 89 Jan. 13 +4 1 u.b.11 5 48 +0.659 +301,90 +0.30 +302,32 89 Marz 1 +2 57 o.d.11 5 84 +0.769 +303,37 -0.19 +303,30 9 F. 89 Marz 6 -0 16 o.d.11 6 84 +0.750 +303,12 +0.29 +303,33 9 F. 89 Marz 7 +0.31 u.d.11 6 48 +0.750 +303,12 +0.29 +303,53 9 F.
                    o. d. II 6 8 4 +0.754 +303.47 -0.07 +303.22 2F.
89 Márz 9 -0 6
89 Marz 16 +0 24 n.d. II 4 & 8 +0.684 +302.49 +0.29 +302.60 2F.
89 Marz 28 +4 19 u. d. l1 8 4 8 +0.708 +302,56 +0.30 +302,98 2F.
                                                                 +302.76 ± 0.15
                                 14-32
                    m = 9.6 o - u = 0.00 d\sigma = 0.20
86 Marz 25 +4h43m o, h. II 6
                                               +512"51 +0"09 +512"60
                                              +513.04 +0.74 +513.75
+514.25 +0.36 +544.61
+543.59 +0.49 +514.08
+513.26 +0.40 +513.66
86 April 1 +4 27 o. h. 11 5
86 Sept. 30 -4 47
                    u. d. H 5
87 Jan. 7 -4 39 o. h. H 4
87 Jan. 48 -2 6 o. d. H 4
```

87 Jan. 18 -2 6 o.d. 11 4 +513.26 +0.40 +513.66 87 Jan. 19 -1 39 o.b. 11 4 +512.85 +0.49 +513.66 87 Jan. 27 -0 6 o. 7 11 8 +513.76 +0.45 +514.21 87 Marz 1 +2 40 o.d. 11 8 +512.51 +0.46 +542.97

88 Dec. 7 88 Dec. 18 88 Dec. 13 88 Dec. 13 88 Dec. 14 88 Dec. 14 88 Dec. 14 88 Dec. 14 89 Jan. 13 89 Marz 5 89 März 5 89 März 9 89 März 28	+0 4 u.b. II -2 19 u.b. II -0 37 u.b. II -0 46 u.b. II +3 14 u.d. II +3 27 u.d. II -2 23 u.d. II +3 52 u.b. II +1 0 o.d. II +0 32 o.d. II +0 32 o.d. II	$\begin{array}{cccccccccccccccccccccccccccccccccccc$	+514:01 +0:35 +512:52 +0:32 +512:95 +0:37 +513:98 +0:32 +513:79 +0:32 +513:79 +0:46 +513:17 +0:46 +513:70 +0:55 +512:42 +0:29 +514:81 +0:29 +514:81 +0:29 +513:73 +0:31	+514/59 +513.04 +513.52 +514.50 +514.31 +513.83 +514.61 +513.74 +514.45 +512.91 +513.49 +512.30 +514.24 +513.75 ± 0/17
		11 10		
		44 - 40		
	m = 9.6	0 - u = 0.00	$d\sigma = 0.12$	
86 Marz 25 86 Marz 29 86 April 1 88 Dec. 7 88 Dec. 10 88 Dec. 10 88 Dec. 13 89 Jan. 13 89 Marz 6 89 Marz 7 89 Marz 7 89 Marz 9 89 Marz 46 89 Marz 28	+2 <sup>h</sup> 30 <sup>m</sup> o.bd.ii +3 55 tu. 7 ii +1 6 c. h. fi -4 h38 <sup>m</sup> u.d. ii -0 11 u.b.ii -2 6 u.b.ii -0 28 u.b.ii +3 43 u.b. ii +3 43 u.b. ii +1 48 u.d. ii +1 41 u.b. ii 0 28 o.d. ii +1 41 u.b. ii 0 28 u.d. ii +1 41 u.b. ii 0 23 o.d. ii +1 41 u.b. ii 0 23 u.b. ii 0 41 u.b. ii 0 23 u.b. ii 0 41 u.b. ii 0 42 u.b. ii 0 42 u.b. ii 0 41 u.b. ii 0 42 u.b. ii 0 43 u.b. ii 0 44 u.b. ii 0 45 u.b. ii 0 45 u.b. ii 0 45 u.b. ii 0 46 u.b. ii 0 46 u.b. ii 0 47 u.b. ii 0 48 u.b. i	5 5 5 5 5 5 5 5 5 5 5 5 5 5 5 5 5 5 5	-310"81 -0"24 -308.08 -0.32 -308.55 -0.38 -309:04 -0:16 -309:02 -0.13 -310.12 -0.13 -309.92 -0.13 -309.93 -0.32 -309.92 -0.23 -309.92 -0.23 -309.92 -0.23 -309.93 -0.25 -308.72 -0.27 -310.62 -0.22 -309.83 -0.32 -309.81 -0.26	-344705 -308.40 -308.90 -309.27 -310.39 -310.39 -310.06 -308.67 -310.27 -310.27 -310.27 -310.12 -31
		48-30		
	m = 9.2	0 - u = 0.00	$d\sigma = 0.20$	
88 Dec. 40 88 Dec. 43 88 Dec. 28 89 Jan. 43 89 Marz 4 89 Marz 6 89 Marz 6 89 Marz 7 89 Marz 16 89 Marz 16	(1 + 4 8 m u.b. 11 (1 3 f u.b. 11 (3 f u.b. 11 (5 f u.d. 11 (3 2 f u.b. 15 (4 17 o.d. 15 (4 17 o.d. 15 (4 18 18 18 18 18 18 18 18 18 18 18 18 18	\$ 2 9 +0:006 \$ 2 9 -0.027 \$ 2 9 -0.050 \$ 2 9 -0.050 \$ 2 9 -0.036 \$ 5 9 2 -0.094 \$ 5 9 2 -0.008 \$ 5 9 2 -0.013 \$ 4 2 9 -0.413 \$ 4 2 9 -0.017	-532703 -0721 -531.59 -0.20 -531.28 -0.17 -531.47 -0.28 -531.63 -0.22 -531.84 -0.09 -530.38 -0.11 -531.78 -0.10 -530.49 -0.11 -531.72 -0.11	-532"14 -531.99 -531.65 1) -531.95 -532.05 -532.13 -530.69 -532.08 -531.80 -532.03 -534.778 ± 0.148

Mikrometrische Vermessung des Sternhaufens Σ 762.

237

87]

238

```
48 - 40
                 m = 9.2
                           0 - n = 0.00 d\sigma = 0.14
86 Oct. 48 -2h34m u. h. H 4
                                        +376,"32 +0,"37 +376,"69
86 Nov. 9 -2 56 u.d. 11 4
                                        +375.18 +0.18 +375.36
87 Jan. 8 -2 53 o. h. II 4
                                        +375.60 +0.64 +376.24
88 Dec. 10 -1 57 u.b. 11 4 8 1 +0:264 +375:13 +0:29 +375:56
                  u. h. II 4 8 I +0.320 +375.87 +0.26
88 Dec. 13 -1 23
                                                       +376.27
88 Dec. 28 +0 39
                  u. d. 11 5 8 1 +0.345 +375.80 +0.25
                                                       +376.19
89 Jan. 13 +3 24
                  n. h. II 4 8 1 +0.303 +375 64 +0.35
                                                       +376.13
89 Marz 6 +0 24
                 o, d, II 5 1 8 +0.288 +375.55 +0.23
                                                       +375.92
89 Marz 7 +0 59
                 u. d. II 8 8 4 +0,286 +375,16 +0,22
                                                       +375,52
89 Marz 9 +0 13
                 o. d. II 5 4 8 +0.326 +375.95 +0.22
                                                       +376.34
89 Marz 16 +0 35
                 u.d. II 4 8 1 +0,257
                                       +375.03 +0.22
                                                       +375,39
                 u. d. 41 4 8 1 +0,268 +375,18 +0.25 +375,57
89 Marz 28 +1 53
                                                        +375"93 + 0"13
                               1 - 40
                 m = 8.6
                           0 - u = 0.00
                                        da = 0.11
86 Sept. 30 -2h 37m u. h. H 4
                                        +299.55 +0.47
                                                       +299.72
86 Nov. 3 -2 2 u.d. II 4
                                        +300.37 +0.15 +300.52
87 Jan. 8 -4 49 o. h. II 4
                                        +301.46 -0.06 +301.40
88 Dec. 43 + 0^{h}29^{m} u. b. II 2 3 8 -45274 + 302652 -0615 + 302648
88 Dec. 25 -2 15
                  u. d. 11 4 4 8 +0.512 +299.93 -0.14 +299.90
88 Dec. 28 +1 49 u.d. II 6 4 8 +0.642 +301.67 -0.15
                                                       +304.63
89 Febr. 13 -0 22 o. b. II 4 8 4 +0.505 +300.64 -0.28 +300.47
89 Marz 6 +3 40 o. d. II 4 8 4 +0.616 +301.32 -0.16
                                                       +301.27
                                                        +300"99
                                                        +5' 0"92
                               1 - 48
                 m = 8.6 o - u = 0.00 d\sigma = 0.03
88 Dec. 43 +0h42m u. h. H 4 5 2 -0!453 - 74:29 -0:40 - 74.72
88 Dec. 25 -2 27 u. d. H 4 7 4 -0.332 - 75.08 -0.43 - 75.54
88 Dec. 28 +1 28 u.d. 11 1 7 1 -0.383 - 71.10 -0.12 - 71.85
89 Febr. 13 -0 43 o. d. II 4 1 4 -0.361 - 73,68 -0.52 - 74,23
89 Marz 6 +3 30 o. d. II 5 1 1 -0.331 - 74.09 -0.53
                                                        - 74, 80
                                                       -1' 11.780
                              2 - 40
                 m = 40.5 o - u = 0.55 dq = 0.40
86 Nov. 3 -1h21m u.d. 41 4
                                        +251,"59 +0,"05 +251,"64
87 Jan. 8 -4 39 o.d. 11 4
                                                0.00 +253.95
                                        +253,95
88 Dec. 29 -0h 4m u. d.HI 4 5 8 -0f673 +255f07 -0f44 +254f48
89 Jan. 13 +4 53
                 u. d. II 6 5 8 -0.792 +253.48 -0.20
                                                       +252,83
                 u. d. II 6 5 8 -0.857 +252.62 -0.24
89 Jan. 27 -1 55
                                                       +251.96
89 März 5 +0 45
                 o. d. II 4 8 6 +0.930 +251.46 -0.22
                                                       +251.89
89 Marz 6 +3 54 o. d. 41 4 8 6 +0.968 +251.97 -0.44
                                                        +252,75
                                                       +4' 12.75
```

88

- 10.59

	210					REINH	OLD TIAH!	٠,		
						6	30			
				m = 11.	į.	0 -	u = 0.93	$d\sigma = 0$	0.44	
88	Dec.	29	+1132	n. d. H		4.8	-0!085	+291594	+0002	+291.114
89	Jan.	6	-1 26	u. d. II			-0.078	+292,04	-0.01	
	März			o. d. 11	6	8 1	-0.312			+289.90
89	Marz	6	+3 20	o. d. II	5	8 4	-0.165	+290.87	+0.02	
	4)	Ocu	lar besc	blagen.						[+294,"04]
			kaum s							+291"21
										+4151721
							30			
								$d\sigma = 0$		
				o. d. II	4	2 9	+0:147	-533992		-533.23
89	Jan.	27	-1 39	u. d. II	7	9 2	+0.008	-532.06	+0.15	-532.87
	1)	Fad	en 9 ve	rschwomm	en.					-533,05
						_				-8' 53."05
							40			
				m = 11.		0 -	u = 0.76	$d\sigma = 0$		
86	Nov.	3	-0" 53	u.d. II	4			+373,20	+0739	+373.759
89	Jan.	Ā	+1h 9	o. d. 11	4	8 4	+0!159	+373:72	→0005	+374757
	Jan.		-2 30		i		+0.113	+373,10		
89	Marz	4	+4 30	o. d. II			+0.023			
			+4 59	o. d. 11			+0.147			
			+1 11				+0.110			
89	Marz	7	+2 20	u. d. II	5	1.8	+0.289	+375.46	+0.05	
										+373.79
						7	18			+6' 13".79
				m = 11.	D	0 -	u = 0.76	$d\sigma = 0$	00.0	
89	Jan.	3	+4139	" u. d. 11	3	8 8	-0:130	- 4974	-0:30	- 2"80
			-2 12			8 8	-0.494	- 2.60	-0.29	- 3.65
	Jan.							- 2.61	-0.30	- 3.67
	Febr			o. d. 11				- 3.14		- 2.66
89	Marz	6	+4 2	o. d. 11	6	8 8	-0.169	- 2.26	-0.34	- 1.81
	1)	Hell	lo Fäden	ganz ven	schv	vomme	n.			- 2.792
							10			
0.5		-	thin	m = 8.7		o — N	= 0.00	$d\sigma = 0$		
	Nov. Dec.		+1148	o. h. II u. † II	5			-220,64	-0."14	-220,75
	April		+1 25	u. 7 II	5			-222.01 -220.39	-0.09 -0.13	
	Oct.		-0 31		i i			-219.34	-0.13	-220.52
	Jan.		-3 4	o. h. II	ì			-219.34	-0.19	-220.10
					-				0.10	220.17
	Dec.		+3h 7				+0!463	-219975	-0918	
	Jan. Jan.		+1 37	u. h. 11		8 7		-219.90	-0.45	
	Jan. Febr		+2 8	u. h. 11	5	8 7	+0.568	-221.16	-0.16	-221.40
89	repr	. 13	+2 6	o. d. 11	5	7 8	+0.507	-220.34	-0.14	-220.56
										-220,61



+ 30,790

Wa.

```
12 - 26
                  m = 11.8 0 - u = 1.10
                                            d\sigma = 0.10
87 Jan. 19 +1h14m o. d. II 4
                                            -253"84 -0"28 -254"12
87 Jan. 27 +3 4 o. h. II 4
                                            -253.32 -0.35 -253.67
87 Marz 4 +0 27 o. d. II 4
                                             -253.22 -0.24 -253.46
89 Jan. 2 -2624" u.d. II 4 8 5 -01857 -252962 -0125 -254007
89 Jan. 3 +2 0 u.d. II 4 8 5 -0.710 -254.58 -0.24 -256.02 89 Jan. 5 +0 57 u.d. II 4 8 5 -0.853 -252.68 -0.22 -254.10 89 Jars 4 +2 4 0.d. II 5 6 8 -4.232 -255.51 -0.22 -254.10
                                                             -954"34
                                                            -414534
                                 12 - 30
                  m = 11.8 o -u = 1.10 d\sigma = 0.02
89 Jan. 2 -2^h45^m u.d. II 4 4 3 -0.184 + 19256 -0.907 + 48.44 89 Jan. 3 +0 45 u.d. II 4 5 7 -0.442 + 49.02 -0.08 + 47.86
89 Jan, 5 +0 46 u.d. II 4 5 7 -0.410 + 49.05 -0.08 + 47.89
89 Jan. 6 -4 54 n.d. II 4 4 3 -0.280 + 48.27 -0.07 + 47.42
                                                             + 47.82
                                 13 - 30
                   m = 9.8 \sigma - u = 0.26 d\sigma = 0.09
87 Jau. 8 -0 54m o. h. 11 4
                                            -228,86 -0,25 -229,44
88 Dec. 43 +4h34m u.d. II 5 8 6 -07836 -227784 -0720 -228739
89 Jan. 13 +0 20 u. d. II 4 8 6 -0.735 -229.18 -0.21
                                                            -229 74
89 Jan. 27 +3 53 o. d. II 2 7 8 +1.443 -228.45 -0.28 -228.56
89 Febr. 7 +1 58 o. d. II 4 6 8 -0.729 -229.26 -0.21 -229.30
                                                             -229.02
                                                            -3' 19"02
                                 43 - 48
                  m = 9.8 o - u = 0.26 da = 0.12
88 Dec. 13 +1h45m u. d. II 4 4 8 +0!707 +302:54 -0:04 +302:39
89 Jan. 43 +0 36 u.d. II 4 4 8 +0.700 +302.45 -0.09 +302.22
89 Jan. 14 -2 36 u.d. II 4 4 8 +0.662 +301.94 -0.05 +301.75
89 Jan. 27 +3 44 o. d. II 4 8 3 -4.394 +300.92 +0.02 +304.32 1
89 Febr. 7 +2 45 o. d. II 5 8 4 +0.672 +302.07 -0.08 +302.37
                                                             +302.01
     () * 13 schwach.
                                                             +5' 2"01
                                 14 - 30
                  m = 9.6 o - u = 0.00 d\sigma = 0.15
86 April 4 +3h 40m o. h. II 5
                                            -362"02 -0"25 -362"27
88 Dec. 7 -1h 9m u.d. II 4 8 4 -0:693 -362:32 -0:28
                                                            -36271
88 Dec. 8 -0 37 u.h. II 4 8 4 -0.684 -362.48 -0.27
                                                            -362.89
89 Jan. 44 -3 29 u.d. II 4 8 4 -0,619 -362.24 -0.37
89 Febr. 7 +1 54 o. d. ll 5 1 8 -0.710 -362.09 -0.27
                                                            -362.50
                                                             -362"63
                                                             -6' 2"63
```

937

				m = 9.6	0 -	- 11	= 0.00	$d\sigma = 0$	.24	
	Marz April			o. d. 11 o. b. 11				+543.74 +543.74	+0.15 +0.29	+543.795 +544.03
88 89 89	Dec. Jan. Jan. März	8 13 14	-0 27 +3 13 -1 58	u. h. 11 u. h. 11	9	9 9 9 1	-1:166 -1:024 +0:899 +0:934 -1:129	+543°54 +545.24 +543.97 +544.44 +544.04	+0.18 +0.16 +0.23 +0.13 +0.11	+543.793 +545.64 +544.44 +544.78 +544.33 +544.743 +9' 4.743
				m = 9.6	o –	- 11	= 0.00	$d\sigma = 0$	.06	

86 Nov. 87 Jan.								+169.60 +169.10		
89 Febr	7	+9h	7=	o. d. 11	5	7 4	+0'858	+169954	-0215	+169"4

86 Oct. 48 -4h 49m u.d. II 4

6

- 43.45

# 15-10 0 - u = 0.43 $d\sigma = 0.04$

			+2h19m +0 25							+0.06			
			-0h 7m			8 8	+0!881						
89	Jan.	12	+1 29	u. d. 11	å	8 8	+0.980	-	13.11	+0.02	-	13.53	
89	März	4	+2 55	o. h. 11	5	8 8	+1.075	-	14.38	+0.03	-	43.93	2 F
89	Marz	6	+0 56	o. d. II	6	7 7	+1.067	-	11,28	+0.03	-	13.83	

#### 15 - 26

### o - u = 0.43 $d\sigma = 0.14$

			+2 <sup>h</sup> 32 <sup>m</sup> +0 31								+363744 +364.30
89 89	Jan. Jan.	5 27	-255 $-247$	u. d. II u. d. II	5	4	8	-0.528 $-0.622$	+363:53 +364.53 +363.27 +363.50	+0.15	+364.39

```
211
```

#### 16 - 40a - u = 0.59 da = 0.02m = 10.685 Dec. 7 +0h59m o. d. II 5 + 58"78 -0"29 + 58"49 88 Dec. 28 +0544 u.d. II 6 4 6 +03469 + 60333 -038 + 5968 1 89 Jan. 6 -2 14 u. d. 11 4 5 7 +0.688 + 59.83 -0.10 + 59.16 89 Jan. 14 -4 50 u. d. 11 5 5 7 +0.697 + 59.85 -0.10 + 59.18 89 Jan. 27 +3 26 o. d. II 4 7 5 +0.603 + 58,59 -0.09 + 59.11 89 Febr. 7 +0 25 o. d. II 7 7 5 +0.554 + 57.95 -0.11 + 58.45 [+ 59"04] () Durch Wolken; \* 16 ganz schwach, + 58."95 16 - 48o - u = 0.59m = 10.6 $d\sigma = 0.12$ 89 Jan. 6 -2h 2m u. d. 11 5 8 3 -0!348 -344:92 -0:37 -316,00 89 Jan. 14 -1 39 u. d. 11 4 8 3 -0,364 -344.70 -0.35 89 Jan. 27 +3 33 o. d. II 5 3 8 -0.374 -314.57 -0.46 89 Febr. 7 +4 37 o. d. ll 5 3 8 -0.367 -314.66 -0.37 -314.56-315"22 -5' 45"22 17 - 26m = 10.7o - u = 0.64da = 0.0689 Jan. 2 -2h32m u.d. II 5 7 4 -4:072 -443:69 -0:15 -444:54 89 Jan. 5 -2 44 u.d. II 4 7 1 -1.078 -143.64 -0.45 -444.46 89 Jan. 6 +0 32 u.d. II 7 7 2 +0.970 -143.68 -0.13 -144.58 89 Marz 9 +1 22 o.d. II 4 2 7 +1.408 -145.69 -0.14 -445.25 -144.769 \_9" 91"69 17 - 30m = 40.7 o - u = 0.64 $d\sigma = 0.06$ 88 Dec. 30 +4h35m u.d. II 6 4 7 +0:054 +158275 +0203 +158720 89 Jan. 2 -2 58 u.d. II 4 1 7 -0.024 +157.71 +0.05 +157.18 89 Jan. 5 +0 37 u, d, 11 4 4 7 +0.007 +158.12 +0.01 u. d. 11 5 4 7 +0.053 +158.73 +0.01 +158.16 89 Jan. 6 +0 21 89 März 9 +4 35 o, d, II 4 7 4 -0.085 +156.89 -0.01 +157.58 +157.73 +2' 37.73 18 - 30 $d\sigma = 0.48$ m = 40.7o - u = 0.6488 Dec. 43 +2h40m u. d. 11 4 9 4 -0:437 -474:76 -0:35 -475."93 89 Jan. 4 +1 40 o. d. ll 5 4 9 -0.244 -477.22 -0.32 -477.08 89 Jan, 5 -4 2 u.d. II 4 9 4 -0.440 -474.72 -0.34 -475.85 89 Jan. 6 -0 7 u.d. II 5 9 4 -0.430 -474.86 -0.30 -475.98 89 Febr. 7 +1 49 o. d. 11 5 4 9 -0.443 -474.69 -0.31 -474.54

-475.788 -7' 55.788

[94

95]	MIKROMETRISCHE V	ERMESSUNG DES S	STERNHAUFENS 2 70	52. 245
		18 - 48		
	m = 40.7	0 - u = 0.64	$d\sigma = 0.02$	
88 Dec. 43	+2h 26m u. d. II 4	5 7 +05457	+ 56963 -0919	+ 55"89
89 Jan. 4	+0 42 o. d. II 5	3 4 +0.474	+ 54.35 -0.46	+ 54.85
89 Jan. 5	+4 40 u. d. II 4		+ 56.47 -0.46	+ 55.69
89 Jan. 27	-2 22 u. d. II 4		+ 56.85 -0.17	+ 56.06
89 Febr. 5	+4 43 o. d. II 5	7 4 -1,805	+ 55.37 -0.19	+ 55.84
				+ 55.67
		19 40		
	m = 10.1	o - u = 0.51	$d\sigma = 0.03$	
	-3h3fm u. d. II 4		- 74"48 -0"09	- 74"57
7 Jan. 19	-4 54 o. b. II 4		- 74.65 -0.19	- 74.84
8 Dec. 14	+2h54" u. d. II 4	7 4 -0:399	- 74919 -0915	- 74788
9 Jan. 43	+2 7 u.d. II 4	7 4 -0.364	- 74.69 -0.47	- 75.40
9 Jan. 15	+0 8 u. d. II 4		- 73.25 -0.16	- 73.95
9 Febr. 7	+0 48 o. d. II 4	4 7 -0.420	-73.90 -0.18	- 73.60
				- 74.54
				-1' 14"54
		19 11		
	m = 10.4	o - u = 0.51	$d \sigma = 0.09$	
7 Jan. 19	-4h 45m o. h. 11 6		+235.75 +0.06	+235.784
8 Dec. 14	+2h59m u.d. II 5	6 8 -0:196	+236:40 +0:03	+236,04
9 Jan. 45	+0 46 u.d. II 5			+234.67
9 Jan. 27	-1 48 u.d. II I		+235.52 -0.05	+235.05
9 Febr. 7	+0 43 o. d. II 4	8 6 -0.256	+235.60 -0.07	+236.43
				+235.53
				+3' 55"53
		20 - 26		
	m = 9.6	o - u = 0.00	$d\sigma = 0.01$	_
	-3h43m u.d. II 4		+ 29"23 +0"06	+ 29,29
7 Jan. 19	-2 44 o. b. II 4		+ 28,86 +0.01	+ 28.87
8 Dec. 8	+4h30m u, h, II 4	3 4 +0!166	+ 27974 0900	+ 27.72
8 Dec. 14	+0 51 u.d. II 4		+ 28.74 -0.02	+ 28.73
9 Jan. 27	-3 25 u.d. II 5		+ 28.74 -0.02	+ 28.70
9 Febr. 28	+0 43 o. d. ll 4	7 6 +0.324	+ 29.75 -0.15	+ 29.64 21
				+ 28.82
		20-10		
	m = 9.6	0 - u = 0.00	$d\sigma = 0.13$	
6 Oct. 4	-3h25m u. d. II 4		-347.704 -0.745	-347.46
8 Dec. 14	+4 h 0 m u. d. II 4	2 8 +0!176	-346978 -0910	-347"04
9 Jan. 43	+2 21 u.h. II 4		-346.96 -0.11	-347.20
Jan. 27	-3 30 u. d. II 4		-347.66 -0.16	-347.95
9 Febr. 28	+0 48 o. d. ll 4		-346.87 -0.04	-347.04
				9.14/199

-347.33 -5' 47."33

		21-30		
	m = 9.4	a - u = 0.00	$d\sigma = 0.9$	
88 Dec. 43 89 Jan. 43 89 Jan. 44 89 Febr. 5	+4 I u. d. II -3 43 u. d. II	\$ 8 6 -01825 \$ 8 6 -0.889 \$ 8 6 -0.78\$ \$ 6 6 8 -0.8\$3	-227:99 -0:45 -227.03 -0.43 -228.53 -0.49 -227.75 -0.4\$	-228,23 -227,25 -228,81 -227,98 -228,07
				-3' 48''07
		21-48		
	m = 9.4	o - u = 0.00	$d\sigma = 0.12$	
88 Dec. 43 89 Jan. 43 89 Jan. 44 89 Febr. 3	+0 53 u.d. II -2 11 u.d. II	4 4 8 +0:804 4 4 8 +0.798 4 4 8 +0.764 4 8 4 +0.804	+303:83 +0:03 +303.76 -0.01 +303.34 +0.04 +303.83 -0.04	+303798 +303.87 +303.44 +303.94
		22 26		+5' 3"81
	m = 9.9	o - u = 0.30	$d\sigma = 0.11$	
89 Jan. 19 89 Jan. 19 89 März 89 März	-3 <sup>k</sup> 5 <sup>n</sup> u. d. II -4 52 u. d. II -0 44 o. d. II	4 8 4 -0:292 6 8 4 -0:273 4 4 8 -0:281 8 4 8 -0:322	-289:02 -0:24 -289:42 -0.19 -289:32 +0.03 -288:78 +0.03	-289.67 -290.02 -289.10 2 -288.56 2
				-4' 49,"34
		22 30		
	m = 9.9	0 - u = 0.30	$d\sigma = 0.04$	
88 Dec. 8 89 Jan. 45 89 Jan. 45 89 März	-2 6 u.d. II +1 4 u.d. II	5 7 7 +4:070 4 7 7 +4:098 6 7 7 +4:036 4 7 6 -0:885	+ 44:32 -0:02 + 44:69 -0:03 + 43:86 -0:02 + 43:64 +0:10	+ 14.701 + 14.37 + 14.55 + 14.02 2 + 13.799
		23 40		
89 Jan. 8 89 Jan. 8 89 Jan. 6 89 Febr. 7	+2 52 u.d. II +0 45 u.d. II	o - u = 0.30 5	$d\sigma = 0.06$ +149:28 -0:02 +149:04 0.00 +149:14 -0.02 +149:91 -0.03	+449.02 +448.80 +448.88 +450.24
89 März		4 7 4 -0.678 23 48	+148.96 +0.12	+149.44 +149.26 +2' 29.26
	m = 9.9	a - u = 0.30	da = 0.09	
89 Jan. 89 Jan. 89 Jan. 89 Febr.	+2 <sup>h</sup> 0 <sup>m</sup> u. d. II +3 8 u. d. II +0 54 u. d. II	5 8 6 -0!928 7 8 7 +0.832 5 8 7 +0.940 6 6 8 -0.942	-226:61 -0:30 -224:69 -0.32 -225:73 -0.28 -226:42 -0.28	-227.30 -225.40 -226.40 -226.49 -226.40
				-3' 46"40

88 April (4 + 3<sup>3</sup>40° a. d. II 6 -176'57 -0'06 -1476'38
88 Dec. 41 + 0<sup>6</sup>49° u. d. II 4 8 9 -1332 -469'71 +0'03 -470'06
89 Jan. 42 -0 57 u. d. II 5 4 7 +0.996 -171.35 +0.05 -171.66
89 Jan. 45 -1 11 u. d. II 5 4 7 +0.822 -160.02 +0.05 -160'.38
98 Febr. 28 +0 52 o. d. II 5 9 8 +1.209 -171.34 +0.77 -177.35 -776'75
-776'75

Abhandl, & K. S. Gesellech, d. Wiesensch, XXIX,

17

```
27-26
                 m = 9.9 o - u = 0.30
                                         d\sigma = 0.08
88 Dec. 14 +0h 29m u. d. 11 5 8 7 -0:647 +204:90 +0:10 +204:78
89 Jan. 12 -1 12 u.d. II 6 8 7 -0.601 +205.18 +0.11 +205.37
                 u. d. 11 9 8 7 -0.550 +206.20 +0.10 +206.08
89 Jan. 45 -0 17
89 Febr. 28 +0 55
                 o. d. II 4 7 8 -0.627 +205.47 +0.38 +205.93
                                                         +205,54
                                                        +3' 25.54
                               28 - 30
                 m := 10.0 o - u := 0.34
                                         d\sigma = 0.12
89 Jan. 5 -1147" u.d. II 5 8 4 +0:730 -302:85 -0:16 -303"47
89 Jan. 6 +1 31 u.d. II 4 8 4 +0.670 -302.05 -0.16
                                                        -302.67
89 Jan. 44 -3 4 u.d II 5 8 3 -0.253 -302.81 -0.24
89 Febr. 28 +1 42 o.d. II 5 4 8 +0.717 -302.68 -0.34
                                                         -302.80
                                                                 2 F
                                                         -303"10
                                                         -5' 3"10
                               28 - 48
                 m = 10.0
                            o - u = 0.34
                                           d\sigma = 0.09
89 Jan. 5 +4546" u.d. II 4 6 8 -0!727
                                        +229*02
                                                   0.00
89 Jan. 6 +4 46 u.d. II 4 6 8 -0.816 +228.11
                                                   0.00
89 Jan. 44 -2 50 u.d. II 8 6 8 -0.806 +228.24 +0.04 +228.00
89 Febr. 28 +1 49 o. d. 11 4 8 6 -0.867 +227,42 -0.03 +227.82
                                                         +228.11
                                                        +3' 48"44
                               29 - 30
                          o - u = 1.06 d\sigma = 0.10
                 m = 11.7
87 Jan. 27 -4 28 o. d. 11 4
                                         -273"76 -0"21 -273"97
88 Dec. 43 +2h 4m u.d. 11 4 8 5 +0:576 -271:79 -0:16 -273,744
88 Dec. 27 -0 37
                  u. d. 11 4 8 5 +0.760 -274.25 -0.14
                                                        -275.55
89 Jan. 2 +0 16
89 Jan. 3 -1 25
                 u. d. 11 5 8 5 +0.715 -273.65 -0.43 -274.94
                  u. d. 11 $
                            8 4 -1.435 -273.88 -0.14
                 o, d. 11 5 5 8 +0.805 -274.85 -0.44
89 Jan. 4 -0 40
                                                        -274.03
89 Jan. 27 +1 36 e. d. 11 5 5 8 +0.904 -276.47 -0.43 -275.34
                                                         -274.59
                                                        -4'34"59
                               29-48
                 m = 11.7 u - v = 1.06 d\sigma = 0.10
88 Dec. 43 +2642" u.d. II 4 6 8 +4:342 +256;97 +0:05 +256;06
88 Dec. 27 +2 23 u.d. II 4 5 8 -0.192 +257.54 +0.05 +256.60
89 Jan. 2 +0 27
                 u, d. 11 5 5 8 -0.556 +256,65
                                                 -0.04
                                                         +955.68
89 Jan. 3 -4 45
                 u. d. 11 5 5 8 -0.504 +257.34
                                                  0.00
                                                        +256.38
89 Jan. 4 -0 50 o. d. ll 4 8 5 -0.635 +255.59 0.00 +256.75
89 Jan. 27 +2 8 e. d. II 5 8 5 -0.690 +254 85 +0.04 +256.09
                                                         +256"25
                                                        +4' 16"25
```

#### 30 Hauptstern.

#### 31 - 30

	K	u = 11.0		o u	= 0.76	$d\sigma = 0$	.00		
86 Nov. 3	+0h 11 m	u. d. II	4			- 10,793	-0,"03	- 10.96	2 F.
88 Dec. 7 89 Jan. 27 89 März 6 89 März 7	+1 18 +2 43	o. d. II o. d. II	5	7 7	+0.856	- 11.44 - 12.63	+0.01	-11.85	2 F. 2 F.
		n == 11.0	,		- 48 == 0.76	$d\sigma == 0$	.20		

88	Dec.	21	+2"	· -5"	u. d. II	4	2	9	-0:915	+519771	+0.51	+519.36
89	Jan.	13	+1	22	u. d. II	4	2	9	-0.934	+519.50	+0.17	+519.11
89	Jan.	27	-2	4 I	u. d. II	5	2	9	-0.877	+520.22	+0.16	+519.82
89	Marz	6	+2	52	o. d. II	5	9	2	-0.969	+518.99	+0.20	+520.15
												+519"61

+8' 39',61

## 32 Hauptstern.

# 33 - 40

			n = 43.9	2	0 -	u = 1.69	$d\sigma == 0$	.04			
	Jan. 27 Marz, I								+103.72		
88 89 89	Dec. 27 Dec. 29 Febr. 3 Febr. 5 Febr. 7	-0 51 -0 44 -1 25	u. d.III o. d. II o. d. II	6	1 5 7 3 7 3	-0.297 -0.321	+106:78 +105:80 +102:03 +101:72 +101:12	+0.02 0.00 +0.01	+103.76	ij	1
		lechte Rec							[+103,69]		

99]

+103"57 +1' 43757

33-48

m = 13.2 o - u = 1.69 $d\sigma = 0.10$ 88 Dec. 27 +3b59m u.d. II 4 8 5 +01207 -266185 -0437 -269101 1 88 Dec. 28 -0 7 u.d. II 4 8 5 +0.230 -267.17 -0.22 -269.18 2

88 Dec. 29 -1 5 u.d.lll 4 8 5 +0.366 -268.97 -0.24 -271.0089 Febr. 5 -1 15 o. d. II 3 5 8 +0.475 -270.43 -0.24 -269.08 89 Febr. 7 +1 5 o.d. II 6 5 8 +0.665 -272 98 -0.24 -271.63

-269,"98 4) Schlechte Beobachtung. 2) \* 33 kaum zu sehen. -1' 29"98

47\*

					34	40			
			m = 9.8			= 0.26	$d\sigma = 0$	0.6	
0.0	Sept. 30			5	0 4	0.20	- 95.56	-0.45	- 95771
	Oct. 30	-2 53	u. d. 11	4			- 96,37	-0.13	- 96.55
00	Oct. av	-2 00	u. u. 11	٠			- 90.01	-0.18	- 50.00
88	Dec. 43	-0 <sup>b</sup> 48 <sup>a</sup>	u. h. II	5	6 2	-0:785	- 94289	-0.07	- 95"26
	Jan. 43	+1.44	u. d. II	4	7 3	-0.843	- 94.74	-0.08	- 95.12
89	Jan. 45	+0 25	u. d. II	4	7 3	-0.748	- 96.40	-0.07	- 96,77
89	Febr. 7	+0 3	o. d. 11	5	3 6	+1.105	- 95.34	-0.09	-95.21
									- 95.77
									-4' 35.77
					34	44			
			m = 9.8			= 0.26	$d\sigma = 0$ .		
	Dec. 43		u.h. II	4	7 8	+0.089	+214:85	+0.06	+214773
	Dec. 22	-347	u, d. H	5	7 8	+0.104	+244.95	+0.10	+214.87
	Jan. 43	+3 4	u. h. II	4	7 8	+0.074	+214.54	+0.08	+214.41
89	Febr. 7	+0 8	o. d. II	4	8 7	+0.063	+214.40	+0.02	+214.76
									+211.69
					95	- 10			+3'34"69
			m = 9.0			= 0.00	$d\sigma = 0$	40	
00	April 7			5	o — u	= 0.00	$a \sigma = 0$ . -206"44	-0″05	-206,49
80	April 1	+2-30-	0. u. 11	0			-200,44	-0,00	-200.49
88	Dec. 14	+0h 8m	u. d. II	4	7.8	-01604	-205:48	+0904	-205"52
	Jan. 12	-4 38	u. d. II	5	7 8	-0.504	-206.82	+0.06	-206,81
	Jan. 45	+2 27	u. h. II	4	7.8	-0.523	-206.56	+0.04	-206,60
89	Fehr. 28	+1 6	o. d. II	4	8 7	-0.568	-205.96	+0.08	-205.96
									-206,28
									-3' 26"28
						- 26			-
			m = 9.0		0 — u	= 0.00	$d\sigma = 0$ .		
	April 7	+2h 44m		5			+169.783	+0.04	+469.787
87	Jan. 8	-3 54	o. h. II	4			+169.92	+0.06	+469,98
	Dec. 44	+0139m	u. d. II	Á	7 1	+0:933	+470%54	+0:12	+170,769
	Jan. 12	-1 29	u. d. II	î	7 1	+0.798	+168.74	+0.12	+170.69
	Jan. 45	+2 39	u. b. II	5	7 4	+0.906	+170.45	+0.14	+170.35
	Febr. 28	+1 1	o. d. II	5	4 7	+0.926	+470.42	+0.11	+170.59
									+470"06
					36	30			+2' 50"06
		x	u == 44.0	)	0 - 1	= 0.76	$d\sigma = 0$	.04	
86	Oct. 4	-4150m	u. d. II	4			- 25,"44	-0.01	- 25,"45
87	Jan. 8	+0 5	o. h. II	4			- 25.36	+0.02	- 25.34
87	Jan. 27	+4 58	o. d. 11	4			- 25.12	+0.02	- 25.40
	Dec. 7	+1k 29m	u. d. 11	4	7 7	+4!834	- 24:49	+0405	- 25.24
	Dec. 8 Dec. 27	+0 49	u. h. 11	4	7 7	+1.866	- 24.96	+0.02	- 25.74
	Jan. 27	+0 55	u. d. 11 o. d. 11	5	67	-0.059 +0.019	- 24.88 - 26.44	+0.01	- 25.64 - 25.34
	Febr. 3	-4 52	o. d. 11	5	2 1	-0.181	- 24.75	+0.02	- 23.34
09	rent. 3	-1 32	o. u. 11	0	2 1	-0.181	- 24.75	+0.02	- 23.98

1) \* 38 sehr schwach.

,								
			36	- 48				
	,	n == 11.0	0 1	u = 0.76	$d\sigma = 0$	.49		
88 Dec. 27 89 Jan. 2 89 Jan. 6 89 Jan. 27 89 Febr. 3	+1 <sup>b</sup> 56 <sup>m</sup> -0 45 -1 43 -1 33 -2 1	u. d. II 4 u. d. II 5 u. d. II 6 u. d. II	4 3 9 5 3 9 6 3 9 4 3 9 4 9 3	-0:126 +0:005 -0:095 -0:077	+505:44 +507.47 +505.83 +506.98 +504.73	+0:20 +0:15 +0:18 +0:14 +0:15	+505.704 +506.75 +505.44 +506.55 +505.83	
			37	-40			+8' 25."92	
		n = 12.2	o — 1	= 1.27	$d\sigma = 0$	.05		
86 Oct. 29 87 Jan. 27	-3 <sup>h</sup> 31 <sup>m</sup> -0 41		5 4		-136.30 -131.93	-0.16 -0.08	-136,46 -135.01	1)
88 Dec. 28 88 Dec. 29 88 Dec. 29 88 Dec. 30 89 Jan. 4 89 Febr. 3 89 Febr. 5	-4 <sup>h</sup> 4 <sup>m</sup> -2 46 -2 6 -0 3 -2 49 +0 30 -4 44	u. d. 11 u. d. 11 u. d. 11 o. d. 11 o. d. 11		+0:338 +0:287 +0:380 +0:247 +0:305 +0:261 +0:429	-435:38 -434.80 -135.84 -133.77 -436.65 -436.66 -136.60	-0:10 -0:11 -0:11 -0:10 -0:11 -0:11	-136780 -136.23 -137.27 -135.19 -135.54 -134.95 -135.48	
() * 3	7 sehr sc	hwach					-435,88	
., .	. sem se	a mocus					-2' 45"88	
			37	44				
	,	n = 12.2	0 — 1	v = 1.27	$d\sigma = 0$	.07		
88 Dec. 29 88 Dec. 29 88 Dec. 30 89 Jan. 4 89 Jan. 27 89 Febr. 5	-0 <sup>h</sup> 30 <sup>m</sup> -2 26 +0 4 -3 4 +3 6 -4 57	u. d. II u. d.III o. d. II	8 9 8 9 8 9 7 9 8 7 4 7 4	-0!858 -0.863 -0.869 -1.126 +1.140 +1.089	+176:05 +175.99 +175.94 +172.46 +173.29 +172.70	+0.06 +0.06 +0.03 +0.06 +0.05 +0.02	+174.789 +174.85 +174.74 +173.86 +174.68 +174.06 +174.754	
			38	40			+2' 51"51	
	,	n == 12.8		ı == 1.52	$d\sigma = 0$	.07		
87 Jan. 18 87 Jan. 27 87 März 4	-1 19 17 -0 17 +2 21	o. d. 11	ί ί		-190.22 -190.60 -190.35	-0.720 -0.16 -0.08	-490,42 -490,76 -490,43	')
88 Dec. 28 88 Dec. 29 88 Dec. 30 89 Jan. 4 89 Febr. 3 89 Febr. 5	-4 h 47 m -4 34 +0 44 -3 30 -0 45 -4 48	u. d.111 n. d.111 o. d. 11	5 9 8 4 9 8 4 9 8 5 8 9 4 8 9 4 7 8	+0:221 +0:230 +0:196 +0:359 +0:284 +1:753	-190649 -190,64 -190,15 -192,33 -191,33 -190,11	-0:13 -0:13 -0:19 -0:19 -0:13	-192"24 -192.33 -191.87 -191.07 -190.01 -188.80	

-488.80-190788

-3' 40"88

```
38 — 44
```

```
m = 12.8 o - n = 1.52 d\sigma = 0.05
87 Jan. 18 -1657# o.d. II 4
                                        +120,50 +0,06 +120,56 1
87 Jan. 27 -0 24 o.d. II 4
                                        +120.13 +0.04 +120.17
87 Marz 1 -2 29 o. d. 11 4
                                        +119.33 -0.03
                                                      +119.30
88 Dec. 28 -0h14m u.d.11 4 2 7 -0:890 +118:96 +0:01
                                                       +117,50 1
88 Dec. 29 -1 18 u.d.III 4 2 7 -0.872 +119.20 +0.01
                                                       +117.74
                           3 7 +1.173 +121.71
                                                0.00
88 Dec. 30 +0 44
                 u. d.III 5
                                                       +120.24
                 e. d. II 8 7 3 +0.851 +117.39
89 Jan. 4 -3 48
                                                       +118 99
                                                +0.03
89 Febr. 5 -2 9 o. d. 11 5 7 3 +0.858 +117.49 -0.01
                                                       +119.05
89 Febr. 7 -0 53 o. d. II 5 7 3 +1.064 +120.25 -0.02 +121.80
                                                       +419"18
    1) * 38 ganz seliwach.
                                                       +1' 59"48
                              39 - 26
                 m = 9.1 o - u = 0.00 d\sigma = 0.04
88 Dec. 8 +153" u.d. 11 4 3 7 -0!202 -103:34 -0!03 -103"38
88 Dec, 14 +1 35 u.d. 11 4 3 7 +0,245 -103.81 -0.03 -103.88
88 Dec. 25 -1 54 u.d. II 4 3 7 -0.243 -403.16 -0.04
                                                       -103.29
89 Febr. 28 +1 11 o. d. II 4 6 2 -0.161 -103.21 -0.01
                                                       -103,44
                                                       -4' 43"44
                              39 - 30
                 m = 9.1 a - u = 0.00
                                        d\sigma = 0.08
85 Dec. 2 +2h12m u.b. 11 5
                                        +199757 +0714 +199771
86 April 7 +3 15 o, d. II 5
                                        +200.67 +0.13 +200.80
87 Jan. 7 -0 24 o. h. II 4
                                        +199.71 -0.01
                                                       +199.70
88 Dec. 8 +4h40m u.h.11 4 8 7 -0:883 +201:75 +0:45
                                                      +201798
88 Dec. 14 +1 45 u.d. II 5 8 7 -1.031 +199.77
                                                +0.11
                                                      +199.99
88 Dec. 27 +4 9 v. h. 11 4 8 7 -0.987 +200.26
                                                +0.24
                                                      +200.58
89 Febr. 28 +4 16 o. d. H 4 7 8 -0.963 +200.68 -0.17
                                                      +200.59
                                                               2 F.
                                                       +200"48
                                                       +3' 20"48
                           40 Hauptstern.
                              41 - 30
                m = 12.9 \sigma - u = 1.56 d\sigma = 0.01
88 Dec. 27 -1h19m u. d. 11 4 6 7 +0!424 - 34:09 +0:03 - 32.63
88 Dec. 29 +1 44 u.d, II 4 6 7 +0.456 - 31.55 +0.02 - 33.10
88 Dec. 30 +1 14 u.d. II 5
                          6 7 +0.343 - 30.49 +0.02
                                                      - 32,04 1
89 Jan. 4 +1 40
                 o, d, II 3 2 1 +0.493 - 33.76 +0.04
                                                      -32.17
                 o, d. 11 5 7 6 +0.693 - 34.73 +0.04
                                                      - 34,14 1
89 Jan. 27 +0 49
89 Febr. 3 -4 33 o. d. II 4 2 1 +0.526 - 34.21 +0.05
                                                      - 32.61
                                                       - 32"61
    1) " if ganz schwach.
```

ţ

```
41-48
                 m = 12.9 o - u = 1.56
                                          d\sigma = 0.49
 88 Dec. 27 +4*34** u. d. II 4 3 9 -05627 +498074 +0021
                                                        +497755
 88 Dec. 29 +4 59 u. d. II 5 3 9 -0.767
                                         +496,83 +0.21
                                                        +495.67
 89 Jan. 2 -4 2 u.d.III 5 3 9 -0.624
                                         +498.75
                                                 +0.48
                                                        +497.56 1
 89 Jan. 27 +1 48 o. d. H 5 4 9 +1.065
                                        +494.85 +0.18
                                                        +496.78
 89 Febr. 3 -2 IO o. d. II 5 9 3 -0.941 +494.54 +0.49
                                                        +496.45
                                                        +496, 80
     11 * 41 ganz schwach.
                                                        +8' 16"80
                               42 - 30
                  m = 9.9 o -u = 0.30
                                          d\sigma = 0.43
 88 Dec. 14 +155m u.d. II 4 2 8 -0:145
                                         -338°47 -0°14 -339°04
 88 Dec. 28 +1 11 u.d. 11 4 2 8 -0.601 -336,38 -0.13 -336,94 1
 89 Jan. 45 +0 50 u.d. II 6 2 8 -0.484 -337.97 -0.09 -338.49
 89 Febr. 7 +2 26 o. d. H 3 8 2 -0.345
                                         -340.21
                                                 -0.12 -340.16 2
 89 Marz 9 +2 34 o. d. 11 5 8 2 -0,122 -338,78 -0.43 -338.74 2
                                                        [-338"67]
     1) Schlechte Beobachtung,
     2) Durch Wolken.
                                                        -338\%89
                                                        -5' 38,89
                               42-48
                  m = 9.9 o - u = 0.30
                                          da = 0.07
88 Dec. 44 +2h 5m u.d. 11 4 8 9 +05407 +492599 +0506
                                                        +192"83
88 Dec. 28 +1 1 u. d. II 4 8 9 +0.517
                                         +194.45 +0.04
                                                        +194.26
                 u. d. 11 4 8 9 +0.385
89 Jan. 45 +0 44
                                         +192.68 +0.03
                                                        +192.48
89 Febr. 28 +4 55 o. d. II 5 9 8 +0.384 +192.66 +0.03
                                                        +493.06 1) 2 F.
89 Febr. 28 +2 0 o. d. 11 5 7 1 +2.533 +191.92 +0.03
                                                        +192.32
                                                        +192"99
     1) Schlechte Beobachtung. Faden 9 ganz verschwommen,
                                                        +3' 12"99
                               43 - 30
                 m = 12.1
                            0 - u = 1.22
                                         d\sigma = 0.01
88 Dec. 7 +4540" u.d. II 4 7 7 +45940
                                         - 25°96 +0°06 - 27"13
88 Dec. 27 +1 29 u. d. II 4 6 7 +0.089
                                         - 26.96 +0.06 - 28.43
88 Dec. 29 +4 50
                            6 7 +0.435
                                         - 27.27
                                                 +0.05
                  u. d. II 4
                                                        - 28.45
89 Jan. 4 +2 5
                  o. d. II &
                            2 4 +0.212
                                         -30.04
                                                 +0.08
                                                        - 28.79
89 Jan. 27 +1 26 o. d. 11 4 7 6 +0,339 - 29,99
                                                 +0.40
                                                        - 28.68
89 Febr. 3 -1 42 o. d. II 5 2 1 +0.439 - 29.03 +0.08
                                                        - 27.74
                                                         - 28"14
                               43 - 48
                 m = 12.1
                           0 - n = 1.22
                                          d\sigma = 0.19
88 Dec. 27 -4"44" u.d. 11 4 3 9 -0:495 +504749 +0:25 +503.74
88 Dec. 29 +2 9 u.d. 11 4 3 9 -0.423
                                         +501.46 +0.25
                                                       +500.68
89 Jan. 2 -4 15 u.d. II 5 2 9 +2.460 +503.05 +0.23
                                                        +502.25
89 Jan. 27 +1 59 o. d. l1 5 9 3 -0.542 +499.85 +0.23 +501.49
89 Febr. 3 -2 20 o. d. 11 5 9 3 -0.428 +504.38 +0.23 +503.02
```

+502"23 +8' 22"23

```
11 Hauptstern.
```

						4.0	-10			
				m = 9.9		0 — 11	= 0.30	$d\sigma = 0$	12	
88	Dec.	29	+31 52"	u. d. H	4	3 8	-0.083	-318946	-0:44	-318.799
89	Jan.	5	-1 47	u. d. H	\$	3.8	-0.467	-317.40	+0.06	-317.76
89	Jan.	- 6	+2 0	u. d. 11	7	3 8	-0.075	-318.57	+0.06	-318.93

89 Jan. 6 +9 6 -318.93 1 89 Jan. 6 +2 39 u.d. 11 7 3 8 -0.064 -318.71 +0.04 -319.09 89 Febr. 28 +1 32 o. d. 11 3 8 3 -0.013 -319.44 +0.40 -319.13 -318.78

1) Luft sehr unruhig.

m = 9.9

-5' 18,78

+ 57.66

45 - 26a - u = 0.30da = 0.02

86 Oct. 29 -1521" u.d. II 6 + 57.702 +0.711 + 57.713 88 Dec. 29 +3h44" u. d. 11 4 7 5 +0!592 + 58:44 +0:43 + 58:29

89 Jan. 5 -2 32 u.d. II \$ 3 1 +0.49\$ +58.63+0.44+ 58,49 89 Jan. 6 +2 24 u.d. H 5 7 5 +0.536 + 57.69 +0.15 + 57.55 89 Febr. 28 +1 26 o. d. 11 5 5 7 +0.437 + 56.37 +0.43 + 56.82

16 - 30

$$m = 11.7$$
  $o - u = 1.06$   $d\sigma = 0.09$ 

88 Dec. 27 -0h 14m u. d. 11 4 6 8 -0:045 -238;42 -0:04 -239.61 89 Jan. 2 +1 6 u.d. II 5 6 8 -0.054 -238.30 -0.04 -239.46 89 Jan. 3 -0 44 u.d. II 4 6 8 -0.053 -238.32 -0.04 -239.48

89 Jan. 1 -1 14 o. d. 11 3 8 5 -1.713 -210.76 -0.03 -239.82 -239.591) Ganz unrubige Luft.

2) Statt des angegebenen Fadens 6 wurde angenommen Faden 5. -3' 59"59

46-48

$$m = 11.7$$
  $\sigma - u = 1.06$   $d\sigma = 0.11$ 

88 Dec. 27 +1h22m u.d. 11 5 4 8 -05035 +292564 +0515 +291781 89 Jan. 2 +0 43 u.d. II 5 4 8 -0.130 +291.23 +0.41 +290.39 89 Jan. 3 -4 3 u.d. II 7 4 8 -0.007 +292.99 +0.45 +292.49

+294"46

+4' 51"46 47-4

m = 42.8  $\sigma - \mu = 4.52$   $d\sigma = 0.05$ 

88 Dec. 29 +2639m u.d. 11 4 2 7 -01480 -424044 +0025 -425776 89 Jan. 3 -0 11 u.d. II 5 3 7 +1.285 -423.24 +0.33 -121.45 89 Marz 7 +4 6 o. d. H 5 7 2 -0.460 -424.74 +0.29 -122.95

-124.39 -2' 4"39

50 - 30

o - u = 0.59

 $d\sigma = 0.16$ 

-409.73 -0.04

-411.33 -0.04

m = 10.6

89 Jan. 5 -0 16 n.d. II 5 7 9 +0.646

89 Jan. 6 +0 2 u.d. II 5 7 9 +0.765

4) Luft sehr unrubig.

89 Jan. 2 +2h29m u.d. II 5 7 9 +0!796 -414:74 -0:06

89 Marz 9 +1 44 o. d. II 4 9 6 +1.066 -412.29 -0.04

+4' 27.31

-412755

-440.59

-412.12

-411.90

-6' 51"77

```
50 - 48
                 m = 40.6 a - u = 0.59 d\sigma = 0.05
89 Jan. 2 +2h18m u.d. 11 4 7 2 -05878 +419512 +0510 +148568
89 Jan. 5 +1 25 u.d. 11 5 7 2 -0.889 +118.87 +0.40 +118.43
89 Febr. 28 +2 12 o. d. l1 4 2 7 -4.030 +147.08
                                                +0.38 +418.40 2F
89 Marz 6 +2 24 o. d. 11 4 3 7 +0.789 +446.67 +0 23 +417.54 2F.
89 Marz 9 +4 52 o. d. II 4 4 6 +1.087 +417.93 -0.44
                                                       +418.43 2F.
                                                        +448"26
                                                       +4' 58"24
                              51 - 26
                 m = 12.2 o - u = 1.27 da = 0.04
87 Jan. 21 -4h19h o.d. 41 &
                                        - 13718 +0710 - 13708
88 Dec. 27 +2h49m u.d. 11 4 7 7 -0:863 - 11:54 +0:12 - 12:70
88 Dec. 29 +3 33 u.d. II 10 7 7 -0.784 - 10.49 +0.12 - 11.65
89 Marz 4 +4 38 o. d. 11 4 8 8 -4.276 - 47.08 +0.16 - 45.66 f)
89 Marz 6 +4 22 o. d. 11 6 8 8 -4.188 - 45.90 +0.45 - 14.49
89 Marz 7 +3 37 o. d. 11 5 8 8 -4.088 - 14.56 +0.45 - 13.45
     () * 54 kaum sichtbar.
                                                       [-43.45]
                                                        -43.25
                              51 - 30
                 m = 12.2 o - u = 1.27 d\sigma = 0.11
88 Dec. 27 +0h24m u. d. 11 5 8 4 -0f039 +292f56 +0f27 +291f67
89 Jan. 2 -1 52 u.d. II 5 8 4 -0.088 +291.90 +0.32 +291.06
89 Marz 6 +2 11 e.d. 11 i i 8 -0.421 +287.45 +0.30
89 Marz 7 +2 44 o. d. 11 7 4 8 -0.419 +287.48 +0.32 +289.48
                                                       +290"26
                                                       +4' 50"26
                               52-4
                m = 10.8 \sigma - u = 0.68 d\sigma = 0.04
88 Dec. 14 -0h34m u.d. II 4 7 3 +05604 +414509 +0544 +413789
88 Dec. 25 -0 12 u.d. 11 4 7 3 +0,553 +113.40 +0.44 +113.47
89 Jan. 27 -3 0 u.d. 11 4 7 2 -0.979 +447.76 +0.55 +447.67 1
89 Febr. 28 -0 29 o. d. 11 4 1 6 -0,327 +115.82 +0.53 +116.07
                                                       [+415"20]
     t) Wie Anmerkung 1) der Decl .- Diff. 49 -- 5.
                                                       +414"85
                                                       +4' 54"85
                               52 - 5
                m = 10.8 0 - u = 0.68 d\sigma = 0.12
89 Jan. 45 -4h 27m u. d. 41 6 3 8 -0:016 -349:36 +0:27
                                                       -319,789
89 Jan. 27 -3 40 u.d. 41 4 3 8 -0.148 -347.99
                                                       -348,56 1
                                                 +0.23
89 Febr. 28 -0 28 o. d. ll 5 8 3 +0.037 -320.07
                                                 +0.34
                                                       -319.20
89 Marz 6 +3 8 o. d. 11 4 8 3 +0.149 -324.56 +0.24
                                                       -320.76
                                                       [-349,60]
     () Wie Anmerkung 1) der Decl.-Diff. 49 - 5.
```

-319.75 -5' 19.75

```
53 - 26
                  m = 8.4 0 - u = 0.00 d\sigma \stackrel{?}{=} 0.06
88 Dec. 8 +2h 5" u. h. II 4 1 7 -0:948 -445:75 +0:40 -445:74
89 Jan. 14 +2 34 u.h. 11 4 2 7 +1.045 -144.84 +0.45 -144.75
89 Jan. 45 +2 54 u. h. II 4 1 7 -0.871 -146.38 +0.14 -146.30
89 Febr. 13 +1 10 o, h, || 9 7 1 -1,002 -111.62 +0.17 -111.51
                                                           -145"39
                                                          -2' 25732
                               53 - 30
                  m = 8.1
                           a - u = 0.00 da = 0.06
85 Nov. 20 +0h45m a, h, 41 5
                                           +157.31 +0.15 +457.46
87 Jan. 8 +0 38 o. h. 11 4
                                           +157.57 +0.23 +157.80
88 Dec. 8 +2h 17m u. h. 41 4 7 4 -0:011 +157:88 +0:28 +158"22
88 Dec. 27 + 16 u. h. 41 4 7 4 -0.059 +457.24 +0.36 +457.66
89 Jap. 45 +3 6 u. h. 41 5 7 4 -0.042 +457.47 +0.34 +457.87
89 Febr. 13 +0 48 o. h. 14 4 | 7 -0.100 +156.69 +0.31 +157.06
                                                           +157768
                                                          +2' 37"68
                               54 -- 10
                 m = 10.2 o - u = 0.43 d\sigma = 0.07
86 Nov. 9 +2h12m u.d. H &
                                           +493"73 +0"48 +493"91
88 Dec. 44 +2h38" u, d, 11 5 9 8 +0:450 +193:55 +0:25 +193:44
88 Dec. 14 +2 25 u.d. II 5 9 8 +0.438 +193,39 +0.25 +193,28
89 Jan. 2 +3 55 u.d. # 5 8 7 -1.413 +194.26 +0.35 +194.25
89 Jan. 27 -2 1 u.d. 41 1 9 8 +0.117 +193.11 +0.22 +192.97
89 Febr. 7 +0 36 o. d. II 4 8 9 +0.323 +191.85 +0.26
                                                          +192.61
                                                           +193,41
                                                          +3" 13"41
                               54 - 48
                 m = 10.2 o - u = 0.43 d\sigma = 0.07
88 Dec. 14 +2h15m u. d. II 4 8 9 -0:387 -182:26 -0:04 -182:80
89 Jan. 2 +4 4 u.d. II 4 8 9 -0.414 -181.68 -0.09 -182.27
89 Jan. 27 -2 12 u.d. II 4 8 9 -0.431 -181.77 0.00 -182.27
89 Febr. 7 +1 10 o. d. II 5 9 8 -0.100 -182.18 +0.02 -181.80
                                                           -182.28
                                                           -3' 2"28
                               55 - 40
                  m = 9.4
                           a - u = 0.00 d\sigma = 0.02
85 Dec. 7 -0h 40m o. h. II 5
                                          - 43,03 -0,06 - 43,09
87 Jan. 8 -2 46 o. h. II 4
                                           - 43.55 +0.03 - 43.59
88 Dec. 13 -05 7" u.h. II 4 1 3 -05686 - $2574 +0514 - $2762
89 Jan. 13 +2 43 u.h. 11 4 5 7 -0.470 - 44.23 +0.16 - 44.09
89 Jan. 27 -2 6 u.d. II 4 5 7 -0,530 - 43.43 +0,12 - 43.33
89 Febr. 7 -0 4 o. d. II 1 7 5 -0.486 - 43.92 +0.18 - 43.76
89 Febr. 43 -0 46 o. b. 41 4 4 2 -0.606 - 43.23 +0.18 - 43.07
```

- 43"35

[108

```
55 - 44
                 m = 9.4 o - u = 0.00
                                         da = 0.10
88 Dec. 43 +0h44m u.b. II 4 8 5 +0t462 +266t25 +0t26
89 Jan. 13 +2 49 u. b. 41 4 8 5 +0.266 +267.64 +0.34 +268.08
89 Febr. 7 -0 16 o. d. 11 4 5 8 +0,163 +266,26 +0.28 +266.61
89 Marz 4 +2 15 o. d. 11 5 6 8 +0.052 +266.47 +0.31 +266.88
                                                          +267.05
                                                         +4' 27"05
                               55 - 48
                  m = 9.4
                          a - u = 0.00
                                         d\sigma = 0.16
89 Jan, 27 -2h17m u.d. 41 4 6 9 -0r433 -418296 +0240 -418772
89 Febr. 13 +0 0 o. h. 11 5 9 6 -0.511 -419.71 +0.37 -419.50
                                                          -$19711
                                                         -6' 59"11
                               56 - 26
                 m = 11.3
                           0 - u = 0.89
                                          d a = 0.07
87 Jan. 26 -4 h 34 m o, d. ft 4
                                          -188''93 + 0''01 - 188''89
88 Dec. 27 +3h 3m u. d. H 4 7 8 -11867 -188:58 +0:11 -189:43
88 Dec. 30 -0 35 u. d. 41 4 7 8 -1.931 -187.73 +0.44
                                                         -188.55
89 Jan. 2 +3 32 u.d. 11 5 8 9 +0.027 -187.89 +0.41
89 Marz 4 -0 32 o. d. 44 4 9 8 +0.455 -189.60 +0.23
                                                         -188.55
                                                         -488.83
                                                          -3' 8"83
                               56 - 30
                 m = 11.3 o - u = 0.89
                                          d\sigma = 0.04
87 Jan. 21 -4h 0m o.d. 41 4
                                          +411.755 +0.738 +111.793
87 Jan. 26 -1 43 o. d. l1 4
                                          +414.79 +0.22 +115.01
88 Dec. 30 -0<sup>h</sup>49<sup>m</sup> u, d. 41 4 7 3 +07652 +444273 +0230 +414748
89 Jan. 2 +3 44 u, d. 41 5 7 3 +0.747 +416.04 +0.40 +115.56
89 März 4 -0 23 o. d. li 4 3 7 +0.533 +113.14 +0.35 +114.42
                                                          +114782
                                                         44" 54"89
                               57 - 26
                 m = 8.9 o - u = 0.00 da = 0.00
89 Jan. 3 +2640m u.b. 11 5 6 7 -1/122 - 10:45 +0:39 - 10:06
89 Jan. 5 -2 21 u.d. H 4 7 7 -0.760 - 10.17 +0.39 - 9.78
89 Jan, 6 +3 22 u.d. H 4 7 7 -0.745 - 9.97 +0.39 - 9.58
89 Febr. 13 +1 27 o. h. ll 5 7 6 -1.233 - 8.96 +0.40 - 8.56
                                                             9"49
                               57 - 30
                  m = 8.9 o - u = 0.00 d\sigma = 0.11
89 Jan. 3 +2h50m u.h. H 5 8 4 -01004 +293007 +0060
89 Jan. 5 +0 27 u.d. 11 4 8 4 -0.011 +292.93 +0.54
89 Jap. 6 +3 34 u.d. H 4 8 4 +0.022 +293.37 +0.64
                                                        +294.12
89 Febr. 43 +0 53 o. h. 11 4 4 8 -0.076 +292.06 +0.54 +292.71
                                                         +293755
                                                         +4" 53"55
```

```
58 - 26
                    m = 10.5 a - u = 0.55 d\sigma = 0.03
88 Dec. 27 + 3^h 47^m u.d. 11 + 5 + 4 + 7 + 0!019 - 79!77 + 0!29 - 80"06 89 Jan, <math>5 - 2 + 4 u.d. 11 + 4 + 4 + 7 + 0.143 - 84.03 + 0.38 - 84.23
89 Jan. 6 +3 44 u.d. 11 4 4 7 +0.093 - 80.76 +0.37 - 80.97
89 März 4 +0 43 o.d. 11 4 7 4 +0.458 - 84.64 +0.40 - 80.72
                                                                    - 80,74
                                                                   -4' 20"74
                                    58 - 30
                    m = 10.5 o - u = 0.55 d\sigma = 0.08
88 Dec. 27 +0h58m u. d. 11 6 8 7 +0f554 +220f93 +0f46 +220f92
89 Jan. 5 +0 14 u.d. 11 5 8 7 +0.625 +221.92 +0.53 +221.98
89 Jan. 6 +2 57 u.d. II 5 8 7 +0.661 +222.41 +0.57 +222.51
89 März 4 +0 53 o. d. 11 4 7 8 +0.511 +220.40 +0.52 +221.55
                                                                    +221,71
                                                                   +3' 44"74
                                    59 - 30
                     m = 9.2 o - u = 0.00 d\sigma = 0.03
88 Dec. 25 -2h 2m u. d. 11 5 4 7 -0:059 - 78:73 +0:34 - 78:45
89 Jan. 3 +3 4 u.h. ll 5 4 7 -0.055 - 78.79 +0.42 - 78.40
89 Jan. 5 -0 46 u.d. ll 4 4 7 +0.093 - 80.76 +0.43 - 80.36 89 Jan. 6 +3 47 u.d. ll 5 4 7 -0.065 - 78.65 +0.40 - 78.28 89 Febr. 43 +0 39 o.b. ll 4 7 4 -0.056 - 78.78 +0.45 - 78.36
                                                                    - 78"77
                                                                   -1' 18"77
                                    59 - 48
                     m = 9.2 o - u = 0.00 d\sigma = 0.17
89 Jan. 5 +2h41" u.d.11 5 9 5 +07448 +453:59 +0:64 +454.737
89 Jan. 6 +4 0 u.d. 11 5 9 5 +0.080 +452.68 +0.80 +453.65
89 Jan. 45 +3 22 u.h. 11 5 9 5 +0.158 +453.67 +0.69 +454.53
89 Febr. 43 0 0 o. h. 11 8 6 9 +0.978 +454.04 +0.54 +454.75
                                                                    +454.732
                                                                   +7' 34"32
                                     60 - 30
                    m = 12.6 o - u = 1.43 d\sigma = 0.06
87 Jan. 26 -4142" o.d. Il 3
                                                 -145"15 +0"22 -144"93 1)
87 Jan. 27 -4 34 o.d. 11 4
                                                 -144.86 +0.21 -144.65 1
88 Dec. 27 -0h 4m u. d. 11 5 4 7 -4:042 -444:84 +0:33 -445."97
88 Dec. 29 +0 34 u.d.lll 4 4 7 -0.933 -145.55 +0.33 -146.76
89 Jan. 2 -4 43 u.d. 11 5 4 7 -0.965 -445.42 +0.43 -446.48
89 Marz 7 +3 1 o. d. 11 4 6 1 +1.031 -146.36 +0.41 -144.58
                                                                    -445"50
    1) ° 60 kaum zu sehen.
```

-9' 25"50

```
60 - 48
                m = 12.6
                          0 - u = 1.43
                                        d\sigma = 0.45
88 Dec. 27 +2536" u. d. ll 5 8 4 +41477
                                       +387:34 +0:53 +386.59
88 Dec. 29 +0 46 u.d.lll 5 9 7 -4.485
                                        +385.23 +0.49
                                                      +384.44 1)
89 Jan. 2 -4 29 u.d. tl 5 9 7 -0.992 +387.77 +0.57
                                                       +387.06
89 Marz 7 +3 54 o. d. II 6 4 8 +0.930 +384.03 +0.70 +386.3
                                                       [+386,40]
     1) Schlechte Beobachtung.
                                                        +386"34
                                                      +6' 26"34
                              61--4
                 m = 9.7 o - u = 0.22
                                        d\sigma = 0.19
88 Dec. 7 +0h45= u.d.tl 6 8 2 -4/377 +326:00 +0:29 +326:49
88 Dec. 8 -1 24 u.h. tl 4 8 3 +0.629 +327,99 +0.29 +328.18
88 Dec. 10 -1 5 u.h. 11 4 8 2 -1.271 +327.41 +0.29 +327.60
88 Dec. 13 -2 17 u.h. tt 5 8 3 +0.614 +327.79 +0.32 +328.01
                                                        +327,49
                                                      +5' 27"49
                              61 - 49
                m = 10.6
                           o - u = 0.59
                                        d\sigma = 0.08
88 Dec. 10 +0h50m u. h. ll 4 7 8 -0f478 +207f17 -0f12 +206751
88 Dec. 14 -1 7 u. d. II 4 7 8 -0.580 +205.80 -0.12 +205.17
                                                        +205.785
                                                      +3' 25"85
                              61 - 52
                m =: 10.8
                          o - u = 0.68
                                        d\sigma = 0.08
88 Dec. 14 -0h58" u. d. tt 4 7 8 +0f007 +243:65 -0:45 +242"90
88 Dec. 25 +0 10 u.d. lt 5 7 8 -0.026 +213.21 -0.16 +212.43
88 Dec. 25 +0 25 u.d. II 4 7 8 -0.029 +213.17 -0.16 +212.41
                                                        +242"59
```

Die Grössenschätzungen wurden mit ganz wenigen Ausnahmen während der Dectinations-Messungen angestellt. Sie wurden möglichst an die Schätzungen der DM, angeschlössen, indem anfangs die Grössen der Hauptsterne, wie sie in der DM, angegeben sind, gemerkt und von ihnen ausgehend weiter geschätzt wurde. Jeder Stern, von den ofbers beobachteten Hauptsternen abgesehen, warde durebschnittlich an 4.6 Abenden geschätzt. Da dies aber in sehr verschiedenen Stundenwinkein geschehen war, wurden die direct erhaltenen Grössen nach der Seidel-Scala wegen Extinction corrigirt. Dann warden die Verschiedenen Werthe für einen Stern gemittelt und die Abweichungen der Einzekschätzungen von dem Mittel ge-

+3' 32"59

bildet. Diese Abweichungen wurden für die einzelnen Tage zusammengestellt, um zu untersuchen, ob die Schätzungen einzelner Tage in Folge abnormer Witterungsverhältnisse oder wegen Verschiedenheit der persönlichen Auffassung einer Correction bedurften. Dies zeigte sich jedoch nirgends; die einzige Tages-Correction, die auf einige Sicherheit Anspruch machen kann, ergab sich für 1889 Januar 4 im Betrage von - 0"2 ± 0"04. Da aber nur 6 Schätzungen von diesem Tage vorlagen, wurde Abstand genommen, sie anzubringen. - Die Sterne wurden dann in 3 Grössen-Abtheilungen getrennt: Abtheilung I enthält die Grössen 7"0 bis 8"9, Abtheilung II 9"0 bis 10"9, Abtheilung III 11"0 bis 13"5. Die mittleren Fehler der Grössenschätzungen wurden nun nach den 3 Abtheilungen getrennt berechnet. Es ergiebt sich

fur die Abth.	als m. F. einer Schätzung	als m. F. des Mittels	Anzal
1	±0"47	±0.07	6.2
11	±0.27	±0.12	4.9
III	+0.47	+0.21	5.4

Die vierte Columne giebt die durchschnittliche Anzahl der zum Mittel vereinigten Schätzungen.

Anderen Schätzungen gegenüber werden die hier gegebenen, besonders die der Abtheilung III, zu niedrig sein, d. h. sie müssten mit einem Factor kleiner als 1 multiplicirt werden, um auf die gewöhnliche Grössen-Scala gebracht zu werden. Stern 31 ist vielleicht ganz falsch eingeschätzt worden; seine Nähe an Stern 30 beeinflusste die Schätzung, und da er in hellem Felde, besonders bei Anwendung von rothem Lichte, eber sichtbar war als Sterne, die bei dunklem Felde für heller als er gehalten wurden, ist es möglich, dass die für ihn angegebene Grösse 11.0 bedeutend zu niedrig ist. Eine rothe Färbung, die seine grössere Helligkeit bei rothem Lichte erklärlich machte, wurde an ihm nicht bemerkt, Stern 61 ist überhaupt nicht geschätzt worden. Die für ihn angeführte Grösse ist die von Herrn Dr. Peter gegebene.

Zur Vergleichung folgt hier noch eine Zusammenstellung der Grössen für Sterne, die in der DM. aufgeführt sind, und einiger, die bei Gelegenheit der Leipziger Zonenbeobachtungen von Herrn Dr. Peter geschätzt wurden, mit den hier behandelten.

4	2	3	4	5	6	7
4	1328	8.3	8.4	8.6	-0.3	-0.2
å	1329	9.5		9.7	-0.2	
5	1331	8.5	8.4	8.4	+0.4	0.0
8	1333	8.7	8.3	8.7	0.0	-0.4
10	1334	8.2	8.3	8.3	-0.1	0.0
1.4	1337	9.2		9.6	-0.4	
20	1339	9.5		9.6	-0.1	
22	1340	9.4		9.9	-0.5	
24	1344	9.2	8.8	9.0	+0.2	-0.2
26	1342	9.4		9.4	0.0	
28	1343	9.4		10.0	-0.6	
30	4344	8.4	8.4	8.1	0.0	0.0
32	1345	7.0	7.5	7.4	-0.4	+0.1
35	1346	9.0	8.5	9.0	0.0	-0.5
39	4347	9.4		9.4	+0.3	
40	1348	8.7	8.4	8.9	-0.2	-0.5
48	1352	9.4		9.2	+0.2	
53	1356	9.4	8.6	8.4	+0.7	+0.2
55	1357	9.4		9.4	0.0	
57	1358	9.5		8.9	+0.6	
59	1359	9.3		9.2	+0.1	

Die Columnen enthalten der Reihe nach: die bei dieser Vermossung dem Stern gegebene Nunmer, die Nummer in der DM, die Grösse der DM, die Grösse in den Leipziger Zonen, meine Grössenschätzung, die Differenz: Columne 3 minus Columne 5, die bilferenz: Columne 4 minus Columne 5. Die Abweichungen von den Grössenchassen in der DM. springen hin und her; das Mittel der Werthe in der letzten Columne ist — 0°45, es bestätigt also die oben aufgestellte Behauptung bezüglich der hier vorliegenden Schätzungen, so weit sieh aus so wenigen Zahlen ein Schluss zieheu lässt. — Variable Sterne scheint der Sternhaufen nicht zu enthalten.

Die hier benutzte Einheilung der Sterne in 3 Abtheihungen sis auch weiterhin beibehalten worden bei Bereehnung der mittleren Fehler. Ehe die Werthe für die einzelnen Beobachtungs-Abende zu einem Gesamut-Mittel vereinigt wurden, wurden die mittleren Fehler einer Einzel-Differenz aus den Abweichungen der einzelnen Messungen von ihrem Abendmittel berechnet, und zwar nicht nur gesondert nach den oben eingeführten 3 Grössen-Abtheilungen, sondern es wurden noch Unterabtheilungen dadurch erhalten, dass die Sternpaare zusammengefasst wurden, je nachdem beide Sterne derselben oder verschiedenen Grössen-Abtheilungen zugebörten. Man erhält so folgende Gruppen, die sieh sofort aus ihrer Bezeichnung erklären:

### 1 1, 1 11, 11 11, 1 111, 11 111.

Die Abhreitung III III kommt nicht vor, da die Hauptsterne alle beller sind als 11\*0. Folgendes Tableau gicht die mitteren Fehler einer gemessenen Differenz für Beobachtungen bei dunklem Felde und mit 193-facher Vergrösserung. Mit dieser Beleuchtungsart und Vergrösserung sind die meisten Beobachtungen angestellt worden.

			AB.	Deci.					
Ahth	eil.	m. F.	Anzahl d. Beob.	m. F.	Anzahl d. Beob.				
t	ı	±0:127	187	±0.70	75				
t	tt	$\pm 0.432$	1111	$\pm 0.84$	972				
tI	П	$\pm 0.444$	656	$\pm 0.85$	545				
ı	tII	$\pm 0.161$	598	±1.08	428				
tt	ttt	$\pm 0.474$	652	±1.27	64.6				

Es ist hier die Zunahme des mittleren Fehlers mit der Abnahme der Helligkeit deutlich ausgesprochen. - Der Einfluss der Vergrösserung ergiebt sich aus Folgendem: Fasst nien die AR.-Beobachtungen der Sterne der Abtheilungen II, III, II II einerseits zusammen, andrerseits die der Abtheilungen 1 III und 11 III, so erhält man als mittlere Fehler für (I II) ± 0:136, für (III) ± 0:168 bei der Vergrösserung 193, dagegen für (III) ± 0:139, für (III) ± 0:227 bei Anwendung der Vergrösserung 144. Die Beobachtungen schwacher Sterne mit der schwächeren Vergrösserung sind also bedeutend ungenauer, als die mit der stärkeren Vergrösserung angestellten. der Mittelbildung wurde daher AR.-Messungen von Sternen schwächer als 1100 mit der Vergrösserung 144 das Gewicht 4 gegeben. 288-fache Vergrösserung wurde bei Declinations-Messungen schwächerer Sterne oft gebraucht. Fasst man hier die Abtheilungen I III, II III in eine zusammen, so findet sich für diese Abtheilung (III) als mittleren Fehler einer Differenz ± 1".12 bei Vergrösserung 193, dagegen bei Vergrösserung 288 ± 4.03. Der Unterschied zwischen beiden Fehlern ist zu unbedeutend, um deswegen eine Gewichtsänderung eintreten zu lassen. - Die AR.-Messungen sind mit wenigen Ausnahmen bei dunklen: Felde angestellt worden; dagegen wurde bei Abhandl, d. K. S. Gesellsch, d. Wissensch, XXIX.

244 Decl.-Messungen von Sternen der Abtheilung (I II) Feldbeleuchtung angewendet. Aus diesen berechnet sich der mittlere Fehler einer Differenz zu ± 0"86, während sich aus den Messungen bei dunklem Felde für diese Abtheilung ± 0"84 ergiebt. Die verschiedene Beleuchtung hat also auf die Messungen keinen Einfluss.

Zur Vergleichung folgen bier die mittleren Fehler einer Messung bei einigen andern Beobachtern, wie sie dieselben entweder selbst angegeben haben, oder wie sie sich aus den von ihnen angeführten wahrscheinlichen Fehlern berechnen.

0."62

Mit Ausnahme von Helment ist der mittlere Fehler bei allen Beobachtern bedeutend kleiner als bei mir. Hierbei ist noch zu berücksichtigen, dass man eigentlich die mittleren Fehler in Rectascension noch auf den Aequator beziehen müsste, um sie mit einander vergleichen zu können, dass man also der höheren Declinationen der betreffenden Sternhaufen halber die Werthe von Schultz und Rebeur noch mit einem Factor kleiner als 1 multipliciren müsste. Als Hauptursachen für die Grösse des mittleren Fehlers bei meinen Beobachtungen erachte ich die ungünstigen Witterungsverhältnisse während der letzten Beobachtungsreihe, und ferner den Umstand, dass die Beobachtungen sehr beeilt werden mussten, weil das Instrument im Frühjahr abgebrochen werden sollte. Die Beobachtungen wurden daher so lange als möglich bei grösstmöglichster Beschleunigung der Einstellungen ausgedehnt. Hierdurch wurden die Augen sehr ermüdet. was sich hauptsächlich darin zeigte, dass die hellen Mikrometer-

<sup>4)</sup> VALENTINER, Astronomische Beobachtungen auf der Grossherz. Sternwarte zu Mannheim, III, Abtheilung.

<sup>2)</sup> Veröffentlichungen der Grossherz, Sternwarte zu Karlsruhe, Hoft III.

Die Beobachtungen verschiedener Abende für dasselbe Sternpaar wurden - ausgenommen diejenigen Abendwerthe, denen das Gewicht 1 beigelegt wurde, nämlich 1) den mit der Vergrösserung 144 gemessenen Differenzen von Sternpaaren der Abtheilung (III), 2) solchen Abendwerthen, die erheblich von den andern abweichen, und deren Abweichungen durch Bemerkungen ihre Erklärung finden - als gleichwertlig angesehen, d. h. es wurde angenommen, dass die Genauigkeit eines Abendwerthes sich nicht erheblich verändere, wenn das Abendmittel auch auf einigen Messungen mehr oder weniger als 8 für AR, und 4 für Decl. beruhte. Die AR,-Messungen konnten ohne Weiteres gemittelt werden, da sich ein Unterschied zwischen den beiden entgegengesetzten Lagen des Positionskreises in den Beobachtungen nicht zeigte. Die Differenz »links minus rechts« erreichte ihren grössten und sichersten Werth für Sternpaare von positiver AR.- und negativer Decl.-Differenz, nämlich - 0:012 ± 0:009 (ans 48 Sternpaaren). Alle übrigen Combinationen von Sternpaaren, sowohl der gegenseitigen Lage als auch der Helligkeit nach, ergaben noch bedeutend unsicherere Zahlen. Es wäre auch dieser Unterschied in AR. von geringem Einfluss auf das Endresultat gewesen, da die neueren Messungen, abgesehen von denen der Hauptsterne, ziemlich gleichmässig über beide Lagen vertheilt sind. Die älteren AR.-Messungen sind allerdings nur bei »Schraube oben « vorgenommen worden.

Anders verhält es sieh bei den neueren Declinations-Messungen. lier springt sofort hei den Angaben der Columne 7 in Tabelle 9 der starke Unterschied der Messungen hei »Schraube oben« und bei »Schraube unten» in die Augen und seine Zunahme mit m. Ausserdem ist durchaus nicht gleich oft in beiden Lagen beobachtet worden. Tabelle 10 enthält die Differenzen o – ur für die einzelnen Sternpaare, wie sie sich aus der Differenz der Mittel in beiden Lagen engeben, nachdem die Abendresulhate mit der Sunnue der Correctionen in Columne 8 verhessert sind. Columne 1 enthält die Bezeichnung des Sternpaares, Columne 2 die Grösse des angeschlossenen Sternes, Columne 3 den Betrag o – u, Columne 4 die Auzahl der Beobachtungen bei jeder Schraubenlage und Columne 5 das Gewicht der betreffenden Differenz. Dieses wurde aus den Angaben der Columne 4 nach bekannter Fornel berechnet, indem jeder Abendwerth das Gewicht 1 erhielt.

Tabelle 10.

		Grösse	o — u	Anz	ahl	P	,		Grösse	0 — H	Anzah	P
1	47	12"8	-0:78	1	2	0.7	30	25	1179	- 0:84	2 3	1.2
Á	49	10.6	-1.40	i	3	0.7	30	28	10.0	-0.27	1 3	0.7
Á	59	10.8	-0.20	14	3	0.7	30	29	11.7	-2.44	2 4	1,3
5	A	9.7	-1.33	3	4	1.7	30	31	11.0	-0.57	2 2	1.0
5	49	10.6	-1.42	2	9	1.0	30	36	11.0	-0,65	2 3	1.2
5	52	10.8	-2.12	2	2	1.0	30	39	9.4	-0.26	1 3	0.7
10	4	9.7	-1.06	3	6	2.0	30	5.4	12.9	-3.47	3 3	1.5
10	26	9.4	+0.30	3	7	2.4	30	43	12.1	-2.92	3 3	1.5
10	8	8.7	-0.08	4	3	0.7	30	4.5	9.9	-1.89	2 3	1.2
10	11	11.0	-1.46	4	3	0.7	30	46	11.7	-2.12	4 3	0.7
10	20	9.6	+0.35	4	3	0.7	30	50	10.6	-1.35	4 3	0.7
10	27	9.9	- 1.29	1	3	0.7	30	51	12.2	-1.75	2 2	1.0
10	35	9.0	+0.36	4	3	0.7	30	53	8.4	-0.86	4 3	0.7
10	45	9.9	-1.04	4	4	0.8	30	56	11.3	-1.35	1 3	0.7
10	47	12.8	-2.94	2	3	1.2	30	57	8.9	-1.12	4 3	0.7
10	45	10.2	-2.10	2	3	1.2	30	58	10.5	- 1.35	1 3	0.7
10	6	11.5	-2.21	1	4	0.5	30	59	9.2	+0.51	4 4	0.8
26	8	8.7	-0.25	4	3	0.7	30	60	12.6	-1.15	1 3	0.7
26	44	11.0	-4.69	1	å	0.8	30	14	9.6	+0.29	4 3	0.7
26	12	11.8	-2.20	4	3	0.7	48	- 1	8.6	+0.70	2 3	1.2
26	45	10.2	-0.35	1.	3	0.7	48	2	10.5	-0.86	4 3	0.7
26	20	9.6	+1.23	4	3	0.7	48	3	12.6	-4.45	2 3	1.2
26	27	9.9	-0.08	1	3	0.7	48	7	11.0	-0.38	2 3	1.2
26	35	9.0	+0.64	1	3	0.7	48	9	10.1	+0.94	4 3	0.7
26 26	39	9.1	+0.20	1	3	0.7	48	13	9.8	-0.80	2 3	1.2
26	45 53	8.4	-1.89 +1.08	1	3	0.7	48	18	10.6	+0.44	2 2	1.0
26	56			1	3		48	24	10.7	-1.82		1.2
26	57	11.3 8.9	-1.43 +1.25	1	3	0.7	48	23	9.4	+0.48	1 3	0.7
26	58	10.5	-1.04	1	3	0.7	48	24	9.0	+0.37	2 3	1.2
26	22	9.9	+0.31	2	2	1.0	48	28	10.0	-1.07	1 3	0.7
26	25	11.9	-3.51	9	2	1.0	48	29	11.7	-1.87	2 4	1.3
26	47	10.7	-2.03	1	3	0.7	48	31	11.0	-0.80	1 3	0.7
26	6	11.4	-1.68	11	4	0.8	48	33	13.2	-4.00	2 3	1.2
26	51	12.2	-4.80	3	2	1.2	48	36	11.0	-4.63	1 4	0.8
30	3	12.6	-3.89	2	3	1.2	48	41	12.9	-3.44	2 3	1.2
30	6	11.4	-2.08	2	2	1.0	48	4.2	9.9	-1.09	2 3	1.2
30	7	11.0	-1.88	î	ĩ	0.5	48	43	12.1	-2.40	2 3	1.2
30	9	10.1	+0.84	1 4	3	1.7	48	50	10.6	-1.71	3 2	1.2
30	13	9.8	-0.39	2	2	4.0	48	54	10.2	-0.24	1 3	1.2
30	17	10.7	-1.47	1	Ā	0.8	48	59	9.2	+0.51	1 3	0.7
30	18	10.7	-1.17	2	3	1.2	48	60	12.6	-2.58	1 3	0.7
30	21	9.4	+0.11	i	3	0.7	48	55	9.4	-0.78	1 1	0.5
30	99	9.9	-0.56	1	3	0.7	40	4	8.6	-0.47	2 3	1.2
30	91	9.0	-0.03	9	3	19	40		40.5	-1 99	9 3	1 9

•	٠	Grbsse	o — #	Anz	ahl	P	4		Grösse	o ts	Ana	sht	P
40	7	44.50	-1730	4	2	1.3	40	54	10-2	-1273	4	4	0.8
40	16	10.6	-1.74	2	3	1.2	40	55	9.4	-0.06	2	3	1.2
40	49	10.4	+0.42	1	3	0.7	40	1.5	9.6	-0.35	4	4	0.8
40	23	9,9	+0.34	2	3	1.2	4.4	19	10.4	-0.13	1	3	0.7
40	33	13.9	-4.55	3	2	1.2	4.4	34	9,8	-0.43	4	3	0.7
40	34	9.8	-0.01	1	3	0.7	11	37	12.2	-3.47	3	3	1.5
40	37	12.2	-4.49	3	4	1.7	5.5	38	12.8	-1.92	3	3	1.5
40	38	12.8	-0.83	3	3	1.5	5.5	55	9.4	-0.58	2	2	1.0

Da der Unterschied o - u am augenfälligsten bei Beobachtungen schwacher Sterne mit geringer AR.-Differenz vom Hauptstern, wie 25 - 26, 37 - 40 etc., auftrat, so wurde zuerst angenommen, dass die Ursache zu diesem systematischen Fehler in einer geringen Drehung des Fernrohres um die Declinations-Axe nach unten liege, die einträte, wenn es nach der Beobachtung des vorangehenden Sternes mittelst der Schnur zur Beobachtung des folgenden herangezogen wurde, eine Manipulation, die bei Sternen von grosser oder geringer AR.-Differenz, hauptsächlich aber bei schwachen Sternen wegen der mühsamen Einstellung immer angewendet wurde. Jedoch ist diese Annahme nicht richtig: denn dann müsste die Differenz bei Sternpaaren mit sehr grossem oder sehr kleinem AR.-Unterschied am stärksten auftreten, dagegen bei mittleren ganz verschwinden. Als aber die Unterschiede nach den AR.-Differenzen geordnet wurden, zeigte sich das nicht. Die Mittelwerthe o - u für die Sternpaare mit AR.-Differenzen von 0° bis 30°, 30° bis 60°, 60° bis 90° haben genau denselben Betrag: - 1"09. Ferner spricht noch gegen obige Annahme der Umstand, dass, als vom 28. Februar 1889 ab die Schnur nicht mehr zur Bewegung des Instrumentes zwischen zwei zusammengehörigen Beobachtungen benutzt wurde, sondern die beiden Sterne abwechselnd an 2 verschiedenen Stundenfäden beobachtet wurden, bei diesen Messungen sich dennoch der Unterschied zwischen beiden Schraubenlagen zeigte.

Tabelle 11.

Stern	paur	0 — N	Grósse	BeobRechn.	Steri	npaar	0 — H	Grösse	Beob Rechn.
53 53	30 26	-0786 +1.08	8.4	-0"86 +1.08	8 57	26 30	-0.25 -1.12	8:7 8.9	-0°25 -4.42
1	48	+0.70	8.6	+0.70	57	26	+1.25	8.9	+1.25
8	40	-0.47	8.6	-0.47 -0.08	35 35	10 26	+0.36	9.0	+0.36

Stern	pasr	o u	Grosse	BeobRechn.	Sterr	paar	o — u	Grosse	BeobRechn
24	30	-0003	9.0	-0:03	49	5	-1942	10,6	-0:24
24	48	+0.37	9.0	+0.37	149	4	-4.40	10.6	-0.22
39	26	+0.20	9.1	+0.20	50	30	-1.35	10.6	-0.17
39	30	-0.26	9.4	-0.26	46	48	+0.44	10.6	+1.32
48	30	-0.44	9.2	-0.44	50	18	-4.74	10.6	-0.53
48	40	+0.32	9.2	+0.32	16	40	-1.74	10.6	-0.56
59	30	+0.51	9.2	+0.54	-				ļ
59	48	+0.54	9.2	+0.54	17	26	-2.03	10.7	-0.75
26	10	-0.55	9.5	-0.55	17	30	-1.47	10.7	-0.19
26	30	+0.46	9.4	+0.46	18	30	-4.47	10.7	+0.11
21	30	+0.11	9.4	+0.11	18	48	-1.82	10.7	-0.54
21	48	+0.18	9.4	+0.18	52	5	-2.12	10.8	-0.76
55	48	-0.78	9.1	-0.78	52	4	-0.20	10.8	+1.16
55	40	-0.06	9.4	-0.06	11	10	-1.46	44.0	+0.06
55	4.4	-0.58	9.4	-0.58	44	26	-1.69	11.0	-0.17
4.4	40	-1.05	9.6	-1.05	34	30	-0.17	11.0	+1.05
4.4	32	-1.18	9.6	-1.18	36	30	-0.65	11.0	+0.87
20	10	+0.35	9.6	+0.35	7	30	-4.88	11.0	-0.36
20	26	+1.23	9.6	+1.23	7	48	-0.38	11.0	+1.15
13	48	+0.29	9.6	+0.29	34	48	-0.80	11.0	+0.72
14	40	-0.35	9.6	-0.35	36	48	-1.63	11.0	-0.11
			-		7	10	-1.30	11.0	+0.22
4	5	-1.33	9.7	-0.89	56	26	-1.43	11.3	+0.35
i.	10	-1.01	9.7	-0.57	56	30	-2.23	11.3	-0.15
13	30	-0.39	9.8	+0.13	6	26	-1.68	11.5	+0.18
13	18	-0.80	9.8	-0.28	6	10	-2.11	41.5	-0.55
34	40	-0.01	9.8	+0.51	6	30	-2.12	11.5	-0.26
34	44	-0.43	9.8	+0.09	1		-	-	<del></del>
27	10	-1.29	9.9	-0.69	29	30	-2.11	11.7	+0.05
45	10	-1.04	9.9	-0.44	46	30	-2.42	11.7	-0.30
27	26	-0.08	9.9	+0.52	29	48	-4.92	11.7	-0.20
15	26	-1.89	9.9	-1.29	12	26	-2.20	11.8	0.00
22	26	+0.44	9.9	+1.01	25	26	-3.51	11.9	-1.23
22	30	-0.56	9.9	+0.04	25	30	-0.81	11.9	+4.44
12	30	-1.89	9.9	-1.29	43	30	-2.92	12.1	-0.48
23	48	-0.72	9.9	-0.12	43	48	-2.40	12.1	+0.03
12	48	-1.10	9.9	-0.50	54	26	-4.80	12.2	-2.26
23	40	+0.34	9.9	+0.94	51	30	-1.75	12.2	-2.21
28	30	-0.27	10.0	+0.41	37	\$0	-4.49	12.2	+4.05
28	48	-1.07	10.0	-0.39	37	5.5	-3.17	12.2	~0.63
9	30	+0.84	10.1	-1.60	3	30	-3.89	12.6	-1.03
9	48	-0.94	10.1	-0.18	60	30	-1.15	12.6	+1.74
15	26	-0.35	10.2	+0.54	3	48	-4.55	12.6	-1.59
15	26	-2.10	10.2	-1.24	60	48	-2.58	12.6	+0.28
54	48	-0.21	10.2	+0.65	47	4	-0.78	12.8	+2.26
54	40	-4.73	10.2	-0.87	47	10	-2.91	12.8	+0.10
19	40	+0.12	10.4	+1.14	38	10	-0.83	12.8	+2.21
19	30	-0.43	10.4	+0.89	38	4.4	-1.92	12.8	+1.12
58	26	-1.07	10.5	+0.03	64	30	-3.17	12.9	-0.05
58	30	-4.35	10.5	-0.25	11	48	-3.44	12.9	-0.32
-	18	-0.86	10.5	+0.24	33	48	-4.00	13.2	-0.62
2									

Stellt man, wie es in Tabelle 11 geschehen ist, diese Differenzen geordnet nach der Helligkeit des angeschlossenen Sternes zusammen. so zeigt sich deutlich die Abhängigkeit dieses Fehlers von der Grössenclasse, und ich glaube auch den Grund für ihren Zusammenhang angeben zu können. Der Unterschied ist, wie sich aus dem Wechsel des Vorzeichens bei helleren Sternpaaren schliessen lässt, gleich Null für hellere Sterne und am grössten für die schwachen. Für letztere geschah die Messung immer, für die ersteren zum grössten Theil bei hellen Fäden. Die dunkeln Fäden wurden nur vereinzelt angewendet. Die hellen Fäden werden nun überhaupt nicht als scharfe Lichtlinien gesehen, sondern immer als feine Streifen, bei der Beschaffenheit meiner Augen verbreiterten sich aber diese Streifen bedeutend, wenn ich eine Zeit lang beobachtet hatte. Diese Verbreiterung hatte nun bei Beobachtung von helleren Sternen keinen Einfluss auf die Einstellung; den hellen Stern sab ich noch hinter dem Streifen, bei den hellsten erschien mir sogar im Moment der Bisection der Faden schwarz auf hellem Grunde, wie bei der Feldbeleuchtung. Ich werde also hier die Bisection des Sternes jedenfalls genau haben durchführen können. Die schwachen Sterne verschwinden aber hinter den hellen Fäden, die schwächsten vielleicht schon ehe sie den Faden wirklich erreicht haben in Folge einer Contrastwirkung. Ich werde also schwache Sterne nicht wirklich bisecirt haben, sondern mit der Bewegung des Fadens auf den Stern zu aufgehört haben, ehe die Mitte des Fadens die Mitte des Sternes erreicht hatte, und zwar ie eher, ie schwächer der Stern war. Nimmt man nun z. B. den Fall eines Sternes, der nördlich vom Hauptstern steht. Die Bewegung der Schraube geschah immer nur in einem Sinne, dem wachsender Schrauben-Revolutionen, folglich wird bei »Schr. o.« die Declinations-Differenz zu klein, bei »Schr. u.« zu gross beobachtet worden sein; o-u muss also negativ sein, da die Decl.-Differenz positiv ist. Bei Sternen südlich vom Hauptstern ist die &-Differenz bei »Schr. u.« zu klein, bei »Schr. o.« zu gross beobachtet worden; o-u ist also hier wieder negativ, da die Declinations-Differenz selbst das negative Vorzeichen hat. Der absolute Werth von o-u muss aber in beiden Fällen um so grösser sein, je schwächer der angeschlossene Stern ist. - Um nun die Abendresultate von dem Einfluss dieses Fehlers zu befreien, wurde in folgender Weisc vorgegangen. Die Differenzen in Tabelle 11

wurden in vier Gruppen der Helligkeit nach zusammengefasst, und für diese Gruppen der Mittelwertli gerechnet. Diese vier Werthe wurden dann nach der Methode der kleinsten Quadrate ausgeglichen und so der Zusammenhang zwischen Grössenclasse und Grösse der Differenz o-w ermittelt. Als günstigste Gruppirung erwies sich die in Tabelle 11 durch Horizontalstriche angedeutete. In folgender Zusammenstellung enthält die erste Columne die Gruppennummer, die zweite den dazu gehörigen Mittelwerth der Grössen, die dritte den mittleren Betrag der Correction o-w, die vierte die Anzahl der Bestimmungen, aus denen die Werthe der Col. Ill erhalten wurden, die fünfte den mittleren Fehler einer Bestimmung und die sechste den mittleren Fehler des Mittels.

- 1	11	Itt	IV	V	VI	VII	VIII
1	9 14	+0.02	34	±0?74	±0:42	+0:02	±0:12
2	10.4	-0.79	36	±0.81	±0.44	-0.15	±0.43
3	11.0	-1.45	20	±0.61	$\pm 0.44$	+0.09	±0.16
4	12.4	-2.77	24	±1.26	$\pm 0.26$	-0.08	±0.24

Für die in Anwendung gebrachte Gruppirung war massgebend, dass, wie Tabelle 41 ausweist, bis zur Grüsse 9.6 die Vorzeichen beständig wechseln, also als Mittelwerth für die Differenz o—u hier verauthlich 0 erhalten werden würde, und dass in diese erste Gruppe mit Ausnahme von Hauptstern 4 alle Hauptsterne fallen. Obige vier Gruppen geben folgende Gleichungen:

$$x + 9.4 y = + 0.02$$

$$x + 10.4 y = -0.79$$

$$x + 11.0 y = -1.45$$

$$x + 12.4 y = -2.77$$

und aus diesen erhält man die wahrscheinlichsten Werthe

$$x = + 7.698 \pm 0.344,$$
  
 $y = -0.841 \pm 0.003.$ 

Der mittlere Fehler einer der obigen Gleichungen ist  $\pm$  0.078. Zur Berechnung der Correction o-u habe ich also die Relation:

$$o - u = 7.698 - 0.81 m$$
.

Diese Gleichung giebt für Sterne bis zur 9.4 Grösse positive Werthe der Correction o-u, welche kaum reell sein können; denn

bei Sternen von dieser Helligkeit ersehien der helle Faden als scharfe schwarze Linie über dem ihn passirenden Sternseheibehen. Die Bisection erfolgte hier also innerhalb der Grenzen der Beobachtungsfehler genau. Es wurde daher an die Sterne der ganzen ersten Gruppe überhaupt keine Correction angebracht und erst die Declinations-Differenzen von Sternpaaren, deren angeschlossener Stern schwächer als 9% ist, wurden um den aus untenstehendem Täfelchen1) entnommenen Werth verbessert. Die Correctionen sind erst von da ab auch wesentlich grösser als ihre mittleren Fehler. Das Täfelchen Nr. 12 giebt mit dem Argument m den Werth  $\frac{a-u}{a}$  der mit + oder - anzubringen ist, je nachdem die Beobachtung in Lage oben oder unten gesehehen ist. Die Beobachtungen werden also auf diese Weise auf eine ideelle Mittellage des Positions-Kreises reducirt.

Tabelle 19

	Tabelle	12.	
977	0:22	1475	0:97
9.8	0.26	41.6	1.04
9.9	0,30	11.7	1.06
10.0	0.34	41.8	1.10
10.1	0.38	41.9	4.44
10.2	0.43	12.0	1.18
10.3	0.67	12.1	1,22
40.4	0.51	12.2	1.27
10.5	0.55	12.3	1.34
10.6	0.59	42.4	1,35
10.7	0.64	12.5	4.39
10.8	0.68	12.6	1.43
10.9	0.72	12.7	1.48
11.0	0.76	12.8	1.52
11.4	0.80	12.9	1,56
11.2	0.85	43.0	1.60
11.3	0.89	43.4	1.64
41.4	0.93	43.2	1.69

Die eben abgeleitete Correction ist natürlich ziemlich unsicher, sowohl wegen der wenig scharfen Bestimmung des Hülfsgrösse x, als auch wegen der Abhängigkeit von der Grössenclasse, einem

<sup>4)</sup> Diese Tafel ist berechnet mit der elwas abweichenden Gleichung: u = 70717 - 0784 m. Die Berechnung mit oben gegebener Gleichung würde eine Aenderung der Tafelwerthe um 0001 bis 0002 bedingen. Diese Aenderungen sirad von keinem Einfluss auf das schliessliche Resultat, deshalb sind sie nicht angebracht worden.

Werth, der nur auf Schätzung beruht. Innuerhin glaube ich, dass hei dem grossen Unterschiede der Resultate, die in beiden Positionskreislagen erhalten wurden, die Berucksichtigung der Correction besonders bei der ungleichen Vertheilung der Beobachtungen auf die beiden Lagen geboten war, und dass durch ihre Anbringung trotzdem die Sicherheit der schliesslichen Declinations-Differenzen wesenlich erhöltt worden ist. — Bildet man die Differenzen: Beobachtung minss Rechnung für die beobachteiten und angebrachten Correctionen o—u und mittelt sie für die einzelnen Gruppen, so erhält man die Werthe in Columne 14 der Zusummenstellung auf Seite 270; Columne 111 enthält ihre mittleren Fehler. Beiden Columnen nach zu urtheilen ist die Darstellung der beobachteten Werthe durch die berechneten Correctionen eine genügende. Die bilferenzen selbst befinden sich in der letzten Columne Columne (auf Tafel 11.

Es wäre wünschenswerth gewesen, die Richtigkeit der oben aufgestellten Hypothese über den Zusammenhang zwischen Grössenclasse und Correction o-u durch zu diesem Zwecke angestellte Beobachtungen zu prüfen. Beobachtungen von Declinations-Differenzen ein und desselben Sternpaares unter Anwendung von Gitterblenden vor dem Objectiv, durch welche je nach Belieben das Licht des einen Sternes hätte abgeschwächt werden können, hätten die Hypothese bestätigen müssen. Leider war aber der Refractor schon längst auseinandergenommen, als dieser Grund für den Unterschied zwischen den Beobachtungen in beiden Lagen des Positionskreises entdeckt wurde. Ebenso hätten derartige Beobachtungen einen Einfluss der Fadenbeleuchtung auf Rectascensions-Differenzen darthun müssen. Aus den vorliegenden Messungen selbst kann er nicht ermittelt Man könnte ihn nachweisen, wenn der Fall häufiger vorkäme, dass ein Stern an zwei Hauptsterne von verschiedener Grössenclasse, welche beide vorhergeben oder folgen, angeschlossen worden wäre. Die beiden durch diese zwei Anschlüsse erhaltenen Coordinaten eines Sternes müssten dann von einander abweichen und natürlich in demselben Sinne für verschiedene Sterne. Die Unterschiede der Helligkeiten der hier angewendeten Hauptsterne sind aber zu gering, um irgend welche Resultate zu liefern.

Nachdem die Correctionen o-u an die Declinations-Differenzen angebracht waren, konnte zur Erwittlung der Beziehung zwischen

Netseeunden und Bogenseeunden gegangen werden und damit zur Bestimmung eines definitiven Worthes einer Schraubenrevolution. Zu diesem Zwecke war die Declinations-Differenz der Sterne 5 und 32 an den Meridiankreisen zu Berlin, Leipzig und Pulkowa genuessen worden gleichzeitig mit meinen neueren Beobachtungen, und ich will gleich an dieser Stelle den Herren Dr. Kestnen, Schwanzu und Hang, Remann und Razz, welche sieh bereitwilligst der Muhe dieser wie der später zu erwähnenden AR.-Messungen unterzogen haben, meinen verbindlichsten Dank aussprechen. Für die Declinations-Differenz 5-32 erzaben sich folgende Werthe:

	Di	fferenz	Anzabl	Gewicht
Berlin	49"	49.70	4	4
Leipzig	49	54.54	6	6
Pulkowa	49	51.27	4	4
	101	E1"00		

Die Gewiehte sind gewählt unter Berucksichtigung der Zahl der Beobaehtungs-Abende und der Umstände, dass am Pulkowaer Meridian-Instrument die Theilungsfeller bestimmt sind, am Berliner aber drei Striebe abgelesen wurden, während in Leipzig nur zwei Striebe eingestellt wurden. In Pulkowa und Leipzig ist in zwei Lagen beobaehtet worden.

Man erhalt die δ-Differenz 5—32 in Netzsecunden durch Addition der Declinations-Unterschiede der Hauptsterne, wie sie sich leidiglich aus neueren Messungen ergeben. Hierzu wurden aber nicht nur die directen Messungen verwendet, sondern auch noch diejenigen Werthe, welche durch Addition der Declinations-Abstände eines Nebensternes von seinen beiden Hauptsternen gefunden werden. Um diese indirecten Bestimmungen mit den richtigen Gewichten einführen zu können, wurden die neueren Bestimmungen zuvor für sich allein gemittelt und aus den Alweichungen der einzelnen Abendwerthe von ihrem Mittel die mittleren Fehler gerechnet. Es ergab sich der mittleren Fehler

der Grössenabtheilung I I zu ± 0".73 aus 17 Abendwerthen

10	pi .	1 11	10	$\pm$ 0.73	.00	236	,
19	ю	11 11	10	$\pm 0.74$	20	119	,
10	и	1 111	39	$\pm 0.89$	39	97	,
n		n nr	10	+ 0.99	30	89	

Hier konnten die ersten drei und die beiden letzten Abtheilungen zusammengefasst werden. Der mittlere Fehler eines Abendwerthes für Sterne heller als 11.0 beträgt dann ± 0.73, für Sterne schwächer als 11.0 ± 0.94. Giebt man den ersteren das Gewicht 1, so müssten die letzteren das Gewicht 0.6 erhalten. Es schien jedoch angemessener, von der Verwendung schwächerer Sterne zu obigem Zwecke ebenso wie später zur Ableitung der definitiven Declinations-Differenzen der Hauptsterne ganz abzusehen aus Rücksicht auf die Grösse und Unsicherheit der Correction o - u. Daher wurden nur die indirecten Bestimmungen durch Sterne heller als 40°0, bei denen also der Betrag der Correction o - u = 0 ist, resp. nur geringe Grösse hat, neben den directen Messungen der Hauptsterne unter sich in Folgendem verwendet. Tabelle 13 enthält die Zusammenstellung aller Bestimmungen der Declinations-Differenzen der Hauptsterne auf Grund der neueren Messungen, die hier in Betracht kommen. Columne 1 enthält die Angabe, auf welche Weise der in Columne 2 aufgeführte Werth der Differenz erhalten wurde, ob durch directe Messungen, oder durch Anschluss eines Sternes; in diesem Falle ist die Nummer des Sternes genannt. Die dritte Columne enthält die Gewichte der einzelnen Werthe. Diese entsprechen bei directen Messungen der Anzahl der Beobachtungs-Abende; bei indirecten sind sie berechnet aus der Anzahl der Abende, an denen der Nebenstern an ieden Hauptstern angeschlossen wurde. Unter jeder Reihe steht der Mittelwerth, sein mittlerer Fehler und sein Gewicht.

			Tabel	le 13.			
	4	5			26-	30	
Direct	-435925	7	±0°252	Direct 22 39	-302:75 -303.24 -304.40	11 2 2	
	1-1	0		53	-302.90	2	
Direct	+445;42	9	±0°301	57	-302.93	2	
				_	-302:975	19	±0°206
	26	10			48-3	30	
Direct	-376916	10		Direct	-531958	10	
8	-376.45	2		13	-530.80	2	
20	-375.85	2		21	-534.67	2	
27	-375.94	2		24	-534.06	2	
35	-376.22	2		42	-534.46	2	
45	-376.43	2		59	-532.89	2	
-	-376°136	20	±07070		-531:578	20	±0°229

Gleicht man die 3 Differenzen 30—48, 40—48, 30—40 unter Zugrundelegung ihrer Gewichte unter einander aus, so ergeben sich schliesslich die in Columne II des folgenden Täfelchens befindlichen Werthe:

1	11	166
4-5	435*25	435,42
4-40	145.12	145.18
10-26	376.44	376.28
26-30	302.97	303.09
30-48	531.56	531.76
40-48	375.67	375.84
40-44	309.76	309.88
44-32	543.64	543.84
	2990°08	2991,23

Die Beziehung zwischen Bogensecunden und Netzsecunden ist also:

 $2990^{\circ}08 = 2994^{\circ}22 \text{ oder } 4^{\circ} = 4^{\circ}000381.$ 

In der Tabelle 9 ist die Correction zur Verwandlung der Netzin Bogenseeunden für jede Declinations-Differenz als d\u00f3 in der Zeile unter den Nummern des Sternpaares aufgeführt. Hier folgt noch unter Nr. 14 die Tafel, welche zur Reduction benutzt wurde.

Tabelle 14.

Bei	Distanzen	bis	43*42	ist	die	Correction	0.00
			39.37		20		- 4
		10	65.62				2
		20	91.86	n	10		3
		20	118.08		20		4
		20	114.32			9	5
		20	170.56	8	ъ		6
		10	196.80				7
		.0	223.04			10	8

Bei	Distanzen	bis	249:28	ist	die	Correction	9
3	ъ		275.52				10
		.0	301.76		2		11
		35	328.00				12
			354.24				13
			380.48			20	14
30			\$06,72				15
			132.96			ъ	16
			459,20	36	20	n	17
10		20	485.44				18
			511.68		ъ		19
			537.92	я			20
74			564.16				21

Diese eben aufgestellte Beziehung zwischen Netz- und Bogensecunden ist aber nicht correct. Alle Declinations-Differenzen sind mit den auf Seite 178 aufgeführten angenommenen Faden-Distanzen gereclinet, welche nach der Formel

$$Faden-Distanz = \frac{13?38}{250.95} M$$

erhalten worden waren, wo M die Faden-Distanz in Mikrons (Seite 159) bedeutet und der Zahlenbruch von den vorläufigen Relationen

herrührt. Schliesslich, nach beendeter Beobachtungsreihe, wurde aber aus einer grösseren Anzalıl Messungen der genauere Werth

$$1 \; Rev. = 250.916 \, \mu$$

gefunden. Die angewendeten Faden-Distanzen sind also alle zu klein. und um sie auf die wahren zu reduciren, muss man sie mit dem Factor  $\frac{250.950}{250.916}$  = 1.00014 multipliciren. Man könnte auch sagen: Die Faden-Distanzen sind nicht mit dem Werth 1 Rev. = 13:3800, der zur Verwandlung der Netzsecunden verwendet wurde, gerechnet, sondern mit dem Werth 1 Rev. = 43°3776; es liegt also den Angaben der Faden-Distanzen und der Revolutionen nicht dieselbe Einheit zu Grunde. - Für die Messungen ein und derselben Declinations-Differenz sind nun zwar häufig verschiedene Faden-Intervalle benutzt worden, diese sind aber höchstens um ca. 2 Revolutionen von einander verschieden. Für 27 Bogensecunden beträgt aber die Correction zur Reduction der Faden-Distanzen auf dieselbe Einheit

mit den Angaben der Schraube nur 0''.004; sie kann demnach vernachlässigt werden. Innerhalb der Grenzen der hier erforderlichen Genauigkeit ist also die Correction für die verschiedenen Fadenpaare, die zur Messung der Declinations-Differenzen eines Sternpaares henutzt wurden, dieselbe. Hier folgen die Correctionen für die Fadenlatervalle in 6''orl als Einlich

Verbessert man die Werthe der Columne II des Täfelchens auf Seite 275 um den Betrag:  $*0.00014 \times Fad.-Dist.*$ , so wird als Beziehung zwischen Netz- und Bogensecunden gefunden:

Es ergiebt sich hieraus als definitiver Werth für eine Revolution aus Declinations-Messungen

während sich aus Sterndurchgängen mit den Beziehungen

$$4\,\mu = 0''0533290\,$$
 und  $4$  Rev. =  $250.916\,\mu$ 

in genügender Uebereinstimmung ergeben hatte

4 Rev. = 
$$43.3811 \pm 0.00309$$
.

Es waren also an jede Declinations-Differenz eigentlich 2 Correctionen anzubringen 1) die auf wahre Faden-Distanzen, 2) die auf Bogenseeunden. An übrer Stelle ist nur die obenerwähnte Correction 0.00038./d angebracht worden. Denn da siel die Distanz der benutzten Fadenpaare nur um kleine Betträge, namlich dengienigen Betrag an Bogencecunden, der mit der Schraube gemessen wurde, von der Declinations-Differenz des betreffenden Sternpaares unterschied, konnte die Correction auf wahre Faden-Distanzen ebenfalls proportional der Declinations-Differenz angenommen werden gerade wie die Correction zur Verrwandlung der Netz- in Bogensecunden. Man hätte also gelabit

$$\label{eq:total correction of the constraints} \begin{split} & \text{Total correction} = \mathcal{A}\delta \; (0.00014 \; + \; 0.00026) = \; 0.00040 \; \mathcal{A}\delta; \\ & \text{statt dessen wurde um } \; 0.00038 \; \mathcal{A}\delta \; \; \text{verbessert, was als genügend genau erachtet wurde.} \; - \end{split}$$

Nach Anbringung dieser Correction konnten die neueren Messungen von Declinations-Differenzen mit den alteren zu einem Mittel<sup>1</sup>) vereinigt werden. Specialuntersuchungen über letztere wurden wegen übere geringen Anzahl nicht angestellt.

Um die Coordinaten der Sterne, bezogen auf einen gemeinsamen Nullpunkt, nämlich die Position des Sternes 30 für das mittlere Aequinoctium 1885.0, aufstellen zu können, mussten zuvörderst die Coordinaten der Hauptsterne für diesen Nullpunkt abgeleitet werden. Hierzu wurden die Anschlüsse der Hauptsterne unter einander, die Anschlüsse von Nebensternen an die Hauptsterne und vor Allem die obenerwähnten Meridianbeobachtungen als grundlegende Bestimmungen verwendet.

Rectascensions-Differenzen waren mit den Meridiankreisen zu Berim und Leipzig und mit dem Passagen-Instrument zu Pulkowa gemessen worden, und zwar waren Antritte der Hauptsterne 5, 10, 30, 32, 40 beobachtet worden, in Leipzig und Pulkowa an mehreren Abenden, in Berlin an einem Abende. Die Beobachtungen von Leipzig und Pulkowa wurden unter sich, indem die Differenzen auf Stern 30 bezogen wurden, nach der Naherungsmetholode der Ord, Survey ausgeglichen. Hierzu kamen noch die Alt.-Differenzen, die sich aus den Positionen der Leipziger Zonenbeobachtungen ergaben. Hier folgen die einzelnen Bestimmungen, denen litre Gewichte beigesetzt sind:

	5 30		10 30		32 30		40 30	
Pulkowa	-4 t 1988	5.5	-27:846	5.5	+4:454	4.4	+9:847	4.4
Leipzig	-41.930	3.5	-27.740	3.7	+1.168	3.7	+9.828	3.5
Leipz. Zon.	-41.938	1.0	-27.847	1.5	+1.093	1.2	+9.864	1.0
Berlin	-41.981	0.5	-27.846	0,5	+1.165	0.5	+9.761	0.5
	-41:964 ±	0:016	-27:811:	0:037	+1:152	0:014	+9:837 ±	0:012

Die Gewichte sind berechnet aus der Anzahl der Beobachtungen des einzelnen Sternes, indem jedem Abendwertlie das Gewicht I beigelegt wurde.

Zur Bestimmung der Rectascensions-Coordinaten der Sterne 4, 14, 26, 44 dienten die directen und indirecten Anschlüsse dieser

<sup>1)</sup> Als definitive, d. b. unter Berücksichtigung der Gewichte 

grechnete Mittel in den Tabellen 8 und 9 sind die unterstrichenen Zahlen anzusehen. Die eingeklammerten Zahlen sind die Mittel ohne Gewichte.

Sterne an die Hauptsterne 5, 10, 30, 32, 40. Um bei den indirrecten Anschlussen die Bestimmungen durch hellere Sterne in entsprechender Weise mit denen durch schwächere verbinden zu können, wurden zuvor die mittleren Fehler eines Abendwerthes aus den Abweichungen derselben von ihrem Gesannutmittel berechnet. Es ergaben sich folgende Werthe:

Grössen-Abtheil. Anzahl der Abende m. F. eines Abendwerthes

1	I	54	±0:054
- 1	11	390	±0.052
П	11	259	±0.063
1	111	163	$\pm 0.073$
11	111	158	±0.078

Zur Vereinfachung wurden noch die Abtheilungen 11 und 111 einerseits, und I III und II III andrerseits zusammengefasst; man erhält als mittlere Fehler dieser Abtheilungen fl III und fllt ± 0:052 bez. ± 0:075. Giebt man einem Abendwerthe der Abtheilung [1 II] das Gewicht 1, so muss eine Abendbestimmung der Abtheilung II II das Gewicht 0.7, und eine solche der Abtheilung [III] das Gewicht 0.5 erhalten. Diese Gewichte, multiplicirt mit der Anzahl der Abendwerthe - unter Berücksichtigung des halben Gewichtes verschiedener Abende - gaben das Gewicht des Anschlusses eines Nebensternes an einen Hauptstern, und mit ihren Werthen sind die Gewichte der indirecten AR,-Bestimmungen der Hauptsterne 4, 14, 26, 44 in Bezug auf die Hauptsterne 5, 10, 30, 32, 40 berechnet. Es wurden aber nicht alle indirecten Bestimmungen herzugezogen, sondern nur solche, deren Gewicht grösser als 1 war, da ia überhaupt Bestimmungen weggelassen wurden, die nur auf einem Abendwerthe beruhten. Tabelle 15 giebt die einzelnen Bestimmungen für die AR.-Unterschiede dieser Hauptsterne H. Ordnung gegen die Hauptsterne I. Ordnung. Die Einrichtung dieser Tafel ist dieselbe wie diejenige der Tabelle 13.

Tabelle 15.

					4	10	
	4	ò		Direct 15	-20!846 $-20.844$	11	
Direct	-6:740	5		27	-20.866	2	
49	-6.773	2		35	-20.877	2	
52	-6.703	2		49	-20.864	2	
	-6:722	9	+0*019	52	-20.850	3	
	-0.744		T0.019	47	-20.865	2	
					-20:853	25	±0:00

Abhandi, d. K. S. Gosellsch. d. Wissensch. XXIX.

	26-	10		i	14	40	
Direct	+22:181	8		Direct	-30:500	15	
8	+22.476	3		1	-30.486	3	
45	+22.227	3		2	-30.524	3	
47	+22.187	9		7	-30.500	2	
20	+22.210	3		16	-30.523	3	
27	+22.206	3		18	-30.467	4	
35	+22.198	3		23	-30.538	3	
39	+22.244	3		48	-30.516	i	
45	+22.228	4		50	-30.519	i	
53	+22.469	3		54	-30.489	3	
57	+22.229	3				_	
58	+22.199	3			-30:504	8.6	±0:006
	+22:200	41	±0:006				
	26-	30			40	\$4	
Direct	-5:695	44		Direct	+3:818	12	
12	-5.651	. 5		16	+3.785	3	
17	-5.740	Ā		19	+3.845	3	
20	-5.720	3		34	+3.844	3	
22	-5.744	2		37	+3.843	2	
24	-5.673	3		55	+3.781	2	
31	-5.693	2			+3:834	25	±0:011
45	-5.670	4			+3.834	20	±0:011
54	-5.694	2					
53	-5.673	4			44-	0.0	
57	-5.683	4			44-	32	
58	-5.657	3		Direct	+12:139	5	+0:023
59	-5.721	3		-		_	
	-5:689	47	±0.006				
					4-3	en.	
	30-	14					
Direct	-20:635	11		8	-48!820	- 1	
9	-20.562	3		27	-48.716	2	
43	-20.606	2		35	-48.775	2	
21	-20.667	î			-48:760	5	±0!028
22	-20.663	3		1			
24	-20.574	3					
28	-20.690	3		1			
36	-20.674	2					
42	-20.652	ž.		1			
43	-20.584	2					
59	-20.664	9		1			
33		39	01040	1			
	-20:635	39	±0:012	1			

Man erhält also folgende Coordinaten der Hauptsterne 4, 14, 26, 14 bezogen auf den gemeinsamen Nullpunkt, denen ihre aus den mittleren Fehlern berechneten Gewichte beigesetzt sind.

				4		
durch	Anschluss	an	5	-48:686	±0:025	2.2
			10	-18.664	±0.037	1.0
			30	-48.760	$\pm 0.028$	1.7
				-48:707	±0:023	
				4.6		
			30	-20:635	±0:012	1.2
			40	-20.667	±0.013	1.0
				-20:650	±0:016	
				26		
			10	- 5:611	±0:037	1.0
		В	30	-5.689	±0.006	38.0
				- 5:687	±0:012	
				44		
			13	+13:671	±0:017	2.5
		3	32	+13.591	±0.027	1.0
				+13:648	±0:036	

In Declination waren an den schon genannten Meridiankreisen nur die Differenz der Sterne 5 und 32, als des nördlichsten und des südlichsten gemessen worden. Ausser den oben aufgeführten Meridianbechachtungen wurde hier noch der Declinations-Unterschied benutzt, welcher sich aus den Leipziger Zonenbeobachtungen ergiebt; diese sind ungeführ gleichzeitig mit meinen älteren Messungen ausgeführt worden. Es standen also folgende Werthe zur Verfügung, die nach Massgabe der hinter ihnen befindlichen Gewichte zum Mittel vereinigt wurden:

Pulkowa 49' 51.27 3 Leipzig 49 51.54 3 Leipz. Zo. 49 51.91 1 Berlin 49.70 0.5

Dieser Werth wurde als absolut richtig angenommen. Es mussten aher die Declinations-Unterschiede der Hauptsterne 1-2, 1-10, 10—26 etc. so bestimmt werden, dass ihre Summe gleich 2991/36 ist. Zu diesem Zwecke wurden alle Bestimmungen dieser Differenzen, sowohl die directen, als die indirecten einer Ausgeleibung nach der Methode der kleinsten Quadrate unterworfen, indem die Coordinaten der Hauptsterne, bezogen auf Stern 30, in folgender Weise dargestellt wurden:

Die directen und indirecten Bestimmungen — als indirecte Bestimmungen galten wiederum nur, wie bei der Ableitung des defünitiven Werthes einer Schraubenrevolution auf Seite 274 und auch
aus demselben Grunde, die Declinations-Differenzen der Nebensterne,
die heller als 10°0 sind – ergaben 30 Fellergleichungen, deren
Gewichte aus der Anzahl der Abendwerthe, auf denen die Gesammtmittel beruhen, berechnet wurden. Zu ihnen kommt noch die durch
die Merfülen Heobachtungen gezeben Bedinnunsszeleichung.

$$x - t = + 0.02$$
.

Die sich ergebenden 9 Normalgleichungen wurden allgemein aufgelöst, und lieferten die folgenden Werthe der Unbekannten und ihre mittleren Fehler:

Der mittlere Fehler einer Gleichung von dem Gewicht 1 beträgt  $\pm$  0.81.

Die Declinations-Coordinaten der Hauptsterne sind nur

Zu den Bectascensions- und Declinations-Coordinaten der Hauptserne brauchten nun blos die betreffenden Anschlüsse der Nebensterne linzuaddirt zu werden, um Coordinaten für diese selbst, bezogen auf den gemeinsamen Nullpunkt, zu erhalten. Man bekommt also so viele unabhängige Bestimmungen derselben Coordinate eines Sternes, als Anschlüsse von ihm an verschiedene Hauptsterne vorhanden sind. Tabelle 16 giebt eine Zusammenstellung aller Coordinaten. Colume 1 entbalt die Sternaumer, Columne 2 und 5

die Nummer des Hauptsternes, an welchen angeschlossen wurde, Columne 3 und 6 die Coordinaten, und Columne 4 und 7 die zugehörigen Gewichte.

Tabelle 16.

1	2	3	1	5	6	7
+ [	11	-1" 1:944	7	10	-10' 6.52	8
11	40	-1 1.943	6	48	-10 6.53	5
2{	14	- 52.834	9	40	-10 54.69	7
11	10	- 52.868	6	48	-10 51.06	4
3 1	11	- \$7.910 - \$7.858	4.5 5.5	30 48	- 7 50.16 - 7 48.70	5 4
8		Hauptstern			Hauptstern	
5		,			,	
- 1	10	- 35.968	5.5	10	+ 4 51.74	5
6	26	- 36,125	5	26	+ 4 52.51	5
- U	30	- 36.101	5.5	30	+ \$ 51.21	3,5
7!	15	- 34.803	6.5	30	- 8 53.05	2
- 11	40	- 31.816	7.5	10	- 8 53.65	7
				48	- 8 54.65	5
8	4 26	- 32.540	6	10	+ 7 38.69	9
8	10	- 32,658 - 32,606	6	26	+ 7 38.82	5
- 11	30	- 32,653	5			
9.	15	- 32.231	8	30	- 1 11.34	6
91	30	- 32,143	6	48	- 1 10.92	4
10		Hauptstern			Hauptstern	
- (	10	- 27.429	5.5	10	+ 5 34.48	5
rr {	26	- 27.631	5	26	+ 5 33.93	6
- 4	30	- 27.585	7			
[]	10	- 22.194	2	26	+ 0 48.72	7
12{	26 30	- 22.201 - 22.168	6 8.5	30	+ 0 47.82	4
- 1	11		4	30	2 10 00	
13{	30	- 21.169 - 21.125	7	48	- 3 49.02 - 3 49.72	5
۱٬ ۱۱		Hauptstern		30	- 6 2.63	5
		nauptstern		10	- 6 2.63 - 6 3.01	7
- 1				48	- 6 2.43	í
- d	4	- 18,198	7	10	+11 6.18	7
15 {	10	- 18.146	11	26	+11 6.81	6
- U	26	- 18.249	7			
- [	16	- 16.755	8	40	-14 8.49	5.5
16{	40	- 16.791	8	18	-14 6.95	4
U	44	- 16.765	6			

ŧ	2	3	\$	5	6	7
17	10 26 30	- 15:769 - 15 832 - 15.855	3 8 10	26 30	+ 2' 38'34 + 2 37.73	4 5
18	44 40	- 11.809 - 14.789	9 8	30 10	- 7 55.88 - 7 56.06	5 5
19 (	40 41	- 12.263 - 12.297	8	10 11	-16 21.98 -16 21.79	6 5
20	10 26 30	- 11.253 - 11.339 - 11.372	9 7.5 7	26 10	+ 5 31.85 + 5 32.40	6 5
21 {	11 30	- 8.653 - 8.670	10 8	30 48	- 3 48.07 - 3 47.92	å
22	14 26 30	- 8.009 - 7.995 - 8.022	8 4.5 9	26 30	+ 0 13.69 + 0 13.99	å
23 {	14 40	- 7.329 - 7.380	7 9	10 18	-12 38.18 -12 38.13	5
21	14 26 30	- 6.729 - 6.664 - 6.650	7 5 10	30 18	- 0 35.20 - 0 35.69	8 5
25	10 26 30	- 6.052 - 6.144 - 6.190	\$.5 5.5 7.5	26 30	+ 3 18.71 + 3 18.89	6
26		Hauptstern			Hauptstern	
27	4 10 26 30	- 5.214 - 5.181 - 5.266 - 5.223	11 5 6	10	+ 8 28.79 + 8 28.57	5 4
28 {	1 i 30	- 3.382 - 3.422	8 8	30 48	- 5 3.10 - 5 3.62	- 4 - 4
29 {	11 30	- 2.119 - 2.169	6 5.5	30 48	- 4 34.59 - 4 35.48	7 6
30		Hauptstern			Hauptstern	
31	14 26 30	+ 0.372 + 0.429 + 0.423	5 5 8 5.5	30 48	- 0 11.62 - 0 12.12	5 4
32		Hauptstern			Hauptstern	
33	11 10 11	+ 1.469 + 1.336 + 1.272	3.5 5.5 3.5	40 48	-13 23.87 -13 21.71	6.5 5
34 {	40 44	+ 2.533 + 2.500	9	10 11	-16 \$3.21 -16 \$2.63	6
35	4 10 26 30	+ 3.021 + 3.043 + 2.969 + 2.956	8 6 6	10 26	+ 7 53.05 + 7 53.09	5 6

4	2	3	- 4	5	6	7
36 [	14 26	+ 3:562 + 3.646	6 5	30 48	- 0' 25"19 - 0 25,81	8 5
"	30	+ 3.544	6.5	**	- 0 25.81	ъ
37 [	40	+ 5.394	8	40	-17 23.32	9
	44	+ 5.362	8.5	4.6	-17 22.81	6
38 {	44	+ 5.218 + 5.171	5.5	40	-18 18.32 -18 17.84	9
i	10	+ 5.688	6	26	+ 3 19.59	4
39	26 30	+ 5.598 + 5.608	10	30	+ 3 20.48	7
60	30	Hauptstern	10		Hauptstern	
1	14	+ 10.176	5.5	30	- 0 32.64	6
н{	26	+ 10.236	5	48	- 0 34.93	5
1	30	+ 10.212	5.5			
12	14 30	+ 44.734	11	30 48	- 5 38.89 - 5 38.74	5.5
- 1	16	+ 43.603	7.5	30	- 0 28.14	6
13 {	26 30	+ 13.714	5.5	48	- 0 29,50	5
4	30	Hauptstern	5.5		Hauptstern	
~ ,	10	+ 44.103	8	10	+ 6 0.55	5
15	26	+ 13.999	9	26	+ 6 0.69	5
- 1	30	+ 44.016	9	l l		
16	30	+ 17.535	4.5	30 48	- 3 59.59 - 4 0.27	3
17!	4	+ 49.285	6.5	4	+11 40.28	3
	10	+ 49,346	6.5	10	+11 40.91	7
18	44	+ 23.786 + 23.757	117		Hauptstern	
i	4	+ 27.223	6	5	+45 46.78	3.
19	5	+ 27.196 + 27.258	6	40	+15 46.99	3.
1	14	+ 28.016	11	30	+15 46.64	4
50 {	40	+ 27.984	8	48	- 6 53.49	5
1	10	+ 31.656	- 4	26	+ 4 49.78	5.
51 {	26 30	+ 31.460 + 31.453	6.5	30	+ 4 50.26	4
- 1	4	+ 32.855	6		+15 39.52	3.
52	5	+ 32.898	- A	5	+15 40.53	3.
1	10	+ 32.901	7			
53	10	+ 40.103	6	26	+ 2 37.71 + 2 37.68	6
~)	30	+ 40.072	10	30	. 4 01,08	
14.	14	+ 41.060	6	40	-11 54.03	6
	40	+ 41.058	9	48	-11 54.01	4

1	2	3	- 4	5	6	7
55	40 44	+ 42:675 + 42,705	6	40 44 48	-15' 50''.79 -45 50.27 -45 50.84	7 4 2
56	26 10 30	+ 52.990 + 53.048 + 53.046	4.5 4.5 8.5	26 30	+ 1 51.20 + 1 54.82	5 5
57	10 26 30	+1** 6.256 +1 6.451 +1 6.155	6 7 12	26 30	+ 4 53.54 + 4 53.55	4
58	10 26 30	+1 12.757 +1 12.682 +1 12.712	6 6.5 9.5	26 30	+ 3 42.29 + 3 41.74	4
59	26 30 14	+1 20.843 +4 20.779 +1 20.793	6 7 5	30 18	- 1 18.77 - 1 17.41	5 4
60	14 26 30	+1 27.870 +1 27.962 +1 27.887	5.5 6.0 5.5	30 18	- 2 25.50 - 2 25.39	6 3.
61	10	- 32,206 - 32,088	3	4 49 52	+49 12.46 +49 12.66 +19 12.64	1 2 3

Bezüglich der Gewichte ist zu bemerken, dass sie direct der Anzahl der Abendwerthe entsprechen, welche in den Tabellen 8 und 9 aufgeführt sind. Es wurden also die Coordinaten der Hauptsterne selbst als ubsolut richtig angenommen. Dies ist nicht correct, weil die mittleren Febler der Bauptsterne nicht verschwindend klein als gegenüber den mitteren Febler der Coordinaten der Nebensterne bezogen auf die Hauptsterne. Dies zeigt sich durch Vergleichung der mittleren Febler der Hauptsterneordinaten mit den Werthen der Tabelle 17, welche die durchschnätlichen mittleren Febler der Mittelwerthe der Tabellen 8 und 9 giebt, berechnet mit den auf den Seiten 273 und 279 angeführten Werthen der mittleren Febler eines Abendwerthes.

Tabelle 17.

			D	Decl.			
	m. F.	Gr	ossen-Abtheilu	Grössen-Abtheilung			
	aus	(1.11)	11.11	[111]	(LH)	(111)	
- 1	Beob.	$\pm 0:052$	$\pm 0!063$	士 0:075	± 0.73	士 0.794	
2		0.037	0.045	0.053	0.52	0.66	
3		0.030	0.036	0.043	0.42	0.54	
		0.096	0.029	0.038	0.26	0.57	

			AB.		Decl. Grossen-Abtheilung			
	n. F.	Gr	ossen-Abtheitu	ing				
	aus	[1 1]	[1 41] 41 14		(1-1)	(HI)		
5	Beob.	± 0:023	± 0:028	士 0:034	± 0."33	士 0.742		
6	2	0.021	0.026	0.031	0.30	0.38		
7	ъ	0.020	0.024	0.028	0.28	0.36		
8		0.048	0.022	0.027	0.26	0.33		
9	20	0.017	0.021	0.025	0.24	0.34		
10		0.017	0.020	0.024	0.23	0.30		
11		0.016	0.019	0.023	0.22	0.28		
12		0.015	0.018	0.022	0.21	0.27		

Trotzdem wurde vorgezogen, diese Gewichte anzuwenden, wei das Verfahren, mit Hilfe der in Tabelle 17 gegebenen Werthe und der mittleren Fehler der Hauptsternecoordinaten genaue Gewichte zu berechnen, zu künstlich erschien. Tabelle 18 enthalt die definitiven Coordinaten aller Sterre, bezogen auf Stern 30 als Nullpunkt

		Tabel	le 18.		
Nr.	ce	ð	Nr.	α	ð
4	- 61:944	-40' 6,52	32	+ 4:152	-28' 51,"08
9	-52.848	-10 54.46	33	÷ 4.355	-13 22.93
3	- 47.881	- 7 49.51	34	+ 2.520	-16 42,98
4	- 48.707	+13 44.67	35	+ 3.000	+ 7 53.07
5	- 41,961	+21 0.28	36	+ 3.570	-0 25.43
6	-36.063	+ 4 51.89	37	+ 5.378	-17 23,12
7	-34.840	- 8 53.92	38	+ 5.197	-18 18.08
8	-32.628	+ 7 38,74	39	+ 5,623	+ 3 20.16
9	- 32,193	~ 4 44.47	\$0	+ 9.837	-15 7.44
10	- 27.844	+41 19.33	\$1	+10.207	- 0 33.66
41	- 27.549	+ 5 31.18	15	+ 11.733	- 5 38.81
42	- 22,184	+ 0 48.39	43	+ 43,655	-0 28,76
13	- 21.111	- 3 49.37	5.5	+ 13.648	-20 17.32
4.4	- 20.650	- 6 2.75	45	+ 14.037	+ 6 0.62
15	- 18.189	+11 6.47	\$6	+ 17.426	-3 59.88
46	-46.771	-15 7.85	47	+ 19.300	+11 40.72
47	-45.834	+ 2 38.00	48	+ 23.775	- 8 51.73
18	-44.800	- 7 55.97	19	+ 27.229	+15 46.81
49	- 12.278	-16 21.89	50	+ 28,003	- 6 52.73
20	- 11.316	+ 5 31.92	51	+ 34.505	+ \$ \$9.98
24	- 8.664	- 3 47.99	52	+ 32.884	+15 40.02
22	- 8.012	+ 0 13.86	53	+ 40.077	+ 2 37.69
23	- 7.358	-12 38.16	54	+ 41.059	-44 54.02
24	- 6.678	- 0 35,39	55	+ \$2.690	-45 50.64
25	- 6.140	+ 3 48,82	56	+53.032	+ 4 54.54
26	- 5.687	+ 5 3.03	57	+ 66.178	+ 4 53.54
27	- 5.213	+ 8 28,69	58	+ 72.715	+ 3 42.04
28	- 3.402	- 5 3.36	59	+ 80.794	- 4 48.17
29	- 2.143	- 4 35.00	60	+ 88,908	-225.46
30	0.000	0 0.00	61	- 32,138	+19 12.42
21	. 0.111	10 11 0			

288

Aus den Abweichungen der Werthe in Tabelle 16 von denen in Tabelle 18 wurden die mittleren Fehler einer Coordinate in Tabelle 16 berechnet. Es fand sieh der mittlere Fehler einer Coordinate vom Gewicht 4

für Sterne, heller als 44% in 
$$\begin{cases} RA. \pm 0099 \\ Decl. \pm 0791 \end{cases}$$
 für Sterne, schwächer als 44% in  $\begin{cases} RA. \pm 0.015 \\ RA. \pm 0.015 \\ Decl. \pm 4.68 \end{cases}$ 

Nun haben aber die Coordinaten in Tabelle 46 ein durchschnitliches Gewicht von 7.1 resp. 6.0 in AR., und 4.8 resp. 5.1 in Decl, die durchschnittlichen mittleren Fehler einer Coordinate dieser Tabelle werden also

für Sterne, heller als 41% in 
$$\begin{cases} AR. & \pm 0:037 \\ Decl. & \pm 0.741 \end{cases}$$
 für Sterne, schwächer als 41% in 
$$\begin{cases} AR. & \pm 0:037 \\ AR. & \pm 0:063 \\ Decl. & \pm 0.72 \end{cases}$$

Da nun aber die definitiven Coordinaten in Tabelle 18 Mittlewerthe aus durchschnittlich 2.6 Coordinaten in Tabelle 16 sind, so ergiebt sich als mittlerer Fehler der definitiven Coordinaten eines Sternes, der heller als 11°0 ist,  $\pm$  0°023 in Rectascension und  $\pm$  0°29 in Declination, dagegen für Sterne schwicher als 11°0 in Rectascension  $\pm$  0°3030 und  $\pm$  0°50 in Declination.

Diese Werthe sind wegen der ungünstigen Berechnung der mittleren Fehler aus nur wenigen Bestimmungen keinesfalls zu niedrig; die Genauigkeit der Coordinaten in Tabelle 19 ist eher eine grössere als eine geringere.

Es muss noch darauf hingewiesen werden, dass die mittelst nachtlasse an den Hauptstern 10 gewonnenen AR-Coordinaten alle in demselben Sinne vom Mittel abweichen. Als Mittel dieser Abweichungen, im Sinne: »Mittel minus Einzelwerthe findet sich — 0'048 ± 0'006. Dieser Betrag wurdte noch gröser sein, wären die Einzelwerthe der Tabelle 16 nach den genaueren Gewichten zum Mittel vereinigt. Der Grund zu dieser Erscheinung liegt wohl in der Leipziger Meridian-Beobachtung, die stark von den 3 anderen Wertlen abweicht, und verhältnissmitssig grosses Gewicht besitzt. Es liegt aber keine Veranlassung vor, sie auszuschliessen, da die

Einzelbeobachtungen, aus denen sie gewonnen, nicht schlechter übereinstimmen, als die andern Beobachtungen im Leipziger Meridian.

Die Boobachtungen am Ocular des Leipziger Meridiankreises waren ausser von Herrn Dr. Sortwaxs in seiner Abwesenheit von mir angestellt worden. Bei ersterem Beobachter ist nachträglich eine Helligkeits-Gleichung nachgewiseen worden, auch bei mir kann eine solche vorhanden sein. Trotzden kann man die Abweichungen der Leipziger Beobachtungen vom Mittel, vor Allem die grössere bei der Differenz 10–30, nicht auf Rechnung dieser Gleichung setzen, da gerade bei den beiden Sternpaaren mit stärkerer Helligkeits-Differenz, 32–30, 40–30, die Abweichungen das umgekehrte Vorzeichen haben, als sie dann haben missten.

Zur Aufstellung von absoluten Coordinaten wurden die Leipziger Zonen-Beobachtungen aller Sterne benutzt, die in diesen und in meiner Vermessung gemeinsam vorkommen. An die auf das mittlere Aequinoctium 1885.0 reducirten Positionen der Zonen wurden die betreffenden Coordinaten der Tabelle 18 mit ungekehrten Vorzeichen angebracht. So erhielt man eine Reihe von Bestimmungen der absoluten Position des Hauptsternes 30, deren Mittel mit nur kleinem mittleren Fehler behafte ist.

Tabelle 19. Mittlere Oerter der Leipziger Zonensterne für 1885.0.

No.			z .		ð		Beob.
5	6h	34=	8:94	+9°	55'	19,15	2
10	6	34	23.03	+9	45	37.19	6
30	6	34	50.87	+9	34	18.29	2
35	6	34	53.94	+9	12	12.01	2
32	6	34	51.97	+9	5	27.21	3
4	6	33	48.98	+9	24	12.58	2
8	6	34	18.30	+9	44	57.49	3
21	6	34	44.47	+9	33	43.06	2
40	6	35	0.74	+9	19	11.92	2
53	6	35	30.93	+9	36	56.77	2

Aus ihnen abgeleitete Positionen für Stern 30.

No.	α	ð	Gewicht
5	6h 34m 50:90	+90 34' 48.87	2
10	50.84	47.86	6
30	50.87	18.29	2
35	50.94	18.94	2
32	50.82	18.32	3
4	50.92	19.10	2
8	50.93	18.45	3
24	50.85	18.45	2
40	50.90	19,36	2
53	50.85	19.08	2

64 34 50 87 ± 0:043 +9° 34' 48"52 ± 0"46

Mit dieser Position für Hauptstern 30 ist dann der in Tabelle 20 gegebeue Katalog von 61 Sternen für das Acquinoctium 1885.0 berechnet worden. Die Positionen desselben sind nach Rectascensionen geordnet. Da die Numerirung der Sterne bei Aufstelbung der Arbeitstiet gesehehen war, also zu einer Zeit, wo über die genaueren Rectascensionen noch nichts bekannt war, stimmen die Nummern nicht immer mit der Reihenfolge des Katalogs überein. [Wegen Stern 61 siehe Annu. 1) auf Seite 203.]

Tabelle 20.

		K	ata	log.			
No.	Grösse		Λ	R.		Dec	l.
4	8.6	$6^{h}$	33*	48:93	+9°	24'	12.0
2	40.5	6	33	58.02	+ 9	23	24.4
4	9.7	6	34	2.46	+ 9	48	3.2
3	12.6	6	34	2.99	+ 9	26	29.0
5	8.4	6	34	8.94	+ 9	55	18.8
6	11.4	6	34	44.84	+ 9	39	40.4
7	11.0	6	34	46.06	+ 9	25	24.6
8	8.7	6	31	48.24	+9	4.1	57.3
9	10.1	6	34	18.68	+ 9	33	7.3
(61)		(6	34	18,73)	(+9	53	30.9)
10	8.3	6	34	23.06	+ 9	45	37.8
44	11.0	6	34	23,32	+ 9	39	52.7
12	11.8	6	34	28.69	+ 9	35	6.9
13	9.8	6	34	99 73	±9	30	99.4

No.	Grösse		Α	R.		Dec	١.
44	976	6 h	34"	30:22	+ 90	28	15.78
45	10.2	6	34	32.68	+ 9	45	25.0
16	10.6	6	34	34.10	+ 9	20	10.7
17	10.7	6	34	35.04	+ 9	36	56.5
18	10.7	6	34	36.07	+ 9	26	22.1
19	10.4	6	34	38.59	+ 9	17	56.6
20	9.6	6	34	39.55	+ 9	39	50.4
21	9.4	6	34	42.24	+ 9	30	30.5
22	9.9	6	34	42.86	+ 9	34	32.6
23	9.9	6	34	43.54	+ 9	24	40.4
24	9.0	6	34	44.19	+ 9	33	43.4
25	11.9	6	34	\$4.73	+ 9	37	37.3
26	9.4	6	34	45.18	+ 9	39	21.8
27	9.9	6	34	45.66	+ 9	42	\$7.9
28	10.0	6	34	47.47	+ 9	29	15.4
29	11.7	6	34	48.73	+ 9	29	\$3.5
30	8.0	6	34	50.87	+ 9	31	18.1
31	11.0	6	34	54.28	+ 9	34	6.7
32	7.4	6	34	52.02	+ 9	5	27.6
33	13.2	6	34	52.22	+ 9	20	55.6
34	9.8	6	34	53.39	+ 9	47	35.5
35	9.0	6	34	53.87	+ 9	42	44.6
36	11.0	6	34	54.44	+ 9	33	53.
38	12.8	6	34	56.07	⊦ 9	16	0.4
37	12.2	6	34	56.25	+ 9	46	55.4
39	9.4	6	34	56.49	+ 9	37	38.7
40	8,9	6	34	0.74	+ 9	19	44.4
4.4	12.9	6	35	1.08	+ 9	33	\$4.8
15	9.9	6	35	2.60	+ 9	28	39.7
43	12.1	6	35	4.52	+ 9	33	49.7
4.4	9.6	6	35	4.52	+ 9	14	4.9
45	9.9	6	35	4.94	+ 9	40	19.
46	11.7	6	35	8.30	+ 9	30	18.6
47	12.8	6	35	10.17	+ 9	45	59.9
48	9.2	6	35	14.64	+ 9	25	26.8
49	10.6	6	35	18.10	+ 9	50	5.3
50	10.6	6	35	18.87	⊦ 9	27	25.8
54	12.2	6	35	22.37	⊦ 9	39	8.5
52	10.8	6	35	23.75	+ 9	49	58.5
53	8.4	6	35	30.95	+ 9	36	56.9
54	10.2	6	35	31.93	+ 9	22	21.1

No.	Grösse	AR.	Decl.
55	9 7 4	6h 35m 33:56	+ 90 18' 2779
56	11.3	6 35 43.90	+9 36 43.0
57	8.9	6 35 57.05	+9 39 12.1
58	10.5	6 36 3.58	+9 38 0.5
59	9.2	6 36 11.66	+9 33 0.3
60	12.6	6 36 49.78	+9 31 53.1

In älteren Katalogen fanden sich Positionen von folgenden Steren — Tabelle 21 —, denen auch noch die Positionen der Leipziger Zonen und die von mir gefundenen zur Vergleichung hinzugefügt sind. Eine Eigenbewegung ist wohl bei keinem dieser Sterne mit Siecherliet zu constatiere.

Tabelle 21.

			1400	ne br		
	LALANDE	12793	1800	8 m 5	6h 34m 8:87	
	WEISSE	978	1825	8.9	6 34 8.68	+9 55 16.9
	Brüssel	2753	1864	8.5	6 34 8.88	+9 55 48.5
3	Leipz. alte	Zonen	1869	8.4	6 34 8.87	+9 55 19.9
	WEISSE Brüssel Leipz. alte i Leipz. neue	Zonen	1886	8.4	6 34 8.94	+9 55 19.1
	( HABN		1888	8.4	6 34 8.94	+9 55 48.8
	LALANDE Weisse Brüssel Leipz. neuo Hahn	12807	1800	875	6h 34m 23:04	+9° 45′ 37.3
	Weisse	985	1825	8.9	6 34 22.75	+9 45 37.5
10	Brüssel	2755	1868	89	6 34 23.21	
	Leipz. neuo	Zonen	1887	8.3	6 34 23.03	+9 45 37.2
			1888	8.3	6 34 23,06	+9 45 37.8
(	LALANDE STRUVE Leipz, neue Hann	12819	1800	8.0	6h 34m 50:58	+90 34' 24.7
20	STRUYE	762	1829	8.0	6 34 50.84	+9 34 21.7
30	Leipz. neue	Zonen	4886	8.1	6 34 50.87	+9 34 18.3
	HARN		1888	8.0	6 34 50.87	+9 34 18.5
	WEISSE STRUYE B. B. SCHJELLERUP Glasgow Leipz. neue	1002	1825	890	6h 34=52:41	+9° 5′ 28."9
	STRUVE	763	1831	7.5	6 34 52.07	+9 5 30.0
	B. B.	1345	1862	7.5	6 34 52.11	+9 5 28.9
32	SCHIELLERUP	2316	1865	8.5	6 34 54.88	+9 5 29.2
	Glasgow	1622	1873	8.0	6 34 52.11	+9 5 27.5
	Leipz, neue	Zonen	1886	7.9	6 34 51.97	+9 5 27.2
	HARN		1888	7.4	6 34 52.02	+9 5 27.4
	B. B.	1341)	1857	972	6h 34m 44:83	
24	B. B. Leipz. nene	Zonen	1886	8.8	6 34 44.47	+9 33 43.4
	HARN		4888	9.0	6 34 44.49	+9 33 43.4

t) Die Rectascension ist wohl fehlerhaft.

Die Sterne 5 und 61 sind auch von Herrn Dr. Peter gelegentlich seiner Vermessung des Sternhaufens G. C. 1440 bestimmt worden. Er giebt folgende Positionen für die Epoche 1880:

Meine Positionen stimmen mit diesen genügend gut überein, so dass beide Sterne einen befriedigenden Anschluss dieser unabhängigen mikrometrischen Vermessungen vermitteln.

## Inhalt.

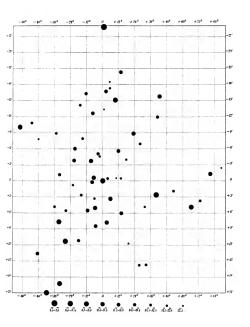
		8	HILL
	Einleitung	. 1	153
ı.	Untersuchung des Mikrometers	. 1	155
	a) Das Fadennetz	. 1	55
	b) Die Mikrometerschraube	. 1	65
	1) Fortsehreitender Gang	. 1	65
	2) Periodischer Gang	. 1	69
	3) Bestimmung des Bogenwerthes einer Schraubenrevolution	. 1	71
н.	Beobachtungs-Methoden und Reduction der Beobachtungen.	. 1	78
11.	Ableitung der Endresultate und Genauiskeit derselben	9	203

### Druckfehler.

Seite	163	Zeile	6	٧.	0.	lies	α	statt	a.	
	163		7	٧.	0.		$\alpha$	39	α'.	
	207		19	٧.	о.		-(	.006	statt	+0.006.
	221	,	2	٧.	0.	b	-1	2:34		-12:343

## Zu der Karte.

Die Sternkarte enthält nur die Objecte, die vermessen worden sind; desbalb ist die eine Componente des Doppelsterns +1:15, -2x\s^5 st\s^\*, die nicht zu den Beobachtungen herangezogen wurde, nicht eingezeichnet. Ferner ist -20\s^5, -6'3' der Doppelstern, welcher nicht geterent werden konnte.



Life. Inst v E.A. Faske Depoy

#### DAS

# RETICULIRTE GEWEBE

UND SEINE BEZIEHUNGEN

ZU DEN

# BINDEGEWEBSFIBRILLEN

VON

F. MALL, CLARK UNIVERSITY, WORCESTER, MASS.

MIT XI TAFELN.

## HERRN

# PROFESSOR C. LUDWIG

GEWIDMET

VOM

VERFASSER.

Es wird noch vielfach geglauht, dass das Reticulum der Lymphdrusen zusammengesetzt sei aus multipolaren Zellen, wie dies zuerst Blusoru gelehr hat. Vor etwa zwanzig Jahren entdeckten Ravinza und Bizzozno'), dass das Netzwerk in den Lymphdrüsen aus homogenen anastomosirenden Fibrillen zusammengesetzt ist und dass die multipolaren Zellen Billion's nicht das Netzwerk bilden, sondern einfach demselben aufliegen. Von Zeit zu Zeit wurden die Fibrillen beschrieben als weisse fibrüse, oder wie z. B. in der Leber als elastische Faserus.

Ich beabsichtige in dieser Mittheilung zu zeigen, dass ein mit dem Reticulum identisches Gewebe im Körper weit verbreitet ist und dass es weder weisses fibröses noch gelbes elastisches Gewebe ist.

Ich beabsichtige zuerst einige Reactionen des gelben elastischen Gewebes, dann die des weissen fibrüsen und reticulirten zu besprechen und endlich die Vertheilung des reticulirten?).

## I. Gelbes elastisches Gewebe.

Um die verschiedenen Arten von Bindegewebe mit einander zu vergleichen mussten viele Versuche mit verschieden starken Reagen-

<sup>1)</sup> RANNER machte seine erste Mittheliung, im August 1871, in der Société de Biologie und veröffentlichte dieselbe in den Verh, der Gesellschaft aus demselben Jahre. Dieselben iragen übrigens das Datum 1873. Ferner erschien eine Mittheliung in der Gazette médicale vom 30. Nevember 1872. Bizzozzao veröfentliche seine Boobschutungen in dem Relael Estituto Lombardo, Januar 1872.

Die Ergebnisse, zu welchen ich jetzt gelangt bin, weichen in einigen Punkten von der vorläufigen Mittheilung ab, welche ich im Anntom. Anzeiger 1888 veröffentlicht habe.

tien gemacht werden; es zeigte sich ferner nöthig, die Zeit der Einwirkung in Betracht zu ziehen.

#### a Säuren

In kalter Essigsäure verschiedener Stärke kann elastisches Gewehe fast unbeschränkte Zeit ohne Zerstörung liegen. Ehensowenig zerfällt es, wenn es mit 20% Essigsäure durch Stunden hindurch gekocht wird, doch werden die Fasern bei dieser Behandlung sehr brütchiz.

Kalte Salzsäure hat eine deutliche Wirkung auf Stücke vom Ligamentum nuchae. Die folgende Tabelle zeigt, dass die concentrite HCl das Gewebe in 2 Tagen auflöst, während die 50% ige hierzu eine Woche braucht.

HCl	1 Tag	2 Tage	3 Tage	7 Tag
1/2 %	0	0	0	0
4	0	0	0	0
2	0	0	0	0
5	0	0	0	0
40	0	0	0	0
25	0	0	0	×
50	×	×	×	+
100	~	+		

Wenn das Prohestück in concentrirer HG gekocht wird zereillt es rasch. Die Art und Weise wie das geschieht, giebt einen Einblick in die Structur der Paser. Zuerst lost sich das Innere, wobei eine Memhran zurückhleibt, welche sich elbenfalls in kurzer Zeit auflöst. Lehrreiche Praparate können erhalten werden, indem ann das Gewehe in HG kocht bis es anfängt zu zerfallen und dann rasch das Ganze in eine grosse Quantität kalten Wassers schüttet. Auf diesen Wege erhält man die Faser-Membran (Schwalze) schr hüllsch. Man sieht oft Memhranen, welche aus feinen Fibrillen

i) In dieser und den folgenden Tabellen bedeutet:

O unverändert.

<sup>×</sup> etwas verändert oder gequollen.

<sup>+</sup> vollständig aufgelöst.

zusammengesetzt erscheinen und die Vorstellung nahe legen, dass sie aus zwei Substanzen gebildet sind.

#### h KOH

Eine kalte gesättigte Lösung von KOH zerstört die Fasern in wenigen Tagen, dagegen können sie in schwachen Lösungen einen Monat und länger ohne deutliche Veränderungen verweilen.

KOH	1 Tag	2 Tage	4 Tage	6 Tage	12 Tage	44 Ta
4 %	0	0	0	0	0	0
2	0	0	0	0	0	×
5	0	0	$\times$	×	$\times$	+
10	0	+				
20	×	+				
40	×	+				

Gegen kochendes verdunntes KOII zeigen sich die Fasern sehr viderständig, sie werden nicht bruchig wie in der kochenden Sture. Dieses Vorgehen ist wie Hesus gezeigt hat, das beste zur Trennung der Fasern. Wird die Concentration gesteigert (5 oder 10%), so werden die Fasern beim Kochen rasch zerstört und die Membranen können isolitt werden. Beim Liegen in 20% iger Lösung für einen oder zwei Tage und nachfolgendem Waschen in Wasser bleiben die Membranen übrig. Dieselben sind, soweit meine Erfahrung reicht, homogen und unfolich sowohl in starker Essig- als Salzsdure.

## c. Pepsin.

Wird elastisches Gewebe einem Hunde verfüttert und das Thier einige Stunden später getödtet, so findet man bei der Untersuchung des Mageninhaltes die Fasern nur theilweise verdaut, das Innere ist in Stücke zerfallen und an vielen Stellen ist nur die leere Membran ubrig (Taf. 1 Figg. 1 und 2).

Der künstliche Verdauungssaft, hergestellt durch Extraction der Schleimhaut mit Glycerin und Ansäueren mit verdünnter HCl, verdaut elastisches Gewebe sehr langsam. Ohne Glycerin ist die Verdauung sehr viel schneller. Von den käuflichen Pepsinen sind fast alle brauchbar, doch habe ich das Präparat von Panke, Dars & Co. in Detroit als das wirksamste gefunden. Dasselbe verdaut ein Mehrfaches seines Gewichtes von elastischem Gewebe in 2—3 Stunden.

#### d. Pancreatisches Ferment.

Elastische Fasern lösen sich rasch in Pancreatin, während das Reticulum und das weisse fibröse Gewebe der Wirkung viele Tage widerstehen. Ein gutes Praparat von Piacreatin muss ein gleiches Gewicht des Gewebes in 2—3 Stunden verdauen. Die käuflichen Präparate wirken meistens nicht sehr kräftig; ich habe nur das von Panas, Davis & Co. von Werth gefunden. Ich versetzte es stets mit dem Zweifachen seines Gewichtes Natron bicarb. und etwa mit der 10—20 fachen Menge Wasser und liess das Gewebe bei 37º Celsius verdauen. Vorher wurden die Fasern mit kalter oder heiser Essigoder Salzsiure behandelt. Während der Verdauung lässt sich der Zerfall des Faserinhaltes stets beobachten, die Membran wird jedoch settlen isslirt.

## e. Papain.

Das Papaïn ist ein pflanzliches Ferment, welches Pepton enthält und sich gegen Bindegewebe sehr ähnlich wie Pancreatin verhält. Es verdaut ebenfalls elastisches Gewebe, löst aber nicht weisses fibröses oder reticulirtes. Wenn elastisches Gewebe in einer Paparalösung bei 37° verdaut wird, verschwindet das Innere der Fasern sehr rasch, die Membranen bleiben allein zurück. Um den Versuch rein auszuführen, müssen erst alle weissen Fasern aus dem Ligamentum nuchae entfernt werden, denn wenn dies nicht geschieht, ist man leicht Irrungen ausgesetzt. Das Ligamentum nuchae enthält im Ganzen ungefähr ebenso viel fibröses Gewebe als elastisches. Wenn in dem verdauten Stück leere Membranen und weisse Fasern an wesend sind, so hat es oft den Anschein als ob sie zusammenhingen. Giebt man Essigsäure unter dem Deckglas zu, so schwellen die weissen Fasern nicht immer auf, weil es nöthig ist, um gute Bilder zu erhalten, einen Druck auf das Deckglas auszuüben; die Fasern werden dabei gestreckt und und dies verhindert ihre Ouellung.

Stucke elastischen Gowebes wurden einen Tag lang in kalte Essigsture von 20% gelegt und dann darin gekocht. Dies zerstort alle weissen Fasern. Ein Theil der Probe wurde mit KOII alkalisch gemacht und mit einer starken Papainlösung bei 37° verdaut. Nur die Membranen bileben zurück (Taf. 1 Figg. 3 und §). Das Paparia wurde jeden Tag erneuert und am Ende des 3. Tages zerfielen die Menbranen. Wurde vor der Verdauung nur Essigsäure angewendet, so zeigten sich die Membranen nicht sehr wichständig und fösten sich schon nach 24 Stunden. Ebenso lösten sich sterilisirte Stücke des Lig. nuchae nicht vollständig in Papäin. Man erhält oft Stücke so gross wie eine Erbes, welche nur aus leeren Membranen bestehen.

Jedesmal wenn in Paparn verdaut wird, findet sich die Flüssigkeit erfullt mit sehr grossen Bacillen. Aus dem Paparinpulver konnte stets ein Bacillus fast in Reincultur erhalten werden, zuweilen fand sich ein Micrococcus. Ich werde dieselben bezeichnen als Papatn-Bacillus und -Micrococcus.

Ich fand, dass eine kleine Menge Paparin genugte, um grosse Stucke elastischen Gewebes zu verdauen, und dass sterilisirtes Paparin seine verdauende Kraft gleichzeitig verloren hatte. Der Bacillus allein verdaute gleichfalls grosse Stucke des Gewebes, während der Microcccus vollständig wirkungslos war. Weder von frischen noch von alten Calluren konnte ein Filtrat gewonnen werden, welches verdaute. Da der Paparin-Bacillus durchaus nicht so kräftig wirkt wie das Paparin selbst und da es eine grosse Anzall anderer Organismen gicht, welche elastisches Gewebe ebenso rasch verdauen, so bin ich nicht der Meinung, dass die verdauende Wirkung des Paparin ellen zugeschreiben werden kann. Paparin löst grosse Quantitäten von elastischem Gewebe in weniger als 24 Stunden, wahrend die Wirkung des Bacillus zu dieser Zeit gerade erst beeginnt.

# f. Bacterien.

Um die Wirkung der Bacterien auf elastisches Gewebe zu prüfen, muss man es entweder in aseptischen Zustande erhalten oder es sterilisiren. Aseptisches Gewebe lasst sich erhalten, indem man Stücke des Lig, nuchae unter aseptischen Cautelen ausselniedet und dann in sterilisirte Proberbirchen bringt. Es war naturfich nötlig die Rohren mehrere Tage im Thernostaten bei 37° zu halten und alle jene Röhren zu entfernen, welche sich zufällig infleirt zeigten, Sterilisirte Proben sind viel leichter zu erhalten. Ich bringe kleine Stücke des Gewebes in die gewöhnlichen Bouillon-Röhren der Bacteriologen und sterilisir eis enach der Methode von Kozn. Auch diese Rohren wurden mehrere Tage im Warmen gehalten, um ihre Keimfreiheit sicher zu stellen. Stücke des Gewebes, welche nach einer der genannten Methoden gewonnen sind, halten sich unbesebränkt lange ohne Veränderung.

Die sterilisirten Röhren wurden mit einigen 50 Bacterienarten geimpfl, auf 37° gehalten und von Zeit zu Zeit untersucht. Für jede Bacterienart wurden zum unindesten 3 Röhren verwenden, Sollte eine mikroskopische Untersuchung stattfünden, so wurde ein kleines Stück des Gewebes mit einer sterilisirten Platinnadel entnommen und so das Eindringen von Keimen verhütet. Die nachfolgende Tabelle herichtet über das Ergebniss einer Reihe von Versuchen.

Organismen	10 Tage	7 Woch.	44 Woch.	
Aseptisch	0	0	0	
Staphylococcus pyogenes aureus Staphylococcus pyogenes	0	0	0	
albus	0	0	0	
Ein rother Coccus	ŏ	ō	ŏ	Findet sich häufig in der Luft von Baltimore.
Ein Luftcoecus	0	0	0	Hatte sich auf einem asept. ent- nommen Gewebsstück nieder- geschlagen.
Ein bedingungsw. anaë-				
rob. Coccus	X0000	+0000	+0000	Aus faulendem Material.
nalis	000	000	000	
rothlaufs	00	00	00	
» Havanensis	o	0	0	Von Dr. STERNBERG in Havana ge- funden. Chromogen.
<ul> <li>parvus ovatus .</li> <li>crassus sputige-</li> </ul>	0	0	0	
nue	_	_	_	

Organismen	10 Tage	7 Woch.	f 3 Woch.	
Bacillus subtilis	×	×	×	
quefaciens .	×	+	+	
alvei	×	×	+	Grunlicho Flussigkeit ohno Faser- resto.
<ul> <li>pyogones foe-</li> </ul>				
tidus	×	×	×	
» pyocyaneus	×	+	+	Grüne, schleimige Masse, welche sich in Wassor wie flüssiges Kautschuk verhält.
<ul> <li>butyricus</li> </ul>	0	×	+	Bräunlich gefärbt.
Wurzel-Bacillus	×	×	×	Dicke, gelbliche Masse mit Faser- resten.
Booker's Bacillus A	×	+	+	BOOKER, Transact. of the Americ. Pediatric Soc. 1889.
» » a	×	×	×	Ebenda.
» » b	0	×	×	Ebenda.
Proteus vulgaris	×	+	+	
Papaïnbaeillus	×	×	×	In grosser Menge im Papain-Fer- ment.
Spirillum rubrum  Cholerae asia-	0	0	0	
ticae	0	0	0	
» tyrogenum	ŏ	ŏ	0	
» Finkler & Prior	×	+	+	Ein schmutziger Niederschlag aus
- Tibalci Willion	^	_		Bacterion bestehend
Sareina alba	0	0	0	Date for Bestellera.
aurantiaca	ŏ	ő	0	
» lutea	ŏ	ŏ	+	
Weisse yeast	ŏ	ŏ	o	
losa »	ŏ	ŏ	ŏ	
chwarz	ŏ	×	+	
ladothrix	ŏ	ô	6	Von Dr. Sternberg in einer Pustel
	~	١		von Herpes Zoster gefuuden.
Cladontrix	0	+	+	Von Dr. Miller in Baltimore zufäl- lig in einer Esmarch'schen Röhre gefunden.

Für meine Zwecke zeigten sich das Spirillum von Finkler und Prior, sowie der Bacillus des grünen Eiters als die besten. Diese Bacterien, besonders das erstere, sind im Stande, das Innere der Faser zu verdauen, so dass nur die Membran übrig bleibt (Taf. I Fig. 6). Es hat den Anschein, als ob die Lösung des Inneren unnitelbar an der Membran hegdnne, so dass bei Druck auf das Deckglas Zereissung eintritt, wie es die Figur zeigt. Wird mit Magentarob gefürbt, so nimmt das Innere der Faser die Farbe an, während die Membran fast ungefürbt bleibt. Oft erhalt nam die eigenthamliches Bilder, welche die Taf. I Fig. 5 zeigt. Der Bacillus des grünen Eiters hat ebenfulls die Fühigkeit, das elastische Gewebe nach längerer Zeit in eine grüne, schleimige Masse umzuwandeln, in welcher nur noch die leeren Membranen suspendirt bleiben.

Meine Versuche mit aseptischen Geweben beschränkten sich zumet auf Sehne und Reticulum und nur einige wenige Röhren enthielten elastisches Gewebe. Ihre Ergebnisse stimmen mit den Erfahrungen an sterilistirten Geweben völlig überein.

Aseptisches gelbes elastisches Gewebe, geimpft und auf  $37^{\circ}$  C. gehalten:

Keime	Nach 8 Wech
Bacillus prodigiesus	0
<ul> <li>anthracis</li> </ul>	0
» indicus rube	r O
Spirillum tyregenum	0
Booker's Bacillus A	×
Baeillus butyricus	$\times$
» pyecyaneus	×

Eine schleimige Masse.

In verschlossenen Röhren zerstören anaërobische Pilze das elstische Gewebe ziemlich rasch und es ist dabei gleichgultig ob die Röhren mit Leuchtgas, H, N oder O gefüllt inde; indessen ist die Zerstörung mit O bedeutend langsamer als mit N oder H. Wen z. B. clastisches Gewebe mit Gartenerde versetzt und die Röhre mit H gefüllt wird, so ist das Gewebe in 3-4 Tagen vollständig gedest; wird dagegen die Röhre mit Luß gefüllt und bermetisch geschlossen, so bedarf es mehrerer Wochen. Ede reklare mir dies in der Weise, dass die aërobischen oder die bedingungsweise anaërobischen Keine zuerst den O verbrauchen und dass dann erst die anaërobischen Keine das Gewebe auflösen. Dieser vorbereitende Schrift ist nicht nothwendig, wenn die Röhre von vornherein mit H gefüllt wird. Zur Sicherheit bemerke ich, dass aseptisches Gewebe in den genannten Gasen sich unbeschrinkt done Veränderung erhält.

Der Vorgang der Auflösung wird noch eigenhünnlicher, wenn an eine Röhre, welche sterilisirtes elastisches Gewebe und aërobische Keine enhählt, die für sich allein nicht verdauen (z. B. Indicus), mit einem wirksamen anaërobischen Pilz impft. In der Gartenerde findet sich ein anaërobischen Pilz impft. In der Gartenerde findet sich ein anaërobischen Bacillus, welcher in H. N, im gewöhnlichen Leuchtgas, auf dem Grunde der gewöhnlichen Nährlösung, in der Tiefe aber nicht an der Oberfläche von Agar-Agarstich-Culturen wichst, dasegen in Gelatine gar nicht forkommt.

Dieser Pilz wächst sehr rasch und bildet in kurzer Zeit Sporen an einem Ende der Stäbchen, welche dadurch knopfförmig aufgeschwollen erscheinen. Dieser Bacillus zerstört rein cultivirt elastisches Gewebe in etwa zehn Tagen in der Luft, viel schneller jedoch in N, in H oder Leuchtgas. Wird er geimpst zusammen mit anderen Keimen, welche für sich allein das elastische Gewebe nicht zerstören, so wird seine verdauende Kraft häufig gesteigert. Dies trifft namentlich zu, wenn er ausgesätet wird zusammen mit Indicus oder Brieger's Bacillus. Wenn der Knopfbacillus, Brieger's Bacillus und clastisches Gewebe zusammengebracht werden, so findet eine Farbenreaction statt, welche dieser Combination eigenthümlich ist und benutzt werden kann, entweder um den Brieger'schen Bacillus von anderen Organismen zu unterscheiden, oder zum Nachweis des elastischen Gewebes. Die Färbung beginnt am Ende der ersten Woche in Gestalt einer rothen öligen Zone an der Oberfläche der Flüssigkeit, sie nimmt im Laufe der zweiten Woche an Intensität und Ausdehnung zu, sodass die ganze Flüssigkeit das Aussehen von Portwein bekömmt. Während der dritten Woche wird die Farbe immer schwärzer1). Verschiedene Arten von Bacterien - Streptecoccus, Indicus, Bacterium coli commune, B. lactis aërogenes, Schweinerothlauf, B. rubrum, Staphylococcus aureus, Denecke's spirillum, Cholera spirillum, Schweinecholera und viele von Dr. Booker's Pilzen, welche mit Brieger's nahe verwandt sind - geben diese Farbenreaction mit dem Knopfbacillus und clastischem Gewebe nicht. Ebenso wird diese eigenthümliche Reaction vermisst, wenn der Knopfbacillus und Brieger's Bacillus in einfacher

t) Bookka hat diese Methode mit Erfolg gebraucht, um den Brieger'schen Bacillus von anderen scheinbar identischen zu trennen. Transactions of the Americ. Pediatric Soc. Vol. I. 4889.

Bouillon, Milch, Agar, Wasser, saurer alkalischer oder neutraler Gelatine oder in Organen, welche kein elastisches Gewebe enthalten, ausgestiet wird.

#### q. Fäulniss.

Wenn man das Lig. nuchae faulen lässt, so wird es in wenigen Tagen vollkommen zerstört. Zuerst fällt das innere der Fasern zu Krümeln auseinander, wird später völlig verflüssigt, worauf dann auch die Membran zerstört wird. Ich fand in der Regel, dass der Papaïn-Bacillus das elastische Gewebe rascher zerstört als die Fäulnisspilze, vorausgesetzt dass die letzteren nicht mit grösseren Mengen organischer Substanz verunreinigt sind. Wird das Gewebe mit Wasser angesetzt und an einem kühlen Ort gehalten, so löst sich das Innere der Faser allmählich auf, ohne zuerst zu zerkrümeln, wobei eine grosse Zahl leerer Membranen zurückbleibt. Wird das elastische Gewebe auf 37 Grad gehalten, so sind die Membranen in zwei Wochen leer und sie selbst in 3 Monaten vollständig gelöst. Bei 20° bedarf es 3 Monate zur Reinigung der Membranen und 6 Monate zur vollständigen Lösung. Bei der gewöhnlichen Zimmertemperatur werden die Membranen nicht vor dem Ende des 8. Monats leer. Bei Versuchen dieser Art muss man verhindern, dass in dem Wasser organische Substanzen oder Protococci sich anhäufen, in jedem dieser Fälle tritt die Lösung des Gewebes viel rascher ein.

Die Zerstörung der Faser kann nicht durch einen directen Aggriff der Pilze auf das Gewebe stattfinden, denn ich habe dieselben niemals im Innern der Fibrillen gesehen. Es mag sein, dass die Pilze Gase entwickeln, welche die Lösung des Elbstins bewirken, denn es ist bekannt, dass die Fulmissgase organische Substanzen zerstören können. Es ist indessen viel wahrscheinlicher, dass die Lösung durch die flüssigen Ausscheidungsproducte der Pilze (Ptomatne) bewerkstelligt wird. Ich muss indessen doch bemerken, dass es nir niemals gelungen ist, solche Substanzen von den Keimen zu trennen

# h. Pathologische Veränderungen.

Ich habe die Veränderungen des elastischen Gewebes bei der Pleuro-Pneumonie des Rindes und bei der menschlichen Tuberculose

untersucht. Nur im letzteren Falle babe ich wertbvolle Aufschlüsse bekommen. Wenn das Centrum eines Tuberkels zu verkäsen beginnt. so gehen die elastischen Fasern an dieser Stelle allmählich zu Grunde. Zuerst findet man im Inneren die Querstreifung (Taf. I Fig. 8) und dann tritt allmählich Lösung ein, wobei nur die Membranen zurückbleiben. Ich will hier bemerken, dass sich zur Untersuchung frische Schnitte vom Gefrier-Mikrotom am besten eignen, aus welchen man durch Schütteln im Wasser und in KOH den Tuberkel entfernt. Der zarte Schnitt kann dann auf dem Objectglas ausgebreitet und mit einem Tropfen Magenta-Lösung bedeckt werden (Wasser 50 g. Glycerin 50 g und ein Korn Magentaroth). Der Rest des Faserinhaltes nimmt fast augenblicklich das Magenta auf, während die Membran ungefärbt bleibt. Taf. I Fig. 7 ist von einem derartigen Präparat gezeichnet. In der Peripherie des Tuberkels findet man die Faser unverändert, während im Inneren nur die leeren Membranen übrig sind; man sieht demnach, dass die Zerstörung des elastischen Gewebes durch pathologische Processe in derselben Weise vor sich geht, wie durch die Verdauung oder Fäulniss.

## i. Structur.

Nach dem Obigen kann nicht bezweifelt werden, dass die elastischen Fasern aus zwei verschiedenen Substanzen bestehen: dem Faserinhalt, welcher sich mit Magenta intensiv fürbt und der Membran, welche dies nicht thut. Ob die zwei Substanzen den beiden Verdauungsproducten Elastinpepton und Hemielastin entsprechen, ist noch nicht nachgewiesen. Der Faserinhalt ist der stark lichtbrechende Bestandtheil, wahrscheinlich zähe und wie ich glaube nur zus einem Stoff bestehend. Die Erfahrung, dass bei Verdauung Questreifen auftreten, legt den Gedanken nahe, dass es sich zum mindesten urzwei Stoffe handle. Wenn man aber berteksichtigt, dass die Zerstuckelung nach allen Richtungen vor sich geht, anfangs gewöhnlich in der Quere, später der Länge nach, so muss man die Anschauung aufgeben.

Die Membranen sind scheinbar homogen, obwohl man, wenn das Präparat nicht ganz gereinigt ist, häufig Längsstreifung beobachtet. Sie widerstehen kochender Essigsture und verdauen sich in Pancreatin, Eigenschaften, wodurch sie sich von dem Reticulum und dem weissen fibrösen Gewebe unterscheiden. Die reinen Membranen schrumpfen stark in Pikrinsäure.

Ich habe ferner die gefensterten Membranen von Henle untersucht. Sie können durch Kochen in Essigsäure oder KOH isolirt werden. Das letztere Verfahren ist besser. Die kleineren Membranen. welche sich aus den Gekröse-Arterien isoliren lassen, können mit einer Scheere aufgeschnitten, auf einem Objectglas augebreitet und mit Magenta oder Pikrocarmin gefärbt werden. Beide Färbungen zeigen, dass die Öffnungen mit einem zarten Häutchen überdeckt Werden die Membranen mit dem Bacillus von Finkler & Prior, mit Papaïn oder durch langsame Fäulniss verdaut, so zerfällt das Innere in Körner, welche sich mit Magenta intensiv färben, aber immer noch von dünnen Membranen nach beiden Seiten begrenzt sind. Diese letzteren enthalten keine Öffnungen und sind wie ich glaube identisch mit der Membran der elastischen Faser. Sie fürben sich mit Pikrinsäure nur schwach, wie dies auch die Membranen der elastischen Fasern thun, Werden die Henle'schen Membranen isolirt und mit Pikrocarmin gefärbt, so findet man eine ähnliche Schattirung über den sogenannten Öffnungen. Die Hexle'sche gefensterte Membran besteht demnach aus drei Lagen; einem oberen und unteren durchsichtigen Häutchen ohne Lücken, welche identisch sind mit den Membranen der elastischen Fasern; dann aus einer mittleren Lage, welche das Magentaroth annimmt und identisch ist mit dem Inneren der elastischen Fasern. Diese mittlere Lage enthält die Öffnungen.

# k. Vertheilung.

Auf Grund von Untersuchungen, mit welchen ich noch beschäft tibt, ist es mir wahrscheinlich, dass elastisches Gewebe sich nur in solehen Wirbelthieren findet, welche ein knöchernes Skelett haben. Ich war nicht im Stande elastisches Gewebe bei wirheltlosen Thieren zu finden.

# 1. Entwickelung.

Bei der Untersuchung der Entwickelung des Lig, nuchae habe ich mich stets bestreht dasselbe zu isoliren, so dass es chemisch geprüft werden konnte. In Hunde-Embryonen von 6, 8,5, 10 und 13,5 mm Länge fehlt jede Spur des Lig, nuchae. Ich wendete mich daber an Embryonen von Rindern, indem ich ausging von einem Lebensalter, in welchem das Lig, bereits gut entwickelt war und dann schrittweise immer frühere Stadien vornahm. In einem Embryo von 43 cm Länge ist das Lig. bereits sehr gross, aber nicht elastisch. Unter dem Mikroskope findet man es zum grössten Theil zusammengesetzt aus weissem, fibrösen Gewebe, welches beim Kochen verschwindet und ein zierliches Netzwerk feinster elastischer Fasern zurücklässt. In jüngeren Embryonen konnten diese Fasern nicht nachgewiesen werden.

In sehr jungen Wirbelthierembryonen, sowie in wirbellosen Thieren besteht ein grosser Theil des Skeletts aus bipolaren und multipolaren Zellen. Dieselben lassen sich sehr gut nachweisen in dem Schwanz der Kaulquappe. Sehr schöne unipolare Zellen, welche in lange, zarte, homogene Fasern auslaufen, finden sich in Cephalopodenaugen. Ebenso ist das Lig. nuchae in einem sehr frühen Stadium zusammengesetzt aus einer grossen Zahl bipolarer Zellen und langen Fasern des weissen fibrösen Gewebes. In Rinderembryonen von 4-7 cm Länge quellen die Fasern nicht mit Essigsäure, auch lässt sich ihr Zusammenhang mit den bipolaren Zellen nicht nachweisen. Nach ihrem chemischen Verhalten scheinen sie eher aus Mucin als aus Collagen zu bestehen. Es konnte keine Reaction nachgewiesen werden, welche auf gelbes elastisches Gewebe deutet. In Embryonen von 7-10 cm Länge finden sich sehr deutliche weisse Fasern. Von diesem Zeitpunkte an, wenn die Knochen zu ossificiren beginnen, findet sich auch elastisches Gewebe in dem Lig. nuchae.

Es wird allgemein angenommen, dass Fibrin, Keratinfasern (Schalenmembran) und Chitinfasern nicht als Verlängerungen von Zellen gebildet werden. Sie sind zu betrachten als Ausscheidungsproducte der Zellen oder als erhärtete Intercellularsubstanz. So ist z. B. Fibrin im frischen Zustande leicht verdaulich in verdünnter Salzsäure, während alte fibriöse Exsudate sehr widerständig sind und selbst in conc. HCl und HNO3 nicht zerstört werden. Dies ist ein Beispiel einer fortschreitenden Unlöslichkeit einer zarten Faser. Man muss bei der Entwicklung des elastischen Gewebes einen ähnlichen Vorgang annehmen. Zuerst wird das Gewebe angelegt als ein äusserst zartes Fasernetz, welches allmählich dicker wird. Man kann sich kaum anders vorstellen, als dass besondere Arten von Abhandl. d. K. S. Gezellech, d. Wissensch, XXIX.

Bindegewebsfibrillen auch von besonderen Zellen stammen. Elasisches Gewebe findet sich in allen Thieren, welche ein knöchernes Skelett besitzen und es erscheint im Embryo, sobald die Knochen zu ossificiren beginnen.

# II. Weisses fibröses und reticulirtes Gewebe.

Die Reactionen des weissen fibrösen und des reticulirten Gewebes sind einander in verschiedencen Punkten so ühnlich, dass ich sie zusammen besprechen nuss. Die Trennung vom gelben elastischen Gewebe geschieht sehr leicht vermittelst Pancreatin oder Papaïn. Die nachstehende Tabelle giebt Auskunft über einige der wichtigsten Unterschiede.

	g		e Säure	HON 9	atin, nesture,		Gelatine		isung in der <i>HCl</i>
	Pancreatin	Papain	Kochend	hochende	Pancrea Osmium Kochan	Firb. mit	Giebt Ge	Essigs. Blei	Alkohol
Elastisches Gewebe . Weisses fibröses Gew. Reticulum	+00	+00	0++	0++	+ + O od. >	+00	0+0	O Niederschl,	Niedersehl.

Wenn ich Proben mit Retieulum oder Sehne anstellte, habe ich fast immer Zellen und elastische Fasern durch Pancreatin entfernt. Auch gesättigte Sodalösung oder Kochsalzlösung von 10% zeigten sich tauglich zur Entfernung der Zellen.

## a. Kochen.

Wird eine Sehne gekocht, so verkürzt sie sich und kann nicht mehr auf ihre ursprüngliche Länge gebracht werden. Wird aber die Sehne gespannt und dann in koehendes Wasser gebracht, so lasst sich die Verkürzung vermeiden und nach dem Abkühlen ist das Gewebe scheinbar unverfündert. Wursthäute verkürzen sich nicht noch quellen sie auf, wenn die Wurste selbst durch längere Zeit gekocht werden. Wird dagegen die leere Submucosa in

kochendes Wasser gebracht, so schrumpft sie zu einer unscheinbaren Masse zusammen.

Retieutirtes Gewebe schrumpft, ebenfalls beim Kochen, quillt aber nach mehreren Minuten wieder auf und löst sich später. Sowold Schne wie Reticulum schrumpfen bei 72º C., wird das Reticulum aur für einen Augenblick mit 0,3%, Osmiumsaure behandelt, so schrumpft es erst bei 95° C. und löst sich beim Kochen in verdunter HC erst 1—2 Stunden später als die Schne. Sind Reticulum oder Schne einmal geschrumpft, so verdauen sie sich sehr rasch mit Pancreatin oder Papain, auch werden sie durch Fäulniss rasch zerstört.

b. Saure.

In kalter Essigsäure verschiedener Stärke schwillt die Sehne gewöhnlich an, wie die folgende Tabelle zeigt:

Essigsäure				
in Procenten	f Stunde	2 Tage	7 Tage	44 Tage
1/100	0	0	0	0
1/80	0	0	0	0
1/60	0	0	0	0000
1/40	0	0	0	0
1/30	0	0	0	0
1/20	0	0 ×? ×?	$\times$	×
1/10	0	×?	$\times$	×
1/2	×	×	$\times$	× × × × × ×
4	$\times$	$\times$	$\times$	$\times$
2	×	$\times$	×	×
3	×	$\times$	$\times$	×
4	×	×	$\times$	$\times$
5	×	×	×	×
6	×	×	×	×
12	×	×	$\times$	×
25	×	+		
100	Durchsichti	g.		

In concentrirter Säure quellen die Fasern nicht auf, in Säure von 25% werden sie gelöst und unter ½3% bleiben sie unverändert. In halbprocentiger Säure können die Fasern über ein halbes Jahr liegen; ihre Zerstorung wird durch eine derartige Behandlung nicht begünstigt.

Das Verhalten zu IICt verschiedener Stärke ist viel bemerkenswerther; die Fähigkeit zu quellen liegt zwischen 0,04 und 6%.

HCl	4	2	3	4	5	6	7	45	30 Ta
Wasser	0	0	0	0	0	0	0	0	0
1/3000	0	0	0	0	0	0	0	0	0
1/500	0	0	0	0	0	0	0	0	0
1/400	0	0	0	0	0	0	0	0	0
1/300	0	0	0	0	0	0	0	0	0
1/200	0	0	0	0	0	0	0	0	0
1/100	×1)		$\times$	$\times$	$\times$	$\times$	×	×	$\times$
1/50	×	$\times$	$\times$	$\times$	+				
1/2	$\times$	×	$\times$	$\times$	$\times$	$\times$	$\times$	$\times$	+
4	$\times$	×	×	×	×	×	×	×	+
2	$\times$	$\times$	×	$\times$	×	$\times$	$\times$	$\times$	+
3	$\times$	$\times$							
5	$\times$	$\times$	×	$\times$	$\times$	$\times$	$\times$	$\times$	$\times$
5	fast	durch	sichtig					$\times$	$\times$
6	0	0	0	0	0	0	0	0	0
7	0	0	0	0	0	0	0	0	0
8	0	0	0	0	0	0	0	O <sup>2</sup> )	O <sup>2</sup> )
9	0	0	0	0	0	0	0	$O^2$	O <sup>2</sup>
10	0	0	0	0	0	0	0	O <sup>2</sup> )	O2)
25	0	0	×	$\times$	×	+			
50	0	×	×	+					
75	+3)	+							
100	+3)								

F. MALL.

Es ist schwierig, die gleiche Reaction mit reticulirtem Gewebe anzustellen, weil dasselbe niemals so durchsichtig wird. So weit es sich beurtheilen lässt, quilit es in verdunater Saure bis 3½, bleikt unverändert zwischen 3 und 10½, während es von 25½ oder nech böhrene Concentrationen in 22 Kunden zerstort wird.

Nach Behandlung mit verdünnter Saure löst sich die Sehne vie eichter beim Kochen als das Retieulum. Schnitte aus retieulirtem Gewebe, welche durch die Säure gequolien sind, schrumpfen zuers beim Kochen, breiten sich aber dann wieder aus und bleiben in diesem Zustande lange Zeit, bevor sie in Stucke fallen.

In den Versuchen, über welche die folgende Tabelle Auskunft giebt, wurden die Gewebsstücke vor dem Kochen eine Stunde lang in Säure gelegt.

<sup>1)</sup> Quellung begann nach 2 Stunden.

<sup>2)</sup> Das Gewebe eigenthümlich verändert, locker und wellig.

<sup>3)</sup> Zuerst Schrumpfung wie beim Kochen, dann Zerfall,

HCl in Proc.	Sehne zerstört in	Reticulum zerstört in
1/2	4 Min.	48 Min.
1/4	1 a	20 .
1/8	2 n	24 n
1/16	2 .	20 s
1/32	2 a	96 n
1/64	2 a	443 ×
Wasser	25 n	126 a

Schnen von verschiedenen Orten desselben Körpers, sowie von verschiedenen Thieren zeigen theilweise abweichendes Verhalten; so sind z. B. die Sehnen der Ratte widerständiger als die des Frosches und die Sehnen des Hundes übertreffen die der Ratte.

Unter dem Deckglas bringt die verdunnte Saure nicht immer die Quellung hervor. Liegen die Fibrillen frei, so quellen sie stets, durch Spannung oder Druck kann es aber verhindert werden. Der Druck, welcher häufig auf das Deckglas ausgeubt werden muss um gute Bilder zu erhalten, genügt oft um die Quellung zu verhindern oder gieht der bereits gequollenen Faser ihre frühere scharfe Contour wieder zurück. Dies gilt namentlich für das reticulirte Gewebe, weil die Fasern nach allen flichtungen zusammenhängen, wodurch ihre Spannung auf Druck begünstigt wird. Wird z. B. reticulirtes Gewebe in eine grosse Menge 20 % jege Essigssture gebracht, sodann auf dem Objecttrager ausgebreitet und mit einem Deckglas bedeckt, so lässt sich durch Druck der Schnitt noch weiter verbreitern, wobei die Fasern gespannt werden und wieder ihre frühere scharfe Begrenzung erhalten.

#### c. Alkali.

Kalles KOII oder NaOII zeigen sehr ausgesprochene Unterschiede zwischen reticulirtem und weissem fibrösen Gewebe (man vergleiche die beiden folgenden Tabellen mit der auf Seite 301).

			Sei	ne.			
KOH in Proc.	4	2	4	6	12	44 T	age
4	×	$\times$	$\times$	$\times$	$\times$	$\times$	Keine deutliche
2	×	$\times$	$\times$	$\times$	×	+	Quellung, sie
5	×	+					wurde nu durchsichtig.
10	×	+					durensientig.
20	+						

### Reticulum.

KOH in Proc.	4	2	4	6	12	44 Ta	ige
4	0	0	0	0	0	0	Das Verhalten ist sehr
2	0	0	0	0	0	0	ähnlich dem elasti-
5	0	0	$\times$	$\times$	+		schen Gewebe.
10	0	+					
20	+						

Die Unterschiede sind noch grösser, wenn man die beiden Gewehe mit kochender KOII-Lösung behandelt. In sehr starker Lauge lösen sich Schne und Reticulum, bevor der Siedepunkt erreicht ist.

KOH in Proc.	Zur Lösung Sehne	nöthige Zeit. Reticulum
10	unter d. Siedepunkt	unter d. Siedepunkt
5		
2	15 Sec.	45 Sec.
4	30 .	90 n
1/2	4 Min.	6 Min.
1/4	4 >	4.6 .
1/8	2 >	35 ∍
1/16	3,5 *	65 a
1/32	5 »	465 »
1/64	8 »	240 m
Wasses	ox -	ocr -

Das Reticulum stammte aus der Mitz. Die Mitzkapsel löste sich zuletzt, obwohl das elastische Gewebe entfernt war.

# d. Pepsin.

Im Magen des Hundes scheinen sich Schnen nicht schneller zu lösen als elastisches Gewebe. In Gewebstücken, welche reieh an Bindegewebe sind, löst der Magensaft die weissen fibrüsen Theile nicht früher als die elastischen. Ich habe noch niemals gequollene Schnen im Mageninhalt angetroffen. Die Faserbündel sind schaff begrenzt, weiss und scheinen sich, ohne durch den gequollenen Zustand hindurch zu gehen, zu lösen.

Im kunstlichen Magensaft dagegen löst sich die Schne viel rascher als das elastische Gevethe. Das starke Pepsin von Paast, Davis & Co. löst die Schne in 5—30 Minuten, während im Retieuculum und elastischen Gewebe erst zu dieser Zeit die Verdauung beginnt und ungefähr 2 Stunden für das Reticulum und 3 für das clastische Gewebe zur Lösung nöthig sind. Ich habe 2 oder 3 Sehnen hintereinander in einer salzsauren Pepsinlösung verdaut, bevor das Reticulum gelöst wurde.

## e. Pancreatin.

Während eine starke Lösung von Pancreatin das Lig. nuchae in 3 Stunden löst, bleiben die Sehne oder das Reticulum auch bei mehrtägigem Verweiden unversitädert. Sehnen vom Frosch wurden 3 Tage bindurch mit Pancreatinlösungen behandelt, welche täglich erneuert wurden, es trat aber keine Verdauung ein. Dabei sind die Sehnen des Frosches weniger widerständig als die der höheren Thiere.

Es ist wiederholt angegeben worden, dass Sehnen, welche einem al angestuert waren, von Pancreatin verdaut wurden. Ich habe Sehnen eine halbe, 1, 2, 3 und 20 Stunden in halbprocentige Salzsaure gelegt und binterlier 24 Stunden in fliesendem Wasser ausgewasehen. In eine sehr kriftige Pancreatindsoung eingetragen und auf 27½ C. gehalten zeigten sie sich nach 24 Stunden unverändert. Ebensowenig wurden sie verdaut, nachdem sie 4 Monate lang in halbprocentiger Essigsdure gelegen batten. Pancreatin ist nicht einmal im Stande, die durch Pepsin und IICI begonnene Verdauung zu vollenden. Dasselbe gift für das Retieulum.

Sobald Sehne und Reticulum gekocht worden sind, werden sie von Pancreatin leicht verdaut.

# f. Papain.

Die Wirkung von Papain auf Reticulum und weisses fibröses Gewebe ist dieselbe wie von Pancreatin. Werden die Gewebe in Papainlösung gebracht, welche jeden Tag erneuert wird, so zeigt sich nach 4 Tagen noch keine Verdauung. Dieses ändert sich auch nicht, wenn die Gewebe vorgängig mit starker oder mit schwacher Essigsäure oder schwacher IEG behandelt und hinterher gründlich gewaschen werden.

# g. Mehrfache Einwirkungen.

Werden Sehne oder Reticulum für eine halbe Minute oder länger in eine halbprocentige Osmiumsäure gelegt, so werden sie ausserordentlich widerständig und sind selbst in kochender HCl (1/2 %) nur mit Schwierigkeit zur Lösung zu bringen.

Frische Stucke der Sehne und Schnitte aus Lymphdrusen wurden ber Nacht in Pancreatin gelegt, gut ausgewaschen und in halb-procentige Osmimmsture eine Minute lang gebracht, worauf sie neuerdings mit Wasser gut ausgewaschen wurden. Die Stucke wurden verschieden hoch erhitzt und neuerdings in Pancreatin gebracht.

Nr.	C o		irkung r Hitze	Paner 18 Stu				
4	64	Keine	Schrumpfung	Weisse	Pasern	und	Reticulum	unverändert
2	69							
3	74			2		3		
å.	78							
5	85	Sch	rumpfung			10		
c	OK	Stank	Sahrumafuna	Water	Faces	noli	or Batlant	unwortinder

Das Ergebniss von Nr. 6 legt die weitere Untersuchung der Temperaturen zwischen 90 und 98° nahe.

## Sehne.

Pancreatin 18 Stunden, ½% Osmiumsäure 1 Min., Auswaschen in Wasser.

Nr. 4	erhitzt	auf	90 0		Pancreatin					
2			95	ъ	3		20	3		Di Gunt 1 1 1
3			96						20	Die Stücke haben eine bräunliche Färbung an-
4			96,5	В		n	10			braunliche Farbung an-
5			97,5	10			10	20		genommen.
6			98,0	p			*	10		l

### Reticulum.

Pancreatin 18 Stunden,  $\frac{1}{2}\%$  Osmiumsäure 4 Min., Auswaschen in Wasser.

Nr. 4	erhitzt	aut	90 o	in	Pancreatin	nach	20	St.	0	
2		n	95	ю		3	D		×	
3		'n	96			10	В		× Sehr brüchig )	
	26		96,5	3			9	в	× Sehr brüchig × und etwas ge- liche Fär-	
5	0	10	97,5	В			2	9	× quollen. bung.	
6	,		98	20	9		8	9	× J bung.	

124

Die Wirkung der Erhitzung auf 90 °C. wurde weiterhim genauer unter dem ich die Gewebstucke verschieden lange in der Osmiumsture liess. Die Verschiedenheit zwischen weissem fibrösen Gewebe und Reticulum zeigte sich stets deutlich, wenn die Stucke sicht über eine Stunde in der Osmiumsture blieben. Wurde diese Frist überschritten, so wurde das Reticulum bei der zweiten Einwirkung des Pancreatin gelöst.

Ich versuchte ferner Mellen's Flüssigkeit, Platinchlorid und HGI bei verschiedenen Temperaturen und Zeiten, fand aber, dass durch sie Reticulum und weisses fibröses Gewebo nicht getrennt werden konnten.

### h. Fäulniss.

Sehnen erhalten sich bei 37°C, oder bei Zimmertemperatur Monate, ja selbst Jahre lang ohne zu zerfallen, vorausgesetzt, dass das Wasser von Zeit zu Zeit gewechselt wird. Lässt man eine Thierleiche bei 37° C. liegen, so lösen sich die Sehnen in wenigen Tagen. Das Verhalten des Reticulums ist ziemlich dasselbe, es zersetzt sich nur etwas leichter. In kleinen Mengen Wasser zerfallen die Fasern des Reticulums bei 37° C. in etwa 2 Wochen, bei Zimmertemperatur etwa in 3 Monaten. Die Submucosa zersetzt sich leichter als die Sehne; in Wasser, welches von Zeit zu Zeit erneuert und auf 37°C. gehalten wird, zerfällt sie in 3-4 Wochen; wird dagegen ein ganzes Darmstuck in Wasser gelegt, so verschwindet die Submucosa schon in einer Woche. Die zwei letzten Fälle entsprechen der früheren Beobachtung, bei welcher das eine Stück Sehne nur in Wasser, das andere Stück in faulender Materie verblieh. Im Wasser ist stets reichlich O vorhanden, während die faulenden Substanzen Gase enthalten, [welche das Wachsthum der anaërobischen Keime begunstigen.

Die Schne zerfällt in 3-7 Tagen in einer Atnosphäre von Leuchtgas, II, N oder Fäulnissgasen. Besonders befürdert wurde die Zersetzung durch die letzteren, wenn ich sie durch die Proberöhren, welche die Sehne enthielten, hindurch leitete. Die meisten Versuche wurden mit Leuchtgas angestellt, welches durch eine im Thermostaten stehende Flasche geleitet wurde. Die Röhren, welche sich in der Flasche befanden, wurden daher beständig von frischem Gas bespütt und dadurch die Anhäufung von Fäulnissgasen verhindert. Litter diesen Junständen zerfallen Sehnen meistens innerbalb einer Woche. Wenn zwei Stücke der Sehne in Bouillon-Röhren gebracht werden, von welchen die eine Röhre zugesiegelt wird, so zerfällt die Schne in der verschlossenen Röhre bei 37° el. innerhalb einer Wocke, während das Stück in der offenen Röhre in der Regel unvertändert bleiht. Wenn die verschlossene Röhre statt mit Luft mit Leuchtgasgefüllt wird, so geht der Zerfäll viel rascher vor sich. Wird ein Stück Schne in eine mit Wasser gefüllte Röhre gebracht, mit Gartenerde hedeckt und versiegelt, so zerfällt es sehr rasch.

Alle diese Versuche beweisen, dass die Zerstörung der Sehe durch anaërobische Pilze stattfindet und nicht durch aërobische. In den mit Luft gefullten und verschlossenen Röhren mussen organische Substanzen anwesend sein, welche die Zerstörung begünstigen; sie reichen hin zur Nahrung für die äërobischen Keime, welche des freien O bald aufbrauchen und dadurch die Vermehrung der rein anaërobischen, sowie der bedingungsweise anaërobischen Keime ermöglichen. Gartenerde ist ein besonders kräftiges Zerstörungsmittel, weil sie an sehr wirksamen Zersetzungskeimen reich ist.

Schnenstücke, welche in ½,½/siger Essigsture, oder in ½,½/s KoH, 1, 10, 30 Min., 1, 2, 3 und 4 Stunden, 1, 2, 5 und 10 Tage gelegen haben und darauf mit Wasser gründlich gewasehen sind (3 Stunden bis 3 Tage lang je nach der Länge der Zeit, welche sie in der Sture oder im Alkbil verveilt hatten), werden nicht zersetzt, wenn man sie 3 Monate lang in Wasser von 37° C. steben lässt. Ebense erhalten sich Sehen in ½/siger Essigsture Monate lang, und in ½/siger Monate lang, und in ½/siger Monate lang.

Die Zerstörung der Sehne durch Fäulniss giebt niemals Aufschluss uber die Structur der Fürlühn. Zuweilen wird das Gewebe in eine gelatindse Masse umgewandelt, in welcher die Fibrillen enden. Beobachtet man den Übergang genauer, so findet man, dass die Fasern zuerst anschwellen und dann zusammenlisesten.

Durch Kochen wird die Zersetzung sehr begünstigt. Ist die Sehne einmal kurze Zeit gekocht worden, so wird sie von allen Pitzen gelöst, welche Gelatine verflussigen. Die folgende Tabelle bezieht sich auf Versache, bei welchen die Sehne kurze Zeit gekocht und dann in Wasser von 37 °C. gelogt wurde.

Dauer des Kechens	Zeit	des Liegens in	Wasser von	ven 37° C.
	4	4	7	9 Tage
4 Min.	0	0	×	+
10 »	0	×	×	+
30 a	0	×	×	+
4 Stunde	0	×	+	
2 »	0	×	+	
	-			

Da der Versuch, Reinculturen auf aseptischen Stucken der Sehne oder der Milz zu erzeugen, grosse Schwierigkeiten hat, so verfüge ich nur über eino Meine Zahl von Beobachtungen. Die Gewebe wurden in Röhren mit sterilisitrem Wasser eingetragen, bei 37° C. eine Woche lang stehen gelassen, um sich von der Keimfreiheit zu überzeugen und darauf mit verschiedenen Pilzen besätet. Nach Verlauf von 2 Monaten wurden die Röhren untersucht. In keinem Falle war das Retieulum veräudert. Rosa Hefe, weisse Hefo, sowie Bac, prodigiosus machen die Sehne sehr brütchig; die Fibrillen waren indessen ganz scharf erhalten, quollen in Säure oder Alkali und gaben beim Kochen Gelatine.

Bacterien			c	ohno	Reticulum
					Reticulum
Bac. butyrius		÷		0	0
Indicus				0	0
Grüner Eiter				0	0
Finkler & Prier.				0	0
Deneeke				0	0
Schwarze Hefe .				0	0
				→ Sehr brüchig	0
Weisse Hefe				× und	0
Predigiosus				× zerfallend	0
Anthrax				o'	0

### i Gelatine.

Die Schleimhaut des Darmes enthält weder elastische noch fübröse Fasern, sie ist vielmehr ausschliesslich aus retieulirtem Gewebe gebaut. Hierdurch wird ermöglicht, die chemischen Eigenschaften dieses Gewebes zu studiren. Die Schleimhaut kann auf folgende Weise in grosser Quantität erhalten werden: Der Darm eines Hundes wird von den Ansatzpunkten des Mesenteriums abgerissen und dann abgeschabt, am besten indem man ihn zwischen

den beiden Handgriffen einer starken Scheere durchzieht; dabei werden die Muskelschichten von der Aussenseite der Submucosa allegestreift, und ebenso die Mucosa von der inneren Seite. Mit ein wenig Sorgfalt lässt sich leicht verhüten, dass die Schleimhaut sich mit der Muskelhaut vermengt. Man kann die Gewebe auch aus dem Schleichtung beziehen, aber man bekommt sie dort nie rein; die Schleimhaut ist gewühnlich vermengt mit Submucosa und Muscularis. Nach einiger Übung lernt man, diese Beimengungen zu entferzen.

Die freie Mucosa wird nun mit Wasser gründlich gewaschen, mit Soda und Pancreatin verdaut und darauf neuerdings ausgewaschen. Man erhält auf diese Weise das Reticulum ganz rein ohne irgend welche Zellen und ohne Bindegewebe.

Soll auf Gelatine geprüft werden, so darf die Schleimhaut vor dem Kochen nicht mit Alkali oder Pancreatin behandelt werden. Durch ihre Wirkung auf das weisse fibröse Gewebe wird die Extraction der Gelatine sehr erschwert. Bei allen Prüfungen auf Gelatine wurde die Schleimhaut gekocht, wobei gleichzeitig ein Stück Schne in einer grossen Menge Wasser zur Controle beigesetzt wurde. Ungefähr alle 2 Stunden wurde der kochenden Flüssigkeit eine Probe entnommen, bis zur Syrupdicke eingedampft und dann auf Eis gesetzt. Ergab der Controlversuch die Anwesenheit einer grösseren Menge Gelatine, so wurde der Schleimhaut-Extract zum Syrup eingeengt und auf Eis gesetzt. Wiederholte Versuche ergaben niemals auch nur eine Spur von Gelatine in der Schleimhaut. Gleichzültig ob kleine Stücke oder die ganze Schleimhaut von einem oder mehreren Hunden gekocht wurde, niemals fand sich Gelatine vor. So gab z. B. 4 kg Schleimhaut keine Spur Gelatine, dagegen 0,1 g Sehne eine deutlich nachweisbare Menge.

Die Milz und die Lymphdrusen (ohne Kapsel), die Rinde der Niere gaben beim Kochen keine Gelutine ab. Die Lunge und die Leber, aus welcher die Bronchien bez. die Glisson'sche Kapsel sorgältig entfernt worden waren, gaben nur eine Spur von Gelutine.

Wenn Sehne oder Reticulum nur kurze Zeit mit verdünnter Säure oder Alkali, Soda, Barytwasser, Kalkwasser oder Pancreatin behandelt werden, so lösen sie sich rasch beim Kochen, geben aber in der Regel keine Gelatine. Nach Verdauung in Pancreatin löst sich die Sehne in ½% iger HCl innerhalb 4 oder 5 Min., Reticulum in 40 bis 42 Min.

Haben verschiedene Bacterien auf die Sehne durch längere Zeit eingewirkt ohne sie zu zerstören, so geben die Fibrillen beim Kochen noch immer Gelatine.

# Chemische Unterschiede.

Dr. Siegfried, welcher mit Untersuchung dieser Gewebe beschäftigt ist, theilt mir vorläufig Folgendes mit:

Wird reticulirtes Gewebe, wetches nach der oben beschriebenen Methode aus der Darmschleimhaut dargestellt ist, durch Kochen in ½¼iger IICI gelöst, so entsteht auf Zusatz von essigsaurem Blei ein Niederschlag, nicht aber mit Alkohol. Wird dagegen die Sehne in derselben Weise behandelt, so erhält man einen Niederschlag mit Alkohol, nicht aber mit essigsaurem Blei. Die Untersuchung dieser Niederschläge wird noch weiter geführt.

# k. Vergleich mit anderen homogenen Fibrillen.

Fibrin könnte dem Aussehen nach leicht mit reticulirtem Gewebe verwechselt werden, hat aber ganz andere Reactionen. Frisches Fibrin löst sich leicht in verdunnter Saure oder in Pancreatin. Altes Fibrin, wie z. B. in fibrinösen Ablagerungen wird ausserordentlich widerständig und löst sich nicht in kochender Essigsäure von 20½, in kalter concentrirter Köll, Ili-So, IliCl, Ili-O, nuch nicht in Nitrosylchlorid oder Königswasser. Bleibt es eine Stunde lang in letzterem liegen, so wird es meistens gelutinös und zerfällt dann.

Eine Verwechselung des Reticulums oder der Sehne mit Keratinfasern kann nicht stattlidene. Keratin-fibrillen sind sehr widerständlig gegen starke Säuren oder Alkali und es war mir unmöglich, sie durch verschiedene aërobische und anaërobische Pilze zu zerlegen. Wiederholte Versuche mit Gartenerle in Rübren, welche mit H gefüllt waren, zeigten keine Zerstörung von Schalenmenbranen nach 6 Monaten. Durch Pepsin wurden sie nicht angegriffen, dagegen verdaut sie Pancreatin in der Regel in § Tagen.

Die Dottermembran der Hühnereier löst sich leicht in Pancreatin, dagegen nur mit grosser Schwierigkeit in Pepsin. Im halb verdauten Zustande hat sie zuweiten das Ansehen, als ob sie aus sehr brüchig, ist widerständiger gegen die Reagentien als Schalenmembrauen, Einembranen oder Haare. Glia-Gewebe wird in wasser leicht zerstört (Raxuska) und ist wahrscheinlich nicht im unmittelbaren Zusammenhang mit Zellen. Sehr schöne Präparate von Gliagewebe mit Upson's Carmin') gefärbt wurden mir von Dr. Hosea zur Verfügung gestellt. Die Fibrillen bliden ein enges Netzwerk, welches sich in allen Ebenen ausbreitet. Auf dem medicinischen Congress in Berlin zeigte Weiseart Schnitte vom Ruckenmark, in welchen auf die Glia gefärbt war. Die Bilder hatten mit dem Ausschen des reticulirten Gewebes die grösste Ähnlichkeit. Di indessen die Glia durch Pancreatin verdaut wird und sich so leicht im Wässer löst, so ist eine Verwechselung der beiden Gewebe nicht möglich.

S ar c o lem m. Currresoss<sup>3</sup>) hat gezeigt, dass das frische Sarcodemm von Pancreatin verdaut wird, dagegen nach Behandlung von Osniumsäure der Einwirkung widersteht. Auf diese Weise kann es von etastischen Gewebe leicht getrennt werden. Wird das Sarcodemm int Osmiumsäure behandelt und dann gekocht, so widersteht es noch inmer den Wirkungen des Pancreatin und ebenso verhält sich das Retieulum. Dagegen ist frisches Retieulum nicht Idslich in Pancreatin, wie frisches Sarcolemm. Die folgende Tabelle ist eine Copie theils nach Currtsost und theils nach Ewano<sup>5</sup>).

Vor der panereat. Ver- Elast. dauung behandelt mit: Gewebe	Sarcolemm	Weisses fibrö- ses Gewebe	Reticulum
Friseh +	+	0	0
Gekocht +	+	+	+
Alkohol +	+	0	0
1/2 0/0 Osmiumsäure +	0	O	ō
1/2 0/0 Osmiumsäure und			
dann gekocht +	0	+	0

Noch deutlicher wird der Unterschied zwischen Sarcolemm und Reticulum bei der Behandlung mit kochender Essigsäure. Das Sar-

<sup>1)</sup> Journal de micrographie 1888.

<sup>2</sup> Neurolog, Centralblatt 1888.

<sup>3)</sup> Unters. a. d. physiolog. Inst. Heidelberg. Bd. 3.

<sup>4</sup> Zeitschr. f. Biolog. Bd. 26, 1889.

colemm wird durch dieselbe nicht zerstört, während das Reticulum sich sehr leicht löst.

Ich erwähne hier, dass beim Rinde überall wo Muskeln sich am Knochen ansetzen, das Sarcolemm in feine Fibrillen zerfällt, welche in den Knochen sich fortsetzen und mit elastischen Fasern durchzogen sind. Diese Fibrillen haben alle Reactionen des Sarcolemms und können leicht irrthumlicher Weise für elastische angesehen werfen.

Narbengewebe ist zusammengesetzt aus eigenthumlichen widerständigen Pasern, welche nicht elastisch sind. Ielt vermochte sie weder als weisse fihröse noch als reticulirte zu erweisen. Zweifellos sind sie eng verwandt mit ersteren ohwohl sie in verdunnter Sturen einht quellen noch beim Kochen Gelatine geben. Sie verhalten sich sehr ilnhich wie die Fasern des Lig, nuchae von sehr jungen Embryonen. In diesem Stadium der Entwickelung besteht das Ligament aus eigenthumlichen Pasern, welche beim Kochen durchsichtig werden und sich lösen, aber in verdünnter Sture nicht quellen.

# l. Entwickelung.

Es ist ausserordentlich schwierig, über den Ursprung der weissen Fassern unzweideutige Präparate zu erhalten. Keinesfalls lässt sich zeigen, dass sie directe Verlängerungen von Zellen sind. Die Fasern einer kleinen in der Entwickelung begriffenen Sehne findet man niemals in der Verbindung mit Zellen, aber sie nehmen an Zahl zu und werden länger. Ich war immer im Stande Gelatine aus Embryonen zu erhalten, in denen sich Fasern vorfanden, welche mit Saure und Aktalien die gewöhnlichen Reactionen zeigten. Ließermann! in finder Chondrin (Gelatine und Mucin?) in Hühnechen der zweiten und dritten Woche, d. h. ungefähr zu der Zeit, wo die weissen Fasern erscheinen.

Gelatine erhält man von allen Wirbelthieren mit Ausnahme von Amphioxus; bei wirbellosen ist mit Ausnahme der Cephalopoden niemals leinigebendes Gewebe gefunden worden<sup>3</sup>). Ich habe selbst

<sup>1)</sup> Luebbamann, Pflüger's Arch. Bd. 43.

<sup>2)</sup> FRORIEP, HOPPE-SEYLER'S med.-chem. Unters. 1871 und HOPPE-SEYLER, Physiolog. Chemie 1877.

eino Sepia untersucht und war nicht im Stande Gelatine zu orhalten, und das Gleiehe fand Foastra"). Lavue", und Baoca" haben in Cephalopoden Fibrillen beschrieben, welche sich ganz ühnlich wie weisse Fasern verhalten. Es wurde aber voreilig sein auf Grund dieser Beobachtungen zu behaupten, dass weisses fibröses Gewebe wirklich bei den Wirbellosen vorhanden ist.

Ich habe die Mitz von mehreren jungen Embryonen untersueht und konnte bei Rinderembryonen, welche kleiner als 7 em waren, niemals Retieulum finden. Die sehr kleine Mitz wurde auf dem Gefriermikrotom gesehnitten und die Schnitte mit Pannerealin verdaußt sieht genes Forgfalt geligt es zuweilen einen Schnitt auf dem Objectträger auszuhreiten und mit Pikrinsäture zu färben. Man Deobachtet ein ziertiehes Fasernetz, dessen Brechungsindex kleiner als Wasser ist und dessen Fibrillen so fein sind, dass ihr Durchmesser nicht bestimmt werden kann. Unter diesen Umstanden können sie bei 250facher Vergrösserung gesehen werden, sie werden aber nicht deutlicher bei einer Vergrösserung von 2000. Dieses physikalische Verhalten ist eine Eigentbumlichkeit aller feinsten Fasern z. B. des Spinagewebes. Sorgfältige Schätzangen lehren, dass die Fibrillen nicht über 1/4 µ im Durchmesser haben können. In Embryonen von 9, 41 und 13 em Länge scheinen die Fasern nicht dieker zu sein.

Aus diesen Beobachtungen, so unvollständig sie auch sind, muss man schliessen, dass die Fasern des Bindegewebes in allen Stadien der Entwickelung intercellular sind; sie werden durch eine Art Gerinnung abgeschieden. Die Fasern des elastischen und reticulirten Gewebes sind zuerst dünn und nehmen allmählich an Dicke zu, während die weissen fürbsen Fasern nur in die Jange waalses fürbsen Fasern nur in die Jange waalsen.

# III. Vertheilung.

Die Anordnung der weissen fibrüsen und der elastischen Gewebsfibrillen ist wohl bekannt. Ich werde nur diejenigen Organe besprechen, in welchen ein Reticulum gefunden worden ist.

t) Forster, Arch. f. mikrosk. Anat. Bd. 14, 1877.

<sup>2)</sup> LEYDIG, Müller's Arch. 4854.

<sup>3)</sup> Brock, Zeitschr. f. wissensch. Zool. Bd. 39.

# a. Lymphdrüsen.

Wenn Schnitte von gefrorenen Lymphdrüsen in Pancreatin verdaut werden, so bleibt ein zierliches Fasernetz zurück; diese Fasern verhinden sich in allen Richungen zu Maschen, in welchen die Lymphzellen liegen und welche der Drüse als Stütze dienen. Man erhalt auf folgendem Wege sehr sehöne Färbungen: Der verdaute Schnitt wird zuerst mit Wasser ausgeschutelt, um alle Körner zu entfernen; er lässt sich dann leicht auf einem Objectglas ausbreiten, auf welchem man ihn eintrocknen lässt. Es empfiehlt sich nun, ihn mit einem Tropfen der folgenden Pikrinifsong zu befeuchen

> Pikrinsäure. . . 10 gr Absoluter Alkohol 450 cc Wasser . . . 300 cc.

Dies lässt man wicderum eintrocknen, worauf man den Schnitt mit einigen Tropfen Säurefuchsin bedeckt und etwa eine halbe Stunde stehen lässt:

Die Austrocknung, welche während dieser Zeit stattfindet, ist eher von Vortheil als von Schaden. Das überschüssige Füchsin wird dann abgegossen, der Objectträger für sehr kurze Zeit in die Pikrinsature-Losung gebracht und dann in absoluten Alkohol übertragen. Verweilen die Schnitite zu lange in dem zweiten Pikrinbade, so ent-färben sie sich leicht vollständig im Alkohol. Wird anderseits durch den Alkohol der Schnitt nicht genügend differenzirt, so kann man ihn für einen Moment in das Pikrinbad zurückbringen!). Nach wenigen Versuchen hat es keine Schwierigkeit gute Färbungen zu erhalten. Die Schnitte werden in Xylol aufgehellt und in Canadabalsam eingeschlossen.

Taf. II Fig. 1 ist ein genaues Abbild eines verdauten und gefärbten Schnittes aus einer Mesenterialdrüse eines Hundes. Nur ein Theil

Es ist dies im Wesenlichen Altmann's Methode der Granulafärbung. Studien über die Zelle 1886, und Die Elementarorganismen, 1890.

der Zeichung ist ausgeführt. In der helleren Bäftle sind nur die diekeven Faserbündel eingetragen; die stärksten Bündel unfullen die Follikel. Diese Führillen sind, wie sehon Ewata und Krausz hervergehoben haben, keine lestischen, weil sie in Pancreatin nicht verdaut werden. Wird die Kapsel der Lymphdriese sorgfaltig entfernt, so kann man das Innere heliebig lange koehen, ohne dass man Gelatien erhält, während die Kapsel allein meistens eine kleine Menge Gelatine abgiebt. Wird ein Schmitt aus einer Lymphdritse, sowie ein Stack Sehne über Nacht in Pancreatin verdaut, so bleibt das Reitenlum und die weissen Fasern zurück. Diese beiden können nun in einer kräftigen Pepsiulösung verdaut werden und zwar wird die Selme schon in einer Stunde gelöst, das Reticulum erst nach etwa drei Stunden. In verdunnten kochenden Sauren fällt das Innere der Lymphdritsen vollständig auseinander, während die Kapsel einen Rückstand von elestischen Fasern hinterlässt.

Die Kapsel besteht zum grössten Theil aus Retieulum mit einigen dazwischen gestreuten elastischen und weissen Fasern. An gewissen Punkten dringen Bündel von retieulirtem Gewebe in das Inneres der Drises binein und zerfällen es in eine Anzahl von Abtheilungen, die Follikel. In Verlaufe dieser Bundel zweigen Fibrillen in de einzelene Follikel binein ab und bildeu dort das Netzwerk, welches von Ravurs und Bazozano besehrieben worden ist. Ein Stück desselben bei sehr hoher Vergrösserung zeigt Taf. Il Fig. 2.

### b. Milz.

Das Stützgewebe der Milz ist viel leichter zu untersuehen als das er Jamphdrüssen, obwohl beide nach demselhen Plan gebaut sind. Wird die Milz in kaltem Wasser maceriet bis das Innere weich geworden ist (nach etwa 2 Wochen), so kann man ein Ende abschneiden und die Zellenreste herauswaschen. Es bleibt dann nur die Kapsel und as Stützgewehe übrig, dossen Anordnung sehr gut sichtbar wird, wenn man die Kapsel aufbläst und trocknen lässt. Man erbalt auf diese Weise sehr lehrreiche Bilder. Tof. III Fig. 1 ist nach einem solchen Präparate gezeichnet, dessen Ilerstellung nur insofern von dem beschriebenen Wege abweicht, als es zuerst in Pancreatin verdaut wurde. Übrig bleiben nur die Kapsel, die grösseren Venen und die Balken. Die letzteren bilden ein sehr zartes Netzwerk mit

Maschen von etwa 1 mm Weite, welches zwischen der Kapsel und den Venen eine feste Verbindung herstellt. Die Venenwände sind ebenfalls ans diesem Gewebe gefertigt, so dass man sich den ganzen Raum innerhalb der Kapsel ununterbrochen von diesem Netzwerk erfullt denken kann. Die Anordaung ist eine derartige, dass beim Aufblasen der Kapsel die Venen geoffnet werden; dasselbe gilt anch für die Füllung des Gewebes mit Wasser. Es entweicht die Luft oder das Wasser ungehindert durch die Venen.

Die Kapsel bestoht aus Fibrillen des Retieulum, welche von den Ansatzpunkten der Balken austrahlen (Taf.1V Fig. 1). An diesen Stellen setzt sich das Retieulum auf die Kapsel fort, so dass ein und dasselbe Gewebe die ganze Milz durchziett, wie Taf. 1V Fig. 2 zeigt, und mit den Venen in unmittelbarer Verbindung steht (Taf. Ill Fig. 2). Die Balken, welche von der Kapsel in das lancre treten, verschmaltern sich etwas und treffen bald auf die Venenzweige, von welchen sie durchbohrt werden. Mit anderen Worten, man kann sagen, dass viele der Balken hohl sind und dass ihr Lumen von den Venen gebildet wird.

Zwischen den Balken Bast sich kein Betieulum nachweisen mit Ausnahme der Malphalischen Körperechen. Eine Beihe derselben wird angedeutet durch die unregelmässige Linie zwischen den Venen in Taf. III Fig. 4.

Sobald die Venen klein geworden sind, durchbohren sie die Wände der Balken an verschiedenen Punkten, wie es die Öffnungen in Taf. IV Fig. 2 zeigen. Durch diese Anordaung entsteht ein Gebiet zwischen Atterien und Venen ohne alsgegrenzte Geflasswandungen. Trott mancher Belanptungen des Gegenthieits, welche zum grössten Thein nur auf Schnitte begründet sind, müssen wir auf den Versuch von Hasus den grössten Nachdruck legen. Er war im Stande, durch kinstliche Grenalton alle Zellen anszuwaschen. Dies wire auterlich unmöglich, wena bestimmte Capillarsvandungen vorhanden wären. Die freien Öffungen der Venen sind ein weiterer Beweis für die Ansieht, dass die Capillaren fehlen.

Das Innere der Milz enthält kein weisses fibröses Gewebe, denn es ist mir niemals gelungen Gelatine auszuziehen 1). Elastisches

Lagterare findet ebenfalls, dass das Bindegewebe der Selachiermitz frei von weissem fibrösen Gewebe ist, denn es giebt beim Kochen keine Gelatine. Compt. rend. Soc. de Biologie 1889.

Gewebe findet sich nur in den Arterien. Werden Schnitte der Müt in verdünnter Säure gekocht, so löst sich das ganze Balkenwerk auf, vorausgesetzt, dass kein grösserer Arterienast vorhanden ist; daraus folgt, dass mit Ausnahme der Arterien das ganze Balkenwerk der Milt aussehliessich aus Reticulum gebaut ist.

Dagegen enthält die Milzkapsel eine Anzahl elastischer und weisser Fassern. Die ganze Kapsel giebt in der Regel beim Kochen eine Spur Gelatine ab, welche vielleicht auf die weissen Fasern des Peritoneums bezogen werden muss. Wird die Kapsel in verdünnter KOII gekocht, so hinterläst sie ein zierliches Netzwerk von elastischen Fasern. Wird aber die Kapsel zuerst in verdünnter Sture gekocht oder mit Pepsin behandelt, so bleibt nur das Reticulum übrig. Ein solches Praparnt zeigt Taf. IV Fig. 1.

# c. Schleimhäute.

Im Darm bildet das reticulirte Gewebe ein Netz, welches sich von der Muscularis mucosae zwischen den Krypten bis in die Zotten erstreckt (Taf. V Fig. 1). Auf dem Grunde der Krypten liegen die Fasern so dicht, dass sie eine recht wohlbegrenzte Membran bilden, das Stratum fibrosum! Of [Taf. V Fig. 2]. Von dieser Schichte aus erstrecken sich viele Fasern und Faserbündel zwischen den Krypten empor bis in die Basis der Zotten, wo sich neuerdings ein dichtes Netzwerk von Fibrillen findet, welches Taf. V Fig. 1 sehr schön zeigt. Durch die Vereinigung der Bundel entstehen foste Punkte oder Inseln, auf welchen die Zotten sich erheben.

Vereinzelle Fibrillen erstrecken sich auch in das Zottengewebe hinein, es ist aber noch unentschieden, ob sie sich direct mit dem Stroma der Zotte verbinden. Das Stützgewebe der Zotten giebt alle Reactionen des Reticulums; es fällt jedoch, wenn es verdaut wird, so zusammen, dass es unmöglich ist, die Anordnung der Fibrillen zu entwirren. Die starken Bundel, welche sich vom Stratum fibrosum zum Netzwerk an der Zottenbasis begeben, haben da Bestreben sich parallel der Längsachse des Darmes zu stellen?

MALL, Abh. d. K. Süchs. Ges. d. Wiss. 1887. Da diese Schichte kein weisses fibröses Gewebe enthält, könnte man ietzt den Namen ändern.

Vgl. Fig. 9 M Tafel VIII, Johns Hopkins Hospital Reports Vol. I, we die Anordnung schematisch dargestellt ist,

Beim Übergang in den Magen bildet das dichte Netzwerk der Taf. V Fig. 1 eine feste Schichte um den Hals der Magendrüsen, wie dies Taf. VII Fig. 2 zeigt 1).

Diese Schichte ist so dicht, dass sie mit dem Scalpellgriff oder mit dem Fingernagel leicht abgezogen werden kann. Sie besteht ausschliesslich aus Reticulum. Taf. VI Fig. 2 ist ein Schrägschnitt, welcher die allgemeine Richtung der Faserbündel zeigen soll.

Zwischen dem Drüsenhals und der Museularis mucosae findet ein zartes Netzwerk (man vergt. die Taf. VI Fig. 1 und die tiefen Lagen der Taf. VI Fig. 2 und Taf. VII Fig. 2). Dies giebt eine sehr zarte Umbüllung der Drüsen und hat die Bedeutung einer Basalmembran, auf welcher die Zellen aufruhen, Taf. VII Fig. 1 stammt von einem Gefrierschnitt, welcher mit Wasser gut geschüttelt worden war; die meisten Zellen sind herausgefallen.

Beim Hunde geht das Stratum fibrosum im Pylorus-Theil des Magens verloren, während es hei der Katze im Darme fehlt, dagegen sehr ausgebildet im Magen sich findet. Die tieferen Lagen des Magens sind mit der Submucosa und der Muscularis mucosae fest verbunden durch Muskeln, welche zwischen den Drüsen herabziehen. Dieselben sind begleitet von Bundeln weissen, fibrösen Gowebes besonders im Pylorus. Es ist daher begreiflich, dass nur die tiefen Lagen der Schleimhaut, nicht aber die oberflächlichen Gelatine gewinnen und sie ist das beste Gewebe des Körpers, um Reticulum in reinem Zustande zu erhalten. Die Schleimhaute des Magens und Darms enthalten kein elastisches Gewebe.

#### d. Leber.

Wird die Leber sorgfaltig zerdrückt und ausgewaschen, so bleibt eine grosse Benge Bindegowebe zurück, welches der Leberkapsel, der Capsula Glissonii und den Lebervenen angebört. Dieses Gewebe giebt trocken unr 0,4% Gelatine; die procentische Menge kann bedeutend vermidnett werden, wenn man vorerst das Pertioneum sowie

Die Figuren auf Taf. VI und VII sind meiner Abhandlung über den Magen von demselben Orte Johns Hopkins Hospital Reports Vol. 1 entnommen.

die grüsseren Blutgefässe entfernt<sup>1</sup>). Aus diesen Geweben erhält man beim Kochen in verdünnter Säure einen kleinen Rückstand an elastischen Fasern.

Das Netzwerk der Leberläppehen ist mittelst verschiedener Methoden nachgewiesen worden von Henle?, His 3), Fleischl (), KUPFFER 5), EWALD und KUINE 6) und Anderen. KUPFFER in seiner letzten Mittheilung betrachtet die Fasern als elastische, während Ewald und Krime sie als weisse fibröse ansprechen. Die Erfahrung, dass sie von Pancreatin verdaut werden und beim Kochen keine Gelatine geben, schliesst beide Auffassungen aus und da sie identisch zu sein scheinen mit dem Reticulum der Lymphdrüsen, der Milz und der Schleimhaut, so werde ich auch hier den Namen Reticulum beibehalten7). Die grosse Zahl von Fasern innerhalb eines Leberläppchens zeigen die Taf. VIII und Taf. IX. Wird die Leber, von welcher die Glisson'sche Kapsel sowie das Peritoneum so vollständig wie möglich entfernt ist, gekocht, so erhält man nur eine Spur oder gar keine Gelatine, woraus ich schliesse, dass die Fasern nicht dem leimgebenden Gewebe angehören. Die Beobachtung, dass die Fasern beständig sich untereinander verbinden, dass sie einen niederen Brechungsindex haben und sich gegenüber Säuren und Alkalien wie Reticulum verhalten, muss als ein weiterer Beweis angesehen werden.

Taf. VIII von einem Querschnitt eines Leberlappehens zeigt die allgemeine Faserriehtung. Aus Präparaten, welche für andere Zwecke gemacht wurden, erhellt, dass die Hauptbundel des Betiedulms parallel zu den Capillaren verlaufen. In der Nähe der Mitte des Läppehens sind in der Regel drei intralobuläre Gefüsse. Die Oberfläche des Läppehens zwischen diesen Gefüssen ist orfüllt mit leicht ansteigenden Capillaren oder Venen. Nähert man sich der Spitze, so zertheilen

t) Schnenstücke liefern den 75fachen Betrag: 0,5 gr Schne gab mehr Gelatine als 63 gr des Balkengewebes der Leber.

<sup>2)</sup> Anatomie, I. Auflage.

<sup>3)</sup> Zeitschr. f. wiss. Zoologie. Bd. X.

<sup>4)</sup> Lubwig's Arbeiten 1874.

Areb. f. mikr. Anat. Bd. XII, Sitzgsb. d. Ges. f. Morph. u. Physiol. Milneben 1889.

<sup>6)</sup> Verh. d. naturbist,-med. Ver. Heidelberg Bd, I.

<sup>7)</sup> Anatom. Anzeiger 1888.

sich die Gefässe ein oder zwei Mal und Längsschnitte des Reticulums in dieser Gegend geben Bilder wie Taf. IX. Bei dieser Anordnung werden die runden Maschen in der Peripherie des Querschnittes Taf. VIII verständlich.

Ein grosser Theil des Gewebes, welches die interlobularen Gefässe begleitet und alles Gewebe un die intralobularen Gefisse ist reticulirt. Die peritoneale Oberfläche kann angesehen werden als eine Verdickung des Reticuluus vermischt mit einigen weissen Faser-

#### i. Niere.

Die Kapsel und die einhüllende Membran der Niere bestehen aus weissen Fasern. Das Stützgewebe der Rinde und des Markes ist Reticulum.

Die Kapsel besteht aus Bündeln weisser Fasern, welche beim Kochen viel Gelatine geben. Sie dringen nicht in das Innere der Niere ein, wie sich beweisen lässt durch Abstreifen der Kapsel oder durch längere Maceration in Wasser. Im letzteren Falle wird das ganze Innere der Niere zerstört, nur die Grenzmembran des Nierenbeekens und die Kapseln bleiben übrig. Werden Gefrierschnitte der Niere zuerst in Pancreatin verdaut und dann wie oben beschrieben mit Säurefuchsin gefärbt, so erhält man sehr lehrreiche Bilder. Das ganze Gewebe mit Einschluss der Basalmembranen, von der Kapsel bis zum Beeken ist eine einzige Masse anastomosirender Fibrillen. Dieselben geben gleichfalls beim Kochen keinen Leim und sind nicht elastisch. Sie haben alle die charakteristischen Eigenschaften des Reticulums der Lymphdrüsen. Das Netzwerk der Rinde ist loeker in Folge der Grösse und des unregelmässigen Verlaufs der Harnröhrchen; im Mark ist es viel dichter. Taf, X Fig. 4 giebt den Querschnitt eines gewundenen Röhrchens. Die scharfe Grenze der Fibrillen bezeichnet den Umriss des Röhrchens und bildet die Basalmembran, welche in gewöhnlichen Schnitten homogen erscheint. Taf. X Fig. 2 stellt einen Längsschnitt dar. Der grösste Theil des Röhrchens ist halbirt, nur in einem kleinen Abschnitte ist die Wand vollständig erhalten. Die Figur zeigt das Verhalten der Begrenzungen zweier benachbarter Röhren zu einander. Das Reticulum der einen Röhre geht unmittelbar in das der andern über. Taf. XI Fig. 1 zeigt einen Theil der Bowman'schen Kapsel, auch sie ist aus reticulirten Fibrillen gebildet. Wo die Fibrillen sehr dieht liegen, hat es in der That den Anscheiu, als ob die Kapsel homogen wäre. In Guehten Schnitten braucht man aber nur auf das Deckglas zu drücken, un die Kapsel zu spannen und die einzelnen Fasern siehtbar zu machen.

# f. Lunge.

Sämmtliche Luftbläschen bestehen aus Reticulum und elastischem Gewebe, während die Bronehiolen aus weissen Fasern gebaut sind. Wird ein Gefrierschnitt der Lungen mit Panereatin verdaut, so dehnt er sich aus in Folge des Wegfalls der elastischen Fasern. Trotzdem hält der Schnitt noch fest zusammen und man findet ihn unter dem Mikroskop bestehend aus feinsten Fibrillen, wie Taf. XI Fig. 2 zeigt. Es sind nicht weisse Fasern, denn sie verbinden sich fortwährend untereinander, sind viel widerständiger gegen kochende verdüngte Saure und geben nicht Gelatine. Die ganze Lunge giebt nach sorgfältiger Entfernung der Bronehien und der Pleura beim Kochen nur eine Spur oder gar keine Gelatine. Diese Spur kann stets bezogen werden auf Reste der Bronebien, welche nicht entfernt worden sind. Wird ein Sehnitt aus der Lunge in verdünnter KOH gekocht, so bleibt nur das elastische Gewebe zurück, welches sich in Pancreatin leicht verdaut. Wird der Schnitt zuerst in Panereatin gelegt, so bleibt das Reticulum übrig, welches sieh in kochender KOH leicht löst. Frische Schnitte in 33% Alkohol macerirt und geschüttelt, um die Zellen zu entfernen, zeigen bei Bebandlung mit Magentaroth eine brillante Färbung der elastischen Fasern, während das Retjeulum ungefärbt bleibt.

# g. Andere Organe.

Das ganze Nervensystem enthält kein Retieulum. Ebenso wenig Knorpel oder Knochen. Thymus und Pancreas entialten nur einzelne, lockere, weisse Fasern zwischen der Masse von Epithelzelten. Das Stutzgewebe des Testikels besteht wahrseheineh aus weissem fübrösen Gewebe und Retieulum; weisse Fasern in den Interstitien und in der Kapsel und Retieulum als Bassilmenbranen. Die Membranen sind nur lose eingefügt und fallen aus den verdauten Organen leicht heraus. — Das Stutzgewebe der Schild drüse besteht wahrscheinlich aus Retieulum. — Der Herzmuskel scheinlehenfalls Retieulum zu enthalten. — Ebenso hat es zuweilen den

Anschein, als ob die unschnürunden Fasern von Hexuz aus reticulitren Gewebe bestünden. Die Fasern sind sehr widerstäudig, verbinden sich untereinander und scheinen nicht elastisch zu sein. Ich kann allerdings gegenwärtig nicht bestreiten, dass die Einschnürungen von Hexuz nur aus weisen Fasern bestehen, denn da sie an der Schene befestigt sind, so würden sie beim Quellen der Sehne gespannt werden und dadurch unfühig werden zu quellen. Die Umsehnürungen der grüsseren Schnenbündel sind jedoch aus elastischem Stoff gebildet.

Im Stützgewebe des Körpers sind somit drei nach Gestalt und Leistung verschiedene Faserarten vertreten.

Die Fibrillen der weissen Faserung sind bundelweise zu Strängen oder Hauten von mannigfachster Stärke zusammengefasst und verwebt, die sich genügend widerstandsfahig gegen das Andringen sehr ungleich grossen Druckes oder Zuges erweisen.

Die elastischen Fasern verästelt und wieder verschmolzen bilden Netzwerke, welche sich vor dem Drucke dehnen, aber nach dessen Verschwinden in ihre Ruhelage zurückkehren, ohne hierzu von Seiten des Organismus Kräfte zu beanspruchen. Mit der Festigkeit verbinden sie die Befähigung Kräfte zu sparen.

Die reticulären Fasern verschlingen sich zu feinsten Geflechten, in deren Maschen zellige Gebilde sicher befestigt ruben, ohne an den Aenderungen ihres Volums behindert zu sein.

Der Physiologie wird die Aufgabe zukommen, den Antheil jeder Fasergattung an ihre Gesammtleistung eines Organstückes zu bestimmen, wo sie gemengt austreten.

# Beschreibung der Figuren.

#### Tafel I.

- Fig. 1 und 2. Stücke vom Lig. nuchae des Rindes, theilweise verdaut im Magen des Hundes. Färbung mit Magenta. Vergrösserung 250.
- Fig. 3. Lig. nuchae des Hundes, 3 Tage in Essigs. von 10%, sodann 5 St. daria gekocht; in Wasser gewaschen; kurze Zeit in 1/2% KOH gekocht, in Wasser gewaschen und mit Papaïn 18 St. lang bei 37% verdaut. Färbung mit Magenta. Vergr. 500.
- Fig. 4. Lig. nuchae des Hundes, 1/2 St. in Essigs. v. 20%, 2 Tage in Papain bei 37° C., dann wieder Essigs. 20%. Mit Magenta gefärbt. Vgr. 500.
- Fig. 5. Lig. nuchae des Rindes, sterilisirt nach Kocu, geimpft mit Spirillum Finkler & Prior. Magenta. Vergr. 250. Die eigenthümliche Anordnung der Membran findet sich häufig.
- Fig. 6. Dasselbe. Durch Druck auf das Deckglas wurde die Membran zerrissen, worauf der Inhalt herausfiel.
- Fig. 7. Elastische Fasern aus der menschl. Lunge am Rande einer Tuberkelhöble. Gefrierschnitt, in Wasser ausgeschüttelt, 2 Tage in gesätt. Sodalösung, in KOH gekocht. Magenta. Vergr. 500. Die Faserabschuitte, welche in die Höble hineieragen, besteben nur aus Membranen.
- Fig. 8. Dasselbe Präparat wie Fig. 7. Von der Grenze des gesunden Gewebes. Vergr. 500.

#### Tafel Il.

- Fig. 1. Gefrierschnitt der Mesenterialdrüse des Hundes, in Pancreatin verdaut, in Wasser gründlich gewaschen, auf dem Objecträger ausgebreitet und getrocknet. Gefärbt mit Säurefuchsin, differenzirt mit Pikrinsäure. Vergr. 130. Nur die obere Hälfte der Zeichnung ist ausgeführt.
- Fig. 2. Ein Stück von Fig. 1 derselben Tafel 500 fach vergr.

#### Tafel III.

Fig. 1. Milz eines grossen Hundes, 2 Wochen in kaltem Wasser macerirt, die Zellen herausgewaschen. Mit Pancreatin verdaut, nochmals ausgewaschen, aufgeblasen und getrocknet. Ein Stück der Kapsel wurde dann entfernt wie die Figur zeigt, Naturgrösse.

Fig. 2. Stück einer Vene aus Fig. 1 derselben Tafel in zweifacher Grösse.

#### Tafel IV.

- Fig. 1. Kapsel der Milz, abgezogen und von der inneren Fläche betrachtet. Behandlung wie bei Fig. 1 Taf. 1. Vgr. 100.
- Fig. 2. Balkenwerk der Milz, dieselhe Behandlung. Vergr. 100.

#### Tafel V.

- Fig. 1. Schleimhaut des Darms, dieselbe Behandlung. Vergr. 100-
- Fig. 2. Stratum fibrosum eines Hundedarms, dieselbe Behandlung. Vergr. 200.

#### Tafel VI.

- Fig. 1. Flachschnitt durch die Basis der Pepsindrüsen. In Wasser eine Stunde lang geschüttelt, mit Picrocarmin gefärht. Die Drüsenreste sind weggelassen. Vergr. 125.
- Fig. 2. Verdichteter Theil des Reticulums in der Gegend der Drüsenmündung, abgelöst, mit Pancreatin verdaut und mit Pieroearmin gefärbt. Vergr. 125. Nur die Richtung der Faserhündel, nicht die einzelnen Fasern sind gezeichnet.

# Tafel VII.

- Fig. 4. Ausführliche Darstellung eines Stückes der Fig. 1 auf Taf. VI. Vergr. 400.
- Fig. 2. Innere Lage des Reticulums des Hundemagens von der Fläche gesehen. Vergr. 125.

### Tafel VIII.

Querschnitt durch ein Leherläppchen vom Hunde. Behandlung wie in Fig. t auf Taf. II. Vergr. 100.

# Tafel IX.

Lüngsschnitt von der Peripherie des Lebertäppehens, welches den Übergang der Bündel des Reticulums in die Glisson'sche Kapsel zeigt. Dieselhe Behandlung. Vergr. 100.

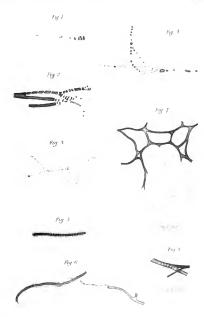
#### Tafel X.

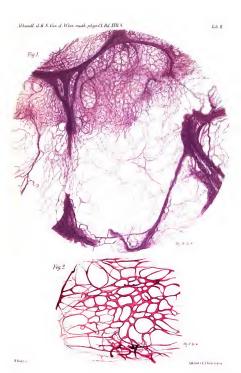
Fig. 1 und 2. Quer- und Längsschnitte von gewundenen Kanälchen der Hundeniere, behandelt wie Fig. 1 auf Taf. II. Vergr. 500.

## Tafel XI.

- Fig. 1. Ein Stück einer Bowman'schen Kapsel aus demselben Präparat wie Fig. 1 auf Taf. X. Vergr. 500.
- Fig. 2. Ein Stück der Lunge, behandelt wie Fig. 1 auf Taf. II. Vergr. 250.

Beim Abzeichnen der Prüparate dienten die Nummern der Linsensysteme eines Mikroskopes von Zeiss, welche auf den Tafeln unter den Bildern stehen.







- se is Google

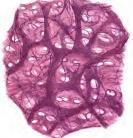








Fig. 1.

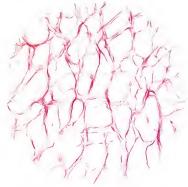


00y 16 0c 12

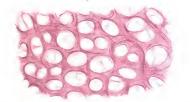


00y 16 Oc 4





1...



9.5

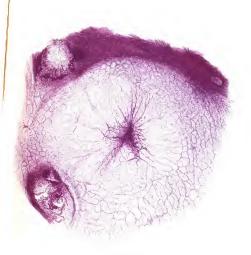




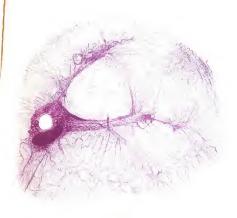
Fig 2.



I monthly a Linda Toron

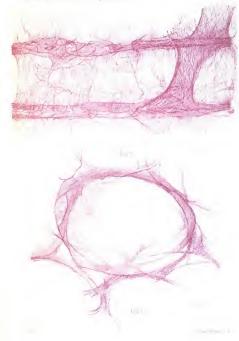


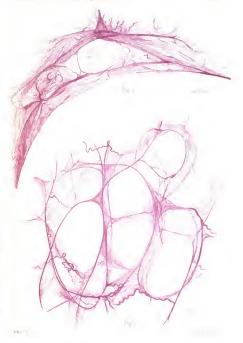
Oh. 16 Oc. 1



06y 16 Or 4

M. Beidel. fer





## BEITRÄGE

ZUR

# KENNTNISS DER FÜLLUNG UND ENTLEERUNG

DES

# HERZENS

VON

## L. KREHL.

(AUS DEM PHYSIOLOGISCHEN INSTITUT ZU LEIPZIG.)

MIT VII TAFELN.

Jeder Versuch, die Herzmuseulatur so zu präpariren, dass man us dem Verlauf der Fasern die Fornweränderung des Herzens ableiten könne, ist vorerst vollkommen aussichtslos. Die Fibrillen am Herzen des ausgebildeten Monschen sind so vielfacht verschlungen, die Fasern dielen seis so häufig, geben so viele Forststze ab und geben so oft in andere Ebenen über, dass man auch bei der sorg-faltigsten Präparation mit einer neuen Methode, welche eine viel feinere Zerlegung der Musculatur gestatutet als sie früher ausgeführt werden konnte, durchaus nicht im Stande war, Fasern überhaupt von Anfang bis zu Endez zu verfolgen.

Nicht einmal Gruppen von Fibrillen kann man in ihrem ganzen Verlaufe nachgeben, weil die Fasern nie auf längere Strecken zu Bündeln vereinigt bleiben. An Stelle dieses hoffnungslosen Versuches, die Faserung des ganzen Herzens zu entwirren, musste man sich darauf beschränken, den Verlauf der Fibrillen an einzelnen Stellen klar zu legen und daraus Schlüsse zu ziehen auf die Formveränderungen derselben während der verschiedenen Phasen der Herzrevolution. Dies ist in der That möglich; denn, wie C. Lubwig hervorgehoben hat, ist bei dem äusserst verwickelten Bau der Herzmuskelfaserung die Richtung, in der die Fibrillen wirken, viel mehr von dem Verhältniss zu den benachbarten Bündeln und den dadurch bedingten Hemmungen abhängig als von der Lage der Anfangs- und Endpunkte. Form und Faserung einzelner flerzstücke wurde nach dem Vorgang von Hesse in systolischem und diastolischem Zustande verglichen, weil man dadurch erfahren konnte, wie die eine Form in die andere übergeht. Bei dieser Art der Untersuchung wurden zugleich Aufschlüsse gewonnen über Form der Höhlen und der Mündungen, sowie über die Stellung der Klappen während beider

Herzphasen. Das Material, welches den Untersuchungen zu Grunde lag, bestand vorwiegend aus menschlichen Herzen: alles was an diesen präparirt werden konnte, wurde an ihnen untersucht. Für manche Versuche war indess die Benutzung von Hundeherzen nothwendig, weil in der Regel diese allein so frisch gewonnen werden konnten, dass nan an ihnen je nach Beliehen die systolische oder disastolische Forun herzustellen im Stande war.

## 1. Die Methoden

mussten die Herstellung der systolischen und diastolischen Herzform und die Präparation der Faserung in beiden gestatten.

Fixirung des Herzens in diastolischem Zustande. Es wurden Herzen gewählt, die noch nicht in Todtenstarre gerathen waren, oder solche, bei denen dieselbe bereits wieder verschwunden war; diese wurden unzerschnitten dem Körper entnommen. Gefässe ausser Vena cava superior und einer Lungenvene wurden durch fest eingebundene Korke wasserdicht verschlossen: in die beiden genannten Gefässe banden wir Glasrohre von entsprechender Weite und füllten das Herz von ihnen aus mit Wasser. Dies geschah unter hydrostatischem Druck von 50-100 mm Hg. Wasser dringt von den grossen Venen aus in die Kammern und von der Aorta aus in sämmtliche Kranzgestässe; von diesen filtrirt es langsam durch die Herzwände, wobei aus denselben grosse Mengen von Farbstoff ausgewaschen werden. Das Herz kommt dahei in den Zustand der stärksten Diastole, wohl einer stärkeren als sie je im Leben erreicht wird; denn die Füllungsdrucke sind um ein beträchtliches grösser als die natürlichen. Allerdings muss zugegeben werden, dass man nichts über die Widerstände weiss, welche die todte aber nicht todtenstarre Herzwand im Vergleich zur lebenden oder vielmehr überlebenden der Füllung entgegensetzt.

Die Wasserdurchleitung wurde 6-8 Stunden unterhalten. Wenn es nun darauf ankam, lediglich die Form des dilatirten Herzens zu untersuchen, so wird der diastolische Zustand mittels 96 procentigen Alkohols fixirt, der nach dem Wasser etwa 3-4 Stunden lang das Herz durchströmen musste. Offenbar erhärtet sich durch das Eindringen des Alkohols in sämmtliche Kranzgefüsse die Musculatur

343

sehr schnell; nach der genannten Zeit bleibt das Herz in Diastole stehen und man braucht, um es vollkommen hart zu maehen, nur noch 5 Tage absoluten Alkohol ohne Druck anzuwenden. Soll der genauere Verlauf der Muskelfaseru untersucht werden, so wird nach der Reinigung mit Wasser die nachher zu besprechende Methode der Zerfaserung angewandt.

Die Fixirung in systolischem Zustande geschah nach dem Vorgange von Hesse durch Wärme. Das frische Herz wird in eine concentrirte Lösung von doppeltchromsaurem Kali von 56°C. gelegt und die Temperatur der Lösung im Verlauf der nächsten Stunde auf der genannten Höhe erhalten. Wie Hesse gezeigt hat, gerätli das Herz dadurch in den Zustand stärkster Systole. Es liegt auf der Hand, dass diese Methode nur für Herzen anwendbar ist, die noch contractionsfähig sind und dass sie nur dann eine Berechtigung hat, wenn man gelten lässt, dass sich alle Muskelfasern des Herzens um den gleichen Bruchtheil ihrer Länge zusammenziehen. lst diese Annahme nicht statthaft, so ist natürlich jeder Versuch, sich künstlich ein systolisches Herz herzustellen, müssig und iede Discussion über die Form des systolischen Herzens überflüssig, weil man dann überhaupt nichts sagen kann. Ausser vielen Hundeherzen gelang es auch nach einer Hinrichtung ein Menschenherz in den systolischen Zustand überzuführen. Dadurch hat man zum ersten Male ein in Systole festgehaltenes menschliches Herz gesehen.

Die Zerfaserung des Herzens geschalt derch Einlegen in rohe Salpetersäure. Bei Einwirkung derselben verkürzen sich die Fasern unter Verdickung und das Ilerz geräth sofort in Systole. Will man die Säurewirkung am diastolischen Organ erreichen, so muss man die Säure mit derselben Methode, wie sie vorhin für Wasser und Alkohol beschrieben wurde, unter Druck von etwa 60 mm Ilg durch das Herz leiten, um nittels des erzielten intraentalen Drucks der Entstehung des systolischen Zustandes wenigstens einigermassen vorzubeugen. Der Versuch gelingt nur selten, weil die unter Druck stehende Säure in den meisten Fällen das Herz, besonders an den Vorhöfen, zerreisst und danu, sobald der von innen wirkende Druck nachlässt, naturlielt sofort Systole hervorruß. Immerhin war es in einigen Fällen möglich, diastolische Herzen trotz Säurebelmadlung zu bekommen.

Die Säure erweicht alles Bindegewebe und zerstört es zum grössten Theil. Man legt, nachdem sie etwa 3 Stunden gewirkt hat, die Herzen Tage lang in Wasser und wechselt es häufig. In demselben quillt das erweichte Bindegewebe und man kann alles, was aus solchem besteht, - Arterien, Klappen, die Verbindung mit den Vorhöfen, Peri- und Endocard - ohne jede Mühe von der Musculatur ablösen und die Muskelfasern selbst wegen der Erweichnng des zwischen ihnen liegenden Gewebes sehr leicht von einander trennen. Je nachdem die Säure mehr oder weniger weit in die Tiefe geben soll. lässt man sie längere oder kürzere Zeit wirken. In einigen Fällen war es nothwendig die Säurebehandlung abwechselnd mit dazwischen eingeschobener Quellung vorzunehmen. Handelt es sich um die Untersuchung nur vereinzelter Herzstellen, so kann man diese direct in Saure legen nnd dann in Wasser quellen lassen; man bekommt sie dann natürlich immer im Zustande der Contraction. Wenn man nach der Wasserbehandlung alles Bindegewebe von der Musculatur entfernt hat, so werden die Stücke in Alkohol gehärtet und können entweder weiter zerfasert oder aufgehoben werden,

## 2. Der linke Ventrikel.\*)

An der linken Kammer hat man, seitdem überhanpt Untersuchungen über die Muskelfuserung angestellt wurden, drei Schichten von Fäsern unterschieden: eine dünne äussere, deren Fasern von von rechts oben nach links unten gehen, der Längsachse des Ventrikels in ihrer lichtung stark genähert. Eine dieke mittlere, deren Fäsern theils ebenfalls von rechts oben nach links unten, theils von rechts unten nach links oben beide mit starker Aunüherung an die Horizontale, theils direct horizontal verhaufen. Und eine dritte innerste Schicht, welche in Schranbenwindungen, doch nahean parallel zur Längsachse der Kammer geht. Als Ausgangs- und Endgungspunkte der Fäsern werden der Attrioventrieularring, der Aorton-

<sup>\*</sup> Just Raumbezeichnungen sind so zu verstehen, dass das Herz mit der Basis nach oben und nil nach vorn gerichteten Conns arteriosus auf die Platte des Tisches gestellt ist und die Atrioventifeularöffnungen in die Horizontalebene fallen.

ursprung und die Papillarmuskeln angenommen. Den Zusammenhang dieser drei Schichten stellt man sich so vor, dass jede Faser in jeder Richtung einmal verläuft, also jeder Abtheitung einmal angehört, die Fibrillen somit Achter-Touren bilden. Diesen bekannten Thatsachen konnto mittels der neuen Präparationsmethode einiges Neue zugefügt werden.

Man muss die Fasern, welche dem linken Ventrikel allein angehören, in zwei Arten theilen: solche, die sehnig enden, und solche, welche in sich zurücklaufen, also immer muskulös bleiben. ersteren bilden im Allgemeinen die äussere und innere Schicht. Die Fasern derselben setzen sich aussen am Atrioventricularring und an der muskulösen Seite der Aortenwurzel an und zwar vorwiegend an zwei Stellen: dem Knorpel, der die Grenze zwischen der linken und rechten Aortenklappe bildet, und an dem, welcher über dem Boden der hinteren Klappe liegt (Fig. 1). Ausserdem in geringerem Maasse an dem Atrioventricularring. Die Fasern gehen von hier so ab, dass die mehr oberflächlich gelegenen steiler nach abwärts laufen, als die tieferen. Diese Fasern der oberflächlichen Schicht gehen zum grössten Theil in den Wirbel der linken Kammer; nur die, welche von dem hintersten Theile des Ringes entspringen. werden zu den später zu erwähnenden äusseren Fasern des rechten Ventrikels. Diejenigen Fibrillen, welche dem Herzwirbel angeliören, biegen in das Innere der Kammer um und laufen als innerste Schicht fast senkrecht nach oben. Hier haben sie zwei Endigungsweisen: sie inseriren entweder in Papillarmuskeln und Chordae tendineae oder am Atrioventricularring; an diesem entweder direct oder durch mehr oder weniger lange Schnen (Tafel I Fig. 2 u. 3). Es fällt auf, dass diese inneren Längsbundel keine einheitliche Schicht darstellen, sondern aus zahlreichen verschieden dicken Längswülsten bestehen, die durch dünnere Querleisten mit einander verbunden sind (Fig. 2, 3, 4).

Diese Spattung der inneren Lingsschichten ist ja lingst bekannt, indess dass Spattung und Klütung so ausserordentlich stark sind, wie sie Tafel V Fig. 11 zeigt, ist nur an einem in starker Diastole gehärteten Iferzen zu bemerken und noch nicht genügend beachtet worden.

Eine genauere Betrachtung ergiebt, dass die Spaltung der

inneren Schicht in getrennte Längsbündel am stärksten an der lenzespitze und ferner an der ganzen Busseren Wand ist, dass sie an der Scheidewand unterhalb der Aortenmundung fehlt. Hier ist das Endocard vollkommen glatt, man sicht nichts von Muskelzugee unter ihm. Wenn es nach Starrebehandlung entfernt ist, so sieht man auf der Scheidewand zwei auffallende sich kreuzende Muskelzuge: der obere schwächere geht von dem hinteren Aortenkangrei schrig nach vorn und alwärts, er gehört ganz der Scheidewand an. Der weit stärkere tiefer gelegene kommt von den unteren Theie der Aussenwand und geht an der Scheidewand von hinten unten nach vorn oben (Tafel 1 Fig. 4). Am contraliriten Herzen springer die beiden Zuge vor und haben offenbar hier eine ganz bestimnte Aufgabe, die nachher zu erwähnen ist.

Cher die Papillarmuskeln ist dem, was Hæsse gesagt hat, nichts Neues zuzufügen. Wie er zeigte, kommen dieselben sämmtlich von der freien Wand her und zerfallen in zwei llaupitgruppen versehieden zahlreicher Spitzen, eine vordere und eine hiatere. Es möge nur erwähnt werden, dass die Trennung in einen vorderen und einen liniteren Papillarmuskel, wie sie am Ilund deutlich ist, für den Mensehen nicht streng gilt (Tafel I Fig. 2 u. 3), dass auch zwischen heiden eine Reihe von Ansatzpunkten für Chordae tendineae sich findet. Die Papillarmuskeln beziehen durchaus nicht alle Fasern aus den innern Langssehlichten; ein nicht unbeträchtlichter Theil ihrer Fibrilken stammt aus der blittelschicht der linken Kamuner und biegt an der Grenzo von dieser und der Innenschicht seharf in die letztere ein. Dadurch wird natürlich die Befestigung der Papillarmuskeln eine besonders statzk.

Wenn man die beschriebenen innern und äussern Fasern der linken Kammer an einem mit Sapletersäure behandelten und nachber gequollenen Herzen von ihren Ursprüngen losselneidet, so kann nan sie von den mittleren Schiebten, die im Allgemeinen horizontal verlaufen, ohne grösser Mahte trennen. Man hat dann diese letzteren in Gestalt eines Musskelkegels vor sieh (Tafel IV Fig. 9 u. 10), welcher eine obere und eine untere Öffnung zeigt; diese ist kleiner als jese und stellt deu Ort dar, an dem die äussern Kammerschiebten in die inneren nunwenden. Der Musskelkegel ist, wie Fig. 40 zeigt, natürfelh betrachtlich hierliger als die ganze linke Kammer, denne se fehl

~

oben der Atrioventicularring mit den Ansatzstellen der äusseren und inneren Längsfäsern, und unten der Unidrehungswirbel jener in diese.

Es muss besonders hervorgehoben werden, dass die Herauschälung der inneren Schichten zwar ohne grössere aber nicht ohne jede Muhe gelingt. Man darf sich nicht vorstellen, dass die mittleren Schichten von den inneren durch eine Bindegewebsplatte getrennt seien. Es gehen vielnehr nicht wenige Fasern aus den aussern Lagen in die mitteren, und aus diesen in die inneren über; alle diese Fibrillen müssen natürlich bei der Herausschälung des Mittelstücks durchrissen werden, so speciell die Muskelzüge, welche in die Papillaren einbiegen.

Das Mittelstück selbst hat etwa einen Querschnitt, wie beistehende Figur zeigt; die Gerade stellt die Scheidewand, die krumme Linie die äussere Wand dar.

Die Muskelfasern dieses Mittelstuckes laufen aussen vorn, von rechts oben nach links unten, doch wenig stell, der Horizontalen stark angenähert, an der Seite und hinten aussen in entsprechender Richtung; suf der Innenseite gerade umgekehrt, also z. B. an der seitlichen Wand innen von hinten oben nach vorn unten. Auf der Aussenvon hinten oben nach vorn unten.



fläche der Scheidewand gelien sie in derselben Richtung, an der linken Kammerfläche der Scheidewand umgekehrt. Nur zuweilen gelingt es einen Faserzug um einen ganzen Umfang herum zu verfolgen, meist reissen die Fibrillen bei der Praparation ab, weil sie in die Wand hinein verschwinden. Man muss sich die Vorstellung bilden, dass die Fasern dieses Mittelstückes Schlingen darstellen, welche zu ihrem Ausgangspunkt zurückkehren, weil sie nicht sehnig enden. In ihrem Verlaufe biegen sie theils ein-, theils zweimal um. An diesem Verlauf ist zweierlei bemerkenswerth: die Schlingen gehen in allen möglichen Winkeln zur Längsachse der linken Kammer, doch entschieden so, dass die stumpfen Winkel vorherrschen. Und dann wechselt die einzelne Schlinge in ihrem Verlauf häufig ihren Abstand von der idealen Mitte des linken Ventrikels. Das wurde schon erwähnt, als erklärt werden sollte, warum die Schlingen sich häufig nicht auf weitere Strecken verfolgen lasssen, sie durchflechten sich vielfach gegenseitig.

Von den Fasera des Mittelstückes gehen gewiss auch manche durch die Herzspitze, ebenso wie von den Bussern und innern Langsfasern sich ein Theil dem Mittelstück beigesellt; es ist nochnals hervorzuheben, dass die Trennung der verschiedenen Systeme von einander immer nur mit Durchreissung von Fasern möglich ist. Iedenfalls nuss man aber jetzt die Vorstellung gewinnen, dass nicht alle Fasera des linken Ventrikels einmal sowohl in der Längse- als auch in der Ilorizontalrichtung verhaufen.

Die Aortenmundung. Die grosse Schlagader steht in einem nach rechts offenen spitzen Winkel zur Basis der Kammer; die Aortenöffnung sieht vollkommen verschieden aus, je nachdem man sie am diastolischen oder systolischen Herzen betrachtet. An letzterem wird sie in ihrer natürlichen Gestalt gewonnen, wenn man ein Glasrohr in die Aorta einbindet, dasselbe mit Blut füllt und nun den Ventrikel nach der angeführten Methode zur Contraction bringt. Am diastolischen Herzen bildet das Aortenostium den rechten Theil der ovalen oberen Öffnung der linken Kammer, und ist lediglich durch eine Haut, von welcher der grosse Mittrallappen herabhängt, vom Ostium atrioventriculare geschieden; diese Haut ist an den beiden knorplichen Stellen, welche schon als Ausgangspunkte von äussern Längsfasern beschrieben wurden, befestigt (Grenze zwischen rechter und linker Aortenklappe, Knorpel an der hinteren Klappe). Die Semilunarklappen selbst sind theils an der muskulösen Scheidewand, theils an der genannten häutigen Wand angesetzt, sie liegen nicht in einer Ebene. Schon Hesse hat darauf aufmerksam gemacht. dass die Semilunartaschen am zusammengezogenen Herzen zum Theil von Musculatur gebildet werden. In der That findet man das Ostium am systolischen Herzen vollkommen anders als am diastolischen: es ist spaltförmig geworden und zwar spaltförmig durch die genannten Muskelwülste, welche fast allseitig in das Ostium vorspringen und nur an der vorderen Hälfte der linken Aortenklappe feblen. Diese Muskelwülste entstehen hauptsächlich durch die Contraction jener beiden Schrägzüge, die auf der Innenfläche der Scheidewand schon beschrieben wurden. Fig. 6 zeigt dies aufs Deutlichste. Dass die Aortenmundung in der Systole fast allseitig von Muskeln umschlossen wird, ist nur dadurch möglich, dass die beiden erwähnten Knorpelstücken sehr nahe aneinander rücken. Es erhält also während

der Kammersystole die ganze obere Offnung der linken Kammer eine mehr ⇔förmige Gestalt im Vergleich zur ovalen diastolischen. Oberhalb dieses engen Muskelspaltes liegt der weite Raum der Aortenwurzel, er ist dadurch besonders gerätunig, dass über der binteren Aortenklappe sich ein weiter Recessus auf der Scheidewand nach binten erstreckt.

Es fragt sich nun, was eröffnen die genannten Befunde Neues für das Verständniss der Bewegungsvorgänge am linken Herzen? Die Theilung der Muskelfasern in vorwiegend längs und vorwiegend quer verlaufende, deren erstere sehnig enden, während die letzteren in sich selbst zurücklaufen, zeigt die Anwesenheit eines besonderen Triebwerkzeuges, welches durch den mittleren Kegel dargestellt wird. Es ist ersichtlich, dass dessen Fasern ganz vorwiegend die Entleerung des linken Herzens bewirken müssen. Wären sie allein da, so müsste sich die linke Kammer bei der Systole verlängern. Diese Verlängerung, welche bei blosser Zusammenziehung der rein horizontalen Fasern eintreten würde, wird verhindert einmal durch die vielen schrägen Fasern, die im Triebwerkzeuge verlaufen, und dann durch die innern und aussern Fasern. welche die Mittelschicht klammerartig umgeben. Die letzteren würden an sich bei ihrer Contraction eine Verkützung der linken Kammer zur Folge haben: diese Verkürzung ihrerseits wird verhindert dadurch, dass die Ouermuskeln (das Triebwerkzeug) zwischen innere und äussere Schichten eingelagert sind. Wenn also beide Systeme von Muskelfasern sich bei der Zusammenziehung die Wage halten, so muss der linke Ventrikel während der Systole nur im Querdurchmesser verkleinert werden, die Längsachse muss im wesentlichen unverändert bleiben. In der That hat Hesse gezeigt, dass beim Hund der Längsdurchmesser der linken Kammer sich nicht verändert. Für den Menschen ist das allerdings noch nicht nachgewiesen; es war bisher eben noch nicht möglich, zwei annähernd gleiche Herzen zu erhalten, von denen man das eine in Systole, das andere in Diastole hätte fixiren können. Indess liegt kein Grund vor, für den Menschen diese Verhältnisse anders als für den Hund anzunehmen.

Bei der Zusammenziehung müssen die innern Schichten der linken Kammer stark gedrückt werden und zwar nicht nur die janern Längs-, sondern auch die innern Querschichten. Denn wenn ein bandurtiger Ring durch centripetale Kräfte so verengt wird, dass sein Flächenraum unverändert bleibt, so muss sich, wie eine mathematische Berechnung, die ich der Güte des Herrn Dr. Starke verdanke, ergiebt, der innere Grenzkreis procentarisch stärker verkleinera als der aussere. Nun liegen aber die Verhältnisse am Herzen ebenso wie an einem Ring von den genannten Eigenschaften: die Fläche eines Herzquerschnitts bleibt in der That während Systole und Diastole unverändert. Um dies zu erweisen, wurden zwei junge Hunde gleichen Wurfs, die genau gleich schwer waren, durch Decapitation getödtet, das Herz des einen wurde in Systole, das des andern in Diastole durch heisse Kalibichromatlösung fixirt. Dann wurden die Herzen in genau gleicher Entfernung von der Herzspitze senkrecht zur Längsachse der linken Kammer iu Querschnitte zerlegt und diese planimetrirt; es ergab sich z. B., dass die Musculatur des einen einen Flächenraum von 8,40 gcm, die des andern einen solchen von 8,50 gcm hatte. Daraus geht hervor, dass die Fläche der Musculatur auf Ouerschnitten bei der Zusammenziehung im wesentlichen unverändert bleibt. Es findet also die Verkleinerung der linken Herzhöhle so statt, wie man ein Faltenfilter durch Verengerung eines horizontal um dasselbe gelegten Ringes verengem wurde. Dabei springt eine Anzald Wülste stark in das Lumen der linken Kammer vor und diese legen sich aueinander; beim flund sind es die von Hesse beschriebenen vier, beim Menschen, wie Tafel III Fig. 7" u. 8" lehren, beträchtlich mehr. Die Aortenmündung wird dadurch freigehalten, dass an der Scheidewand Wülste fehlen und das grosse Segel der Mitralis durch den Blutstrom von der Aortenmündung weggedrängt wird. Die schiefe Stellung der grossen Schlagader zur Atrioventricularebene erleichtert dies wesentlich.

Dadurch, dass die Fasern des linken Ventrikels so vielfack während ihres Verlaufs die Ebene weehseln (die Entfernung von der idealen Mittellinie der Kammer), dadurch, dass sie sich so innig verflechten, wird verständlich, dass die Wand auch für hole Drücke wasserdicht und so ausserordentlich hart wird, denn die Fasern müssen sich bei der Contraction fortwährend gegenseitig leinnmen, zerren und sehr stark anspannen; die grosse Barte ist aber für die Erzeugung hoher Drücke unbedrigt nothwonder.

## 3. Die rechte Kammer.

Der rechte Ventrikel zerfällt in einen Ein- und einen Ausströmungssheil; ersterer hat die Form einer Tasche und ist media begrenzt von der Scheidewand, lateral von der bogenförmig gekrümnten Aussenwand der rechten Kammer. Der Ausströmungstheil setzt sich rührenförmig an das vordere Ende der Tasche an; beide Absehnitte sind von einander durch einen stark vorspringenden Muskelwulst getrennt.

Bezüglich der Muskelfasern, welche den rechten Ventrikel bien, kann man zwischen solchen unterscheiden, welche beiden Kamuern angebören, die also von der linken kommen oder zu ihr gehen, und solchen, die dem rechten Ventrikel allein angehören. Unter den letzteren giebt es solche, die nur an der Bildung der Tasche oder des Conus Theil nehmen, und solche, welche sich über beide erstrecken.

Den feineren Bau der Aussenwand des taschenförmigen Theils kann man nur am dilatirten Herzen gut erkennen; sie besteht für die grobe Betrachtung aus zwei Schichten: einer äusseren continuirlichen dünnen und einer inneren netzförmig angeordneten dickeren. Am stark erweiterten Herzen kann man zwischen den dicken Balken der letzteren fast überall das Licht durch die zarte Aussenschicht durchschimmern sehen. Diese ist zum grössten Theil von Fasern gebildet, welche aus dem linken Ventrikel kommen und zwar theils aus der Scheidewand, theils vom hintern Aortenknorpel; sie laufen im wesentlichen von links hinten oben nach rechts vorn unten und gehen zum grössten Theil in den besonderen Wirbel des rechten Ventrikels, welcher kleiner als der des linken, von diesem durch eine Furche getrennt ist. Diejenigen Fasern, welche so horizontal verlaufen, dass sie den Wirbel nicht mehr treffen, gehen über die vordere Commissur in die Aussenwand der linken Kammer und zum Theil in die Commissur selbst binein. Ein Theil der Aussenschichtfasern unterbricht plötzlich seinen Verlauf und wendet sich mit scharfer Biegung nach innen, um sich den nachher zu erwähnenden innern Fasern beizumischen.

Nicht alle Fasern der Aussenschicht laufen in der angeführten Hauptrichtung; horizontale wurden sehon erwähnt; es giebt auch solche, welche von rechts hinten unten nach links vorn oben gehen; diese setzen sich dann vorn an den Ort, wo sich die Aorta auf die Scheidewand stutzt, zwischen Pulmonal- und Trieuspidalöfunug. Von den Fibrillen, welche die Hauptrichtung verfolgen, kommt nur ein Theil aus der linken Kammer, ein anderer eutspringt vom rechten Atrioventricularring.

Die zerklüftete innere Schicht der Aussenwand des Recessus wird fast ganz von kurzen Fasern gebildet, die ihrem Verlauf nach der Tasche allein angehören (Tafel VI Fig. 15). Sie entspringen am oberen Rand der Scheidewand in seiner ganzen Ausdehnung und gehen zunächst senkrecht nach abwärts, stellen somit eine besondere Schicht des Septums dar. In verschiedener Höhe wenden sie sich nach dem Lumen der rechten Kammer, durchziehen dieses in wechselnden Höhen (die untersten bilden den Boden des Recessus) und steigen in getrennten Balken theils als Trabekeln theils als Papillaren an der Aussenwand der Tasche in die Höhe, um sich entweder mittels Chorden am Segel oder mit mehr weniger kurzen Sehnen an den Atrioventricularring anzusetzen (Tafel VI Fig. 45). Diese Balken liegen im diastolischen Herzen scheinbar regellos, am systolischen sieht man, dass sie zwei Hauptrichtungen einnehmen; die grössere Mehrzahl läuft von unten nach oben, also in der Längsachse des Herzens; die kleinere Zahl ist senkrecht dazu gestellt, also in die Längsachse des Conus arteriosus (Tafel VI Fig. 15). Es wurde schon erwähnt, dass die senkrechten Trabekeln Fasern aus der äussersten Schicht der Taschenwand erhalten, diese müssen natürlich eine feste Verbindung beider Schichten hervorrufen. Unter den Trabekeln der Tasche ist einer besonders ausgezeichnet: der dicke Wulst, welcher die Grenze zwischen Recessus und Conus bildet (Tafel 1 Fig. 2, Tafel VI Fig. 16 u. 18). Er geht vom Aortenstück der Scheidewand über den Boden der Tasche nach der Aussenwand und unter dem Dach des Conus wieder nach dem Aortenursprung zurück.

Weiter sind unter den Balken einzelne ausgezeichnet dadurch, dass sie aus dem Gewirr am Boden des Recessus mitten in demselhen sich erheben und Ansatzpunkte von Chordae tendineae bilden; das sind die an Zahl wechselnden Papillarmuskeln der rechten Kammer, die nicht von der Scheide- oder Aussenwand ausgehen. Der vordere von ihnen entspringt häufig, ja meistens aus dem grossen Muskelwulst an der Grenze von Recessus und Conus. Ein genaues Studium ihrer Faserung ergiebt, dass die Fibrillen, aus denen sie sieh zusammensetzen, von allen Seiten heranzichen, von innen, aussen, vorn, hinten und unten: die Fasern, welche von der Scheidewand stammen, entspringen, wie erwähnt, am obern Rand derselben, die von aussen her kommenden stammen aus dem linken Ventrikel und gehören zu den bereits genannten, welche durch die Aussensehicht durehbrechen. Die vorderen Fasern kommen vom Lungenarterienrand; die unteren und hinteren stammen theils ebenfalls aus den Aussensehichten der linken Kammer, theils vom Atrioventrieulerrand.

Die freistehenden Papillarmuskeln der rechten Kammer sind also est und gleichmüssig nach allen Seiten befestigt, und das ist von grösster Bedeutung für ihre Function. Ausser den beiden ersvähnten Arten von Papillarmuskeln gibt es in der rechten Kammer bekanstlich noch solehe, die von der Scheidewand ausgehen; unter diesen st der vorderste dadurch ausgezeichnet, dass er im Gegensatz zu allen andern Papillaren des Ilerzens vollkommen borizontal steht.

Die Aussenwand des Conus arteriosus lässt, ebenso wie die der Tasche, zwei Schichten erkennen: eine innere, (für ihn) längs verlaufende und eine äussere Ringschicht. Erstere ist am deutlichsten am systolischen Herzen erkennbar; man sieht hier eine Anzahl von Längswülsten, welche an der Klappeninsertionsstelle enden und in der Gegend des abgrenzenden Ringes mit den Querleisten der vertikalen Trabekeln des Recessus in Verbindung stehen (Tafel VI Fig. 45). Dort wo die Semilunarklappen sich ansetzen, bilden die zusammengezogenen Längswülste genau eben solche Polster für die Pulmonalklappen, wie sie an der Aorta beschrieben wurden. Die äusseren Querschichten gehören theils dem Conus allein an, theils setzen sie sich von ihm auf den linken Ventrikel fort. Sie entspringen von der Scheidewand dort an der Stelle, wo sie zugleich Aorteuwand ist (Tafel I Fig. 4). Ein Theil entspringt beim Hund wenigstens von einer starken Sehne, die von der Grenze zwischeu rechter und linker Pulmonalklappe nach der Aorta hinübergeht (Tafel VII Fig. 19). Diese Fasern schlagen sich um den Conus herum und gehen theils in die Aussenschiehten der linken Kammer, theils in die Scheidewand, theils bleiben sie auf den Conus beschränkt und setzen sich an versehiedenen Stellen des Lungenarterienrandes an. Die äussern Fasern des Conus sind von denen der Tasche nicht principiell getrennt; an der Grenze beider geht ein Theil der äusseren langen Taschenfasern um den Kegel noch herum.

354

Was ergiebt sich nun aus der anatomischen Präparation für das Verständniss der Mechanik des rechten Ventrikels? Der Verlauf der Fasern an der rechten Kammer lässt uns deutlich das Zustandekommen seiner Formveränderung verstehen. Die Fasern der Aussenschicht, welche linkem und rechtem Ventrikel gemeinsam angehören, ziehen bei ihrer Verkürzung letztere an iene heran und verkleinern den sagittalen und transversalen Durchmesser. müssen die, welche tangential am Atrioventricularostium vorübergehen oder von demselben entspringen und dann zu ihm tangential verlaufen, dieses Ostium gleichzeitig verengern. Die Trabekeln verkürzen durch ihre Zusammenziehung die Spitzenbasisachse der Kammer, legen sich durch die Contraction ihrer Ouerleisten aneinander und verdicken die äussere Wand. Die freien Papillarmuskeln werden durch ihre Befestigungen nach allen Seiten hin an ihrem Ort gehalten, welches auch die Stellung der Wände sein mag. Der Conus arteriosus muss durch die Zusammenziehung seiner Längsfasern verkürzt, durch die der Ouerfasern verengt werden. In der That sieht man am lebenden Herzen die diastolische Wölbung des Kegels bei jeder Systole verschwinden und seine Längsachse sich beträchtlich verkleinern. Dadurch steigt der ganze vordere Theil des rechten Herzens nach abwärts und man hat den Eindruck, als ob das ganze Herz verkürzt würde, einen Eindruck, der so mächtig in seiner Wirkung ist, dass man trotz Hesse's gegentheiliger Erweisungen noch heute allgemein eine systolische Verkürzung des ganzen Herzens annimmt. Bei der Zusammenziehung der Längsmuskeln am Conus wird, wie erwähnt, eine Unterstützung für die Scmilunarklappen geschaffen. Wir haben an der Pulmonalis genau dieselben Einrichtungen wie an der Aorta: den muskulösen Boden der Klappen, den engen Muskelspalt, die weite Arterienwurzel. Die Fasern, welche von der Aortenwurzel und der erwähnten Sehne um die Lungenarterie herum gehen und in Scheidewand oder linker Kammer verschwinden, müssen noch die Aufgabe haben, die Lungenarterie fortwährend mit der Aorta zusämmenzuhalten.

## 4. Ergebnisse für die Mechanik des ganzen Herzens.

Aus dem bisher Boschriebenen ergibt sich eine Reihe von Berachtungen über die Formveränderung des ganzen Herzens, über die Füllungen und Entleerungen der Kammern, welche in beiden viel Ähnliches zeigen und deswegen am besten hier für beide erwähnt werden. Die Formveränderung des Herzens bei der Systole ist naturlich direct eine Folge der Anordnung und des Verlaufs der Muskelfasern, und es wurde bereits gezeigt, dass die unveränderte Lange der linken Kammer bei Verkleinerung in den Querachsen, andererseits die Verkürzung und Versehmälterung des rechten Ventrikels aus unseren jetzigen Kenntnissen des Fasernverlaufs vollkommen verständlich sind.

Alle Vorgänge am Herzen: Fullung, Entleerung, Klappenschluss und Klappenöffnung müssen sehr schnell, sehr präcis und besonders gleichmässig genau für wechselnde Ansprüche an Füllungen und Widerstände vor sich geheu. Wenn die Herzaction beschleunigt ist und dabei die Pausen sich sehr stark verkürzen, so muss die Füllung ausserordentlich schnell geschehen, die Klappen müssen sehr rasch geschlossen und wieder geöffnet werden. Ferner, wenn bei starken Vagusreizungen die Pausen lang werden, so darf das Herz sich in denselben nicht überfüllen und die Atrioventricularklappen müssen trotz der starken Füllungen noch ebenso prompt im Beginn der Systole geschlossen sein wie bei ienen kleinen. Es durfte deshalb nicht ohne Interesse sein, nach besonderen Einrichtungen zu forschen, welche diese ausgezeichnete Leistungsfähigkeit des Herzens unter den verschiedensten Verhältnissen ermöglichen; besonders für den Pathologen muss es reizvoll sein, solchen Einrichtungen nachzugehen, da natürlich Störungen derselben die Thätigkeit des Herzens ungünstig beeinflussen müssen.

Die Fullung des Herzens geschieht einmal durch den Druck, webelen das eindringende Blut besitzt — man weiss: er ist für welche Kammern sehr gering — und dann durch die Ansangung des Bluts seitens der Lungen, der Vorhöfe und der Herzkammern selbst. Die genannten geringen Druckkräfte werden natürlich um so wirkungsvoller sehr, in geringer die Widerstände im Herzen selbst sind.

Abhandl. d. K. S. Gesellsch. d. Wimeusch. XXIX.

Die Ansaugung des Bluts seitens der Kammern, unahhängig von der der Lungen - also eine active Diastole - ist durch mehrfache Untersuchungen ihrer Existenz nach vollkommen sicher gestellt, aber bisher noch dunkel hezüglich ihrer Entstehung. Man könnte sich denken, dass eine ungleichmässige Erschlaffung verschiedener Muskelschiehten wirksam sei. Wenn die Muskeln des Triebwerkzeuges cher aus der Contraction treten als z. B. die innern Längsfasern, so müssen die zusammengepressten letzteren, weil die pressende Kraft nachlässt, auseinander schnellen. Nachdem Rov gezeigt hat, dass verschiedene Schichten des Herzens zu verschiedener Zeit mit ihrer Contraction beginnen (die Papillaren später als die äussere Wand), gewinnt diese Annahme hierdurch eine Unterstützung. Ferner scheinen elastische Kräfte im Spiel zu sein. Unter dem Endocard liegen äusserst zahlreiche elastische Fasern, umziehen mit dem Endocard alle Muskelhündel der innern Längsschichten und gehen mit ihm in alle Vertiefungen hinein. Wenn bei der Kammersystole diese eiuzelnen Bündel aneinander gepresst und gezerrt werden, so müssen die zahlreichen elastischen Fasern natürlich nach vielen Richtungen hin gedrückt und gezogen werden; ihre elastischen Kräfte werden in Anspruch genommen und müssen sich geltend machen, sobald die pressenden Kräfte nachlassen, und das Herz im Anfang der Diastole öffnen. Ebenso können die elastischen Platten wirken. welche von den Semilunarklappen ausgehend sieh in das Innere der Musculatur unterhalb der Aortenwurzel hinein erstrecken. Sie werden in der Systole ebenfalls gepresst werden und im Begiun der Ersehlaffung ihrerseits einen Druck auf die weiche Musculatur ausüben. Endlich steht tief im Herzen die junner unter hohem Druck stark gefüllte Aortenwurzel. Sie strebt natürlich fortdauernd danach, sich eine gewisse Form zu erhalten, welche von ihrer eignen Elasticität und den Widerständen der Umgebung abhängig ist. Wenn durch die kräftige systolische Verkleinerung der Herzbasis diese Gleichgewichtslage der Aortenwurzel verändert worden ist, so wird sie im Beginn der Diastole ihr Bestreben, eine gewisse Form beizubehalten, geltend macheu und muss die weiche Herzmusculatur, an der Scheidewand wenigstens, sofort auseinandertreiben.

Die Füllung der Kammern findet jedenfalls zum Theil in dieser ersten Periode des negativen Druckes statt; dass auch noch in dem weiteren Verlauf der Diastole Blut in die Kammern einströmt, dass bei längeren Pausen vielfach entsprechend grössere Füllungen eintreten, sieht man stets bei geöffneter Brusthöhle. Die geringen Druckkräfte des einströmenden Blutes werden natürlich um so wirkungsvoller sein, je kleiner die Widerstände sind, welche die Herzwandungen der Füllung entgegensetzen. Diese Widerstände des lebenden Herzmuskels selbst sind, wie Hesse gezeigt hat, anfangs geringe und wachsen mit der Spannung der Wand. Ausserdem sind Vorrichtungen vorhanden, welche dem eindringenden Blute die Erweiterung und Entfaltung der Herzhöhlen besonders erleichtern. Dazu gehört einmal die durch die Spaltung der innern Längsschichten in beiden Kammern hervorgerufene beträchtliche Vergrösserung der Oberfläche - der Druck des eindringenden Blutes erhält eine wesentlich grössere Angriffsfläche als wenn die Innenschicht glatt wäre - und dann die durch dieselbe anatomische Einrichtung hervorgerufene Verdünnung der Wand. Dies gilt für beide Kammern. Am Menschen ist die Zerkläftung der Innenschichten in noch viel stärkerem Mausse vorhanden als am Hunde. Tafel III Fig. 7 u. 8 zeigen zwei menschliche Herzen von etwa gleicher Grösse in Systole und Diastole in gleicher Entfernung von der Spitze quer geschnitten. Man sieht dabei, dass die Spaltung der Wand am rechten Ventrikel noch viel weiter entwickelt ist als am linken. Beiderseits ist die Scheidewand fast glatt. Die ungeheuer danne Aussenwand der rechten Kammer mit ihren vielen Ausbuchtungen muss dem Blutstrom ganz besonders geringe Widerstände wegen ihrer leichten Dehnbarkeit entgegensetzen. Das ist von grösster Wichtigkeit. Denn der Druck des in den grossen Hohlvenen strömenden Bluts ist unter Umständen, z. B. wenn Muskelbewegungen nicht die Blutbewegung befördern, äusserst gering. Wegen der dünnen Aussenwand liegt an der rechten Kammer sogar die Gefahr der Überfüllung vor; diese ist keine geringe, denn klinische und experimentelle Erfahrungen zeigen, dass mit Blutmengen, welche eine bestimmte Grösse überschreiten, die Kammern häufig nicht fertig werden d. h. sie nicht vollständig auswerfen können; besonders gilt dies für den rechten Ventrikel. Nun, gerade dieser hat aber Einrichtungen, die ihn vor Überfüllung schützen: die zahlreichen Muskelbalken, welche quer durch die Kammerhöhle durchgelien, werden, sobald sie sich bei wachsender Füllung spannen, die fortschreitende Entfernung der Aussenwand von der Scheidewand wirksam verhindern. Für die linke Kammer, an der schon die dicken Wände allein bei wächisender Spannung grosse Widerstände bieten, durfte eine solehe besondere Einrichtung nicht nothwendig sein.

Da, wie Blutdruckeurven der Herzkammern und der Vorhöfe zeigen, die Atrioventricularklappen bei allen Füllungsgraden ohne Regurgitation schliessen, so müssen für diese Ventile besondere Vorrichtungen vorhanden sein, mittels der sie in jedem Falle am Ende der Diastole zum Schluss gebracht und während der ganzen Systole verschlossen gehalten werden können. Es ist bekannt, dass man die Schliessung der Klappen d. h. die Auseinanderlegung der Segelränder in das Ende der Diastole legen und wahrscheinlich in Abhängigkeit bringen muss von der Contraction der Vorhöfe. Damit die Ränder überhaupt aneinander gelegt werden können, ist abgesehen von einer gewissen Zartheit und Beweglichkeit der Segel nothwendig, dass sie sich während der Kammerdiastole ungefähr in der Mitte der Kammern halten. Durch die andauernd bluthaltigen Räume, welche oberhalb der Papillarmuskeln liegen, wird verhindert, dass die Klappensegel sich in der Kammersystole hart an die Wände anlegen und etwa mit diesen verkleben. Die Buchten, welche sich zwischen den Ansatzpunkten der Chordae auf der Unterseite der Klappen selbst befinden, und während der Diastole die Spaltung der Innenseliichten dienen offenbar demselben Zwecke.

Wenn die Kamnuern sich allmahlich mit Blut fullen, so wird die stellung der Ventile im wesentlichen abhängig sein von der Lage ihrer Ansatzpunkte, da die Schwere der Segel eine so geringe ist, dass sie nicht in Betracht kommt. In der linken Kammer gehen die Papillarmuskeln ganz von der freien Wand aus, zwar vorrwiegend von vorn und linten, doch wurde schon erwälnt, dass diese Einheilung in zwei Papillaren eine mehr oder minder willkurliche ist, dass auch von den übrigen Stellen der freien Wand Papillaren abgehen. Jedenfalls sind die Chordae angeheftet an zahlreiche Stellen der Aussenwand und zwar an solche, die einen Abstand von den tiefsten Stellen der zwischen den Trabekeln liegenden Partien haben. Fig. 3 zeigt, wie beträchtlich dieser Abstand ist. Dazu kommt, dass der Haupttheil der linken Herzhöhle nicht direct unter dem Ostimu attroventrieduner, sondern unterhalb der Aortenausfluss-

öffnung liegt, und dass die erstere an Umfang kleiner ist als die darunter liegenden Ouerschnitte (Tafel I Fig. 2); ferner, dass, wie erwähnt, die Aorta im Winkel aus der linken Kammer abgeht (Tafel 1 Fig. 2). Alles dies muss zur Folge haben, dass das grosse Mitralsegel durch das Blut fortwährend einen Trieb nach oben und nach der Mitte der Atrioventricularöffnung erhält, und dass die untern Enden der Vorhofsklappen immer der Mittellinie der linken Kammer mehr genähert werden als die obern; das Blut fliesst aus dem Vorhof durch das Ostium binter die Klappen und sucht sie entsprechend der Dauer der Diastole mehr und mehr der »Stellung«, welche sie im Anfang der Kammersystole einnehmen müssen, zu nähern. Sobald sich die Ventrikelmusculatur zusammenzieht, werden die Segel durch das Blut fest aneinander gedrückt; der Verschluss ist um so leichter zu erhalten, je weiter die Systole vorgeschritten ist, weil mit Zunahme derselben die Grösse der aufeinander gepressten Klappenflächen wächst und weil das zu schliessende Ostium sich mehr und mehr verengt (s. Hesse's Bilder u. hier Tafel VII Fig. 20). Diese Verengerung der Atrioventricularöffnung kommt einmal durch die Contraction der oberen horizontalen Fasern des Triebwerkzeuges zu Stande, weiter aber auch durch den vielfach horizontalen Abgang der äusseren Längsfasern, beziebentlich durch den anfänglichen horizontalen Verlauf vieler derselben. Bei Insufficienzen der Mitralis in Folge von anatonischen Klappenveränderungen wird die Kammer hauptsächlich im Anfange der Systole nicht abgeschlossen sein, weil die Klappen, sobald sie in Folge irgend welcher pathologisch-anatomischer Veränderungen ihre Weichheit und Zartheit eingebüsst haben, nicht schnell genug die zum Abschluss der Kammer nothwendigen Bewegungen ausführen, weil sie namentlich kleinen Kräften nicht schnell genug folgen, Im weiteren Verlauf der Systole wird bei guter Muskelcontraction das Ostium so verengt, die Klappen werden mit einem grossen Theil ihrer Fläche so aufeinander gepresst, dass Veränderungen der Segel nicht nur an den Rändern, sondern nach dem Atrioventricularring zu vorhanden sein mitssen, um sie unsufficient zu lassen. Man sieht jetzt deutlich, wie gestörte Muskelcontractionen eine bestebende Klappenveränderung in der Bildung einer Insufficienz unterstützen müssen oder auch ohne anatomische Klappenläsionen, ganz für sich allein Insufficienz hervorrufen können. Denn bei hohen

intracardialen Drücken vermag die Mitralis nur, wenn das Ostium verengt ist, zu schliessen.

In der rechten Kammer, deren Form während der Systole in mehr Richtungen und stärker verändert wird als die der linken (man bedenke die Verkürzung dreier Durchmesser rechts gegen die zweier links), sind die Einrichtungen, welche den schnellen Schluss der Klappen begunstigen, ebenfalls äusserst sorgfältige. Tafel V Fig. 1 & stellt die Tricuspidalis dar. Man sieht ihre bekannte röhrenförmige Gestalt, man sieht die zahlreichen Chordae, die von ihr nach allen Seiten hin abgehen. Die Papillarmuskeln sitzen theils an der Scheidewand, theils steigen sie aus dem Geflecht am Boden der Kammer auf. Wie auseinander gesetzt, mitssen die letzteren wegen ihrer allseitigen Befestigungen stets annähernd in der Mitte der Kammer bleiben, denn die Scheidewand verändert ihre Form während der Diastole so gut wie nicht. Man sieht: es ist an der rechten Kammer dafür gesorgt, dass die Ansatzpunkte der Chordae und damit die untern Ränder der Segel stets nach der Mitte der Kammer zu gehalten werden. Das weitere ist genau so wie am linken Herzen.

Auch an den arteriellen Klappen sind Einrichtungen für ein schnelles Spiel der Klappen vorhanden; Aorta und Pulmonalis werden zweckmässig zusammen betrachtet, weil sie vieles Ähnliche bieten. Die Strömungsbahn nach den beiden Ostien ist, wie Tafel I Fig. 2, 3, 4, u. Tafel VI Fig. 15 zeigen, vorzüglich glatt, alle Wülste, die in der Nähe der Ausflussöffnungen vorhanden sind, liegen in der Richtung des Stromes und begünstigen dadurch die Entleerung des Blutes. Wie erwähnt, stellt das Aortenostium während der Systole einen Spalt dar, und auch schon unterhalb desselben ist (Tafel I Fig. 2) das Ausflussrohr in seinem oberen Theile verengt. Die spaltförmige Gestalt des Ostiums selbst ist hervorgerufen durch die Entstehung der bekannten Muskelwülste, welche den Boden der taschenförmigen Klappen bilden; der Spalt wird enger mit zunehmender Systole. Die Klappen selbst sind an die Ränder dieser Muskelwülste angesetzt. Die gestellten Segel stehen fast vollständig in der Richtung des Blutstroms, also senkrecht zur Ebene des Ostiums, nicht wie man sich gewöhnlich vorstellt in derselben mit nur geringer Umbiegung ihrer Ränder. Dadurch, dass das Blut in den engen Muskelspalt gepresst wird und dann in den weiten Raum oberhalb der Klappen kommt (die

22

Raumunterschiede gehen sehr deutlich aus Tafel VII Fig. 19 hervor), müssen immer Wirbelbewegungen und Kreisströme entstehen, welche die Klappensegel fortwährend einander zu nähern streben und nur deswegen nicht nähern können, weil das unter hohem Druck stehende durchfliessende Blut sie auseinander drängt; hört der Blutstrom auf, so müssen die Klappen, wie durch Federkraft getrieben, sich aneinander legen, man sieht, der Schluss erfolgt offenbar ausserordentlich schnell und auch hier ohne alle Regurgitation. Das wird durch Druckmessungen in den Kammern bestätigt, man sieht keine Spur eines Zurückfliessens. Der Verschluss wird dann durch die Differenz zwischen Aorten- und Ventrikeldruck aufrecht erhalten, und diese genügt, nachdem die Klappen einmal geschlossen sind, offenbar auch wenn die Muskeln der Kammer erschlaffen und die musculären Unterstützungen der Kammer wegfallen. Dies alles ist wichtig für die Lehre von der Aorteninsufficienz; man kennt nicht wenige Fälle dieses Klappenfehlers, bei denen an den häutigen Ventilen selbst nichts Abnormes zu finden ist; sie fallen zusammen mit mangelhaften Muskelcontractionen und haben offenbar ihren Grund in ungenügender Bildung der für schnellen Verschluss des Ostiums nothwendigen Muskelwülste am Boden der Semilunarklappen. An der Lungenarterie sind, wie Tafel VI Fig. 17 zeigt, principiell genau dieselben Einrichtungen vorhanden, sie brauchen deshalb nicht besonders auseinandergesetzt zu werden,

#### Benutzte Literatur.

- C. Lubwig, Über den Bau und die Bewegungen der Herzventrikel. Zischill land. Med. Band 7.
- HESSE, Beiträge zur Mechanik der Herzbewegung. Archiv für Anatomie von liss und BRAUNE. 4880.
- HENLE, Handbuch der systemat. Anatomie III.
- ROY U. ADAMI, Heart-beat and Pulse-wave. Practitioner 4890.
- J. GAULE, Zur Doutung des negativen Druckes in den Herzventrikeln. Centrablatt für Physiologie 1899. No. 21.

Abhardl, d.K.S. Ges. d. Wiss. math.phys.Cl. Bd. M71. 5.



Fig



#### Tafel I.

#### Figur 1.

Menschiiches Herz unt Selpetensürre behandelt; disstolicher Zustand. Vorbde und sümutliche Klappen enternt. Im linke vertritel; sit die Faserung an der Scheidewand unmittelbar uuter der Aortenwurzel biospeleg, vergl. Fig. 2u. 4. Vom Afriovenetricularing links gehen die oberfüllenlichsten Führlich und er Aussenschicht sehrig nach hinten und unten ab. An der reethen Kaumer ist die Faserung präparirt, welche an der Wurzel der Aorta entspring und die äusserste Schieht des Comsa arterious bliefer; als schligt sich aun denselhen hermu und geht in die Vorderwand des linken Ventrisch, vergl. Tafel VII Fig. 19. In der Tiefe der rechen Kaumer ist der grosse Fpillismunskel und sein Ursprung von dem Querwuld deutlich, der zwischen Revessus und Coms arteriosus von der Scheidewand zur Aussenwand zicht, vergl. Tafel VI; Et. 1, 1, 2, 1, 3.

## Figur 2.

Meuschliebes Iter; in halber Distole mit deppelt ehronsvarem Kali gebärte; die vordere Wand beier Kaumern ist weggenommer, file sehnigen Forstetangen der Papillarmaskein und die Zipfelklappen sind abgeschnitten. Zum Vorschein konnut in lüteker beraftelt die Schare der gerade zum Rauf der Artrogenstreitunsmindung aufsteigenden Fastern, welche sielt zum Theil direct, zum Theil durch Schnen an diesebe anhehen, und zu denen auch die Papillere zu zerehene sind. Diese entspringen näher der Herzspitze, die übrigen gerade aufsteigenden Binntel entfernter von hir aus der Herzwand.

Abweichend von links entspringt in der rechten Kammer der grösste der fret, nicht an der Scheidewand stehenden Papillarunuskeln aus den Bögen, welche von der Scheidewand nach der Aussenwand hinüberziehen, vergl. Tafel V Fig. 13, 13. In beiden Kammern sieht man die tiefen Buchten zwischen den gespaltenen inneren Längsschiebten.

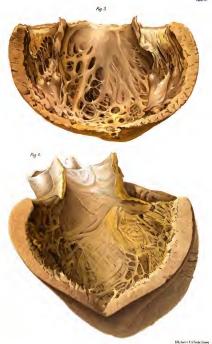
### Tafel I.

#### Figur 3.

Menschilches Herz selwach mit Salpterensure behandelt. Ansicht der Innorschie des linken Ventrielse. Der eröffender Schnitt all uterd id Mitte der Aussenhend erfolgel. Vorhöfe und Arterien entfernt, Artioventrieubr-thappen und Endocraf beihalten. Im Gegensatz zu allen Brügen Stückvo der innern Wandläbele ist das na der Schiedewand im der Nille des Aorteurings gelegene glatte. Die Fasserbindel, welche in film verbalten und durch das Bondoard durchscheren, sind in

#### Figur 4

frei präparirt; es kommen auf das Deutlichsel in diesem Präparat, in welchem die innersiem Muschechrichten ührerall ausser an der Scheidewand weggenommen sind, auf dieser zwei Zigie zum Verseichen, die sieh kreuzen und an den voorderen und höteren Aortenpunkt ansetzen. Der schwichere oberfüllschliehere kommt von der Vorderwand und hetelt sich an den hinteren tiefer gelegenen Aortenand an. Das darunter gelegene hedoutend stürkere Bündel geht gegen den vorderen Aortenpunkt hin, welcher ührer den Artivorutruierunft gilmauszeig. Bei der Systole müssen diese Zigie die Aortenwurzel verengern und das grosse Mitralsegel an die Scheidewand hertanischen. Verd. Telef II Fig. 5 u. 6.



#### Tafel IL

#### Figur 5 und 6.

Hundeherzen mit Salpetersäure behandelt. Der rechte Ventrikel in Diastole, der linke in halber Systole. Vorhöfe, Arterien, Klappen entfernt. Ein Theil der Aussenwand der linken Kammer weggenommen.

An beiden Präparaten sind die Fasern deutlich, welche von der Aussenseite des hinteren Aortenpunktes auf die Hinterfläche der rechten Kammer übergehen, und die, welche am vorderen Theile des Aortenringes entspringen und die Wölbung des Conus arteriosus bilden.

Die in Fig. 4 erwähnten sich kreuzenden Bündel an der Innenfläche der Scheidewand des linken Yentrikels sind dargestellt und betheiligen sich an der Bildung der Muskelwülste, welche die Semilunarklappen stützen.





Fig 6



M Bridel for.





Abhandl, d.K.S. Ges. d. Wiss, math. phys Cl. Bd. XVI, 5.

Fig 2.9



Fig.



#### Tafel III.

#### Figur 7.

Von zwei etwa gleich grossen mensch liehen Herzen wurde das eine in Systole, das andere in Diastole fixirt. Dünne Querschnitte durch beide an der Grenze von unterem und mittlerem Drittel. Flächenbild des systolischen Herzens?\*, des diastolischen ?\*.

- An dem vollkommen entfalteten diastoliechen link en Ventrikel 7<sup>th</sup> beben sicht von der freien Wand zahlreiche Vorspringe zb. welche aus stell aufsteigenden abstantieren der Schreiber vorspringe zeigen zu sich der Lücken zwischen je zwei solcher Vorspringe zeigen sich auf dem Durchschnitt Andeutungen von Fossen, die in mehr horizontaler Richtung hinzichen und zum Theil in die lanersten Bündel einbiegen. An der Scheldervant felben und zum Theil in die lanersten Bündel einbiegen. An der
- An dem vollkommen controlirien Herzen ?\* sind die einzelnen inneren Lingsbindied diehen neinnuder gelenger, die Eicken, wwischen je zwei blenschlarten vorspringenden Faserungen verschwunden. Die Vorspringe selbst haben an Querschnitt zugesommen, die am diestolisehen Ventrikel glatte Seheldewand ist gefaltet, dre Durchmesser in der Bichtung von rechts nach links beträchtlich versfärkt, die auf dem Durchschnitt siehtberen mitteren annähenrad circularen Fasern biegen am systolischen Berzen stirker als am diastolischen gegen die Vorspringe um, als ob der innere Abenfult der Fasern zusammengescholen wäre.

Am entfalteden rec'h ten Ventriel zeigt sieh dio Aussenwand sehr verdinut. Auf der inneren Efiche der freien Wand treten Verspringe auf, welche sieh von derselben zeitweilig lodiënen und dann wieder in sie übergehen oder aber quer durch die liblië von der Aussenwand 227 Scheidswand Betretreten. In dem systolischen rec'hten Ventriele sind die Vorspringe verdiekt und einander bis zur Berithrung genöllen.

#### Tafel III.

#### Figur 8.

Dünne Flachsehnitte durch dieselben Herzen wie in Figur 7, an der Grenze von mittlerem und oberem Drittel.

Auch in dem systolischen linken Ventrikel wird die Scheidewand nach der Aortenmündung zu (8°) glatt. Die Gruppen der Papillarmuskeln sondern sich in beiden Kammern am systolischen wie distolischen Herzen nach der Basis zu schärfer von den inneren Längsbündeln ab als im unteren Drittel. Die grusse Papillare des rehelne Ventrikels zeigt in 8° ihre zahlreiehen Befestigungen.

Fig.82

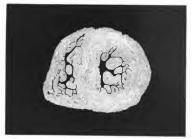


Fig.8b



149712

#### Tafel IV.

#### Figur 9.

Die in sich zurücklerreude sehnenlose Faserung des linken Venträels an unschlichen Ibereun nehr Einferung der übseren und inneren Muskelzige. Klappenring und Spitze sind natürlich mit weggenommen. An der Herzepitze fehlt diese sehnenlose Schleitzt, durch die dort beschende Offung verbinden sich in sogenannten Herzepitzel die ausseren und inneren Muskelzige. In der hier gezeichneten Settenansicht der sehnenlosen Faserung bleibt die untere Öffung werteckt, also unseitzblar. Auf die obere Öffung lageri sich aus vollständigen Herze der Arisvourtieularring mit deu sehnigen Ansätzen der äusseren und inneren Lingsschieden auf.

# Figur 40.

Dasselbe. Din Form des gauzen lierzens ist schematisch angegeben, um die Lagn der sehnenlosen Faserung im Verhältniss zu der mit Sehnen behafteten zu zeigen.

Fig 9



Fig 1



Abhandl, d.K.S. Ges, d. Wiss. math.phys.Cl. Bd.AVII. 5,





#### Tafel V.

#### Figur 11.

Perspectivischo Ansicht eines ringförnigen Querschnitts des diastdischen Menschenberzen in mittleren Drittel; das obere und untere Drittel sind weggenommen. Die Figur gibt eine deutliche Ansicht der zahlreichen Muskelbindel und Faserzüge, welche im rechter Ventrikel Scheidewand und Aussenwand in allen möglichen Hiekungen verbinden. Sie sind an Masse viel bedeutender als die Muskeln, die steitg forfalnefand den Unfang der Kammer bilden; dinne Endocardund Schenefilden derteizlehen in allen lichtungen die fülble und setzen die Muskelbündel in Beziehung zu einander. Die vielfache Befestigung der frei stehenden Poblikarnei ist auf das schösinte zu sehen.

## Figur 12.

Menschliches Herz in doppeltchromsaurem Kali gehärtet. Mit dieser Figur sind zu vergleichen die Abbildungen 13, 14, 18, welche die Klappen und ihre zugehörigen Papillaren zur Auschauung bringen.

Nach Entfernung des Conns arteriosus stellt sieh zunlächst die vor dem Einga desselben stellende Klappe den. Then linke Ellike wilst von den Schenn versorgt, weelste aus dem vordersten horizontal stehenden Papillarmuskel der Scheide-wand hervorgeben, die rechte Illälte von der grossen Papillare, welche in der Rittle der Ribbis stellt (vergl. Fig. 2 n. Fig. 11). Der Papillarmuskel der Scheide-wand braucht nur so kurz zu sein, weil sein Ursprungsort feststell, im Gegensatz un den äussenst sark beweigheinen freim Papillaren. Unter der vor dem Conns stehendem Klappe hindurch erselneint der zweite der freise Papillarmuskeln, die uns den Büdende hervorgsehen, welche quer durch die Verufrichfühle ziehen.

# Tafel V.

#### Figur 13.

Menschliches Herz. Aussicht durch die klappenfreie Öffnung des Ostium venoum dextrum auf den vorderen frei stehenden Papillarmuskel; sein Ursprung und das Hineiaragen in die Mitte der Höhle, sowie mehrfache Fäden, welche von ihm zur freien Wand gehen, werden hier deutlicher als durch die Seitenansieht.

## Figur 44.

Aussist einer monechtieben Tricuspilahlähappe von usten und vorm. Das Vershänins von Papilaren und Sepeln ist principitell dech dasselbes vies am listen Ventriekt. Jeder Warzenmackel gibt Chorche zu zwei grüsseren Sepeln und hat sweischen diesen einen kelnein internodizien. Lappen für sich allein. Das ist hier am deutlichsten für die kurz unter über Spitze abgeschnitzen vordere Susser Papilare. Man sieht, wie sie die vordere Billis des übsseren Sepels und die rechte des vorderen Lappens verenzt und, dass führe ihr ein kleiner Intermedizier Lappen sieht. Der eriet Schiedwandmusskel gibt and der Figur seise Sehnen zur linken Billiste des Comussegels und zu einem kleinen (hier gefalteten) intermedizien Lappen.







Talk And + 2. A Finle Trapes

. Ibhandl. d.K.S. Ges. d. Wiss. math. phys Cl. Bd. XVI. 5.

Fig 15



Fig h



#### Tafel VI.

## Figur 15

verauschaultcht die Faserung an der Innemlärde der freien Wand eines rechten verturkiels vom Mennchen. Die Muschbindet, verlebe in der Disioties erkeinbar regelos legen, sind hier am systolischen Organ nach zwei lifethungen geordneitin der Tache von der Spitte nach der Basis zu, im Douss seutrecht zur genannten Richtung, also in der Längssehne desselben. An deur Pulmonsubsstumbilden die Enden der zusammengezogenen Längswißte die musculisiem Untersitizungen der Khupten. In der Tasche sind die grösseren läupstzüge durch Querleisten mit einnacher verbunden.

#### Figur 16.

Aussicht der Scheidswand in der rechten Kammer eines schwach mit Salpstersten behandelten menschlichen Herrens. Im Recosses sind die Zahlreichen kurzen Papillaren der medialen Wand sichtbar; in der Grenze zwischen Tasehe und Gonss der vordrorte kurze horizontal sichende Wastel, volkerte seine Schendifelde zu der linken Blifte des vorderen Segels gibt. Die grosse äussere Papillaro ist dicht über briem Usprung abgeschnitten.

# Tafel VI.

#### Figur 17.

Menschliches Herz mit Salpetersüure schwach belandelt. Verhöfe weggenommen. Ansicht von oben. Rechter Ventrikel in Systole, linker in halber Diastele.

Die Mündung der Lungenarterie ist unterhalb des Ausatzes der Semilunarklappen verengt, oberhalbt derselben erweitert. Die Taseden empfangen von den zusammengezogenen Längsunskeh des Conus eine Unterstützung an ihrem Boden. An der Aurtenwurzel stellen sieh die Unterstützungen dar, welche die beiden verderen Klappen von deu Muskeln erhalteu.

# Figur 18

zeigd am Mensclenherzen den sehon beschriebenen Ursprung des græssen jüsseren ppallamundes in rechten Ventriels sewie die an Fig. 14 erfabierte Amerdung der Trieuspidalis auf das deutlichste. Die dert auseinandergesetzten Beziehungen zwischen Papillaren und Segula sind hier sowellt für den ersten Warzenmusskider Scheidewand als auch für die vordere und hintere freistehende Pspullare anschaultel gemacht. In der linken Kammer ist zum Vergleich der hintere intermedüre Lappen gezeichnet.



hytx



Life And a E. A Poole Legon,

#### Tafel VII.

#### Figur 19.

Disastisisches Hundeherz mit SalpeterSure behandelt. Vorlisite und kerten wurzel sind wegenonnmen, um den Ursprung der Faserung siehtlarz zu nochen, welche den Coms uungreift und gegen den linken Ventrikel zieht. Sie geld son einem Schnenstreifen aus, der die Langenarterie mit dem hinteren Ende der korta verbindet. Anset vor zu entspringt von dieser Schne ein betrichtlicher Diel der Vorderwandmusskeln des linken Ventrikels. Am Menschenherzen ist der Schnerstreif nicht deutlich ausgesprochen. Vergl. Fig. 1.

Durch das offene Ostium atrioventriculare dextrum sieht man die drei grossen Papillarmuskeln des rechten llerzens, welche beim Ilund im Gegensatz zu den Verhältnissen des menschlichen Organs sämmtlich von der Scheidewand entspringen.

# Figur 20.

Ilmoherz in vollkommener Sytote. Die venäsen Osten sind allein durch viel Weselhauf est vollkommen verschlossen; die Mindlungen der Arterien sind stark vereugt. Die rechte Kammer ist durch Wegnahme eines Theils der Association van der röffent. Die systolische Verkleinerung der Venärkleiblie sowie die Stellung der Wuskelwühste an der Lungenarterie sind ert konsten Klappe und die Bildung der Muskelwühste an der Lungenarterie sind ertrifich.





MBookel for

lath And v E.A. Fasle Legeng

# DIE

# VERGRÖSSERUNG DES ERDSCHATTENS

# BEI MONDFINSTERNISSEN

VON

# J. HARTMANN.

MIT EINER LITHOGR, TAFEL UND DREI TEXTFIGUREN.

Es ist bekannt, dass der Querschnitt des Kernschattens der Erde bei den Mondfinsternissen grösser beobachtet wird, als er nach der Rechaung sein sollte. Nan pflegt diese Vergrösserung, in Theilen des Halbmessers jenes sehr nahe kreisförmigen Querschnittes ausgedruckt, als Vergrösserungscofficienten oder -factor zu bezeichnen. Die Kenntniss dieser Zahl ist zunächst nöthig zur genauen Vorausberechnung der Finsternisse. Denn in Folge dieser Vergrösserung beginnt jede totale Mondfinsterniss ungefähr 1° 40° früher und endigt um ehensoviel später; bei partiellen Finsternissen ist der Einfluss noch grösser, ja es kann hierdurch sogar eine partielle Mondfinsterniss entstelnen in Fällen, wo der geometrische Kernschatten der festen Erde den Mond überhaupt gar nicht trifft. 1st der Coefficient aus den Beobachungen erst mit himreichender Schärfe bestimmt, so entsteht sodaun die weitere Aufgahe, die Ursache dieser Erscheinung aufsussehen.

Es sind schon von mehreren Astronomen Versuche gemacht worden, den Betrag der genaanten Vergrösserung genauer zu bestimmen. Die neueste und gleichzeitig die erste unfangreichere Untersuchung dieses Gegenstandes ist die Götfinger Inaugural-Dissertation von Abour Bnostrsst, welche im Jahre 1889 erschien, als schon ein grosser Theil der vorliegenden Arbeit vollendet war. Bnostrsst giebt eine vollständige Zusammenstellung der bisher auf diesem Gebiete ausgeführten Untersuchungen, weshalb ich deren Aufzählung hier übergehen kann; doch stelle ich zur schnellen Orientrung alle bisher gefundenen Resultate in der folgenden Tabelle zusammen.

Die bisher gefundenen Werthe des reciproken Vergrösserungscoefficienten.

Finsterniss.		P. DE LAHME.	J. CASSINI.	LE MONNER.	Ton. MAYER.	LEGENTH.	J. J. LALANDE.	LAWRENT.	MADLER.	Schwidt.	OPPOLZER.	BROSENSEY.
	unbekannt	\$1	123	82	60			40			40	
	total					61						
	partiell					24.6						
1776	Juli 30								١			52.7
1783	Marz 48					1	70					57.1
1783	Septbr. 10											48.7
1787	Januar 3											58.0
1790	April 28											43.6
1790	October 22 .											52.6
1791	Februar 14 .											51.2
1797	December 3 .											54.7
1833	December 26.								65.4			54.9
1835	Juni 10								28.4			
1837	October 13 .								54.0			51.0
1811	Februar 5											65.0
1812	Januar 26	٠.								50		
1844	Mai 34									56		54.9
1811	November 24.								48.6	52		57.4
1818	Marz 49									15		44.5
1819	Marz 8									14		
1863	Juni 4											70.2
1866	Marz 30		4 .									72.4
1870	Juli 12											57.3
1877	Februar 27 .		,									19,9
1877	August 23										٠.	54.5
1888	Januar 28					1						52.0

Die Bestimmungen vor Midler berühen auf so unsieheren Grundagen, dass sie nur noch einen historischen Werth haben. Orrotzen's
Zahl ist nicht aus neuen Beobachtungen abgeleitet, sondern stützt
sich wahrscheinlich auf Lausen's Angabe. Lassen wir ausser diesen
auch noch den von Midler im Jahre 1835 durch mikrometrische
Messungen bestimmten Werth des Vergrösserungscoefficienten  $\frac{1}{24}$ ,
ausser Acht, so liegen, wie wir aus der Tabelle erkennen, die übrigen
Angaben immer noch zwischen den weiten Grenzen  $\frac{1}{14}$ ,5 und  $\frac{4}{724}$ , $\frac{1}{14}$ ,5 und  $\frac{4}{12}$ , dalter kommt auch Baosissav zu dem Schlusse, dass ein für alle
Finsternisse allgemein gültiger Vergrösserungscoefficient sich nicht
aufstellen liesee.

Trotz dieses negativen Resultates hielt ich es für gut, meine Lutersuchung zu Ende zu führen, zumal da nur sieben der von mir berechneten Finsternisse in Baossaxr's Arbeit benutzt waren. Wir werden nun sehen, dass sich die in obiger Tabelle auftretenden grossen Unterschiede sehr wohl auf anderem Wege erklären lassen und zwar aus Ursachen, die im Beobachter oder lustrument liegen, und dass sich, hiervon abgesehen, ein für alle Mondfinsternisse güsttiger Vergrösserungsoofflicient mit ziemlicher Schärfe bestimmen lässt. Gleichzeitig werden wir einige eigenthumliche Erscheinungen kennen lernen, welche bei diesen Beobachtungen eintreten, und über den bei letzteren zu erreichenden Grad der Genauigkeit ein Urtheil zu gewinnen suchen.

Zu diesem Zwecke ist es nöthig, bei der Berechnung einen anderen Weg einzuschlagen, als die oben genannten Astronomen. Das von Madler angegebene und auch von Schmidt und Brosinsky angewandte Verfahren besteht im Wesentlichen darin, dass man die beobachtete Dauer der Verfinsterung eines jeden Mondfleckes mit der berechneten vergleicht, oder, was dasselbe ist, die beobachtete Länge der vom Fleck innerhalb des Schattens durchlaufenen Sehne mit ihrer berechneten Länge. Dieses Verfahren hat allerdings den Vorzug, dass Fehler in der Mondlänge, ju der geographischen Länge der Beobachtungsorte und in der Zeitbestimmung fast keinen Einfluss auf das Resultat haben. Man sieht aber, dass es bei dieser Rechnungsart unmöglich ist, die einzelnen Beobachtungen in durchsichtiger Weise zu discutiren, da die Rechnung immer nur eine Art Mittelwerth aus zwei Beobachtungen ergiebt. Ferner werden bei diesem Verfahren die gegebenen Beobachtungen nur zur Hälfte ausgenutzt, da ja jede Beobachtung einzeln schon einen Werth des Vergrösserungsfactors ergeben muss; endlich versagt es in den sehr zahlreichen Fällen, wo von einem Mondfleck nur der Eintritt oder nur der Austritt beobachtet ist, sodass also hierdurch ein grosser Theil dcs Beobachtungsmaterials ohne Grund verloren gcht.

Alles dieses bestimmte mich dazu, den int Folgenden zu beschreibenden anderen Weg einzuschlagen, bei welchem aus jeder einzelnen Beobachtung die ihr entsprechende Vergrüsserung des Schattenhalbmessers abgeleitet wird. Gleichzeitig erschien es nöthig, auch denienigen Theil der Formeln, welcher aus dem früheren Verfahren beibehalten wurde, auf seine Genauigkeit zu prusen, da bei diesen Formeln zur Vereinfachung der Rechnung Vielerlei vernachlässigt wurde. Es ist ja klar, dass die Ein- und Austrittsbeobachtungen an dem verwaschenen Schattenrande eine gewisse Unsicherheit besitzen müssen, und deshalb ist es auch vollkommen erlaubt, bei der Reduction der Beobachtungen Näherungsformeln anzuwenden, wenn deren Fehler nur genügend klein sind. Nun dürfen wir aber hoffen, dass mikrometrische Messungen des Schattens, sowie die sorgfältige Ausmessung der schon jetzt zahlreich vorhandenen photographischen Finsternissaufnahmen aus weiter unten angegehenen Gründen einen erheblich kleineren zufälligen Beobachtungsfehler ergeben werden, als die oben genannten Beohachtungen. Um bei der grösseren Genauigkeit dieser Beobachtungen dann auch stets die Schärfe der Rechnung entsprechend vergrössern zu können, wird es nöthig sein, dass wir an jeder Stelle der Rechnung über den Betrag der begangenen Vernachlässigungen Rechenschaft geben können.

Im Folgenden werde ich also zunächst eine abgekürzte und zugleich hinreichend strenge Ableitung der nöttigen Formeln geben, an welche sich sodann die Berechnung aller hrauebbaren Ein- und Austrittsbeobachtungen unseres Jahrhunderts schliesst. Die Berechnung der mikrometrischen Messungen sowie der photographischen Aufnahmen wird gleichzeitig mit den dazu nöthigen Reductionsformeln bei einer anderen Gelegenheit folgen.

Schliesslich will ich noch hervorheben, dass diese Untersuchung die weitere Ausführung einer in dem astronomischen Seminar des Herrn Prof. Batss begonnenen Arbeit ist. Für die hierbei nir zu Theil gewordene Fürderung meiner Arbeit spreche ich an dieser Stelle meinen wärnusten Dank aus.

# I. Allgemeine Theorie.

2.

Da der Kernschatten der Erde, um den es sich im Folgenden stets nur handelt, nicht schart Begrenzt ist, sondern allmählich in den Halbschatten übergeht, so sind die Beohachtungen seines Durchmessers immer um viele Bogensecunden unsieher. Nur bei den besten Reihen der geübtsein Beohachter sinkt, wie wir unten sehen werden, der wahrscheinliche Fehler einer Beobachtung bis auf etwa 4" herab, im Durchschnitt ist er jedoch weit grösser. Von den photographischen und mikrometrischen Messungen darf man vielleicht erwarten, dass sie die doppelte Genauigkeit jener besten Reihen besitzen werden. Es wird daher bei der Rechnung stets erlaubt sein, Bruchtheile der Secunde zu vernachlässigen. Auch für die Ableitung der Formeln ergiebt sich hieraus eine einfache Regel. Wir werden auf die Ermittelung vollkommen strenger Formeln verzichten können, wenn wir dabei keinen Fehler begehen, welcher eine Bogensecunde erreicht. Der scheinbare Querschnitt des Schattenkegels ist bekanntlich sehr nahe kreisförmig, doch weicht er aus verschiedenen Ursachen, wie Abplattung der Erde und Parallaxe, um kleine Beträge von einem Kreise ab. Alle diese Abweichungen sind nun einzeln genommen kleiner als 20", mithin ihre Ouadrate und Producte kleiner als 0"002, also vollständig verschwindend. Daher ist es erlaubt, nur die ersten Potenzen dieser Grössen zu berücksichtigen und sie getrennt zu behandeln.

# 3.

Zur Zeit einer Mondlinsterniss ist die Breite der Sonne stelsteiner als 4""), kann also nach dem Gesagten hier vernachlässigt werden. Der Aufang eines rechtwinkligen Coordinatensystemes liege im Erdmittelpunkte, die + z-Axe sei nach dem Nordpole der Ekliptik gerichtet, die - z-Axe nach dem Dittelpunkte der Sonne; der Lebergang von der + z- zur + y-Axe soll von der + z-Axe aus gesehen immer durch eine rechtläufige Drehung um 90° erfolgen. Nach § 2 betrachten wir die Erde zunüchst als kugel mit dem Radius a; der Radius der Sonne sei A und ihre Entfernung von der Erde R. Die Überfläche des Kernschattens ist dann der äussere Berührungskegel dieser beiden Kugeln, dessen Gleichung ist

$$y^{i} + z^{i} = \frac{(K - x)^{i} a^{i}}{K^{i} - a^{i}},$$

$$K = \frac{a R}{A - a}$$

wobei

Diese Bemerkung soll nur die folgende Ableitung etwas vereinfachen. Hei der Rechnung kann man die Sonnenbreite leicht dadurch berücksichtigen, dass man die Mendbreite um den Werth der Sonnenbreite vergrössert.

die x-Coordinate der Spitze des Kegels ist. Durch eine leichte Umformung geht obige Gleichung über in

$$y^{i} + z^{i} = \frac{a^{i}}{K^{i}}(x^{i} + y^{i} + z^{i}) - \frac{2}{K}\frac{a^{i}x}{K} + a^{i}$$
. (1)

Eine Ebene  $x = \tau_r$  schneidet den Kegel in einem Kreise, wehen wir den Schattenkreis neunen werden. Ein beliebiger Punkt auf dem Umfange dieses Kreises habe vom Erdmittelpunkte die Enfernung  $\tau_r$  und der Winkel, welchen die Strecke  $\tau$  mit der  $+x_r\Lambda_{XC}$  bildet, also der scheinbare geocentrische Radius des Schattenkreises, sei  $\omega_r$  Dann ist für den betrachteten Punkt des Schattenkreises, sei  $\omega_r$  Dann ist für den betrachteten Punkt des Schatten

$$\tau^{z} = x^{z} + y^{z} + z^{z}$$
,  
 $\tau^{z} \sin^{z} \omega = y^{z} + z^{z}$ ,  
 $\tau \cos \omega = x = \tau$ .

Setzen wir diese Werthe in (1) ein, so folgt

$$\sin^{\epsilon} \omega = \frac{a^{\epsilon}}{\tau^{\epsilon}} + \frac{a^{\epsilon}}{K^{\epsilon}} - \frac{2 a^{\epsilon}}{\tau K} \cos \omega. \tag{2}$$

Diese Gleichung liefert, wenn man die Erde als Kagel betrachtet, den strengen Werth von  $\omega$ . In der ersten Näherung setzt man rechts für  $\cos \omega$  einen Mittelwerth ein, etwa log  $\cos \omega = 9.9996680$ . So schnell auch die Auflösung dieser strengen Gleichung convergirt, so kann man sie doch für den praktischen Gebrauch durch eine einfachere Formel ersetzen. Der grösste Werth von  $\omega$  ist 47'; da  $\omega'$  vernachlässigt werden kann, so folgt

$$\sin^{1} \omega = \frac{a^{1}}{r^{4}} + \frac{a^{2}}{K^{1}} - \frac{2}{r} \frac{a^{4}}{K} + \frac{1}{r} \frac{a^{2}}{K} \sin^{1} \frac{\omega}{2} = \left(\frac{a}{r} - \frac{a}{K}\right)^{1} + \frac{4}{r} \frac{a^{2}}{K} \sin^{1} \frac{\omega}{2},$$
  
 $\sin \omega = \frac{a}{r} - \frac{a}{K} + 2 \frac{a}{r} \frac{a}{K} \frac{\sin^{1} \frac{\omega}{a}}{a - \frac{a}{r}}.$ 
(3)

Das letzte Glied erreicht nie eine Viertelsecunde, darf also forgelassen werden. Nehmen wir jetzt an, 7 wäre gleich dem Abstande des Mondes von der Erde und bezeichnen mit  $\pi$  die Mondparallaxe mit H die Sonnenparallaxe und mit H den scheinbaren Sonnenradius, dann ist

$$\frac{a}{r} = \sin \pi,$$

$$\frac{a}{K} = \frac{A - a}{R} = \frac{A}{R} - \frac{a}{R} = \sin H - \sin H,$$

$$\sin \omega = \sin \pi + \sin H - \sin H.$$

mithin

9

Führen wir hier endlich statt der Sinus die Bögen ein, so haben wir den einfachen Ausdruck

$$\omega = \pi + H - H, \qquad (5)$$

welchen sehon Hirsanca durch eine geometrische Construction algeleitet hat. Um über den Grad der Genauigkeit, welchen diese Formel besitzt, eine ganz klare Vorstellung zu gewinnen, berechnen wir ihren Fehler für die vier Combinationen der Extreme der Sonnenum Mondparallaxe. Hierbei folgt für (2) der Werth von K aus

$$\frac{a}{L} = \sin H - \sin H.$$

Nach (4) ist au eigentlich der Abstand des Mondmittelpunktes vom Erdmittelpunkte; wollten wir jedoch dieses au, welches also aus

$$\tau = \frac{a}{\sin \pi}$$

folgen wurde, direct in (2) einsetzen, so wurde das so gefundene o nicht sofort brauchbar sein, da ja der Mondnittelpunkt nicht sichtbar ist, also auch nicht auf der sieltbaren Schatteneurve liegen kann. Die am einfachsten definirten Punkte der Schatteneurve sind die störnerspitzens, d. h. jene Punkte, welche gleichzeitig auf der Schattengrenze und am scheinbaren Mondrande liegen. Ist der lineare Mondradus =  $\varrho$ , so ist für diese Punkte die Entfernung  $\tau$  vom Erdmittelpunkte bestimmt durch

$$r^t = \frac{a^t}{\sin^t \pi} - \varrho^t \,.$$

Berechnen wir  $\tau$  auf diese Art, so ergiebt die strenge Gleichung (2)

 $\begin{aligned} &\text{for } \pi = 53'50'000, \ H = 8'704 \ \text{und } H = 15'45'320: \ \infty = 38'13'44 \\ & 6230.000, \quad 8.704 \quad 15'45.320: \quad 46'53.430 \\ & 53'50.000, \quad 9.001 \quad 46'47.590: \quad 37'44.434 \\ & 62'30.000, \quad 9.001 \quad 46'47.590: \quad 46'21.457 \end{aligned}$ 

dagegen ergiebt die Formel (5) der Reihe nach

 $\omega = 38'13'38\$$ , mithin ist der Fehler  $\mathcal{J} = -0'030$  \$653.88\$, -0.0\$6 37\$1.\$11, -0.030\$621.\$11, -0.0\$6 also

und

Die Formel (5) dürfen wir also ohne Bedenken bei der Rechnung benutzen. Ist noch  $r_a$  der Abstand des Mondmittelpunktes vom Erdmittelpunkte und  $h_a$  der geocentrische Mondradius, so ist

$$\begin{split} \sin h_{\scriptscriptstyle 0} &= \frac{\varrho}{r_{\scriptscriptstyle 0}} \,, \quad \sin \pi = \frac{a}{r_{\scriptscriptstyle 0}} \,, \\ \tau^{\scriptscriptstyle 1} &= r_{\scriptscriptstyle 0}^{\; \scriptscriptstyle 1} - r_{\scriptscriptstyle 0}^{\; \scriptscriptstyle 4} \sin^{\scriptscriptstyle 1} h_{\scriptscriptstyle 0} \,, \quad \tau = r_{\scriptscriptstyle 0} \cos h_{\scriptscriptstyle 0} \,, \\ r_{\scriptscriptstyle 1} &= \tau \cos \omega = r_{\scriptscriptstyle 0} \cos \omega \cos h_{\scriptscriptstyle 0} \,. \end{split}$$

Satz I. Errichtet man im Abstande  $r_i = r_a \cos \omega \cos h_a$  vom Erdmittelpunkte senkrecht auf der Schattenaxe eine Ebene, so ist der Radius des auf dieser Ebene entstehenden Schattenkreises, vom Erdmittelpunkte aus gesehen,

$$\omega = \pi + H - H$$
.

wobei  $\pi$  die der Entfernung  $r_0$  entsprechende Parallaxe ist.

1

Die Erde nahmen wir bisher als Kugel an; um den Einfluss der Abplattung zu finden, legen wir das Bessez'sche Ellipsoid zu Grunde. Sei dessen Gleichung im Axensystem des Aequators

$$\frac{x_i^t}{a^t} + \frac{y_i^t}{b^t} + \frac{z_i^t}{c^t} - 1 = 0,$$

$$= b^t, \text{ und wenn wir zur Abkürzung}$$

so ist zunächst  $a^i=b^i$ , und wenn wir zur Abkürzung noch setzen

$$\begin{split} a^{i} &= c^{i} \left( 1 \, + p \right) \, , \\ x_{i}^{\; i} &+ y_{i}^{\; i} + z_{i}^{\; i} = r^{i} \, , \end{split}$$

so ist die Oberfläche dargestellt durch

$$r^t + p \, z_i^{\, t} - a^t = 0 \; .$$

Die Richtung der x<sub>r</sub>-Axe war bisher in der Elsene des Aequators ganz wilkfurlich; wir legen jetzt die x<sub>r</sub>. Elsene durch den Mittelpunkt der Sonne, sodass diese Elsene der Declinationskreis der Sonne ist, und zwar so, dass die x<sub>r</sub>-Coordinate der Sonne negativ ist. Die Declination der Sonne sei D. Drehen wir nun dieses Coordinatensystem um seine y<sub>r</sub>-Axe um den Winkel D, sodass die neue -x-Axe durch die Sonne geht, so haben wir wieder das Axensystem des vorigen Paragraphen. Es ist also

$$\begin{aligned} x_{\scriptscriptstyle 1} &= x \cos D - z \sin D , \\ y_{\scriptscriptstyle 2} &= y , \\ z_{\scriptscriptstyle 2} &= x \sin D + z \cos D , \end{aligned}$$

wo x, y und z wieder ihre frühere Bedeutung haben. Das Erdellipsoid hat somit die Gleichung

$$r^t + p (x \sin D + z \cos D)^t - a^t = 0,$$

oder

$$z^t + y^t + z^t + p \; (z^t \sin^t D + 2 \, x \, z \sin D \cos D + z^t \cos^t D) - a^t = 0 \; .$$

Die Ebene x = 0 schneidet das Ellipsoid in der Ellipse

$$y^{t} + z^{t} + p z^{t} \cos^{t} D - a^{t} = 0 ,$$

$$\frac{y^{t}}{a^{t}} + \frac{z^{t}}{\left(\frac{a}{1 + p \cos^{t} D}\right)^{t}} - 1 = 0 .$$

oder

Die halben Axen a, und b, dieser Ellipse sind demnach

$$\begin{aligned} a_{\scriptscriptstyle 0} &= a \;, \\ b_{\scriptscriptstyle 0} &= \frac{a}{\sqrt{1+p\cos^2 D}} \,. \end{aligned}$$

Die kleine Axe liegt in der Ebene des Declinationskreises der Sonne, die grosse senkrecht darauf in der Ebene des Erdäquators.

Die im vorigen Paragraphen betrachtete Ebene  $x=r_i$  ist dieser Ellipse parallel, und bei Vernachlassigung von Gliedern höherer Ordnung können wir annehmen, dass auch die Ebene  $x=r_i$  den Erdschatten in einer Ellipse schneide, und dass die kleine Axe diese Schattenellipse aus der kleinen Axe  $b_a$  der obigen Ellipse durch dieselbe Art der Projection entstehe, wie ihre grosse Axe aus  $a_i$ ; die Axen beider Ellipsen sind parallel. Sind  $a_a$  und  $a_b$  die geocentrischen Halbaxen der Schattenellipse, so folgt nach § 3, da ja  $a_i=a$  ist,

$$\omega_a = \pi + II - II$$
.

Für  $\omega_b$  bleibt H ungeändert,  $\pi$  und H sind im Verhältniss  $a_s:b_s$  zu verkleinern, gehen also über in  $\frac{\pi}{1+p\cos^s D}$  und  $\frac{H}{\sqrt{1+p\cos^s D}}$  mithin ist

$$\omega_b = \frac{\pi + \Pi}{V1 + \rho \cos^2 D} - H.$$

p war definirt durch  $a^i=c^i\,(1+p)$ , woraus folgt

$$p = \frac{a^2 - c^2}{c^2}$$
.

Die Bessel'schen Werthe von a und c ergeben

$$\log p = 7.8273188$$
,  
 $p = 0.0067192$ .

Bei Vernachlässigung von p<sup>4</sup> ist noch

$$\frac{1}{11 + p \cos^2 D} = \sqrt{1 - p \cos^4 D},$$

$$\omega_b = (x + H) \sqrt{1 - p \cos^4 D} - H.$$

also

Die Excentricität e des Ellipsoides ist definirt durch

$$e^{t} = \frac{e^{t} - e^{t}}{e^{t}}$$
,

woraus folgt 
$$1 + p = \frac{1}{1 - e^2}$$
,  $p = e^i + e^i + \dots$ 

Mit Vernachlässigung von  $e^{\epsilon}$  ist also  $p = e^{\epsilon}$ , mithin auch  $e_0 = (\tau + H) \sqrt{1 - e^{\epsilon} \cos^{\epsilon} D} - H$ 

Dieses ist die Formel, welche Madlea bei seinen Rechnungen benutzte. Die Differenz der beiden Halbaxen wird

$$u = \omega_n - \omega_h = (\pi + H) \left(1 - \sqrt{1 - p \cos^2 D}\right) = \langle \pi + H \rangle \frac{p}{\alpha} \cos^2 D$$
.

Das Maximum von  $\pi + H$  ist  $1^{\circ}$   $\mathcal{Z}$  39", also das von  $u = 12^{\circ}6$ : wir durften also bei dieser Ableitung ohne Bedenken Glieder höherer Ordnung vernachlässigen.

Sat: II. Errichtet man im Abstande r, vom Erdmittelpunkte senkrecht auf der Schattenaxe eine Ebene, so schneidet diese, wenn man Glieder, die das Quadrat der Erdabplattung enthalten, sowie sehr kleine parallactische Glieder vernachlässigt, den Kernschatten der Erde in einer Ellipse, deren vom Erdmittelpunkte aus gesehene Halbaxen die Werthe haben

$$\begin{split} & \omega_a = \pi + H - H \,, \\ & \omega_b = (\pi + H) \, \sqrt{1 - p \, \cos^4 D} - H \,, \\ & u = \omega_a - \omega_b = (\pi + H) \, \frac{p^2}{2} \cos^4 D \,. \end{split}$$

 $\pi$  hat auch hier die bei Satz I. angegebene Bedeutung; die kleine Axe der Ellipse liegt in der Ebene des Declinationskreises der Sonne;  $\log p = 7.8273188$ .

Um auch die Genauigkeit der letzten Formeln numerisch prüfen zu können, musste eine strenge Gleichung für die Oberfläche des Kernschattens abgeleitet werden. Hier will ich zur Controle nur das Resultat dieser Entwickelung mittheilen.

<sup>3</sup>) Seien X Y Z die geocentrischen Sonnencoordinaten im Systeme des Erdäquators, x y z die Coordinaten eines Punktes der Schattenoberfläche, A der lineare Sonnenradius, a = 1 die halbe grosse Axe der Erde, ferner

$$\begin{split} s &= (\Sigma x^{\flat}) - 1 \;, & S &= \left(\Sigma \left(\frac{x - \lambda}{A}\right)^{\flat}\right) - 1 \;, \\ P &= \Sigma \left(x \frac{y - Y}{A} - y \frac{x - X}{A}\right)^{\flat}, & V &= \Sigma \left(x \frac{x - X}{A}\right), \end{split}$$

wobei das Zeichen  $\Sigma$  immer eine Summation über die drei Axen bedeutet. Zur Controle ist

$$Ss + S + s + 1 - P = V^s.$$

$$\Gamma = P - S - s - 2$$
,  $H = \frac{S - s}{s}$ 

Ferner sei

$$M = z^{t}, \quad M = \frac{z^{t}}{A^{t}} - \frac{2zZ}{A^{t}} + \frac{Z^{t}}{A^{t}}, \quad \mu = x^{t} \frac{Y^{t}}{A^{t}} - 2xy \frac{XY}{A^{t}} + y^{t} \frac{X^{t}}{A^{t}}.$$

Entwickelt man die Gleichung der Schattenoberfläche nach Potenzen von p, so bricht die Entwickelung mit  $p^a$  ab; hier können wir sehon die Glieder, welche  $p^a$  enthalten, fortlassen, und haben dann diese Gleichung in folgender Form:

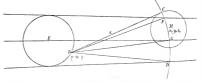
$$\begin{split} 0 &= \Gamma + 2 \ V + \frac{2 \ P \ Q}{(\Gamma - 2 \ \Gamma)} \,, \\ \text{wobei} \ \ Q &= \frac{1}{2} P^1 - P (2 \ S + 5 \ s) - S^1 - 3 \ S s + 4 \ s^2 + (S - s)^2 \ H^1_1 \\ &+ \frac{m}{s} \left\{ P^2 - P (2 \ S + s) + S^1 - 6 \ S s - s^2 + s (S - s) \ H^1_2 \\ &- M \ \left\{ 2 \ P - 3 \ S - 3 s + (S - s) \ H^1_2 \\ &- \mu \ \left\{ P + S - 4 s - [4 \ S + 5 \ s) \ H + 2 (S - s) \ H^3_1 \right\} \end{split}$$

<sup>1)</sup> Die von hier an bis zum Schluss des § 4 neu eingeführten Bezeichnungen werden später nicht wieder benutzt. Die hier folgende Gleichung der Schaltenoberfläche wurde im Seminar des Herrn Prof. Baxss entwickelt.

Man findet mit Hulfe unseres Satzes II. Naherungswerthe von er y z, berechnet mit diesen die in | 1 | geschlossenen Coefficienten und erhalt so eine Gleichung zweiten Grades für x y z, deren  $\lambda t$ -lösung den strengen Werth liefert. Naturlich müssen noch zweiten andere Gleichungen für diese deri Unbekannten vorhanden sein, doch kann man diese für die Berechnung eines Beispieles bequem wählen. Die Werthe der in | 1 | geschlossenen Ausdrücke sehvsnäken nur üssesst wenig, wenn nam den Punkt x y z rings um den Unifang eines senkrechten Querschnittes des Schattens führt; setzt man sie gaz constant, so wird dieser Querschnitt zu einer Eilipse. Ich wähle nun ein Beispiel in mittleren Verhältnissen und fand, dass Satz II. die Richtung der Axen der Ellipse ganz streng richtig giebt, während die Fehler in der Länge der halben Axen bei der grossen Axe+002 und bei der kleinen  $\lambda x$ e+000 betrugen.

#### ã.

Die hisherigen Betrachtungen ermöglichen zunächst nur die Berechtung der Ein- und Austritte von festen Punkten der Mondoberfläche. Sind  $\tilde{z}_{\eta} \zeta$  die selenocentrischen rechtwinkligen Coordinaten des Punktes parallel dem Axensysteu des § 3, so kann man die Grösse und Lage der Schattenellipse in der Elene  $x = x_{\tau} - t$  und



daraus die Ein- und Austrittszeit des Punktes bestimmen; x, y, 5, sind die geocentrischen Mondcoordinaten. Die Momente des Anfanges und Endes der Finsterniss, sowie alle mikronetrischen Messungen erfordern noch eine Untersuchung über den Einfluss der Lage des Beobachtungsortes auf diese Erscheinungen. Denn es ist klur. dass

die oben erwähnten Ein- und Austritte von Mondgebirgen auf der ganzen Erdoberfläche zu derselben Zeit gesehen werden, wie im Erdmittelpunkte.

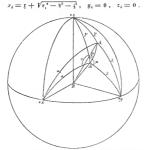
Die Coordinaten des Beobachtungsortes B in unserem bisherigen Systeme seien  $\chi$ ,  $\eta$ ,  $\eta$ , die des Mondmittelpunktes M  $x_s$ ,  $y_s$ ,  $z_s$  und  $\varrho$  der Mondradius. Legt man von B eine Tangente BC an die Mondkugel, so ist deren Länge

$$\tau_1 = \sqrt{(x_0 - \xi)^2 + (y_0 - \eta)^2 + (z_0 - \xi)^2 - \varrho^2}$$

Eine Kugel, welche mit dem Radius  $\tau_i$  um B beschrieben wird, schneidet die Mondkugel im scheinbaren Mondrande; die Gleichung dieser Kugel wird

 $(x-y)^2+(y-y)^3+(z-y)^4-[(x_0-y)^2+(y_0-y)^3+(z_0-y)^3]+\varrho^2=0.$  Diese vollkommen bestimmte Kugel wird durch die Axe EA

des jetzt wieder kreisförmig anzunehmenden Schattenkegels, unsere + x-Axe, geschnitten im Punkte A, dessen Coordinaten sind



Der Durchschnitt der Kugel mit dem Schattenkegel wird nahe kreisförnig sein, FD können wir als Durchmesser und A als den Mittelpunkt dieses Kreises ansehen. Sind  $\alpha \beta \gamma$  die Neigungswinkel der Linie BA gegen die Axen, so ist

$$\cos \alpha = \sqrt{1 - \frac{\mathfrak{v}^{1} + \mathfrak{z}^{1}}{\mathfrak{x}^{2}}}, \quad \cos \beta = -\frac{\mathfrak{v}}{\mathfrak{x}_{1}}, \quad \cos \gamma = -\frac{\mathfrak{z}}{\mathfrak{x}_{1}}.$$

 $\alpha \beta \gamma$  sind also vollKommen bekannt. Ziehen wir nun von B as eine Linie nach irgend einem Punkte A, des zuletz genannten Kreises so wird der Winkel  $ABA_{\perp} = \omega_0$  nicht für alle Punkte A, genan deselben Werth haben, sondern dieser scheinbare Radius des Schatterkreises wird jetzt eine Function des Positionswinkels P, den die Ebene  $ABA_{\uparrow}$  mit der Ebene ABz bildet. Ist  $\alpha_{\uparrow} \beta_{\uparrow} \gamma_{\uparrow}$  die Richtung der Linie  $BA_{\uparrow}$ , so hat man

$$\begin{array}{lll} \cos \nu = \cot \alpha \cot \gamma \,, & \cos \mu = \cot \beta \cot \gamma \,, \\ \cos \alpha_i = \cos \alpha \cos \omega_i + \sin \alpha \sin \omega_i \cos (\nu + P) \,, \\ \cos \beta_i = \cos \beta \cos \omega_i + \sin \beta \sin \omega_i \cos (\mu - P) \,, \\ \cos \gamma_i = \cos \gamma \cos \omega_i + \sin \gamma \sin \omega_i \cos P \,. \end{array}$$

Die Coordinaten x y z des Punktes A, werden daher

$$\begin{split} x &= \mathbf{I} + \tau_1 \cos \omega_1 \cos \alpha + \tau_2 \sin \omega_1 \sin \alpha \cos \left( \nu + P \right), \\ y &= \mathbf{I} + \tau_1 \cos \omega_1 \cos \beta + \tau_2 \sin \omega_1 \sin \beta \cos \left( \mu - P \right), \\ z &= \mathbf{I} + \tau_1 \cos \omega_1 \cos \gamma + \tau_2 \sin \omega_2 \sin \gamma \cos P. \end{split}$$

Sctzen wir noch die Werthe von  $\cos \alpha$ ,  $\cos \beta$  und  $\cos \gamma$  ein, so folgt

$$\begin{split} x &= x_1 \cos \omega_* + 2 \mathop{\mathrm{t}} \sin^* \frac{\omega_*}{2} + \tau_* \sin \omega_* \sin \alpha \cos (\nu + P) \,, \\ y &= 2 \mathop{\mathrm{t}} \sin^* \frac{\omega_*}{2} + \tau_* \sin \omega_* \sin \beta \cos (\mu - P) \,, \\ z &= 2 \mathop{\mathrm{t}} \sin^* \frac{\omega_*}{2} + \tau_* \sin \omega_* \sin \gamma \cos P \,. \end{split}$$

Soll  $A_i$ cin Punkt der Schattengrenze sein, so müssen  $x\,y\,z$ nach § 3 der Gleichung

$$y^{z} + z^{z} = \frac{|K - x|^{2} a^{z}}{K^{2} - a^{2}}$$

genügen. Es sind nun mit Hülfe der zuletzt angegebenen Werthe von  $x\,y\,z$  die Ausdrücke  $y^z+z^z$  und  $(K-x)^z$  zu entwickeln.

$$\begin{split} y^* + z^* &= \mathbb{I} \left( \mathbb{S}^* + \mathbb{S}^* \right) \sin^* \frac{\omega_1}{2} \\ + \mathbb{I} \tau_1 \sin \omega_1 \sin^* \frac{\omega_2}{2} \left[ \mathbb{I} \sin \beta \cos \left( \mu - P \right) + \mathbb{I} \sin \gamma \cos P \right] \\ + \tau_1^* \sin^* \omega_1 \left[ \sin^* \beta \cos^* \left( \mu - P \right) + \sin^* \gamma \cos^* P \right] \end{split}$$

 $\alpha$  ist im Maximum gleich der Mondparallaxe  $\pi=1^\circ$  2° 30°;  $\beta$  und  $\gamma$  können sich höchstens ebensoviel von 90° entfernen, gleichzeitig jedoch nie über  $\sqrt{\frac{n^2}{2}}=11'12''$ .  $\mu$  schwankt daher zwischen 80° 50′ 26″ und 90° 0′ 31″. Setzen wir  $\mu=90^\circ-i$ , so ist  $i\leq 31''$ ,  $i^*<0''$ 006. Daher folgt

 $\sin i = \cot \alpha \cot \gamma$ ,

$$\begin{array}{l} \cos \left( \mu - P \right) = \cos \left[ \left( 90^{\circ} - P \right) - i \right] = \sin P + \cos P \sin i \; , \\ \cos^{i} \left( \mu - P \right) = \sin^{i} P + \sin i \sin 2 \; P \; . \end{array}$$

Ausserdem ist 
$$\begin{split} \sin^{t}\beta &= 1 - \cos^{t}\beta = 1 - \frac{\eta^{s}}{r_{s}^{1}}\,,\\ \sin^{t}\gamma &= 1 - \cos^{t}\gamma = 1 - \frac{\eta^{s}}{r_{s}^{2}}\,. \end{split}$$

Hiermit folgt

$$\begin{split} y^t + z^t &= \tau_t^1 \sin^4 \omega_t - \tau_t^1 \sin^4 \omega_t \frac{1}{2\tau_s^2} \sin^4 P + \frac{3^*}{\tau_t^4} \cos^4 P \\ &+ \tau_t^1 \sin^4 \omega_t \sin^4 \beta \sin i \sin 2 P \\ &+ 4 \tau_t \sin \omega_t \sin^4 \frac{\delta \delta}{2} \left[ \psi \sin \beta \sin P + \frac{1}{3} \sin \gamma \cos P \right] \\ &+ 4 \psi \tau_t \sin \omega_t \sin^4 \frac{\delta \delta}{2} \left[ \psi \sin \beta \sin P + \frac{1}{3} \sin \gamma \cos P \right] \\ &+ 4 \psi \tau_t \sin \omega_t \sin^4 \frac{\delta \delta}{2} \sin \beta \sin i \cos P \end{split}$$

Setzen wir nun  $y^{z}+z^{z}=\tau_{z}^{z}\sin^{z}\omega_{z}$ , so folgt

$$\begin{split} \sin^1 \omega_i &= \sin^1 \omega_i - \sin^1 \omega_i \left[ \frac{b^2}{r_i} \sin^i P + \frac{\lambda^i}{r_i} \cos 2 P \right] \\ &+ \sin^i \omega_i \sin^i \beta \sin i \sin 2 P \\ &+ \lambda \sin \omega_i \sin^i \frac{\omega_i}{r_i} \left[ \frac{b_i}{r_i} \sin \beta \sin P + \frac{\lambda^i}{r_i} \sin \gamma \cos P \right] \\ &+ \lambda \frac{b_i}{r_i} \sin \omega_i \sin^i \frac{\omega_i}{r_i} \sin \beta \sin i \cos P \\ &+ \lambda \left[ \frac{b^2}{r_i} + \frac{\lambda^i}{r_i} \right] \sin^i \frac{\omega_i}{r_i} \\ &+ \lambda \left[ \frac{b^2}{r_i} + \frac{\lambda^i}{r_i} \right] \sin^i \frac{\omega_i}{r_i} \end{split}$$

 $\sin^4\omega_1$  unterscheidet sich von  $\sin^4\omega_1$  nur durch die parallactischen Glieder, welche alle, wie sich sofort zeigen wird, sehr klein sind.

Vernachlässigen wir vorläufig nur die Quadrate dieser Glieder, so folgt  $S_{\alpha}$ :

$$\begin{split} \sin \omega_i &= \sin \omega_i - \frac{1}{4} \sin \omega_i \frac{|\psi|}{|t_i|} \sin^i P + \frac{1}{t_i^{-1}} \cos^i P \Big] \\ &+ \frac{1}{4} \sin \omega_i \sin^i \beta \sin \sin 2P \\ &+ \frac{1}{2} \sin \frac{|\psi_i|}{|t_i|} \frac{|\psi|}{|t_i|} \sin \beta \sin P + \frac{1}{t_i} \sin \gamma \cos P \Big] \\ &+ 2 \frac{|\psi|}{|t_i|} \sin^i \frac{|\psi|}{|t_i|} \sin \beta \sin i \cos P + \left( \frac{|\psi|}{|t_i|} + \frac{1}{t_i^{-1}} \right) \sin^i \frac{|\psi|}{|t_i|} \end{split}$$

 $+z\frac{1}{r_1}\sin\frac{1}{2}\sin\rho$  sin  $r\cos r+(\frac{1}{r_1}z+\frac{1}{r_1}z)\sin\frac{1}{2}$ . Um eine Vorstellung von der Grösse der hier vorkommenden Glieder zu gewinnen, setzen wir  $\sin\omega=\omega S_{ss}$  und dividieren durch

$$\begin{split} &\omega_i = \omega_i - \frac{\omega_i}{2} \left[ \frac{b^2}{v_i^2} \sin^3 P + \frac{3}{v_i^2} \cos^3 P \right] + \frac{\omega_i}{2} \sin^4 \beta \sin i \sin 2 P \\ &+ \omega_i \sin \frac{\omega_i}{2} \left[ \frac{b}{v_i} \sin \beta \sin P + \frac{1}{v_i} \sin \gamma \cos P \right] \\ &+ \omega_i \frac{b\alpha_i}{v_i} \sin \frac{\omega_i}{2} \sin \beta \sin i \cos P + \frac{\omega_i}{2} \left[ \frac{b^2}{v_i^2} + \frac{3}{v_i^2} \right] \sin^4 \frac{\omega_i}{2} . \end{split}$$

Die grössten Werthe der einzelnen Glieder sind hier der Reihe nach:

Selbst wenn alle parallactischen Glieder gleichzeitig ihr Maximum und dabei gleiches Vorzeichen hätten, so wurde sich  $\omega_i$  von  $\omega_i$  noch um keine Secunde unterscheiden. Dahr sit zu setzen  $\omega_i = \omega_i$  odet  $u^i + z^i = r^i$  sin  $\omega_i$ .

Aehnlich wird 
$$(K - x)^* = K^* - 2Kx + x^*$$
 entwickelt.

$$x = x_t \cos \omega_t + 2 z \sin^2 \frac{\omega_t}{2} + \tau_t \sin \omega_t \sin \alpha \cos (\nu + P)$$
.

Nun ist 
$$x_1 \cos \omega_1 + 2 \underline{\imath} \sin^i \frac{\omega_1}{2} = x_1 \cos \omega_1 + \underline{\imath} - \underline{\imath} \cos \omega_1$$

$$\begin{split} &= \mathfrak{x} + \sqrt{\tau_i^{\,\mathfrak{s}} - (\mathfrak{b}^{\,\mathfrak{s}} + \mathfrak{z}^{\,\mathfrak{s}})} \, \cos \omega_i = \mathfrak{x} + \tau_i \, \cos \omega_i \, \cos \omega \\ &= \mathfrak{x} + \tau_i \, \cos \omega_i - 2 \, \tau_i \, \cos \omega_i \, \sin^{\,\mathfrak{s}} \frac{\alpha}{2} \, , \end{split}$$

$$\begin{split} x &= \mathfrak{x} + \tau_i \cos \omega_i + \tau_i \sin \omega_i \sin \alpha \cos \left( r + P \right) - 2 \ \tau_i \cos \omega_i \sin^4 \frac{\alpha}{2}, \\ x^i &= \mathfrak{x}^i + \tau_i^a \cos^i \omega_i + \tau_i^a \sin^i \omega_i \sin^i \alpha \cos^i \left( r + P \right) \end{split}$$

$$+$$
 4  $\tau_1^2 \cos^2 \omega_1 \sin^4 \frac{\alpha}{2} + 2 \tau_1 \cos \omega_1$ 

$$+$$
 2 g  $au_{i}$  sin  $\omega_{i}$  sin  $\alpha$  cos ( $u$  +  $P$ )  $-$  4 g  $u_{i}$  cos  $\omega_{i}$  sin  $u$ 

$$+\ 2\ \tau_{_{i}}^{\ i}\sin\omega_{_{i}}\cos\omega_{_{i}}\sin\alpha\cos\left(r+P\right)\ -\ ^{t}i\ \tau_{_{i}}^{\ i}\cos^{i}\omega_{_{i}}\sin^{i}\frac{\alpha}{2}$$

$$-4 \tau_i^4 \sin \omega_i \cos \omega_i \sin \alpha \sin^4 \frac{\alpha}{2} \cos (\nu + P)$$
.

Setzen wir jetzt  $\frac{(K-x)^4a^4}{K^4-a^4}=\tau_i^4\sin^4\omega_i$ , wo  $\omega_i$  natürlich eine andere Bedeutung hat als oben, so folgt

$$\begin{split} \sin^{1} \omega_{i} &= \frac{a^{i}}{\kappa^{2} - a^{i}} \left\{ \left[ \frac{1}{\kappa_{i}^{2}} \right] - \frac{2 K_{i}^{2}}{r_{i}^{2}} - \left[ \frac{2 K_{i}}{r_{i}} \cos \omega_{i} \right] \right. \\ &- \frac{2 K_{i}}{r_{i}} \sin \omega_{i} \sin \alpha \cos \left( r + P \right) \\ &+ \frac{4 K_{i}}{r_{i}} \cos \omega_{i} \sin^{1} \frac{\alpha}{2} + \frac{z^{i}}{r_{i}^{2}} + \left[ \cos^{3} \omega_{i} \right] \\ &+ \sin^{3} \omega_{i} \sin^{3} \alpha \cos^{3} \left( r + P \right) \\ &+ \frac{4 \cos^{3} \omega_{i}}{r_{i}} \sin^{2} \frac{\alpha}{2} + \frac{2 T_{i}}{r_{i}^{2}} \cos \omega_{i} \\ &+ \frac{2 T_{i}}{r_{i}^{2}} \sin \omega_{i} \sin \alpha \cos \left( r + P \right) - \frac{1}{4} \sum_{i} \cos \omega_{i} \sin^{3} \frac{\alpha}{2} \\ &+ 2 \sin \omega_{i} \cos \omega_{i} \sin \alpha \cos \left( r + P \right) - \frac{1}{4} \cos^{3} \omega_{i} \sin^{3} \frac{\alpha}{2} \\ &- \frac{1}{4} \sin \omega_{i} \cos \omega_{i} \sin \alpha \sin^{4} \frac{\alpha}{2} \cos \left( r + P \right) \right\}. \end{split}$$

Alle parallactischen Glieder enthalten  $\alpha$  oder  $\mathfrak{x}$ ; die hiervon freien in [] geschlossenen Glieder würden allein geben

$$\begin{split} \sin^{4}\omega_{o} &= \frac{a^{2}}{K^{4} - a^{2}} \left\{ \frac{K^{2}}{r_{1}^{2}} - \frac{2}{r_{1}} \frac{K}{\cos \omega_{o}} + \cos^{4}\omega_{o} \right\}, \\ \sin^{4}\omega_{o} &= \frac{a^{2}}{r_{1}^{2}} + \frac{a^{2}}{r_{1}^{2}} - \frac{2}{r_{1}^{2}} a^{2}\cos \omega_{o}. \end{split}$$

Dies ist die Gleichung (2) aus § 3;  $\omega_s$  ist also der geocentrische Werth von  $\omega_s$ . Vernachlässigen wir wieder die Quadrate der kleinen parallacischen Glieder bei Ausziehung der Wurzel und dividiren durch  $S_{\omega_s}$ , so folgt falberungsweise

$$\begin{split} & \omega_{\rm s} = \omega_{\rm s} + \frac{\alpha^{\rm s}}{\Lambda^{\rm s} - \alpha^{\rm s}} \left\{ -\frac{K_{\rm F}}{\tau_{\rm s}} \sin \omega_{\rm s} S_{\rm sa} - \alpha \frac{K}{\tau_{\rm s}} \cos \left( r + P \right) \right. \\ & + \alpha \frac{K_{\rm s}}{\tau_{\rm t}} \frac{\alpha}{\lg \omega_{\rm s}} + \frac{F_{\rm s}^{\rm s}}{\tau_{\rm t}} \frac{1}{2 \sin \omega_{\rm s} S_{\rm sa}} + \frac{\omega_{\rm s}}{2} \sin^{\rm s} \alpha \cos^{\rm s} \left( r + P \right) \\ & + \alpha \frac{\cos \omega_{\rm s}}{\lg \omega_{\rm s}} \sin^{\rm s} \frac{\alpha}{2} + \frac{T}{\tau_{\rm t}} \frac{1}{\lg \omega_{\rm s}} S_{\rm sa} + \alpha \frac{T}{\tau_{\rm t}} \cos \left( r + P \right) \\ & - \alpha \frac{T_{\rm s}}{\tau_{\rm t}} \frac{\sin \frac{\alpha}{2}}{\lg \omega_{\rm s}} + \alpha \cos \omega_{\rm s} \cos \left( r + P \right) - \alpha \frac{\cos \omega_{\rm s}}{\lg \omega_{\rm s}} \sin \frac{\alpha}{2} \\ & - 2 \alpha \cos \omega_{\rm s} \sin^{\rm s} \frac{\alpha}{2} \cos \left( r + P \right) \right\} . \end{split}$$

Die Maxima der einzelnen Glieder haben hier folgende Werthe: + 57′, - 43″2°,  $\mp$  0°04°, + 0°143°, + 0°19°, + 0°000012°, + 0°000018°, + 22°14°,  $\pm$  0°0056°, - 0°0037°,  $\pm$  0°33°, - 0°22°,  $\mp$  0°000056°.

Die Glieder  $\mp$  0.761, + 0.743,  $\pm$  0.733, - 0.722, deren Vernach-lassigung vielleicht Bedenke erregen könnte, haben ihr Maximum, wenn  $\alpha$  seinen grössten Werth erreicht, d. h. wenn der Mond im Horizont des Beobachkungsortes steht; in diesem Falle kann jedoch die Summe der vier Glieder höchstens auf + 0.750 anwachsen; bei grösserer Höhe des Mondes ist sie stets noch kleiner. Wir durfen daher diese, sowie alle kleineren Glieder vernachlässigen; nur das Glied 0.719 soll beibehalten werden.

Die Gleichung des Kernschattens

$$y^i+z^i=\tfrac{a^i\cdot (K-x)^i}{K^i-a^i}$$

nimmt somit bei Berücksichtigung aller parallactischen Glieder, welche 4" erreichen können, die Form an

$$= K^{1} \tau_{1}^{1} \sin^{1} \phi_{1} - a^{2} \tau_{1}^{1} \sin^{1} \phi_{2}$$

$$= K^{1} a^{1} - 2 K a^{1} \tau_{1} \cos \phi_{1} + a^{1} \tau_{1}^{1} \cos^{2} \phi_{1} - 2 K a^{1} \tau_{1} + 2 a^{2} \tau_{1} \tau_{1} \cos \phi_{1} + a^{1} \tau_{1}^{2}$$

$$= (K^{1} a^{1} - 2 K a^{1} \tau_{1} + a^{1} \tau_{1}^{1}) + 4 K a^{1} \tau_{1} \sin^{1} \frac{\phi_{1}}{2} - a^{1} \tau_{1}^{1} \sin^{1} \phi_{1}$$

$$- 2 K a^{1} \tau_{1} + 2 a^{2} \tau_{1} \tau_{1} \cos \phi_{1} + a^{1} \tau_{1}^{1}$$

Vernachlässigen wir, wie schon im § 3, so auch hier das Glied  $4~K~a^*~\tau_*$  sin $^*\frac{\omega_*}{\omega_*}$ , so bleibt

$$\begin{split} \sin^2 \omega_i &= \left(\frac{a}{\epsilon_i} - \frac{a}{K}\right)^t - 2\left(\frac{a}{\epsilon_i} - \frac{a}{K}\right) \frac{a\,\xi}{K\,\tau_i} + \left(\frac{a\,\xi}{K\,\tau_i}\right)^t, \\ \sin \omega_i &= \frac{a}{\tau_i} - \frac{a}{K} - \frac{a\,\xi}{K\,\tau_i} = \frac{a}{K\,\tau_i}\left(K - \tau_i - \xi\right). \end{split}$$

Diese Gleichung ist ganz frei von a und P, hieraus folgt zunachst Satz III. Beschreibt nan um das Auge eines auf der Erdoberflüche ganz beliebig aufgestellten Beobachters die Kugel, auf welcher der scheinbare Mondrand liegt, so erscheint die Durchschnittslinie dieser Kugel mit dem Schattenkegel dem Beobachter ganzu ebenso, wie einem in der Axe des Kegels stehenden Beobachter annlich, abgesehen von der Erdabplattung, als Kreis. Die thatsächliche Gurve kann sich von der Kreisperiphere in ein meine Bogensecunde entfernen. Bezeichnen wir die geocentrischen Grössen mit dem Index 0, so ist nach § 3

$$\sin \omega_b = \frac{a}{r_b} - \frac{a}{K} = \frac{a}{K r_b} (K - r_b)$$
,

mithin wird

$$\frac{\sin \omega_{t}}{\sin \omega_{0}} = \frac{r_{0}}{r_{t}} \cdot \frac{K - r_{t} - r}{K - r_{0}}$$

Nun ist

$$\tau_0 \cos \omega_0 = x$$
,  
 $\tau_1 \cos \omega_1 = x - 1$ .

Setzen wir hier  $\cos \omega_n = \cos \omega_1 = 1$ , so folgt

also

$$\begin{split} \tau_{\scriptscriptstyle 0} &= \tau_{\scriptscriptstyle 1} + \mathfrak{x} \;, \\ K &- \tau_{\scriptscriptstyle 1} - \mathfrak{x} = K - \tau_{\scriptscriptstyle 0} \;, \\ \frac{\sin \omega_{\scriptscriptstyle 1}}{\sin \omega_{\scriptscriptstyle 0}} &= \frac{r_{\scriptscriptstyle 0}}{r_{\scriptscriptstyle 0}} \;. \end{split}$$

Ist wie früher  $\varrho$  der lineare,  $h_i$  der scheinbare und  $h_i$  der geocentrische Mondradius, so ist  $\varrho=\tau_i$  tg  $h_i=\tau_i$  tg  $h_i$ , also

$$\frac{\sin \omega_1}{\sin \omega_0} = \frac{r_0}{r_1} = \frac{\lg h_4}{\lg h_0}$$

Ersetzen wir hier endlich noch die Sinus und Tangenten durch die Bögen, so haben wir die einfache Beziehung:

$$\frac{\omega_t}{\omega_o} = \frac{h_t}{h_o}$$

Satz IV. Die parallactische Vergr
üsserung des Halbmessers des Schattenkreises ist der des scheinbaren Mondhalbmessers genau proportional.

Die Berechnung einiger Beispiele ergab, dass der Fehler des letzten Satzes noch keine Hundertstelsecunde beträgt.

Aus den Sätzen III und IV folgt unmittelbar

Satz V. Bei einer Mondfinsterniss erscheinen die Schattenphänomene am scheinbaren Mondrande jedem Beobachter auf der Erde genau ebenso, wie sie einem Beobachter im Erdmittelpunkte erscheinen würden, uur sind alle Distauzen in demselben Verhältnisse vergrüssert, wie der scheinbare Mondradius.

Benutzt man bei der Messung dieser Distanzen den scheinbaren Monddurchmesser selbst als Massstab, so verschwindet auch noch diese parallactische Vergrüsserung aus den Beobachtungsergebnissen. Letzteres ist speciell der Fall bei allen Beobachtungen des Anfanges und Endes der Finsterniss sowie der Totalität, denn hierbie beobachten an die Momente, in denne der nächste Punkt des Schattenkreises vom Mondmittelpunkte gerade um den scheinbaren Mondradius entfernt ist. Diese Momente werden daher auf der ganzen Erde in demselben Augenblicke gesehen, in welchem sie auch ein Beobachter im Mittelpunkte der Erde beobachten würde.

Da nach § 4 die grösste Differenz zwischen einem Radiussvector der Schattenellipse und dem Radius des bisher betrachteten Schattenkreises 12°6 beträgt, so sind die Producte dieser Grösse in die parallactischen Glieder vollkommen unmerklich, wie schon im § 2 erwähnt wurde. Was wir über die Wirkung der Parallaze für den kreisförnigen Schatten abgeleitet haben, gilt daher auch unverindert für den elliptischen.

6.

Nach Satz V braucht man auch bei der Ein- und Austritten des Mondrandes nur den geocentrischen Schattenkreis zu kennen. Dieser entsteht nun nach dem vorigen Paragraphen durch den Durchschnitt des Schattenkegels mit einer Kugel um den Erdmittelpunkt vom Radius  $\tau_i = \tau_i \cos h_i$ . Die Ebene dieses Schattenkreises steht seuhrecht auf der Schattenave und hat vom Erdmittelpunkte den Abstand  $x = \tau_i \cos \theta_i = \tau_i \cos \theta_i \cos \theta_i$ .

ist also identisch mit der in den Sätzen I und II auf der x-Axe senkrecht errichteten Ebene. Für alle Beobachtungen am Mondrande liefern daher die Formeln des Sätzes II sofort den richtigen Werth von  $a_i$  wenn man darin für  $\pi$  die Parallave des Mondmittelpunktes setzt.

Alle Punkte im Inneren der Mondscheihe liegen jedoch der Erde näher, als der scheinbare Mondrand; mithin muss  $\omega$  für diese Punkte einen grösseren Werth haben.

Sei F die selenocentrische Enfernung des beobachteten Punktes vom scheinbaren Mittelpunkte der Moudscheite, so ist seine Entfernung vom Erdmittelpunkte  $r_s = \varrho$  cos F und das in Satz II vorkommende  $r_s = (r_s = \varrho \cos F)$  cos  $\omega$ . Nach dieseun Satze soll  $\omega$  mit einer Parallaxe  $\pi_s$  berechnet werden, welche der Enfernung

$$\frac{r_t}{\cos u \cos h} = \frac{r_t - \varrho \cos F}{\cos h}$$

entspricht. Da wir  $\cos h = 1$  setzen können, so wird

$$\pi_{\scriptscriptstyle \rm I} = \frac{\pi \, r_{\scriptscriptstyle \rm I}}{r_{\scriptscriptstyle \rm I} - \varrho \, \cos F} = \pi \, \Big( 1 + \frac{\varrho}{r_{\scriptscriptstyle \rm I}} \, \cos F \Big) = \pi \, \Big( 1 + \frac{\varrho}{\alpha} \, \pi \, \sin \, 1^{\circ} \, \cos \, F \Big).$$

Sei zur Abkürzung

$$f = \pi^2 \frac{\varrho}{a} \sin 1^n$$

so folgt nun nach Satz II für den betreffenden Punkt

$$\omega_{a_1} = \pi + II - II + f \cos F = \omega_a + f \cos F$$
;

u würde eigentlich übergehen in

$$u = (\pi + II) \frac{p}{2} \cos^2 D + f \frac{p}{2} \cos^2 D \cos F;$$

doch da f nur zwischen 13.8 und 18.6 schwankt, so bleibt das letzte Glied stets kleiner, als 0.063, ist also unmerklich.

Ist  $\chi$  der Winkel zwischen der kleinen Axe  $\omega_b$  und einem beliebigen Radiusvector  $\omega$  der Schattenellipse ( $\chi$  wird nach Art der Positionswinkel von Nord über Ost nach Süd gezählt), so ist, da  $n^* < 0.0008$  zu vernachlässigen ist,

$$\omega = \omega_a - u \cos^2 \chi$$
.

Der theoretische Werth von  $\infty$  folgt demnach immer aus den Formeln  $\omega_a = \pi + H - H$ ,

$$u = (\pi + II) \frac{p}{2} \cos^2 D, \quad f = \pi^{\epsilon} \frac{\varrho}{a} \sin \theta^{\epsilon},$$
  

$$\omega = \omega_a - u \cos^{\epsilon} \chi + f \cos F.$$

Fur die Beobachtungen am Mondrande verschwindet die letzte Correction von selbst, da dann  $\cos F = 0$  wird. Diese Formeln können  $\omega$  nicht um 1" falsch ergeben.

ί.

Bevor wir die Formeln zur Berechnung eines Werthes von 60 aus den Beobachtung en aufstellen, müssen einige allgemeine Bemerkungen eingeschaltet werden. Bei den Zusammenstellungen der Finsternisselemente in den astronomischen Ephemeriden werden zur Berechnung des Mondortes jetzt stets die Rectascension und Decination des Mondes zur Zeit der Opposition in Rectascension und die stündlichen Veränderungen dieser beiden Coordinaten angegeben. Zu einer scharfen Berechnung sind diese Elemente nicht zu gebrauchen, da die Vernachlassigung der zweiten Differenzen Fehler von mehr als 5" verursacht. Nicht viel besser stand es hiermit früher, als man statt dessen die Länge und Breite des Vollmondes und deren stündliche Veränderungen angab. Denken wir uns nämlich in einem rechtwinkligen Coordinatensystem die Zeit als Abscisse und die Mondlangen als Ordinaten aufgetragen, so wird die wahre Längenbewegung des Mondes während der Dauer der Finsterniss (im Maximum 4 Stunden)



etwa durch die Curve AB dargestellt sein. Bei Benutzung jener in den Epheneriden angegebenen Elemente setzt man jedoch an deren Stelle die im Punkte  $\beta$  an die Curve gelegte Tangente, welche sieh in den Punkten  $\alpha$  und  $\beta$  um so weiter von Aund B entfermen kann, je grösser die Zeit AB ist. Diese Dauer zwisehen

der ersten und letzten Beobachtung wird am grössten bei tolalen Finsternisen, und gerade bei diesen wird dann auch noch das nittelste Stück der Tangente, welches sich der Curve am besten anschliesst, gar nicht benutzt. Eine analoge Betrachtung gilt für die Breite.

Will man die Aenderung der Länge und Breite des Mondes überaupt linear annehmen, was für die Rechnung eine sehr grosse Erleichterung verschafft, so kann man einen weit besseren Anschluss an die thatsichliehe Mondbewegung dadurch erreichen, dass man die Gerade  $\alpha\beta$  nicht in dem einen Punkte  $\beta$ , sondern in zwei Punkten  $\gamma$  und  $\delta$  mit der Curve AB zusammenfallen lässt. Die Zeitpunkte  $t_i$  und  $t_j$ , zwischen denen also dann linear interpolitt wird, wählt man bei partieller Finsternissen so, dass hei  $t_i$ , etwa 1 und bei  $t_i$ , 1 der ganzen Finsternissen soo, dass hei  $t_i$ , etwa 1 und bei  $t_i$ , 1 der ganzen Finsternissen soo, dass hei  $t_i$ , etwa 1 und bei  $t_i$ , 1 der ganzen Finsternissen soon, dass hei  $t_i$ , in die Mitte der Anstrittsboabechtungen,  $t_i$  in die Mitte der Anstrittsboabechtungen.

Bei diesem Verfahren ist der Einfluss der zweiten Differenzen

in der Mondbewegung auf sein Minimum herabgedrückt, und der Fehler bleibt auch in der Länge fast immer kleiner, als 1"; in Breite ist er viel kleiner. In ganz ungünstigen Fällen kann der Längenfehler allerdings immer noch auf ca. 1"3 anwachsen. Bei schärferen Beobachtungen wird man also dieses Glied noch berücksichtigen müssen, was leicht auf verschiedene Arten geschehen kann. Bei den folgenden Rechnungen werde ich dasselbe jedoch vernachlässigen, da selbst ein Rechenfehler von 2" gegen die Unsicherheit der Beobachtungen noch nichts zu bedeuten hat. Es sei bemerkt, dass dieses der grösste theoretische Fehler ist, welcher in den folgenden Rechnungen enthalten ist; bei einer Verschärfung der Rechnung müsste man also diesen zuerst beseitigen, dann erst würde die Berücksichtigung der parallactischen Glieder in Frage kommen, wodurch jedoch die Rechnung wesentlich complicirter würde. Einen vorläufig unvermeidlichen weit grösseren Fehler anderer Natur werden wir in § 9 noch kennen lernen.

Die kleinen sphärischen rechtwinkligen Dreiecke, deren Hypotenuse  $\omega + h$  im Maximum =  $63^\circ$  ist, werden wir als ebene behandeln.

8.

Nach diesen Bemerkungen bedürfen die folgenden Formeln keiner weiteren Erklärung.

Man berechnet aus den Tafeln für die beiden Zeitpunkte  $t_i$  und  $t_j$  (mittl. Greenw. Zeit):

 $l_i$  und  $l_j$  scheinbare Länge,  $b_i$  und  $b_j$  scheinbare Breite des  $\pi_i$   $\pi_j$  Parallaxe,  $h_i$   $h_j$  Halbmesser Mondes,  $l_i^*$   $h_j^*$  mittlere Länge,  $l_j^*$  und  $l_j$  scheinbare Länge der Erde.

Ferner für den Zeitpunkt  $l_{\rm s}=\frac{l_{\rm t}+l_{\rm s}}{2}$  :

$$A_{\rm s} = \frac{J_{\rm t} + J_{\rm 2}}{2} \,, \quad \pi_{\rm t} = \frac{\pi_{\rm t} + \pi_{\rm 2}}{2} \,, \quad h_{\rm t} = \frac{h_{\rm t} + h_{\rm 3}}{2} \,,$$

Q, mittlere Länge des aufsteigenden Knotens der Mondbahn in der Ekliptik, H Halbmesser der Sonne,

e. Schiefe der Ekliptik.

Nun werden der Reihe nach folgende Ausdrücke berechnet:

 $L_{_1} = l_{_1} - A_{_1}$  Länge des Mondes vom Mittelpunkte des Schatten- $L_i = l_i - A_i$ kreises an gezählt;

$$dL = \frac{L_3 - L_1}{t_3 - t_1}$$

$$db = \frac{b_3 - b_1}{t_2 - t_2}$$

$$d\pi = \frac{x_3 - x_4}{t_3 - t_1}$$

 $t_{...}=t_{..}-\frac{L_{i}}{L_{I}}$ , Zeit der Opposition in Länge (Vollmond);

$$b_{ec{arphi}}=b_{_1}-rac{L_{_1}}{dL}\;db$$
 , Breite des Mondes zur Zeit  $t_{arphi}$  ;

tg  $\nu = \frac{db}{dI}$ , Winkel der Mondbahn gegen die Ekliptik, beim Q positiv;

$$dS = \frac{dL}{\cos \nu}$$
, Bewegung des Mondes in der Bahn in 1';

 $e=b_{,a}\cos \nu$ , kürzester Abstand des Mondes von der Schattenaxe:  $t=t_{\varphi}-\frac{b_{\varphi}\sin \varphi}{dS}$ , Zeit der Mitte der Finsterniss;

$$\sin D_{\epsilon} = -\sin A_{\epsilon} \sin \epsilon_{\epsilon}$$
, Declination der Sonne;

tg  $q=\cos A_{\rm t}$  tg  $\epsilon_{\rm t}$ , Winkel der kleinen Axe der Schattenellipse mit dem Breitenkreise:

$$\begin{split} & \omega_{i_t} = \pi_i + H_i - H_i \,, \\ & u = (\pi_i + H_i) \, \frac{p}{2} \cos^i b_i = [7.52629 - 10] \, (\pi_i + H_i) \cos^i b_i \,, \\ & f = \pi_i^{-1} \, \frac{\theta}{4} \, \sin 1'' = [1.12166 - 10] \, \pi_i^{-1} \,. \end{split}$$

Zur Berechnung der Libration benutzen wir die von Excke im Berliner Jahrbuche für 1843 angegebenen Formeln, nur ersetzen wir den von Encke angewendeten Werth der Neigung des Mondaquators J = 4° 28′ 47″ durch die genauere von Wichnass gefundene Zahl 1° 32′ 9" und geben den Tafeln eine bei Mondlinsternissen bequemere Form, Man entnimmt aus Tafel I (am Schlusse) mit den Argumenten  $l_1 = Q_1$  und  $l_2 = Q_2$  die Werthe von B',  $\frac{1}{B'}$ , E' und C und hat dann

$$\begin{array}{lll} b_i' = B_i' - b_1 \text{ und } b_3' = B_2' - b_2 \text{, Libration in Breite,} \\ l_i' = l_i - l_i^* - D_i'b_i' + E_i', \\ l_3' = l_1 - l_2^* - D_3'b_3' + E_3', \end{array} \label{eq:bi}$$
 Libration in Lange.

C ist der Winkel zwischen dem durch die scheiubare Mondmitte gehenden Mondmeridiane und dem Breitenkreise; er ist positiv, wenn sich der nördliche Theil des Breitenkreises westlich (rechts) von dem genannten Meridiane befindet.

### 9.

Befinden sich unter den Beobachtungen Ein- und Austritte von Ran dern irgendweicher Mondgebirge, so ist zur Ermittelung der selenographischen Coordinaten des beobachteten Punktes folgende Zeichnung zu entwerfen:

In einer kleinen Karte des Vollmondes, welche die beoluschteten Punkte in mittlerer Libration enthält, legt man im Mittelpunkte 0 an den ersten (mittelsten) Mondmeridian den Winkel  $C+\nu$  an. Der nördleiche Theil des so erhaltenen Breitenkreises liegt bei positiven  $C+\nu$  westlich vom Mondmeridiane. Ist der Badius des Mondes in der Karte =n Millimeter (es genügt etwa n=20 nun), so sei

$$e' = \frac{n}{h_a} e$$
,  $dS = 60 \frac{n}{h_a} dS$  (Bewegung des Schattens in 1<sup>n</sup>).

Man trägt von  $\theta$  aus auf dem Breitenkreise  $\theta A = e'$  ab und zwar bei positivem e nach Süden, bei negativem e nach Norden. In A errichtet man eine Gerade, die Bahn des Schattenechteruns, senkrecht auf  $\theta A$  und trägt auf derselben mit Hulfe der Grösse dS' den Ort des Schattenmittelpunktes etwa von 10 zu 10 Minuten ein. A muss hierbei auf den Zeitpunkt  $t_e$  fällen. Die Bewegung des Schattens erfolgt von Osten nach Westen.

Ist nun zur mittl. Greenw. Zeit  $\vartheta$  der Ein- oder Austritt des Randes der Formation B beobachtet worden, so verbindet man Bmit dem Punkte  $\vartheta$  der Schattenbahn und misst den Winkel  $\varphi$  zwischen diesen beiden Geraden; die Zählung von  $\varphi$  erfolgt von der östlichen Seite der Schattenbahn aus entgegen der Bewegung des Ultrzeigers. Gleichzeitig ergiebt die Länge der Verbindungslinie  $\vartheta B$  einen Näherungswerth für die heobachtete Grösse des Schattenhalbmessers, sodass man also schon bei dieser Construction stark misslungene Beobachtungen erkennen und ausscheiden kann.

In einer guten grossen Mondkarte zieht man nun eine Gerade, welche mit den Parallelkreisen der Karte den Winkel

$$z = q - (90^{\circ} + C + \nu)$$

bildet; x wird wie q von Ost über Süd gezählt. Diese Gerade verschiebt man sich selbst parallel so lange, bis sie den Rand der beobachteten Formation berührt und zwar im Osten, wenn »Rand I«, im Westen, wenn »Rand II« beobachtet wurde. Da wo die Berührung stattfindet, liegt der beobachtete Punkt, dessen selenographische Coordinaten man nun aus der Karte entnimmt. Es ist klar, dass bei der letzten Construction eine ziemliche Willkür dadurch entstehen muss. dass die Ränder der grösseren Wallebenen auf einer grossen Mondkarte eine ganz ansehnliche Breite haben. Der hierdurch entstehende Fehler wird jedoch wieder eliminirt, wenn beide Ränder beobachtet sind und man in der Karte dann jedesmal dieselbe Grenzlinie wählt, etwa den höchsten Kamm des Ringwalles. Um diese Elimination möglichst gut durchzuführen, bedient man sich mit Vortheil einer ganz einfachen Mondkarte, auf welcher die Wälle der Ringgebirge nur durch eine einzige Linie markirt sind. Ich habe zu diesem Zwecke im Massstabe der Madler'schen Mondkarte eine Karte gezeichnet, in welche die Umrisse der beobachteten Formationen in geeigneter Weise nach Mädler eingetragen wurden. Das von Grad zu Grad vollständig ausgeführte Gradnetz erlaubte dann leicht, die Coordinaten auf 0°1 sicher zu entnehmen.

An dieser Stelle mag bemerkt werden, dass nach dem Urtheile von Bern und Madern der wahrscheinliche Fehler der Positionen erster Ordnung, d. h. der am seharfsten bestimmten Punkte der Mondober-fläche auf 6' bis 8' in selenographischer Länge und Breite in der Nahe des Centrums der Mondscheibe zu sehätzen ist; gegen den Band hin ninmt er beträchtlich zu. Die Lage der Punkte zweiter Ordnung, welche nur durch wenige Messungen an die Punkte erster Ordnung angeschlossen wurden, kann kaum als tiss auf 30 bis 40' sicher betrachtet werden, und noch unsicherer sind endlich alle Formationen, wie die Kraterwälle etc., welche nur nach dem Augenasse in die Karte einzezeichnet sind. Beachtet nan anu, dass im

Centrum der Mondscheibe ein Grad selenographischer Länge oder Breite bei mittlerer Entfernung des Mondes einen geocentrischen Bogen von 46"6 überspannt, so sieht man, dass durch diese Unsicherheit der selenographischen Coordinaten in unserer Berechnung von ω selbst bei Punkten erster Ordnung noch ein wahrscheinlicher Fehler von ca. 2" entstehen wird; bei Punkten zweiter Ordnung wächst dieser auf 10" und bei allen übrigen Objecten wird er ganz gut 20" betragen können. Diese vorläufig unvermeidlichen Fehler müssen wir als zufällige Fehler betrachten, und es ist sicher, dass sich ihr Einfluss im Mittel aus vielen Beobachtungen fortheben wird; ihre ganze Wirkung wird die sein, dass die wahrscheinlichen Fehler der einzelnen Beobachtungsreihen dadurch vergrössert werden. Dieses ist der Hauptgrund, weshalb man erwarten darf, dass die mikrometrischen Messungen des Schattens sowie die photographischen Aufnahmen ein genaueres Resultat liefern werden, als die Ein- und Austrittsbeobachtungen.

Wie man aus dem Gesagten ersicht, ist es vollkommen der Schärfe der Grundlagen entsprechend, wenn man die Positionen auf der Karte auf 0°1 genau abgreift.

Um bei den am häufigsten beobachteten Objecten diese Construction auf der Karte nicht immer wiederholen zu müssen, habe ich für diese die Coordinaten einer Anzali von Punkten des Walles in Tafel III mit dem Argomente  $\varphi=(C+\nu)$  tabulirt. Bei Eintritt von Rand I und Austritt von Rand II benutzt man die linken Argomente, bei Eintritt von Rand II und Austritt von Rand I die rechten.

Es seien nun \( \lambda\) und \( \rho\) die selenographische Litnge und Breite des beobachteten Punktes und \( \theta\) die mittlere Greenwicher Zeit der Beobachtung. Alsdann findet man den durch die Libration veränderten Ort aus den Formeln

$$\begin{split} \lg N &= \frac{\lg \beta}{\cos \left( (\lambda - l') \right)} \,, \\ \cot M &= \frac{\cos N \lg \left( (\lambda - l') \right)}{\sin \left( (N - b') \right)} \,, \\ \lg F &= \frac{\lg \left( (N - b') \right)}{\sin M} \,. \end{split}$$

F ist die selenocentrische Enfernung des Punktes von den scheinbaren Centrum der Mondscheibe, M der Winkel zwischen den Bogen F und dem scheinbaren Mondaquator, d. h. der Linie, welche auf dem durch die scheinbare Mitte gehenden Meridiane senkreht steht. N liegt im ersten Quadranten und hat das Vorzeichen von §: M wird von der westlichen Seite des Mondaquators nach Norden gezählt.

Da F und M für jede der beobachteten Formalionen einzeln zu berechnen sind, so ergiebt die Berechnung der drei letzten Gleichungen bei der Verarbeitung eines umfangreichen Beobachtungsmaterials eine nicht unbeträchtliche Arbeit. Diese wird nun ganz ausserordenlich verringert durch folgendes Verfahren.

Setzen wir in obigen drei Formeln I = b' = 0, so ergeben einfach die Transformation der selenographischen Coordinaten  $\lambda$  und  $\beta$  in ein zweites Coordinatensystem M, F, welches den vorigen ähnlich ist, nur ist der Pol in den scheinbaren Mittelpaukt der Mondscheibe gelegt. Trägt man also auf der schon erwähnten grossen Mondkarte auch dieses letztere System (bestehend aus geraden Linien durch den Mittelpaukt der Karte und concentrischen Kriesen ebenfalls von Grad zu Grad ein, so kann man, sohald  $\lambda$  und  $\beta$  für einen Punkt gegeben wird, direct M und F aus der Karte entehenen.

Sind I' und b' nicht Null, so wird man mit anderen Werthen (2) und ( $\beta$ ) im ersten System in die Karte eingehen nussen, un die richtigen Werthe von F und M aus dem zweiten System zu erhalten. Es zeigt sich nun, dass man hat

$$\begin{aligned} \langle \lambda \rangle &= \lambda - l' + \lambda' \,, \\ \langle \beta \rangle &= \beta - b' + \beta' \,. \end{aligned}$$

wo  $\lambda'$  und  $\beta'$  kleine Correctionsglieder sind, welche von  $\lambda$ ,  $\beta$ , I' und b' abhängen. Durch eine einfache Rechnung findet man mit hinreichender Schärfe

$$\lambda' = -b' \left[ \sin \left( \lambda - I \right) \lg \beta \right],$$
  
$$\beta' = +b' \left[ 1 - \cos \left( \lambda - I \right) \right].$$

Für  $b = 1^\circ 0$  findet nun so für  $\lambda'$  und  $\beta'$  folgendes Täfelchen:

$$b' = 1^{\circ}0$$

					λ'				
λ — l'	β	$\beta = 0^{\circ}$	100	20°	30°	40°	50°	60°	70°
0°	090	0.00	000	000	000	000	000	000	000
10	0.0	0.0	0.0	0.4	0.1	0.2	0.2	0,3	0,5
20	0.4	0,0	0.4	0.4	0.2	0.3	0.4	0.6	0.9
30	0.4	0.0	0.1	0.2	0.3	0.4	0,6	0.9	1.4
40	0.2	0.0	0.1	0.2	0.4	0.5	0.8	1.1	1.8
50	0.4	0.0	0.1	0.3	0.4	0.6	0.9	1.3	2.1
60	0.5	0.0	0.1	0.3	0.5	0.7	1.0	4.5	2.4
70	0.6	0.0	0.2	0.3	0.5	0.8	4.4	1.6	2.6

Bei Mondfinsternissen kann b' hochstens 121 betragen; stellt man sich also durch Multiplication obiger Werthe von  $\lambda'$  und  $\beta'$  mit  $0.2\ldots 1.1$  die entsprechenden Tabellen für b'=0.1,  $0.2\ldots 1.1$  her, so hat man nur die betreffende Tabelle jedesmal auszuwählen, welche dann direct  $\lambda'$  und  $\beta'$  giebt. Man fügt diese kleinen Glieden nebst -I und -b' zu  $\lambda$  und  $\beta'$  hinzu und entnimmt dann direct aus der Karte die richtigen Werthe von F und M. Hierdurch ist die sonst recht lastige Librationsrechnung auf die allergeringste Arbeit reducirt.

Sind so F und M gefunden, so hat man weiter

$$\psi = M + C + \nu,$$

$$v = h \sin F \cos \psi,$$

$$w = h \sin F \sin \psi,$$

$$\lg \mu = \frac{(9 - t_b) dS - v}{e + w},$$

(µ liegt bei den Austritten im ersten oder zweiten, bei den Eintritten im dritten oder vierten Quadranten),

$$\omega' = \frac{(\vartheta - t_0) \ dS - v}{\sin \mu} = \frac{e + w}{\cos \mu} \cdot$$

Für die Beobachtungen des Ein- und Austrittes der Mondründer ist die Rechnung weit einfacher. Man hat unmittelbar

$$\lg \mu = \frac{(9 - t_0) dS}{e},$$

$$\omega' \pm h = \frac{(9 - t_0) dS}{\sin \mu} = \frac{e}{\cos \mu}.$$

Das obere Zeichen gilt hier für die äussere Berührung, das untere für die innere.

 $\omega'$  ist das Endresultat, der beobachtete Radius des Schattenkreises. Den theoretischen Radius  $\omega$  ergeben folgende Formeln: In § 8 sind  $\omega_{ac}$ ,  $d\pi$ , q, r, u und f berechnet; weiter ist

$$\chi = \mu - \langle \nu + q \rangle$$

alsdann ist der theoretische Werth

$$\omega = \omega_{at} + (\vartheta - t_t) d\pi - u \cos^t \chi + f \cos F.$$

Den Betrag von  $u \cos^2 \chi$  findet man in Tafel IV, den von  $\int \cos F$  in Tafel V.

Die Vergrösserung des Schattens endlich ist

$$V = \omega' - \omega$$

und der in der Einleitung besprochene Vergrösserungscoefficient würde definirt sein durch

Vergrösserungscoefficient 
$$=\frac{1}{A}=\frac{\omega'-\omega}{\omega}=\frac{V}{\omega}$$

Ob die Berechnung dieses Coefficienten berechtigt ist, werden wir später untersuchen.

### 11.

Bezeichnen wir die Differentiation durch  $\mathcal{A}$ , so folgt aus den Formeln der  $\S\S$  8 und 10

$$\begin{split} A \dot{e} &= \frac{A \, e}{\cos \mu} + \frac{A \, w}{\cos \mu} + (e + w) \sin \mu \, \frac{A \, \mu}{\cos^2 \mu} \,, \\ \frac{A \, \mu}{\cos^2 \mu} &= \frac{d \, S \, A \, g}{e + w} - \frac{d \, s}{e + w} - \frac{A \, e}{e + w} - \frac{A \, e \, \lg \mu}{e + w} - \frac{A \, e \, \lg \mu}{e + w} \,, \\ \text{mithin} &\quad A \dot{e} &= A \, e \, \cos \mu + A \, w \, \cos \mu - J \, v \, \sin \mu \\ &\quad - J \, t \, d \, S \, \sin \mu \, + J \, \phi \, d \, S \, \sin \mu \, . \end{split}$$

Ferner wird

$$\begin{split} \mathcal{A}e &= \mathcal{I}b_1 \cos r - \mathcal{A}L_1 \sin r \,, \\ \mathcal{A}t_2 &= -\left(\mathcal{A}b_1 \sin r + \mathcal{A}L_1 \cos r\right) \frac{\cos r}{dL} \,, \\ dS \,\mathcal{A}t_2 &= -\mathcal{A}b_1 \sin r - \mathcal{A}L_1 \cos r \,. \end{split}$$

Die Werthe von dL und db, also auch  $\nu$  kann man stets als fehlerfrei annehmen. Endlich ist noch

$$A w \cos \mu - A v \sin \mu = A h \sin F \sin (\psi - \mu)$$
  
+  $A w h \sin F \cos (\psi - \mu) + A F h \cos F \sin (\psi - \mu)$ .

Die Einsetzung aller dieser Ausdrücke ergiebt für die Ein- und Austritte der Mondflecken

$$A \omega' = A L_i \sin(\mu - r) + A b_i \cos(\mu - r) + A \partial dS \sin \mu + A h \sin F \sin(\psi - \mu) + A \psi h \sin F \cos(\psi - \mu) + A F h \cos F \sin(\psi - \mu).$$

Analog findet man für Anfang und Ende der Finsterniss

$$J \omega = J L_i \sin{(\mu - r)} + J b_i \cos{(\mu - r)} + J \vartheta \, dS \sin{\mu} - J h$$
, und für Anfang und Ende der Totalität

$$A\omega = AL_1 \sin(\mu - \nu) + Ab_1 \cos(\mu - \nu) + Ab dS \sin\mu + Ah$$
.

Haben also mehrere Beobachter den Ein- oder Austritt desselben Objectes beobachtet, so wird man die Rechnung nur für eine Zeit  $\sigma_s$ , am hesten das arithmetische Mittel aller  $\sigma_s$ , durchführen und aus dem für  $\sigma_s$  gefundenen Werthe  $\omega_s'$  die übrigen  $\omega$  dann nach der Formel erhalten

$$\omega' = \omega_{_{\! 0}}' + (\vartheta - \vartheta_{_{\! 0}}) \ dS \sin \mu$$
 ,

# II. Berechnung der Vergrösserung

aus den Ein- und Austrittsbeobachtungen seit 1800,

#### 12.

Uni das Beobachtungsmaterial zu sammeln, wurden folgende Werke durchgesehen:

- A. N. . . . Astronomische Nachrichten (bis Band 120).
- B. J. . . . . Berliner astronomisches Jahrbuch.
- M. N. . . . . Monthly Notices (bis Band 44).
- Z. M. C. . . Zacu, Monatliche Correspondenz.
- Z. G. A. . . Zacii, Correspondance astronomique.
- Z. f. A. . . Lindenau und Bohnenberger, Zeitschrift für Astronomie.

Selenogr... Beer und Mädler, Selenographie.

- M. M. . . . . M\u00e4nter, Ueber Mondfinsternisse, Theil III der Beitr\u00e4ge zur phys. Kenntniss der himmlischen K\u00fcrper.
- O-Gyalla . Beobachtungen augestellt am astrophysikalischen Observatorium in O-Gyalla (bis Band 8).

Toulouse . . Annales de Toulouse (Band 1 und 2).

Abhardt 4 K. S. Gerellech 4, Wissenech, XXIX.

Berlin . . . . Astronomische Beobachtungen auf der Kgl. Steruwarte in Berlin.

Greenwich . Astr. Observations made at the Royal Observatory Greenwich (bis 4886).

Ausserdem gestattete Herr Professor Voeaz mir freumflichst die Benutzung der in Potsdam aufbewahrten Scnnur'schen Manuscripte, wofür ich ihm an dieser Stelle noch meinen besonderen Dank ausspreche. Um hei der späteren Berechnung der sehr zahlreichen Scnnur'schen Beobachtungen eine ganz originalgetreue Copie zu besitzen, photographirte ich den in den A. N. noch nicht publicirten Theil des Manuscriptes, ein Verfahren, welches ich für ühnliche Fälle bestens empfehlen kann.

Gleich von Anfang an hatte ich mich darauf beschränkt, nur die Finsternisse seit 1800 der Berechnung zu unterwerfen, da zu vermuthen war, dass die älteren Beobachtungen aus verschiedenen Gründen zu ungenau sein würden. Diese Annahme wurde vollkommen bestätigt durch das Resultat von Baoarsax, welcher fand, dass von den Finsternissen des vorigen Jahrlunderts nur zwei (1790 Oct. 22 und 1797 Dec. 3) einigermassen genau beolachtet seien, und das die Beobachtungen desto mehr an Genauigkeit verlieren, je ferner sie liegen. Gegen diese Beschränkung wird also nichts einzuwenden sein.

In den genannten Werken fanden sich nun aus diesem Zeitraume gegen 4400 Beobachtungen von Mondfinsternissen.

Da bei der Beobachtung der meistens sehr undeutlichen Schattengrenze der persönlichen Auflässung des Beobachters ein schr weiter Spielraum gelassen ist, so wird man im Allgemeinen nur bei Finsternissen, welche von mehreren Beobachtern unabhängig beobachtet sind, durch Mittelbildung einen von persönlichen Fehlern einigermassen freien Werth für die Grösse des Schattens erhalten können. Es zeigte sich nun, dass dieser Auforderung nur 30 Finsternisse mehr oder weniger vollkommen entsprachen, und selbst von diesen mussten nach Vollendung der Rechnung noch zwei ausgeschlossen werden, da das Beobachtungsmaterial nicht ausreichend erschien. Von den genannten 30 Finsternissen waren gegen 1400 Beobachtungen vorhanden, von welchen noch ein kleiner Theil als unbrauchbar verworfen werden musste, weil sich die beobachteten Punkte der Mondoberfläche nicht int genütgender Schärfe feststellen liessen; liehrin gebörten z. B. alle

397

Beobachtungen der Ein- und Austritte der »Mare». Endlich wurde noch eine Anzalt einzehen Beobachtungen bei der in § 9 angegebenen Construction als stark misslungen erkannt und ausgeschieden. Nach allen diesen Abzügen-blieben im Ganzen 4021 Beobachtungen übrig, für welche dann die Berechung von ei ausgeführt wurde.

### 13.

Die zur Berechnung bestimmten Beobachtungen wurden zunächst auf mittlere Greenwicher Zeit reducirt. Der grösste Theil der Beobachtungen ist in mittlerer Ortszeit gegeben, sodass diese Reduction nur die Anbringung der Längenddifferenz erfordert. Bei einigen älteren Finsternissen sind die Beobachtungen in wahrer Zeit und bei einigen neueren in Sternzeit gegeben. In diesen Füllen konnte die Zeitgleichung resp, die Sternzeit in mittleren Mittage aus dem B. J. entnommen werden, da diese Grüssen auch sehon im Anfange dieses Jahrhunderts mit einer hier vollkommen ausreichenden Genauigkeit bekannt waren.

Die Längenunterschiede gegen Greenwich wurden dem B. J. für 1888 euthommen; erst wenn sich dieselben dort nicht vorfanden, wurde das geographische Verzeichniss der Connaissance des Temps für 1889 oder eine andere Quelle zu Rattle gezogen. Die angenommenen Zeidtifferenzen gegen Greenwich sind folgende:

Ort	Länge	QueHe
Åbo	- 4h29m 6:44	B. J. 1888
Adelaide	- 9 44 21,3	M. N. 39, 49
Altona	- 0 39 46,35	B. J. 1888
Athen	- 4 34 55	
Augsburg	- 0 43 36,56	Conn. 4889
Berlin, alte St	- 0 53 34.52	B. J. 1888
» neue St	- 0 53 34.91	
Bern	0 29 45.66	
Bonn	- 0 98 93.99	
Breslau	- 1 8 8.9	
Brussel	- 0 17 28.7	
Buchholz	- 0 59 9,52	B. J. 1827, 99
Cambridge	- 0 0 22.75	B. J. 1888
Casset	- 0 37 35.60	Conn. 4889
Catania	- 1 0 36.64	Anm. 1
Christiania	- 0 42 53.8	B. J. 1888
Danzig	- 1 14 39.6	D. V. 1000
Dorpat	- 1 46 53.5	
Dresden	- 0 54 54.84	
Düsseldorf	- 0 27 5.0	
		an an

Ort	Länge	Quelle
Eisenberg	- 0h47m50:01	
Fez	+ 0 20 5,24	
Genf	- 0 24 36.76	
Greenwich	0 0 0.00	
Gotha, Seeherg	- 0 42 55.86	B. J. 1867
Göttingen	- 0 39 46.4	B. J. 4888
Haag	- 0 17 14.10	Conn. 1889
Hamburg	- 0 39 53,8	B. J. 1888
Hamilton College .	+ 5 4 37,44	
Havanna	+ 5 29 25.9	Conn. 4889
Heidelberg		A. N. 418, 28;
Hoya	- 0 36 32	A. N. 44, 366
Kiel		B. J. 1888
Kis-Kartal	- 1 18 11.05	
Königsberg	- 1 21 59.1	B. J. 1888
Kopenhagen	- 0 50 48.99	2
Krakau	- 1 19 50,38	
Kremsmünster	- 0 56 34 64	
Lancaster		Conn. 1889
Leipzig, alte St	- 0 49 29.76	
a neue St	- 0 49 34.09	B. J. 1888
Lilienthal	- 0 35 39	Conn. 1889
Lübeck	- 0 42 45.7	B. J. 1888
Lund	- 0 59 45 09	
Mannheim		
Marburg	- 0 35 5.0	
	- 4 34 55.56	
München	- 0 46 26.12	B, J. 1888
Neuchâtel	- 0 27 49.86	
Ofen	- 1 16 13.10	Conp. 4889
O-Gyalla	- 1 12 45.60	
Olmtitz	- 1 9 8	2000
Oxford	+ 0 5 2.6	
Paramatta	-10 4 0.2	
Petersburg	- 2 4 11.4	
Prag	- 0 57 44.5	
Quedlinburg	- 0 44 49.8	Conn. 4889
Regensburg		2
Rom, Coll. Rom	- 0 49 55.55	B. J. 4888
Con Posses J.		10. 2. 1000
San rernando Santiago, alte St	+ 4 42 33	
St. Gallen	- 0 37 31.40	
Stonyhourst	+ 0 9 52.7	
Strassburg,prov.St.	- 0 34 2,50	
Tonol	- 0 51 32.0	Anni, 3
Tepel	- 0 51 32.0	B. J. 4888
		Anm. 4.
Upton	0 00 21 7	
Viviors	- 0 20 31.7	B. J. 1888
William -lin Co	- 0 18 44	Conn. 1889
Wien, alte St	- 4 5 34.70	B. J. 1888
s geogr.Inst	- 4 5 25.9	
Wilna		

Bei den Quellenangaben bezeichnet die erste Zahl den Band, die zweite die Seitenzahl.

Anmerkungen: 4. Das im Jahre 1880 von Lasatzk herausgegebene Werk: Der Aetna von Sartorius von Waltfreshausen giebt für das Centrum der Kuppel des Klosters der Benedictiner in Catania den Ort

 $q = +37^{\circ}30'$  9."45 ,  $\lambda = 32^{\circ}48'$  36."92 üstl. v. Ferro.

Für die in den A. N. 24, 249 mit A und B bezeichneten Punkte folgt hieraus nach den daselbst gemachten Angaben

for  $B: \varphi = +37^{\circ}30' 9.17$ ,  $\lambda = 32^{\circ}48' 37.68$ 

und für  $A: \varphi = +37$  30 2.85,  $\lambda = 32$  48 54.48 = 4 $^{h}$ 0 $^{m}$ 36:64 6stl. v. Gr.

Die Finsterniss wurde am Punkte A beobachtet.

 Laut briedicher Mittheilung des Herin Dr. von Kondon ist die Länge der Sternwarte in Kis-Kartal (Baron von Pormaniczky) nach seiner telegraphischen Bestimmung im Jahre 1888

Kis-Kartal östlich von Berlin 24m 36:44 .

Hieraus folgt die oben angegobene Zahl.

3. Für die Lingenbestimmung von Tepel in Bohmen fanden sich nach langem Suchen zufällig im vierten Supplement-Band des B. J. pg. 402 folgende recht brauchbare Beobachtungen von Davin:

 Uebertragung mittelst eines Chronometers von Emery ergab die Längendifferenz zwischen Tepel und Pilsen == 4°59°; bieraus folgt mit der Länge von Pilsen nach Conn. 1889 Tepel östl. v.

2) Blickfeuer ergaben Tepel westlich von Prag 6"9:2; bier-

aus folgt mit der ohen angegebenen Länge von Prag. . . . . . . 54 32.3;
3) Blickfeuer ergaben Tepel-Pilsen = 2\*0\*; hieraus wie ohen 54 34.2.

Als Mittelwerth kann man also 51"32:0 annehmen.

 Die Länge von Upton berubt auf einer brieflichen Mittheilung des Beobachters llerrn Sament Johnson.

Die so auf mittlere Greenwicher Zeit redueirten Beobachtungszeiten sind in §§ 16—45 angegeben. Zur Controle der Rechnung wurde diese Uchertragung zweinal ausgeführt.

## 14.

Naehdem diese Reduction vollendet war, wurden die Zeitpunkte J. und I, bestimmt, für welche sodann die Mond- und Sonnenörter unabblängig von einander berechnet und durch Differenzen gehörig controlirt wurden. Sämatliche Mondörter sind nach Hassa's Mondtafeln, die Sonnenörter nach Laxsaansa's Sonnentafeln berechnet. Von 1867 an konnten die Mondörter und von 1867 an die Sonnenörter aus dem Nautical Almanac entnommen werden. Von 1850 an wurden an den Mondörtern die Newcomsschen Verbesserungen angebracht (Newcoms, Corrections to Hansen's Tables of the Moon, Washington 1876).

Für den Halbmesser des Mondes wurde der Werth von Hassex beibehalten, für die Sonnenparallave und den Sonnenhallsmesser wurden die jetzigen Annahmen des Berliner Jahrbuches zu Grunde gelegt, nämlich die mittleren Werthe

$$H = 8.85$$
  $H = 46.4.20$ 

Die für t, und t, berechneten Grössen sind folgende:

Mittlere Greenwicher Zeit	1	ь	я	h
802 September 11. l <sub>4</sub> = 9 <sup>5</sup> 50 <sup>m</sup> 21: l <sub>2</sub> = 11 16 48.	347°52′49″4 348 46 57.0			
804 Januar 26 $t_4 = 840 - 0.$ $t_3 = 10 - 0.$	125 30 8.9 126 14 27.2			
805 Juli 11 t <sub>1</sub> = 8 24 0. t <sub>2</sub> = 10 19 12.	288 38 34.8 289 35 32.2			
806 Januar 4 $t_i = 41 45 36$ . $t_i = 43 12 0$ .				
809 April 29 t <sub>1</sub> = 44 34 42. t <sub>2</sub> = 43 26 24.	218 31 38.0 219 43 46.8			
811 September 2. $t_1 = 950 21.$ $t_2 = 1116 48.$	339 4 53.4 339 56 42.4	+ 45 35.8 + 40 33.9		
813 August 11. , $t_4 = 11.21 - 0.0$ $t_3 = 15.21 - 36.0$	348 36 5.9 349 7 35.2			15 32 15 32
816 Juni 9 t <sub>1</sub> = 12 57 36. t <sub>2</sub> = 15 21 36.		- 48 30.0 - 25 59.8		45 48 45 47
816 December 4 . t <sub>t</sub> = 7 55 42. t <sub>1</sub> = 9 24 36.	72 15 49.9 73 0 32.5	+33 4.4 +37 43.4		15 11 15 12
818 April 20 t <sub>1</sub> = 41 31 42. t <sub>2</sub> = 42 57 36.	209 54 32.6 210 14 14.9			16 30 16 30
823 Januar 26 t <sub>1</sub> == 4 4 48. t <sub>1</sub> == 6 43 42.	125 13 10,9 126 50 41.7			46 30 46 30
841 Februar 5 t <sub>1</sub> = 12 57 36.t <sub>2</sub> = 15 21 36.t				16 32 16 31
812 Januar 26				16 45 16 45
844 Mai 34				
844 November 24. t <sub>1</sub> = 10 33 36. t <sub>2</sub> = 12 57 36.	62 18 2.0 63 28 54.5			15 55
845 November 13. t <sub>1</sub> = 11 45 36.0 t <sub>1</sub> = 13 40 18.0	50 56 46,4 51 57 40,2			

Mittlere Green	wicher Zeit	1	ь	п	h
1849 März 8	$t_4 = 12^h14^m24$ $t_3 = 13 40 48$				
1852 Januar 6	$t_4 = 16 33 36$ $t_3 = 17 2 24$				45 57.5 45 57.5
1856 October 43 .		.0 20 13 4.0 .0 21 26 11.5			16 46. 16 46.
1858 Februar 27 .	$t_1 = 936 0$ $t_2 = 1048 0$				45 46.9 45 46.9
4860 Februar 6	$t_4 = 43 \ 26 \ 24$ $t_2 = 15 \ 21 \ 36$	.0 136 52 8.5 .0 138 5 7.4			16 44.5 16 45.
1863 Juni 1	$t_1 = 10 19 12$ $t_2 = 12 28 48$	.0 250 10 46.2 .0 251 31 4.2	+ 17 56,0 + 25 21,1		46 33.4 46 34.6
1867 September 13.	$t_4 = 11 \ 45 \ 36$ $t_3 = 13 \ 12 \ 0$	.0 350 47 3.4 .0 354 3 23.4	-33 1.0 -37 16.4		15 23. 15 23.
1876 September 3.	I = 8 52 48 I = 10 4 48		- 46 23.4 - 42 57.6		45 9.9 45 40.3
1877 Februar 27 .	$t_{i} = 6 & 0 & 0$ $t_{i} = 8.24 & 0$		+11 8.5 + 2 50.8		46 35.5 46 35.3
1877 August 23	$t_i = 950 24$ $t_i = 1243 12$	.0 330 14 43.8 .0 331 36 42.6			46 65. 46 66.
1878 August 12	$t_4 = 11.31.42$ $t_5 = 12.57.36$	.0 319 42 4.4 .0 320 26 2.0			45 0.4 44 59.6
1887 August 3	$t_1 = 7.55 42$ $t_2 = 9.36 0$	.0 340 44 47.0 .0 344 36 55.0			45 44.2 45 40.8
1888 Januar 28	$t_1 = 10 & 4.8$ $t_2 = 12.28 & 48$				
1889 Januar 16	$t_1 = 16480$ $t_2 = 184424$	.0 146 57 41.0 .0 117 11 33.4	+ 34 30.9 + 35 37.0	55 8.7 55 40.9	45 3.4 45 3.5

M. Gr.	Zt.		1		R	1-	- Ω	l-	- l°		ť		b'		c
1802	t, t,	348°	23' 26	1172 41.6	1.0057473 1.0057310		43.5 38.3								
1804	$t_1 \\ t_2$	125 125	$\frac{16}{50}$	38.8 4.9	0.9848643 0.9848684		$\frac{56.2}{40.6}$								
1805	$t_1$ $t_3$				1.0165462 1.0165426		14.8 12.1								
1806	$t_1$	104 104			0.9832092 0.9832105		$\frac{48.3}{43.4}$								
1809	$l_4 \\ l_3$				1.0080289 1.0080493	6	38.3 50.7	- 2	10.9	-2	12.0	-0	47.4	+4	34.5
1811					1.0082341 1.0082189	174	28.4 21.4	+0+0	6.4 43.5	+0	7.5 14.7	-0 -0	$\frac{59.3}{52.8}$	-1 -1	31.4 31.4

M. Gr.	Zt.		1		R, von 4867 na log R	1-	- 2	1-	- l°		r		ь'		c
1813	t, t,				1.0128560 1.0128487	188	35.'6 7.2	-4°	53,'8 54.0	-4°	55.4 55.4	+0'	258,'1 4.9	-4°	34.4 31.6
1816 (	t, t,	258 259		18.5 2.3	1.0156415 1.0156517		28.0 49.7				$\frac{50.4}{52.6}$		24.0 33.7		
1816 11	$t_1 \\ t_2$				0,9849472 0,9849393	6 7	21.6 7.0		18.1 20.4		49.1 21.6		$\frac{43.3}{48.6}$		
1818	$l_1$ $l_2$				1.0056436 4.0056297		$\frac{33.3}{26.7}$		43.6 7.8	-3 -3	12.1 6.5	-1 -0	4.4 58.1		30.9 31.4
1823	$t_1$ $t_2$	125 126		32.9 15.0	0.9818791 0.9818929	178 179	8.7 43.6		56.1 6.7		56.4 6.7		41.9 0,3		32.4 32.4
1844	t, t,	137 137		30.2 34.6	0,9864554 0,9864728	178 179	7.9 37.4		$\frac{45.0}{54.9}$		45.3 54.9				32.4 32.1
1842	$t_1 \\ t_2$	126 126			0.9848576 0.9848653		22.4 17.4	-4 -0	$\frac{3.6}{56.2}$				43.7 50.3		
1844 1	$t_1$ $t_2$				1.0144646	355 357	30.7 1.8		44.3 26.0						
1844 41	$t_1$ $t_3$		48 55		0.9865497 0.9865319		26.6 37.8		2.8 54.6				48.2 9.7		32.0 32.4
1845	$t_1$ $t_3$				0.9887560 0.9887385		50.2 50.9								
1849	$t_1$ $t_3$			59.7 35.3	0.9934522 0.9934683		58.0 45.3				41.6 41.2				
1852	1,	106			0.9832813 0.9832819	358 358	4.8 48.4		45.5 44.7		45.4 44.4		14.2		32.4
1856	1,		45 50	23.0 8.6	0.9967097 0.9966869		13.9 27.3		29,3 39.1		28.5 38.1				
1858	t, t,	159 159		52.2 52.8		170 171	23.4 4.1		46.5 47.6		48.0 49.0				30.9
1860	1,				0.9864688 0.9864827	186 187	1.1		19.3 9.6		20.3 10.8				
1863	4				1.0144432		47.7 48.3		54.9 45.7		55.5 46.5				
1867	4	350	40	43.6			23.9								
1876	t <sub>3</sub>	341			0.0023640	1									

M. Gr.	Zt.		1		log /I	1-	- 22	l-	- l°		ľ		<i>b'</i>		c
1877 1	l, l <sub>3</sub>	159 159	24	0,"2 4.3	9,996076 9,996087	9 477 7 479	40.4	+2+2	20.'9 31.3	+24	24.'3 34.4	-0°	4.4	-4°	32.4
1877 11	$l_1 \\ l_3$	330 330	48 54	2.7 59.4	0.004578 0.00456	6 358 2 0	40.2 5.6	-0 -0	22.1 31.9	-0 -0	21.8 31.9	+0 -0	$\frac{9.8}{0.3}$	+1	32.4 32.4
1878	l, l,	320 320	3 6	14.8 42.3	0.005545 0.00553	4 6	$\frac{55.4}{39.6}$	+3 +3	46.2 42.8	+3 +3	45.4 44.6	-0 -0	$\frac{46.3}{54.5}$	+1	34.8 34.4
1887	$l_1 \\ l_3$	344 344	5 9	57.2 58.5	0.00620	4 171 1 172	32.3 25.2	+4	$\frac{33.4}{30.7}$	+4 +4	34.8 34.9	-0 -0	$\frac{58.9}{52.6}$	-4 -4	31.9 31.4
1888	$l_1 \\ l_3$	128 128	29 35	13.9 19.4	9,993454	0 358 9 359	3.7 26.2	-4 -4	55.8 52.7	-& -&	55.4 52.6	+0 +0	43.4 3,6	+4	32.4 32.4
1889	4	117	20 23	12.0 51.8	9.992923	4 5 6 6			56.8 59.9						

Für den einen Zeitpunkt  $t_{i}$  wurden folgende Grössen berechnet:

Finster- niss	$D_{\mathfrak{g}}$	11,	11,	$\epsilon_{i}$	Finster- niss	$D_{q}$	11,	11,	$\epsilon_{\rm g}$
				230 27					23° 27
1802	+ 4°35.'2	45' 55.7	8.8	53."6	1845	- 48° 9,'9	16' 12"1	9,"0	27.2
1804	- 48 50.5	16 16.0	9.0	60.0	1849	- 4 35.9	16 7.5	8.9	23.9
1805	+ 22 6.9	45 45.6	8.7	55.2	1852	- 22 29.4	16 17.5	9,0	27.7
1806	- 22 43.3	46 47.6	9.0	53.4	1856	- 8 7,6	46 4.4	8.9	37.9
1809	+ 44 34.9	15 53.5	8.8	43,5	1858	- 8 10.5	16 9.9	8.9	37.4
1814	+ 8 1.0	45 53.4	8.8	41.4	1860	- 45 34.5	46 44.4	9.0	33.4
1813	+45 9.7	15 49.0	8.7	43.3	1863	+ 22 5.7	45 47.5	8.7	21.4
1846 I	+ 23 0.5	15 46.4	8.7	49.6	1867	+ 3 44.4	45 56.0	8.8	45.0
1816 11	- 22 20,3	46 45.9	9.0	50.9	1876	+ 7 11.7	45 53.6	8.8	28.6
1848	+44 35,0	15 55.8	8.8	54.4	4877 1	- 8 4.2	16 9.9	8.9	28.0
1823	- 48 47.0	16 16.0	9.0	50.0	1877 II	+41 10.6	15 51.1	8.8	27.0
1811	- 45 41.8	16 14.4	9.0	43.0	1878	+ 44 48.0	45 49.0	8.7	24.6
1842	- 48 40,7	16 16.0	9.0	40.0	1887	+ 17 26.6	45 47.6	8.7	6,8
1888	+ 22 2.4	45 47.5	8,7	34.6	1888	-48 8.2	16 15,8	9.0	7.7
1844 11	- 20 44.9	16 14.3	9.0	30.0	1889	- 20 41.9	16 47.0	9.0	9.7

Aus diesen Elementen ergaben sich nach den Formeln des § 8 die folgenden Bestimmungsstücke der 30 Finsternisse:

Finsterniss	-		2		10	A	9	Sp gol	6	*0 <sub>(1)</sub>	2	_
805	=		\$ 5m33:8	-	10b36m22:7	+ 5°36,9		9.774165	+ 530 5,		1573	17,9
108		- 6	2 15.3		0.5	-5 38.9		9.740959	-14 13		10.1	15.6
802			7 32.7	6	6.69.4		+13 50.7	9.660315	e & +	38 32.7	1.6	15.0
908	-	91	7 \$6.6	-	-	-5 38.0		9.775255	9 -		9.01	18.0
608	meno	34	8 18.3	-	35	+5 37.5		9.769904	- 18 35		11.5	17.7
811	-	0 3	1 27.7	40	=	- 5 35.9		9.775963	+ 616		15.5	18.0
813	-	10	1 18.2	_	20	-5 37.8		9.706812	+ 18		10.7	45.4
1918	_	3	8 0.1	13	11, 20.9	- 5 39.5		9.722568	11 5 -	12 15.8	6.6	16.0
816 11		×	5.3	00	34 19.1	+5 12.6		9.684271	+ 7 55	39 33.9	9.6	11.8
818	-	*	2 18.7	2	20 43.8	-5 35,6	+ 16 11.1	9.761901	-20 33	14 12.0	11.7	17.1
853	Mana	20	3 55.9	20	21 11.4	-5 10.9	-	9.760525	- 14 19	1, 21.1	44.0	17.1
811	-		6 12.3	=	20	-5 40.7		9.762302	-17 40	14 29.6	11.3	17.5
815	_	10	0 16.9	10	64 17.0	- 5 38.1		9.774892	- 14 97	15 17.7	17.1	18.0
8111	-	-0	7 29.4	40	50 36.1	+5 38.5	- 18 51.7	9.773310	1 8 -	15 31.1	9.01	17.9
H 118	-	_	2 19.9	Ξ	\$6.94 14	-5 47.4	+ 10 55.5	9.655145			9,5	13.9
845	-	20	5 16,9	- 15	6.5	-5 43.3		9.685178	+15 6	39 41.0	40.2	11.8
618			2 23.0	-	:0	+5 40.9	+33 59.2	9.704480	- 53		11.5	15.4
855	-	œ	9 29.2	18	9	+5 12.2		9.729907	- 6 52		10.1	16.3
856	-	0.5	59 (5.5	10	54 22.6	+5 38.1		9.775\$85	+ 22 5		15.5	18.0
828	Ī	0	5 17.7	10	11 15.4	-5 37.6		9.719568	- 22 \$		Ξ	15.9
860	-	\$ 3		1.5		-5 38.1		9.773947	- 17 46		11.5	17.9
863	-	61	99 \$6.0	Ξ	26 3.6	+5 38.4		9.765316	20 20 1		10.5	17.5
867	-	93		15	98	-5 \$0.6		9.697336			11.3	15.1
876		9	3 25.4	6	22 60.3	+5 39.6	- 45 44.2	9.683991	+ 55 23		Ξ	11.7
877.1		7	4 33.8	-	15 43.4	- 5 10.3	+ 6 \$8.8	9.765654			15.0	17.6
877 11	_	-	6.84 0	_	=	+5 45.7	- 3 59.9	9.656946			10.5	13.9
878	_	4 6	6 25.1	-	œ	+5 41.1	+37 6.7	9.673636	+ 18 24		10.4	1.1
887		8	8.1	œ	68 55.9	- 5 39.7	+ 12 59.8	9.685104	+15 56	39 59.0	10.2	11.7
888	_	Ξ	18 54.6	Ξ	3.6	+5 42.3	- 6 22.8	9.725197	-45 7		10.6	16.1

Um vor Rechenfehlern vollständig gesichert zu sein, wurden alle diese Grundlagen doppelt berechnet.

An mehreren Stellen weichen obige Zallen beträchtlich von den Elementen Busswar's ab. Besonders starke Differenzen zeigt die Libration in Länge bei den Finsternissen 1844 II, 1863 und 1888. In diesen Fällen habe ich mich durch nochmalige Revision der Rechnung überzuget, dass sich auf meiner Seite kein Rechneichler befand.

### 15.

Auf Grund der vorstehenden Elemente wurden nun nach der in § 9 gegebenen Anleitung die Finsternisse zur Ermittelung des Winkels q und zur vorläufigen Sichtung des Materials graphisch dargestellt. Wie bereits bemerkt wurde, zeigten sich schon bei dieser rohen Construction eine Anzahl Beobachtungen als sehr stark misslungen. Abgesehen von einer verschwindend kleinen Zahl von Fällen, in welchen vielleicht Schreib- oder Druckfehler vorliegen, sind alle diese grossen Fehler durch Verwechselung des beobachteten Objectes mit einer anderen Mondformation entstanden. Bei der späteren Durchsicht der berechneten Werthe ω' wurde es sodann zur Gewissheit, dass leider ein sehr grosser Theil der Beobachtungen durch derartige Verwechselungen entstellt ist. Es zeigt sich dies ganz deutlich darin, dass häufig die Angaben eines Beobachters bis auf wenige Ausnahmen sehr gut übereinstimmende Werthe von ω' ergeben, während diese einzelnen Beobachtungen dann äusserst stark und ganz regellos abweichen. In den meisten Fällen konnte man diese misslungenen Beobachtungen leicht erkennen und ausscheiden. In anderen Fällen muss man jedoch leider zu der Ueberzeugung kommen, dass der betreffende Beobachter den allergrössten Theil seiner beobachteten Objecte mit falschen Namen bezeichnet hat; nur hierdurch und nicht durch die Unbestimmtheit der Schattengrenze erklärt sich der unglaublich grosse wahrscheinliche Fehler einzelner Beobachtungsreihen. Dass nicht die Verwaschenheit der Schattengrenze der Grund dieser grossen Differenzen ist, erkennt man ganz deutlich daran, dass erstens von derselben Finsterniss gut übereinstimmende Reihen anderer Beobachter vorhanden sind, und dass zweitens selbst in jenen sonst unbrauchbaren Reihen diejenigen Objecte, bei denen eine Verwechselung so zu sagen unmöglich ist, wie etwa Tycho oder die Modränder, ganz plausibele Werthe von a' ergeben. Der Grund dieser mangeihahten Beobachtungen durfte darin liegen, dass haufig der Beobachter jede besondere Vorbereitung unterlassen hat und sich dann auf der Mondoberfläche nicht schnell genug orientiren kunnn einzelnen Fällen mögen die genannten grossen Fehler vielleicht auch durch ungünstige Witterung am Beobachtungsorte veranksa sein; doch auch in diesem Falle sind die Beobachtungen als sehr unzuverlässig zu bezeichnen und bei der Mittelbildung fortzulassen. Alle diese Ausscheidungen sind im Folgenden durch Einklammern [] anneceziet.

Durch diese Bemerkungen erklären sich im Allgemeinen die orgenommenen Ausschliessungen einzelner Beobachtungen, sowie auch ganzer Reihen. Häufig bezeichnen die Beobachtur selbst einige ihrer Beobachtungen als »unsichter«, was sich sowohl auf den angregebenen Namen des Objectes, als auch auf die Zeitbeaumg beziehen kann. Ich habo diese Bemerkungen im Folgenden siets begefügt, doch die Beobachtungen nur dann fortgelassen, wenn dieselben auch besonders stark von den übriese abwichen.

Dio meisten Beobachter geben ausser dem Namen des Objectes auch noch den beobachteten Theil desselben an, was durch die Zusätze »Rand 1s. »Mitte- und »Rand 1s oder kurz »1s. »Me und »1lzu geschehen pflegt. Es ist sehr zu wünschen, dass alle Beobachter diese Regel befolgen möchten. In allen Fallen, wo der Beobachter eine solche Angabe unterlassen hat, habe ich die Beobachtungen bei den »Mitten« eingereiht und sio durch ein beigesetztes y markirt.

In der nun folgenden Zusammenstellung der 4021 Resultate ist wie bisher \(\theta\) dio mittlere Greenwicher Zeit der Beobachtung, z der Winkel des beobachteten Schattenhalbinessers mit der kleinen Axe der Schattenellipse,

$$\sigma = \frac{1}{dS \sin \mu}$$
,

V = ω' — ω die beobachtete Vergrösserung und endlich R die Abweichung der einzelnen V von dem arithmetischen Mittel V, jeder Reihe, wobei Eintritte und Austritte getrennt behandelt sind. Die Werthe von V, folgen in § 56.

16. Mondfinsterniss am 11. September 1802.

Beobachter	Object			Ð		σ	χ	V	R	Bemerkunge
Breslau.	Eintritt						1			
!. Prof. JUNGNITZ	@ Rand	- 1	9	11	°56	-2.09	27799	+ 20"	0"	
Breslau.	Eintritt								1	
2. Just Jungaitz	C Rand	1	9	10	47	-2.09	277.9	+ 53	0	
Breslau.	Eintritte									
3. Schiebel	( Rand	- 1	9	12	- 4	-2.09	277.9	+ 47	-55	
	Tycho	М	1	27	26	-2.02	274.9	+ 98	+40	7
	-		1					445		
Greenwich.	Eintritt		2							
1. MASKELTNE .	€ Band	- 1	9	44	19	-2.09	277.9	+ 23	- 0	
Kopenhagen,	Eintritt									
5	C Band	- 1	9	14	21	-2.09	277.9	+ 37	0	
	Austritt									
	€ Rand	ш	15	θ	30	+2.10	24.7	+ 22	0	
Lilienthal.	Austritte									1
6. HARDING	Manilius	м	11	16	20	+3,60	359.2	+116	+30	9
	Dionys	М		26	18	+3.09	1.3	+ 51	-35	7
	Censorinus	1	2	33	47	+3.01		+ 45	-61	
		П				+2.95		+ 84	- 2	
	Tycho	11		50	56	+2.01	28.2		+ 8	
	Petavius	M					11.7			2
	Langrenus						10.9	+ 96	+10	
	C Band	П	12	3	50	+2.10	21.7	+417	+34	*unsicher*
			i .					603		
Lilionthal.	Austritte									
7. LUEDER	Censorinus	- 4	11						-34	
		11				+2.95			+ 7	
	Tycho	14				+2.04		+100	÷23	
	Petavius	М				+2.45		[- 75]		7
	Langrenus					+2.64			+19	
	C Rand	П	15	1	52	+2.10	21.7	+ 61	-16	
								387		
Lund.	Eintritte									
S. LIEDTGREN .	C Rand	- 1	9	11			277.9			
	Grimaldi	-1				-2.41		+ 20		
	Galilei	- 1				-2.88		+112		
	Tycho	1					275.3			
	Kepler	-1					295.2		-18	
	Aristarch	.1					306.7		+ 8	
	Copernicus				23		298.5			
		M						+102		7
	Dionys	-1					3,795		+ 8	
1	Manilius		10			-3.70		+ 67	0	
	Menelaus	4				-3.95			+ 3	
	Plinius	- 40		13	25	4.11	307.3	+ 54	-13	

Beobachter	Object	ł	9		σ	χ	V	R	Bemerkungen
	Austritte	Ť							
	Aristarch	м	10h51	m35	+3.77	35799	[+434"]	1	9
		М	53	50	+4.57	353.0	+ 16	- 3"	2
		1			+3.15		+ 34	+15	
		n1		54			+ 6	-13	
		ñ					[-102]		
Mitau.	Eintritte	-1					- 00		
9. Beitler	( Rand	ď.	9 10		-2.09	977 Q	+ 75	+15	
J. Deliller	Grimaldi	i					+ 65	+ 1	
		n		21			+ 65	+ 5	
								-25	
		1		15		289.1		+11	
		П					+ 74		
		1					+ 59	- 1	
		M			-2.02			-16	
		11			-2.03			-43	
		1		26			+161		
		П					[+154]		
	Reinhold	1	37		-2.79		+ 72		
	1 1	11	39	35	-2.91	295.9	+ 46	-15	
	Aristareh	Ti.	4.3	29	-4.03	306.7	+ 59	- 1	
	1	ni.	5.5	43	-4.93	308.0	+ 66	+ 6	
	Copernicus	1					+ 53	- 7	
		M			-3.16			0	
		n	45	9	-3.09	998.5	+ 57	- 3	
		10			-\$.07			0	
					-3.70			+19	
		nď		36	3.10	205.0	+ 60	0	
		î.	9	10	-3.95	300.0	+ 88	+28	
		i			-4.17				
		1			-3.76			-22	
		н	26	19	-3.91	306.2		-17	
	Austritte	-1					1311		
	Aristarch	18	43	45	+4.66	352.6	+ 28	-12	
	1	Πį.	5 5	39	+4.50	353.4	+ 19	-21	
	Pytheas	11	48	53	+5.44	349.4	[- 36]		
		nΞ		46			_ 27		
	Riccioli	1					+ 74	+35	
	Grimaldi		11 1			12.1			
	Manilius	1		55			+ 28	-12	
		ú			+3.95			- 9	
		ï	- 12	92	1 50	252.0	+ 30	-10	
		ń			+1.22				
								+13	
		II.					[-101]		»zweifelha
	Rand	11	12 1	24	+2.10	24.7	+ 48	+ 8	*zweiielha
		1					363		
Viviers.	Eintritt	1							
0. FLAUGERGUES.		13	9 11	\$	-2.09	277.9	+ 45	0	
	Austritt	1							
		mi	19 0	39	+2.10	21.7	+ 23	0	

	» Justit. Ji xgxirz; Achromat, 80fache Vergr.	B. J. 1808, 208.
3.	» Kaufmann Schiebel; Spiegeltelescop	
4.	Greenwich, MASKELYNE Z. M. C. 27, 456 und	B. J. 4812, 457
	Kopenhagen	
6.	Lilienthal, Harding; 3füss. Achromat Lieder; 7füss. Telescop, 84fache Vergr.	B. J. 4805, 257.
	Lund, Liedtgren	

9. Mitau, Prof. Beitler; 40fache Vergr. . . . . B. J. 1806, 416. 10. Viviers, Flaugergues . . . . . . . . Z. C. A. 4, 488.

4. Breslau, Prof. Jungvitz: Achromat, Allfache Verer, a

In Breslau anfangs Nebel, dann Wolken. Schuzzer mass am Mikrometer des Quadranten noch sieben Siehelbreiten. In Koppenhagen fast bestindig dunne Wolken, kurz vor dem Ende wurde es heiter. In Lilienthal wurde der Anfang durch Wolken verdeckt; "der Erdschatten war sehr hell, von lichtgrauer Farbe, der Halbschatten fast ern nicht zu erkennen».

Eigentlich ist nur die Reihe von Beitler als hinreichend zuverlässig zu betrachten, doch darf man nach einigen Ausschliessungen auch die anderen mit zur Mittelbildung verwenden.

Berechnet sind 76 Radien, ausgeschlossen . . . 41 <sup>a</sup> ,

also benutzt . . . . 65, nämlich 39 Eintritte und 26 Austritte.

17. Mondfinsterniss am 26. Januar 1804.

Beobachter	Object			9		ø	Z	1	ľ	R	Bemerkungen
Berlin.	Eintritte							1			
1. Bods	. CRand	1	8	8	-24	-3.15	34497	[+1	12"		=ungewisse
	Tycho	М		25	46	-3.44	345.1	l"+	85	+ 3"	
	Bulliald	М		43	20	-6.86	3.4	+	84	- 4	
	Langrenus	H	9	27	18	-9.03	7.5	+	81	- 4	9
	Austritte		1					2	47	1	
	Tycho	M		56	48	+3.39	54.0	+	46	+ 1	
	Langrenus	М		58	45	+6.83	36.4	+	35	-10	2
	Spellius	м	10	20	50	+3.84	50.4	+	67	+22	7
	C Rand	Н		29	22	+3.45	58.2	+	34	-16	
	-							1	79	1	
Breslau.	Eintritt		1					ł			
2. HOFFMANN.	. C Rand Austritt	i	8	44	13	-3.45	344.7	+	59	0	
	@ Rand	11	10	28	9	+3.44	58.2	+	8	0	

Beobachter	Object			э		σ	χ	3.	B	Bemerkunger
Breslau.	Eintritt		-							
3. JUNGNITZ	C Rand Austritt	ı	81	44	°18	-3.45	34497	+ 57"	0"	1
	C Rand	11	10	30	36	+3.14	58,2	+ 54	0	
Breslau.	Eintritt		1							l
Fez.	C Rand	1	8	9	43	-3.45	341.7	+ 87	0	
5. ALI-BEIK-ARD-		м		10	15	+3.71	51.5	+ 43	- 4	**zweifelbaf
	C Rand		10			+3.44		+ 44	0	»sehr genau
	Canada		1				1	87	1	Toola Bones
Baag.	Eintritte									
6. V.KRAYENBOFF	C Rand	1	8	44	35	-3.45	344.7	+ 52	-34	
	Tycho	1			16		344.9	+103	+17	
		Ħ		25	26	-3.48	345.9	+104	+18	
	Austritte		j					259	1	1
	Tycho	1			22		53.4	+ 83	+43	
		11	10		15			+ 88	+48	
		11		29	43	+3.14	58.2	+ 38	-32	1
								209		
Hamburg.	Austritt C Rand			94	E 4	. 2 . 1	58.2	+ 64	0	
Leipzig.	Eintritte	11	10	31	91	+0.10	30.2	+ 04		
Renigen	C Rand	1		11	34	-3 45	344.7	+ 53	-40	ŀ
. Ittinuen	Tycho	11			43		345.9	+ 99	+ 6	
	Pitatus	11		34	4.4	-4.46	354.4	+101	+ 8	ŀ
	Bulliald	11		45	34	-6.53	2.6	+ 78	-45	
	Fracastor	11		57	1	-5.54	354.5	+136	+43	
	Austritte		1					467	1	
	Tycho	П				+3.45		+ 26	-23	
	Fracastor		10			+4.73		+ 60	+11	
	C Rand	11		30	57	+3.44	58.2	+ 61	+12	
	F1 . 1	П						147		ĺ
Lund. 9. Liedtgren .	C Rand	1		17	2		344.7	r . r.o.		
. LIEDTGREN .	Tycho	M					345.4	+121	+ 8	?
	Pitatus	M		32	9	1 99	352.5	+118	+ 1	*
	Snellius	M					346.5	+144	+27	7
	Langrenus	ï	9	24		-6.98		+ 84	-33	
	Austritte						1	467	1	
	Tycho	1		59	17	+3.55	53.4	+115	+ 3	
		11	10	4		+3.45		+158	+46	
	Langrenus			11	6	+6.83		+144	+32	2
	C Rand	11		29	23	+3.14	58.2	+ 31	-84	
							1 1	448	1	i
Paris.	Austritte								l .	
O. BOLVARD	Tycho	M		57		+3.39		+ 55	- 5	
	C Rand	11	10	31	5	+3.14	58.2	+ 64	+ 4	
Paris.	A							119		1
l'aris.	Austritt C Rand	,,	10	20	20	+3.44	58.2	+ 55	0	1
I. I.ALANDE	C wann	**	10	50	30	TO.13	38.Z	+ 30	1 0	I.

Beobachter	Object			9			σ	X		V	R	Bemerkunge
Ouedlinburg.	Eintritte					Г						
12. FRITSCH	C Rand	-1	81	44	*16			34497	+	58'	-27"	
	Tycho	1	1	25	36			344.9	+	79	- 6	
	1 -	11		26	34	-	3,48	345,9	+	85	0	
	Gassendi	1	٧.	43	26		9.99	8.7	+	87	+ 2	
		Ш		45	56	-	12.00	10.6	+1	148	+33	
	Austritte					ı		1		27		
	Tycho	- 1	9	53	26	+	3.55	53.4	+	16	-44	
		11			23		3.45		+	3	-27	
	( Rand	ш	10	34	26	+	3.44	58.2	+	74	+41	
	-		D							90		
Regensburg.	Austritt								1			
13. HEINRICH , .	C Band	11	10	31	37	+	3.44	58.2	+	74	0	
Seeberg.	Austritt					ı		į .	H			
14. BCRG	C Band	11	10	34	25	+	3.44	58.2	+	70	. 0	
Seeberg.	Austritt					Ľ			1			
15.GrafSchmettau		14	10	34	98	4	3.44	58.2		74	0	
Utrecht.	Eintritte	-	1	٠.		ľ		John	1			
	C Rand	4		12	96		2.15	341.7	١	16		»sehr unge-
IO. WAGNER	Bulliald	ĸ.					6.53				0	wisse
	Austritte			30	10	П	0.00	2.0	į Ti			WISS
	Tycho	м	10	4	31	L	3.39	54.0	14	34	- 9	7
	Purbach	М					4.04				+48	2
	Langrenus										+59	7
	C Rand	11					3.14				-98	*gewiss «
	-		š							660	1	
Viviers.	Austritt								1			
17. FLAUGERGUES.		41	10	29	12	4	3.45	58.2	+	28	0	
Wien.	Austritte								1			
	Tycho	1	0	57	10	Ĺ	3,55	53.4	١.	99	+20	
IO. DERBER	Lycho	M					3,39				+ 2	
		iii	1				3.45				+ 2	
	C Rand		10				3.14				-23	
	Cinan							3010		249	-	
Wien.	Austritto							1	1			
19. TRIESNECKER .		11	9	ns.	5.4	_	2.45	54.3	١.	63	+12	
· · · · · · · · · · · · · · · · · · ·												
	Cuona		1								1	
			1						į '			
1. Berlin, Bor 2. Breslau, 1le 3. » Jr	C Hand  DE  DEFENANN; AD  NGNITZ; AC SHIEREL; AC	. chr	oma oma	29 t,	80fa 80fa 60fa	ch ch	3.14	rgr. rgr.		39	B, J.	1808, 91 1808, 21

| Berslau, Horwans; Achromat, 80Iache Vergr. |
S.	Berslau, Horwans; Achromat, 60Iache Vergr.		
S.	Scauszi, Achromat, 60Iache Vergr.		
S.	Scauszi, Cahromat, 60Iache Vergr.		
S.	Fer, Att-Bits-Ann-Atlail		
S.	Fer, Att-Bits-Ann-Atlail		
J.	W.	C.	9, 338.
Hamburg, Erman			
Leipzig, Remon; 34[ths. Dellond, 59Iache Vergr.			
S.	M.	C.	9, 253.
S.	Lough, Lipsteran		
S.	Scaussin		
S.			

10.	Paris, BOUVARD						Suppl. IV, 207.
14.	Paris, La Lande						Z. M. C. 9, 254.
12.	Quedlinburg, Pastor Fritsch.						B. J. 4807, 203.
43.	Regensburg, Prof. HEINBIGH .						Z. M. C. 9, 254.
44.	Seeberg, Beng } Graf Schmettau }	-					Z. M. C. 9, 253.
	Utrecht, WAGNER						
47.	Viviers, Flaugergues						Z. C. A. 4, 188,
18,	Wien, SEEBER						B. J. 4808, 424.

In Berlin anfangs Wolken, nach der Mitte völlig heiter. In Breah um var der Himmel danstig und die Instrumente wurden durch Wind erschättert. Am Mikroueter des Quadranlen wurden noch seels Sichelbreiten gemessen. Die drei Beolaschter in Breslan unterscheiden Eintritt in den 3-lalbschatten und in den Kernschatten; doch sind beide Momente nur um 3\* getrennt, so dass sich also sieher beide Beolaschtungen auf die Grenze des Kernschattens beziehen. Ich nehme auss derartigen Beolaschtungen immer das arithmetische Mittel. In Hanburg zuerst Wolken. In Leipzig war der Himmel etwas dunstig, In Paris wurden die Beolaschtungen durch Wolken gestört. In Regenburg anfangs Wolken; es wurden noch 6 Sichelbreiten gemessen.

Berechnet sind 66 Radien. Fast überall war das Wetter un gunstig; jeder der Beobachter liefert nur ganz wenige Beobachtungen. und diese weichen noch dazu so ungemein stark von einander ab, dass es unnüglich ist, aus allen irgend einen plausibelen Mittelwerth abzuleiten. Bei den weiteren Rechnungen wird daher diese Finsterniss fortgelassen.

18. Mondfinsterniss am 11. Juli 1805.

Heobachter	Object	3	g	z	V	R	Bemerkungen
Berlin.	Austritte Tycho M Censorinus N Langrenus I (Rand II				[- 64"] + 37 + 38 + 54		Ȋusserst unsicher« »sicherer«

	Beobachter	Object		9			σ	Z	V		R		Bemerkungen
	San Fernando.	Austritte		1			1						
١.	(3 Beobachter).	( Rand	1	91	44	27	+2.70	48°2	[- \$	7"			1
		Aristarch	M		58	48	+2.47	56.2	+ 5	3	+	2"	1
		Grimaldi	M		58	45	+2.27	68.2	+ 4	5	Ŀ	6	
			11		59	48	+2.26	69.0	+ 3	2	-4	19	
		Plato	11	0.1	6	6	+2.82	\$4.8	+ 5	4		0	aetwas zu
		Gassendi	34		12	4	+2.21	74.7	+ 6	8	+1	17	späte
		Manilius	М		26		+2.45		+ 4	6	Ľ.	5	-q-ar-
		Tycho	1		28			78.6			+	Ā	
		.,	M		29		+2.20					0	
			111				+2.20		+ 5			4	
		Menelaus	M				+2.48		+ 5			5	
		Plinius	М				+2.48		+ 5		Υ.	0	
		· ··········	**			.,-,	72.40	00.1	56			۰	
	Viviers.	Eintritt					1		34		i		
	FLAUGERGUES .	C Rand	п		10		-2.62	207.7	+ 7			0	
٠	PLACGERGUES .	Austritte	**	0	10	34	-2,02	291.1	+ 1	9	l .	v	
		( Rand	1		10		. 9.70	100	+ 3				
			li.	9				48.2			ľ.		
		( Rand	11		90	10	+2.26	69.2	+ 3		1-	z	
									6	6			

- 2. San Fernando, 3 Beobachter . . . . . . . . . . . . . . . . A. N. 9, 376.
- 3. Viviers, Flaugergues . . . . . . . . . . . . Z. C. A. 4, 489.

In Berlin war der Mond sehr in Dünsten eingehullt und der Schattenrand so verwischt und undeutlich, dass niehts Genaues über den Austritt der Flecken anzugeben war. Beim Ende wurde es ziemlich heiter. In San Fernando wurden die Beobachtungen durch Wolken sehr gestort; während der Toalität erschien die Mondscheibe in einer hellen Kupferfarbe, worin man vollkommen die hauptstehichsten Flecken unterscheidelen konnte; beim Austritte zeigte sich die Krummung der Erde scharf begrenzt auf dem Monde. Wie sich die Beobachtungen unter die drei Beobachter Carellas, José de la Cresta und Esträss Carafas vertrellen, ist nicht angegeben.

Berechnet sind 19 Radien,
ausgeschlossen . . . 2 " ,
also benutzt . . . . 17, nämlich 1 Eintritt und 16 Austritte,

19. Mondfinsterniss am 4. Januar 1806.

Beobachter	Object		_	9		G	χ	V	R	Bemerkungen
Berlin.	Eintritte									
1. Bobk	. (Rand	1	192	34				+ 88		
	Aristarch	м		41	15	-2.12	243.7	+120	+41	e der unbesta
	Grimaldi	М	1	47	40	-2.72	229,6	+ 67	-12	digen Luft
	Bulliald	M	11	19	0	-4.07	215.9	+ 38	-44	? des wenigh
	Censorinu	s M	1	34	20	-2.93	226,6	+ 83	+ 8	† grenztenEr
	Austritt		1					396	1	schattens w
	Aristarch	M	12	46	20	+2,15	140.2	+ 89	0	gen.
Dresden.	Eintritte								1	1
2. SEVEFERT .	. C Rand	- 1	10	35	52	-2.06	245.9	+ 55	+ 7	
o. comment :	Grimaldi	1	1			-2.63		+ 27	-21	}
		11		50	25	-2.83	227.9	+ 51	+ 3	1
	Plato	1	ı	54	22	-1.95	250.8	+ 43	- 5	Į.
	i	11	1	55	37	-1.96	250.6	+ 56	+ 8	
	Copernicu	s I	1	58	57	-2.40	236.0	+ \$1	- 7	
		11	11	θ	35	-2.45	234.8	+ 45	- 3	
	Manilius	1		11	27	-2.38	236.4	+ 68	+20	
		11			35	-2.51		+ 37	-44	
	Menelaus	- 1	1	14	52	-2.37		+ 54	+ 6	
		111	1	16	11	-2.40	235.8	+ 39	- 9	
	Bulliald	- 1	i	16	57	-3.80	217.3	+ 50	+ 2	
	1	11	1		54	-1.07		+ 62	+11	1
	Dionys	M	1	23	37	-2.77	228.8	+ 37	-11	7
	Austritte							665	1	
	Grimaldi	11	12	24	21	+2.67	152.6	+ 32	-18	!
	Bulliald	11	1	25	18	+3.81	165.5	+ 62	+12	i
	Copernicu	s I	1	44	12	+2.48	149.1	+ 19	-34	1
	1	11	1	45	7	+2.43	117.9	- 1	-51	1
	Manilius	11	13	2	58	+2.40	117.2	+ 86	+36	
	Menelaus	-11	1			+2.36		+ 67	+17	i
	Plato	- 1	1			+1.96		+ 82	+32	
		- 11	1			+1.95			+22	
	€ Rand	- 11	ı	26	40	+2.07	137.6	+ 35	-15	
Eisenberg.	Eintritte		1					454		
3	. @ Rand	1	10	35	1	-2.06	245.9	+ 80	+11	
	Aristarch	М	1	43	7	-2.12		+ 68	- 1	7
	Kepler	М	1	50	39	-2.40	235.9	+ 73	+ 4	?
	Plato	M	1	54	43		250,8	+ 58	-14	
		11	1	55			250.6	+ 63	- 6	
	Copernien		3	57	13		236.0	+ 84	+15	
		М	1		49		235.4	+ 67	- 2	
		11	i .		53	-2.45		+ 61	- 8	1
	Manilius	11	11	12	15	-2.44		+ 70		
	Plinius	11	1	19	3	-2.44			+ 7	
	Dionys	11			26	-2.74			+ 1	
	Proclus	111		28	52	-2.45		+ 66		
	Censorinu			32	36	-2.93		+ 57		7

Beobachter	Object			Э		G	χ		V	R	Bemerkungen
-	Austritte										-
		M	125	37	49	+2.45	11801	+	4"	-35"	9
	Aristarch	M				+2,15					9
	Copernicus	М					148.5			- 7	
	Copermess	11					147.9			+49	
	Eratosthen.					+2.38				- 26	
	Manilius		13	0			147.2		14	-99	
	Plato	ii'				+1.95			55	+49	
	C Rand	H				+2.07				+16	
	€ изпо	"			10	7 4,01	137,0		90	+10	
Lancaster.	Austritt							1	510		
			12	o.e	E a	. 307	127 C		10	0	
4. Еписот	€ Rand	11	1.3	26	3Z	+2.07	1-57.6	. *	40		
Prag.	Eintritte										
5. DAVID	€ Band	1	10	35	51	- 2,06	245.9	+	60	- 5	
	Aristarch	1		42	35	-3.15	243.4	+	78	+15	
	Grimaldi	1		\$15	42	-2.63	231.2	+	65	+ 1	
		113		48	56	-2.83	227.9	+	82	+18	
	Plato	1		54	16	1,95	250.8	+	16	18	
		u)		55	3.5	-1.96	250.6	+	58	- 6	
	Copernieus	1		57	48	2,10	236.0	+	70	+ 6	
		n				2.15	234.8	+	65	9	
	Langrenus	1		\$7	6	-3.53	220.9	+	71	+ 7	
		11				3.96			12	-22	
	Austritt								36		
	C Rand	14	13	96	57	+2.07	137.6		13	0	
	*	"			0,	1 20,000	1-911-0				
San Fernando.											
5. CANELAS			10				245.9			13	>zweifelhafts
	Gatitei	30					239.4		8.5		
	Aristarelı	1			22		213.1		54	0	
		ŧι			52		212.9			÷ 3	
	Grimaldi	1					231.2			+ 8	
		М					229.6	+		- 1	
		11		19			227.9			+ 9	
	Kepler	M					235.9			+11	
	Plato	1		54	23	-1.95	250.8	+	13	-11	
		M		54			250.8			- 2	
		11		55	30	-1.96	250.6	+	60	+ 6	
	Coperuicus	1		57	22	2,40	236.0	+	81	+27	
		36		59	12	-2.12	235.4	+	57	+ 3	
		11	11	0	- 8	2,45	234.8	+	55	+ 1	
	Manilius	1		4.1	51	2,38	236.4	+	56	+ 2	
		31		12	12	-2.39	236.2	+	60	+ 6	
		11		12	52	-2.54	235.7	+	55	+ 1	
	Posidonius	1					213.2			+ 1	
		M.				-2.16			48	- 6	
		11			58		212.1		47	- 7	
	Menelaus	31					236.6			- 8	
	Plinius	ű					235,6			+ 2	
							228,8			10	
	Dionys Proclus	M			58		234,3		29	-25	

Beobachter	Object			9		σ	z		V	R	Bemerkunger
	Austritte					-					-
	Galifei	M	12	32	40	+2.36	14602	+	22"	-22°	
	Kepler	М		38	56	+2.55	148.4	+	5.5	- 0	
	Aristareh	М		5.5	30	+2.45	140.2	+	38	- 6	
	Copernicus	- 1		45		+2.48			4.4	- 3	1
		М		46		+2.45			41	- 3	
		11				+2.43			39	- 5	i
	Dionys	М				+2.78			45	+ 4	
	Menciaus		13	5			146,6		64	+47	
	Plinius	М		7			147.9		47	+ 3	
	Plato	- 1					132.6		63	+19	
		М		8			132.5		54	+10	
		11				+1.95			4.4	0	
	Proclus	М				+2.46			49	+ 5	
	Posidonius	1	1				140.0				» zweifethal
		н				+2.15			73.		
	( Band	11		56	55	+2.07	137.6		26	-18	» z weifelbal
								-	614		
Viviers.	Eintritt										
7. FLAUGERGEES.		- 1	10	35	26	-2.06	245.9	+	68	0	
	Austritt										
	( Rand	U	43	26	52	+2.07	137.6	+	30	0	
Wien.	Eintritt										1
8. Rerg	€ Rand	1	40	36	48	-2.06	245.9	+	28	0	
	Austritt										
	€ Rand	11	13	26	8	+2.07	137.6	+	19	0	
Wien.	Eintritt										ł
9. Selffer	Menelaus	м	44	15	55	-2.37	236.6	+	56	- 8	
	Austritt		n					Ι.			
	( Rand	11	43	26	18	+2.07	137.6	+	24	0	
Wien.	Eintritte		Г.								
O. TRIESVECKER.		1	10	35	38	-2,06	945.9		62	+ 3	
	Aristarch	19		13		-2.45			55	- 4	
	Grimaldi	11				-2.83			61	+ 9	
	Austritte								178	1 -	1
	Posidonius	44	13	17	8	+2.15	140.4		71	+13	
	C Rand	11		27		+2.07			46	-12	
				- 4	- 0	. 2.01	.01.0		. 0	1 1 1	

2. Dresden, Seyffert, Bergrath u. Inspector d. math. Salons B. J. 4809, 491. 3. Eisenberg, 2füss, achrom, Ramsden . . . . . . Z. M. C. 13, 196. Prag, David; 21füss, Bainsden. . . . . . . . . . . B. J. 1810, 470. 6. San Fernando, Canelas; Achromat mit terrestr. Ocular A. N. 9, 378.

7. Viviers, Flaugergees . . . . . . . . . . . . . . Z. C. A. 4, 489. 8. Wien, Bung

. . . . . B. J. 4840, 492. TRIESMECKER 10.

In Berlin wurden die Beobachtungen durch Wolkenspalten erhalten. In Dresslen war sehr dunstige Laft, sodass altes unter errathen werden musste; im Anfange war der Schatten scharf begreuzt, bei den Austritten nahm die Breite des Halbschattens stark zu. Achnich in Eisenberg: z\u00e4n Anfang war der Erdschatten zientlich scharf begrenzt, doch glauben wir bemerkt zu haben, dass er nicht vollkomunen und, sondern gegen seine Mitte etwas erhaben erschien . . . Gegen das Ende der Finsterniss überzogen den Himmel dünne Wolken, der Mond bekam einen Hof und der Erdschatten war sehr verwischt und undeutliche. Blorfath Hern in Frankfart a. d. O. bemerkt (B. J. 1810, 245) unter Anderen: abas Licht des beschattetes Mondes war röthlich dunkelgrau; . . . an den Hörnern des Kernschattens zeigte sich ein blaulich weisser Schein, der sich von der Grenze des Schattens, wo er am hellsten war, allmählich in den Schatten hinein verlief.\* In Prag war sehr heiterer Himmel.

Berechnet sind 113 Radien,

ausgeschlossen . . . 3 » , also benutzt . . . . 110 , nämlich 71 Eintritte und 39 Austritte.

20. Mondfinsterniss am 29. April 1809.

	Beobachter	Object			9		σ	Z		V	R	Bemerkungen
	Havanna.	Austritte							1			
١.	FERRER	Tycho	1	134	40	*19	+1.93	74.5	+	78"	+27"	
			п		41	33	+1.93	74.9	۱+	52	+ 1	
		C Rand	11	11	ł	59	+2.01	70.6	+	23	-28	
	San Fernando.	Eintritte								153		
2.	CANELAS	Grimaldi	1	14	6	40	-2.19	322.1	+	62	- 5	
			N		7	13	-2.22	323.2	+	85	+18	
			11		8	0	-2.27	324.4	+	94	+27	
		Galilei	M		15	- 0	-2.51	330.9	+	88	+24	
		Bulliald	34		20	20	-2.09	348,6	+	85	+18	
		Tycho	1		21	20	-1.93	311.3	+	73	+ 6	
		4	11:		99	50	-4.94	311.7	1+	76	+ 9	
		Kepler	31		22	19	-2.52	330,6	+	98	+31	
		Aristarch	1		29	30	-3.63	338,9	١.	57	-10	
			M		29			339.7				
			11					340.2				
		Copernicus						332.2				
		· iopermeus	М					333.2				
			n					3337				

Beobachter	Object			5		σ	χ		V	R	Bemerkungen
	Dionys	M	14	±51	=49	2,63	33908	1	40"	-97"	
	Manilius	ï				-2.94				- 8	
		М	P		50		338.7			-18	i
		11			28		338.8			-18	
	Menelaus	36		58			310.1	11		-24	
	Plinius	М	112				350.1		58	- 9	
	Proclus	M			58		312.9		40	-27	
	Austritte		1						399	~ .	
	Aristarch	M	19	54	39	+3.18	45.3			-48	
	111111111111111111111111111111111111111	11	11.			+3.41		H		-10	
	Galilei		13		29	+2.53					Es scheint G
	Grimaldi	î		5		+2.29	61.0				lilei y beol
	- History	M		6		+2.25				-11	achtet zu se
		11			57	+2.21				-27	actives an se
	Kepler	N		- 8	29	+2,56			61	+13	
	Copernicus			13	29	+2,66		+	49	+ 4	
	1	п		1.5	58	+2,61	53,5			+ 8	
	Menelaus	М			39	+3.13				+10	
	Proclus	м			25	+3,37			50	- 8	
	Dionys	N		32	56	+2.61			48	0	
	Tycho	1				+1.93				+20	
		38		10	59	+1.93	74.5	4	57	+ 9	
		11.		12	29	+1.93	74.9	1	811		» Ende d. Tych
									619		schon ausg
Wien.	Eintritte								0.0		tretens
3. Beng	C Band	1	13	í	97	-2.01	345.5	+	- 1	5.5	
	Tycho	î				-1.93					
	1,1	11				-1.91			59		
	Aristarch	ï			51	-3.03			53		
		11		30	55	-3,43		1	58	+13	
	Austritte								227		
	Tycho	11	13	52	99	+1.93	75.9		81	-92	
	C Band		15			+2.01			34		
	C Done			~					115		
Wien.	Eintritte								113		
4. TRIESNECKER	C Rand	- 1	11	3	13	-2.01	215.5		37	10	
THE PARTY OF THE P	Grimaldi	i	٠.			- 2.19			16		
	Evelo	-i				-1.93			60		
	1,1110	ń				-1.91			59		
	:Aristareh	М			19	-3,10			65		
	Copernicus					-2.60			64		
	coperate	11		35		-2.68		+		- 3	
	Menelans	31		57	9		340.4		61		
	Liquet	M		59		-3.20			47	- 8	
	Austritte					19.2.17			93		
	Copernicus		12	4.5	0	+2.61	53.5				
	Vanilius	31	1.3			+2.99	47.7			- 1	
	. Evelio	11				+1.93	75.9		84		
	C Band		15			+2.03	70.6		35		
	C maid	-1	.,	-	4-3	T 4,003	10.0			-z+	
							- 1		237		

Beobachter	Object	100	э			σ	Z	V	R	Bemerkunger
Wilna.	Eintritte	1		-	ĺ					
SNIADECKI .	. ( Rand	1 11	h 91	43	-	2.04	34595	+ 52"	-28"	1
	Grimaldi	il.	5	46	ļ_		322.1	+ 87	+ 7	1
		il	8	54		9.97	324.4	+ 70	-40	
		il	7	19	L		340.0	+ 65	-45	11
	I I		10	15	_		309.6	+ 68	-12	
		il	43	2	<u> </u>		329.9	+131	+54	1
	January 1		14	23			330.6	+108	+28	
		i	21	4			344.3	+ 83	+ 3	3
	1 year		22	46	Е		311.7	+ 78	- 2	И
		il	21	33	~		330.2	+100	+20	1
	Kepier		23	27	-		334.2	+ 75	- 5	8.
			27	44	-		329.2	+ 75	- 5	
		1	26	35	-		338.9	+114	+34	H
		1	30	5	-				- 6	
	1				-		340.2	+ 74		
	Copernicus		31	9	-		332.2	+ 87	+ 7	Diese Beol
	1		33	38			333.7	+ 75	- 6	achtungen
		1	18	36			334.3	+104	+21	sind weit ur
	I		50	44	1-		332.4	+ 59	-51	sicherer, a
		1	49	53			337.7		+16	die der übr
	1		52	33	-		338.8	+ 67	-43	gen Beob-
		I	54	33	-		338.4	+102	+22	achter, SNI
	I		57	36			340.3	+ 60	-20	
	Proclus	1 12	10	36		3.25	341.4	+ 69	~44	DECKI scheit
	I	1	13	16	-	3.42	343.2	+ 37	-43	eine zu
	Plato	1	17	22	-	13.22	5.6	+ 59	-21	schwache
	Austritte	1			1		! !	1994		Vorgrosse-
		1 12	38	46	4	12.80	20.6	+ 64	-18	rung ange-
	Aristarch I		56	16	+	3.14	16.1	+ 50	- 29	wandt zu be
	tialilei 1		3	39	÷	2.48		+133	+51	hen. Bei d
		1	- 8	51		2.51	51.9	+ 77	- 2	Mittelbiidun
	Kepiei 1		10	46	1	2.49			+23	wird diese
	Copernicus		9	36	+	2.84	50.4	- 47	-62	Reihe fort
	Copernicus		14	36	+	2.66		+ 74	- 5	geiassen.
	l î		16	39	Ţ	2.64	53.5	+ 95	+16	
		i	47	46	Ļ	2.46			+16	1
										1
	1		20	20	+	2.40	58.4	+132	+53	1
		15	24	50	+	2.98		+ 69	-10	
	1		23	.1	+	2.93	48.1	+ 68	-44	11
		I	22	54	+	3.12		+ 64	-15	
	1		24	22	+	3.05	46.8	+ 78	- 4	
		1	33	16	+	3.25	44.5	+ 77	- 2	1
	1		34	16	+	3.20		+ 82	+ 3	
		1	34	6	+	2,58		+ 80	+ 4	1
	1		34	44	+	2.57		+ 84	+ 5	1
	Tycho	1	44	43	+	3.93	74.5	+106	+27	
	1	1	43	28	+	4.93	74.9	+412	+33	1
	(Rand 1	1 14	2	33	+	2.04	70.6	+ 40	-39	1
		1			i			1662		i

<sup>1.</sup> Havanna, J. J. DE FERRER; 100fache Vergr. . . . . . Z. M. G. 25, 530.

<sup>2.</sup> San Fernando, Canelas; Achromat mit terrestr. Ocular. A. N. 9, 389.

3.	Wien,	Bina													D 1	1012	122	
4.	20	TRIESNECKER /	•	-	•	•	•	٠	•	•	•	٠	٠	•	В. Л.	1010,	1.50.	

gemacht, grösstentheils war der Mond mit Wolken umgeben. Berechnet sind 405 Radien,

ausgesehlossen . . . 48

also benutzt . . . 57, nämlich 35 Eintritte und 22 Austritte.

21. Mondfinsterniss am 2. September 1811

Beobachter	Object			9			G	X		V	R	Bemerkunge
Berlin.	Austritt											
Bopg	€ Rand	п	411	59	= 0	4	2.28	3027	+	45	0"	«unsicher«
Manuheim.	Eintritte											
v. Ende	Tycho	М	9	36	45		2.29	296.4	+	83	+13	
	Grimaldi	1		6.6	20		4.09	319,3	+	32	-38	
		п		47	37		4.75	322.9	+	94	+24	
	Austritte								Н	209		
	Tycho	н	11	33	0	+	998	30.8			+29	
	6 Band	iii			30			30.7	I,		-30	
San Fernando.									ŀ	74	-70	
Canplas	( Rand	1	0	21	-21		9 97	296.4	١.		-37	
GAMELAS	Tycho	i	,		57			295,8	Ľ		- 7	
	Гусно	N			\$5			296,4		57	- 9	
		11			25			297,7			- 9	
	Gassendi	N			52			340.4			+23	1
	Grimaldi	1						319.3			-12	
	Olimaidi	N						321.1			+ 2	
		ñ						322,9				
	Fraeastor		10		35			304.6				
	Kepler	1	10		51			339,4				
	Copernicus				13			330.2			+28	
	and serior its	м						338.9			-14	
	Dionys	M		20	5			321.2			- 8	
	Manilius	7			55			337.2	I.		+ 4	
	Adminus	N			37			339,3	T.		+10	
	Plinins	Ñ					25,56				- 3	
	Austritte	~		10	.30		20.00	300.1		058	- 3	
	Galilei					١.						
			10					344.0				
	Copernicus							344.4			-49	
	41.5 -12.	ij			27		10.70				- 3	
	Grimaldi	N									+10	
		N H			31		4.59				- 7	
					37		4.20				-16	
	Itionys Tyrho	M H	11		39 49		1.28 2.28				+11	

Beobachter	Object		э			G	Z		V	11	Bemerkunger
St. Gallen.	Austritt	1				0.00	0.000			0"	
. v. Scherer.		121	1	- 1	+	2.28	3007	+	98"	0-	
Tepel.	Eintritte	9						8.			
DAVID	C Rand	9		23	-		296.1			+18	
	Tycho	1		59			295.8			- 4	
	1 11	1	38	57	-	2.33	297.7	+	50	-13	
	Austritt	1						1	190		
	C Band I	(44)	58	43	+	2,28	30.7	+	38	0	
Viviers.	Eintritt	B						1			
5. FLAUGERGIES .	(Rand	9	23	30	-	2.27	296.4	+	52	- 0	
	Austritt	1						1			
	(Rand I	44	58	34	+	2.28	30.7	+	33	0	
Wilna.	Eintritt	į.						1			
. SNIADECKI .	Tycho N	9	37	10	-	2.29	296.4	+	72	0	7
	Austritte	li .			1			1			
	Kepler M	10	34	52	+	19.26	348,5	4	72	+25	7
	Copernicus M	ď.	34	34	+1	04.5	344.4	+	12	- 5	1
	11	ıl -	43	46	+	10.70	352.5	+	48	+ 1	
		Ц		9	+			+	57	+10	
	11	П	45	26	+	4.20	7.0	+	46	-34	
	1	1			1				235	1	

- 6. Viviers, Flaugergues . . . . . . . . . . . . . . . . Z. C. Λ. 1, 190.
- 7. Wilna, SNIADECKI; grosses Dolloud'sches Fernrohr . . . B. J. 1816, 209.

In Berlin war es dunstig und bewölkt, der Rand des Erdschattens sehr schlecht hegrenzt und durchsichtig. Die im B. J. 1816, 126 angegebene Beobaehtung von Broes enthält wahrscheinlich einen Fehler von 20° und wurde daher fortgelassen. In San Fernando zogen während der Beobaehtungen viele einzelne Wolken vorüber, doch hält der Beobaehter die Angaben für hinreiehend zuverlässig; der Schatten der Erde war sehr stark, weshalb sieh seine Umrisse vollkommen genau bestimmen liessen und die glänzenden Flecken sich verfinsterten, sowie sie nur ehen in selbigen eingetreten waren-

Die Verwaschenheit der Schattengrenze in Berlin ist demnach nur durch den Dunst veraulasst worden. Aehnlich war es 1805.

Bereehnet sind 43 Radien, ausgesehlossen . . . 4 »

also benutzt . . . . 42, nämlieh 24 Eintritte und 18 Austritte.

22. Mondfinsterniss am 11. August 1813.

Beobachter	Object			F		L	G	χ		i'	R	Bemerkunger
Berlin.	Eintritte	-						, ,	1		200	
I. BODE	€ Rand	-1	131	46	-38		3,30	20400	1+	19"		
	Aristarch	34	15	0	55	-	4.99	190.7	+	86	+ 5"	9
	Plato	M		4	22	1-	3,39	202.9	1+	70	-12	
	Aristoteles	M		14	10		3.47	202.0	+	83	0	*
	Endoxus	M		17	35		3.76	199.0	+	79	- 3	7
	Posidonius	M		35	- 2				+	86	+ 4	
	Menelaus	1		55			20.6		+	84	+ 2	
	Manilius	18		55	40		36.5	170,6	9 +	89	+ 7	
	Austritt	-1								576		
	Aristarch	M	15	8	36	ļ.	1.90	143.9		69	0	9
Cassel.	Eintritte	7			-30		4.50	149,5	i.			1.
Grange		d	13		27		2 20	204.0	١.	42	-10	1
. GERLING	( fland Aristarch		11		25			191.1			+19	1
	Aristaren	ú	"		20			189,4			+ 3	1
	Plate	7			48			202.7		13	-39	
	riato	М			35			202.7			-38	
		11			33				I.	5	-47	
	Timocharis								II.		-22	
	Eratosthen				26			177.3			+59	1.
	Posidonius				23				L.		+18	9
	1 Ostuomius	11			12			188.0		19	- 3	1.
	Copernicus				15			168.2			+68	*
	copernicus	7		**	13	L	1-37.0	100,2		180	10	1
Kopenhagen.	Finteitte	-1				Н			١.	100		
BEGGE		-1	13	47	33	L	3 30	205.0	lr+	31	}	-ganz zweife
, man	Aristarch		14		50			190.7			+ 9	a) haft, zu spa
	Plato	M				L			l÷.		- 3	India Floor
	Aristoteles					١.		202.0			- 5	* die Fleck
	Endoxus	M			38			199.0			-10	gut-
	Timocharis		1		23			188.7			+ 9	7
					-	ı			Ι-,	205	1	,
Prag.	Eintritt	- 1	i			1			1 '	.00	1	
	€ Band	-1	13	44	28	-	3.30	201.0	1+	59	0	
Prag.	Eintritt	-1				1			1			
	C Rand		12		16	-	3 30	201.0	١.	63	0	
	Eintritt	-1	1.3	**	10	Г	3,30	204.0	£ ".	-	1	
Viviers.			١			П	2 20	201.0		00	0	1
. FLAUGERGUES.	Austritt	-1	13	**	4	ŀ	3,30	204.0	1*	66	0	i .
					53	١.	9 30	130.8	١.	20	0	
	( fland	111	1.5	33	3-1	1+	3,29	1.10.8	1 +	49		
1. Berlin, Bor	or; 31files.	Do	llop	d							B. J.	1817, 232,
2. Cassel, Ger											7. M	C. 28, 196
												1818, 214.
3. Kopenhager					٠.	-			: .			
4. Prag, Bitt	ven; 3füss. p; Zugfernr				10.7	-1	l Deen		1.		11. J.	1817, 102.
				M3 1	0 4	201	pren	uwette	,		a c	
6. Viviers, FL	AUGERGUES .										4. C.	A. 1, 191.

In Berlin konnte bei heiterer Luft sehr gut beobachtet werden; »der Rand des Erdschattens war wie gewühnlich sehr verwaschen und einem Rauche ähnlich«.

Berechnet sind 30 Radien,

ausgeschlossen . . . 2 » ,

also benutzt . . . . 28, nämlich 26 Eintritte und 2 Austritte.

23. Mondfinsterniss am 9. Juni 1816.

Beobachter	Object		¥		σ	X	V	R	Bemerkunger
Prag.	Eintritte	1							
BITTNER	. C Rand	1114	haa	46.6	-9.00	26128	+237"	-46"	1
		ili i		59		256.7	+215	-38	1
	1		26	59		255.4	+232	-21	1
	Aristarch	il	97	50	-4.96	265.4	+278	+25	1
	1	il	28	56		265.5	+258	+ 5	1
	Coperniens		38	4		259.9	+277	+24	H
	1		39	46	-2.03	259.4	+266	+13	il.
	Tycho	il	56	46		244.4	+247	- 6	
	1	1	57	56	-2.47	240.5	+266	+43	1
Prag.	Eintritte						2276		
. DAVID		111	44	58	-9 00	264.8	+230	-24	
		i	26	4		256.7	+211	-43	
	1			52		255.4	+235	- 19	unbrauch-
	Kepler		29	46		260.7	+305	+51	bar,
	1		30		-2.02		+289	+35	s. unten
	Aristarch		27	46	-1.96		+280	+26	- unicii
	1	il	28	46	-1.96	265.5	+263	+ 9	
	Copernicus	i	38	24	-2.02		+267	+43	
	. 1		40	12	-2.03	259.4	+254	0	
	Plato	1	44	28	-1.92	271.5	+253	1	
	1	i	47	- 1	- 1.92	274.3	+222	-32	1
	Tycho	1	56	16	-2.45	254.4	+217	- 7	1
	1	1	58	46	-2.47	240.5	+246	- 8	1
Prag.	Eintritte	1					3302	1	
. HALLASCHKA		dи	94	55	- 2.00	261.8	+172	-26	1
· · · · · · · · · · · · · · · · · · ·	Plate I				-1.92		+223	+25	1
Wien.	Eintritte	1					395		1
TRIESNECKER		i n	97	50	- 2,00	261.8	+ 81	+27	'
TRIESTECHEN	Aristarch		35		- 1.96		+ 53	- 4	
	I I		35		-1.96		+ 48	- 9	
	Copernicus		44		-2.02		+ 73	+16	
	1 soperment		17		-2.03		+ 47	-10	
	Plate		54	13		274.5	+ 42	-45	
	1 1010		52	24	- 1,99		+ 54	- 3	
		112		3		235.0	+ 54	- 3	
	Austritt	1				74.0	455		[felliaft e
		đ.,,			. 0 00	118,3			* sehr zwei-

1. Prag, BITISER; 20- bis 30fache Vergr. 3. > DAVID; 36fache Vergr. 3. > HALLASCHEA; 56fache Vergr. 7. (A. 2.250 pp.) P. 1.4820 450.

4. Wien, TRIESNECKER . . . . . . Z. f. A. 3, 359 und B. J. 1820, 451.

In Prag wurden die Beolaschlungen durch duone Wolken gestört. Bei Tunssezura's Beobachtung des Eintrittes von Arisarch II giebt Z. f. A.: 42<sup>8</sup> 42<sup>m</sup> 22<sup>n</sup> w. Zt. und B. J.: 42<sup>8</sup> 42<sup>m</sup> 32<sup>n</sup> w. Z.; ich rechne mit dem Mittel 42<sup>8</sup> 42<sup>m</sup> 27<sup>n</sup>, welches sieh ja nur 5<sup>n</sup> von richtigen Werthe enfferene kann

In Prag ist, wahrscheinlich durch ein Versehen bei der Zeistsmung, ein Fehler von etwa 6" bei allen Beobachtungen entstanden. Denn hätten sich die Beobachter verahredet, die äusserste wahrnehunbare Grenze des Schattens zu beobachten, oder wäre ihne der Erdschatten uur wegen der störenden Wolken so gross erschienen, so würden jedenfalls die Beobachtungen untereinander eine geringere Uebereinstimmung zeigen. Dass nicht etwa bei dieser Finsterniss der Schatten wirklich so unglunblich gross gewesen ist und dass auch in der Berechnung der Finsternisselemente nicht etwa ein Felher begangen ist, das zeigt deutlich die ganz branchlare Reihe von Thassexen. Auch beobachtete Tailsbezenz bei der Mondeulmination um (11539-53) n. Zl. Wien den Mondort

$$l = 257^{\rm o} \, 33' \, 2\rlap.{''}5 \qquad b = - \, 0^{\rm o} \, 14' \, 49\rlap.{''}7 \, , \label{eq:local_l$$

während aus unseren Elementen folgt

$$l = 257^{\rm o}\,33'\,6\rlap.{''}0 \qquad b = -\,0^{\rm o}\,1\,1'\,4\,3\rlap.{''}7$$
 .

Eine grössere Uebereinstinnnung kann nicht erwartet werden. Jedenfalls stehen die Prager Beobachtungen so isolirt da, dass sie bei der Berechnung eines Mittelwerthes von V nicht zu brauchen sind.

Es ist zu bedauern, dass gerade bei dieser Finsterniss das Beobachtungsnaterial so unzureichend ist, denn es ist dies eine det wenigen Mondlinsternisse, hei welehen der Mond während der Totalität vollständig verschwaud. Hieruber sehreibt Luz in London (B. J. 1819, 263): «Oblgelich die Sterne in Bonz's grossem Verzeichnis Nr. 473 (7), 191 und 196 (b) am östlichen Fusse des Ophinehus sehr deutlich sich zeigten<sup>9</sup>), so war doch nicht die geringste Spur

<sup>1)</sup> Diese Sterne sind bei Bone 3., 7. und 4. Grösse; 196 soll heissen 195.

vom Monde zu erkennen. Endlich erblickte man, etwa eine Viertelstunde vor dem Ende der totalen Verfinsterung, einen neblichten Lichtschimmer, welcher nach und nach zunahm, bis der helle Rand des Mondes aus dem Erdschatten hervortrat.\* Etzt in Dresden bemerkt hierzu noch (B. J. 1820, 247): » Ehr verfinsterte Mond versehwand zwar günzlich bei heiterem Himmel, wobei die von Hern Lzu bemerkten Sterne sich deutlich zeigten, allein nach Zwischenzeiten von § Minute erschien und verschwand wechsedweise dreimal der östliche Rand. Beim jedesmaligen Verschwinden war keine Spur vom Monde zu erkennen.\*

Berechnet sind 33 Radien,
ausgeschlossen . . . 25 " ,
also benutzt . . . . 8, lauter Eintritte.

24. Mondfinsterniss am 4. December 1816.

Be	obachter	Object			Đ			σ	χ	l	r	R	Bemerkunger
Ål	10.	Eintritte					Ī			ī	-		
1. W	LBECK .	. C Band	1	71	7	944	1_	2.67	29602	+	21"	-22"	
		Schickard	M		11	14	_	2.54	292.3	1+	76	+33	*
		Mersenius	М	١.	15	15	-	2.87	300.7	li+	107		3
		Grimaldi	1		15	4.6	1-	3,30	308.1	P+	27	-16	
		4	11	1	18	34	-	3,53	311.0	+	54	+44	
		Tycho	1		28	4	-	2,62	294.7	۱.	35	- 8	
		1 '	11		29	51		2.64	295,3	l +	37	- 6	
		Galilei	M		29	54		4.57	320.0			+26	?
		Kepler	М		40	24		\$.62	320.3	+	47	+ 4	3
		Reinhold	М		\$5	14		4,37	318.6	+	42	- 4	4
		Copernicus	1		53	4	-	5.04	322.5	l +	27	-16	1
		Aristarch	M	8	6	4	L	14,95	338.9	۱.	34	- 9	9
		Austritte	1				П			ш	169		
		Kepler	M	8	57	4.4	+	4.76	12.7	lj+	96]		7
		Copernieus	11		58	4.4	l+	5.18	10.4	ı+	35	-18	
		Grimaldi	1		56	34	÷	3,53	22.8	l +	70	+50	
			M		58	14	+	3,44	23.8	+	49	- 1	
		Landsberg	м	9	7	14	+	3,94	18,7	+	55	+ 4	?
		Bulliald	М		24	4	+	3,63	30.0	l +	4.4	- 9	9
		Tycho	1		39	54	+	2.63	38.8	+	55	+ 5	
		1	11		41	34	ŀ	2.64	39,3	+	49	- 1	1
		€ Band	11	10	2	34	+	2.68	37.4	[+	23]		
		-					L			1	350		

Beobachter	Object	1	9		L	σ	X	1	*	R	Bernerkunger
Berlin.	Eintritte	Т	-		T			1			
RODE	. C Band	1 3	7h 3	m24	1-	2,67	29602	1+1	)7"		
	Grimaldi	N I	15	29	-	3,37	309.0	1+	72	+18	7
	Tycho !	Mil.	28	49	-	2.69	294.9	1+	47	- 7	
		и1	29	59	-	3.02	303,7	l + .	45	- 9	9
	Kepler !	M	39	13	-	4.62	320.3	1+	62	+ 8	7
	Copernieus	ti -	50	39	-	5,01	322.5	1+	56	+ 2	
			8 0	29	1-4	4.95	338,9	+ 1	57	+ 3	
	Censorinus !	M)	17	11	H	4.78	321.2	+	12	-12	7
	Austritte							3	81		
	Aristareh 1	10	8 20	54	1+5	3.98	354.9	+ :	36	+ 7	9
	Kepler 1	N	48	36	+	4.76	12.7	lr	19		9
	Copernicus !	M	55	4	+	5.51	9.0	+	13	-16	
		м	56	42	+	3.44	23.8	+ :	22	- 7	
	Bulliald !	1	9 23	9	+	3.03	30.0	+	$^{23}$	- 6	9
	Tycho	11	42	3	+	2.61	39,3	+	62	+33	
	Rand	1111	9	19	+	2.68	37.4	+	17	-12	
	-							1	73		
Christiania.	Eintritte	1			ı			Ι.			
HANSTEEN .	. ( Band	d :	7 6	26	-	2.67	296.2	1 + :	39	-15	
		il.					308.1			-11	
		ul I		28			309.0			0	
		iil -					311.0			+16	
	Tycho	il	27	17	-	2.62	294.7	+	53	- 1	
		vil.					294.9			- 9	
		1					295,3			- 8	
	Kepler 1	м	38	44		4.62	320.3	+	69	+15	9
	Copernicus	I .	47	50	-	5.01	322.5	+	90]		
		м	52	52	-	5.25	323.7	+ :	51 <sup>°</sup>	- 3	
	1 1	n]	54	58		5.68	325.5	+ -	44	-10	
	Aristarch ?	N]	59	50	1-4	4.95	338,9	+ 3	59	+ 5	
	1	11 1	8 4	36	1-4	4.27	338,6	+	62	+ 8	
	Dionys 2	1	10	7		4.94	322.2	+ 1	58	+ 6	?
	Manilius 1	M]	19	34		8.29	332.4	+	68	+14	9
	Austritte	1						7	58		
	Kepler 1	a   s	\$ 53	57	+	4.76	12.7	1+1	18	-10	7
	Copernicus !					5.54	9,0	1+1		+ 1	
						5.18		14		- 7	
						3.53				+13	
	1	н	57	18	+	3.44	23,8	+ :	32	-26	
	1	1 5	9 1	20	+	3.30	25.7	+ :		- \$	
	Bulliald )	4	25	44	+	3.03		+ 1	64	+ 6	9
	Censorinus !	M.	19	33	+	5.43	9,3	1-	721		?=zweifelba
	Tycho	1	40	27	+	2.63	38,8			+10	
		М	51				39.5	+ 1	63	+ 5	
	1	1	42			2.64		+	63	+ 5	
		4	46	19	+	1.03	17.8	+	57	- 1	
		1				3.83		+ 1			
	Fracastor 1	М				3.17				+16	7
	€ Rand	11 4 4	9 9	48	+	2.68	37.4	+ :	28]		
	1 -	-						7	02		

Beobachter	Object	1	4	>	- 1		G	Z		r.	R	Bemerkunger
Göttingen.	Eintritte	Î			Ť				Г		1	
4. GAUSS	. Tycho	ri.	712	7=5	61	_	2.62	29497	١.	38*	- 4"	1
		H.	2	9 3	8  -	_	2.64	295,3	١.	4.3	+ 1	
	Kepler	м						320,3		48	+ 6	
	Copernicus	1						322.5	1	47	+ 5	i .
		111	5					325.5		33	- 9	
	Aristarch	1	8	1 2				338.5			- 3	i
	Dionys	м	- 1	1 4	θ.	_	4.94	322.2	+	39	- 3	
	Censorinus	м	4	6 3	9 .	_	1.78	321.2	+	19	+ 7	i
		-			1				Г.	336		1
Königsberg.	Eintritte	- 8								3-3-0		
5. Bessel	C Rand	ď.	7	7 1	s .	_ ,	9 67	296.2	ı.	19	-20	
o. Desset	Grimaldi	i						308.4		32	- 7	
		ıil.						314.0				
	Tycho	ï									+ 3	
		ni <sup>†</sup>								38	- 4	ļ
		M						303.7			+40	7
		М						320.3			+19	,
	Copernicus							322.5		50	+11	1
		iil.						325.5			- 2	
	Censorinus							321.2		29	-10	1 .
	Langrenus							345,5			-10	
		11		3 3				318.2			- 5	
	Austritte	**	_		٦.			0 111.2		68		
		M	8 5		ı١,		1.76	12.7			- 2	2
	Kepler Copernicus		5				5.83		ľ		-15	1
		ni.	5				5.48		1		-11	
	Grimaldi	ï						22.8	1		+ 7	
		ni.	5					25.7		8		1
			9 2					30.0	1		+13	7
	Censorinus						$\frac{3.03}{5.43}$			38	-10	-
	Tycho	ï	4				2.63				+11	1
		ui.	4				2.63 2.61				+ 11	
		ï	ì				£.22				+ 3	
		ú.					4.ZZ 3.83			58	+ 3	
		ii ı					2,68					
	E nana	٠,٠		2 1	9 1	+	2,60	37.4				
	P:	-							1	178		
Kremsmünster					.1				į.			
6. Derfflinger		М						309.0				
		м	2	8 5	3	-	2.62	294.9	+		-15	
	Austritte				-1					97		
			8 5								-27	
								39.5			+25	
	C Rand	щ	0	4 3	9	+	2.68	37.4	+	66	+ 2	l .
	1.	- 8			- 1					192		

 1. Åbo, Waeres
 B. J. 1823, 190.

 2. Berlin, Bonz
 B. J. 1820, 98.

 3. Christiania, Hasveez
 A. N. 1, 42.

 4. Gottingen, Gauss
 B. J. 1820, 202.

 Absond. E. S. Goudinch. & Wissensch. XIIX.
 39.

- Königsberg, Bessel; 7füss, Reflector, 80fache Vergr.
- A. N. 4, 479; B. J. 4820, 488 und Z. f. A. 3, 92.

In Berlin war die Witterung sehr gunstig, nur gegen das Ende beschlug das Ohjectiv, sodass die letzten Anstritte sehr unsicher sind; «der Rand war wie gewöhnlich sehr rauchig und verwasehen». In Böttingen kunnte zwischen fliegenden Wolken ganz gut beobachtet werden. Dzartasoza sehreibt: «Anfangs Wolken; beim Ende war der Himmel sehr rein; und ich hoffe die Beobachtung desselben sey sehr gut.»

Berechnet sind 403 Radien, ausgeschlossen . . . 11 \* ,

also benutzt . . . 92, nämlich 54 Eintritte und 38 Austritte.

25. Mondfinsterniss am 20. April 1818.

Beobackter	Object	1	9			$\sigma$	x	V	R	Bemerkungen
Augsburg.	Eintritte	1					-	-	-	
1. STARK	. C Rand	114	1 N	m49		2.62	34497	+ 83"	+ 6"	»geschätzt«
	Tychu	1.	24	23		2.72	146.6	+ 77	0	-zweifelhaft
		H)	27	0	-	2.79	347.8	+ 66	-11	bei Wolken
	Gassendi 1	М	37	50		5.40	7.4	+ 62	-15	9
	Langrenus 2	M I	2 14	7		4,53		+ 96	+19	3
	Austritte							384		
		1 4	2 28	29	4	1.90	44.8	+ 29	-16	
	Longoment.		57		4	2.88		[- 79]		7
		1				2.75			+25	1
		ii i	30		1			+ 35	-10	sohne Wol-
	C.110.111			-	ľ.	m10.7		134		kene
Berlin.	Eintritte	-1			1			149		
2. Bode	. C Rand	14	1 8	50		9.09	344.7	+ 80	- 1	
2. DHDE		, ,	25				347.4	+ 73	- 8	i
		W	38			4.17		+ 72	- 0	
		M		99			347.8	+ 179		
		M	54				356.3		+ 3	
		M 4		0		4.53		+ 97		
		" "	2 10	U		4.00	3.1		+10	
	Austritte	. f.						406	11.2	
						10.70			-10	
		И		30				+ 57	- 7	1
		1 1					65.4		+ 4	
	Langrenus !		4.5			4 58	483	± 78		

Beob	achter	Object			9			σ	Z	V	R	Be	merkunge
Dres	den.	Eintritte											
3		Tycho	м	143	25	4		2.75	31791	+195"	+17"	9	
		Bulliald	31		36	54		4.47	4.6	+ 90	+ 2	9	
		Fracastor	М			52		3.48	356.3	+ 80	- 8	9	
		Hipparch	М	12	7	39		8,45	14.3	+ 80	- 8	9	
		Langrenus			45	7		4.53		+ 83	- 5	9	
		Austritt		ì						438			
		€ Band	ш	13	29	97	+	2.65	66,9	+ 19	0		
Ofen		Eintritt				~.	1	2.00	110,0				
. KRET		. C Band		4.4	10	13		9 69	344.7	+ 37	0		
		Austritt		١.,		40		2.02		. 01	U		
		@ Band	11	13	29	53	4	9.65	66,9	+ 25	0		
Prag		Austritt	-						00.0				
BITT		C Rand	п	43	30	38		9.65	66.9	+ 46	0		
Prag		Eintritte	-		90	90		1.00	00.0		-		
i. Davii		. C Rand	1	14	9	3		9.69	344.7	+ 75	± 5		
·. Date		Lycho	i			17			346.6				
		1,040	11							+ 67	- 3		
		Gassendi	1		36			5.16					
			1L					5.45		+ 84			
		Hipparch		12		57		7.26		+ 58			
		- Approximate	П		7	17		8,34		+126			
		Austritt								447			
		( Rand	п	43	30	6		9.65	66,9	+ 34	0		
Wie		Eintritte	11	13	30		1	2.00	66.5	7 34			
. Bins		. ( Rand			7	35		9 69	344.7	+109	. 6		
. Dege		Tycho	i			40			346.6	+116			
		гусно	II.		24	35			347.8	+119			
						30				344			
		Austritte		13	4	92		a en	62.8	+ 32			
		Tycho	II	1.3	3				65.2	+ 20	- 6		
			11		-3	z	+	2.14	60.2		- 0		
Will		Eintritte		١				0.00		52			
S. SYLAI	DECKI .	. Rand		11		56			344.7	+ 78	-20		1
		Scheiner	1			35				+182			
			11		13	3				1+183			
		Schiekard	II			10			348.9	+110			
		Longomont				21				+113			
		Tycho	1			25				+100			
		D'a to	П			31				+120			ĺ
		Pitatus	41			38		1.09	355.3	÷ 79 + 81	-47		
		Bulliald	11										unzuver
			11		31	18	-	4.17	1.0		+ 3		lässig.
		Austritte		Ū.,						782		1.	s. unter
		Bulliald						1.24		+ 73		13	
		Schiekard	M					2.77		+122		1	
		Pitatus	M						56.9	+ 52		2	i
		Longomont							63.0			12	
		Tycho		13				2.89		+ 26			
			31		7			2.75		+435			
		60 1	11			45		2.74		+434			
		€ Rand	H		30	10	ļ÷	2.65	66.9	: 35	- 47		
										577			

4.	Augsburg, Canonicus STARK													B. J.	1823, 212.
2.	Berlin, Bone; 31fuss. Dollon	ď												B. J.	1822, 167.
3.	Dresden, math. Salon													B. J.	1821, 208.
å.	Ofen, Dr. Кикти													B. J.	1824, 258.
5.	Prag, Prof. BITTNER														1000 107
6.	» DAVID	•	•	•	•	•	•	•	٠	٠	•	٠	•	в. л.	1822, 129.
7.	Wien, Birg; achromatisches	Z	ugi	er	nr	ohi	۲.							B. J.	1822, 116.
8	Wilna Swingert													R I	1891 456

Bode bemerkt; »Der Rand des Schattens war wie gewöhnlich sehr unbegrenzt und verwaschen; die Secunden sind nur gesehätzt.« In Dresden beobachteten mehrere Liebhaber; die angegebenen Zahlen sind Mittelwerthe, »Der Himmel war völlig heiter, doch wallten die Mondränder. Der Rand des Schattens war anfangs so rauh und verwasehen, dass die Beobachter den Antritt auch nicht mit einiger Genauigkeit angeben konnten; selbst die Mondflecke traten nur nach und nach ein und blieben noch im Rande des obgleich nachlier diehter werdenden Schattens kenntlich,« Hierzu bemerkt Bope noch: »Durch schwach gefärbte rothe oder grüne Gläser erscheint der Erdschatten etwas besser begrenzt.« In Wien wurde die Fortsetzung der Beobachtungen durch Wolken verhindert. In Wilna störte Dunst die Beobachtungen: vielleicht in Folge hiervon schätzte Sxianecki den Schatten weit grösser, als die anderen Beobachter, z. B. versehwand für ihn Tyeho um 11h 25m 31m m. Gr. Zt., während ihn DAVID noch bis 11h 26m 57" und Stark bis 11h 27m 0° sah, Auch sonst sind diese Beobachtungen von Sniadecki recht unsicher, und ieh lasse sie daher bei der Mittelbildung fort. Als Curiosum und als abschreckendes Beispiel einer ganz unbrauchbaren Beobachtung sei hier noch die Angabe desselben Beobachters erwährt: »Fast 3 des Mare Humorum 42h 12m 45" w. Zt.«

26. Mondfinsterniss am 26. Januar 1823.

	1	ŧ.	9		g	χ	F		R	Bemerkunge
uchholz.	Austritte				1			-		
ASTORFF .	. Galilei 1	61	19	56"	+4.77	98%	+43	56"	+48"	
	Aristareh M		24	5.5	+1,80	94.2	+ 1	19	-59	?
	Copernicus 1		32	16	+4.76	100.2	+ 5	9	- 9	
	11		34	49	+4.76	1.00.1	+16	98	0	
	Tycho I		35	39	+4.75	147.8	+10	16	- 7	
	li li		36	19	+1.75	117.9	+ 7	76	-32	
	Timocharis M		37	25	+1.80	94.8	+45	25	+47	?
	Plato II		38	20	+1.87	88.0	+ 5	92	-46	1
	Manilius II		48	50	+1.76	99.9	+13	32	+21	
	Menelaus II		51	13	+1.77	99.5	+11	10	+ 2	
	Posidonius II		55	40	+4.80	94.9	+16	98	0	
	Censorinus II		59	49	+1.74	106,1	+11	0	+32	
							190	16		
lanamatta.	Cintritto				1		١	,,,		
		3	4.4	13	-4 77	301 8	li.	61	1	
UNKER		10								
		į.								
		1								
		i								
		١.								
		١.								
									l l	
		1								
		1								
		i .								
		į.								
		1								f .
			19	90	-1.71	494.4			- 1	
		6								
	Kepler M					100.2			+16	
	Manilius M			35		99.6			-29	
				41		99.1				
	Menelaus M	1							-48	
	Dionys M		54	21	+1.73	104.2	+ 8	38	-45	
			54	21 38	+1.73		+ 8	88		
	Paramatta.	Aristareh M Gopernicus I Tycho II Timecharis M Plato II Manilius II Menclaus II Fosicionas Geromato Ge	Aristarch M Copernieus I Tycho I Timocharis M Plato II Manilius II Manilius II Posibonius II Cenorinus II Cenorinus II Cenorinus II Bullish II Bullish II Reinhold I Copernieus II Tycho I Timocharis II Aristarch II Bullish II Folio I Timocharis II Aristarch II Ulony II Ulony II Plato II Ulony II Plato II Flinius II Plato II Flinius II Flinius II Plato II Cenorinus II	Aristareh M 24 Copernicus I 31 Tycho II 31 Manilius II 48 Kepker II 31 Tycho II 36 Tycho II 36 Tycho II 36 Timocharis II 10 Manilius II 10	Aristarch M 24 14 Gopernicus 1 33 49 Tycho II 33 49 Tycho II 36 19 Timecharia M 37 21 Plato II 37 21 Plato II 38 19 Manilus II 14 10 Manilus II 14 10 Censorinus II 59 19 Foramatio. Eintricu CENST . Golilei I 34 13 Golilei I 34 13 Kristarch I 49 18 Hulliaid I 54 13 Copernicus II 50 45 Tycho I 56 18 Timecharia I 6 23 Aristarch I 6 25 Aristarch I 19 18 Tycho I 56 18 Timecharia I 6 25 Aristarch I 6 25 Manilus I 10 29 Hulliaid I 10 29 Manilus I 10	Aristarch M 2 1 11 - 12.  Gopernicus 1 3 16 - 14.7c Tycho II 33 149 - 1.7c Tycho II 33 149 - 1.7c Timecharis M 37 21 - 12.6c Photo II 38 20 - 1.3c Manilus II 18 16 16 17. Photo II 38 20 - 1.3c Manilus II 18 16 17. Photo II 38 20 - 1.3c Manilus II 18 16 17. Photo II 38 16 17. Photo II 38 16 17. Replace II 3 14 13 - 1.7c Replace II 3 14 13 - 1.7c Replace II 3 14 13 - 1.7c Replace II 19 18 - 1.3c Reinhold I 3 15 13 - 1.7c Gopernicus II 50 6 5 - 1.7c Tycho II 56 5 - 1.8c Manilus II 10 20 - 1.7c Tycho II 56 8 - 1.7c Tycho II 56 8 - 1.7c Tycho II 56 8 - 1.7c Tycho II 10 12 - 1.7c Menidus II 10 29 - 1.7c II 11 11 16 18 - 1.8c Manilus II 10 29 - 1.7c Menidus II 10 23 - 1.7c Menelaus II 10 23 - 1.7c Redouse II 10 33 - 1.7c Redouse II 10 38 - 1.7c Austrite II 30 38 - 1.7c	Aristareh M 24 i 14 - 1, 80 91.2  Copernicus I 31 19 - 1, 75 100.1  Tycho II 31 19 - 1, 75 100.1  Tycho II 31 19 - 1, 75 100.1  Tycho II 31 19 - 1, 75 100.1  Timnecharis II 37 21 - 1, 80 91.8  Palso II 38 91 - 1, 75 11.7  Palso II 31 10 - 1, 75 11.7  Paramatta. Eintritie  CERKE I 31 1 25 - 1, 75 11.7  Paramatta. Eintritie  CERKE I 31 1 31 1 31 - 1, 75 11.7  Paramatta. Eintritie  CERKE I 31 1 31 1 31 - 1, 75 11.7  Paramatta. Eintritie  CERKE I 31 1 31 - 1, 75 11.7  Paramatta. Eintritie  CERKE I 31 1 31 - 1, 75 11.7  Paramatta. Eintritie  Tycho II 36 1 - 1, 80 10.3  Tycho II 36 1 - 1, 80 10.3  Tycho II 36 1 - 1, 75 11.7  Tycho II 36 1 - 1, 75 11.7  Tycho II 36 1 - 1, 75 11.7  Tycho II 31 1 10 22 - 1, 75 11.7  Tycho II 31 1 10 22 - 1, 75 11.7  Diony 3 1 10 12 - 1, 75 11.7  Diony 3 1 10 12 - 1, 75 11.7  Diony 3 1 10 12 - 1, 75 11.7  Menelaus I 10 29 - 1, 75 10.3  Pininius I 6 33 - 1, 77 30.4  Eudosus I 73 - 1, 75 11.7  Censorinus II 93 8 - 1, 71 295.8  Austrite	Aristareh M 24 14 - 1, 20 91.2 + 1	Aristarch M 24 11 + 1.89 9.1.2 + 10   Copernieus 1 30 19 + 1.76 100.2 + 99   Tycho 1 13 1 49 + 1.76 100.3 + 168   Tycho 1 13 1 49 + 1.76 100.3 + 168   Tycho 1 13 1 69 + 1.76 100.3 + 168   Tycho 1 1 30 1 1 + 1.89 91.8 + 145   Plato 1 1 38 9 1 + 1.89 91.8 + 145   Plato 1 1 38 9 1 + 1.89 91.8 + 145   Plato 1 1 38 9 1 + 1.89 91.8 + 145   Plato 1 1 38 91 1 + 1.89 91.8 + 145   Posibonius 1 5 9 19 + 1.71 106.1   Tycho 1 5 6 1 1 1 1 1 1 1 1 1 1 1 1 1 1 1 1 1	Aristarch M 2 11 1 + 1.89 9.1.2 + 19 - 29  Gopernieus 1 31 49 + 1.76 100.3 + 168 7 17 17 17 18 1 1 1 1 1 1 1 1 1 1 1 1

1. Buchholz bei Drussen, Geheimrath Pastorff . . . . B. J. 1827, 100.
2. Paramatta, Benera . . . . Z. C. A. 9, 133 und B. J. 1826, 212.

In Buchholz war zu Anfang der Himmel trübe. Pastorer schreibt: »Wie die Finsterniss total war, konnte man keinen Schimmer des Mondes selien: nachdem aber dieser dunkele Schatten den Mond verlassen hatte, erschien derselbe von einem milchigten Schatten verfinstert, der ganz dem liellen Erdlichte ähnlich war, welches oft den dunkelen Theil des Mondes im ersten Viertel uns sichtbar macht. nur mit dem Unterschied, dass dieser Milchschatten noch heller sich zeigte; aus diesem erfolgten nun die Austritte der Mondflecke . . . . Ausserdem muss ich bekennen, dass die Bewegung, die ich in dem milchigten Schatten wahrzunehmen glaubte, mir es fast gewiss machte, dass er durch unsere Atmosphäre hervorgebracht werde, die überhaupt durch die Brechung, welche die Lichtstrahlen in ihr erleiden, den Kernschatten der Erde auffallend verringern muss.« Es wird vielleicht richtiger sein, anzunehmen, dass die beobachtete Bewegung ebenso wie das milchige Aussehen des Mondes durch eine vorüberziehende dunne Wolkenschicht verursacht sei. Hierdurch würde sich dann auch die ausserordentlich geringe Uebereinstimmung von Pastorf's Beobachtungen erklären. Jedenfalls sind dieselben ganz unzuverlässig. Nicht besser steht es leider mit den Beobachtungen von Renker. Zur Noth könnte man vielleicht nach Ausschliessung mehrerer Objecte die Reihe der Eintritte eben noch als brauchbar bezeichnen, doch ist es jedenfalls besser, diese Finsterniss wegen des ungenügenden Materials im Folgenden zu übergehen.

Berechnet sind 42 Radien, alle werden ausgeschlossen.

27. Mondfinsterniss am 5. Februar 1841.

Beobachter	Object			3		g	X		V	R	Ben	erkunge
Berlin. 1. Excar	Eintritte Kepler Aristarch Manilius Arago Menelaus Plinius Proclus ( Rand	M M M	13	33 53 56 57 0 9	47 58 23 23 37 24	-1.80 -1.76 -1.74 -1.76 -1.76		++++++	16] 34 39 57	3 8 10 5	9 9 9 9	

Beobachter	Object	,	9		σ	χ	ľ	R	Bemerkunger
	Austritt								
	Aristarch 1	( 45)	5	199	+1.75	98.4	[+ 99"	]	7
Berlin.	Eintritte	1				1	ł		
GALLE	Rand	112	20	49	-4.73	297.9	+ 38	- 3"	1
	Aristarch 1	(	33	22	-1.8	309,6	+ 44	+ 3	7
	Copernicus !	1	40	5		303.8	+ 29	-12	7
	Arago 3		56	48	-4.74	300.7	+119		9
	Bessel 3	6	58	57	-4.78	306.9	+ 35	- 6	9
	(Rand 1	1 13	17	49	-4.73	303.2	+ 60	+19	
	-						206	1	
Bonn.	Eintritte	1				1	1		
ARGELANDER	. (Rand	1 15	21			297.9			
	Copernicus	Ľ.					[+102]		1
	1	1				303.8	+ 77	+15	
	Tycho		40			286.1	+ 67	+ &	
	1			14		285.9		+16	
	Manilius 3			27		304.4	+ 87	+24	2
	Dionys 3					299.9	+ 61	- 2	? »unsicher
	Menelaus 1					304.9		-11	?
	Pfinius 3			37		304.2		+11	1
						303.7	+ 28	-35	?
	C Rand 1	ı,	18	27	-4.73	303.2	+ 38	-25	
	Austritte						563	1	
		15	6			102.5	+ 36	-19	7
	Tycho		16			120.7		+ 2	
	1		18	5		120.7	+ 51	- 4	
	Manilius 8		28			102.2	+ 18	- 7	7
	Menelaus A			17		104.8		- 3	1
	Dionys 1			57		106.8		+11	? »unsicher
	Plinius M		35			102.5		0	?
	Proclus 1					103.1	+ 66	+11	?
		4	53	58	+1.73	108.8	+ 64	+ 9	
_	Pa	1					195	1	
Bonn.	Eintritte	J.a	21	to	1.71	207 0	[- 23]	J.	,
. KYSAEES							+107		1
	Copernicus			44		303.7	+ 95		
	Manilius 3			15		304.4	+ 94	+20	7
	Dionys 3			57		299.9	+ 87	+13	? »unsicher
	Menelaus N			48		304.9		-20	- sunsit net
	Plinius 3			42		304.2	+ 71	- 3	7
		13		44		303.7	+ 45	-30	9
	( Band 1		19			303.2	+ 19		
	Austritte	1				00010	445	1	
		de.	16	58	+1.74	120.7	+ 61	+ 3	
	Tycho					120.7	+ 45	-13	1
	Manilius 3					102.2	+ 74	+16	? aunsicher
	Menelaus 3					101.8	+ 58	0	9
	Dionys 3					106.8	+ 50	- 8	? »unsicher
	Plinius 1					102.5	+ 63	+ 5	?
							351		

Beobachter	Object			9		0	X	V	R	Bemerkunge
Catania.	Eintritte	1								
5. C. H. F. PETERS	€ Rand	- 1	12	20		-1.73			-13	* unsicher*
	Rand	ш	13	17	20	-1.75	303.2	+ 76	÷13	
	1							126	-	
Catania.	Eintritte	-				ì			1	ł
6. SARTORIUS	€ Band			20		-1.73				1
	C Rond	11	13	17	50	-1.75	303.2	+ 59	- 3	-
								124		1
Göttingen.	Eintritte	- !							1	1
7. GOLDSCHMIDT .	Aristarch							+ 99		7
	Copernicus					-4.76		+ 88		?
	Euler	M			11		309.3			?
	Tycho	1		44	7	-1.74		+ 33		
		11			29	-1.74		+ 35		١.
	Heraclid	Я			33		344.5	+ 53		7
	Laplace Pico	N			37		345.5	+ 16		7
	Manilius				19	-1.86		+ 45		7
	Maninus	1		54	5		304.5			i
	Plate	ï			37		346,5			i
	riate	ú			59		316.7			i
	Menelaus	М		57	0	-1.76				,
	Plinius		43		31		304.2			-
	Posidonius	ï	10	3	47		309.5	+ 59		1.
	Gorlenius	- 6		6	13	-1.73				
		11		7	4		294.3			
	Hercules	М			48		344.0			9
	Proclus	м		9	59	-1.76	303.7	+ 36	- 5	9
	Endymion	1		10	35	-1.87	345.9	+ 30	-11	
		Ш		11	33	-1.87		+ 34	- 7	
	Picard	M		16	51	-1.75	303.4	- 55	1	?
	Austritte	- 1						704		Į.
	Aristarch	M	15	3	8	+1.79	98,4	+ 25	-18	7
	Heraelid	M		9	4	+1.86	91,6	+ 25	-18	2
	Laplace	M		12	24	+1.86	94.5	+ 48	+ 5	?
	Tycho	1		16	34	+1.74	120.7	+ 48	+ 5	
		11		48		+1.74				
	Plate	1				+1.88		+ 12		
		п		18		+1.88		+ 37	- 6	
	Manilius	M		28		+1.77				?
	Menelaus	M				+4.76		+ \$8		2
	Plinius	M				+1.76		+ 50		?
	Posidonius					+1.80		+104		
	Proclus	М		4.6	18	+1.76	103.1	+ 52	+ 9	?
H	*** * ***							677		
Hamburg.	Eintritte			٠.	20		200 0			
В. Вемкей	Grimaldi		12	24			299,9	+ 70		9
	Galilei	M			19	-1.77				1 2
	Kepler Gassendi	M			18		301.4	+129		9 9
	Aristarch	M		34	18			+122		7 .
1.	Laudsberg						300,5			7 *

Beobachter	Object		Э		1	ş	Z		V	R	Be	merkunger
	Reinhold M	12	37	-17	-1	75	30109	+	48"	-24"	7	
	Copernicus M	1	38	37	-1	.76	303.8	1 +	79	+10	9	
	Bulliald M	1	37	47	-5	.73	293.4	11-	15]		7	
	Tycho M		12	46	- 1	75	285,8	1.+	48	-54	9	
	Harpalus M	8	41	16	-1	.88	316,5	11+3	2021		7	
	Heraclid M		41	16	-4.	.85	314.5	l'+	127	+58	9	
	Timocharis M	1	46	25	-4.	.80	309.7	l +	48	-24	9	
	Archimed M	ŧ.	46	25	-4.	80	309,8	1+	1931		7	
	Helicon M	1	\$7	45	-4	85	314.4	1.	29	-10	9	
	Manilius M	1	53	50	-4.	.76	304.5	+	40	-29	7	
	Plato M	9	52	54	-4.	.88	316.2	+	83	+14	?	
	Dionys M	1	56	29	-1	.75	299,9	۱.	33	-36	7	
	Menelaus M	9	57	26	-4.	76	304.9	+	33	-36	9	
	Aristoteles M	E	58	14	-1.	86	314.7	1+	1571		7	
	Eudoxus M	E	58	44	-4.	84	313.4	+	25	+56	2	
	Plinius M	13	0	38	-1.	76	304.2	+	39	-30	9	
	Posidonius M		4	9	-4	80	309.6	+	52	-17	9	
	Taruntius M		6	12	-4.	74	299.6	+	135	+63	9	
	Proclus M	1	10	42	-1.	76	303.7	lf+	117		7	
	Petavius M	1	44	44	-1.	73	288.8	II	53		3	
	Langrenus M	1	12				294.3		22	-47	9	
	(Rand H	1	48	40	- 4.	75	303.2	1 +	34	-38		
		1							1531			

4.	Berlin,	ENCKE )															D tt Q	100
2.		GALLE		•	٠	•	•	•	•	٠	•	•	•	٠	•	•	Deriin z,	109.
3.	Bonn,	ARGELANDER															1 N 10	217
		Kysaris						•			•	-					A. A. 10	311.

- 5. Catania, C. H. F. Petres; 120fache Vergr. 1
  6. SARTORIUS; 40fache Vergr. 1
  7. A. N. 21, 219.
- 7. Göttingen, Goldschmidt; 10füss. Dollond, 42 Lin. Oeffil.,

ENAR schreibt: «Der Kernschatten zeigte sich, nachdem ein Iheil des Mondes dadurch verdunkelt war, so, dass der dem Lichte zunächst liegende Theil desselben von einigen Minuten Breite eine dunkelgraue, die übrige Schattenfläche eine röthliche Färbung hatte, einem schwachen Glüben oder einem matten Abendruht zu vergleichen. Nachher bei der totalen Verfüssterung nahm der ganze Mond diese letzte Färbung an. Dabei zeigten die sonst in weissem Licht glänzenden Theile des Mondes, also namentlich das gebirgige Südwestviertel, die röthliche Färbung reiner, während die Mare-Flächen mehr in Grau übergingen. Das Ende war durch Wolken verhullt.« In Bonn war esz u. Anfanz dunstiz, zur Zeit der Totalität. ganz klar; »das Licht des verdunkelten Mondes erschien nicht so dunkel kupferroth, als ich es sonst gewöhnlich gesehen habe, sondern viel heller, fast rosenroth.« Goldschmidt: »Der Mond war während der Totalität gelblichroth, namentlich im Westen war diese Farbe sehr hell; die grösseren Flecken und Mare blieben sichtbar. Beim Ende der totalen Finsterniss zog sich ein lichter bläulicher Schimmer über Grimaldi am Südrande des Mondes hin.« RUNKER: »Die Witterung war im Gauzen ungünstig; bei den heiteren Intervallen war der Schatten aber schärfer begrenzt, als ich es jemals bemerkt habe. Die Momente sind zur Secunde angegeben, welche ich zwar bei den übrigen nicht verbürge, aber bei den mit einem Sterne \* bezeichneten Beobachtungen der Wahrheit sehr nahe glaube, « Vergleicht man die letzte Bemerkung mit den Resultaten von Remker's Beobachtung, so ist die Folgerung ganz unabweisbar, dass der bei weitem grösste Theil der beobachteten Objecte von Remker mit falschen Namen benannt worden ist. Wahrscheinlich ist dieses auch der Grund der schlechten Uebereinstimmung der Remker'schen Beobachtungen im Jahre 1823 gewesen.

Die übrigen Reihen zeigen der Schärfe des Schattenrandes ganz entsprechend eine gute Uebereinstimmung, sodass man das Ergebniss derselben für ziemlich sicher halten darf.

Berechnet sind 116 Radien, ausgeschlossen . . . . 12 \* ,

also benutzt . . . . 74, nämlich 48 Eintritte und 26 Austritte.

28. Mondfinsterniss am 26. Januar 1842.

	Boobacbler	Object			9		g	Z ·		I.	R	Bemerkungen
	Berlin.	Eintritte	Ĩ	Г					-			
١.	ENCKE	( Rand	1	41	18	27*	-2.06	254.8	+	33"	-11"	
		Aristarch	M		25	16	-2.12	252.4	+	60	+16	
		Grimaldi	M		30	15	-2.69	238.9	+	35	- 9	
		Kepler	М		34	0	-2.38	245.0	+	32	-12	
		Plato	M		37	21	-1.94	259.9	+	39	- 5	
		Copernicus	М		40	59	-2.38	245.0	+	55	+64	
		Manilius	M		54	16	-2.36	245.6	+	55	+ 7	
		Plinius	М	5	4	20	-2.42	244.4	+	54	+ 7	
		Delambre	M		å		-2.72		+	108		
										356		

Beobachter	Object	9	σχ	V	R	Bemerkunger
	Austritto	1		1	1	
	Grimaldi M	6h 6m 0m	+2.72 161	4 27"	-17	
	Kepler M	22 47	+2.38 455	2 + 46	+ 2	
	Aristarch M	28 0	+2.13 148	4 + 36	- 8	
	Copernicus M	29 56	+2.40 155	6 + 41	- 3	
	Manilius M	44 53	+2.36 154	8 + 52	+ 8	
	Plato M	54 59	+1.94 140	1 + 58	+15	
	Plinius M	50 57	+2.38 155	1 + 49	+ 5	
	C Band 11	7 10 9	+2.06 145	3 + 39	- 5	
				348		
Dorpat.	Eintritte	1		940	1	
2. MADLER	. (Rand 1	4 18 30	-2,06 254	8 + 32	-17	
a. Marken	Aristarch M	25 2	-2.12 252		+18	2
	Riccioli M	26 33	-2,56 241		- 4	9
	Grimaldi M	29 51	-2.69 238		- 4	
	Laptace M	32 4	-1.98 258		-43	1
	Kepler M	32 49	-2.38 245		+13	7
	Plato I	36 46	-1.94 260		0	
	II.	37 56	-1.95 259		+ 1	
	Pytheas M	37 41	-2.20 249		+ 3	7
	Krüger M	38 26	-3.24 234		T 8	9
	Copernicus 1	39 45	-2.36 245		+17	1
	Aristoteles 1	45 6	-1.96 259		+ 4	
	Aristoteles 1	46 41	-1.97 258		+ 1	1
	Gassendi 11	49 13	-3.46 229		- 9	
	Eudoxus M	46 36	-2.00 257		+18	9
	H H	47 11	-2.00 257		+19	1.
	Endymion 1	53 44	-1.95 259		-45	
	tadymion 1	55 46	-1.98 258		-16	1
	Manilius 1	53 53	-2.35 245		+ 1	1
	11	55 41	-2.38 245		- 8	
	Posidonius M	56 56	-2.44 252		- 6	1
	Menelaus M	57 29	-2.35 245		-13	1
	Dionys M	5 5 4	-2.71 238		-41	9
	Proclus M	10 33	-2.40 244		+ 7	9
	Pitatus I	11 51	-5.19 219		+ 1	1
	Censorinus M	43 36	-2.85 236		+15	7
		10 .50	2.110	1268	-10	1.
	Austritte	6 93 11				
	Kepler M Aristarch M	6 23 11 28 7	+2.38 155		+ 4	7
		28 7	+2.43 148			7
	Copernicus 1		+2.43 456			
	II	31 31	+2.37 155		+ 9	7
	Pytheas M	35 58	+2.20 150		+ 1	
	Dionys M	44 5	+2.69 164		- 8	?
	Censorinus M	44 26	+2.94 164		- 6	7
	Laplace M	45 26	+1,96 144			?
	Menetaus M	48 41	+2.34 154		0	7
	Plato I	50 47	+1.95 110		+ 3	
	- 11	52 27	+1.94 140		+ 1	
	Eudoxus 1	57 9	+2.01 143		- 2	1
	11	58 1	+2.00 143		- 4	
	Aristoteles 1	58 1	+1.97 111	5 + 44	- 8	1

Beobachter	Object			9		σ	χ	· ·	R	Bemerkunge
	Aristoteles	n l	61	59	38	+1.96	14424	+ 55"	+ 3"	
	Posidonius			59	38	+2.13	148.0	+ 65	+13	
	Proclus	м		59	3	+2.38	155.2	+ 53	+ 1	2
	Endymion	4	7	6	47		141.2	+ 56	+ 4	1
		11		8	- 1	+4.96	151.2	+ 66	+15	
	C Rand	14		10	11	+2.06	145.3	+ 40	-12	
								983	1	
Hamburg.	Eintritte								i	
3. RUMBER		M	5	25	50	- 2.12	252.4	+ 44	- 8	9
	Copernicus	M		50	23	- 2.38	245.0	+ 71	+19	9
		M		42	\$9	-2.14	252.8	+ 41	-11	1
	Aristoteles	М		47	36	- 1.98	258.3	[- 4]		1
	Gassendi	M		4.5	49	3,23	231.4	+ 76	+24	7
	Endoxus	м		17	36	-2.00	257.2	+ 37	-45	1 1
	Bulliald	М		52	40	-3.32	230.6	[+155]		7
	Manilins	М		54	0	-2.36	245.6	+ 57	+ 5	7
	Capuanus	N		54	40	-3.75	226.7	[+277]		9
	Menelans	ï		57		-2.34		+ 41	-11	
		ni l	5	0	36	-2.42		F- 251		
	Plinius	м			48	-2.42	244.4	- 35		?
	Pitatus	M		- 5	47	4.34	223.4	+146		1
	Theophilus	М	1	21	29	-3.74	227.0	+ 2		1
	Austritte							367	-	
		M	5	55	10	+5.84	183.3		+18	9
	Pitatus	M	6	0	18		182.8	+ 54	-17	7
		M		2	38	+3.54				7
		M	ı		53	+2.72		+ 25	-43	9
		M			33		173.4		- 7	9
		N			47	+2.38			+ 3	7
		Ñ.		27	54		148,1		-36	9
	Copernicus			31	2	+2.40		+ 69	+ 4	9
		М			56	+2.43			1	9
	Theophilus			37	25	+3.24				7
		M			33				+ 8	7
		M		43	4		141.3		+49	4
		M			20	+2.36		+ 64	- 4	+
		M			26					2
		N.			46	+2.09		+119	+51	9
		31		49		+2.34		+ 63	- 5	7
	Plato	M	1	52	3	+1.91		+ 69	+ 1	9
		М.		52	7	+2.38		+ 79	+11	4
		M	-		17		160,5	+100	+32	1
		M		57	7		143,3	+ 34	-34	*
		M	1		35			[- 18]		1
		M	7	2	4			+127		*
	C Rand	îi	ı.		10		145,3	+ 40	-28	1
	Cuana	"				1 410 0	1.4.40	1156	-	
Krakau.	Austritt							1100	1	
Krakau.		п	-			+2.06	145 9	+ 73	0	
. WEISSE	. C Rand	**	1	. 1	10	T4.00	140,0	7 13		

4.	Berlin, Encke; grosser Refractor, 90fache Vergr.		Berlin 2,	189
2.	Dorpat, Madler; grosser Refractor		A. N. 19,	197.
3.	Hamburg, Remser		A. N. 19,	219,
Ā	Kenkan Wesser		A N 91	461

Excke bemerkt: »Obgleich die Finsterniss nicht total war, so war doch das röthliche Licht des verfinsterten Theiles sehr merklich. « Mädler: »Die ersten Eintritte dürften des tiefen Standes wegen etwas weniger sicher sein, als die späteren und als die Austritte, deren Beobaehtung dadurch sehr begünstigt ward, dass alle Flecke ohne Ausnahme während der ganzen Dauer der Finsterniss sichtbar blieben. Bei den früheren Finsternissen hatte ich sie gewöhnlich gleich nach dem Eintritte aus dem Gesieht verloren und erst bei weiter vorgerücktem Schatten im rothen Lichte wiedergesehen. Diesmal waren sie sowohl im grauen und bläulichen, als im rothen gebrochenen Lichte sichtbar, nur im letzteren etwas besser; ich glaube dies hauptsächlich dem bei weitem lichtstärkeren Fernrohr zuschreiben zu müssen. Das Roth war sehr intensiv; ich bemerkte seine ersten Spuren, als der Schatten etwas über den Kepler hinaus war. Eine Viertelstunde später konnte man das lebhafte Roth schon wahrnehmen, ohne den erleuchteten Theil des Mondes aus dem Felde zu entfernen.« RUMKER: »Besonders im Anfange war unter ungstnstigen Umständen zu beobachten, jedoch glaube ich, dass mir die Beobachtungen ziemlich gelungen sind, « Auch hier hat sich RUMKER wieder sehr oft im Namen der Objecte geirrt. Seine grosse Unsicherheit erkennt man deutlich an folgenden Stellen: Eintritt »Kepler (Aristarch?) 5h 5m 44m m. Zt. a: hier konnte er also Kepler und Aristarch nicht unterscheiden; ferner: Eintritt »Menelans 5h 37m 7s und gleich nachher »Menelaus 5h 40m 30 a; die zweite Beobachtung ist hier eine Verwechselung; ebenso kommt bei den Austritten Plato zweimal vor, wobei wahrscheinlich das zweite Mal Posidonius beobachtet ist. Doch kann man hier nach Ausschluss zahlreicher Beobachtungen noch mit einiger Sicherheit den Mittelwerth V, angeben, welchen Remken beobachtet hat. Das Schmidt sche Manuscript enthält einige Beobachtungen dieser Finsterniss, doch ist die Zeithestimmung ganz unsicher.

Berechnet sind 101 Radien,

ausgeschlossen . . . 15 " , also benutzt . . . . 86 , nämlich 11 Eintritte und 45 Austritte,

29. Mondfinsterniss am 31. Mai 1844.

Micros.	Beobachter	Object			Э		g	χ		ľ	R	Bemerkungen
Copermicus   2 4 22 - 180 251 8 + 441   32	Altona.	Eintritte		1								1
1	4. Ounc	€ Rand	- 1	91	6	56	-4.76	255%	+1	21"	+12'	1
Namilius		Copernicus	. 1	1	24	22	-1,80	251.8	+4	41	+32	1
Tycho			п	i	26	32	-4.84	254.3	+	79	0	
1   19   22   221   231   1   4   63   16		Manilius	M	i .	38	59	-4.77	254.6	+	34	-45	7
Can   1   0   0   0   0   0   0   0   0   0		Tycho	1		47	30	-2.24	232.2	+	62	-17	
Nutritite			11	E .	49	22	-2.24	231.4	+	63	-16	
Cand   1   4   29   29   24   27   31   8   5   5   6		C Rand	11	10	10	39	-2.16	233,8	+	83	+ 4	
Tycho		Austritte		1						553	1	
Tycho		6 Band	1	44	99	20	+2.17	131.8	+	54	- 8	
Allona. Fintrite 2. Perrasus. Tycho 11 9 48 25 - 2-21 2314 + 1-45 6 1   2. Perrasus. Tycho 11 50 2 - 2-21 2314 + 1-5 6    Allona. Fintrite 2. Perrasus. Tycho 11 50 2 - 2-21 2314 + 15 - 8    (Rand 11 01 25 5 4 + 2-5 1 31.8 + 39 0 0    Altona. Fintrite 3. Il. 6. Son: Tycho 11 50 28 - 2-21 2314 + 15 - 8    (Rand 11 01 28 54 + 2-5 1 31.8 + 39 0 0    Altona. Fintrite Austrite Chand 11 02 4 - 2-46 233.8 + 13    (Rand 11 01 28 5 - 2-21 2312 + 33 - 10    (Rand 11 01 28 5 - 2-21 2314 + 33 - 10    (Rand 11 01 28 5 - 2-21 2314 + 33 - 10    (Rand 11 01 28 5 - 2-21 2314 + 33 - 10    (Rand 11 01 28 5 - 2-21 2314 + 33 - 10    (Rand 11 01 28 5 - 2-21 2314 + 33 - 10    (Rand 11 01 28 5 - 2-21 2314 + 33 - 10    (Rand 11 01 28 5 - 2-21 2314 + 33 - 10    (Rand 11 01 28 5 - 2-21 2314 + 33 - 10    (Rand 11 01 28 5 - 2-21 2314 + 33 - 10    (Rand 11 01 28 5 - 2-21 2314 + 33 - 10    (Rand 11 01 28 5 - 2-21 2314 + 33 - 10    (Rand 11 01 28 5 - 2-21 2314 + 33 - 21			1	1							+ 5	1
Altona. 2. Perrasars. 1 Tycho 1 9 48 25 - 2.24 23.22 + 37 - 16  [Rand 1 1 0 10 54 - 2.14, 23.24 + 15 - 8  [Rand 1 1 0 10 54 - 2.14, 23.24 + 15 - 8  [Rand 1 1 1 10 25 - 2.24, 23.24 + 37 - 16  [Rand 1 1 1 10 25 - 2.24, 23.24 + 33 - 0  [Rand 1 1 1 2 2 2 2 2 2 2 2 2 2 2 2 2 2 2 2		7.4	11	1					+	68	+ 9	1
Altona. 2. Pirraeses. 2. Tycho 1 9 48 25 - 2.24 23 22 + 37 - 16  [Rand II 0 10 54 - 2.14 23 22 + 37 - 16  [Rand II 0 10 54 - 2.14 23 23 - 22  [Rand II 0 10 54 - 2.14 23 23 - 22  [Rand II 0 10 54 - 2.14 23 23 - 22  [Rand II 0 10 54 - 2.14 23 23 - 23  [Rand II 0 10 54 - 2.15 23 24 23 14 + 33 - 10  [Rand II 0 10 24 - 2.14 23 14 + 33 - 10  [Rand II 0 12 4 - 2.14 23 14 + 33 - 10  [Rand II 0 12 4 - 2.14 23 14 + 33 - 10  [Rand II 0 12 4 - 2.14 23 14 + 33 - 10  [Rand II 0 12 4 - 2.14 23 14 + 33 - 10  [Rand II 0 10 5 2 - 2.14 23 14 + 33 - 10  [Rand II 0 10 2 4 - 2.14 23 14 + 33 - 10  [Rand II 0 10 2 4 - 2.14 23 14 + 33 - 10  [Rand II 0 10 2 4 - 2.14 23 14 + 33 - 10  [Rand II 0 10 2 4 - 2.14 23 14 + 33 - 10  [Rand II 0 10 2 4 - 2.14 23 14 + 31 - 10  [Rand II 0 10 2 4 - 2.14 23 14 + 31 - 10  [Rand II 0 10 2 4 - 2.14 23 14 + 33 - 24  [Rand II 0 10 2 4 - 2.14 23 14 + 33 - 24  [Rand II 0 10 2 4 - 2.14 23 14 + 34 - 34  [Rand II 0 10 2 4 2 4 2.14 3 14 + 34  [Rand II 0 10 2 4 2 4 2.14 3 14 + 34  [Rand II 0 10 2 4 2 4 2.14 3 14 + 34  [Rand II 0 10 2 4 2 4 2.14 3 14 + 34  [Rand II 0 10 2 4 2.14 23 14 + 34  [Rand II 0 10 2 4 2.14 23 14 + 34  [Rand II 0 10 2 4 2.14 23 14 + 34  [Rand II 0 10 2 4 2.14 23 14 + 34  [Rand II 0 10 2 4 2.14 23 14 + 34  [Rand II 0 10 2 4 2.14 23 14 + 34  [Rand II 0 10 2 4 2.14 23 14 + 34  [Rand II 0 10 2 4 2.14 24 24 24 14 14 + 34  [Rand II 0 10 2 4 2.14 24 24 14 14 24 14 24 14 14 14 14 14 14 14 14 14 14 14 14 14		6 Rand	11	12	32	14	+1.76	109.8	۱.	53	- 6	
Altona.  Alt				1					1	36	1	
2 Pyrrasss . Tycho   9 18 25 - 22, 23 222 + 37 - 16 5	Altona	Fintritte		į.					١.	.00	1	
1			,	١.	40	95	-0 01	3230	١.	37	-16	
Rand	4. TETERSES	Lycuo		ľ								1
Altona   Cland		C Rand		lio.								
Rand			••	1			2.10	200,0			. 20	
Allona.  3. II. 6. Soute— Tyche    1			٠.	١	00		. 0 45	1210				
3, 11, C, Suc-   1, 9, 47, 51, -2, 21, 23, 22, 2, 53, 40, 11, 50, 50, 50, 50, 50, 50, 50, 50, 50, 50		€ nana	'	111	28	94	+2.17	131.8	+	39	0	
MACHER   11   50   28   -224   231.4   + 33   -10	Altona.	Eintritte		1					1			
Rand	3. H. C. Scnt-	Tycho	- 1	9	47	54	-2.21	232.2	+	53		
Austritt Altona.  Alt	MACHER		Ш	1	50				+	33	-40	
Austritt Altona. Altona. Altona. Cland 1 44 29 22 + 2,17 (34.8 + 52 0  Altona. Altona. Cland 1 9 7 44 - 4,76 255.4 + 410 + 36  Gepermicus 1 9 24 22 - 1,80 254.8 + 4410 + 36  Gepermicus 1 9 24 22 - 1,80 254.8 + 444 + 37  Poddonius M 39 5 - 1,77 254.6 + 34 + 43 + 43  Poddonius M 29 5 - 1,77 254.6 + 34 + 43 + 43  Tycho 1 47 50 - 2,21 232.2 + 53 - 42  Tycho 1 47 50 - 2,21 232.2 + 53 - 42  Langrenus M 10 4 57 - 1,80 24.7 7 + 8 + 48  (Rand 1 42 28 45 + 2,47 (34.8 + 35 - 48)  Tycho 1 47 4 + 2,24 (33.7 + 70 + 47)		€ Rand	ш	10	12	4	-9.16	233.8	+	43	0	
Altona. Eintritie  4, R.S-CREWALGER  (Rand   9 7 th -1.76   255.4   +110   +36   Copernicus   24 22 - 1.80   251.8   +111   +37    Wanilius   3 25 5 - 1.77   251.8   +141   +37    Posidonius   42 31 - 1.72   251.4   +36   -14   2    Plinius   4 12 1 - 1.72   251.4   +36   -14   2    Plinius   4 12 1 - 1.72   251.4   +36   -14   2    Plinius   4 12 1 - 1.72   251.4   +36   -14   2    Plinius   4 12 1 - 1.72   251.4   +36   -14   2    Rand   1   4 2 2 1   2 1.74   -17   -17    (Rand   1   4 2 2 1   -17   -17   -17   -17    (Rand   1   4 2 2 1   -17   -17   -17   -17    (Rand   1   4 2 2 1   -17   -17   -17    (Pland   1   4 2 2 1   -17   -17   -17    (Pland   1   4 1   -17   -17				i i					1	29		
5. R. Schewagers [ Rand 1 9 7 44 - 1.76   255.4 + 10 36   36   36   37   34   37   38   38   38   38   38   38   38		C Rand	1	44	29	22	+2.17	131.8	+	52	0	
5. R. Schewagers [ Rand 1 9 7 44 - 1.76   255.4 + 10 36   36   36   37   34   37   38   38   38   38   38   38   38	Altena	Vinteltte.		l					i			
Copermicus   1   24   22   1.80   25.1   8   +144   977				١.	-		1.76	ORE 4	١.,	110	26	
Manilius M   52   53   -1,712   54,6   54,6   54   54   54   54   54   54   54   5	4. N.SCHUMACHER			١,								
Maniflus		Copernicus		j.								
Peddonius M 12 34 - 1.72 261.4 + 63 - 44 2 Plinius M 12 - 1.72 261.4 + 63 - 44 2 vans Tydo 1 4 7 50 - 2.24 23.22 + 53 - 24 2 2.24 23.22 + 53 - 24 2 2.24 23.22 + 53 - 24 2 2.24 23.24 + 63 - 24 2 2.24 23.24 24 2 2.24 23.24 24 2 2.24 23.24 24 2 2.24		Manilina		1								4
Plinius   N   14   21   -1.70   255.6   + 60   -14   2   number     Tycho				ł								
Tycho I 17 50 - 228 (23.2.2 + 53.5 - 24 to 2.2.2 + 23.5 - 24 to 2.2.2 + 23.5 - 24 to 2.2.2 + 23.5 - 24.2 + 23.5 - 24.2 + 23.5 - 24.2 + 23.5 +												? »unsicher
1				1								. "dusicuei
Langrenus M 10 4 57 - 1.86247.7  + 8  ? (Rand II 40 24 - 2.16 233.8 + 90 +46 663		1 yeno		и								
(Rand II 40 24 -2.46 233.8 + 90 +46 Austritte (Rand I 44 28 45 +2.47 434.8 + 35 -48 Tycho I 47 44 +2.24 433.7 + 70 +47		Language		l.								-
Austritte (Rand 1 44 28 45 +2.47 434.8 + 35 -48 Tycho 1 47 44 +2.24 433.7 + 70 +47				10								
Rand 1 44 28 45 +2.47 434.8 + 35 -48 Tycho 1 47 44 +2.24 433.7 + 70 +47			.1	1	10		2.10	273.0			1.10	
Tycho 1 47 44 +2.24 433.7 + 70 +47			٠,	١	00			1110			10	
				11								
( Rand II 12 32 14 +1.76 109.8 + 53   0				1								
458		€ nand	11	12	32	15	+1.76	109,8			0	

Beobachter	Object	1	9		σ	z	f.	R	Bemerkunge
Berlin.	Eintritte	1							
5. GALLE	. C Rand	ıl s	h 9	"58°	-1.76	25504	+ 47	-24	1
	Aristarch V	d .	14	54	-1.76	255.5	+ 54	+10	
	Kepler 3	18	20	- 4	-1.82	250.2	+ 54	+43	2
	Copernieus N	ď.	26	58	-1.81	251.5	+ 45	+ 4	7
	Manilius N	1	38	54	-4.77	254.6	+ 39	- 2	?
	Menelaus M	Q.	4.4	37		255,5	+ 29	-12	?
	Plinius N		8.8	44	-1.76	255.6	+ 45	+ 8	7
	Tveho 3	ri -	49	48	-2.24	231.5	+ 25	-43	?
	C Rand f	111	44	4.3	-2.46	233.8	+ 53	+12	
	Austritte	1					365		
		dч	29	44	+2.47	131.8	+ 69		
	Kepler 5					115.0	+ 54		?
	Aristarch N					109.6			7
	Tycho 3		48			133.3	+ 59		?
	Copernicus M					113,8			?
	Manilius N					110.5	+ 68		7
	Menelaus N					109.4	+ 63		7
	Plinius N					109.5	+ 75		9
	C Band 4					109.8	+ 53		1
	C Mante	1					538		1
Berlin,	Eintritte	1					9.50	١.	
GÖTZE	. C Rand	1 5	9	45	-1.76	255.4	+ 45	- 6	
	Rand 4	111	11	43	-2.16	233.8	+ 53	+ 5	
	Austritte	1					93		
	C Band	de	99	43	+2 47	134.8	+ 64	+ 5	
						109.8	+ 59		
	Cuma .	П.,					443		
Brüssel.	Eintritte						111		
		1 5	×	53	-1.76	255.4	+ 54	- 2	
. HOULEN	Aristarch N			54		255.5	+ 53		
	Copernicus S		26			254.5	+ 74		
	Manilius 3			43		254.6	+ 60		
	Tycho			48		232.2	+ 46		
	1		50			234.6	+ 43		
	C Band 1		11			233.8	+ 68		
	Austritte	1					395		
		du	20		. 0 17	131.8	+ 45		
	( Rand Manilius )					140.5	+ 68		4
	Menclaus N					109.4	+ 65		9
	Dionys 5					114.4	+ 68		-
			32			109.8	+ 46		
	C Rand 1	١.	32	·	+1.70	103.0			
Brüssel.	Eintritte	8					293		
	. C Band	d s		52	1.76	255.4	+ 54	- 7	
. LIAGRE	Aristarch					255.8			
	Aristaren			19		255.5	+ 45		
	Grimaldi N					243,9	+ 45		
	t-rimaidt 3		17			212.9			
	Pytheas N		24			255.4	+ 67		2
	Copernicus			47		251.8	+ 97		
	Copernicus		27			251.6			

Beobachter	Object		9		σ	X	V	R	Bomerkun
	Plato	1	9k 25	~53	-1.70	26500	+ 56"	- 5"	
		м	26	47	1.70	265.0	+ 18	~13	]
		Н	27	23	1.70	265.0	+ 53	- 8	1
	Manifius	M	38	43	1.77	254.6	+ 60	- 1	9
	Menelaus	М	6.0		1,76	255.5	+ 63	+ 2	9
	Plinius	М	43		1.76	255.6	+ 75	+14	9
	Dionys	М	5.5			250.6	+ 64	+ 3	9
	Tycho	1	47			232.2	+ 58	- 3	
		М	4.5			234.5	+ 52	~ 9	
		П	- 49			234.4	+ 46	-15	
	Langrenus	М	10 3			247.7	+ 39	-22	7
	C Rand	11	- 11	17	2.16	233.8	+ 65	+ 4	i
	Austritte						1211		
	( Rand	3	14 28		+2.17	134.8	+ 30	-20	
	Grimaldi	М	39		+4.92		+ 23	-27	
	Aristarch	11		58		109.6			
	Tycho	-1	4.0		+2.24		+ 30	-20	
		Н	47			133.3		- 4	
		Ħ	4.8		+2.22		+ 56	+ 6	
	Copernicus		52		+1.81		+ 45	- 5	
		M	53			113.8	+ 87	- 3	
			54		+1,81		+ 62	+12	9
	Harpalus	H	12 1	59		100.5		+45	7
	Plato	11	12 1			100.2	+ 65	- 5	
	Manifius	М	8		+4.77		+ 56	+ 6	9
	Menelaus	34	11	31	+1.76		+ 59	+ 9	4
	Dionys	M	11		+4.81		+ 61	411	9
	Langrenus	34	27		+1.85		[+104]	711	9
	( Band	ii	39		+1.76		+ 74	+21	
Brüssel.	Eintritte						696		
9. QUETELET .	C Band	1	9 8	53	-1.76	255.4	+ 54	+ 8	
	Aristarch	1	43		-1.76		+ 81	+35	t
		П	1.8	53	4.76	255,5	+ 62	+46	ŀ
	Grimaldi	1	4.0			244.7	+ 45	- 4	
		П	1.7			242.9	+ 66	+20	ĺ
	kepler	М	4.9			250.2		+26	9
	Krüger	М	24		-2.04		+ 46	0	9
	Pytheas	М	21			255.4		+19	7
	Copernicus		20			254,8	+ 72	+26	
		П	27			254,3		+ 5	
	Plate	1	96			265.0	+ 33	-43	1
		П	27			265,0	+ 53	+ 7	į .
	Aristoteles	.!	35			265,6	+ 13	-33	
	Pakint and	Щ	36			265,5	+ 23	-23	
	Schiekard	.!	37			230.4	+ 28	-18	
	Menelaus	H	44			229.4 255.5	+ 50 + 35	+ 4	9
		M	43					- 11	2
	Plinins	Al	48		4.76	232.2	+ 37	- 9	1.
	Lycho	ú	50			234.4		-24	
			30	32	4.29	617 1 1 5	+ 22	- 44	

Beobachter	Object		9		G	χ	V	R	Bemerkunge
	Fracastor	1	9159	±15	-1.96	24128	- 20"	7.	
	1				~1.97		+ 40	-36"	1
	C Rand 1	114	9 44		-2.46		+ 54	+ 5	
	Austritte						1006	- "	
		1 4	1 28	53	+2.17	121 0	+ 38	-40	
	krüger 3		34		+2.02		+ 33	-45	7
		i I	32		+1.94		+ 55	- 8	
	J. III		33		+1,92		+ 45	-33	
	Schickard I			31	+2.32		+ 34	-47	
	Kepler 3				+1.82		+ 34	1.5	2
	Tycho				+2.24		+ 33	~45	
	r year			23	+2.22		+ 44	- 7	
	Copernicus				+1.84		+ 51	- 7	
	1		54		+4.81		+ 62	+44	
	Plato				+1.70		+ 63	+45	
	1		9		+1.70		+ 41	- 7	
	Manilius 3		8	37	+1.77		+ 74	+23	7
	Aristoteles 3	(	11	4	+1.70		+ 66	+48	9
	Menelaus 3		4.4	34	+1.76	109.5	+ 57	+ 9	9
	Fracastor 1	1	4.5	17	$\pm 1.95$	122.6	+ 69	+21	
	Hercules 1	I	20	- 5	+1.70	99,8	+125		
	( Band 1		32		+1.76		+ 69	+21	
	£						808		
Danzig.	Eintritte								
O. Anger	· Tychn )	4	9 49	34	-2.25	934.5	- 35	8	
		1 1			-2.16		+ 51	+ X	
	Austritt						86		
		14	98	5.7	+2.17	131.8	+ 40	0	
D 1	-	П.							
Danzig.	Eintritt	ж.			0.10				
14. Вояски .		111	11	87	-2.16	233,8	+ 51	0	
	Austritt	١.		10	. 0.15	1010			
	C Rand	Li	1 29	18	+2.17	131.8	+ 50	0	
Göttingen.	Eintritte	1							
12. GAUSS	. ( Rand	1	9 9	25	-4.76	255.4	+ 37	- 9	
	Aristarch 3	4	15	44	-4.76	255.5	+ 41	- 5	7
	Riccioli 3	4	4.5	47	-4.90	245.4	+ 29	47	. 2
	Grimaldi 3		46			243.9		4	2
	Kepler 3	40	4.9	53	1.82		+ 59	+43	?
	Kriiger !	4	21			239.4	- 45	- 4	?
	Pytheas 3		21			255.4	+ 58	+15	7
	Copernicus		25			251,8	- 79	+33	1
		1		25		265.0	+ 37	- 9	
	1		27			265,0	+ 55	+ 9	1
		1		37		240.5	+ 30	-16	
	1		28			239.8	- 58	+12	
	Calippus 3		34	8		262.4	. + 63	+17	1
	Aristoteles 3			55		265.6	+ 16	0	7
	Eudoxus A				1.70		+ 19	+ 3	1
	Sulp.Gallus!			58		256.8	+404]		7
		1			1.77		+ 58	+42	
	1	4.5	38	1.9	-1.77	254.4	+ 57	+44	

Abhandt d. K. S. Gerellich, d. Wissensch, XXIX.

Beobachter	Object		,	9		g	Z		V	R	Bemerk
	Menelaus	M	94 5	1=	24.	-1.76	25505	+	37"	- 9"	7
	Posidonius	1	- 4	9	13	-1.79	264.2	+	19	+ 3	
	l oauomus	nil			26		261.0	+	60	+45	
	Dionys	М		5	7		250,6	+	50	+ \$	9
	Tycho	ĩ			20		232.2	+	40	- 6	
	- jeuo	ń		9			234.4		37	- 9	
	Censorinus		5	3	9		249.9		28	-18	9
	Proclus	М			40		256,6	+	35	-14	7
	Taruntius	M		6			253,2		22	-21	3
	Goelenius	ï		59		- 1.87		+	41	- 5	
	Socia mus	11		9			246.7	+	47	+ 1	
	C Rand	n	10 1				233.8		54	+ 8	
					**	2,10	200.0		343		
	Austritte	ıl	14 9			+2.17	121.0		39	-10	
	Cland	N		13	4		120.5		45	- 4	7
	Riccioli				35	+2.02			27	-22	7
	Krüger	М		19		+2.02		+	34	-15	4
	Gassendi	d		0		+1.99			35	- 11	
									38	-11	7
	Aristareh	М		6		+1.77		++	45	- 4	4
	Tycho	.1				+2.24			44	- 5	
		11		8		+2.22			37	-12	
	Copernieus			2		+1.81			19	0	
		III			53	+1.81					7
	Pytheas	N				+1.76		+	81	+32	9
	Laplace	М		6		+1.72		+			1
	Plato	3	15		19	+1.70			59 12	+10	
		Ш			53	+1.70		+	47	- 7	
	Manilius	М			53	+1.77		+			
	Sulp.Gallus					+1.75			27 50	-22	3
	Menelaus	М				+1.76			12		9
	Dionys	М		10		+1.81				- 7	3
	Fraeastor	М			38	+1,96				+25	7
	Plinius	36		14		+1.76			48	- 1	7
	Posidonius			16		+1.72				+20	
		11			50	+1.72		+		+ 9	7
	Censorinus				57	+4.82				+12	7
	Goelenius	.1		90		+1.87		+		+12	
		Ħ		24		+1.87		+		+ 3	
	Proclus	М		45		+1.75			52		?
	Picard	М		66		+1.75		+		+ 9	7
	Rand	11	3	31	51	+1.76	109.8		40	- 9	
		- 1						43	359		
Göttingen.	Eintritte	. 1									
3. Goldschwidt	Aristarch	M	9 4			-1.76			48	- 5	?
	Kepler	М	-	19			250.2		67	+14	?
	Mayer	М	9	24		-1.79			72	+19	2
	Pytheas	M		4.5	8	-1.76	255.4		66	+13	?
	Copernieus	1	9	25	12	-1.80	254.8		83	+30	
		Ш	9	27	26	-1.81	251.3		49	- 4	
	Plato	1	9	6	13	-1.70	265.0	+	64	- 9	
		11	9	7	39	-1.70	265.0	+	43	-40	
	Manilius	-1	3	7	45	-1.77	254.7	1	64	+41	

Beobachter	Object			Э		6		Z		V.	R	Bec	merkunge
	Manilius	u	9h;	391	8	-3.7	7	254°4	+	43"	-30°		
	Menelaus	м	- 1	6.6	58	-3.7	6	255.5	+	51	- 2	2	
	Pfinius	1		13	40	-3.7	6	255.8	+	70	+67		
	1.	н		14	49	-4.7	6	255.5	+	61	+ N		
	Dionys	М		15	36	- 3.8	5	250.6	+	45	- 8	9	
	Tycho	-1		18	7			232.2	+	45	- 8		
		11		$^{20}$	8			231.4	+	15	-34		
	Proclus	м		53	24			526'e	+	5:3	-30	3	
	Godenius	1		59				516.9	+		-10		
		11	10	0	6			216.7	+		-55	ļ	
	( Rand	11		15	18	-43	6	233.8	+	37	-36	1	
	Austritte									155		1	
	Grimaldi	-1						155.1	+	38	- 4		
		15			17			121.0	+	3.0	-59		
	Marins	М		37				315.1	1-	78		?	
	Kepler	.1						335.8	ŀ.	32			
		11						135.2		4.1		١.	
	Aristarch	М						309.6	+	27	-12	7	
	Tycho	.13			57			133.7	+	22	-37		
		11						333.4	+	35	- 4	١.	
	Mayer	М						343.7	+	55 30	+36	1	
	Copernicus	d		52 53				134.1	+	48	- 9 + 9	i	
	D 41	M			52 34			309.8	1	46	+ 7	9	
	Plato		15					300.2	1	49	+30		
	· Flato	11	12						1.	33	+30		
	Manifius	ï		7				1100.2	1	46	+ 7		
	Mannius	ıi.		8				110.7	Ŧ	53	+34		
	Menelaus	7		10	40			109.8	ΙŢ	32	- 7		
	Menerads	ri l		11				109,6	I,	39	0		
	Dionys	М		10	7			116.4	Į,	23	-16	9	
	Plinius	M		3.4	40			109.5	I,	43	+ 2	3	
	Posidonius	11		37	51			304,0	14	59	+20		
	Goelenins	n		21	58			118,0	II.	80	+ 53		
	Proclus	М		23	51			108.4	ı,	19	+ 3	9	
	@ Band	11		33				109.8	1	20	-19		
	of month									SZS			
Hamburg.	Eintritte									0.40			
4. Funk	. C Rand	- 1	9	13	30	-3.7	6	255.4		69			
v. 1034	Galifei	м		13	93			250.0	+	32		171	
	Aristarch	34		35				255.5	i.	32		9	
	Kepler	М		19	6			250.2	12	88		7	
	Euler	М			45			256.4	Į.	54		19	
	Mayer	м		3.5	22			253.3		31		17	
	Copernicus			26	3			251.5	+	75		9	Ganz
	Plate	31		50				265.0	+	67		2	unzuve
	Manilius	31		37	6			254.6	÷	98		7	lässig
	Posidonius			5.5	56			263.3		22		?	annu-typ,
	Tycho	М		50	0	-9.9	85	231.5	+	99		Н	
	Vitruvius	М		52	38	-3.7	6	255,5		136		2	
	Proclus	36		53	59			256.6	+	21		2	
			10			9.1							

Beobachter	Object	J	9		σ	χ	V	R	Bemerkunge
MOTOL TEX DO	Austritte	ì	_	-			1		
	Marius	M	11136	m39	+1.82	11501	-114"	1	171
	Kepler	Мŝ	46	36	+1,82	115.0	+ 96		9
	Aristarch	М.	45	9-	+1,77	109.6	+ 41	1	9
	Tycho	М	49	9	+2.21	133.3	+ 86	1	1
	Mayer	M:	51	19	+1.78	144.7	+ 85	1	7
	Copernicus	M	53	14	+1.81	113.8	+ 63		?
	Timocharis	M	55	θ	+1.74	102.6	- 83	i	2
	Archimed	M	58	41	+1.73	106.2	- 97		9 Ganz
	Plato	M		6	+1.70		+ 76		
	Manilins	М	7	59	+1.77	110.5	+ 50	1	71
	Eudoxus	M	9	16	+1.70	101.2	- 4		9 lässig
		Mi	13		+1.76		+115		7
	Dionys	М	11		+1.81		+ 69	1	9
		м	15		+1.76		+ 85		7
		М	17		+1.77		+175	1	7
		M	19		+1.70				7
	Macrobius		25		+1.74		+105	1	?
	(Rand	11	32	40	+1.76	109.8	+ 68	l	)
llamburg.	Eintritte	- 1						1	
5. Renken	Galilei	M	9 14	17	-1.83	250.0	[+ 2]	1	7
	Aristarch	М	15	12		255.5	+ 41	+ 2*	7
	Grimaldi	M	16	33	-1.92	243.9	+ 42	+ 3	9
		M	16	44		262.4	[+133]	1	7
		M	20		-1.82		+ 40	+ 1	2
		М	21			261.9	+ 82	+43	2
	Mayer	M	24			253.1	[- 26]	1	?
	Copernicus		26		-1,81		+ 54	+15	?
		М	27		-1.70		+ 37	- 2	?
	Eratosthen.		26				[+131]	1	?
	Timocharis		30				L- 67]	١.	2
		М		46		239.6	+ 43	+ 4	2
		М		52		254.6	+ 38	- 1	7
		М	41		-1.76		+ 27	-12	
		М	46			250.6	+ 20	-19	7
	Tycho	31	48			232.2	+ 46	+ 7	
		M		22		231.5	+ 39		l .
		ш	50			231.4	+ 40	+ 1	١.
		М	49			564.0	+ 39		2
		М	54		- 1.75		+ 19	-20	?
		M	53		-1.79		[+142]	-92	7
	Langrenus		10 4		-1.86		+ 17		7
		М	6			239.2	+ 36		7
	C man	щ	12	5	-2.16	233.8	+ 43	+ 4	ŀ
	Austritte	-1					703	1	1
					+1.92		+ 39	-15	?
	Schickard				+2.29		+ 54	0	?
		М			+1.82		+ 48	- 6	
		M			+2.02		- 29]		?
		М	44		+1.82		+ 38	-16	1
		М	4.4		+4.77		+ 54	0	?
	Tycho	1)	47	7	+2.24	133.7	+ 53	- 1	1

Beobachter	Object		J		σ	X	V	H	Bemerkunger
	Tycho	M 4	44.67	*32	+2.23	13393	+ 16"	- 8	1
		a l	4.5	9	+2.22	133.4	+ 35	-19	
	Bulliald !	M	47	9	+2.04	125.6	+ 41	-13	7
		N	54		+1.85		[+115]		7
		M	51			103.6	+ 5		7
	Copernicus		52	21		143.8	+ 50	- 4	7
		M	55		+1.83		+ 93	+39	7
	Eratosthen.	M	54	39	+1.78	112.0	- 63]		7
	Manilius 1	MI	2 8	16	+1.77		+ 60	+ 6	1.2
		M	- 11	29		109.4	+ 56	+ 2	1
		М	- 44	7		444.4	+ 56	+ 2	7
		M	48	28	+1.76	109,5	+ 69	+15	7
	Snellius !	14	18	12	+2.00	125.4	+ 74	+20	9
	Petavius !	м	2	6		122,3	+ 62	+ 8	7
	Proclus !	M	21	50	+4.75	108.4	+ 76	+22	?
	Cleomed !	м	29	27	+1.72	104.1	[- 56]		7
	Langrenus !	м	21	50	+1.85	117.0	+ 26	-28	?
		n/	35	10	+1.76	109,8	+ 54	- 3	
	-	1					1081	1	
Hamburg.	Eintritte	- 10			į.				1
6. SCHMIDT .		1	9 8	56	4.76	255.1	+ 52	+ 8	1
o. Schnidt .	Aristarch	il.	11			255.8	+ 61	+17	
		w l	- 11			245.1	+ 57	+ 3	
		11	18			244.7	+ 35	- 9	
		i l	13			212.9	+ 60	+16	
		M	- 18			264.6	+ 51	+ 7	
		ï	45			250.4	+ 49	+ 5	
		it:	9.1			255.3	+ 33	-14	
		ú.	21			255,3	+ 34	-10	1
	Copernicus		21			251.8	+ 72	+28	h .
		M	21			251.5	+ 90	+46	⇒sehr
		ï	26			254.3	+ 45	+ 1	unsichere
		ïl.	2!			265.0	+ 54	+10	ľ
	Gassendi	1	26			240.5		+ 7	
		nil.	91			239.8	+ 46	+ 2	
	Archimed	ш	21		-1.73		+ 51	+ 7	
		M	36		-1.73		+ 40	- 4	*unsicher*
		nii -	30	16	-1.73	259.2	+ 55	+11	
	Aristoteles	ıl.	33	16	-1.70	265.6	+ 18	+ 4	«ungenan«
		il.	- 33	16	-1.70		+ 41	- 3	)
		úľ.	31			264.0	+ 53	+ 9	* unsicher
		il.	37	A		230.4	+ 34	-10	l'
		M	35		-2.30		+ 42	- 2	
		ii (	46		-2.32		+ 61	+17	
		4	38	16	-1.77		+ 46	+ 2	
		M	45			255.5	+ 7	-37	
		11	41			261.2	+ 15	-29	
		11	43	46	-1.72	264.0	+ 48	+ 4	
	Hercules	4		46		265.4	- 81		
	Endymion	4	45			267.5	+ 23	-21	
		nΉ	4.4		1.69		+ 40	- 4	
		M			-1.76		+ 63	+19	

Beobachter	Object			9		6	Z	1	V	R	Bemerkung
	Dionys	м	91	45	6	-1.89	250%	1 +	51"	+ 7"	
	Tycho	1		49			232.2	1	19	-25	
	Liene	M					234.5	١,		-15	
		п			36		234.4	+	29	-45	
	Proclus	М			21		256.6	1 +	- 8	-36	
	Fracastor	1					241.8	1	44	- 3	
		м		57	54	-1.96	241.9	l +	47	+ 3	
		41		58	36	-1.97	244.4	+	48	+ 4	
	Langrenus	Ш	19	8	24	-4.86	247.3	] +	43	- 1	»unsicher«
	C Rand	15		12	4	-2.16	233.8	+	45	+ 4	
	Austritte		i i					4	807		
	Rand	1	44	97	46	L9 47	131,8	1	7	-49	
	Riceioli:	м	"				120.5			-45	1
	Grimaldi	W			36		121.4		43	-13	a unsicher s
	Schickard	44	t	34			135.9			-37	- unocurer
	Seleucus	М		37			111.5	i.	361		
	Gassendi	ï	,		46		125,3	1+		- 6	1
	Guocellar	ıi		40			124.8	1 +		-45	1
	Kepler	11	ł				115.2	H		- 3	
	Aristarch	-		44			109.9		42	-14	1
		11	1	45	9	+4.76	109,6	1 +	44	-12	
	Tycho	4		46			133.7	i ÷	40	-16	1
	7	М		47			133.3	1 +	47	- 9	1
		45		48	44	+2.23	133.1	+	49	- 7	
	Bulliald	55		47	24	+2.01	125.5	1 +	32	-24	
	Pitatus	41		19	44	+2.08	128.6	+	29	-27	
	Euler	M		50	46	+4.76	109.3	+	19	-37	
	Copernieus						114.1	+	39	-17	
		М		53	16	+1.84	113.8	1 +		- 9	
		Ш			56		113.7	+		+28	
	Harpalus	М					100.5	1 +		- 3	
	Pytheas	М					109.8	+		+24	
	Eratosthen.						111.0		61	+ 5	
	Timocharis		ă.	58			107.3		58	+ 2	
	Ptolomacus		12	θ			119.7	+		+ 7	
	Archimed	11		4			105.7	+		+ 5	
	Piato	.!		2			100.2	+		+13	
	D'	4I N					100.2	+		- 3	
	Pico Manilius			7	34		101.4	+		+ 8	
	Manifills	1	1				110.7	+		+ 3	
	Eudoxus	11 45		. 8			110.5	1 +		+ 2	
	Aristoteles	1		11			101.0	+	70	+14	
	Menelaus	M		15			109.4	+	77	+24	
	Bessel	M		12			107.5	1 +	61	+ 5	
	Fracastor	7		13			123,3	H		+27	
	Fracastor	н						17	58	+ 2	
	Plinius	М					109.5	1	73	+17	i
	Posidonius						103.9	17		+18	1
	rosidonius	M		17			104.0			+11	[
		45		18			104.0			+10	

Carrier   Carr	Beobachter	Object	J.	3		б	Z	V	R	Bemerkunger
Proclus   M   24   36   -1.75   08.1   + 68   +92   1.85		Endymion I	1 1	2h 20	° 6°	+1.69	9803	+ 64"	+ 8	
Langrenus N		Taruntius 3		24	- 6	+1.78	112.1	+ 63	+ 7	
Langereurs M   26 22   +185 (17.0   7.6   +20   1     Hamburg   Einstritte   1     Hamburg   Einstritte   1     Capernieurs M   9 26 14   -1.81 (25.1.5   +66   +19   7     Fisto		Proclus 3		24	36	+1.75	108.5	+ 68	+12	
Can   U   32 51   +1.70 109.8   +75   +19		Langrenus 3						+ 76	+20	» unsicher«
Hamburg.   Einstritie								+ 75	+19	
17. Weith		en . to	ğ					2393		
Pulso			J.	0.00			9717		. 10	
Arisadeoles I 33 S8 - 1.70 e25.6 + 39 e 9 Finderus M 37 33 - 1.70 e25.6 + 39 e 9 Finderus M 37 33 - 1.70 e25.6 + 39 e 9 Finderus M 37 33 - 1.70 e25.6 + 32 e 22	17, WEYER									
Endorus   State   St										
Manifus   Mani										i.
Menchans										
Posidonies N										
Tycho										
1										
Austritte										
Galilei			1	36	28	-2.25	231.4		-17	1
			1.							
Plate										
Merclaus										
Plinius										
Vitrovius   M   22   7   -1,71   07,7   1,1   15,1   2   1   1   1   1   1   1   1   1										
Clemed   M   26   13   172   104.1   14   22   17   2   17   2   18   18   18   18   18   18   18										
Messala   Mess										
Can   I   33   1 + 1.78 109.8   5   52										
Krakau   Kiniriti   10   8   31   -2,16   23.3   -141										1
Arrivary   Austrile		C Rand 1	1	33	1	+1.76	109.8		+ 5	
18. Wisser.	Erston	Einteitt						524		
Marburg.   Mardurg.   Marburg.				0 8	2.5	-9.16	933.8	-411		-gut-
Marburg.	10. WEISSE				04	4.10			1	Burr
Marburg.				3 36	0	-1.76	109.8	[+119]		snicht ganz
9. Fastervar	Maria.		٠,	4 04		71.70				gewisse
Marliarg.   Marliarg.   Marliarg.   Marliarg.   Marliarg.   Elistritite   Participar   Marliarg.   Participar   Marliarg.   Participar   Marliarg.   Participar   Marliarg.			٠.	. 20	9.1	. 0 17	121 6	C. 08		80 11 100 1
Marlang.   Edistrike   No.   1	19. PERSTENAU									
29. Graine    Rand   9   8   25   -1.76   25.3   4   70   +21     Kepler   N   21   28   -1.87   20.2   7   7     Copernicus   3   21   28   -1.87   20.2   4   7   7     Copernicus   3   28   -1.87   20.2   4   7   7     Copernicus   3   28   -1.87   20.3   4   5   7     Mahilius   N   28   2   -1.77   23.4   6   44   5   7     Tycho   M   33   36   -1.77   23.6   4   4   5   7     Tycho   M   10   28   -2.23   33   4   3   4     Chand   11   27   29   -2.17   31.5   33     Chand   11   27   29   -2.17   31.5   33     Chand   11   37   39   30   30   30   30     Chand   11   37   39   30   30   30     Chand   11   37   39   30   30   30   30     Chand   11   37   39   30   30   30     Chand   11   37   39   30   30     Chand   17   39   30   30   30     Chand   17   39   30   30     Chand   17   30     Chand   18     Chand   18   30     Chand   18   30     Chand   18     Chand   18   30     Chand   18     Chand   18   30     Chand   18     Ch			15	38	0	+1.02	110.1	- 65		
Xristarch N   14   18   -1.76   25.5   +55   6   7     Kepler M   28   -1.82   20.2   7   7     Copernicus M   26   12   -1.81   25.1.5   +5   7     Fisto M   25   55   1.70   25.5   +3   6   7     Manifus M   38   12   -1.77   25.4.5   +1   5   7     Tycho M   13   18   -2.21   23.1.5   +1   5   7     Tycetus M   33.3   18   -2.21   23.1.5   +1   5   7     Changle M   11   17   20   -2.17   23.3.8   +6   1   7     Manifus M   11   17   20   -2.17   23.3   8   -1   7     Grimskii M   33   5   -9.22   12.1   +27   -33   7     Aristarch M   14   14   17   19.5   +10   10   7     Tycho M   7   15   -2.21   33.3   +5   1   1   7     Tycho M   7   15   -2.21   33.3   +5   1   1   7     Tycho M   7   15   -2.21   33.3   +5   1   1   7     Tycho M   7   15   -2.21   33.3   +5   1   1   7     Tycho M   7   15   -2.21   33.3   +5   1   1   7     Tycho M   7   15   -2.21   33.3   +5   1   1   7     Tycho M   7   15   -2.21   33.3   +5   1   1   7     Tycho M   7   15   -2.21   33.3   +5   1   1   7     Tycho M   7   15   -2.21   33.3   +5   1   1   7     Tycho M   Tyc						1				
Kepler M 21 28 - (.88) 250.2 1 + 7	20. GERLING .									
Copermison M 26 12 - (18) 251.5 + 54 + 5 7 (Pato M 26 25 - 1.70 255.5 + 1.30 - 6 5 7 (Pato M 26 25 - 1.70 255.6 + 1.30 - 6 7 (Pato M 26 25 - 1.70 255.6 + 1.30 - 6 7 (Pato M 26 25 25 25 25 25 25 25 25 25 25 25 25 25									+ 6	4
Fish N 26.55 - 1.70 25.50 + 13.7 - 6 ?  Mainlius N 38 12 - 1.77 25.50 + 13.7 - 6 ?  Tycho M 19 18 - 2.21 231.5 + 28 - 23 ?  Proclus M 30 30 - 4.72 25.66 - 31 - 15 ?  (Rand II 10 11 19 - 2.16.233.8 + 64 + 15 ?  Austritte (Rand I 17 27 20 + 2.17 131.8 - 5 ?  Girmskii M 35 5 + 1.92 21.1 + 27 ?  Aristarch N 11 14 14 - 17 19.5 + 10 - 10 ?  Tycho M 7 15 - 22.31 33.3 + 31 + 4 1 ?										7
$ \begin{array}{llllllllllllllllllllllllllllllllllll$										
Tycho M 19 18 - 2-21 231.5 + 28 - 21 7 Procius M 33 06 - 4,72-56.6 - 31 - 15 7 C fload H 10 11 19 - 2-16-23.8 + 64 + 15 7 Austritie C fload 1 11 27 20 + 2,17 (31.8 - 5) Girmskii M 35 5 + 19,2 (21.4 + 27 - 23 2 Aristarch M 14 14 + 17,7 (19.5 + 10 - 10 7 Tycho M 7 15 + 22,3 (13.3 + 54 + 4 1 7 Tycho M 7 15 + 22,3 (13.3 + 54 + 4 1 7)										7
Peedus M 53 36 -175 266 6 - 31 - 15 7 [Rand II to 11 to -2.46 233.8 + 64   -15 7 Austritie [Rand II 12 7 20 +2.17 131.8 - 392 Grimskii M 33 5 + 1.92 (21.1 + 27 - 23 7 Aristarch M 14 44 +1.77 (195 6 + 10 - 10 7 Tycho M 17 5 + 22.13 33.3 + 31 + 4 1										4
Cland II 10 11 19 -2.16 23.8. + 64 +15 tourrite  Cland II 17 27 0 +2.17 13.18 - 5    Grinnskii M 33 5 +19.2 12.14 + 27 -23 ?  Aristarch M 14 14 1.77 (105.6 + 10 -10 7 7 7 yebo 9, 17 15 14 -17 16 15 16 16 16 16 16 16 16 16 16 16 16 16 16										
Austritie (Rand   11 27 20 +2.17 131.8 - 5) Grimsdii M 33 5 +1.92 (21.1 + 27 - 23 ? Aristarch M 14 44 +1.77 (109.6 + 40 -10 ? Tycho M 74 54 -22.3 133.3 + 5 + 4 ?										7
(Rand   11 27 20 +2.17   131.8   - 5   Grimskii   M   33 5 +1.92   121.4   + 27   -23   2   Aristareh   M   41 4 +1.77   109.5   + 40   -10   2   7   7   45 +2.23   133.3   + 54   + 4   7   7   7   7   7   7   7   7   7		Rand	1	0 11	19	-2.16	233,8		+15	
Grimaldi M 33 5 +1.92[12], 1 + 27 -23 ? Aristarch M 11 44 +1.77 [199.6 + 40 -10 ? Tycho M 47 45 +2.23 [33,3 + 51 + 1 ?		Austritte						392		
Aristarch M 44 44 +1.77 109.6 + 40 -10 ? Tycho M 47 45 +2.23 133.3 + 54 + 4 ?		( Rand	1 1	1 27						
Tycho M 17 45 +2.23 133.3 + 54 + 1 ?		Grimatdi !	4	33	5	+1.92	121.6			9
		Aristarch 2	1	5.5	\$ \$	+1.77	109.6			
		Tycho !	H	17	45	+2.23	133,3			
				2 8	8	+1.77	110.5	+ 55	+ 5	2
(Rand II 32 52 +1.76 109.8 + 75 +25			11	32	52	+1.76	109.8	+ 75	+25	

Beobachter	Object		э		0		z		V	R	Betnerkungen
Marburg.	Austritte	1					4.14	1		1	THE REAL PROPERTY.
21. GUNSTE	. Kepler M	114	164	9	+1.	82	11590	+	81"	+21"	2
	Menetaus M	12	12	0	+1.	76	109.4	+	73	+13	7
	Plinius M	1	15	26	+1.	76	109,5	+	68	+ 8	7
	Macrobius M	1	22	36	+1.	74	106,8	+	20	-10	1 2
	Petavius M	1	26	34	+1.	91	122.3	[+5	232]		7
		1						-	242	1	
Marburg.	Eintritt				1						
22. Schorre	. Picard M	9	56	9	-1.	76	256,3	+	15	0	7
	Austritt	1 -		_							
	C Rand 1	ha.	30	30	+2	17	131.8	[4	831		1
	-	11.	-						,		
Rom.	Austritte	i									
23							131.8			+ 6	9
	Schickard M	3					135.3		53		7 .
	Kepler 1	ş					115.8		16	-34	
	M	i					115.0		39	-11	
	Tycho I	9					133.7		48	- 2	
	M	3					133,3		49	- 1	
	. 11	1					133.1		40	-10	
	Copernicus 1	ļ.	52				115.1		29	-24	
	м						113.8		37	-13	
	H H						113.7		52	+ 2	
	Eratosthen.M		57				112.0		39	-11	1
	Timocharis M						102.6		61	+11	?
	Archimed M						106.2		104	+54	
	Plate 1						100.2		57	+ 7	
	M	i					100.1		54	+ 4	
	H H						100.2		45	+19	
	Manilius I		8				110.7		62		
	н н						110.5		53	+ 3	2) - Schatten
	Menelaus M						109.4				
	Fracastor M						123.5	[+	2		? begreazt
	Plinius M		15	22	+1.	76	109.5			+15	
								! !	959	-	
Rom.	Eintritt										
24		10	11	30	-2.	16	233.8	+	59	0	
	Austritte										
							131.8		94	+35	
	Schickard M		34				135.3		54	- 2	?
	Kepler M		5.6				115.0			-18	
	Copernicus M		53				113,8		38	-18	
	Stöffer M						134.4		89	+33	?
	AlbategniusM	12					120.0				?
	Fracastor M						123.5		5]		? » Schlecht
	Posidonius M		16	7	+1.	72	104.0		27	-29	? begren:
								1 :	337		

<sup>3.</sup> 

PRIERSEN; Plössl'scher Dialyt 35 Lin. Oeffnung
H. C. Schunacher; Fraunhofer 34 Lin. Oeffnung
Richard Schunacher; Fraunhofer 20 Lin. Oeffn.

5. B	erlin, (	JALLE;	Heliom	eter.										Berl	in 3	3, 23	16.
6.	» (	OTZE .												A. !	. 2	2, 22	34.
7. B	rüssel,	HOUTEA	u )														
8.	rüssel,	LIAGRE	}.											A. N	. 2	2, 33	31.
9.	D	OFETH.	rt J														
to. D	anzig.	ANGER:	5füss.	Frau	alsofe	r 4	3 L	in.	Oe	ffn.			1				
41.	anzig, .	DONGLE	, 22zül	I. Plü	ssl'se	h. I	Dial	1 2	25}	Lit	n. (	)eff	n. J	A. P	. 2:	2, 11	11.
12. 6	öttinger	. GAES	8	١.					•								
13.	iöttinger »	GOLL	SCHMIDT	ì.		*		-		٠	٠			A. 3	. 2	2, 31	١.
44. 1	lamburg	. FUNK															
45.	»	Rena	ER									l					
16.	3	Senn	DT: 31	fuss.	Tele	sc.	100	fach	e 1	Ven	er.	ì.	٠	Α. ?	. 2	2, 43	5.
17.		WED										,					
18. K	rakau,	WEISSE												A. 2	. 2	3. 46	93.
19. N	larburg.	FURST	ENAL														
20.	29	GERLE	enai ng; 5fu e	ss. F	raup	bofe	r 5	4fəq	che	Ve	TEI	. 1					
	,	GUNST	E									ì		A. 3	. 25	2, 35	55.
22.												J					
				gena	nnt:	Ca	uch	zio	ì								
21.	om, Bed			0		De	llon	d	j.				٠	A. N	. 2:	2, 61	١.

II, C, Schumacher sah Aristarch im Schatten als hellen Punkt, fast einem schwachen Sterne gleich; 11th 22th m. Gr. Zt. war er am hellsten. Gaess schreibt: »Während der totalen Verfinsterung erschien der vom Mittelpunkte des Schattens entfernteste Mondrand in schönem lichten Blau, das übrige in dunklem Kunferroth,« Die Reihe von Fusk wird als ganz unzuverlässig fortgelassen. Dass dieser Beobachter auf dem Monde gar nicht Bescheid gewusst hat, kann man schon daran erkennen, dass er häufig nur die beobachtete Zeit mit der Bemerkung » Anon. « angiebt. Auch Renker liefert einigemal diese ganz unbrauchbare Angabe, wodurch die früher über diesen Beobachter gemachten Bemerkungen nur bestätigt werden. Schnidt bemerkt: »10h 12m 56s m. Gr. Zt. leuchtende Erscheinung von West nach Ost am Mare foecunditatis vorüberziehend. 11h 35m anı südl. Theile des Schattenrandes viel blaugraues Licht mit grünem Anfluge, am Nordrande weniger.« Das Schwidt'sche Manuscript enthält folgende Abweichungen:

Eintr.: Kepler I 9559\*47° statt 59\*37° Austr.: Grimoldi •1 (od. II 1)° statt • M(1)° » Copernieus M 10 5 30 ° 5 35 ° Gassendi I 19\*40° » 19\*30° » Eudous II 15 30 ° 45 55 ° Euler M olne ? • ? ° » Tycho M 29 40 ° 29 44 ° Menelaus M 52° 0° » 52° 6°

none of Canale

lch nehme die jedenfalls zuverlässigeren Angaben des Manuscrijskan Frastraste, Gestra und Sonoas, Schulter Gestaus's, benutzten ebenfalls den Fraunhofer, nur bei Cland I Austr. hatten Frastraste und Senoas geringere Fernröhre. Die Beobachter am Collegio Romangehen eine genaue Beschreibung des Verhaudes, namentlich der Sichtbarkeit einzelner Flecke während der Totalität. Bemerkenswerth ist die Notiz: «12° 8° m. Gr. Zt. Gmbra termina a zig-zagz.»

Diese Finsterniss ist nach der Anzahl sowohl der Beobachter, ast auch der Beobachtungen am allereifrigsten beobachtet und wird hierin von keiner anderen Mondfinsterniss erreicht. Den resultirenden Werth von V darf man daher für recht sieher bestimmt halten.

Berechnet sind 494 Radien,

ausgeschlossen . . . 72 »

also benutzt . . . . 422, nämlich 211 Eintritte und 211 Austritte.

30. Mondfinsterniss am 24. November 1844.

Beobachter	Object		Ð		σ	z	V	R	Bemerkungen
Dorpat.	Eintritte		1						
. Midler	. C Rand	1	9149	=56°	-2.26	27605	+ 26"		
	Krüger	м	51	44	-2.26	277.4	+ 48	+10	7
	Riccioli	M	52	3	-2.33	283.4		+10	7
	Grimaldi	M	52	19	-2.31	281.5	+ 51	+13	9
	Zupus	M	54	4	-2.26	276.5	+ 66	+28	?
	Billy	M	55	55	-2.27	277.8	+ 43	+ 5	9
	Gassendi	M	59	54	-2.26	276.2	+ 33	- 5	?
	Flamsteed	M	59	2	-2.34	284.3	+ 53	+15	?
	Galilei	M	59	6	-2.54	287.9	+ 25	-13	?
	Campanus	34	10 4	2	-2.23	272.0	+ 44	+ 6	2
		м	4	39	-2.22	269.9	+ 48	+10	4
	Mercator	м	4	39	-2.23	271.4	+ 54	+16	9
	Kepler	м	5	16	-2.37	286.0	+ 48	+40	9
	Lubienitzky	N	6	8	-2.25	275.5	+ 52	+14	9
	Bulliald	м	6	49	-2.24	274.4	+ 42	+ 4	9
	Aristarch	M	- 8	θ	-2,50	292.2	+ 54	+46	9
	Pitatus	м	10	24	-2.23	270.9	+ 38	0	9
	Tycho	1	10	42	-2.21	266.7	+ 29	- 9	
		II	12	29	-2.24	266.6	+ 26	-12	
	Copernicus	М	13	47	-2.37	285.7	+ 48	+10	9
	Pytheas	34	17	53		290.2		- 3	7
		М	22	19	-2.66	298.2	+ 11	+ 3	?
	Pythagoras	11	24	54		302.1			
		м				304.7		+ 6	9
	Laplace	м				299.2			9

Beobachter	Object		3		в	Z		V	R	Bemerkunger
	Archimed	1	10 <sup>h</sup> 28	- 1	-2.54	29207	+	36"	- 2"	1
	111111111111111111111111111111111111111	ni l		46	-2.52		+		+ 3	
	Manilius	M			-2.37		+	35	- 5	9
	Dionys	M			-2.30		+	29	- 9	9
	Menelaus	M			-2.38		+	48	+10	9
	Pico	M			-9.67		4	38	0	9
	Plato	ï			-2.74		4	23	-16	
	riaco	ni l		40		300.5	ı.	30	- 8	
	Plinius	М	38		-2.37		į.	31	- 7	2
	Calippus	M		46		295.6	+	29	- 9	19
	Eudoxus	M	51			297.3	1	34	- 4	9
	Goclenius	М	44		-2.25		1	36	- 9	19
	Vitruvius	al.	49			286.7	+	34	- 7	9
		ï		53		292.0	+	25	13	i '
	1 Octubbings	úÌ				292.3		27	-44	
	Aristoteles		43		-2,69		I	29	9	?
	Messier	М	5.5		-2.28		+	37	- 1	9
	Taruntius	31	56			284.3	Ţ	33	- 5	1
	Proclus	31	47			285,3	I	57	+19	1,
	Hercules	M	45			297.3	+	27	-44	
	Picard	Я		29		286.0	+	34	- 4	7
	Firmicus	H	59			284.8	+	27	11	4
	Struve			58						
		H	58			295.6	+	25	-43	. 9
	C Rand	ш	96	19	2.19	294.9	+	31	-	
	Austritte							787		
	( Rand	1			+2.49		+	57	+ 7	
	Grimaldi	М.	33	35	+2.30	67.5	÷	23	-27	7
	Krüger	34	38	30	+2,26	72.4	+	13	- 7	9
	Aristarch	34	35	49	+2.50	56.8	+	38	-12	9
	Harpalus	31	55	35	+2.77	\$7.6	+	48	- 2	9
	Billy	М.	5.9	49	+2.27	74.5	+	12	. 8	7
	Kepler	31	50	25	+2.38	63.0	+	50	0	7
	Heraclid	м	4.3	9	+2.65	54.4	+	44	- 6	7
	Laplace	38	47	45	+2.67	50.6	+	42	8	7
	Gassendi	31	\$8	20	+2.26	73.0	+	66	-16	9
	Plato	ш	59	: 55	+2.73	48.7	+	49	8	
		н	54	57	+2.71	\$9.2	+	12	- 8	
	Pytheas	36	59	46	+2.45	59.2	+	48	- 2	7
	Copernicus	м	53	50	+2.37	63.3	+	36	-44	4
	Campanus		54	30	+2.28	77.2	1	47	- 3	?
	Pico	31	55	5	+2.66		1	51	+ 4	9
	Mercator	И	55		+9.93		1	53	+ 3	7
	Capuanus	М	55	55	+9.99		+	47	- 3	7
	Archimed	1	59		+2.51	56.2	I.	51	+ 5	
			13 0		+2.50		+	48	- 9	
	Pitatus	м	1		+2.22		+	48	- 2	7
	Tycho	ï	- 4	53	+2.24	82.5	÷	59	- 1	
	1	ıî l	3		+2.21	82.6	+	48	- 9	
	Aristoteles	31	- 4		+2.68	50.2	+	54	- 9	7
		M	6		+2.62		+	54	+ 1	9
		М	40		+2.32		Ť.	63	+13	9
	Menelans	М	43			62.5		50	9	Ť

Beobachter	Object	1	9		σ	Z	V	R	Bemerkungen
	Posidonius !	1 12	b16	45	+2.49	5702	+ 56"	+ 6"	7
	Dionys 1				+2.34		+ 59	+ 9	1
		w I		35		6:1.4	+ 65	+15	1
		M			+2,38			- 4	9
	Strave	M				54.2		+18	19
		u l		25			+ 59	- 1	1
		M			+2.25		+ 58	+ 8	9
	Messier !				+2.27			+13	7
		i i			+2.35		+ 65	+15	7
		H I			+2,31		+ 67	+17	1
	C Rand				+2.26			- 9	1.
	£	1					1915	-	
Hamburg.	Eintritte	1					1310		ł
FUNK	. Hipparch	110	99	6	-2.28	279.1	+ 74	+12	+
	Snip, Gallus!		32			288.0		0	9
		H I					[+101]		9
	Proclus 2				-2.37		+ 53	- 9	1
		4	49		2.62		+ 77		1
		e)					[- 24]		7
		ıl.			-2.49		+ 12	-20	1.
		1					308		İ
Hamburg.	Eintritte								
. RUNNER		a lite	17	6	-9.55	991 6	[+235]		9
. MICARLE	Timocharis !		20	6	-2.47			+32	1 -
	Manilius 3		27		-2.37			+28	9
	Dionys 3		28	6		281.4		+43	9
	Menelaus 3		32					+ 1	7
	Plate !		33		-2.71			-19	
	Proclus 1					285,3			7 »sicher«
	Cleomed 3			51				+31	?
	Messala 3		53		-2.53		+ 55	-39	1 +
	C Rand			40	-2.49		+ 47	-47	
							815		ļ
Hamburg.	Eintritte	1						1	1
. Schmidt	. Eratosthen.	elite	20	6	-2.39	287.2	+ 10]		i
. Domains	Manilius 1		30	6	-2.37		+ 46	-16	
	Menetaus !		31	6			[+121]		
	Plate 1		33		2.71		+ 75	+13	
	Bessel 1		35		-2.42		+ 79	+17	7
	Plinius 3		33		-2.37		[+162]		1
	Fracastor 1		34				+ 57	- 5	
	Goclenius !		40			275.9		+24	i
	Posidonins		42				+ 68	+ 6	
	1	4	43			292.0		- 1	
	Proclus 3	4	47				+ 52	-10	1
		4	50	3	-2.62	297.4	+ 55	- 7	
	Endymion !		52		-2.67			- 2	
		1	58		-2.19		+ 39	-23	≥gut «
		1					678		1
Krakau.	Austritt	1						F	»ungewiss
b. Wrisse .		1112	10	25	19 96	798	+ 53	0	durch Wolke

Beobachter	Object	ı	9		σ	χ		V	R	Bemerkunger
flom.	Eintritte	1								
B. Dr Vico						27605			-49"	
	Mersenius !	4				275.0	+	68	+11	2
	Gassendi 2	4	57		-2.26		+4	05	+48	9
	Maginus	1 10	10	6	-2.21	264.5	+	92	+35	
	1	8	11	19	-2.24	264.5	+	87	÷30	1
	Alphons	1	12	53	-2.25	275.9	F+4	1347		
	1 . 3	4	43	44	-2.25	275.8	+1	161		
	1	1	15	32	-2.25	275.8	1.+1	117.		
	Eratosthen.	6	47	34	-2.39	287.2	+	98	+44	7
	Menelaus !	4	33	27	-2.38	286.4	+	64	+ 4	7
	Plato	1	33	53	-2.74	300.4	+	35	- 22	
	1	45	34	23	-2.74	299.8	۱.	46	-44	
	1	ıl.	35	4.4	-2.73	300,5	+	50	- 7	
	Plinius 3					285.6		45	-12	7
	Fracastor 3	4				2723				7
	Posidonius					292.0		48	- 9	
	, controlling		44			292.0		37	-20	
	i			13		292.3		34	-26	
	Proclus 2					285.3		35	- 22	9
	C Rand 1				-2.49			29	-28	
	-	ъ.	٠.	20	2.10	20110		905	-	
	Austritte									
		1 15			+2.49			36	+ 1	
	Kepler !		43		+2.38		1-	8		
		1			+2.73			33	- 2	
	1		53		+2.73			25	-10	
	1		54		+2.74			22	-43	
	Copernicus !		53		+2.37			16	-19	
	1		55	4	+2.37				+12	
	Bulliald 3		56		+2.24			12	+ 7	
	Eratosthen.!		57	10	+2.40				-17	
	Archimed !				+2.51				+ 4	
	Alphons 3				+2.26			18]		
	Manilius 3				+2.32				- 6	
	Posidonius !	6	15		+2.19		+	36	+ 1	2
	Plinius 3	(	48	4	+2.37			52	+17	7
	Fracastor !		25	4	+2.23			65	+30	7
	Proclus 2	ł	27	15	+2.37	63.8	+	19	-15	7
	Langrenus !	4	36	2	+2.25	73.9	+	67	+12	7
	C Band I	1	39	34	+2.26	72.8	+	26	- 9	
	1					i	-	554		

 1. Dorpal, Makara: grosser Befrator.
 A. N. 22, 364.

 2. (Hamburg, Franc) (Jists, Befractor)
 A. n. 22, 365.

 3. Brawn; 6floss, Befractor
 A. N. 22, 365.

 4. Seasonr; 6floche Vergr.
 A. N. 23, 403.

 5. Krakau, Wrasse.
 A. N. 23, 403.

 6. Bom, Dr. Vico.
 A. N. 92, 387.

In Dorpat war heitere ruhige Luft; »während der ganzen Dauer der Finsterniss blieben alle Mondflecke, auch die kleinsten, sichtbar, Der Entschatten zeigte sehon 10° nach dem Eintritte der Finsterniss deutlich einen röthlichen Schimmer, der fortwührend an Intonsität zunahm; die ausseren Bandgegenden desselben waren grau und beim Eintritt der totalen Verfinsterung sehön blau. Während der totalen Verfinsterung erschien der sulliche Theil des Mondes bis über den Acquator hinaus im tiefrothen, der nördliche im bläußehen Lichte.\* In Hamburg war die Witterung sehr ungünstig. Das Scawur'sche Manuscript entalts folgende Adweichungen:

Eratosthenes M Eintr, 11h 1n fehlt in A. N.

Manilius M a

Menclaus M 41h 41mc statt > 14h 14m5 c

Plinius M 41 13 fehlt in A. N.

Goelenius M 41 20

Bercelmet siml 157 Radien,

31.
Mondfinsterniss am 13. November 1845.

Beobachter	Object	1	3		6	χ	l.	R	Bemerkungen
Berlin.	Eintritte	i						1	
. ENGKE	. (Rand	tia:	h 8	54	-2.36	23197	+ 67"	+24"	sam Sucher
		q.				230.7		-44	7
	Kepler 3	4	22	4	-2.57	224.0			7
	Copernicus !	4]	30	18	-2.58	223.7	+ 49	+ 3	?
	Pytheas 3	4	27	5	-2.43	228.6	+ 56	+40	7
	Manilius 3	48	44	27	-2.55	224.8	+ 62	+16	7
	Menelans 3	6]	48	32	-2.55	224.6	+ 39	- 7	7
	Posidonius 3	41	50	41	-2.39	230.4	+ 32	-46	7
	Plinius 3	4	53	30	-2.56	224.2	+ 36	-40	9
	Tycho 1	(4)	10	8	-5.55	192.4	+ 32	-14	?
	Austritte	7					455	1	
	Tycho )	6 (4:	44	6	+5.58	148.9	+ 34	-10	7
	Kepler 3	6	36	14	+2.52	117.4	+ 38	- 6	7
	Aristarch 3	4	40	53	+2,38	440,6	+ 37	- 7	9
	Copernicus 3	al .	4.4	29	+2.52	117.5	+ 47	+ 3	2
	Pytheas 3		49	42	+2.44	112.7	+ 53	+ 9	7
		di.	0	20	+2.56	116.9	+ 43	- 4	9
	Menelaus 3		4		+2.51		+ 55	+11	?
		1					307	1	

	Beobachter	Object		9		σ	Z	V	l	R	Bemerkunger
	Berlin.	Eintritte	1						Ī		
2.	GALLE,	Aristarch M	\$ 4	16	10	-2.38	23007	+ 44"	14	3"	*
		Kepler M	j j	55	10	-2.57	224.0	+ \$6	+	5	7
		Copernieus M		30	40	-9.58	223.7	+ 61		0	7
		Tycho M	12	10	10	-5.55	192.4	+ 32		9	7
		Austritte						163	1		
			13	11	20	+5.58	448 9	+ 36		5	7
		Aristarch M	1	44		+2.38		+ 40		- 1	9
		Coperniens M	l l				117.5	+ 47	4	6	9
		Clope i inc ins sa						123	-  `		
	Leipzig.	Eintritt					1	120			
3	Jens		11	9	23	-936	231.7	+ 55		0	
	Rom.	Eintritte	111								
	PALOMBA	. C Band 1	11	15	90	9.76	231.7	T+4541			
٠.	PALOWST	Copernieus I		25		-2.54		+151			
		Copermeus 1			32			1+163.	1		
		Plate I	t				238.6		1	9	
		11			49		238.4			15	
		Bulliald M		10			1.015			38	
		Manilius M		44		-2.55		+ 70	ľ	5	
		Menelaus M	1	50	é		224.6			"	
		Plinius M				-2.56		+ 86		11	
		Tycho 1	19				194.2			29	
		N M					192.4			22	
		î					192.6			19	
					.,.,		. 32.0	597	-(		
		Austritte	Ī.,				148,6		1	20	
		Tycho II					102.5			61	Ganz un-
		Plate II	114				115,3				
		Menetans M	ì							111	zuverlässi
		€ Rand II	1	2.5	18	+2.40	111.0	- 94	1	144	,
			1					198	1		
	Rom.	Eintritte C Rand 1	13		ae	9.26	231.7	r+155			
۰.	SANTARELLE.		13	25		-2.50		+151			
		Copernieus 1	1		11		225.4	+163			
			ī		11		238.6	+ 84	ш		
		Plato I	į	za	14	- 2.22	238,6	+ 84.	т		
		Austritt	۶						1		
			14	71	19	+2,40	111.5	[- 81]			
	Rom.	Eintritt	١								
ì.	Sestini		11	5	29	-2.36	231.7	[+154]			
		Austritt	l								
		C Rand II	1.5	24	14	+2.40	111.5	[- 83]			

Die Angaben der beiden letzten Beobachter Können nicht als seblständige Beobachtungen gerechnet werden, da sie mit denen von Patoma vollkommen identisch sind. Auch Patoma's Beobachtungen sind äusserst unanverlissig und namendlich seine Austritte ganz unbrauchbar. Ueberhaupt ist das Beobachtungsmaterial dieser Finsterniss sehr gering und denngemäss wird der daraus folgende Mittelwerth von V jeints sehr sicher bestimmt sein

Berechnet sind 48 Radien, ausgeschlossen . . . 13 " ,

32.
Mondfinsterniss am 8. März 1849.

Heobachter	Object	1	3			Ű	χ	V	R	Bemerkunger
Bonn.	Eintritte		-		i		-		1	
1. Scimilit	. Copernicus	1.4	14158	· 3		3.68	34500	+ 64"	+ 9"	
		М	59	37		3.84	346.2	+ 59	+ 7	
	1	11 1	12 4	37		3.93	347.3	+ 64	- 8	
	Aristarch	1.	4	12			354.7	+ 43	- 9	
		111	2	42		5.47	356.3	+ 53	+ 6	
	Euler	М	9	27		5.73	357.3	+ 56	+ 4	
	Fracastor	11	10	7		2.74	334.3	+ 57	+ 5	
		п	12	22		2.80	332.6	+ 60	+ 8	
	Pytheas :	31 :	4.4	17		5.27	355.4	+ 48	- 4	
		M	35	32		3.06	337.2	+ 56	+ 4	
		34	1.6	57		3.64	344.5	+ 66	+44	
		м	49	57	-	7.94	2.9	+ 43	- 9	9
	Manilius	1.5	24	27		4.62	352.1	+ 58	+ 6	
		M	22	57		4.84	353.2	+52	0	
		П	23	57		4.97	354.0	+49	- 3	
	Goelenius	1.	23	22		3.44	338.4	+ 52	0	
		H.	24	27		3,49	339.4	+57	+ 5	5.0
	Timocharis	11	25	54		8,22	3.5	+43	- 9	
	1	M.	27	2		8.68	4.2	+ 44	- 8	
		n l	27	52		9.03	4.8	+49	- 3	
	Menelans		29	2		5.24	355.2	+49	- 3	
	1	м	29	47		5.39	355.9	+ 50	- 9	
		Hi.	3.0	17		5.43	356.4	+53	+ 4	
	Langrenus	1	29	33		3.48	339.0	+62	+10	
		M	34	27		3.28	340.4	+ 56	+ 6	
		II	33	10			344.6	+ 56	+ 4	
	Plinins	14	32	57		5.46	354.9	+ 45	- 7	C
	1	M P	33	27		5.29	355.5	+ 52	0	
		ii i	34	9		5.34	355.7	+ 59	+ 7	
	Archimed	1	35	98	1	4.76	7.7	+ 52	0	

Beobachier	Object	1	Đ		σ	χ		V	R	Bemerkunge
	Taruntius	12h	36"	7.	-4.16	34994	+	45"	- 7"	
	Proclus 1		46			358.2	+	58	+ 6	
	M	i	47	47	-6.20	358.8	+	57	+ 5	
	- 11	1	49	12	-6.54	359.8	+	49	- 3	
	Picard M		54	2	-6.22	358.9	+	37	-15	
	Austritte	i					42	330		
	Lahire M	112	58	16	+9.06	30.0	+	23	-40	
	Aristarch I	1	59		+5.75	37.5	+	25	- 8	
	M	13	0	27	+5.45	37.7	+	25	- 8	
	11	F	- 4	44	+5.45	38.6	+	21	-12	
	Timocharis M		3	11	+9.24	29.7	+	32	- 1	
	[1		4	16	+8.75		+	29	- 4	
	Pytheas M			43	+5.47	38.6	+	30	- 3	
	Manilius II			31	+4.72	\$2.1	+	46	+43	
	Menelaus 11			34	+5.23	39.6	+	48	+15	
	Plinius 11		34	.4	+5.44	38.7	+	29	- 4	
	Gassendi II		37	56	+2.67	65.1	+	43	+10	
	Proclus M			34	+6.38		+	48	+45	
	Picard M	ř.		31	+6.26		+	33	0	
	Dionys M		44		+3.79	48.8	+	24	- 9	
	Schickard M		48		+2.34	74.9		15	-48	
			50		+2.32	75.6	+	14	-49	
	Tycho I			31	+2.39	73.2	+	47	+14	
	M		0	6 54	+2.38		+	38	+ 5	
			0	6	+2.38 +3.10	73.6 56.9	+	35 29	+ 2	
	Theophil. A M Goclenius		5		+3.23	55.4	+	32	- 1	
	Gocienius	1	6	4	+3.20	55.4	1	32	- 1	
	11				+3.16	56.4	Ŧ	34	+ 1	
	Fracastor			58	+2.83		+	32	- 1	
	II		9		+2.77	62.9	+	36	+ 3	
	Langrenus I		8		+3.42	52.7	÷	36	+ 3	
	M		9	43	+3,33	53.8	+	35	+ 2	
	II.		12	4	+3.19	55.6	+	45	+12	
	C Rand II		25	37	+2.47	70.6	+	29	- 4	
	-						-	145		
Cambridge.	Eintritt						١.			
2. CHALLES	. CRand	44	25	53	-2.46	323.9	+	27	0	
	Austritt	1								
	CRand II	14	25	43	+2.47	70.6	+	34	0	
Greenwich.	Eintritt									
B. HIND	. CRand I	11	25	18	-2.46	323.9	+	44	0	
Marburg.	Eintritte									
GERLING	. C Rand 1	11	24	56	-2.46	323.9	+	54	- 6	
	Grimaldi I		28	10	-2.79		+	89	+32	
	11			32		335.0		05	+48	
	Copernicus I		58	0		345.0	+	61	+ 4	
	11			44		347,3	+	4.3	-14	
	Aristarch I		0	15	-5.43		+	54	- 3	
	11		3	27	-5.47		+	45	-12	
	Euler M			26	-5.73		+	35	-55	9
	Manilius I	pl.	22	11	-4.62	352.4	+	48	- 9	1

Alband A V C classificat A Winness VV

Beobachter	Object	-		,	σ	Z		ľ	R	Bemerkunger
	Manilius	11	2h 2	4"59	-4.97	35490	+	37"	-20"	
	Plinius	M	3	2 55	-5.29	355.5	+	58	+ 1	
	Austritte	1						626		
	Aristarch	14	3	4 38	+5.75	37.5		48	+ 3	
		nil i		2 33			1	36	- 9	
		М		7 4			1	45	0	
	Copernieus	ш	9	6 43	+3.73	49.4	١.	55	+10	
		n i	4 2	6 7	+2.47	70.6	1+	44	- 4	
		-1			1		-	225		
Marburg.	Eintritte	- 6								
KLINKERFIES	C Hand	тĺя	1 2	4 4	-2.46	323.9	(+	731		
	Grimaldi	18	2	8 8	-2.79	332.4	1+	89		
		ΠĚ	3	0 22	-2,93	335.0	1+	109		
	Copernicus	10	5	6 45	-3.68	345.0	+	82	+48	
		u į	- 6	0 38	-3,93	347.3	+	59	- 5	
	Aristarch	15	13	9 22	-5.43	354.7	+	65	+ 4	
		пů	2	1 39	-5.47	356.3	+	64	0	
	Euler	34		9.59		357.3			-14	?
	Manifous	1	9	0 10	-4.62	352.4	+	74	+10	
		П	9			154.0			-12	
	Plinius	11	3			354.9		59	- 5	
	į ·	н	3	3 6	-5.35	355.7	+	69	+ 5	
	Anstritte	- 1					-	574		
	Aristarch	1/4	3	0 3	+5.75	37.5		32	+ 2	
		п			+5.45		+	27	- 3	
	€ Hand	H I	4 2	3 36	+2.47	70.6	11-	20]		
	1.0	- 1					h	59		

- 1. Bonn, Schmur; 5füss, Refractor. . . . . . . . . Manuscript pg. 10.
- 2. Cambridge, CHALLIS; 5füss. Aequat. . . . . . . M. N. 9, 140. 4. Greenwich, Hixp; 41ftss. Refractor, 50fache Vergr. M. N. 9, 444.
- 1. Marburg, Gerling; Fraunhofer, 54fache Vergr.
- KLINKERFUES; 74fache Vergr., lichtschwächer A. N. 30, 45.

Sciming bemerkt: »Als Manilius und Menelaus eintraten, war der Schattenrand so unbestimmt, dass die Beobachtung kann möglich schien.« Und deunoch stimmen seine Beobachtungen so vorzüglich überein. In Marburg war der Mond immer abwechselnd durch fliegende Wolken verhüllt. Bei den drei ersten Beobachtungen benutzte Klinkerfus dieselbe Uhr wie Geming, und in Folge davon stimmen seine Angaben mit denen Gentang's so nahe überein, dass man sie nicht als unabhängige Beobachtungen rechnen kann. Später benutzten sie zwei verschiedene Uhren.

Berechnet sind 98 Radien. ausgeschlossen . . . 4 also benutzt . . . . 94, numlich 57 Eintritte und 37 Austritte.

33. Mondfinsterniss am 6. Januar 1852.

Beobachter	Object		Э	G	Z	1	1	R	Bemerkunge
Bern.	Eintritt								
. WOLF	. CRand 1	146h	19"47	-1.87	26595	+	89"	0"	
	1 -	3							
Bonn.	Eintritte . C Band 1	16	21 57	1 000	265.5			0.00	
SCHMIDT .			21 07 25 32		259.9	+	49 40	-25 - 4	
	Grimaldi 1		26 42 26 42			+	64	+17	1
	Aristarch 1		20 42 30 7		258,3 270,0	+	40	- 4	
	Aristaren I		30 32		270.0	+	44	- 4	
	Kepler M		32 47		265.0		86	+12	i
	Gassendi I		37 9		256.1	+	43	- 4	
	Gassendi II		38 47		255.6		38	- 6	
	Harpalus M		36 37		279.4	+	45	+ 1	
	Heraclid M		36 37		276.2		56	+12	12
	Euler M		37 17	1.86		+	46	+12	T
	Laplace M		10 7		277.2		37	- 7	9
	Copernicus 1		10 37		266.3		63	+19	1
	Copernicus 1		12 37		266.0	+	42	- 9	
	Pytheas M		10 57		270.0	+	47	+ 3	
	Schickard 1		12 2		247.3			-22	
	II.		15 24		246.2	+		+ 3	
	Plate 1		15 42		279.5	+	42	- 9	
	M		6 32		279.6	+	44	- 3	
	11		7 15		279.6	+	44	0	
	Pico M			-1.88			36	- 8	19
	Timocharis M		17 49				657	- 0	1.
	Aristoteles I		54 27	-1.88		+	46	+ 9	1
	11		55 44	-1.89			47	+ 3	1
	Sulp. Gallus M		54 37		270.5		99	+55	1
	Manilius 1		55 12			+	49	+ 5	
	11		55 32		269.2		59	+45	
	Eudoxus 1		55 2		278.7	+	46	+ 9	
	H		56 14		278.7		39	- 5	
	Tycho 1		56 40		248.6		21	-93	
	M	1 1	56 43		218.2		28	-16	
	li	1	57 22		248.3		32	-12	
	Plinius M	1	60 54		270.2	+	99	+48	
	Menelaus M	1	59 7	-1.86	270.2	+	29	-45	
	Dionys M	17	0 48	-1.86	265.4	+	54	+ 7	
	Posidonius 1	1	1 21		275.7		53	+ 9	
Endy	Endymion 1	1	3 7	-1.90	282.2	+	40	- 4	
	11	i	4 27	-4.89	281.5	+	40	- 4	
	Fracastor I	1	9 52		257.3		35	- 9	
	11	1 .	14 27		257.4		27	-17	
	Proclus M	1 .	11 22	-1.86	271.3	+	34	-10	
	Langrenus 1		18 32		263.4	+	12	-32	
	H		19 7		262,6		27	-17	
	C Rand II		24 44				45	+ 1	
	_	1		1		40	00		

Beobachter	Object		9		σ		χ		V	R	Bemerkungen
Breslau.	Eintritte	1		-							
3. GALLE	C Rand 1	16	21	*28	-1.8	7	265%	1+	35"	- 6"	
	Grimaldi M		26	12	-1.9	0	259.0	+	48	+ 7	
	Aristarch M		30	17	-1.8	6	270,4	+	43	+ 2	
	Kepler M		32	56	-4.8	7	265,0	+	84	+40	
	Copernicus 1		40	35			266,3	+	65	+25	
	M		42	0			266.2	+	43	+ 2	1
	11		42	55			266.0	+	33	- 8	
	Plato M			19			279.6	+	32	- 9	
	Tycho i			52			218,6	+	30	-11	
	М			42			248.2	+	29	-12	
	H			37			218.3		27	-46	
	Plinius M			15			270.2		147]		*Plinius?bel
	C Band 11	17	21	48	-1.9	1	258,8		27	-14	ler Flecken
									194		
Breslau.	Eintritte							8			
i. Genther	(Rand 1	16		10			265.5	1 +	44	- 8	
	Grimaldi M		25	45			259.0	+	62	+10	
	Aristarch M		30	15			270.1	+	4.4	- 8	
	Kepler M			53			265.0	+	83	+34	
	Copernieus 1			56			266.3	+	85	+33	
	H			51			266.0	+	67	+15	1
	Plato M		46	27			279.6	+	4.4	- 8	
	Tycho i			54			248.6		29	-23	
	11		57	. 4			248,3	+	43	- 9	
	Plinius M	17		50			270.2	+	30	-22	? »unsicher«
	CRand 11		21	48	-4.9	1	258.8		42 573	-10	
Göttingen.	Eintritte							1	073		
5. KLINKERFUES.		16	21	34	-1.8	7	265.5	1	33	-94	
O. REINKERFIES,	Riccioli M			48			260.2		56	- 4	
	Grimaldi I			12			259.9	+	50	- 7	
	11			34			258.3	1	65	+ 8	
	Aristarch M			35			270.4	14	65	+ 8	
	Kepler 1			12			264.9	14	91	+34	
	11			36			264.8	1 +	64	+ 7	
	Mersenius 1			39			254.2	1	47	-10	
	11		37	31	-1.9	5	253.6	+	26	-34	
	Gassendi 1			39			256.4	+	90	+33	
	H			31			255,6	+	77	+20	
	Lambert M		39	49	-1.8	6	271.8	+	78	+21	
	Copernicus 1		39	49	-1.8	7	266.3	+	89	+32	
	Plato 1		45	33	-1.8	8	279.5	+	16	-14	
	11		46	4.4	-1.8	8	279.6	+	60	+ 3	
	Manifius M		55	23	-4.8	6	269.3	+	53	- 4	
	Tycho 1			23			248.6	+	44	-13	
	11		57	12	-2.6	2	248.3	+	37	- 20	
	Plinius M		64	58	-1.8	6	270.2		57	0	
	Menelaus M			30			270.2	+	48	- 9	
	Posidonius 1	17	- 4	$^{55}$			275.7	+	53	- 4	
	ii			50			275.7	+	54	- 6	
	Proclus M		40	39	1.8	6	274.3	+	57	0	

Beobachter	Object		9		σ	χ	V	R	Bemerkunger
· · · · · · · · · · · · · · · · · · ·	Colombo	M	17º13	-41-	-1.90	25909	+ 59"	+ 2"	
	C Rand	ш	24	317	-4.94	258.8	+ 33	-24	
Göttingen,	Eintritte						1429		
6. Westphal .	( Rand	1	16 24	13	1 97	265.5		-16	l
O. WESTPHAL .	Riccioli	i	23	41	-1.89			-25	
	Riccion	ıi.	94	28	-1.90		+ 54	- 5	
	Grimaldi	ï	25	3		259.9	+ 55	- 4	
	CHAMMAN	ń	26	17	-1.91		+ 58	- i	
	Aristarch	M	28	53	-1.86		+ 88	+29	
	Kepler	ï	32		-1.87			+23	
		III	314	6	-1.87	264.8	+ 48	-44	
	Mersenins	1	36	6	-4.95	254.2	+ 33	-26	
	Gassendi	1	35	20	-1.93	256.1	[+100]		
	Gay Lussac	M	39	55	-1.87	267.5	+ 92	+33	
	Copernicus		40	20	-1.87	266.3	+ 73	+14	
		ш	12	7	-1.87	266.0	+ 58	- 1	
	Timocharis	1	43	0	-1.86	272.5	+ 79	+20	
		11	43	48	-1.86	272.6	+ 75	+16	
	Plato	1	45	19		279.5	+ 54	- 5	
		11	47	4	-1.88	279.6	+ 50	- 9	
	Manilius	1	54	45		269.2	+ 80	+21	
	Tycho	1	55	18		248.6	+ 46	-13	
		Ш	57	6		248.3	+ 40	-19	
	Plinius	M	61	:17		270.2	+ 69	+10	
	Menelaus	M	57	40		270.2	+ 75	+16	
	Bessel	M	58	18		270.5	+ 63	+ 4	
	Ross	M	17 4	6		268.6	+ 73	+14	
	Endymion	.!	4	16		282.2	[- 2] + 42	-47	
	Strave	H M	8	23		281.5 279.7	+ 42	- 9	
	Proclus	M	10	37		274.3	+ 59	0	
	Picard	M	13	44		270.9	+ 55	- 4	
	Colombo	11	13	11		259.7	+ 58	i	
	( Rand	ï		23		258.8	+ 40	-19	
		"	1	4.1	1.51	400.0	1726	1.0	
Königsberg.	Eintritte								
7. C.A.F. PETERS	C Rand	1	16 24	29		265.5	+ 34	-36	
	Grimaldi	1	24	30		259.9	+ 72	+ 2	
		11	25	38		258.3	+ 94 + 73	+24	
	Aristarch	.1	29 29	27		270.0		+ 3	
		11	39			266.3	+ 91	+21	
	Copernicus	ú	44	49		266.0	+ 68	- 2	
	Tycho	ï	54	36		218.6	+ 67	- 3	
	Lycho	'n	56		-2.02		+ 59	-14	
	(Rand	ii	17 20	35		258.8	+ 65	- 5	
	-	"	11. 20	00		200.0	702		
Konigsberg.	Eintritte			00	1.00	acr e			
3. SCHUMACHER	C Rand	1	16 24	26		265.5		-18	
	Tyeho	1	54	27 35		248.6 248.3	+ 72	+18	
		11	56	99					
	C Rand	П	17 20			258.8	+ 54	0	

Beobachter	Object		9		ď	χ	V	R	Bernerkunger
Leipzig.	Eintritte	7						-	
9. D'ARREST	C Rand	1 10	121	m50*	-1.87	26505	+ 23"	-17"	
	Grimaldi		25	28	-1.90	259.9	+ 42	+ 2	
	1	il.	26	52	-1.91	258.3	+ 56	+16	
	Aristarch A		30	13	-1.86	270.1	+ 45	+ 5	
	Tycho		55	59	-2.02	248.6	+ 26	-14	
	1		57	22		248.3	+ 32	- 8	
		1 17	20	52	-1.94	258.8	+ 56	+16	
Leipzig.	Eintritte						280		
10. HARTWIG .	C Rand	1 10	22	23	-1.87	265.5	[+ 5]		
	Grimaldi		25	13	-1.90	259.9	+ 50	+ 6	
	1	1	26	49	-1.91	258.3	+ 57	+13	1
	Aristarch	l e	29	46	-1.86	270.0	+ 52	+ 8	
	1	1	30	36	- 1.86	270.4	+ 42	- 2	
	Tycho	11	55	56	-2.02	248.6	+ 28	-16	
	1	1	57	30	-2.02	248.3	+ 28	-16	
	C Rand 1	1 17	20	58	-1.91	258.8	+ 53	+ 9	
	-	1					310		
Lund.	Eintritto								į.
1. AGARDH	Aristarch	1.16	29	22	1.86	270.0	+ 65	+11	
	Copernicus	i	\$0	6	-4.87	266,3	+ 80	+26	
	1	Ľ.	12	2	-1.87	266,0	+ 61	+ 7	
	Plato	1		27	1.88	279,5	+ 50	- 1	1
	1	1	46	52	-1.88	279,6		+ 2	
	Tycho	1	55	4.4	2.02	248.6	+ 34	-20	
	1	t,	56	35	5.05	248.3	+ 55	+ 1	1
		I,	57	22		270.2	+195		
	1		58			270.1	+166		
		1 13		32		271.2	+ 55	+ 1	
			11	18		271.2	+ 43	-11	
	CRaud 1	1	21	55	1.94	258.8	+ 40	-11	
							539		1
Lund.	Eintritte	P							1
2. BLOMSTRAND	Plato	1 10	1 45	29	-1.88	279.5	+ 49	- 3	1
	1	1	47	6	1.88	279.6	+ 49	- 3	1
	Tycho	18	55		2.02	248.6	+ 49	- 3	i
	1	1	56	36		248.3	+ 55	+ 3	
	Plinius I	1 10	0	2	-1.86	270.1	+431]		
	Proclus	1.	10	6.1	-1.86	271.2	+ 50	- 2	
	Langrenus		16			263.4	+ 79	+27	
	CRand I	1	21	35	1.94	258.8	+ 34	-18	
		1					365		
Marburg.	Eintritto	l.							
3. GERLING	Aristarch A	111	29	48	-1.86	270.1	+ 58		1
	Copernicus M		39		-1.87		+186		1
	Eratosthen I		40			268.5	+224		1
	Manilius A		54	3		269.3	+ 97		unzuverias
	Plinius M		59			270.2	+143	1	»sehr unsic
	Menelaus M	1	57	13		270.2	+ 90		ounsichers
		1:17		32		258,8	+ 35		11

Beobachter Marburg.	Object			Э		σ	Z	V	R	Bemerkungen
Marburg.	Eintritte									
14. LESSER	. Aristarch	11	46	h 99	m43	-4.86	97001	+ 86"		<b>V</b>
TY. LEGGER	Mayer	11			45		268.4	+121		Į.
	Copernieus		į.		34	-1.87		+142	i .	
	Eratosthen			42		-1.86		+455	1	
	Piato	11		45			279.6	+106		unzuverlässis
	Manilins	11			4.4	-4.86		+119		diazuveriasan
	Tycho	ii			49	-2.02		+108		
	Plinius	11			57	-1.86		- 60		1
	Menelaus	ii			46	-1.86		+ 87		J
** *										
Marburg.	Eintritte									
5. Schönfeld	. Rand		116	22			265,5	[ 0]		-wahrschein-
	Grimaldi	11				-1.91			+ 5"	lich zu spale
	Aristarch	1		30		-4.86		+ 40	- 9	
	Kepler	Н		34	25	4.87		[+134]		
	Mayer	11		34		-1.86		L+140]		
	Gassendi	- 1			50	- 1.93			+ 5	
		н			25	-1.93		+ 49	0	
	Copernicus			40	23	-4.87			+22	
		Н		42	47	-4.87		+ 53	+ 4	
	Plato	-1		45		-1.88		+ 35	-16	
		ij		47	- 6	~4.88			+ 4	
	Manilius	1		55	$^{26}$	~4.86		+ 42	7	
	Tycho	J		56	- 4		248.6	+ 25	21	
		н		56			248,3	+ 49	0	
	Plinius	н		64	49	-4.86			+25	
	Menelaus	11		59	7	-1.86		+ 43	- 6	
	Posidonius		17	- 4	13	-4.87		+ 58	+ 9	
		П		2	5.5	-1.87			+ 6	
	C Rand	II.		24	28	-4.94	258.8	+ 37	-42	
Rem.	Eintritte							788		
6. Secon	Copernicus		16		47	1 07	266.2	+ 50	4 N	
u. excess	Tycho	M	16		98		248.2	+ 35	+ 0	
	1 yeno	M		96	25	2.02	248.2	+ 35	,	

8. » Schumacher; Kometensucher v. Fraunh. J. A. N. 33, 403.
9. Leipzig, b'Arrist; 6füss, Fraunhofer, 80fache Vergr. J. A. N. 33, 403.
10. » Harwig; 3füss. Dollond 12. » Blobstrand; 34fdss. Dialyt, 50fache Vergr. . A. N. 34, 923.

13.	Marburg,	GERLING;	40	Zoll	Brenny	., 28	Lin.	Oenn.,	108	ache	Vergr.	
14.		GERLING; LESSER; SCHONFELD;	14	30	10	14		30	24	30		2
15.		SCHONFELD;	60	20		43		n	54			V 25
46.	Rom, Sec	жи									A. N. 2	4, 39,

Worr bemerkte nach Eintritt der totalen Finsterniss am Westrande während einiger Zeit einen schmalen, weissichen Schimmer, In Bonn war es ziemlich klar; Schund bemerkt: «Der Mond blieb während der Totalität so hell (gelbroth), dass er liniter leichten Dunsten sogar einen Nimbus curzugte, « Nahars schreibt: Per Kernschatten war diesmal ungewöhnlich gut begrenzt, die Scheibe blieb vollständig sichtbar.« In Marburg störte nur anfangs leichtes Gewölk, welches sich später verzog. Die Beobachlungen von Gransw und Lessan sind ganz unzuwerlässig und werden daher fortgelassen. Sozun bemerkt zu seinen zwei Angaben: »Diese Zeiten sind die Mittel aus den drei Augenblicken des Eintrittes der Ründer und der Mitte des Fleckes. Der Fehler kann 5" betragen. Der Rand des Schattens erselnien ein wenig blau, aber indem man den hellen Theil verdeckte, bemerkte man, dass dies nur eine Contrastwirkung war, und er rott war, wie das Uebrige.»

Berechnet sind 211 Radien, ausgeschlossen . . . 27 " , also benutzt . . . . 184, lauter Eintritte.

34. Mondfinsterniss am 13. October 1856.

Beobachter	Object			37		g	X		V	H	Bemerke	ingen
Altona,	Eintritte											
4. C.A.F. Peters	CRand	- 1	9	21	21:	1.90	270%	+	33"	-26"		
	Grimaldi	1		23	16	2.00	275.3	+	57	- 2		
		- 11		24	40	-2.05	277.3	+	72	+13		
	Kepler	М		36	48	2.22	283.2	+	83	+24		
	Tycho	1		39	4	-1.82	264.8	+	70	+11		
		- (1		5.4	0	1.82	265.2	+	58	- 4		
	Plato	- 1	40	45	32	3,90	306,9	+	36	-23		
		- (1		17	12	4.07	307.9	+	63	+ 8		
	Austritte								172			
	Plato	- 1	11	18	2	+4.40	354.7	+	40	+ 4		
		11		19	19	+5.47	356.0	+	15	-21		
	Grimaldi	- 1		31	18	+2.06	26.7	+	39	+ 3		
		- (1		33	48	+2.01	29.0	+	24	-12		
	@ Rand	11	12	28	3	+1.90	34.5	+	63	+27	- durch	Wol-
								т	181			ken«

Beobachter	Object			Э		U	Z	V		R	Bemerkungen
Greenwich.	Eintritte										
2. BOWDEN .	Grimaldi	51	91	24	135	-2.02	27602	+ 1	¥9″	- 11	1
	Gassendi	M		30	43	-1.94	272.6	+ 1	54	+ 4	
	Kepler	M		35	57	2.99	283.2	(+4)	061		
	Tycho	M		40	42	4.82	265.4	+ 2	39	-44	
	Copernicus	M		46	55	2.29	285.4	+ 1	19	4	
	Manifius	М	10	4	22	-2.47	289.6	+ 1	4.4	~ 6	
	Menelaus	М.		7	58	-2.53	290.7	+ 6	63	$\pm 43$	
		M		11	36	-2.50	290.4	+ 6	54	+44	
	Plato	M		17	40	-5.15	308.4	+ 3	38	-12	
	Austritto							35	17		
	Archimed	М	11	36	35	+2.92	7.4	+ 6	67	+ 5	9
	Copernieus	М		34	48	+2.33	48.3	F-43	377		7
		м		40	37	+3.15	4.5	26	54		Y
	Tycho	М	12	- 5	28	+4.84	39,9	+ 5	96	+34	. 9
	C Band	11		26	49	+1.90	34.5	4 5	24	-38	
	-							12	87		
Greenwich.	Eintritte										
3. Criswick .		4	9	99	42	4.90	270.4		9		. 3
		М		31	4		282.8	+ 5	3.5		
	Kepler	М		38	4.0		283.2	+ 1	16		
		м		54	49		265,4	1 4 1	18		
		M	10	13	9		298,9	-44	15		
	Timocharis	38		7	20	-2.94	297.5	-45	26		
	Austritt										
	C Rand	11	13	28	37	+4.90	34.5	+ 8	80		
Greenwich.	Eintritte	- ì									unzuverlässi
4. CARPENTER	. C Band	1	q.	93	19	-4.90	970 1		915		unzuvertassi
T. CHARLESTER		м		29	11		282.8	+ 5			
	Tycho	7		37	5		264.8	+43			
	Copertieus				38		285.4		22		
			10	9	20		298,9		6.0		
	Timocharis			7	35		297.5	-43	30		
	Plato	M		24	37	-5.45	308.1	- (	68		
	Austritt	1									
	C Rand	ш	12	28	40	+4.90	34.5	+ 5	82		J
Hamburg.	Eintritte	ч									
5. Barrels .	. Gassendl	al	9	3.0	16	-1.94	9793	+ 1	6.15	+ 1	
o, wanted .	Tycho	il				-1.82			54	+10	
		n				-1.82		4.6		+20	
	Aristarch	ï			47	-2.51			18	4 4	
		Ĥ			38	-2.54			55	+44	
	Plato		4.0	16			306.9		3.6	-20	
		н	,			-4.07		+ 1		+ 9	
		7				4.48			33	-11	
		Ĥ		35	4	-4.49		+ 5		-17	
	Endymion	1				-5.32		+ 1		-12	
	Austritte						1		35	1 "	
	Endymion	n.	4.4	30	11	45.54	349.9	+ 1		+ 5	
		ñ				+2.04	20.0	+ 5		- 4	
	Or mailui	**		90	07	1-4.01	~ 5.0		64		

Beobachter	Object		Э		σ	X	ľ	R	Bemerkunger
Hamburg.	Eintritte	F			-				
6. NEUMAYER .	. Grimatdi 3	10 5	b 23	=34	-2.02	27602	+ 80"		1
	Galifei 3		27	7	-2.24	282.8	+140		
	Kepter 5	i i	37	35	-2.22	283.2	+ 62		
	Tveho		39	28	-1.82	264.8	+ 57	r	
	1		40	55	-1.82	265.2	+ 61		
	Pitatus		39	5	1.87	268.7	+ 70		
	1	là.	40		1.88		+ 89	)	
	Copernicus		43			284.3	+115		
	3		45	6		285,1	+ 97		
	4		46			285,3	+ 82		
	Archined		57	40		294.4	+194		
	Manilius			26		287.9	+103		
	Plato		- 8	53		306.9	+138		
	3		9		-4.14		+116		unzuver-
	1		12			307.9	+137		lässig
	Gleomed		35		-3.16		- 25		Tanana B
		ч	34	- 1	-3.26	301.4	- 44		
	Austritte	ш.							
	Plato		48		+4.40		+ 49		
	. b		19		+4.29		+ 38		
	1		20		+6.17		+ 26		1.1
	Aristarch N		54	16	+2.57		+ 25		7
	Grimaldi		34	16	-2.06		+ 38		1
	X-11- 1 2		32		+2.03		+ 30	1	
	Archimed M			34	+2.92	7.4		1	
				23	+2.88		+ 21		
	Kepler 3		40		+2,22		+ 30		
	Coperniens M		15	1	+2.28		+ 54		J
Hamburg.	Eintritte								
7. MERGUR	( Rand	9	49	36	1.90	270.4	+ 89	+35"	
	Grimaldi		23	56	2.00	275.3	+ 37	-17	
	1		25	25	2.05	277.3	+ 50	- 5	
	Riccioli X		23	4.0	2.05	277.4	+ 80	+26	9
	Schickard M		28	6	-1.80	263,6	+ 32	-22	9
	Hansteen M		27	6	1.98	274.2	+ 60	+ 6	7
	Reiner M		29	16	-2.16	281.5	+106	+52	9
	Gassendi		30			272.3	+ 45	- 9	
	- 1		34	48		272.8	+ 55	+ 4	
	Kepler 3		38			283.2	+ 39	- 15	7
	Tycho		39	34		264.8		+ 4	
	N		10	26		265.1	+ 47	- 7	
	11		5.1	2		265,2	+ 57	+ 3	
	Mayer		5.1	36		285.8	+433		
			15	()		286,0	+142	1	
	Aristareh		15	45		290.1	+ 37	-17	
				55		291,1	+ 48	- 6	
	Copernicus		4.5			284.3		+16	
	) N		iti	6		285.1	+ 70	+16	
			17		-2.29			+ 9	
	Euler 3		18	16	2.00	291.2	+ 74	+20	9

Beobachter	Object			9		g .	χ	V	R	Bemerkunger
-	Lambert	I	91	504	36	-2.54	29100	[+129"]		
	Lumbort	ni				-2.56		+134		
	Messala	4	40	38	6	3.82			-45"	
	in coosin	44	1.0	38		-3,93		+ 34	-20	
	Endymiou	1				-5,32		+ 33	-24	
	inda j mod	й				-5.74		+ 50	- 4	
	Austritte							1240		
	Pico	M	11	23	2.6	. 9.71	358.9	+ 46	+ 7	4
	Aristarch	1	"	24		+2.58		+ 33	- 6	
	STEMBER ST	й		25		+2.54		+ 34	5	
	Endymion	4		26		+5,93		+ 50	+11	
	Libayanou	M		27			349.6		+ 4	
		41				+5.54		+ 20	-49	
	Marius	36		29		+2.29		+ 39	0	-9
	Reiner	M		30		+2.20		+ 35	- 8	9
	Grimaldi	1		34		+2.06		+ 45	+ 6	
		м		39	36	+2.03		+ 31	- 8	
		н		33	47	+2.04		+ 24	-15	
	Pytheas	M		34		+2.54			- 4	7
	Cavendish			36		+1.95		1-2157		7
	Mersenius	1		37	40	+4.96	34.0	149		
		H.				+4.95		158		
	Copernicus	i.				+2.34		+ 35	\$	
		M		40		+2.33		+ 36	3	
		41		5.1	50	+2.28	19.6	+ 49	+10	
	Gassendi	1		45	6	+1.95	34.8	+ 71	+32	
		41		45	50	+1.94	32.2	+ 44	+ 5	
								670		
Hamburg.	Eintritte									
ROWKER .	. C Band	1	9	21	- 6	-1.90	270.4	+ 44	- 1	
	Grimaldi	M		26	27	-2.02	276,2	+ 52	+10	
	Reiner	31		30	53		281.5	+ 61	+49	? eunsicher
	Gassendi	М		30	48	-4.94	272.6	+ 51	+ 9	
	Marius	36		35	58	-2.29	285.3	÷ 30	-12	? »unsicher
	Kepler	М	1	37	\$0	-2.22	283,2	+ 60	+18	
	Tycho	1.	į.	39	19	-4.89	264.8	+ 45	+ 3	
	1	M		40	27	1.82	265.4	+ 47	+ 5	
	1	Ш		40	4	4.89	265.2	+ 58	+16	
	Mayer	М		14	57		285.9	+438		7
	Aristarch	М		13	6		294.2		-44	
	Copernicus	1		46	45		284.3	+ 44	+ 2	
	1	М			56		285.4		+ 6	
		11		47	50		285.3	+ 44	+ 2	
	Pytheas	М		52	4.6		290,8	+ 35	- 7	7
	Archimed	- 1	10	4	16		294.4		- 4	
		34		5	2		298.9	+ 45	+ 3	
		41		- 5	56		297.0		+1.5	
	Manifius	М		4	4.5		289.6	+ 36	6	
	Menelaus	М			54		290.7	+ 52	0	
	Goelenius	M		12	26		279.9	+ 35	- 7	
	Piato	- 4		16	20		306.9		19	
		M		17	50	-5.45	1308.4	+ 36	- 6	

Beobachter	Object		9		σ	Z	V	R	Bemerkunger
	Plato II	10	18	- 5	-4.07	30799	+ 50"	+ 8"	
	Eudoxus M	8		27		306.5	+ 33	- 9	
	Proclus M		21	5	-2.60	293.2	+ 17	-25	7
	Endymion M		51	36	-5.60	314.9	+ 36	- 6	
	Austritte						1094		
	Plato 1	14	16	49	+4.10	354.7	+ 24	- 9	
	М		17	58	44.20	355,3	+ 20	- 13	
	11		18	50		356,0	+ 8	-25	
	Aristorch M		24	4	+2.57	13.0	+ 19	6.6	
	Endymion 1	1	25	41	+5.93	348.7	+ 47	+15	
	Eudoxus M		30	4.4	+3.99	357.6		+ 1	
	Grimaldi M	À.	33	16	+2.03	27.9	+ 51	+18	
	Pytheas M				+2.54		+ 33	0	7
	Kepler M		35	7	+9.25		+ 46	+43	
	Copernicus I		39	17	+2.31		+ 25	- 8	
	М	1	40	26	+2.33		+ 34	+ 1	
	11		41	6	+2.28		+ 29	- 4	
	Gassendi M				+4.94		+ 61	+28	
	Menelaus M		54	11	+2.47	15.0	[+115]		
Hamburg.	Eintritte						431		
9. Ѕсимия	Grimaldi I	9		44		275.3	+ 55	+ 4	
	ll II			34		277.3	+ 46	+ 3	
	Riccioli I		24	44		277.2	+ 27	-16	
	Schickard 1		26	46		263.8	+ 32	-11	
	- 11		29	- 1		263.2	+ 56	+13	
	Gassendi 1		30	5		272.3	+ 54	+ 8	
	1 11	1	34	34		272.N	+ 48	+ 5	
	Galilei I		30	31		283.4	+ 44	+ 1	
	Kepler I		37	13		283.2	+ \$3	0	
	- 11	8	38	11		283.5	+ 48	+ 5	
	Tycho 1	il.	40	. 1		264.8	+ 39	- 4	
	M	1		46		265.1	+ 36		
			44	24 52		265.2	+ 47	+ 4 + 3	
	Aristarch I	0				290.4		+ 3	
	. 11		45	47 46		294.4	+ 54	+13	
	Copernicus I	1	47	4		285.4	+ 46	+ 3	
	N.			4		285.3	+ 35	- 8	
	Euler M			33		294.2	+ 44	÷ 1	7 sunsicher
	Pytheas I			46	-2.59		+ 41	- 2	· vansiciici
	II years				-2.53		+ 48	+ 5	
	Theophilus I			24		277.6	+ 63	+20	
	Timocharis M			31		297.5	(+ 74)	720	»unsicher«
	11	4		56		295.0	+ 40	- 3	- disordirect
	Menelans 1	10		28			f+ 907		
	II	1	6	48			+104		1
	Censorinus M	1		37		283.6	+ 43	0	7 sunsicher
	Plinius M			13		290.1	+ 46	+ 3	· · · · · · · · · · · · · · · · · · · ·
	Goctenius I	1	12	1		279.6	+ 38	- 5	
	II			26		279.9	+ 49	+ 6	
	Pico M	1			-3.65		+ 48	+ 5	9
		,			-3.90				

Beobachter	Object		9		σ	Z		V	R	Bemerkunger
-	Plate	11	105 17	m54	-4.07	30729	+	53"	+10	
	Eudoxus	1	22	4.1	-3.80	306.1	+	30	-33	
		11	23			306.5	+	48	+ 5	
	Proclus	M	24	3	-2.66	293.2	+	17	-26	
	Picard	M	24			292.4	+	44	+ 1	?
	Aristoteles	-1	26			309.3	+	37	- 6	
		Ш	28			340.5	+	43	0	
	Hercules	-1	32			308.6	+	33	-10	
		Ш	34			340.4	+	39	- 4	
	Struve	M	38		-4.12		+	54	+ 8	
	Endymion	1	40			343.9	+	34	-12	
	i	Ш	4.2	13	-5.74	315.3	+	44	+ 1	
	Austritte							748		
	Plato	-1	11 18	- 7		354.7	+	15	- 2	
		Ш	20			356.0	+	34	-13	
	Pico	M	22			358.9	+	34	-10	7
	Aristareh	-1	24		+2.58		+		- 9	
		Ш	24		+2.54	13.5	+	28	-16	
	Endymion	-1	26		+5.93		+		+12	
		11	30			319.9	+	34	-10	
	Aristoteles		26			354.8	+		- 9	
	Galilei	щ	29		+2.21			101]		
	Endoxus	.1	30			358.0		53	+ 9	
		ij	34	46		358.6	+	4.3	- 1	
	Grimaldi	1	34			26.7	+	53	+ 9	
	1	M	32		+2.03		+	44		
	D 4	II.	33		+2.01		+	28	-16	a
	Pytheas	M	35		+2.54	13,6	+	46	+ 2	? »unsicher
	Archimed	ıl.	35	44	+2.94		+	57 49	+13	*nusicher«
		М	35		+2.88		+	53	+ 9	
	Kepler Copernicus		40		+2.31		+	54	+10	
	Copernicus	M	40		+2.33		1	47	+ 3	
	1	11	41		+2.28		I.	40	T 3	
	Strave	M	40		+4.28		II.	40	- 4	9
	Gassendi	M			+1.94		+	47	+ 3	1
	Gassentit	ű.			+1.94		+		+16	
		"	***		11,04			006	1.0	
Hoya.	Eintritte						111	000		
. Winnecke.	CRand	1	9 94	34	1 00	270.4	+	27	-39	
. WINNECKE.	Tycho	i	38			264.8	+	87	+21	
	yeno	M	39			265.4	+		+ 3	
		11		16		265.2	+		+16	
		"	40	10	1.82	203.2		265	710	
Santiago.	Austritt						1 3	200		
	( Rand				1	34.5				

<sup>2.</sup> Greenwich, Bownex; 5füss. Altaz.-Telesc., 3.75 Zoll Oeffn.
3. a Chiswick; 8füss. Acquat., 6.7 Zoll Oeffn.
4. a Campergrae: 30zöll. Achromat

5.	Hamburg,	BARTELS; klein	es Fernrohr	١												
6.		NEUMAYER											٨.	N.	44,	317,
7.		NIEROUR		j												
8.	2	Rinken; 51füs	s. Refractor										Λ.	N.	45,	43.
9.		SCHMIDT; 4 füss	. Refractor.			,	·						Α.	N.	14,	347.
10.	Hoya, Wix	NECKE; Kometen	sucher,34 Li	0.0	eff	n.	,30	fa	che	V	ers	ŗ.	Λ.	N.	44,	366.
44.	Santiago,	MOESTA; 84ftiss	. Fernrohr .								·.		Α.	N.	45,	115.

In der Publication A. N. 44, 347 kommen die unglaublichsen Dinge vor, z. B. sie und silte ohne Angabe der Fornation, femer - 3 ob. 10<sup>3</sup> 32<sup>n</sup> 44<sup>s</sup>. Der Himmel war in Hamburg zu Anfang heiter, zuletzt kamen immer mehr Wolken. Zur Zeit der grössten Plasserschien durch das Fernrolt der gamze Mond vom Schatten bedeck, nur der N.W.-Hand leuchtete etwas geblicher, als das Uebrige; dem blossen Auge dagegen erschien der Mond nicht total verfustert (Schmurr und Renasa). In Bloya war bis zur Mitte ausgezeichnetes Wetter. Winswars schlatzte 10<sup>6</sup> 55<sup>m</sup> 28<sup>s</sup> m. Gr. Zt. die grösste Breite des vom Kernschatten der Erten einst gestellenen Mondrandes = 217. Der Schatten war bei dieser Finsterniss zientlich schlecht begrenzt (Rusara, Wasrear, Mosara). Beschreibungen des Verlaufes finden sich noch A. N. 45, 79 und A. N. 55, 1455.

Berechnet sind 243 Radien,
ausgeschlossen . . . 60 ° ,
also benutzt . . . . . 483, nämlich 120 Eintritte und 63 Austritte.

35.

Mondfinsterniss am 27, Februar 1858.

Beobachter	Object		9		σ	χ	V	R	Bemerkungen	
Berlin.	Eintritte									
1. Brouns	C Rand	- 1	9	12			35228	+ 17"		
	Tycho	- )	1	54		-3.89		+ 82	+26	
		13	t	27	32	-4.40	0.0	+ 70	+14	
	Austritte		1					169	1	
	Tycho	11	to	47	38	+3.93	56.8	+ 83	+14	
	Rand	11	11	18	33	+3,33	62.6	+ 55	-14	
Berlin.	Eintritte							138		
2. ENCKE	. C Rand	- 1	9	10	29	-3.34	352.8	+ 48	-33	
	Tycho	1	1	23	32	-3.89	358.4	+ 90	+ 9	
	1.	11		25	7	-4.40	0.0	+405	+24	
	Anstritt							243		
	C Rand	11	11	18	37	+3.33	62.6	+ 56	0	

Beobachter	Object			9		ŀ	$\sigma$	χ		V	R	Bemerkunger
Berliu.	Eintritte											
3. FORESTER	C Rand	- 1	92	41	50		3,34	35228	+	24"	-20"	
	Tycho	- i		25	54		3.89	358.4	+	54	+10	
	12.00	11					4.10			55	+44	
	Austritt									133		
	C Rand	11	44	47	45	4	3 33	62,6		40	0	
	-	"		.,				0.0		4.0		
Breslau.	Eintritte											
4. Galle	€ Rand	1	9		34			352.8		48	+ 5	
	Tycho	М		27	52		4.02	359.3	+	4.4	- 3	
	Austritte									89		
	Tycho	М					4.07		+	4.4	F &	
	C Rand	11	14	47	34	+	3,33	62.6	+	33	- &	
										80		
Breslan.	Eintritte										1	
5. GUNTHER	( Band	1	9	12	21		3.34	352.8	+	45	19	
	Lycho	М		27	ħ		1.09	359,3	+	53	+ 19	
	Austritt									68		
	C Rand	11	14	48	99	١,	3.33	62.6		59	- 0	svielleicht z
	-							02,0		., .,		späl
Brüssel.	Eintritt											i i po
6. MAILLY	€ Band	1	9	11	4		3,34	352.8	+	39	0	
Brüssel.	Eintritte											
7. A. OUFTFLET.		- 1	9	4.0	34		3.34	352.8		48	- 7	
t. A. Querencer.	Tycho	i			34			358.4		59	1 4	
	131110	- II		28	17		4.10			59	1 1	1
	Heinsius	ä		38	7		5.84		r-	93		
	TICALIA COLO	- Ii		40	45			10.4		90		
	Austritte									166		
	Heinsius	-11	10	90	6.0		5.69	47.5				
	Tycho	ï	,	42			4.17			55	+ 9	
	, i yeno	ni.					3.93			50	+ 4	
	€ Rand		1.5				3,33			34	-12	
	6 month	"			4.7					139		
Brüssel.	Eintritte									1.19		
8. E. Ocetelet.		1	0	4.0	34		331	352.8	١.	48	. 3	
o. D. QUETRIET.	Tycho	- i			34			358.4		59	+ 8	
	1.70110	ń		28			5.10			59	+ 8	
	Heinsins	ï		38	7		5.84					
	in distus	- Ii		40				10.4		90		
	Fracastor	- ï	10	4	25				+		-45	
		ΠÌ		10	0		9,20			54	0	
	Austritte							,		253		
	fleinsius	1	10	27	٥	L	6.17	45.7		83		
	nemsius	-ii	,,,				5.69			94		
	Fracastor	ï					10,66			38	- 5	
	10160-001	n		48	0		6,96			38	- 5	
	Tycho	ï		12			4.47			55	+12	
	17000	- ń		15	28		3.93			50	+ 7	
	( Band	ii	14				3,33			34	- 9	
	e mana				40		-5,591	04.0		0.0		

Beohachter	Object			9		đ	z	V	R	Bemerkun
Göttingen.	Eintritto									
9. Atwers	( Rand	- 1	9	-11	m(9)	-3.34	35208	+ 33"	- 7"	
	Tycho	- 1	l	25	54	-3.89	358.4	+ 53	+13	
	1	M		27	19	-4.02	359,3	+ 49	+ 9	
		H		28	47	-4.10	0.0	+ 51	+11	
	Gaurieus	ï	1		53	-5.34			- 7	
		11			23	-6.05		+ 22	-18	
	Austritte						0,13	241		
	Tycho	- 1	10	49	55	+1.17	54.9	+ 58	+ 5	» zu spät
	Tycho	M	10	44	6	+4.07		+ 49	- A	* za spar
		n			39	+3.93		+ 53	0	
	C Rand	ii	44		25	+3.33		+ 52	- 1	n zu spät
	C Manua		٠	,		+4,34	02.0	212	- '	a zu spar
Göttingen.	Eintritt							212		
10. BACKMANN		11	9	27	# T	-4.10	0.0	+ 64	0	
10. DACKMANN	Tycho Austritt	"		21	99	-4,10	0.0	+ 64		
					25	. 2 22	60.6	+ 70	0	
	C Band	"	"	19	20	+3,33	62.6	+ 10	U	
Göttingen.	Eintritte									
11. KLINKERFUES .	C Rand	1	9	9	38	-3.34	359 8	+ 64	- 3	
ii. agamentes	Tycho	i			42	-3.89			+ 5	
	1 years	11			54	-4.10		+ 64	- 3	
	Austritt			~.		4.10	0,0	200	- 0	
	C Band	0	11	17		+3,33	62.6	+ 40	0	
	C Dance	"	11	11	**	+3.43	02.0	+ +0		
Göttingen.	Eintritte									
12. Schering	Tycho	4	9	21	43	-3.89	358.4	+ 72	+ 3	
		11		27	47	-4.10	0.0	+ 66	- 3	
	Austritte							138		
	Tycho	11	10	4%	49	+3,93	56.8	+ 56	0	
	Rand	ii			45	+3,33		+103]		
	C Mana		٠	~ .		10.00	0.21.0	56		
Greenwich.	Eintritte							90		
13. CARPENTER .		1	9	911	32	-3,89	250 4	+ 59	+11	
13. GARPENTER .	Tycho	ú	9		31	-4.10		+ 44	- 7	
	Fracastor	M	10		55	-8.46		+ 54	- 4	
		21	10		93	-0.00	10.7		- •	
	Austritte		١.,					155		
	Tycho	1	[10		19	+4.47	54.9	+ 49	+ 7	
		11	١		48	+3.93	56.8	+ 56	+35	
		п	11	16	43	+3,33	62.6	+ 22	-20	
								127		
Greenwich.	Eintritte									
14. WAKELIN	Tycho	M	9				359,3	+ 48	+ 6	
	Fracastor	M	10	8	7	-8.46	44.7	+ 36	~ 6	
	Austritte							84		
	Fracastor	M	10	46	44	+7.66	42.4	+ 50	+14	
	Tycho	M		43	31	+4.07	55.7	+ 41	+ 2	
	Snellius	M	11	7	27	+4.44	53.4	+ 68	+29	9
	Furnerius	M		7	27	+4.29	54.4	+ 2	-37	9
	( Rand	11		17	26	+3.33	62,6	+ 35	- 1	
	1							196		

Beobachter	Object			э			σ	Z	v	,	R	Bemerkun
Marburg.	Eintritte				-							
5. GEELING .	. C Rand	- 1	91	10	5	-	3,34	35298	+ 1	56"	- 3"	
	Tycho	- 1	R	25	45	-	3.89	358.4	+ 3	56	- 3	
	1.	Ш	i .	27	57	-	4.10	0.0	+ 1	64	+ 5	1
	Austritte		ì						-	76		1
	Tycho	- 1	40	42	46		4.47	54.9	+ 1		+ 1	
	Treno	ıi			35		3.93		143		- 9	1
	C Rand	ii	14	44			3,33		(- 3			
	£	•••	1		-	1	0,00			07		
Marburg.	Eintritte								- "	07		
6. MELDE	. Tycho	М	9	25	90	L	4 09	359.3	+ 1	70	+ 9	ł
o. Million	. Tycho	II		28	4		4.10		1.		- 8	1
	Austritte	**	i	20	•	Г	4.10	0.0		44	- 0	1
				43							١.	
	Tycho	1	10		6		4.17	54.9		60	- 1	
		М					3.93			59	- 2	
		Ш	i i	40	23	+	3.93	56.8	+ 1		+ 3	
	1								44	83	1	1
Olmutz.	Eintritte		1						ŀ			1
7. Зеняют.	. CRand	1	9		10			352.8		54	-44	
	Schickard		3		32			358.6		64	- 7	
		П			44	-	4.29			97	+29	!
	Tycho	1			41	Η.		358.4		72	+ 4	
		M	i		28			359.3		77	+ 9	
		11	i	26			4.10			86	+48	
	Pitatus	1	1	36			5.74	8.2		62	- 6	
		M		37			5.97	9.1		73	+ 5	
		П		38			6.12		+ 1		+48	
	Vitello	M			21		9.12		+ 1		-50	
	Fracastor	ш	10	8	21	-	9.20	45.7	+ 1		- 7	
	Austritte		1			1				47		
	Vitello	М	10		44		10.49		+	3	-12	
	Pitatus	- 1			34		7,92			25	+40	
		м	i .		24		7.26			21	+ 6	
		Ш	ì		39		6.67		+ 1	17	+ 2	i .
	Schickard	Ш		29			4.29		- 1	3	-48	
	Fracastor	1			59		10.66			34	+19	
	Tycho	1			44		4.47			19	+ 4	
	1	M		44	32		4.07			11	- 4	
		11	1				3.93		+ 1	12	- 3	
		П	14	15	56	+	3,33	62.6	+	8	- 7	
	17		1						11	47		
n .: n												
. Berlin, Bau				1							. Λ.	N. 48, 42
	KE; Komete											lin 5, 25
□ For	rster; 3füss	. D	ollo	nd J		•					. Der	nu 0, 20
Breslau, Ga	LLE )											
	NTEER .										. A. i	N. 48, 440

```
9. Göttlingen, Austras; föluss Fraunhofer
10. a Backman; Dollond, 34 Lin. Oeffin.
14. b Klinkerpeis; Kometensucher
12. c Schreing; Dollond, 44 Lin. Oeffin.
```

Greenwich, Capenter, Sfüss. Aequat., 6.7 Zoll Ooffn.)
 WARELEY, 5füss. Aequat., 4.4 Zoll Ooffn.
 Marburg, Gesting, Gest

15. Marburg, Gerling 16. n Melde 16. n Mel

MELDE J
 Olmütz, Schnidt; 5füss. Refr. . A. N. 48, 485 und Manuscript pg. 18.

Galle bemerkt: »Die Farbe des Schattens war während des ersten Dritttheils der Finsterniss dunkel aschgrau oder grüngrau. Später zeigte sich nahe dem Mondrande auch der gewöhnliche röthliche Schimmer, jedoch nur wenig inlensiv.« A. und E. Quetelet geben meistens nur das arithmetische Mittel ihrer Beohachtungen au: ich habe dann diese Zahl bei beide Beoliachter gesetzt. Schening und Backmann wechselten bei der letzten Beobachtung die Instrumente. In Olmütz war es bei - 40° R, vollkommen heiter. Schmidt mass mit dem Fadenmikrometer 400mal die Breite der Penumbra und 76 Sichelbreiten. Er bemerkt: »Der Schatten war stets kreisförmig begrenzt und ganz regelmässig, wie ich ihn zu jeder Zeit in allen Finsternissen seit 1842 gesehen habe, die ich überhaupt beobachten konnte. Was ihn diesmal besonders auszeichnete, war seine vollkommene Durchsiehtigkeit, das vorherrschende sehr schöne Licht und violblaue Colorit. Das Roth war in ganz unliedeutendem Grade vertreten.«

Sonsur's Zeithestimmung scheint um etwa eine Minute felherhaft gewesen zu sein, sodass die Eintritte ein zu grosses, die Austritte ein zu kleines V ergeben. Sonsur legte, wie er öfter bemerkt, bei diesen Beobachtungen keinen Wertli auf die absolute Zeithestimmung, da er die Kenntniss der Dauer der Verfinsterung der Flecken zur Bestimmung des Vergrösserungsoeffleienten für ausreichend hielt (A. N. 52, 233). Dem ausserordentlich kleinen Wertlievi, = 1477 darf man dalter nicht zu viel Bedeutung beilegen, da alle anderen Beobachter übereinstimmend grössere Wertlie geben.

36. Mondfinsterniss am 6. Februar 1860.

Beobachter	Object	-	Э		σ	χ	1	7	R	Bemerkunge
Athen.	Eintritte	-	-				1	7 10 40	LOSE ON	
. SCHMIDT	Grimaldi	16	13h 12m	120	-2.47	24604	+	42"	- 7"	
		111	4.4	50	-2.67	242.4		68	+19	
	Riccioli	M	14.1	25	-2.53	245.4	+	29	-20	
	Kepler	M	17	4		249.7	+	65	+16	
	Pytheas	31	21	15	-2.47	254.3	+	64	+15	
	Plato	1	20	40		264.2	+	59	+10	
		11	22	15	-4.93	264.0	+	63	+15	
	Pico	M	22 :	35	-1.96	262.6	+	42	- 7	
	Copernicus	1	23	40	-2.32	249.9	+	75	+26	
		11	25	40	-2.37	218.7	+	70	+21	
	Archimed	1	26	25	-2.08	257.4	+	46	- 3	
	Aristoteles	11	31	0	4.95	263.0	+	62	+13	
	Hercules	M	38	20	-1.99	261.4	+	53	+ 4	
	Manilius	M		35	-2.32	249.9	+	55	+ 6	
	Endymion	M	39	25	-1.95	263.0	+	33	-16	
	Atlas	M	40	15	-4.99	264.3	+	17	-32	
	Posidonius	М	44 3	35	-2.11	256.2	+	4.1	- 8	
	Bulliald	11	44	15	-3.49	232,2	+	50	+ 1	
		ш	42 :	38	-3.64	230.9	+	67	+48	
	Menelaus	M	44 :	30	-2.34	250.2	+	46	- 3	
	Lemonnier	٨	43 -	43	-2.18	254.0	+	47	- 2	
	Vitello	u.	4.4	20	-4.46	225.6	+	48	- 1	
		н	45	30	-4.62	224.8	+	58	+ 9	
	Struve	M	45	50	-2.02	259.7	+	50	+ 1	
	Plinius	M	45	50	-2.34	249.3	+	46	- 3	
	Vitruvius	M	\$7	52	- 2.34	250.2	+	57	+ 8	
	Dionys	M	48	35	-2.63	243.2	+	52	+ 3	
	Pitatus	1	54	20	-4,66	221.6	+	54	+ 2	
		н	58	15	-5.49	221.9	+	50	+ 1	
	Proclus	M	55	30	-2.37	248.6	+	38	-44	
	Schickard	11	56	37	-9.82	213.3	+	37	-12	
	Picard	M	58	55	-2.42	247.4	+	44	- 8	
	Goelenius	1)	14 9 1	55	-3,37	233.4	+	36	-43	
		It	44	0	-3.45	232.6	+	45	- 5	
		1		32	-3.26	234.4	+	37	-12	
		M.	45	15	-3.40	233.0	+	33	-16	
		н	46	55	-3.56	234.6	+	37	-12	
	Austritte	-1					18	10		
	Schickard	πi	14 24	0	+9.44	193.4	+	45	- 4	
	Fourier	В	33	15	+5.18	184.4	+	26	-23	
		Ā		20	+3.73			32	-17	
	Vitello	1		40	+4.83			44	- 5	
		11		12	+4.73			30	-49	
		٨	42	40		181.5	1+	89		
	Campanus	M	45		+4.60			28	-21	
		M	45		+4.78			44	- 8	
	Krüger	1				171.0		49	0	

Beobachter	Object		9		σ	χ	1	V	R	1
	Krüger	11	144 46	15	+3.10	170%	+	35"	-14"	Ī
	Pitatus	ii.	49	45	+4.94	183.4	+	37	-12	
	Gassendi	1	50	48	+3,33		+	42	- 7	ı.
	Constitution	M	51	45	+3.26		1 +	35	-14	П
		11	53	15	+3.17		+	12	- 7	Н
	Grimaldi	ï	54	35		165.2	+	59	+10	
		M	52	55	+2.64	163.8	+	36	-13	
	1	11	55	30	+2.53		+	49	0	
	Billy	М	52	11	+2.98	169.1	+	59	+10	
	Riccioli	М	53	40	+2.54	161.9	+	30	-19	
	Bulliald	1	53		+3.74		+	17	- 2	
		11	55	30	+3,58	175.3	+	34	-15	
	Olbers	М	15 0	20	+2.29	156.1	+	62	+43	
	Galilei 2	М	2	25	+2.33	157.1	+	25	-24	
	Kepler	М	9	12	+2.36	158.0	+	48	- 4	
	Briggs	М	8	37	+2.09	149.9	li-	31]		
	Fracastor	1			+4.81		+	53	+ 4	
		п		55	+4.12		+	67	+18	
	Aristarch	1		55	+2.12		+	4.4	- 5	
		М	14		+2.11		+	40	- 9	
		11	1.5	40	+2.11		+	40	- 9	
	Copernicus		15		+2.37	158.3	+	52	+ 3	
		М			+2.36		+	54	+ 5	
		11	17		+2.33		+	53	+ 4	1
	Theophilus			25	+3.43		+	59	+10	
		М			+3,35		+	54	+ 5	U
	i	П	22	15		172.0	+	61	+12	
	Euler	М	20		+2.13		+	49	0	
	Pytheas	M	22		+2.18		+	44	- 8	
	Lahire	M			+2.09		+	4.4	- 5	
	Goelenius	1	26		+3.44		+	49	0	
		11	27	45	+3.36		+	47	- 2	
	Timocharis		27		+2.12		+	42	- 7	
		11	28		+2.11		+	57	+ 8	
	Dionys	M	28	10		163.8	+	53	+ 4	ľ.
	Harpalus	M	29	20	+1.91		+	47	- 2	I.
	Langrenus	1	29		+3.56		+	43		и
		M	31		+3.39		+	54 54		U
		11	33		+3.25		+			n
	Manilius	1	34		+2.34		+	55	+ 6	1
		ij	34		+2.33		+	47 82	+33	
	Archimed	1	32		+2.09		1	54	+ 5	П
		M	34		+2.34		I.	50	+ 1	
	Menelaus Pico	M	36		+1.96		1	51	+ 2	
		1	43		+1.99		+	66	+17	
	Eudoxus	n	44	10	+1.99		1	48	- 1	
	Aristoteles	1	44	25	+1.95		I.	55	+ 6	
	Aristoteles	ıi	45	40	+1.95		I.	57	+ 8	
	Lemonnier		45		+2.17		H	47	- 2	
	Proclus	М	45	18	+2.38	1581	+	50	+ 1	



	Beobachter	Object	ż	9		ď	χ		V	R	Bemerkunge
-		Posidonius	11	150 46	m40	±9 10	15000		66"	+17"	
			M	47			159.0		65	+16	
			М		45	+1.98			69	+20	
		Atlas				+1,97			62	+13	
			11		44	+2.04			54	+ 5	
		Crana	'n.			7 410 4			27		
	Berlin.	Eintritte						31	21		
	BRURNS		м	12 10	24	0.10	256.6		45	- 2	
	DRUBNS		N II	11		-2.11			35	-12	
			M		19		256.4		80	+33	
		Timocharis		51	19		257.4		191	700	*
			1	21	49		264.2		23	-91	
			ń	23	18		264.0	+		-16	
				24	18		249.9		59	+12	
		Copernicus	M I		58		249.9		40	- 7	
			M	27	7					-14	
			M .	30		-2.37		+	46		
			M			-2.56			69	- 1 +99	7
				36	16	-2.47					7
			1				219.9	+		+ 5	
			П	39	5	-2.34				+ 6	
			4		15		250,4		48	+ 1	
					45		249,9		42	- 5	
			1			-2.33				- 6	
			11	- 46	15	-2.35	249.0			+ 3	
		Austritt							46		
		(Rand I	1	15 57	43	+2.04	457.7	(+	847		
	Berlin.	Austritt				1					
	ENGRE		15	18 88	11	±9 04	147.7	64	087		
*	ENCRE	Cuana i	" "	19 00		14,04	147.3		36		
	Berlin.	Eintritte	- 1								
	FORSTER .		1	13 4		-2.05		[-			
		Plato	4	22		-1.93			13	-34	
		Copernicus	1		28		249.9	+	76	+32	
		Manilius	4	38	36		249.9	+	43	- 1	
		Menelaus	4		15	-2.30	250.4	+	48	+ 8	
		Plinius	1	4.5	35	-2.33	249.5	+	41	- 3	
		Austritt						9	21		
			11	15 57	4.3	+2.04	1477	1+	701		
		-									
	Greenwich.	Eintritte				0.05	200.0				
×	CRISWICK .			13 3	8	-2.05		+		-34	
			11	10	- 7	-2.11		+		+ 5	
			H	21	50	-1.93			48	-10	
		Copernicus!		25	4	-2.35			62	+ 4	
			M I	15 40	27	1.11	227.6	+		+30	
		Austritte	-1					9	88		
		Kepler !	M	15 6		+2.36		-		-59	
		Aristarch I	B	4.6	- 1	-2.44		+		-24	
		Copernicus !	И	17	- 4	+2.36	157.8	+	59	+13	
			19	37	57	+1.93	112.6	+	65	+19	
		C Rand 1	1	58	9	+2.04		+	97	+54	

Beobachter	Object			Ð		g	χ	- 41	R	Bemerkunge
Greenwich.	Eintritte									
. Ellis	Plate	4	43b	21	9 81	-1,93	26402	+ 45	" - 5"	1
		М		21	47	4.93	264.2	+ 45	- 4	
		11		22	32	-1,93	264.0	+ 55	+ 5	
	Austritte							145	-	
	Aristarch	м	45	15	4.6	+2.11	150.5	+ 40		
	Plato	M	10	37			142.6	+ 55		
	( Rand	ii				+2.04		+ 47		sehr un-
	CHARA	"		00	47	7 4.0 9	147.7	146		sicher«
. Hartwell-Ob-	Eintritte									
servatory		1	13	7	- 4	-2.47	246.4	+168	1	
		ιî		14		-2.67		+ 80		
	Aristarch	M		9	55	-2.10	256.6	+ 57	- 2	
	Bessarion	М		45	6	-2.21	252,9	+ 66	+ 7	
	Kepler	M ·		17	5		249.7		+ 6	7
	Plato	4		20	50		264.2		- 5	
		11		.22	38	~4.93	264.0	+ 59	- 7	
	Copernicus	1		23	37	-2.32	249.9	+ 77	+18	
		П		25	48	-2.37	248.7	+ 60	+ 7	
	Manilius	И		38	45	-2.32	249.9	+ 62	+ 4	
	Posidonius	1		40	16	-2.40	256.8	+ 54	- 5	
		11		42	44	2.12	256,0	+ 53	- 6	
	Menelaus	M		5.1	37		250.2		-16	
	Proclus	M		55	6	-2,37	248,6	+ 48	-11	
	Picard	М		58	39	2.12	247.4	+ 47		
	Austritte							820		
	Grimaldi	-	15		34		165.2	+ 59	+ 5	
		11		55	17		161.8			
	Kepler	М	45	9	37		158.0	+ 59	+ 5	
	Bessarion	М		13	15		154.4	+ 43		
	Aristarch	М		1.5		+2.11	150.5	+ \$6	-15	
	Copernicus	1.		16	27	+2.37	158.3	+ 70	+15	
		П		18	:3		157.3			
	Pytheas	34		22	15		152.8	+ 53		
	Manilius	N		34	28	H2.33	157.4	+ 5		
	Menelaus	M		34	38		156.7	+ 45	-43	
	Plato	ſ		37	6		113.2			
		н		38			142.6			
	Proclus	М		11			158.4			
	Posidonius	M		1.5	59		150,3			
	Picard	M		\$7	1.5	. 9 5 4	159.0	+ 83	+28	

<sup>1.</sup> Athen, Schmidt; 6füss. Refracter von Plössl. . . . . Manuscript pg. 20.

<sup>2.</sup> Berlin, BRUNNS

<sup>3. »</sup> ENCKE . . . . . . . . . . . . . . . . . Berlin 5, 258. FOERSTER

<sup>5.</sup> Greenwich, Caiswick; 5füss, Altaz.-Telesc., 3.75 Zell Oeffn.) Greenwich ELLIS; Sfüss. Aequatoreal, 6,7 Zoll Oeffn, 1 4860, 80.

<sup>7.</sup> Hartwell - Observatory; Acquatereal, 84 fache Vergr. . M. N. 20, 218.

In den A. N. 52, 233 schreibt Sommer: Diese Finsterniss trate is sehr ungünstiger Witterung ein, als es zu Athen Gewitter, Hagel, Sturm und Erdbeben gab. Aber die Stunden vom Anfang bis zum Ende der Finsterniss waren sehr klar und nur während der Eintite störte einigemale kleines Grrusgewölk. Gegen 100 beobachtete Ein- und Austritte thelle ich nicht mit, weil meine mit einem hölzernen Sextanten gemachten Zeitbestimmungen auf  $\pm 10^{\circ}$  unsicher sind . . . e Im Mausscript, welchem die Beobachtungen entnommen wurden, giebt er jedoch den Fehler der Zeitbestimmung auf  $\pm 4^{\circ}$  bis 5° an. In Berlin wurden die Beobachtungen vielfach durch Wölken geststen.

Die Schattengrenze nuss bei dieser Finsterniss recht scharf gewesen sein, denn alle Beobachtungen zeigen eine sehr gute Uebereinstimmung. Der aus diesen Beobachtungen zu bestimmende Mittelwerth von V wird daher recht zuverlässig sein.

Berechnet sind 175 Radien.

ausgeschlossen . . . 8

37. Mondfinsterniss am 1. Juni 1863.

	Beobachter	Object			9		σ	χ	3	V	R	Bemerkungen	
	Greenwich.	Eintritte	-	1									
1.	CRISWICK .	. C Band	1	9	h 46	n 6	-1.83	29390	+	40"	+13"	*unsicher	
		Rand	11	10	54	25	-2.59	320.9	+	4.4	-13	durch Wol-	
	Lübeck.	Eintritte								54		keus	
2.	TRIEL	( Rand	1	9	45	33	-1.83	293.0	+	47	- 1		
		Rand	11	10	52	55	-2.59	320.9	+	48	0		
		Austritte		1					-	95			
		C Rand	I	11	59	44	+2.59	43.9	+	4.4	+ 3		
		Rand	11	13	6	7	+1.83	71.8	+ 3	38	~ 3		
		1							-	82			
	Marburg.	Eintritte		l									
З.	GERLING	(Rand	- 1	9			-1.83		+		+ 2		
		Grimaldi	M		48	15	-4.87	295.9	+ '		+24		
		Gassendi	м	1	56	54	-1.83	292.7	+	54	+ 2		
		Kepler	M	i	59	4	-1.97	304.9	1+4	491			
		Aristarch	M	10		47		308,5	+		+ 3		
		Tycho	M		8			285.7		48	- 1		
		Copernicus			9			303.9			+10		

Beobachter	Object			Ð		ď	χ		V	R	Bemerkunge
	Lambert	м	1.01	4.4	38	-9.15	30996	1-	139"		And the second
	Manilius	М				-2.40			34	-45"	-
	Plato	1	1			-2.60			34	-18	
		ni.	1	30	4	-2.63			56	+ 7	
	Menelaus	31	1	30		-2.14		+		-25	
	Plinius	М		33	14		308.6		55	+ 6	
	Anstritte								534		
	C Band	1	11	56	13	+2.59	43.9		221		
	Aristarch	М	12			+2.43			37	0	7
	minute				-		0010	i	37		1
Marburg.	Eintritte								31		
4. Mycurnis .	Grimaldi	М	9	48	24	-1.87	295.9	+	68	+ 7	
	Gassendi	М			53	-1.83		+		-11	
	Kepler	М	10	0	15	-1.97	301.9	14	84	+20	
	Aristarch	M		2	37	-2.12	308,5	+	56	- 5	
	Tycho	1		7	17		285.7	+	45	-16	
	.,,	n		9	20	-4.76		+	44	-17	
	Copernicus	- 1		8	28	-2.00	303.3	+	68	+ 7	
	1	Ш		9	39		303.9	+	77	+16	
	Lambert	М		11	58	-2.15	309.6	1+	122		
	Manilius	М		26	0	-2.40	307.6	+	50	-44	
	Ploto	M		29	4.1	-2.61	321.2	+	54	- 7	
	Posidonius	M		38	54	-2.35	315.4	+	62	+ 1	
	CBand	11		51	13	-2.59	320.9	+	76	$\pm 15$	
	Austritte								731		
	Aristarch	М	12	9	11	+2.13	56.0	+	17	-24	9
	Plato	М		12	29	+2.62	43.2	+	33	- 8	
	Kepler	М		17	54	+1.99	62.2	+	4.3	+ 2	
	Copernions	M		23		+2.02	60.7		21	-20	
	Gassendi	М		25	36	+1.83		+	64	+23	
	Posidonius			34	\$0	+2.35		+	55	+14	
	Manifins	M		35		+2.10			40	- 4	
	Tycho	М		42	19	+1.76	79.2	+	54	+13	
									327		
Oxford.	Eintritte										
5. Lucas	. CBand	- 1				-1.83			22	-27	
	€ Band	Ш	10	51	13	-2.59	320.9	+		+27	
	Anstritt								98		
	C Band	11	13	6	0	+1.83	71.8	+	35	0	
Wien.	Eintritte										
6. Schmitt.	. Grimabli	11	9	4.9	51	1.00	296.7		45	+ 7	
u. Schalbr	Gassendi	М	27		49		299.7	+		+45	
	trassentii	11			48		292.7	. ‡		+10	
	handen	11	10	1	11		302.6	+	37	- 4	
	kepler	ıi.	1.0	1		-1.98		+	54	+ 6	
	Aristarch	1		9	39	-2.12			44	+ 6	
	stistare'll	ii		3			308.7			+17	
	Hesiod	B				-1.81			27	-11	
	Bulliald	М		6			202.9		541	-11	ounsicher
	Pitatus	1		7	19		289.4			- 5	vousicher
		ıi.		8		-1.80				+ 9	

Beobachter	Object		Э		ø	χ	V	R	Bemerkunger
	Tycho	l t	0 b 8	n 5	-1.76	28507	+ 35	" - 3"	
	, )	ıl.	8	53	-1.76	285.7	+ 31	- 7	
	1	1	9	25	-1.76	285.8	+ 44	+ 3	
	Copernicus M		10	7		303.9	+ 55	+ 6	l .
	1	u.	4.0	59	-2.04	303.9	+ 37	- 4	
	Pytheas N		12		-2.12		+ \$7	+ 9	
	Harpalus N			4.6		321.0	+ 29	- 9	
	Archimed M			55		343.2	+ 48	+10	
	1		24			313.5	+ 59	+21	
	Manilius		26	1		307.4	+ 37	- 1	
	1		26			307.7	+ 17	+ 9	
	Dionys X		27			303.2	+ 42	+ 4	
	Pico 3		27	49	-2.59		+ 37	- 1	
	Fracastor				-1.85		+ 34	- 7	
	y y			50	-1.85		+ 29	- 9	
	1		30	34		294.9	+ 29	- 9	
	Plato		29	9		321.0	+ 25	-13	
	3		29	39		321.2	+ 10	+ 2	
	Menelaus X		30			324.7	+ 34	- 1	
			30	53	-2.44		+ 40 + 32	+ 2	
			33	31		298.2		- 6	
	Plinius N Calippus N		34	49		308,6	+ 47	+ 9	
	Gorlenius N		37	22	-2.46 $-1.92$		+ 22	-16	
	Langrenus M		42	7		300.2		- 9	
	Proclus N			39	-2.17		+ 35	- 3	
	Picard N		45	29	-2.16		+ 39	+ 1	
	C Rand 1		53	29		320,9	+ 35	- 3	
		ш	9.5	20	2.09	320,9		- 3	
	Austritte	П.					1450		
	( Rand			27	+2.59		+ 53	+ 6	
	Aristarch I			39	+2.13	56.0	+ 24	26	
	Laplace M		9	59	+2.45		+ 34	-13	
	Riceioli		10		+1.90			+27	
	11		-11	16	+4.88		+ 36	-44	
	Grimaldi		12	- 6	+4.89		+ 59	+ 2	
	Э.		43		+1.88		+ 39	- 8	
	Plato		13	26 27	+1.86	69.5 43.4	+ 19	-28	
	Plate		13	23	+2.62		+ 54 + 28	+ 7	
	Pico M		15		+2,54			-19	7
	Bessarion M		45		+2.05	59.2	+ 40	- 7	9
	Pico A		16		+2.47	46.4	+ 47	0	
	Kepler M				+1.99		+ 34	-13	
	Pytheas M		20		+2.13		+ 39	- 8	
	Aristoteles II		21		+2.67		+ 49	+ 2	
	Timocharis M		21		+2.24		+ 55	+ 8	
	Eudoxus		22		+2.55		+ 50	+ 3	
	Manage M		23	11	+2.54	44.9	+ 45	- 9	
	ii ii				+2.53		+ 47	0	
	Copernicus		23		+2.02		+ 37	10	
	M		23	28	+2.02		+ 51	6	
	ii ii		25			61.2		+ 4	

Beobachter	Object			9		σ	z	V		R	Bemerkungen
	Endymion	t	t 2h			+2.83		+ 2			
		31			54	+2.78	10.5		4	+ 7	
		11				+2.77	10.7		0	- 7	
	Gassendi	Ш				+1,83	72.3		4	+ 7	
	Schickard	1		28	34	+4.76	80.3	+ 6	8	+21	
		M		29	54	+4.75	80.7	+ 5	3	+ 6	
		11		31	7	+4.75	81.0	+ 3	0	-47	
	Sulp.Gallu	sM		32	54	+2.48	54.4	+ 4	5	-32	
	Menelaus	М		37	47	+2.12	56.3	+ 6	ě	+17	
	Tycho	t	)	12	1.5	+1.76	79.4	+ 7	6	+29	» Wolken »
	.,	11		43	19	+1.76	79.2	+ 6	0	+43	
	Dionys	M		43	54	+4,99	61.8	+ 5	8	+11	
	Proctus	M				+2.16	55.0	+ 6		+14	
	Picard	M				+2.14	35.6			+19	
	C Band		13			+1.83.			8	-19	
								177	1		

- 3. Marburg, Gerling; 40 Zoll Brennw., 28 Lin. Oeffn., 74 fache Vergr., A. N.
  4. \* Mauritus; 60 \* \* 43 \* \* 54 \* \* 60, 268.
- 6. Wien, Schmidt; 3füss, Achromat . . . . . . . Manuscript pg. 22.

In Greenwich war der Zustand der Atmosphäre und des Schattens amsserordentlich günstig; zur Zeit der grössten Verfinsterung wurde die Helligkeit des Mondes mit der einiger Fixsterne verglichen (M. N. 24, 67).

Berechnet sind 122 Radien,

ausgeschlossen . . . 5

also benutzt . . . . 117, nämlich 67 Eintritte und 50 Austritte.

3S.
Mondfinsterniss am 13. September 1867.

Beobachter	Object			Э		a	χ		ľ		R	Bemerkungen
Altona. t. Oppenheim .	Eintritt C Rand	1	10	58	26	-2,56	24494	+	22"		0"	
Altona. 2. C.A.F. Peters	Eintritt CRand	1	10	57	t á	-2,56	215.1	+	50	İ	0	
Athen. 3. Schmot	Eintritte Seleucus Olbers	M	tt				209.5 203.3		54 53	++		

Beohachter	Object		Đ		0	7	χ	1	V	R	Bemerkunger
	Aristarch I	111	7	-21	-2.	72	2100	4 -	- 50°	+ 2	
	II		7	54	-2.	.74	209.	7 .	- 55	+ 7	
	Harpalus I	1	7	24	-2.	39	219.	7 .	- 51	+ 3	
	II II		7	4.4			219.			+ 8	1
	Galilei y 1	ă	8				202.		- 46	- 2	
	, 11	1	9	24			202.		- 37	-11	
	Riccioli I		9	54			197.		- 19	29	
	H	3	11	14			196.		- 63	+15	
	Grimaldi I	1	12	4	-3.	.58	196.	6 -	- 52	+ 4	
•	M	1	44	44	-3.	.78	194.	6 .	- 52	+ 4	
	11	H	16	49	-3.	.95	193.	0 .	- 63	+45	1
	Euler M	1	45	44	-2	.77	208.	9 .	- 57	+ 9	ł
	Lahire M		16	37	-2	.70	210.	5 .	- 52	+ 4	1 .
	Kepler M		17	44			201.		- 56	+ 8	
	Plato I		18	9			218.		- 48	0	
	II		19	34			218.			+43	
	Pico M		20	- 6			216.			- 2	1
	В		20	36			215.				
	Pytheas M		21	26			207.		- 50	+ 2	
	Timocharis I		22	44			209.			- 1	
	II.		23				209.		- 53	+ 5	
	Pico A		24	19			214.				
	Copernicus I		25	9			202.		- 66	+18	
	11.		27	49			200.		- 55	+ 7	
	Archimed I		25	44			240.			0	
	II		26	54			209.		- 65	+17	
	Aristoteles I	1	28	4			217.			- 2	
	n	1	29	36			216.		- 51	+ 3	
	Billy M	1	29	19			187.		- 55	+ 7	
	Eudoxus 1	1	30	49			245.			- 7	
	11	l .	34	29			214.		- 45	- 3	
	Calippus M	1	30	19	-2	.59	243.	2 .	- 53	+ 5	
	Linné M		35	24			208.		- 54	+ 6	9
	Gassendi I	i i	36	49	-5	.33	184.	6 -	- 48	0	
	M	1	38	59	-5	.67	183.	2 .	- 49	+ 1	
	11	1	42	9	-6.	29	184.	11.	- 40	8	
	Sulp.GallusM	1	39	44	-3.	.00	204.	6 .	- 50	+ 2	
	Manilius 1		40	59	-3.	.45	202.	1] -	- 46	- 2	
	li li	l .	44	49	-3	.48	201.	6 -	- 52	+ 4	
	Posidonius 1	1	44	45	-2	.73	209.	9 .	- 44	- 4	
	11	1	43	26	-2	.77	208.	9 -	+ 45	- 3	
	Menelaus M	í.	44	37	-3.	44	202.	7 🎚 -	- 44	- 7	
	Plinius M		49	19	-3.	.19	201.	5 -	- 12	- 6	
	Bulliald 1	1	54	39	-7.	.70	177.	6 -	- 40	- 8	
	М		55	59	-8.	.17	176.	7 .	- 47	~ 4	
	11		57	54			175.			+ 5	
	Dionys M		54	49	-3	.87	193.	7 -	- 42	- 6	
	Proclus M	ě.	59	9	-3.	.27	200.	5 -	- 44	- 4	
	Censorinus M	12	6	49			189.			~11	
	Theophilus 1	4	13	49			181.		- 46	- 2	
	M		15	34	-6.	.57	180.	3 -	- 47	- 1	
	1 11	1	17	49	-7	.02	179.	all .	- 52	+ 4	

-86		_	MANN,			RÖSSER			_
Beobachter	Object		9		σ	χ	V	R	Ber
	Goelenius	1			-6.61		+ 37"	-11"	
		н		24	-7.16		+ 45	- 6	
	Langrenus	1		34		182.1	+ 39	- 9	
		M		4.6		179.8	+ 35	-43	
		H	34	19	-7.59	177.8	+ 45	- 3	
	Austritte		1				2762		
	Gassendi	M	12 36	19	+5.94		+ 31	-21	
		П		54	+5.32		+ 47	- 5	
	Bulliald	1	38	49	+7.49		+ 80	+28	
	Grimaldi	1	40			132.2	+ 61	+ 9	
		ii	45		+3.56		+ 45	- 7	
	Riccioli	I	44	19	+3.58		+ 76	+24	
	Olbers	II M	45 52	14	+3.46		+ 44	-38	
	Galilei y	M	55	7	+3.44		+ 21	-31	
	Seleucus	1	13 3	4	+2.76		+ 50	- 2	
	Seleucus	ii	3	46	+2.73		+ 38	-14	
	Kepler	M	9	44	+3.17		+ 42	-10	
	Theophilus	ï	l i	54	+6.91		+ 38	-15	
	The opinion	M	6	24	+6.66		+ 37	-15	
		11	9	46	+5.90		+ 50	- 2	
	Aristarch	1	9	49		115.3	+ 51	- 1	
		11	10	41	+2.71	144.8	+ 46	- 6	
	Copernieus	I	11	26	+3.21	123.8	+ 73	+21	
		П	12		+3.44			+10	
	Goclenius	I	43		+6.64		+ 53	+ 1	
		П	15	7	+6.28		+ 45	- 7	
	Langrenus	.1	15	7	+7.50		+ 66	- 8	
		M	19	. 9	+6.44		+ 43	- 9	
	Eulor	H	23 46	14	+5.64		+ 54	- 4	
				39	+2.77			F 1	
	Pytheas Dionys	M	21	51	+3.84		+ 52	0	
	Censorinus		24	4	+1.26			- 4	
	Timocharis		24		+2.74			- 6	
	T IIII OCI III II	ń	25			145.0	+ 50	- 9	
	Manilius	ï	27	6	+3.16		+ 52	. 0	
		п	27		+3.43		+ 46	- 6	
	Harpalus	1	27	24	+2.39	105.3	+ 50	- 2	
	Laplace	M	28	4.4	+2.47	108.2	+ 60	+ 8	?
	Archimed	1		54	+2.69		+ 80	+28	
		11	31	49	+2.68			+ 3	
	Menelaus	М	34		+3.10		+ 53	+ 1	
	Sulp.Gallus		32		+2.97		+ 57	+ 5	
	Plinius	M		54	+3.18			- 5	
	Pico	В	34	52	+2.44		[+ 91]		
		M	35		+2.47		+ 56	+ 4	?
	Linné	M		59	+2.78		+ 57	- 5	
	Plato	1	36		+2.43		+ 67	+15	
	Pico	II A	38 36	19 19	+2.41		+ 65	+13	
	Calippus	M	40		+2.58			+ 8	
								+ 8	

Heobachter	Object			Э		G	z	V	B	Bemerkunger
	Proclus	М	43h	120	44	+3.24	12492	+ 50"	- 2"	
	Eudoxus	1		13	14	+2.52	109.7	+ 65	+43	
		11		43	46	+2.59	109,6	+ 51	- 4	
	Posidonius	1		44	4	+2.74		+ 66	+45	
		н		45	29	+2.71	114.8	+ 60	+ 8	
	Aristoteles	1		\$ \$	25	+2.46	107.7	+ 61	+ 9	
		11		45	29	+2.15	107.6	+ 55	+ 3	
	( Rand	11		56	5	+2.56	110,9	+ 54	+ 2	
	-							2703		
Göttingen.	Eintritte									
L. Hemony	Acistarch	M	11	5	10	-2.70	210.4	+105	+20	9
	Grimaldi	1		12	32	-3.58	196.6	+ 54	-44	
		11		16	4.4	-3.95	193.0	+ 73	-12	
	Kepler	М		16	7	-3.16	204.9	+ 86	+ 1	7
	Lambert	M		20	36	-2.77	208.9	+ 26	-59	7
	Copernicus	1		24	58	-3.45	202.0	+ 70	-45	
		H		27	22		200,6	+ 64	- 54	
		M		22	18		212.3	+118	+63	?
		М		37	50	-3.10		+117	+32	9
	Delambre	М		54	2		193.2	+116	+31	9
		М		59	8		204.3	[- 24]		7
	tsid.u. Cap.	М	12	1	59	-4.37	189.8	+168		9
	Austritte	-1						849		
	Grimaldi	М	12	12	59	+3.84	130.9	+ 44	-49	9
	Kepler	М	13	4	55	+3.47	123,3	+ 83	+20	9
	Aristarch	М		10	46	+2.74	115,3	+ 18	- 45	7
	Copernicus	1		10	38	+3.24		+ 59	- 4	
		14		13	4.4	+3.14	122.7	+ 80	+17	
	Lambert	M		18	56	+2.80	116.7	- 47		9
								344		
Hamburg.	Eintritt									
5. C.F.W.PETERS	6 Rand	4	10	57	29	-2.56	244.4	+ 15	- 0	
Leipzig.	Eintritte									
6. Engremann .		м	4.4	7	56	9.70	210.4	+ 55	0	9
		М			35		207.4	+ 47	+ 3	9
	Copernicus				34	-3.45		+ 59	+15	
		ú			50		200.6	+ 37	- 7	
		м		59		-3.27		+ 35	- 9	9
	· rocius					01.41	40011	222		
Leipzig.	Eintritte							222		
Leipzig.		м	11	17	57	2.16	204.9	+ 54	+ 6	9
7. HILMST		M		21	28	-2.86		+ 19	+ 1	ý
	Copernicus			27	43	-3.18		+ 46	- 9	9
		M			30	-3.72		[- 20]	~	4
		M		44	49	-3.10		+ 40	- 8	9
					44	-2.76		+ 34	-44	9
	Posidoning									
	Posidonius				36	_3.90	9043	+ 75	+97	9
	Jansen	М		54	36	-3.20 -3.94		+ 75	+27	7
	Jansen Delambre			54 54	36 54 24	-3,20 -3,94 -3,27	193.2	+ 75 [+403] + 44	+27	

Beobachter	Object			э		σ	χ	V	R	Bemerku
27.2.	Austritte	17.2		20.00	-			1		
	Gassendi	M	191	36	m3 2+	+5.94	14207	+ 33"	- 4"	7
	Marius	M		54	55		124.2	[- 82]		9
	Reinhold		13	4	38	+3.54		+ 37	+ 3	9
	Aristarch	М		9	25		115.3	+ 30	- 4	7
	Copernieus	M		44	- 4	+3.20	123.7	+ 45	+41	9
	Pytheas	м	į.	48	9		117.9	+ 43	+ 9	9
	Delambre	M		21	44		131.6	[+115]		7
	Manilius	M		27	11	+3.14	122,8	+ 43	+ 9	9
	Proclus	M		44	21	+3.24	124.2	+ 34	0	9
	Posidonius	M	х.	36	22	+2.92	119.0	[-113]		7
	€ Rand	11	i.	54	14	+2.56	110.9	+ 11	-23	1
			Į.					276		
Leipzig.	Eintritte									
8. Exprig	Pytheas		, 14	19	34		207.4	+ 89	+ 8	7
		М		26	.7		204.7	+ 67	-16	7
	Manilius	M		37	49		202.9	+118	+37	9
	Plinius	M		48	9		201.5	+ 64	-17	7
	Detambre	M			56		193.2	+118	+37	7
	Proclus	М		59	51	-3.27	200.4	+ 32	-49	7
	Austritte							488		
	Marius	M	12	55	- 4		124.2	[- 80]		7
	Aristarch	М	13	9	1.4		115.3	+ 26	-16	7
	Copernieus			13			123.7	+ 94	+22	7
	Pytheas	М		19	4		147.9	+ 62	-10	7
	Delambre	М		21	46		131.6	+117	+45	7
	Manilius	М			34		122.8	+ 68	- 4	7
	Posidonius			37	18		119.0	[- 94]		7
	C Rand	11	į.	56	33	+2.56	110.9	+ 65	- 7	
Leipzig.	Eintritto							432		
9. STEINBACH.	C Rand	1	10	56	30	9 56	214.1	+ 67	- 4	
o. Distance.	Aristarch		14	6	9		240.4	+ 84	+13	7
	Copernicus		1"	94	39		201.7	+ 95	+24	7
	Delambre	M		53	35		193.2	[+123]	729	7
	Proclus	M		59	26		200.4	+ 39	-32	7
	Austritto	-	i	00	20	0.21	200.4	285	-02	
	Mersenius	M	10	30	49	+6.57	1117	+ 52	+16	7
	Grimaldi	M		44	33		130,9	+ 22	-14	7
	Marius	M		54	40		124.2	[- 87]	-14	9
	Kepler	М	13	2	33		123.3	+ 39	+ 3	Ý
	Aristarch	M	1		37		115.3	+ 34	- 9	7
	Copernicus			9		+3.20		+ 23	-13	7
	Pytheas	M		18		+2.86		+ 44	+ 8	7
	Manilius	M		27		+3,14		+ 41	+ 5	7
		M				+2.92		[-103]	7 0	9
	C Rand	n	ŷ			+2.56		+ 35	- 1	
	-	ı				1		290		
Leipzig.	Eintritte									
O. Voget		1	10			-2.56		+ 73	+14	
	Aristarch	М	11			-2.70		+ 79	+20	9
	Pytheas	М	1	21	40	-2.86	207.1	+ 45	-14	7

Beobachter	Object	-	э		σ	χ	V	R	Bemerkunger
Water Street Co. No. of Street	Copernicus !	M	1125	*36*	-3.18	20497	+ 77'	+18"	7
		M	40	32	-3.40	202,9	+ 65	+ 6	7
	Bessel !	M	42	15	-2,95	205.4	+ 49	-40	7
	Monelaus 2	M	43	54	-3.44	202.7	+ 55	- 4	7
	Plinius !	м	49	0	-3.49	204.5	+ 48	-44	?
	Jansen 1	M	49	55	-3.20	204.3	[+407]	0	7
	Delambre !	М	54	4	-3.94	193.2	+116		7
	Proclus 1	M	59	34	-3.27	\$,002	+ 37	-22	?
	Austritte	ij					528		
	Mersenius 1	M	12 30	44	+6.57	144.7	+ 52	+44	?
	Grimaldi !	M	44		+3.84		+ 24	-47	7
		M	55		+3.24		[- 76]		7
	Kepler !	м	13 2	38	+3.47	123.3	+ 40	- 4	7
		M	9	57	+2.74	115.3	+ 41	0	7
	Copernicus !	M	4.4	7	+3.20	123.7	+ 46	+ 5	7
		M	48	44	+2.86	447.9	+ 43	+ 2	7
	Delambre 1	M	24	43	+3.90	131.6	[+416]		?
	Manilius 1	M	27	29	+3.44	122.8	+ 48	+ 7	7
	Bessel !	M	34	58	+3.04	121.2	[ - 22]		7
	Posidonius !	М	36	33	+2.92	119.0	-109		?
	Macrobius 1	M	47	54	+2.96	149.7	1+118.		7
		M	49		+3.02		+ 36	- 5	7
	(Rand I	11	55	15	+2.56	140.9	+ 35	- 6	
	-	- 1					365	1	

Die Zeitbestimmung von Schunt ist  $\pm$  5° unsicher; der Himmel war zu Athen ganz heiter. In Göttingen war das Wetter ungünstig, gegen Ende bedeckte sich der Himmel gänzlich.

39. Mondfinsterniss am 3. September 1876.

Beobachter	Object		θ			σ	χ		$V_{-}$	R	Bemerkungs
Athen.	Eintritte										
I. Schuldt .	. CRand 1	gh	48=	50	-	3.60	18791	[+	817		
	Laplace M		28 5	57		4.15	181.9	+	75		
	Plato 1		30	9		3.69	186.1	+	47	0"	
	II III	1	34 9	27		3.76	185,4	+	67	+20	
	Lichtenbrg.M		34	59			169.3	+	62	+45	9
	Pico M		34 4	2		4.02	183.0	+	46	- 1	9
	Aristoteles 1		37 4	9		3,59	187.2	+	50	+ 3	
	11		40	7		3.68	186.2	+	45	- 2	
	Eudoxus 1		42	7		3.98	184.2	+	5.4	- 6	
	11			57			183,6	1	48	+ 4	
	Endymion 1						189.7		36	-41	
	Linery IIII		46	3			188.7	+		+ 4	
	Herenles 1			30			186,5	14	38	- 9	
	Heremes			22			185.7		54	+ 4	
	Atlas 1						186.7	+	37	-10	
	Atlas						185.9	ΙŢ	58	+11	
	Archined 1			7			173.8	I.	43	- 4	
	Archimed			52			172.2		54	+ 7	
	Aristareh 1			57	Ξ,		158.9	I,		+ 1	
	Aristaren 1			17			156.3	I	64	-14	
				25			185.2	+		-15	
	Strave M Posidonius 1			43			178.8	1	55	+ 8	
				47						- 4	
	11						176.6	1 *	44	- 6	
	Euler M			17			159.8	1 *			
	Linné M	١.					171.7			- 3	
	Pytheas M	9		37			154.7	1 +		+ 6	
	Proclus M			57			163.0	+	42	- 5	
	Picard M		34	15	1	2.74	161.4	+	6.4	- 6	
	Austritte							- 1	234		
	Lichtenbrg.M	9	24	12	+	7.30	135,5	1 +	50	+ 8	
	Labire M					7.49	136,0	+	4.4	- 2	
	Timocharis M		40	12	+	7.25	135.4	+	36	-10	
	Archimed 1		49 .	12	+	5.92	131,5	+	54	+ 8	
	- 11		52 :	37	+	5.45	128,3	+	- 6.4	- 5	
	Harpalus M		52 :	32	+	3,85	119,5	+	32	-14	3
	Laplace M		55	19	+	4,05	121.3	+	72	+26	
	-Linné M		59	9	+	5.65	130.2	+	46	0	9
	Pico M	10	2	2	+	3.96	120.5	1 +	47	+ 1	2
	Plato 1			17			118.4			+ 5	
	II.		6	9			147.5	14		0	
	Proclus M			57			137.0	H		- 7	
	Posidonius I			37	÷		126,3	ш		- 3	
	H			32			124.6	1		+13	
	Endoxus I			12			120.2	l i		- 2	
	FaidoVits 1						119,3	14		- A	1
	Aristoteles I		15				117.0	1		- 4	

Beobachter	Object			Đ			G	x		V	R	Bemerkunge
	Hereules	1	10h	21	32	4	3 69	11728	+	48"	+ 2"	
		11				+		117.2		45	- 1	
	Atlas	1		23	44	4		117.6	1	54	+ 8	
		11	3	24	27	1		146.6	1	46	0	
	Endymion	1		25	57			114.6	i.	11	- 2	
	,	11		27	22	÷		114.0	L.	48	+ 2	
	Strave	М		28	17	4		117.8	4	46	0	
	C Rand	11	3	30	5			116.2		44	- 2	
	-		ĺ			1				206	-	
Leipzig.	Eintritte		ř.									
2. Briuns	C Rand	-1	8		2	-		187.1	+	26	-25	
	Calippus	п		48	2			179.4	+	29	-92	
	Aristarch	1		48	56			158,9		65	+16	
	Euler	-1		57	20			160.6	+	37	-14	
	Pytheas	1	9	5	50			157.8	+	53	+ 2	
	Eimmart	M		15	9			174.6	+	66	+45	
	Plinius	1		18	56	-4	3.03	161.1	+		+27	
	Austritte									354		
	Laplace	М	9					121.3	+	95	+26	
	Plato	-1	10	5				118.1	+	77	+ 8	
		Ш	1	6		+	3.65	117.5	+	49	-20	
	C Rand	Ш		30	44	+	3.54	116.2	+	55	-14	
										276		
Leipzig.	Eintritte								1			
3. Descumilles.	Plato	1			14			186.1	+	65	+ 2	
		н		31	35			185.4	+	66	+ 6	
	Aristarch	1			35			158.9	+	63	+ 3	
	Pytheas	1	9	6	20			157.8	+	50	-10	
	Eimmart	М		17	8			174.6	+	43	-47	
	Plinius	1		19	5	-1	3.03	161.1	+		+18	
	Austritte					į.				362		
	Laplace	М						121.3	+	96	+28	
	€ Rand	Ш	10	$^{29}$	50	+	3.54	116.2	+	40	-28	
									-	136		
Leipzig.	Eintritte											
. HARZER	Plato	1			50			186.1		36	-18	
	Calippus	Ш			50			179.6		34	-23	
	Aristarch	1		50	4.6			158.9		61	+ 7	
	Euler	1		57	35			160.6		36	-18	
	Pytheas	1	9		50			157.8		59	+ 5	
	Eimmart	M		4.4				174.6	+	76	+22	
	Plinius	1		18	50	-1	3.03	161.1	+		+25	
	Austritte		1							378		
	Laplace	M		54				121.3		77	+21	
	Plato	1	10	4				118.1	+	62	+ 6	
		11			50	+		147.4	+	44	-45	
	C Rand	11		30	2	+	3,54	146.2	+	43	-13	
										223	l	
Leipzig.	Eintritte										۱	
	( Rand	1	- 8	45	56	-	3.60	187.1	1 +	4.4	-44	
LEPPIG	Plato	1						186.1	+	4.5	-13	

Abhandl, d. K. S. Gerelfsch, d. Winsensch, XX

Beobachter	Object			9			ø	χ .		V	R	Bemerkup
	Endymiou	34	8	× 47	*38	5	3,56	18795	[-	44"	1	7
	Aristarch	1		49	38		17.98	158.9	ľ.	63	+ 5"	
		II		53				156,3	1	74	+43	
	Strave	- 1		53	38			186.2	+	60	+ 2	
		-11		55	8		3.73	185.7	+	72	+15	
	Pytheas	1	9	4	38		20.45	157.8	+	55	- 3	
	Eimmart	M		4.6	9		5,38	174.6	+	55	- 3	
	Austritte								-	524		
	Plato	1	10	3	26	+	3.74	118.1		46	-40	
		П		6	38	+	3.65	147.4	+	54	- 2	
	Endymion	M		27	50	+	3.34	113,6	+	67	+41	
	Strave	M		28	20	+	3,60	147.8	+	47	- 9	
	( Rand	11		34	20	+	3.54	116.2	+	65	+ 9	
										279		
Leipzig.	Eintritte											
6. Peter	Plato	- 1	-8	30				186.1		42	- 5	
		11		32				185,4	+	53	+ 6	
	Aristarch	- 1		51	38			158.9	+	56	+ 9	
	Pliuius	-1	9	54	14		13.03		+	54	+ 7	
	Proclus	-!		29	4.4			162.3		29	-18	
	Picard	1		34	50		10.80	163.0		50	+ 3	
	Austritt									587		
	C Rand	Н	10	29	4.5	+	3,54	116,2	+	38	1	
Leipzig.	Eintritte											
7. WEINER	Plato	1	8	30	20		3.69	186.1	+	4.4	- 5	
		11		32	- 8		3.76	185.4	+	56	+ 7	
	Calipous	11		47	56		4.50	179.4	+	30	-49	
	Aristarch	1		50	9		17.28	158.9	+	61	+12	
	Enler	- 8		57	20		14.70	160.6	+	37	-12	
	Pytheas	1	9	- 3	20		20.49	157.8		59	+10	
	Eimmart	М		14	4.4		5.38	174.6	+	54	+ 5	
	Anstritte								1	341		
	Laplace	М	9	51	\$ 6	+		124.3		80	+45	
	Plato	-1	10	- 4	50	+		118.1		68	+ 3	
		11				+		117.4		5.1	-24	
	C Rand	11		34	38	+	3.54	146.2		70	+ 5	
									2	259	1 .	
Strassburg.	Eintritte						1 W 00					
8. Hartwig	Aristarch	.!	8	54			17,28			44	- 8	
	Plinius	М	9	38				152,3		43	- 9	
	Menelaus	И		25	15		18.40	198,5		69	+17	
	Austritte	. '								156		
	Timocharis		9			+		135,4		48	-24	
		М		51		+		135.4		47	-25	
	Delisle	11		15		+		134.2		45	-27	
	Plinius	M		43	37		14.62	128.4		66 66	- 6	?
	Archimed	M			15	1		127.9		95	+23	7
	Arenmed	11		56		ŀ		127.9		86	+44	
	Cassini	М				1		125,6		257	***	
	Calippus	М	10		48			126.9		35.		

Beobachter	Object		9			σ	X	ì	V	R	Bemerkung
	Plato 1	10	6	*56	14	3.74	11891	+	109"	+30"	-
	Proclus I			59	+		135.7		102	+30	
	M	Į		29	1		137.0		111	+39	
	Posidonius 1	(		38	ļ.		126.3		68	- 4	
	Aristoteles 1	Į.		22	1		117.0		64	- 8	
	C Rand II	1		38	1		116.2		36	-36	î
	Cuana 11	ı	2.5	00	ľ	0.04			370	-30	
Strassburg.	Eintritte	1						١ '	570		
9. Schur	Aristarch 1	١.	K IS	19	_	17.99	158.9	١.	42	- 1	
s. schen	Plinins 1			57			164.4		32	-12	
	Picard I	1 "		48		10.80			58	+44	
		1	30	10	-	10.00	103,0			714	
	Austritte	١.							33		
	Delisle 1	9	40		+		128.4		27]		
	Archimed II	1		36	+		128,3			+25	
	Cassini 1			33	+		125.8				1
	Posidonius 1	10		47	+		126.3		57	+ 6	1
	Aristoteles 1	ì	15	6	+		117.0		59	+ 8	1
	Cepheus 1	8		10	+		120.2		38	-43	
	(Rand II		28	57	+	3.54	146.2		25	-26	
								1 3	255		
Toulouse.	Eintritte	1						1			
0. PERROTIN .	Diophantus M	. 8		42	-		166.8		50	+ 5	
	Lahire M	ı		27	-		167.5		46	+ 1	
	Aristarch M	ŧ	56	56	-	37.45	155.2		54	+ 6	1
	Timocharis M	1		44			169.2		55	+40	
	Posidonius M	. 9	0	26	-		176.6		29	-16	
	Euler M	- 8		10	-		159.8		53	+ 8	
	Linné M	9	4	55		6.45	171.7		12	-33	
	Pytheas M		9			44.72	154.7	+	54	+ 6	
	Pytheas M			53	ļ.,	146.6	152.8			+ 5	
	Plinius M		31	35	-:	388.2	152.3	+	45	0	
	Menelaus M	1	24	54	-	25.77	156.6		50	+ 5	
	Picard M	9	32	34	-	12.71	161.4	+	51	+ 6	1
	Macrobius M		34	5	-	13.52	160,8	11-	44]		
	Austritte	i .						1	543		1
	Seleucus M	9	9	39	+	19.87	142.7		1331		
	Briggs M	1		38	+		140.0			+25	
	Euler M			18	1		145.8		35	-18	1
	Lichtenbrg.M	2		21	+		135,5		42	-44	
	Lahire M	ì		19	+		136.0		45	- 8	1
	Timocharis M	E		17	+		135.4		37	-16	1
	Laplace M	ħ	55	- 4	ļ.		121,3			+31	
	Bessel : M	1		46	4		135,5		50		
	Picard M	10		34			141.6		50	- 3	
	Macrobius M		3	26			138,0		31		
	Plato I		4	0	+		118.1	15		+ 2	
	riato I			30	ļ		147.4		52	I î	
		į.	0	00	IT.	0,00			528		1

<sup>1.</sup> Athen, Schmidt; 6fitss. Refractor, schwache Vergr. . Manuscript pg. 34.

2.	Leipzig,	Baunns; Ple	issl'scher Dial	yt, 81 n	nm	Oeffn.,	406	che	Vergr.	
3.	20	DEICHMULLE	r; Fraunhofe	r, 97	в		40	ъ	- 10	
4.		HARZER; FO	aunhofer,	117	31		90			4 5
5.		LEPPIG; Fra	unhofer,	83	*		64	ь		A. N. 88, 357.
6.		PETER; Aeq	uat.v.Steinhei	1, 220	19		72			00, 001.
7.		WEINER; K	ometensucher						- 1	
			von Schröder	135			24			
8.	Strassbu	rg, Hartwic	; Kometensuc	b. 72			17		. )	A. N. 88, 311.
9.		SCHIR;	Kometensuch	er 67			19		* j	88, 311.
10.	Toulous	, PERROTIN						To	ulouse	4, 3.

» Die beiden Kometensucher in Strassburg zeigten die Begrezung des Schattens wesentlich verschieden, worauf die Beobachter sehon wührend der Verfünsterung aufmerksam wurden, ohne jedoch ihr Urtheil über die Grenze desselben in Uebereinstimmung bringen at können. Die zweite Beobachtung des Pytheas giebt Penantra als Austritt an, jedoch ergiebt die Bechaung, dass dieselbe noch zu den Eintritten gehört; Pytheas wurde vom Schatten eben noch gestreit. In Toulouse sörten öfter Wolken.

Berechnet sind 170 Radien, ausgeschlossen . . . 11 \* ,

also benutzt . . . . 159, nämlich 86 Eintritte und 73 Austritte.

40. Mondfinsterniss am 27. Februar 1877.

Beobachter	Object	9		σ	χ	V	R	Bemerkungen
Adelaide.	Eintritte						1	
4. Topp	C Rand 1	5h 291	a56°	-1.72	30490	+ 42	- 9"	
	Copernicus M	49	- 6	-4.76	340,8	+ 56	+ 5	
	11	49	81	-1.76	340.9	+ 53	+ 2	
	Tycho I	49	1.8	-1.72	293.0	+ 51	0	
	M	49	56	1.72	292.8	+ 50	- 4	
	Eratosthen, M	56	34	-4.78	312.8	[- 37]		
	Archimed 1	6 0	44	-1.82	347.4	+ 39	-12	
	M	0	34	-1.82	317.2	+ 50	- 4	
	11	0	59	-1.82	347.4	+ 63	+12	
	Manilius 1	2	58	-1.76	311.2	+ 48	- 3	
	M	3	16	-1.76	344.3	+ 51	0	
	II	3	30	-1.76	311.4	+ 53	+ 2	
	Plato 1	3	44	-1.91	323.5	+ 44	- 7	
	Э.		1.5	-1.94	323.7	+ 53	+ 9	
	H	- 5	9	-4.94	323.8	+ 49	- 9	
	Menelaus 1	6	3		344.6	+ 65	+15	

Beobachter	Object	1	t		σ	χ	V	H	Bemerkung
	Menelaus	M	6h (	;n29	-1.77	31128	+ 56"	+ 5	
		14		38		344.7	+ 64	+43	
	Posidonius	11	43	3 11	-4.81	316.4	+ 62	+44	
		ni l	- 1			316.6	+ 51	0	
	Proclus	12		49		310.4	+ 54	0	
		M	41			310.6	+ 44	- 7	
		ii)	- 41			340,5	+ 44	-10	
		44	2			311.4		-40	1
	Austritt						1177	1 1	
	( Band	12	8 :	52	.176	104.1	+ 55	0	1
		Э.		0.2	71.70	104.1			
Athen.	Eintritte			8 5					
. Schnidt .	. C Rand	1	5 2			304.0	+107		1
	Grimaldi	1	3			306.1	+ 54	+ 2	
		П,	3			307.4	+ 64	+15	
		M	3			303.4	+ 63	+15	1
		M	3.			312.5		+ 3	1
	Schickard	1	31			294.2	+ 44	- 8	
		H)	3			293.0	+ 67	+18	
	Gassendi	1	3			302.1	+ 69	+20	
		M	31			302.4	+ 49	0	1
		11	3 9			302.1	+ 16	- 3	
		M	34			316.3	+ 59	+10	
		M	4			340.9	+ 69	+20	
	Aristarch	1		35		346.4	+ 64	+15	
		11	4			346.9	+ 51	+ 2	
		M	4			300.3	+ 53	+ 4	
		1	4			296.9		+12	
		M	41			297.0	+ 54	+ 5	
		11	41			296.8	+ 61	+12	
		15	41			340.6	+ 68	+19	
		M	41			340.8	+ 52	+ 3	
		H†	41			310.9	+ 43	- 6	ł.
	Tycho	1	4			293.0		-40	
		М	5			292.8	+ 36	-43	
		41	5			292.8	+ 42	- 7	1
	Pytheas	M	5			344.8	+ 48	- 4	
		1	5			346.6	+ 59	+10	
		НΨ	5			316.8	+ 48	- 4	
		M	5			322.4	[+ 18]	1	1
	Archimed	1	6	5	-4.82	317.4	+ 44	- 5	
		M		28		317.2	+ 53	+ 4	
		44				347.4	+ 55	+ 6	
	Manilius	1	;			344.2	+ 42	- 7	
		H i		40	-4.76	311.4	+ 48	- 4	
	Pico	M	:			322.3	+ 44	- 5	?
	Plato	1		3		323,5		-16	
		м		43	-1.94	323.7	+ 37	-12	
		11		15	-4.94	323.8	+ 46	- 3	
	Dienys	м		35	-4.74	306.8	+ 46	- 3	
		M		35	-1.77	311.8	+ 53	+ 4	
	Theophilus	i		0		304.2	+ 54	+ 5	1
		ni l			-1.79		+ 61	+12	

Beobachter	Object	1	9		σ	Z	V	R	Bemerkunger
211	Linné	MÍ	6h 7	. 0.	-4.81	31691	+ 12	" - 7"	
	Taquet	31	8	10	-4.77	311.7	+ 52		
	Plinius	M	10	43	-1.76	311.0	+ 41	- 8	
	Fracastor	M	9	35	-4.72	297.8	+ 33	-16	
	Theophil. A	M	9	35	-1.72	304.3	+ 39	-10	
	Eudoxus	-18	10	48	-4.87	324.0	+ 34	-45	
		11	41	25		321.1	+ 47	- 2	
	Aristoteles	-13	44	25		322.6	+ 45		
		н		47		322.7	+ 40	- 9	
	Censorinus			10		305.0			7
	Posidonius	1	43	47		316.4			
	4	11	45	15		316.6	+ 44	- 8	
	Goclenius	M				301.1	+ 37	-12	
	Messier	M	16	35		304.2	+ 74	+25	
	Taruntius	M	47	10		306.7	+ 75	+26	
	Proclus	M	19	16		340.6	+ 43	- 6	
	Langrenus	1	20	40		300.8		- 5	
		М		54		301.2			
		H	21	47		304.3	+ 53		
	Picard	M		47		309.7	+ 33		
	Firmicus	M		12	-1.74		+ 45		
		11	27	40	-1.76	344.4	+ 55	- 5	
	Austritte	- 1				] ]	3014	1	
	C Rand	1	8 3	52	+1.76	104.1	+ 44	- 2	
	Grimaldi	1	5	40	+4.74	108.3	+ 43	- 3	
		11	6	16	+1.74	108.9	+ 25	-21	
	Seleucus	M	6	5	+1.81	99.4	+ 26	-20	
	Galilei	31	7	28	+4.77	103.2	+ 63	+17	
	Byrgius	M	8	33	+4.72	145.6	+ 33	-13	
	Billy	11	10	30	+1.72	142.4	+ 37	- 9	
	11.	11.	10	55	+4.72	142.2	+ 29	-47	
	Aristarch	1	40	40	+1.81	98.7	+ 24	-22	
		11	4.4	20	+4.84	99.0	+ 26	-20	
	Schickard	1			+1.72		+ 51	+ 5	
		11	14	55		122.6	+ 22	-24	
	Kepler	M	1.4	5	+1.76	104.4	+ 30	-16	
	Gassendi	1	13	50		143.4		-12	
	1	11	15	17		143.6	+ 45	- 4	
	Heraclid	M.	16	10	$\pm 1.88$	93.5	+ 47	-29	?
	Ramsden	М	18			149.0		-43	
	Laplace	31	49	15		93.4	+ 34	-12	
	Copernicus		20	57		104.5		-22	
		31	21			104.8		-13	
		Ш	22			105.1	+ 47	+ 4	
	Pythoas	M	24	15		100.8		-45	
	Bulliald	M	21		+4.72		+ 31	-15	
	Timocharis		24		+4.81	98.9	+ 40	- 6	
	Pico	M		21		93,3	+ 35	-11	?
	Tycho	1				122.7	+ 47	+ 4	
		М	26		+4.72		+ 49	+ 3	
		11	27	- 4	+4.72	122.7	+ 47	+ 1	
	Archimed	1	27	30	+4.82	98.2	+ 32	-14	

Beobachter	Object		5		σ	χ	I.	R	Bemerkunger
	Archimed	11	ghad	1035	+1.83	98%	+ 52	+ 6"	-
	Aristoteles				+1.89		+ 55	+ 9	1
		м	31		+1.89		+ 51	+ 5	
		н	31		+1.89		+ 49	+ 3	
	Eudoxus	1			+1.8		+ 51	+ 5	
		ú		1 40	+1.84		+ 54	+ 5	
		M	36			104.3	+ 49	+ 3	
		М				99.8	+ 66	+20	
		М				103.9	+ 57	+44	
		М				108.9	+ 46	0	
		1	45		+4.8		+ 51	+ 5	
		M			+1.8		+ 55	+ 9	
		14	4.1		+1.8		+ 64	+15	
		M		57		104.6	+ 54	+10	
	Endymion					93,6	+ 60	+44	
	Theophilus					414.4	+ 52	+ 6	
	Fracastor	111		47		2118.0	+ 64	+18	
				7 50		3 140.7	+ 54	+ 5	7
	Censorinus	1					+ 56	+10	
	Goclonius	d				144.5	+ 67	+10	
	Occupations.	M		2 47		144.5	+ 56		
		M				105.2	+ 68	+22	
		M		5 42		8.111.5	+ 61	+15	
						106.4		+10	
	Langrenus	1	57			114.6	+ 68	+ 8	1
	en 1	Н.		55		114.4		+ 8	
	C Rand	11	9 9	2 10	+1.73	2 144.5	+ 68	+22	
Greenwich,	Eintritt						2300		
3. Penrose	C Rand	11	6 28	3 43	-1.74	5344.4	+ 25	0	
	Austritt								
	C Rand	1	8 3	3 45	+1.74	5 104.4	+ 23	- 0	
Laboria	Austritte								
Leipzig.	Herodot	м	8 44	8	. 1 0	99.2	+ 56	-24	2
AMBRONS						5 104.8	+104	+24	
	Copernicus	24	20	) 00	-1.31	104.0	160	724	
Leipzig.	Austritte						100		1
5. BRURNS	C Rand	4	8 1	8	+1.79	6 104.1	+ 53	+ 2	
	Herodot	М	4.6			99.2	+ 49	- 2	7
	Kepler	31	- 43	56	-4.79	5 104.4	- 43		7
							102		
Leipzig.	Austritte						104		
6. Peter	C Rand	4	8 1	5	-1.79	6 104.4	+ 51	+ 7	
	flerodot	M	- 40	50		1 99.2	+ 46	+ 2	7
	Kepler	M	4.5	1 1 5	+1.7	5 104.4	+ 35	- 9	7
							132		
San Fernando.	Austritte								
7. Arcinis	Grimaldi	М				108.7	+ 27	-20	?
	Keplor	M				5 4 0 4 . 5	+ 21	-26	7
	Copernicus	M	9	1 49	+4.70	6 104.8	+ 32	-45	1
	Plato	М	9	1.49			+ 28	-19	
	Tycho	М	23	5 49	+1.7	2 122.8	+ 67	+20	1

Beobachter	Object	10.2		9		σ	χ	V	R	Bet
	Archimed	M	81	291	49	+1.82	9897	+ 88"	+44"	7
	Ptolemaeus	М		31	49	+1.72	112.3	+ 76	+29	7
	Manilius	M		35	49	+1.76		+ 39	- 8	7
	Menelaus	M			49		103.9	+ 72	+25	7
	Endymion			45	49		93.6	[+142]		7
	( Rand	ii	9	0	49		111.5	+ 21	-26	
	C			-				471		
Stonyhurst-	Eintritt							*/1		
Observatory	@ Rand	11	6	27	24	-1.76	311.5	+ 53	0	
8. PERRY	Austritte								0	
	C Rand	1	8	A	8	+1.76	104.4	+ 53	0	
	Rand	11	9	0	6	+1.72		[- 4]	0	
	£	-						53		
Toulouse.	Eintritte	- {						93		
9. PERROTIN	Laplace	M	- 5	56	34	~1.89	322.4	+ 60	+ 9	
	Archimed	1		59		-4.82		+ 61	+10	
		11	6	0	49	-1.89	347.4	+ 68	+17	
	Manilius	1		9	44		311.2		+ 5	
	- I	11		3	39	-1.76		+ 48	- 3	
	Plato	ï		3	44		323.5		- 8	
		ni		5	10		323.8		- 2	
	Dionys	M		5	49		306.8		-13	
	Menelaus	N		7	A		314.8	+ 36	-15	
	Linné	M		7	4	-1.81		+ 40	-41	
	Plinius	I		9	24		310.9	+ 59	+ 8	
		n		10	29		314.2	+ 45	- 6	
	Posidonius	ï		12	59		316.4		+18	
		ni.		4.5	99		316.6		-48	
	Messier	M		17	A		304.2	+ 57	+ 6	
	Langrenus	1		19	4.5		300.8	+ 60	+ 9	
	nangrenae	11		24	24	-1.72		+ 49	- 2	
	Picard	M		21	24		309.7		- 5	
	C Rand	ñ			54	-1.76		[+104]		
	Austritte			-				947		
	( Rand	1	N	3	Á	+1.76	104.4	+ 16	-21	
	Grimaldi	1		5	4.6	+1.74		+ 29	-14	
	(Milliona)	ni.		6	19		108,9	+ 27	-13	
	Reiner	М		7	19		104.3		-10	
	Aristarch	î		10	49	+1.81	98.7	+ 29	-11	
	A lour Cit	n		ii	24	+4.81	99.0	+ 28	-12	
	Kepler	ï		13	Ā		104.5	+ 7	-33	
	Repres	ni'		43	54		104.6	+ 22	-18	
	Gassendi	ii.		15	24		113.6		+ 9	
	Euclid	M		18	14	+1.73		+ 40	0	
	Laplace	М		19		+1.88		+ 46	+ 6	
	Copernieus			20			104.5		-93	
	copernieus	ii.			54	+1.76		+ 51	+11	
	Pytheas	M		21	19		100.8	+ 33	- 7	
	Bulliald	М		21	19		145.3	+ 27	-13	
	Plato	1		21	19	+1.72	94.8		-13	
	Fiato	ıi.		25	29	+1.91	91.8	+ 37	-17	
	Tooks									
	Tveho	1		25	19	+1.72	122.7	+ 38	- 2	

	Object	_	9	ď	X	V	R	Bemerkunger
	Tycho 11	84	27=4	+1.79	12207	+ 54"	+14"	
	Archimed 1		28 45	+1.89	98.2	+ 59	+49	
	11	i .	29 4	+4.89	98.6	+ 44	+ 4	
	Manilius 1		35 39		104.3	+ 44	+ 4	
	11		36 2	+4.76	104.4	+ 53	+13	
	f.inné M		36		99.8	+ 50	+40	
	Menelaus 1	l	38 5		103.9	+ 44	+ 4	
	11	i .	39 3		104.0	+ 50	+10	
	Bessel M	Κ.	39 4		102.0	+ 45	+ 5	
	Dionys 1	1	40 41		108.9	+ 39	- 4	
	11	ŀ	40 4		109.0	+ 44	+ 4	
	Posidonius 1	ŀ	41 5			+ 47	+ 7	
	11	į	43 4			+ 53	+43	
	Plinius 1		42 3		104.6	+ 47	+ 7	
	li II		43 4		104.7	+ 48	+ 8	
	Macrobius M		51		103.5	+ 53	+43	
	Messier M		53 4		111.8	+ 48	+ 8	
	Picard M		55		106.4	+ 57	+17	
	Langrenus 1	1	56 1		144.6	+ 36	- 4	
	11		57 3	+4.79	144.4	+ 42	+ 2	
****		l		1		1476		
Wien.	Eintritte	١					١.	
0. Sterneck .	. Copernieus M	- 5	49 1		310.8	+ 49	+ 4	
	Archimed M	١	59 4		347.2	+ 76	+31	
	Plato M	6	4 21		323.7	+ 45	0	
	Plinius M		9 2		314.0	+ 67	+22	
	Vitruvius M		12 4		314.5	+ 75	+30	
	Goelenius M		46 2		304.4	+ 12	-33	
	Taruntius M		18 5		306.7	+ 16	-29	
	Proclus M	0	19 2		310.6 301.2	+ 36	- 9 -10	
	Langrenus M	1	27 4			+ 35		i
	CRand II		21 41	-1.70	314.4		- 5	
	Austritte					451		
	CRand 1	8	3 21		104.4	+ 30	- 6	
	Grimaldi M		5 5		108.7	+ 32	- 4	
	Aristarch M	(	44 1			+ 30	- 6	
	Plato M		25 4			+ 39	+ 3	
	Vitruvius M		44 5		103.9	+ 11	-25	
	Proclus M		52 3		105.2	+ 66	+30	
	C Band It	9	1 3	+1.72	144.5	+ 47	÷11	
****	Eintritte			4		255		
Wien.	Conernieus M	5	48 4	1 70	310.8		+18	
I. STROBL	Plato M	6	4 1		323.7	+ 66		
	Plinius M	0	8 1		311.0	+ 55	+ 7	
	Goelenius M		45 4		304.1	+ 40	- 8	i
	Taruntius M		18 1		306.7	+ 37	-11	
	Proclus M		19 1		340.6	+ 43	- 5	
	( Rand II		27 4		311.4	+ 44	- 5 - 4	
	g nand H		21 11	1 -1.65	911.4	+ 95	- 4	

Beobachter	Object	- 1		9		σ	χ	v	R	Beme
	Austritte									
	( Rand	1	8	3	"46"	+4.76	10494	+ 40"	-22"	
	Grimaldi	M		6	16	+4.74	108.7	+ 12	-20	
	Plate	M		25	46	+4.94	92.0	+ 58	- 4	
	Goelenius	м		53	46	+1.72	114.6	+411	+49	
	Proclus	M		52	52	+4.76	105.2	+ 76	+16	
	( Rand	14	9	4	34	+4.72	111.5	+ 47	-15	
	_							374	1	
Wien.	Eintritte									1
2. WAITZ	. Copernicus	M	5	49	22	-1.76	340.8	+ 45	+ 9	
	Archimed	M	6	- 4	34	-1.82	317.2	+ 17	-19	
	Plato	M		5	34	-1.91	323.7	+ 11	-25	
	Plinius	M		9	10	-1.76	311.0	+ 60	+24	
	Goclenius	M		15	46	-1.72	304.4	+ 36	0	
	Taruntius	M		18	10	-4.75	306.7	+ 40	+ 4	
	Proclus	м		19	28	-1.76	310.6	+ 36	0	
	C Rand	11		27	34	-4.76	311.4	+ 47	+11	
	Austritte							292		
	C Rand	1	8	3	40	+1.76	104.4	+ 37	-11	
	Grimaldi	M		6	16	+1.74		+ 42	- 6	
	Marius	М		7		+1.78		[- 36]	1	į.
	Aristarch	M		44		+1,81		+ 36	-12	
	Plato	M		25		+1.91		+ 58	+10	
	Goctenius	M		53	58	+1.72		[+447]	1	İ
	Proclus	M		52	34	+4.76		+ 66	+18	
	C Rand	n	9	4		+1.72		+ 50	+ 2	
	1							289	1	

- 2. Athen, Schmidt; 6füss. Refractor, schwache Vergrösser. Manuscript pg. 36.

- 7. San Fernando, Arcinis . . . . . . . . . . . . . M. N. 37, 400.
- 8. Stenyhurst-Observatory, Perry; 8 Zoll Oeffn., 400-
- 9. Toulouse, Perrotin . . . . . . A. N. 89, 295 und Toulouse 4, 4.

- 10. Wien, STERRECK; Fraunh., 76 mm Oeffn., 86fache Vergr., 11. » STROBL; » 64 » » 64 » » A. N. 89, 491.
  - WAITZ; Cauchoix, 95 » .

In Adelaide war das Wetter sehr günstig. In Athen wehte heftiger Sturm, die Luft war sehr unruhig und die Bilder äusserst schlecht. Tond, Schmidt, Penrose, Arcimis, Perry, Perrotin, sowie die Beobachter in Wien geben ausführliche Schilderungen des Verlaufes der Finsterniss. Alle sahen mehr oder weniger deutlich im Centrum des Schattens einen sehr dunkelen Fleck von etwa 20' Durchmesser, welcher den Eindruck einer ringfürmigen Finsterniss hervorrief (Arcuns, Pænorts). Im Allgemeinen blieb der Mond ziemlich hell und im Schatten waren die grösseren Formationen der Mondfläche sichtbar.

Berechnet sind 271 Radien,

41. Mondfinsterniss am 23. August 1877.

Beobachter	Object	9		σ	χ	V	B	Bemerkunger
Athen.	Eintritte		-			-		
4. Всимирт .	. CRand 1	9h 14	™20°	-2.21	53865	+ 2	7" -18"	
	Riccioli M	15	26	-2.23	234.3	+ 6	++16	
	Grimaldi M	17	44	-2.24	233.0	+ 5	5 +10	
	Aristarch I	21	56	-2.20	244.2	+ 4	7 + 2	
	11	22	21	-2.20	244.2	+ 5	0 + 5	
	Kepler 4	25	36	-2.21	238.7	+ 3	9 - 6	
	11	26	4	-2.21	238.7	+ 4	3 - 2	
	Euler M	29	21	-2.20	244.7	+ 5	2 + 7	
	Gassendi 1	28	45	-2.27	229.8	+ 5	0 + 5	
	M	29	4.1	-2.27	229.6	+ 4	8 + 3	
	11	30	34	-2.27	229,3	+ 4	3 - 2	
	Lahire M	31	33	-2.21	246.4	+ \$	5 0	7
	Copernicus !	32		-2.21		+ 6	5 +20	
	11	34		-2.24	240.4	+ 4	9 + 4	
	Pytheas M	33	26	-2.20	244.1	+ 4	6 + 1	
	Laplace M	34	8	-2.22	251.5	+ 1	6	
	Lambert I	35	21	-2.24	246.2	+ 3	5 -10	
	Timocharis I	36	38	-2.21	246.6	+ 5	3 + 8	
	11	37	26	-2.21	246.7	+ 5	2 + 7	
	Schickard M	37	6		220.3		5 -10	1
	II	38	54		219.9		7 + 9	
	Eratosthen, M	38	31	-2.20	242.4	+ 3	8 - 7	
	Plato 1	39	46	-2.24	253.9	+ 3	9 - 6	
	18	4.1	6	-2.24	254.0	+ 5	1 + 6	
	Pico M	40	13		252.7	+ 4	1 - 4	
	Archimed 4	\$4	6	-2.24	248.0	+ 3	9 - 6	
	11	12	A	-2.24	248.4	+ 5	5 +10	
	Bulliald 1	44	26		228,5	[ - 5	07	
	11		A		228.4	- 3	2	
	AnaxagorasM	42	33		258.3	+ 4	7 + 2	
	Pitatus I				226.5		7 + 2	
	H		54		226.4		3 - 2	
	Manilius I		31		243,3		7 +12	
	11		42		244.7		3 - 2	
	Tycho I			-2.36			4 -11	

Beobachter	Object			э		σ	χ	90200	Γ	R	Bemerkunge
	Tycho	M	ghg	0"	6	-2.37	2220	2 +	34"	-11	
	- 4	14	- 5	0	51	-2.17	222.0	+		-10	
	Menelaus	M	5	9	50	-2,20	244.3	3 +	40	- 5	1
	Bessel	M	5	3	16	-2.21	216.3	31 +	40	- 5	
	Dionys	M	- 5	5	16	-2.21	239.5	5   +	44	- 4	ì
	Plinius	1	. 5	6	26	-2.20	244.2	+	45	0	1
		11	- 5	7	14	-2.20	211.5	+	46	+ 1	
	Posidonius	1	5	6	36	-2.22	250.0	+ ((		0	
	1	11			11		250.0			- 1	
	Hercules	п	5		34		254.9			- 4	
	Atlas	M	- 5			-2.25			37	- 8	
	Endymion	1	5		23		256.1		39	- 6	
	1	11	10	θ	52	-2.26				- 3	
	Theophilus	1			11		234.7		64	+16	
		11		1		-2.23				+12	
	Theophil. A				54		234.8		48	+ 3	1
	Censorinus	М			35		238.9		34	-44	?
	Fracastor	1			26		231.4			- 1	
		11			56		231.4		46	+ 1	
	Proclus	M			41		245.			+ 7	
	Taruntius	1			52		241.7			0	1
		41			41		241.7			+ 1	1
	Goclenius	1			21		₹35.8			- 8	1
		11		0	1		235.7		39	- 6	t .
	Picard	M		0	1		245.			- 4	?
	Langrenus	1	- 1		2	-2.22				- 4	
		и			13		236.6			+ 3	
	C Rand	Ħ	- 4	8	11	-2.23	234.0			+23	• vietteicht
	Austritte		i i					2	718		zu sp
	C Rand	1	12	4	36	+2.23	73.6	+ (	48	+ 6	*gewiss*
	Riccioli	4		6	0	+2.23	72.0	3 +	63	+21	-
	Grimaldi	M	1	6	56	+2.24	74.6	) i +	32	-10	
	Billy	M	- 4	2	18	+2.26	76.7	7 +		-15	
	Schickard	1	- 1	å	4	+2.38	86.0	+	61	+19	
		M	- 4	4	54	+2.39	86.	5 +	40	- 2	
		11			54	+2.40				-26	
	Aristarch	M	4	4	21	+2.20			32	-10	
	Gassendi	1	- 1	6	44	+2.27	77.3	3   +	33	- 9	
		M			46					-12	l
		11			58				44	+ 2	
	Kepler	M			13	+2.21				-17	
	Harpalus	M				+2.24				-13	
	Euler	М			44	+2.20				-43	Ĭ .
	Lahire	M			24	+2.21				-16	7
	Laplace	M				+2.23				0	
	Bulliald	1	9		36					-12	
	1.	11	2			+2.27				- 7	
	Copernicus			5	6	+2.21				-24	
		М				+2.24				- 9	
	I	11			21	+2.21				+ 1	1
	Pytheas	Ж	2			+2.20			36	- 6	1
	Lambert	$\Gamma$	9	7	21	+2.24	60.7	11 +	37	- 5	

Beobachter	Object	9		σ	χ		V	R	Bemerkunge
	Plato I	12h 28	44	+2.24	5208	+	17	-25	
	H	30	34	+2.24		+	34	- 8	
	Tycho I	29	18	+2.37	84.9	+	38	- 4	
	11	34	4		84.5	+	38	- 4	
	Timocharis M	29	36			+		- š	
	Pico M	30		+2.23		+	35	- 7	
	Eratosthen. M		21	+2.20		+	53	+11	1
	Archimed I			+2.24	58.9		41	- 1	į.
	- 11		32				44	- 4	
	Aristoteles 1	38	34	+2.25	52.3	+	45	+ 3	
	11	39	6.4	+2.25	52.3	+	36	- 6	
	Eudoxus 1	39	44	+2.24	53.7	+	43	+ 1	
	11	40	46	+2.23	53.9	+	42	0	
	Linné M	- 64	38	+2.21	58.9	+	42	0	
	Manilius M	42	44	+2.20	63.6	+	47	+ 5	
	Menelaus M	45	26	+2.20	62.6	+	45	+ 3	
	Bessel M	15	26	+2.21	60.6	+	40	- 2	
	Hercules 1			+2.25		+	54	+12	
	11	47	36	+2.24	52.8	+	39	- 3	
	Endymion I			+2.26			48	+ 6	1
	II II			+2.26		4	34	- 8	1
	Dionys M	47		+2.21		+		- 9	
	Atlas I	48					63	+21	
	11			+2.24			43	+ 4	
	Posidonius 1			+2.22		+		+17	
	li li		34			+		- 9	1
	Plinius M			+2.20		ΙŢ	44	+ 2	
	Theophilus I			+2.23			47	+ 5	
	M M			+2.23			37	- 5	
	11	52	47	+2.23			43	+ 4	
	Theophil. A M	54	7	+2.23		I Ţ	53	+11	
			44				57	+45	
	Fracastor 1	54		+2.26			54	+13	
				+2.21			42	+ 9	
	Censorinus M								
	Proclus M			+2.20			45	+ 3	,
				+2.22		+	61	+19	unsicher
	. 11	4	44	+2.22		+		+12	)
	Taruntius 1		54				57	+45	
	- 11	1	26	+2.20			53	+11	
	Picard M		26				50	+ 8	7
	Langrenus 1		56				63	+24	sunsicher
	11	6	46	+2.22	70.4		53	+11	) - diamener
	C Rand II	10	18	+2.21	67.8	+	58	+16	(
	1.	1				2	768		1
Göttingen.	Eintritte								1
Bognbicker	. Copernicus II	9 34	49	-2.21	940.4	4	45	+ 3	
PORUDICKER	Pytheas M			-2.20			60	+18	2
	Plato 1		25		253.9		48	+ 6	1.
	riato II				254.0		44	- 4	
	Pico M		55		252.7		22	-20	1
	Pitatus I			-2,30			58	+16	l'
	Pitatus I				226.4			-12	

Beobachter	Object	į		Э		σ	χ		V	R	Bemerkung
	Tycho	1	94	49	12	-2.36	22 204	+	34"	- 8"	
		11		50	44	-2.37	222.0	+	38	- 4	
	Plinius	M		56	24	-2.20	244.3	+	58	+16	7
	Jansen	М	10	0	3	-2.20	243.9	۱+	37	- 5	7
	Proclus	M		7	34	-2.20	245.5	+	28	-15	7
	Goelenius	М		9	20	-2.22	235.8	1 +	45	+ 3	7
	@ Rand	11		49	ă.	-2.23	234.0	+	44	+ 2	
	_							-	588		
Gottingen.	Eintritte	- 1						l '			
3. HEIDORN .	Aristarch	M	9	21	54	-9 90	244.2	۱.	55	+11	7
o. minou.	Mayer	M		25	40		212.4		1501		7
	Euler	M		95	37		244.7		154		7
	Reinhold	М		30	38		237.9		119		7
	Copernicus	11		32	29	-2.21	240.4	+	70	+26	
		11		34	47		240.4	1	46	+ 2	
	Pytheas	М		32	49		244.4	ı,	62	+18	7
	Plato	11		39	27	-2.24	253.9	+	48	+ 4	
		11		4.1	26	-2.24	254.0	1	42	- 9	
	Pico	M		41	9	-2.23	252.7	+	19	-25	7
	Pitatus	1		43	42	-2.30	226,5	+	59	+15	
		11		46	24	-2.31	226.4	+	30	-14	
	Tycho	1		49	12	-2.36	222.4	+	34	-10	
		11		50	44	-2.37	222.0	+	38	- 6	
	Linné	M		49	19	-2.24	248.4	1 +	52	+ 8	7
	Delambre	M		56	7	-2,21	237.7	+	34	-10	7
	Plinius	M		56	23	-2.20	244.3	+	58	+11	7
	Jansen	M	10	0	3	-2.20	243.9	+	37	- 7	7
	Proclus	M		7	38		245.5	+	26	-18	1
	Goelenius	M		9	23	-2.22	235.8	+	4.4	. 0	7
	C Rand	11		19	10	-2.23	234.0	+	4.1	- 3	
	_								795	1	
O-Gyalla.	Eintritte										
4. REVICEKY .	Copernicus	1	9	31	4.6	-9.91	240.4	+	90	+21	
*· HETHERE .	Pytheas	M			50		244.4		62	7	1
	Plato	M			20		253.8		73	+ 4	7
	Manifins	M		47	56		243,3	1	83	+15	1
	Tycho	M		48	38		222.2	÷	71	+ 2	9
	Menelaus	M		54	26		244.3	+	78	+ 9	7
	Dionys	M		54	20		239.5	1	66	- 3	7
	Plinius	M		56	50		244.3		46	-23	7
	( Rand	11	10	18	44	-2.23	234.0	+	53	-46	
	Austritte								622		
	Aristarch	M	19	43	50	+2.20	62.7		18	- 9	7
	Pytheas	M				+2.20		I	32	+ 5	1
	Plato	M			56	+2.24			19	- 8	4
	Tycho	M		29	26	+2.37			22	- 5	9
	Calippus	M				+2.22			791		7
	Manilius	M			50	+2.20			37	+10	7
	Menelaus	M		45	9	+2.20			34	+ 7	7
	- Constitues	-			~	. 2,20	02.0		162	Γ΄.	
								Ι.	102		

Beobachter	Object			9		σ	x		V	R	Be	merkunge
O-Gyalla,	Eintritte	1						1				
5. SCHRADER .	Aristarch	M	9h	220	n 9-	-2.20	24402	+	51"	- 7"	7	
O. I CHRADER .	Copernicus				14		240.1		17]			
		M			56		244.4	+		+ 1	1	
		M			26		253.8	1		+12	4	
		M			20		243,3	l ÷	72	+14	7	
		M		52	2		244.3	+	62	+ 4	1	
		M		54			239.5	I.	55	- 3	1	
		M			38		244.3	I		- 7	ļ,	
				19	9		234.0	+		-13	l f	
		")	10	13	z	-2.23	234.0			-13		
	Austritto								465			
	C Rand		15	5	44	+2.23	73.0	+	66	+25		
		31		14	8	+2.20		+		-15	1	
	Copernicus			25	8	+2.21	66.9	+	21	-20		
		11		27	26	+2.21	66.8	+	45	+ 4		
		М		$^{26}$	8	+2.20		+		+ 2	7	
		M		$^{29}$	8	+2.24	52.5	+	24	-17	1	
	Manilius	M		15	2	+2.20	63.6	+	4:3	+ 2	7	
	Menelaus	М		45	2	+2.20	62.6	+	34	- 7		
	Dionys	М		47	44	+2.21	67.5	+	54	+10		
	Plinius	M		50	- 8	+2.20	62.7	+	61	+20		
	( Rand	11	13	9	32	+2.21	67.8	. +	38	- 3		
	-	- N					1		152			
O-Gyalla.	Eintritte							i .				
6. Weiss	. Aristarch	М		21	32		244.2	+		- 6	1	
	Copernicus	1		34	32	-2.21	240.4	+	96	+25		
	Pytheas	М		42	32	-2.20	244.1	+	70	- 4	?	
	Plato	м		39	26	-2.24	253.8	+	70	- 4	1	
	Manifius	M		47	32	-2.20	243.3	+	93	+22	7	»unsiche
	Tycho	M		49	5	-2.37	222.2	+	60	-11	?	
	Dionys	M		54	14	-2.21	239.5	+	69	- 2	7	
		11	10	19	2	-2.23	234.0	+	45	-26		
	Austritte	ï							568			
	( Rand	1	12	3	32	+2.23	73.0		20	- 7		
		M		14	32	+2.20		+		+10	7	
	Copernicus				32	+2.21	66.8			-16	+	
		M			32	+2.24		+	8	-19	1	
		M			32	+2.37	85.0	+	24	- 3	7	
		M		41	32	+2.20		+		+ 9	1	
		M			32	+2.20		Ţ		+20	9	
					32	+2.20				+18	4	
		M				+2.21	67.8	+	24		1.	
	C Rand	н	13	8	96	+2,21	67.8			- 6		
Strassburg.	Eintritte								515			
		м	0	01	35	9 90	243,3		65	+20		
7. HARTWIG .		44			48		244.7	I Ť		- 4		
	Tycho	ï			57		222.4	+		- 5		
		11			28		222.0	+	45	- 3		
	Plinius	1			27							
							244.3	+	45	0		
							2110					
		n		57	12 35	-2.20	244.2 234.0		46 30	+ 4		

Beobachter	Object	-		Э		σ	x		V	R	Bemerkenge
	Austritte							-			
	( Rand	1	12h	4	1 51	+9.23	7300	+	34"	-10"	
	Manilius	i		4.1	54	+2.20	63.7	+	49	+ 5	
		П		42	34	+2.20	63.6		48	+ 6	
Strassburg.	Eintritt	- (							134		
8. Schir			10	10	12	9 92	234.0	١.	27	0	
O CHARLE	Anstritt	"	10	10	+4	- 6, 60	204.0	1	20.0	0	
	C Band	и	10	4	- 4	-2.23	73.0	_	33	0	
	E nand	1	1			1.4.40	10.0		00		
Strassburg.	Eintritte										
9. WINNECKE.	. C Band	1					239.2	+	51	- 2	
	Plato	1		38	48	-2.26	253.9	+	65	+12	
		n		40	43	-2.24	254.0	+	74	+24	
	Tycho	1.		48			222.4			+10	
		Ш				-2.37				-14	
	( Rand	Ш	10	19	43	-2.23	234.0	+	27	-26	
	Austritte								319		
	C Rand	1	19	4	4	+2.23	73.0	+	34	0	
		11	13	9	25	+2.21	67.8	+	34	0	
								-	68		
Upton.	Eintritte										
0. Jonason .		M				-2.24					7
	Aristarch	1								- 8	
	Copernicus			32	45	-2.21	1.045			+53	
		11								+11	
	Plato	1					253.9			.0	
	Archimed	1.					248.0			+10	
	Tycho	1					555.1			- 6	
		11		54					32	- 7	
		.!					254.5			+ 7	
		П	10	20	0	-2.23	234.0		19	-20	
	Austritte								394		
		II				+2.24			22		
		11		44	45	+2.20	62.7			- 16	
	Copernicus					+2.24				+10	
		11				+2.24				- 3	
		Ηј				+2.36			43		
	Archimed	11		15	0	+2.24	58.9			÷46	
								9	550		

. . . . A. N. 90, 321. HEIDORN; Sfüss. Steinheil 4. O-Gyalla, REVICZKY; Kometensucher, 21 Zoll Oeffn. -Gyalla, Reviczky; Kometensucher, 24 Zoll Geffin.

в Schrader; 6zöll. Refractor, auf 4 Zoll abgebiendet 4, 59. Waiss; Kometensucher, & Zoll Oeffn. 7. Strassburg, Hantwig; Kometensuch., 72 mm Oeffn., 47fache Vergr.) a 67 a a 19 a Schur;

WINNEGKE; 34 . 10. Upton Helions Rectory, Jourson; 21 Zoll Oelfu., 70fache Vergr. M. N. 37, 467.

In Athen war die Luft vollkommen heiter und still. Der Schatten bebrall sehr durchsichtig, sein Saum wie immer sehr schlecht hagrenzt; die Berührungen liessen sich nur sehwer schlätzen. \*Die Zeitbestimmung selbst hatte die erforderliche Sicherheit; aber es besteht der Verdacht, dass die Pendeluhr am Refractor einige Socunden während des Aufziehens verloren hahen könne« (Scumur). In Upton war der Himmel vorzuglich heiter.

Fast alle Beohachtungen dieser Finsterniss sind recht zuverlässig und stimmen gut überein. Das Resultat wird also ziemlich sieher sein. Berechnet sind 253 Radien.

42. Mondfinsterniss am 12. August 1878.

Beobachter	Object	1	9			σ	χ		V	R	Bemerkungen
Athen.	Eintritte										
1. Всимирт .	. C Rand	1	40h 43	n 5:	-	2.87	28803	۱+	34"	-22"	
	Grimaldi	1	51	43		3.79	304.8	+	4.5	- 9	
		11	55	45		4.45	305.2	+	58	+ 5	
	Riccioli	1	53	4.5		1.07	304,5	+	43	-10	
		11	55	2		4.34	306.4	+	94	+38	
	Gassendi	M	55	30		3.43	297.8	+	64	+11	
		11	56	3		3.42	297.6	+	70	+17	
	Campanus	M	57	5	-	3.07	292.3	+	62	+ 9	
	Mercator	M	57	30		3.05	294.8	۱.	67	+14	1
	Tycho	1	11 0	35		2.82	287.2	+	43	-10	i
	1.	M	4	22	-	2.84	287.6	+	43	-40	
		ш	- 4	12		2.85	287.8	۱+	64	+ 8	
	Bulliald	1	2	5		3,33	296,3	+	54	+ 1	
		и	2	50	-	3.36	296.8	+	75	+22	
	Pitatus	1	3	0	-		292.6	+	49	- 4	i
		ш	- 4	30	-	3.11	293.0	+	64	+ 8	1
	Guerike	$\mathbf{c}$	1.6	34			302.9	+	49	- 4	
	Kepler	М	20	5	-	6.43	316.7	+	49	- 4	1
	Cardanus	M	18	12	H		322.5	1+	45	- 8	
	Copernicus		30	45	-		348.3	+		+ 4	
	1 '	М	34	20	-	8.59	321.6	1+	50	- 3	1
		11	37	52	-		322.8		44	- 9	
	Kraft	M	29	25	-	20.62	330.0	+	45	- 8	
	Fracastor	1	33	2	-	3.57	299.4	+	48	- 5	1
		В	36	- 5	-		301.3	+		- 2	
	Kant	M	36		-		306,4	+	49	- 4	
	Theophilus	1	37	5	-	4.45	305.2	1+	60	+ 7	

Abhandl. d. K. S. Gesellsch. d. Wissensch. XXIX.



Beobachter	Object		э		L	σ	x		V	R	Be
	Theophilus M	11	h 39	25	-	4.40	30794	+	45	- 8	-
	1		40	10	-	4.39	307.0	+	64	+ 8	
	Triesneckerh	1		45	-		317.9	+	90	+37	
	Godin M	ı	43	50	-	6.54	347.0	+	58	+ 5	
	Agrippa M	ı)	48	50	-		320.1	+	44	-12	1
	Dionys N	ı)	50	25	-		348.7	+	54	- 2	1
	Guttenberg /	-1	50	25	-		340.0	+	36	-47	
	Goclenius 3		54	0	-	4.70	309.1	+	50	- 3	
	Censorinus M		56	40	-		347.4	+	47	- 6	1 9
		1	57	35	-		309.9	+	50	- 3	
	, a			5	-		341.5	+	50	- 3	1
	1			35	-		343.4	+	52	- 1	
	Messier M		2	50	1		316.6	+	48	- 5	1
	Boscovich M		5	5			334.5	+	37	-16 - 4	1
	Taruntius M	4	22	35	1-3	26.87	334.4	+	49	- *	
	Austritte	1			ł			2	225		1
	Cardanus M			- 4			348.3	+	40	+ 4	
	Copernicus			0			345.4	+	34	- 8	
	3			30			349.3	+	29	-10	1
	1		16	40			351.4	+	35	- 4	
	Kepler M		41	30	+		352.6	+	28	-11	1
	Biccioli M			30		4.40		+	37	- 2	1
		!		35	+	4.33		+	35	- 4	1
	1		24 34	32		3.94	8.5 350.5	[+	53	+15	
	Triesnecker		34	25			354.3	1	44	+ 2	1
	Agrippa M Godin M		37	11			353.4	ľ	44	+ 5	
	Dionys M		37	50			354.1	ΙŢ	34	- 8	1
		1	39	20		3,52		ľ	43	+ 4	1
	Gassondi			45		3.43		I,	43	+ 1	1
	i		42	45		3.44	14.4	1	48	+ 9	i
	Guerike (		45	25		4.03		+	25	-44	1
	Censorinus M			45			352.8		31	- 8	1 1
			48	50	+	3.45	43.9	+	45	+ 6	1
	1	ıl.	50	10	+	3.39	44.6	+	33	- 6	1
	Campanus M	ri -	52	30		3.46	18.0	+	33	- 6	1
	Schickard I	ı į	58			2.75	26.4	+	25	-44	1
	Mercator A	Н	54	20		3.43	18.5		32	- 7	
	Messier M		55				354.4		38	- 4	
	Capuanus M		57			3.00		+	40	+ 4	1
		Ц.,	58	30		3.46		+	40	+ 4	
	1			25		3.44	18.9		36	- 3	1
	Theophilus M		4	50		4.25		+	40	+ 1	1
	I		3	10		4.32		+	39		
	Guttenberg /		3	55		4.92			36	- 3 + 2	
			5	45	+	4.94	1.7	1:	37	+ 2	
			6 7	45 25	+	4.88		1	40	+ 1	1
	Language	1	7	5			357.6	١;	54	+12	
	Langrenus		8				359.3		43	+ 12	1
	î		12	40		4.89			47	+ 8	
			7			2.87		ΙĬ	10		1
	Lycuo	1	- 1	10	12	2.01	1 23.0	1 +	99	T10	1

Beobachter	Object	-	9		σ	χ	V	R	Bemerkunge
	Tycho	M	3h 8	- 0	+2.83	24.93	+ 42	+ 3	-
		н	9	7	+2.83	24.5	+ 47	+ 8	
	€ Rand	В	34	5	+2.89	13.2	+ 55	+ 5	
Lelpzig.	Eintritte	- }					4472		
2. BRUHNS	Rand	1	0 42	26	-2.87	288.3	+ 45	-11	
	Kircher	11	4.5	38		277.5	(+243)	1	
		1		15			+ 36	-20	
		U)			-4.45		+ 63		
	Tycho	1,	59	50	-2.83	287.2			
					-5.49		+ 60		17
	Copernicus	1	28	4.9	-7.02	318.3		+20	
	Austritte	- 1					339		
	Tycho	1	3 7	2	+2.87	23.6	+ 46	- 9	
		lt	4.0	26	- 2.83	24.5	+ 75	+20	
	C Rand	11	34	- 8	+2.89	13.2	+ 45	-10	
		- 1					166		
Leipzig,	Eintritte	. 1			0.00	200.0			
3. Leppig	. Kand				-2.87		+ 56	0	
		11		26		277.5			
		11			3.79		+ 32	-24	
				56		305.2	+ 55	1	
		.!				287.2		+ 1	
				56		287.8 318.2	+ 78	+22	
	Copernicus	41	21	36	1.02	318.2		+22	
	Austritte	- 4					334	1	
	Tycho				+2.87		+ 55	+ 2	
		Ш			+2,83		+ 54	+ 4	
	(Rand	11	-3 4	26	+2.89	43.2	+ 54	- 2	
Leipzig.	Eintritte	- 1					160	1	
4. Peter			0 42	4.5	-9 87	288.3	+ 49	- 5	
4. PETER	Grimaldi	1				304.8		-26	
		ii l				305.2		- 7	
		ü				306.4		+31	
	Copernicus						+ 62		
	Austritte	-18			710.4	10.0	271	1	
		or B	3 10	2	+2.83	24.5	+ 67	+ 5	
		tt		44			+ 58	- 4	
	Cuana	"	-39	**	72.00	13.2	425		
5. Hamilton	Austritt	- 1			1	1	120		
		U.	13 33	24	+2.89	13.2	+ 30	0	
O-Gyalla.	Eintritte	- 6							
6. v. Konkoly		1	10 10	3.5	-2.87	288 2	+ 42	1	
O. T. KONKOLT			11 1			287.6		+ 1	
		M		34		318.0			. 7
		.48	.70	0.0	-0.51	70.0	86	4	
	Austritt		10 10		1. 7 47	352.4		1	9
	Delambre	,713	12 40	1.0	+1.01	302.6	[- 20]	1	
O-Gyalla.	Eintritte				1		i		
7. RAFFHANN.	. C Rand	1				288.3	+ 65		1
		M	1.11	9.5	-2.98	900 6	+ 15		9

O-Gyalla. 8. Reviezky	Piazzi M Gavendish M Hersenius M Doppelmayer M Vitello M Tycho I Wurzelbau M Hell M Austritto Tycho II Jeau Gapellan Austritto Tycho II Petavius M Furnerius M		47 49 54 58 54 0 4	36 49 59 9 59	-3.25 -3.40 -3.43 -3.08	293.0 290.4 295.1 292.7 297.8	+ + + -	18" 74 16 87 13		9- 9- 9- 9- 9-	
	Cavendish M Fourier M Mersenius M Doppelmayer M Gassendi M Vitello M Tycho I Wurzelbau M Hell M Coperniens II Is.u.CapellaM Austritto Tycho II Petavius M		47 49 54 58 54 0 4	36 49 59 9 59	-3.44 -2.97 -3.25 -3.40 -3.43 -3.08	293.0 290.4 295.1 292.7 297.8	+	16 87 13		9 9	
	Fourier M Mersenius M Doppelmayer M Gassendi M Vitello M Tycho I Wurzelbau M Hell M Coperniens H Is.u.CapellaM Austritto Tycho II Petavius M	(	49 54 58 54 0 4 3	36 19 59 9 59	-3.25 -3.40 -3.43 -3.08	295.1 292.7 297.8	+	87 13		9	
	Mersenius M Doppelmayer M Gassendi M Vitello M Tycho I Wurzelbau M Icll M Copernicus II Is.u.CapellaM Austritto Tycho II Petavius M	(	54 58 54 0 4 3	19 59 9 59	-3.25 -3.40 -3.43 -3.08	295.1 292.7 297.8	-	13		9	
	Doppelmayer M Gassendi M Vitello M Tycho I Wurzelbau M Hell M Copernicus II Is.u.CapellaM Austritto Tycho II Petavius M	(	54 58 54 0 4 3	59 59 14	-3.43 -3.08	297.8				9	
	Gassendi M Vitello M Tycho M Hell M Copernicus II Is.u.CapellaM Austritto Tycho II Petavius M	11	58 54 0 4 3	9 59 11	-3.43 -3.08	297.8		42			unsicher
	Vitello M Tycho I Wurzelbau M Hell M Gopernieus II Is.u.Capellam Austritto Tycho II Petavius M	11	4 3	15		lana ti				9	
	Wurzelbau M Hell M Copernicus II Is.u. CapellaM Austritto Tycho II Petavius M	44	3			まりま。本	+	9		7	
	Wurzelbau M Hell M Copernicus II Is.u. CapellaM Austritto Tycho II Petavius M		3		-2.82	287.2	+	50			
	Hell M Coperniens II Is.u.CapellaM Austritto Tycho II Petavius M			19	-3.00	290.9	+	51		7	unsicher
	Is.u.CapellaM Austritto Tycho II Petavius M			39	-3.00	291.0		93		9	
	Austritto Tycho II Petavius M		29	54	-9.33	322.8		95			
	Tycho II Petavius M		53	38	-5.52	343.3	-	12		7	
	Petavius M	13	8	59	+2.83	24.5	+	4.4	1		
			12	14	+4.35	5.1	-4	24		2	
			22	4.4	+3.40	14.5	-	53		17	
	C Rand II	1	32	44	+2.89	13.2	+	16			
	Eintritte									н	Ganz
o. Helicaki .		10	19	34	-9.57	288.3	+	12	1		unzuver-
	Piazzi M		46	99		289.6		0		2	lässig
	Grimaldi M		54	14	-2.82	102.2	+	90		2	in and
	Agathareh. M			11		295,3	+1	14		2	
	Tycho I		59	49	-9.82	287.2	+	59			
		14	6	49	-3.59	298.8	-	44		2	
	AlpetragiusM		23	34	-4.47	305.3		73		?	
	Copernicus I		27	24	-7.02	318.3		83			
	11		36			322.8		53			
	AlbategniusM		34	4		308.4		36		7	
	Petavius M		37	19		296.4	+1			2	
	Sosigenes M		49	14		318.9	+1			7	
	Is.u.CapellaM Austritte		53	9		313.3	-	6		7	
	Copernicus M	12	17	4.4		349.3		63		7	
	Grimaldi M		25	4	+3.96		+			7	
	Sosigenes M		12	4.4		353.8	+1			2	
	ls.n.CapellaM		47	4.4		352.3		86		7	1
	Agatharch, M		54		+3.23		+1			?	
		13	9	59	+2.83					7	
	CRand II		33	19	+2.89	4:1.2	+	28		J	
O-Gyalla.	Eintritte										
). Weiss		10		34		288.3		12	-29"		
	Byrgius M			39		292.0		90	+19	7	
	Vieta M			38		291.0			-19	7	
	Fourier M		47	52		290.1		10]		9	
	Schiller M		47	18		282.2				9	
	Mersenius M		50	4		295.4		73	+ 2	?	
	Grimaldi I		48	26		301.8		96 95	+25		
				11		305.2 279.7			+24		
				39							
	Wilson M							94	+23	?	
	Wilson M Riccioli M Capuanus M		54	41 54	-4.00	303.9 290.0	+1		+23	9.9	

Beobachter	Object			ð			σ	Z	1	V	R	Bemerkunger
	Tycho	1	114	0	9:			28702		52"	-19"	
		34:		ŧ	19	-	2.84	287.6	+	44	-27	
		H		2				287.8		44	-27	
	Pitatus	15		3	9			292.6			-25	
		М			29			292.7		59	-12	
		11		3	19			293.0			+ 3	
	Marius	М		8	4			313.0				9
	Kepler	1		43	36			344.9			+27	
	1	M		17	45	-	6.43	316.7	+		0	
	Austritte	-1								05		
	Fourier		12				2.89			00	+42	9
	Schickard	M		55	50		2.79		+		-36	7
	Capuanus	М		58			3.00			50		7
	Pitatus	M					3.44				-15	9
	Schiffer		43				2.70				+44	)
		11			53		2.67				- 3	
	Tycho	1					2.87				+ 6	
		11					2.83				- 6	
	€ Rand	11		33	27	+	2.89	13.2			-27	
0. Strassburg.	Austritte	- 1							5	19		
	Tycho	1	43	7	33	+	2.87	23.6	+	57	+ 5	
		11		9	- 5	+	2.83	24.5	+	46	- 6	
Toulouse.	Eintritte								1	03	i	
1 Bigourdan	Schiekard	М	10	4 %	8.0		9 75	285,4		57	+ 4	
1 DIGUURDAN	Viota	31			28			294.0			+23	
	Krüger	M			43			296.9			- 7	
	Fontana	M		50				297.6		39		
	Mersenius				38			295.1			-16	
	Grimaldi	ï		52				304.8			-18	
	Ol Hillord	ni l		54				305.2			+16	
	Doppelmayer	- 33		50				292.7			+12	
	Gassendi	M		55				297.8			+16	
	Campanus	M		56	28	-	3.07	292.3	+	74	+21	
	Tycho		14					287.2			- 2	
		11		4	58		2.85	287.8	+	55	+ 2	
	Pitatus	1		3	43	-	3.09	292.6	+	45	- 8	
		11		- 4	48		3,41	293.0	+	65	+12	
	Cavalerius	М			43		5.77	314.3	+	15	-38	
	Kepler	М		49				346.7		55	+ 2	
	Gambart	M		20				314.4		67	+44	
	Herschol	М		25				307.8			+ 6	
	Copernieus	-1		$^{29}$	28			318.3			+13	
		11		37				322.8			- 5	
	Theophilus			41	8			307.4			-24	
	Caesar		12					328.4			+ 5	
	Taruntius	1						325.0			+45	
	Apollonius	M		32	13	-8	36.47	334.5	+	46	- 7	
	Austritte								12	64		
	Copernicus	11									+ 4	
	Riccioli	1					4.45				+25	
	Grimaldi	1		90	38	+	4.33	5.2	+ .	50	+ 2	

Beobachter	Object		_	э			σ	χ		V	R	1
	Grimaldi	11	121	24	28	+	3.94	805	+	7"	-41"	ľ
	Delambre	M		38	43	+	7.47	352.4	r-	321		
	Gassendi	M		42	58	+	3.43	14.0	l`+	82	+34	
	Mersenius	M		40	58	+	3.31	15.8	+	35	-13	
	Schickard	1		53	28	+	2.84	24.9	+	28	-20	
	Messier	M		57	58	+		354.1	+	58	+10	
	Theophilus	M	13	9	58	į.	4.25	5.8	+	56	+ 8	
	Langrenus	1		5	43	÷		357.6	+	37	-11	
	- Breman	11		12	28	+	4.89	4.6	+	51	+ 3	
	Tycho	ï	1	7	28	+	2.87	23,6	+	56	+ 8	
		11	1	9	43	+	2.83	24.5	+	49	+ 1	
	€ Rand	11		33	58		2.89	13.2		42	- 6	
	C			-	00	ľ	2100	1012		376		
Toulouse.	Eintritte		1									
12. PERROTIN .	. Schickard	1	10	45	35	-	2.77	286.0	+	37	-19	
		н		47	35	-	2.75	285.4	+	56	0	
	Schiller	1	1	48	5	-	2.67	283.5	+	95	+39	
		п		50	35	-	2.65	282.8	+	84	+28	
	Grimaldi	-1		52	30	-	3.79	304.8	+	34	-25	
		11		55	35	-		305.2	+	60	+ 4	
	Gassendi	1	1	54	55	-	3.38	297.0	+	57	+ 1	
		11		55	55	-	3.42	297.6	+	72	+16	
	Campanus	М		56	20	-		292.3	+	77	+21	
	Mercator	M		56	35	-	3.05	291.8	+	85	+29	
	Tycho	-1	11	0	35	-	2.82	287.2	+	43	-43	
	1.	н		- 4	50	-	2.85	287.8	+	58	+ 2	
	Flamsteed	M		4	5	-		304.8	+	66	+10	
	Bulliald	1		2	20	-		296.3	+	50	- 6	
		11		3	5	-		296.8	+	71	+15	
	Pitatus	1		3	25	-	3.09	292.6	+	41	-45	
		11	H	4	35	-	3.44	293.0	+	59	+ 3	
	Euclid	М		6	55	-	4.03	304.2	+	61	+ 5	
	Reiner	M	1	9	5	-	5.64	313.7	+	58	+ 2	
	Stöfler	-1		10	5	-	2.92	289.3	+	10	-46	
		н	1	44	45	-		289.8	+	41	-45	
	Encke	M		45	35	-		313.6	+	47	- 9	
	Kepler	1	i	19	5	-	5.94	314.9	+	42	-16	
		П	1	21	5	-	6.90	348.0	+	44	-12	
	Copernicus	- 1	1	30	25	-	7.02	318.3	+	57	+ 1	
		11		38	35	-	9.33	322.8	+	40	-16	
	Messior	M	12	4	5	-	6.42	316.6	+	64	+ 8	
	Austritte								48	06		
	Reiner	- 1	12	8	20	+		354.7	+	21	-20	
		П		9	5	+		355.3	+	12	-29	
	Copernicus		1	7	35			345.4	+	20	-21	
		П	ĺ	17	35	+		351.4	+		+ 1	
	Kepler	1		10	5	+		354.7	+	22	-19	
		П	ı	12	10	+		353.4	+	21	-20	
	Grimaldi	1		20	35	+	4.33	5.2	+	50	+ 9	
	1	П	1	51	45	+	3.94		+	12	-29	
	Flamsteed	M	1	27	5		4.34	5.4	+	35	- 6	
	Euclid	M		35	5	+	4.17	6.5	+	44	0	



Beobachter	Object			9		σ	χ	1	v	R	Bemerkunger
	Gassendi	1	12	40	- 0-	+3.52				+14"	
		11	1	42	30	+3.41	14.4	+	52	+44	
	Bulliald	1		48	50	+3.45	13.9	+	45	+ 4	
		11		50	25	+3.39	14.6	+	37	- 4	
	Campanus	M		52	45	+3.16	18.0	+	37	- 4	
	Schickard	1	i	54	55	+2.81	21.9	+	59	+18	
		П	1	58	50	+2.75	26.4	+	33	- 8	
	Morcator	M	1	54	10	+3.43	18.5	+	28	-43	
	Pitatus	1	1	59	20	+3.16	18.0	+	56	+15	
		П	13	- 4	5	+3.11	18.9	+	48	+ 7	
	Schiller	1		3	15	+2.70	27.5	+	54	+13	
		П	į.	7	35	+2.67	28.5	+	49	+ 8	
	Tycho	1		7	25	+2.87	23.6	+	54	+13	
	1	П	1	11	0	+2.83	24.5	+	87	+46	
	( Rand	11		34	5	+2.89	13.2	+	44	+ 3	
			1					10	14		

- Athen, Schmidt; 6füss. Refractor, schwache Vergr. . Manuscript pg. 42.
   Leipzig, Bauns; 84 mm Oeffn., 50fache Vergr.;
- 2. Letpzig, brokens; 84 min Genn., Solache vergr.
  3. » Leppig; 96 » » 60 » » } . . A. N. 93, 254.
- 4. » Peter; 245 » » 70 » »
- 5. Hamilton College; Реткая . . . . . . . . . . . . . А. N. 95, 20.
- 6. O-Gyalla, v. Konkolv; Merz, 6 Zoll Oeffn.
- 7. \* RAFFMANN; Kometonsucher, 39 Lin. Oeffn.
  8. \* T. REVICZEN; \* 51 \* \* A. N. 93, 203.
  9. \* Weiss: Bardou'sches Fernrohr. 36 Lin. Oeffn.
- 10. Strassburg; Kometensucher, 34 mm. Oeffn., 9fache

In Athen war der Himmel vollkommen heiter, die Luft recht hig. » Iburde niene besonderen Umstand geschah es, dass sich die genaue Correction der Pendeluhr nicht ermitteln liese, die wahrscheinlich eine Störung erlitten hatte, als sie aufgezogen ward. Ich habe daher, um genülerte mittlere Zeiten geben zu können, die Angaben der Beobachtungszeiten aur um 10° vergrössert. Da für viele Punkte die Dauer beobachtet ward, in welcher sie verfinstert waren, so lässt siech die Vergrösserung des Errischattens finden, auch wenn die mittleren Zeiten der Elitritte und Austritte nicht genau sind.

"Die Penumbra war sehr breit und für die Beobachtung ungstastigs (Scasuer). Dagegen hemerkt Peren: "Während der Mitte der Erscheinung war der Schatten gut begrenzt; « Larrec: » Der Erschatten erschien in der erschatten fläßte der Finsterniss dunkter, als in

der zweiten, und überhaupt schärfer begrenzt, als früher bei ähnlichen Erscheinungen.« In Strassburg erschien der Mond zwischen Wolken öfter ganz klar. Pænorn» bemerkt: »Der Rand des Schattens schien durch eine Linie begrenzt, welche schwärzer war, als das Uebrige.«

Das Beobachtungsmaterial ist reichhaltig und besitzt eine gute innere Uebereinstimmung, sodass sich V recht sicher ermitteln lässt.

Berechnet sind 274 Radien,

ausgeschlossen . . . 48 »

also benutzt . . . . 226, nändich 129 Eintritte und 97 Austritte.

43. Mondfinsterniss am 3. August 1887.

	Beobachter	Object		э			σ	χ	V	R	Bemerkungen
1.	Göttingen. Brosinsky	Eintritte Theophilus I		34*	31*			33298 335,3	+ 57" + 70	- 7" + 6	
2.	Göttingen. Buschbaum.	Eintritt Guerike C Austritt Guerike C		28	38 42		7.79	342.3	+ 57 [+128]	0	
3.	Göttingen. CLEMENS	Eintritt Goelenius M Austritt Mädler M	8			-	7.65	334.4	+ 49	0	7
\$.	Göttingen.	Eintritte Pitatus M Neander M Polybius A Rosse M	8	8 47 22 30	42 51 42 23		5.58 3.94 4.79 5.43	328.0 317.8 324.2 327.3	[- 56] + 32 + 36 + 40	- i	† †
5.	Göttingen. Schur	Eintritte Vitello M Petavius M Müdler M Goclenius M	1	53 8 48 40 45	13 33 0 13	-	7.79 3.57 8.23	333.2 334.2 314.4 335.2 334.1	+ 35 143 [-112] +203] + 46 + 49	- 1 - 2 + 1	f »unsicher« ? »unsicher« ?
6	München.	Austritte Bulliald M Vitello M Eintritte ( Rand 1		2 5	4 32	+	6.35		95 + 58 + 46 104 + 59	+ 6 - 6	4
	DAUSGHINGER .	Tycho I			42 29	-	3.49	313.4	+ 70 + 62	+ 6	

Beobachter	Ohject			9		σ	χ	1	V	R	Bemerkung
	Austritte						1	1			
	Tycho	11	91	29	152	+3.5	25%	+	54"	- 6	
	C Band	11	10	3	10	+3.2	2 29.5	+	63	+ 6	
	-						1	-	114		1
Prag.	Eintritte						1				
. GRUSS	. C Rand	1	7	34	14	-3.20	0,806	+	65	+11	
	Tycho	1	1	49	14	-3.45	313.1	1 +	60	+ 6	
	1	M	1	54	25	-3.59	314.6	+	39	-45	
	li .	11	į.	52	27	-3.6	1314.8	+	46	- 8	
	Goclenius	1	8	42	46	-7.09	332.3	+	60	+ 6	
	Austritte								970		i i
	Goelenius	11	9	32	43	+7.4	6.6	+	57	+ 6	
	Tycho	1		26	39	+3.6	24.2	+	42	- 9	
		M	1	28	9	+3.5	8 24.9	+	43	- 8	
		11	1	30	23	+3.5	25.5	+	60	+ 9	
	C Rand	11	10	2	34	+3,2	29.5	+	54	0	
	-		1					-	253		
Prag.	Eintritte										
. Schwarz	. ( Rand	- 1	7	34	8	-3.20	309.6	+	67	+ 4	
	Tycho	1			48		343.4	+		+ 2	
		11			48		314.8	+		-10	
	Gassendi	M	8	7	18	-8.8	336.2	+	74	+ 5	7
	Austritte		1						262		
	Tycho	- 1	9	27	18	+3.6	24.2	1 +	53	- 3	i
		M	1	28	36	+3.5		+	54	- 5	
		Ш	3	29	24	+3.5	25.5	+	43	-43	1
	C Rand	11	10	3	48	+3.2	29.5	+	75	+19	
								-	222	1	
Prag.	Eintritte	- 3	I					T			
. WEINER	. CRand	1	7	34	44		309.6		64	+45	
	Tycho	-1		50	- 6		313.4	+	46	- 3	
		М		51			314.6		35	-14	
	Goclenius	11		43	34		344.8	+	56	- 5	
	Gocienius	M	8	43	9		2 332.3 5 334.4	+	54		
		11	ŧ		52		335,5	+	45	+ 2	i
		11		47	52	-0.4	330,5			- *	
	Austritte		1.						344	1 -	
	Goclenius	1	9	26		+9.0		+	38	- 8	
		M			16	+7.7		+	54	+ 5	
	Tour La	II			37	+7.4			57 54	+11	
	Tycho	.!			12	+3.6			54 44	+ 5	
		M 11		28	. 2	+3.5		+		- 5	
	C D 1		10			+3.5		+	46		unsicher
	C Rand	11	10	1	90	+3.2	29.5	+		- 8	unsicher
									322		

. . . . . . . . . . A. N. 447, 383.

1. Göttingen, Brosinski
2. Buschbau
3. Clemens;
4. Hayn;
5. Schur;

			USCHINGER;									. 118,	121
7.	Prag,	GRUSS ;	Reinfelder	r, 401	3.6 mn	a Oeffn	., 62	ache	Verg	r.)			
8		Scowa	ny Volotla	der 69	7 .		5.9			ı	A N	447	381

8. » Schwarz; Voigtländer, 62.7 » » 52 » » A. N. 447, 5
9. » Weiner; Fraunhofer, 97.6 » » 54 » » A. N. 447, 5

In Göttingen zeitveise Wolken, sonst klar. In Prag ruhige durchsichtige Luft. Die Färbung des Erdschattens hat Wersex in vier Lithographien in den Astr. Beob. der Sternwarte Prag 1885—87dargestellt. In Leipzig wurden Heliometermessungen des Schattens ausgeführt. Kers in Küln beobachtele das Schattensegment ausserhalb der Mondscheibe (A. N. 121. 373).

Trotz der geringen Zahl der Beobachtungen scheint sich V aus denselben doch hinreichend sicher bestimmen zu lassen, da sie mit wenigen Ausnahmen eine recht gute Uebereinstimmung besitzen.

Berechnet sind 54 Radien,
ausgeschlossen . . . 5 \* ,
also benutzt . . . 49, nämlich 29 Eintritte und 20 Austritte.

44, Mondfinsterniss am 28, Januar 1888.

Beobachter	Object			ð		σ	x	V	R	Bemerkunges
Breslau.	Eintritt C Rand Austritt C Rand		102				265?8 112.7	[+109"] + 52	0"	» durch Wolken
Breslau. 2. Lachmann	Eintritt (Rand Austritte	11	10	29	57	-1.94	265.8	+ 72	0	*durch Wol
		M	12				122.3 92.0	+ 77 [+167]	0	
Breslau.	Austritte									
3. RECHENBERG.							105.6		-34 +34	
Broslau.	Austritto		1					132	ĺ	
4. Koerber	C Rand Coperniens	M	12	34	45		105.0		-22 +30	
	Aristoteles Manilius	M		47 48		+1.90		+134	+53	
		M		55		+1.88		+ 99	+48	

Beobachter	Object			9		σ	x	V	R	Bemerkunge
Brüssel.	Eintritte	٦	-	ome					T	
5. STUYVARRT .	@ Rand	18	9h	28	47	-1.89	27302	[+109"	16	1
	Herodot	М		37	49	-1.88	277.2	+ 73	+24"	1
	Aristarch	M		39	5	-1.88	277.5	+ 57	+ 8	1
		M		43	7	-1.90	272,3		+ 3	1
		M		45	25		283.6		+17	
	Gassendi	1			20		263.4		+ 4	
		nil		48	5		262.8		- 5	1
	Laplace	M		49	29		284.6		-19	1
	Copernicus	ï			56		273.6		+16	
		M			32		273.6		+21	
		11			36		273.4		+ 6	
	Plato	1		54	54	-1.90	287.0	+ 39	-10	
		ш		56	3		287.0		+ 5	
	Archimed	1		56	49		281.2		- 5	
		ni l		57			281.3		+ 6	
	Hesiod	M	10	0	2		260.0	+ 62		
	Pitatus	1		0	48		560.0		+ 1	
		M		ĭ	34	-2.00		+ 47	- 2	
		ii			16	-2.00		+ 53	+ 4	
	Tycho	ïl		5		-9.06	255.8		-48	
		м		6	23	-2.06		+ 32	-47	
		iil		7	5	-2.06		+ 32	-17	
		ï			46		283.2	+ 46	- 3	
		M .			15		283.4	+ 37	-12	
		iii			32	-1.89		+ 39	-10	
		iil		34	5		265.8	+ 36	-13	
		"I		01	0	-1.34	200.0	1222	-,0	
	Austritte	.1	12		7					
				8 19		+1.94		+ 8	-46	
		ш			2	+1.95		+ 47	- 7	ł
		M			55	+1.88		+ 37	-17	
	Gassendi	1					115.9		-16	l.
		11					115.9		-37	
		M				+1.90		+ 50	- 4	
		M				+1.89		+ 40	-14	
		M					94.2		+ 5	
	Copernicus				59		105.0		+17	l
		щ				+1.89		+ 82	+28	
	Tycho	13				+2.00		+ 89	+35	
		M		36	9	+5.00		+105	+51	1
		M			33	+1.90		+ 65	+11	
		ш		36	52	+1.90	91.7	+ 50	- 4	
Düsseldorf.	Eintritte							758	7	l
	C Rand	1	0	30	50	1 80	273.2	+ 44	- 4	1
6. Luther			10				265.8	+ 52	+ 4	1
		"	. 0	30	30	1.54	200.0		T *	1
	Austritt	.1						96	1	1
		Ц	12	9	17	+1.94	112.7	+ 44	0	1
Genf.	Eintritt									I
7. KAMMERMANN.		п	10	30	36	-1.94	265.8	+ 51	0	1
	Austritt								1	I
	C Band	-12	12	0	0	+4 94	112.7	+ 35	0	

Grimaldi	1)	1 2h	91			-		1	-	1	
Grimaldi Aristarch	1)	12h	01								
Aristarch 3				°54°	+1	.94	11207	1+	63"	+14"	»zieml.schart
Aristarch 3	m4						112.8	1 +		-45	
							112.3	1 +	26	-23	
Commentered	M						104.3		36	-13	» scharfe
	M			33			105.0		232]		
	W		39	49	+2	.00	122.3		199		» scharf«
	M		54	33	+4	.88	101.1	1 +	99	+43	
Proclus 3	M.	13	5	A			100.0	1+	1341		« ungenau.
Alhazen !	M I		6	38						-27	wohl zu spä
	H.		7	59							
	u		10	48						+21	
	1				1						
Eintritte	1							Ι.	343		ŀ
Aristarch 1	H.	9	39	36	-1.	.88	277.5	١.	40	- 9	7
Kepler	1		42	48	-4	.90	272.2	1 +	50	+ 1	
	1		44	36	-4	.90	272.0	11+	81		
Copernicus	1									+20	
			54	42						+ 2	
Plato	1									-10	
1	i									- 6	
Langrenus !	M									1	
C Rand I	1		30	36	-1	.94	265.8			+ 2	
	li										
	1	19	0	6		40	1197				
Aristaren	"!		20	40	T.	.00	101.5			+ z	
Fintuits	- 1								123	1	
	πĒ	40	94	99		0.4	368 0	١.	00		
-	"i	10	91	LZ	7	.59	200.0	1	zo		
	- 8							ı		1	
C Rand	1)	12	8	42	+4.	.94	112.7	+	26	0	
Eintritt	- F										
	πŘ	10	99	58	-4	.94	265.8	+	74	0	
	'n				П.			į.			
	rî.	19	8	90	+4	94	149.7	-	4.5	0	
-	î				Ι.			١.			
					١.	٠.	200 0				
C Rand	u j	10	31	8	-1.	.94	8,603	+	35	U	
Eintritt	1										
C Rand	I	9	29	18	-4.	.89	273.2	+	77	0	
Finteitt	ı										
	n)	10	24	4		0.6	965 8	-	37	0	
CHENNERG;	5	uss B	В	arde	u's	che	s Feri	nrot	ır }	Α.	N. 418, 298
	Alhazen  Schubert  C Rand  Eintritte Aristarch  Langrenus  C Rand Austritte C Rand Aristarch  Aristarch  C Rand Austritte C Rand Austritte C Rand C R	Alhazen M Schubert M (Rand II Eintritte Aristarch M Kepler I II Copernicus II Longenus M Cland II Longenus M Cland II Longenus M Claritte (Rand II Aristarch M CRand II Austritt I Eintritt C Rand II Austritt I Eintritt C Rand II Eintritt C Rand II G Rand II G Rand II G Rand II G Rand II Eintritt C Rand II Eintritt C Rand II Eintritt C Rand II Eintritt C Rand II Eintritt C Rand II G Rand II Eintritt C Rand II Eintritt C Rand II Eintritt C Rand II Eintritt C Rand II Eintritt C Rand II Eintritt C Rand II Eintritt C Rand II Eintritt C Rand II Eintritt C Rand II Eintritt C Rand II Eintritt C Rand II Eintritt C Rand II Eintritt C Rand II Eintritt C Rand II Eintritt C Rand II Eintritt C Rand II	Alhazen M Sebubert M C Rand 1 1 Copernicus 1 1 Copernicus 1 1 Langenus M 10 C Rand 1 1 Langenus M 10 C Rand 1 11 Aristarch M 11 Aristarch M 11 Aristarch M 11 Aristarch M 11 Aristarch M 11 Aristarch M 11 Aristarch M 11 Aristarch M 11 C Rand 1 1 C Rand 1 1 C Rand 1 1 C Rand 1 1 C Rand 1 1 C Rand 1 1 C Rand 1 1 C Rand 1 1 C Rand 1	Alhaem M 6 7 8 8 1 1 1 1 1 1 1 1 1 1 1 1 1 1 1 1 1	Alhazen M 7 7 59 C Rand II 0 4 2 48 C Rand II 1 5 4 2 48 C Rand II 1 5 4 2 48 C Rand II 1 5 4 2 48 C Rand II 1 5 4 2 48 C Rand II 1 5 4 2 48 C Rand II 1 5 5 2 4 C Rand II 1 1 2 5 4 2 48 C Rand II 1 1 2 5 4 2 48 C Rand II 1 2 5 4 2 48 C Rand II 1 2 5 4 2 4 2 4 2 4 2 4 2 4 2 4 2 4 2 4 2	Albasen   M   G 38   Section   C   Read   I   G 48   Section   G 48	Alhaene M 6 38 +1.88 Schubert M 7 59 +1.89 S	Alhaem M 6 38 + 1.88 99.5. Schubert M 7 59 + 4.89 105.6 C Rand II 10 88 + 4.89 105.6 C Rand II 10 84 1.89 105.6 C Rand II 10 10 84 1.99 105.6 C Rand II 10 10 10 10 10 10 10 10 10 10 10 10 10	Alhazen M 6 38 -1.88 99.5. Schulert M 7 59 -1.89 190.5. Schulert M 7 59 -1.89 190.5. Schulert M 7 59 -1.89 190.5. Schulert M 10 48 -1.89 190.6. Schulert M 10 48 -1.89 190.6. Schulert M 12 48 -1.90 1972.0. Schulert M 12 48 -1.90 1972.0. Schulert M 12 48 -1.90 1972.0. Schulert M 12 48 -1.90 1972.0. Schulert M 12 48 -1.90 1972.0. Schulert M 12 48 -1.90 1972.0. Schulert M 12 48 -1.90 1972.0. Schulert M 12 56 24 -1.	Alhasen M 6 38 k-1.88 99.5 * 22 5 5 5 5 5 5 4 5 6 6 1 1 2 5 6 6 1 1 2 6 1 3 6 6 1 1 2 6 1 3 6 1 1 2 6 1 3 6 1 1 2 6 1 3 6 1 1 2 6 1 3 6 1 1 2 6 1 3 6 1 1 2 6 1 3 6 1 1 2 6 1 3 6 1 1 2 6 1 3 6 1 1 2 6 1 3 6 1 1 2 6 1 3 6 1 1 2 6 1 3 6	Albasen   M   G   38   4.88   9.9   2   2   2   2   2   2   2   2   2

6. Düsseldorf, Luther; 7füss. Refractor, 5tfache Vergr	. A. N. 118, 315.
7. Genf, Kammermann	. A. N. 148, 314.
8. Heidelberg, LENARD; 4ftiss. Merz	. A. N. 118, 283.
9. Kiel, Kreutz; 4fuss. Fraunh., 83 mm Oeffn., 83fache Verg	r. A. N. 118, 281.
10. Kis Kartal, Lakiys; 34 Zoll Oeffn	. A. N. 118, 281.
11. Neuchâtel, Hilfiker	
12. Petersburg, Kometensucher, 149 mm Oeffn. v. Glasenapp Repsold, 107 mm Oeffn., 63fache Vergi	
13. Prag, Gauss; Fraunhofer, 54fache Vergr.	1
14. » Kostlivi	A. N. 119, 213.

\* KOSTLIVY
 \* WRINEK; Acquatoreal v. Steinheil, 60fache Vergr.
 In Breslau störten Wolken. Stuvyaert beobachtete, dass sich

In Breslau störten Wolken. Servavara beobaehtete, dass sich die leuchlenden Hörnerspitzen noch weiter am Mondrande in den Schatten hinein fortsetzten; auch machte er 12 pholographische Aufnahmen, auf denen sich diese Fortsetzung ebenfalls deutlich zeigt. In lieddeberg wurden 28 pholographische Aufnahmen nach der Totalität erhalten; es störten Nebel- und Wolkensehichten; . . . »der Eridschatten zeigte sich von einer sehr gleichmässig verwasschenen Zone begrenzt, welche nicht ganz die Breite des Kraters Tycho (187°) besass. Vorübergehende Wolken verbreiterten diese Schattengrenze bedeutend . . Bei den Krateraustritten wurde der Augenblick notit; in welchem das betreffende Object die Mitte der beschriebenen verwaschenen Schattengrenze passirt . . . Von einer Erichbung der Schattengrenze ... konnte nichts wahrgenommen werden, 8 in Kis Kartal ist der Uhrstand auf 2° bis 3° unsicher. In Petersburg bedeekten sich bei — 25° C. die Objective mit feinen Eiskrystallen, welche die Beobachtung hinderten.

Beschreibung der Färbung des Schattens geben die Beobaedter in Breslau, Clinton (A. N. 118, 360), Genf, Heidelberg, Neuehâtel, Petersburg (auch A. N. 119, 74) und Prag. In Berlin wurden Heltiometermessungen zur Bestimmung der Lage der Hörnerspitzen angestellt (A. N. 118, 317) und in Strassburg zu demaelben Zweeke 12 Messungen ausgeführt (A. N. 118, 281). In Petersburg suchte Kleiber die Breite des sichtbaren Sehattens der Erdatmosphäre zu ermitteln (A. N. 119, 71) und in Birr Castle stellte Bondurka Messungen der Wärmestrahlung des verfünsterten Mondes an (A. N. 118, 309).

Berechnet sind 90 Radien,

ausgeschlossen . . . 9 » , also benutzt . . . . 81 , nämlich 41 Eintritte und 40 Austritte.

45. Mondfinsterniss am 16. Januar 1889.

Beohachter	Object		9			σ	x	1	V	R	B	emerkungen
Brüssel.	Eintritte	İ	-		Г			8			T	
. STUYVAERT .	. (Rand I	15	58	2 20	-	2.68	34394	+	58"	+10"	1	
	Kruger M	16	3	19	-	2.94	349.6	+	59	+11	17	
	Grimaldi I		- 6	57	-	3.20	324.4	+	34	-14		
	M	į.	- 8	16	-	3,30	325.7	+	49	+ 4	1	
	11	1	9	32	-	3.42	327.4	+	55	+ 7	1	
	Schickard M	1	4	39	-	2.54	309,3	+	58	+10		
	II.	l .	6	34	-	2.56	340.0	+	56	+ 8		
	Billy M		40	44	-	3.06	324.9	+	43	- 5	17	
	Gassendi I		12	53	-	2.97	320.3	+	47	- 1		
	11	1	14	5	_	3.01	321.1	+	65	+17	1	
	Agatharch. M		15	9	-	2,91	318.9	1+1	03		7	
	Reiner M		19	38	<b> </b> _		333.2		74	+23	7	
	Tycho 1		20	32	-	2.64	344.4	1+	38	-10		
	M		21	33	-	2.64	311.6	+	34	-14	1	
	11		55	25	-	2,62	312.1	+	40	- 8	1	
	Pitatus I		23	0	-	2.79	346.4	1 +	34	-14		
	11		24	19	-	2.84	316.9	+	50	+ 2	1	
	Kepler M		30	12	-	4.29	336.0	+	56	+ 8	7	
	Briggs M	ŀ	34	49	-	6.60	346.8	[+4	22		17	
	Copernicus 1		44	4	-	4.52	337.6	+	52	+ 4	i .	
	M		42	43	-	4.71	338.8	+	53	+ 5	1	
	11		44	19	-	4.94	340.2	+	49	+ 1		
	Herodot M		45	22	-	8.02	350.2	+	36	-12	17	
	Aristarch M		47	14	-	8.44	351.0		4.5	- 3	1	
	Guttenberg 1	17	4	34	-	3.70	330.6		24	-24		
	Goclenius M		5	34	-	3.68	330.6	+	42	- 6	1	
	11	1	6	49	-	3.77	331.4	+	36	-12	1	
	Langrenus 1	1	40	44	-	3,68	330.5	+	44	- 4		
	М		12	36	-	3,86	332.3	+	45	- 3		
	11		44	39	-		333.9	+	12	- 6		
	Messier M	1	43	39	-	4.36	336,6	+	38	-40	1	
	Menelaus M	1	18	14	-	8.72	354.5	+	48	0	7	
	Timocharis I	1	20	19	-:	8.80	3.4	+	61	+16		
	Plinius M	1	22	39	-	8.46	351.0	+	39	- 9	1	
	Firmicus M	1	29	4	-		345.7	+	58	+10	7	» Leichte
	Picard M	1	35	24	-		352.4	+	63	+15	7	Wolker
	Proclus M	1	36	59	-4	3.60	356.6	+	56	+ 8	?	
	Austritte	1			1			16	84		1	
	Aristarch M	17	27	49	+	8.84	19.3	+	32	-38	7	*Leichte
	Herodot M	111	29	39		7.94			36	-34	12	Wolker
	Briggs M	1	30	19	ļ.						1	
	Pytheas M	8	40	29		8.42			36	-34	9	» Wolken
	Grimaldi M	1	55	59		3,30			48	-22	l'	
	11	l l	57	29	+	3,22			32	-38		
	Copernicus II	18	0	39	+	4.58			64	- 9	1	a Wolken
	Schickard II		26	Ā	+	2.54			23	-47	1	» Wolken
	Firmieus M		28	24					77		7	

Beobachter	Object		Э			$\sigma$	Z	V	R	Bemerkungen
	Pitatus I	1 18	×33	*39°	+	2.75	5597	+ 89"	+19"	setwas zu
	Tycho	ı ii	38	9	+	2.60	59,7	+ 83	+13	spät∉
	)		38	59		2.59		+ 78	+ 8	opare
	Messier 3	rl .	40	9	+	3,98	37.6	+115	+45	9
	Guttenberg 3	d –	43	39	+	3,50	42.6	+ 98	+28	9
	Godenius I	i i	45	4.4	+	3,50	42.6	+ 95	+24	
	Langrenus	1	46	34	+	3.76	39.7	+101	+34	
	3	1	47	46	+	3.68	40.6	+ 97	+27	
	1	1	49	9	+	3,58	41.6	+ 90	+ 50	
					L			4493		
Göttingen.	Eintritte	1						į.		
. CLEMENS .		1 45					343.4	+ 15	-16	
	Kriiger )			37	-		319.6	+ 53	- 8	
		Ι,	6	32			324.4	+ 42	-19	
	1		9	30	-		327.4	+ 62	+ 4	
		1	7	27	-		314.3	F- 477	li .	
	1		10	4.4	-		340.0	- 30	1	
	Lohrmann 3		8	16	-			1.+107.		
		I	1.2	35	-		320.3		- 8	
			13	35	-		320.6	+ 58	- 3	
	I		14	30	-		324.4	+ 57	- 5	
	Capuanus 2		15	29			313.9	+ 65	+ 4	
	Campanus !		16	43			346.6	+ 54	-40	
	Mercator 1		17	1	-		315.9	+ 59	+10	
	Reiner !	1	19	39 29	r		333,2		-21	
	Tycho		24	25	E		341.4	+ 40	-24	
	1		21	59	-		312.1	+ 50	-44	
		1	23	47	E		331.2	+104	+43	
	rancke !		25	27			332,3	+ 88	+27	
	i		26				333.1	+ 77	+16	
	Kepler 3		29				336.0	+ 66	+ 5	
	Seleueus !		33		-		315.5	+ 58	- 3	
	Bessarion 1		37				341.6	+ 63	+ 2	
	Gambart !		40		L		335,3	[- 47]		
	Copernicus			23			337.6	+ 74	+13	
	2		4.4	43			338.8	+ 66	+ 5	
	i		43		-		340.2	+ 54	- 7	
	Mayer !		42				312.6	+ 71	+10	
	Aristarch 1	4	46	29			351.0	+ 54	-10	
	Eratosthen.3	1	52	13		5.55	343.4	+ 75	+14	
	Lambert 2	1	54	3		7.23	348.5	+149		
	Pytheas 2	1	55	12		7.43	349.0	+ 63	+ 2	
	Lichtenbrg !	41	57	12		34.74	1.7	+ 73	+12	
	Dionys !		0	27	-	4.43	337.4	+ 60	- 4	
	Menelaus !	1	48	4.0		8.72	354.5	+ 48	-43	
	Plinius ?	4	20	34		8.46	351.0	+ 53	- 8	
	Austritte							1887	7	
	Aristarch !	1 17	27	34	+	8.81	19,3	+ 34	-29	
	Seleucus !	4	29	12	+	6.63	24.4	+ 38	-22	
	Euler !	1	35	24	+	9.44	18.9	+ 54	- 6	
	Pytheas :	4	4.1	4.0	+	8.49	20.0	+ 40	-20	

Beobachter	Object			9			σ	z	V	R	Bemerkungen
	Bessarion	м	171	46	91	+	5.95	2902	+ 58	- 2"	
	Marius	34		47	0	1	4.89	33.8		+16	
	Mayer	М	1	48	26	ĺ÷.	5.49		+ 62	+ 2	
	Kepler	М		53					+ 51	- 9	
	Copernicus			57		į.	4.75			-13	
	Menelaus	М	18	0		4	8.10	20.6	+ 59	4	1.00
	Plinius	M		3		ļ.	8.51		+ 47	-43	
	Gambart	М		10	5	+			+ 93	+33	
	Gassendi	M		14	45	+	2.95	51.2	+ 89	+29	
		11		16	1.5	+	2.92	51.9	+ 99	+39	
	Dionys	М		20	54	+	4.44	33.9	+ 55	- 5	-130
Heidelberg.	Eintritte								899		
. LENARD	Grimaldi	- 1	16		56			324.1	+ 53	+ 6	
		11		10	48			327.4	+ 39	- 8	
	Gassendi	1		12	31			320.3	+ 54	+ 7	
		М		13	40			320.6	+ 56	+ 9	- 1
		11		44	52			321.1	+ 49	+ 2	»zu späl?«
	Tycho	1		20	23			311.4		- 5	-
		М		21				311.6	+ 40	- 7	
		11		22				342.1	+ 42	- 5	
	Hesiod	1		21				316.1	+ 57	+10	
		11		22	20			316.7	+ 57	+10	
	Pitatus	М		23	3.0			316.6	+ 45	- 2	
	Kepler	1		30	20			336.1	+ 40	- 7	
		M		31				336.0	+ 43	- 4	
		11		31	57			337.1	+ 36	-11	
	Copernicus			41				337.6	+ 18	+ 4	
		М		43				338.8	+ 43	- 4	
		11		4.5				340.2	+ 32	-15	
	Aristareh	М					8.44	351.0	+ 42	- 5	
	Langrenus	1	17	8	42			330.5	+ 78	+34	
		М		12	26			332.3	+ 47	0	
	Proclus	М		39	48		13.60	356.6	+ 44	- 3	7
	Austritte								987		
	Aristorch	M	17	29	12		8.84		+ 42	- 0	
	Grimaldi	1		52	50		3.45		+ 42	0	
		11		57	3		3.22		+ 24	-18	
	Copernicus			55			5.05		+ 33	- 9	
		Н			38		4.58		+ 35	- 7	
	Tycho	М	18	38	58	÷	2.59	60.2	+ 78	+36	·wegen Dom
									254		merung ut

<sup>1.</sup> Brüssel, Stevyarr; 450 mm Oeffn., 90fache Vergr... A. N. 121, 135. 2. Göttingen, Clemens; Steinheil, 4 Zoll Oeffn., 63fache Vergr. A. N. 123, 91.

In Brüssel war anfangs die Luft heiter und ruhig; bei den Austritten störten Wolken die Beobachtung. In Folge der Morgendämmerung scheint der Beobachter den Schatten zuletzt grösser geschätzt zu haben; wir lassen daher die Austritte bei der Mittel-

bildung fort. In Göttingen war die Luft gut, gegen Ende etwas wallend. In Heidelberg war die Luft ziemlich dunstig: es wurden noch 56 photographische Aufnahmen des verfinsterten Mondes gemacht.

Alle drei Beohachter beschreiben den Verlauf der Finsterniss. Wolf in Heidelberg macht noch folgende wichtige Bemerkung: »Bezüglich der Kraterantritte möchte ich es als sehr wünschenswerth hezeichnen, dass man sich darüher einigen sollte, welchen Theil des Schattenrandes man für die Beobachtung zu wählen hat. Da der Rand des Kernschattens sich als eine ziemlich breite, gleichmässig verwaschene und schon recht dunkle Zone darstellt, so wird hald der Anfang dieser Zone, hald ihre Mitte, bald ihre gegen das Schattencentrum gelegene Grenze als geometrischer Rand des Schattens angesehen und die Kraterantritte darnach heobachtet, sodass wohl auch aus diesem Grunde die von verschiedenen Beobachtern angegebenen Antritte so wenig mit einander übereinstimmen. Es ist nur fraglich, welchen Theil man ein für alle Mal nehmen soll. Die äusserste Grenze gegen den Halbschatten zu kommt nicht in Betracht, weil dort der Uehergang zu stetig erfolgt und durch die Schattirung des Mondes zu sehr beeinflusst wird. Die Mitte der Zone lässt sich - wie stets in derartigen Fällen - sehr genau schätzen, und ist auch hesonders beim Austritte am leichtesten zur Beobachtung zu henutzen, weil das hetreffende Object schon vor dem zu heohachtenden Moment gut geselien werden kann. Es hleibt daher blos zwischen Mitte der fraglichen Zone und deren innerstem Rand zu entscheiden. Es wurde diesmal als Schattengrenze von uns der innerste Rand der verwaschenen Zone angesehen (voriges Jahr die Mitte der Zone), sodass die Eintritte die Zeiten geben, zu denen das betreffende Object durch das Vorrücken des Schattens nicht mehr weiter verdunkelt werden konnte. Beim Austritte wurde entsprechend der Augenhlick notirt, in welchem der Krater eben begann aufgehellt zu werden. Die Beobachtung der Austritte wird durch diese Wahl der Schattengrenze allerdings etwas erschwert; jedoch konnte man auch bei dieser Finsterniss, wie hei der totalen im Januar 1888 die Hauptzuge der Mondoherfläche im Schatten gut unterscheiden.«

Berechnet sind 433 Radien, ausgeschlossen . . . 25

also benutzt . . . . 108, nämlich 87 Eintritte und 21 Austritte. Abhandl, d. K. S. Gesellsch. d. Wissensch. XXIX.

35

46.

Die in den letzten 30 Paragraphen angegehenen Werthe der V sind alle durch doppelte Rechnung geprüft; die V, und R konnten leicht durch Summirung der R controlirt werden.

Unsere nüchste Aufgabe ist nun die Bestimmung eines Mittelwerthes von V für jede einzelne der nach Ausschluss von 1804 und 4823 übrig bleibenden 28 Finsternisse. Vergleicht man zunächst nur die zu ein und derselben Finsterniss gehörigen Werthe der V mit einander, so kommt wan bald zu der Ueberzeugung, dass es, soviel wir bis jetzt wissen können, zwei Ursachen sind, welche die Schwankungen von V hervorrufen. Die erste Ursache umfasst alle zufälligen Fehler; hierher gehören neben den eigentlichen Beobachtungsfehlern nach § 9 die Fehler in den selenographischen Positionen der Objecte sowie auch diejenigen Verwechselungen mit benachbarten Objecten, welche im Vorhergehenden nicht entdeckt und ausgeschieden werden konnten, weil zufällig auch das falsche Object einen nahezu richtigen Werth von V ergab. Die zweite Ursache ist die für ieden einzelnen Beobachter persönlich verschiedenartige Auffassung der Schattengrenze, welche ihrerseits wieder abhängig sein wird von dem benutzten Instrumente und von der Durchsichtigkeit der Luft am Beobachtungsorte. Bezeichnen wir mit Vo vorübergehend den gesuchten Mittelwerth von V für eine Finsterniss, mit a den persönlichen und mit b den zufälligen Theil des Fehlers. so wird jedes einzelne V die Form haben

 $V = V_a + a + b$ .

Der bei der Mittelbildung zur Bestimmung von V. einzusehlagende Weg ist von dem Verhältniss von a zu b abhängig. Denn nehmen wir erstens an a ware verschwindend klein gegen b, so müssten zwei Beobachter, deren jeder unendlich viele Beobachtungen gemacht hat, gleiche Werthe von  $V_i$  ergeben, welche dann mit  $V_a$  identisch wären; ist die Anzahl der Beobachtungen eine endliche, so müsste man bei der Mittelbildung den einzelnen Werthen der V. Gewichte beilegen, welche der Zahl der Beobachtungen proportional sind, die zur Berechnung jedes V, verwendet wurden, vorausgesetzt, dass man alle Beobachter als gleich zuverlässig ansehen darf. Ist n die Anzahl der einzelnen V, so ist

Die Werthe von  $\Sigma V$  sind im Vorhergehenden unter jeder Reihe angegeben. Für  $V_{\bullet}$  haben wir also bei dieser ersten Annahme die einfache Bestimmung

$$V_{\scriptscriptstyle 0} = \frac{\sum n V_{\scriptscriptstyle 1}}{\sum n} = \frac{\sum \sum V}{\sum n};$$

d. h.  $V_*$  ist bei dieser Berechnungsart einfach das arithmetische Mittel aller V der ganzen Finsterniss; den so berechneten Werth von  $V_*$  wollen wir mit  $V_*$  bezeichnen.

Nehmen wir dagegen an, b wäre verschwindend klein gegen a, so würde eine Vermehrung der Beobachtungen des einzelnen Beobachturs gar keinen Zweck haben, denn sehon eine einzige Beobachtung würde den persönlichen Werth  $V_i = V_i + a$  mit derselben Genauigkeit ergeben, wie deren unendlich viele. Zur Bildung von  $V_i$  müsste man daher allen  $V_i$  gleiches Gewicht geben, sodass also  $V_i$  das arithmetische Mittel aller  $V_i$  würde. Der so bereehnete Werth von  $V_i$  soll im Folgenden mit  $V_i$  bezeichnet werden.

Da selbst bei demselben Beobachter a bei den Eintritten einen anderen Werth haben kann, als bei den Austritten, so behandeln wir vorläufig bei den Mittelbildungen die Ein- und Austritte getrennt.

Eine Durchsicht der oben gefundenen Werthe der V zeigt nun, sodass also die Wahrheit etwa in der Mitte zwischen den eben gemachten zwei Annahmen liegt. Bei der ersten Annahme erhielten also die grösseren Reihen den kleineren gegenüber ein zu grosses Gewicht, bei der zweiten ein zu kleines. Hieraus folgt, dass der wahre Werth von V, soweit er sich aus den gegebenen Beolaehungen überhaupt bestimmen lässt, jedenfälls zwischen V, und V, liegen wird, in den meisten Fällen wohl sehr nahe an V, Jenseits von V, wird V, nie zu suchen sein. Die Berechnung von V, neben V, giebt uns also ein Mittel an die Hand um zu beurtheilen, welchen Einfluss eine möglichst verschiedenartige Behandlung der gegebenen Beobachtungen auf den resultirenden Mittelwertli noch aben kann. Alle diese Schlüsse werden um so strenger richtig sein, je grösser die Anzahl der Beobachter und der Beobachtungen ist.

Die folgende Tabelle giebt eine übersichtliche Zusammenstellung aller Werthe von  $V_i$ ,  $V_i$  und  $V_j$  gesondert für die Eintritte und für die Austritte.

Beob-			Eintri	itte				Lustri	tte	
achter	$\Sigma V$	n	$V_{\mathbf{t}}$	V.	$V_3$	$\Sigma V$	n	$V_{i}$	$V_i$	¥,
1802										
4	20"	- 1		20.00						
2	53	- 4		53.00						
3	115	2		57,50						
4	23	1		23,00	V 1					
5	37	- 4		37.00		22"	- 4		22.00	
6			ĺ		0	603	7	1	86.14	
7			i		1	387	5		77.40	
8	667	10		66.70		56	3	l l	18.67	
9	1314	22		59.73		363	9		40.33	
10	45	1		45.00		23	-1	l	23.00	
	2274	39	58.31	364.93	45.24	1454	26	55.792	267.54	44.59
1805					1 1	126	3	1	42.00	
4				i	1 1			1		
2 3		٠.		<b>70.00</b>	i l	560	11		50,91	
3	79	+	79.00	79.00	79.00	752	16	47.00	33.00	44.97
1806	19	'	79.00	79.00	79.00	102	16	47.00	120.91	41.77
1000	396	5		79.20		89	4		89.00	
2	665	14		47.50		454	9		50.44	
3	893	13		68,69		290	8		36.25	
4	0.0		1	00101		40	- 1		40.00	
5	636	10	1	63.60	7	43	4		43.00	
6	1239	23	1	53.87	1	614	44		43.86	1
7	68	4		68,00		30	4		30,00	1
8	28	- 1		28.00		49	1	1	19.00	
9	56	- 1		56.00	1 1	24	- 1		24.00	
10	178	3		59,33		147	5		58,50	
1809	4159	71	58.58	524.49	58.24	1720	39	44.10	434.05	43.40
1809				1		453	3		51.00	1
9	4399	21		66.62	1 1	649	13		47.62	
3	227	5		45,40		115	2		57.50	1
4	493	9		54.78		237	î		59.25	
	2119	35	60.54	166.80	55.60	1124	22	51.09	215,37	53.8
1811										
4						45	- 1		45.00	1
2	209	3		69.67		74	. 5	l	35.50	
3	1058	16	1	66.12		661	7		63.00	
4						98	- 4		98,00	
5	190	3		63.33	1 1	38	- 4		38.00	
6	52	4		52.00		33	- 4		33.00	1
7	72	- 4		72.00		235	5		47.00	1
1010	4584	24	65.88	323.12	64.62	964	18	53.39	359.50	54.36
1813		١.					١.			
1	576	.7		82.29		69	-4		69.00	1
2	580	14	i	52.73	1			1		
3	205	5		41.00				1		į.
- 4	59	- 1		59.00	1 1			1	1	

Beob-		1	Bintr	itte			1	lustri	tte	
achter	$\Sigma V$	n	$V_{\mathbf{a}}$	$\dot{V}_4$	$V_3$	$\Sigma V$	n	V,	V,	V.
5	63"	1		63."00						
6	66	-1		66.00		39"	1		39.00	1
	1549	26	59.58	364.02	60.67	108	2	54.00	108,00	54.00
1816 I			1						i	i .
- 4	455	8	i	56.88					1	
	455	8	56,88	56.88	56,88			1		
1816 II										1
- 4	469	44		\$2.64		350	7		50.00	
2	384	7		54.43	1	173	6		28.83	
3	758	4.6		54.44		702	12	1	58.50	
4	336	8		12.00						1
5	468	12		39.00		478	10	1	47.80	l
6	97	2		48.50		192	3		64.00	
	2509	24	46.46	280.74	46.78	4895	38	49.87	249.13	49.83
1818										
- 1	384	5		76.80		134	3		44.67	
2	106	5		81.20		254	4		63,50	
3	438	5	1	87.60		19	- 4	1	19.00	
- 4	37	-1		37.00	1	25	4		25.00	i
5						46	4		46.00	
6	847	6		69.50		34	4 9		34.00	1
7	344	3		114.67		52			26.00	
	2026	25	81.04	166.77	77.80	564	13	43.38	258.17	36.88
1841								l		1
- 1	344	7		44.43				l		1
2	206	5		44.20					55.00	
3	563	9		62.56		495	9			l
4 5	445 426	6		74.47 63.00		351	6		58.50	1
6	126	2	1	62.00				ļ		
7	704	17		44.41		477	11		43.36	
- 1	2479	48	54.65	388.77	55.54	1323	26	50.88	156.86	52.29
1842	24/9	48	01.00	355.77	99.94	1323	20	50.08	130.80	32.21
1042	356	8		44,50		348	8		43.50	1
2	1268	26	1	48.77		983	19		54.74	
3	367	7	1	52.43		1156	17		68.00	1
4	001	٠		02.70		73	17	1	73.00	
1	1991	5.1	48.56	145.70	48.57	2560	45	56.89	236.24	59.06
18441	1551	*'	40.00	140,70	40.01	2500	***	30.03	200.24	00.00
1011	553	7		79.00		236	4		59.00	
2	158	3	1	52.67		39	i	1	39.00	
3	129	3	1	43.00		52	4	l	52.00	
4	665	9	l	73.89		158	3		52.07	
5	365	9	1	40.56	1	538	9	1	59.78	
6	95	2	1	47.50	1	113	2	1	56.50	
7	392	7		56.00		293	5	i	58.60	
8	1211	20		60.55		696	4.6		49.74	
9	1006	22		45.73		808	17	1	47.53	
10	86	2	i .	43.00		40	4	1	40.00	

Beob-		1	intr	itte			A	lustri	t t e	
achter	21	н	$V_{i}$	$\Gamma_1$	$V_3$	21	И	f' <sub>1</sub>	V <sub>i</sub>	Γ,
11	53"	- 1	-	54700		50"	1	-	59700	-
12	1343	29		46,31		1359	28		48.54	
43	1055	20		52.75		828	21		39,43	
15	703	18		39,06		1081	20	İ	54.05	
16	1807	6.4		44.07		2393	13		55.65	
17	404	8		50.50		521	7	1	74.86	
20	392	8		49.00		248	5		49.60	
24						212	4		60.50	
22	4.5	- 4		45.00		1		l		
23						959	19		50.47	
24	59	3		59,00		337	6		56.47	
	10549	211	49,85	978,59	54750	30994	211	59"40	1054.06	52.7
1844 11								-		0.4111
1	1787	\$7		38.02	1	1945	38	l	50,39	
2	308	5		61.60		1910	1.00		30,39	
3	845	9		93,89		,				
4	678	11		61.64						
5	010	"		01.00		53	- 1		53.00	
6	905	16		56.56		554	16		34.62	
	4523	88	51.40	311.71	62.34		55	1 1 5 00	138,01	7.00
	4920	00	31.40	411.71	02.34	2522	99	45.85	138.01	\$6.00
1845						1				
4	455	10		45.50		307	7		43.86	
2	163	4		40.75		123	3	Į.	41.00	
3	55	- 4		55,00		1			!	
4	597	×		74.62						
	1270	23	55.22	245.87	33.97	430	10	43.00	84.86	42.4
1849										
4	1830	35		52.29		945	29		32.59	
2	27	- 4		27.00		33	4	ì	31.00	
3	44	- 4		44.00				1		
4	626	44		56.94		225	5		45.00	
5	574	9		63.78		59	2		29,50	
	3098	57	54.35	240.98	48.20	1260	37	34.05	138.09	34.5
1852										
4	89	4		89.00			1			
2	1900	4.3		44.19		l		1		
3	494	12		40,92						
4	573	- 11		52.09				1		
5	1429	25		57.16				1		
6	1724	29		59.52		!			1	
7	702	10		70.20		1		ł		
8	217	4		54.25				1		
9	280	7		40.00		1				
10	310	7		44.29						
11	539	10		53,90		1				
12	365	7		52.11						
45	788	16		49.25				,	1 3	
16	85	2		42.50						

Beob-		1	Eintri	itto			1	Lustri	tte	
achter	$\Sigma V$	п	1/2	E <sub>4</sub>	$V_3$	24	n	V ,	Ψ,	V <sub>3</sub>
1856			1						Ī	
4	472"	8		59,"00		181"	5		36,720	İ
9	397	8		49.62		187	3		62.33	
5	\$35	10		\$3.50		64	2		32.00	
7	1240	23		53.94		670	17		39.44	
8	1094	26		42.08		434	13		33.45	
9	4748	6.4		12.63		1006	23		43.74	
10	265	- \$		66.25						
1858	5661	120	\$7.709	356.99	54.700	2539	63	40.30	246.83	41.11
						438				
1	169	3		56.33			2		69.00	
9	243	3		84.00		56	1		56.00	
3 4	433 89	9		44.33		40 80	9		40.00	i
5	68	2		34.00		59	1		\$0.00 52.00	
6	166	3	l	55.33		139	3		46.33	1
7	39	1		39.00		133	,		40.55	
8	253	5		50,60		215	5		43.00	
9	244	6		40.47		212	ı,		53.00	
10	64	1	i	64.00		70	l i		70.00	
11	200	3		66.67		40	l i		40.00	
12	138	2		69.00		56	1		56,00	
13	144	3		\$8.00		127	3		42.33	
1.4	84	2		42.00		196	5		39.20	
15	176	3		58,67		107	2		53.50	
46	144	2		70,50		183	3		64.00	
17	747	44		67.94		147	10		14.70	
	3095	55	56.27	932.04	54.82	1858	45	41.29	776.06	48.50
1860	1810	37		48.92		3127	64		48.86	
9	746	16	1	46,62		312/			10.00	
š.	221	5		44.20				1		
5	288	5	1	57.60		230	5		46.00	1
6	149	3		49.67		146	3	1	48.67	
7	825	44		58,93		827	45		55.43	
	1039	80	50.49	305.94	50.99	4330	87	19.77	198.66	19.66
1863									1	
4	54	2		27.00						
9	95	2	ĺ	47.50		82	2		44.00	
3	534	-41		48.55		37	- 4		37.00	1
- A	734	12		60.92		327	8		40.88	1
5	98	2		49.00		35	- 1		35.00	1
6	1450	38		38.46		1771	38		46.64	
1867	2962	67	44.24	271.13	45.49	2252	50	45.04	200.49	40.10
1867	99	١,		22.00						
	50	Hi		50.00				1	1	
2	2762	57		48.46		2703	52	1	54,98	
4	849	10		84.90		314	5	1	62.80	
5	15	10	1	45,00		311	1 0		02.00	

Beob-		I	Eintr	itte			- 1	ustri	tto	
achter	$\Sigma V$	n	$V_{\mathfrak{g}}$	V,	$V_3$	$\Sigma V$	п	$V_{1}$	$V_{i}$	V,
6	222"	5		44.40						$\overline{}$
7	339	7		48.43		276"	- 8		34.50	
8	488	6		81.33		432	6		72.00	
9	285	4	1	71.25		290	- 8		36.25	
10	528	9		58.67		365	9		40,56	
1876	5590	101	55.35	554.44	55.44	4380	88	49.77	298.09	49768
4	1234	26		47.46		1206	26		46.38	
2	354	7	1	50.57		276			69.00	
3	362	6		60,33		436	2		68.00	ı
4	378	7		54.00		223	. 4		55.75	
5	524	9		58.22		279	5		55.80	
6	284	6		47.33		38	- 1		38.00	1
7	344	7	1	48.74		259	4		64.75	1
8	156	3		52.00		870	12		72.50	1
9	133	3		44.33		255	5		51.00	
10	543	12		45.25		528	10		52.80	
18771	4309	86	50.10	508.20	50.82	4070	73	55.75	573.98	57.40
4	1117	23		51.47		44	4		44.00	
2	3044	61		49,44		2566	56		45.82	1
3	25	4		25,00		23	- 4		23.00	
4		1				160	2		80.00	1
5						102	9		54.00	1
6		1		l .		132	3		44.00	i
7				1		474	10		47.40	1
8	53	- 1		53.00		53	- 1	1	53.00	1
9	947	18	)	50.94		4676	37	l	39.89	1
10	454	10		45.10		255	7		36.43	1
44	285	6		47.50		374	6		62.33	1
12	292	8		36.50		289	6		48.47	
877 11	6244	128	48.55	358.62	44.83	5943	132	45.02	574.74	47.89
4	2748	60		45.30		2768	66		41.94	
2	588	4.6		\$2.00						
3	795	18		44.47						i
4	622	9		69.44		162	6		27.00	1
5	465	8		58.42		452	44		44.09	1
6	568	8		71.00		242	9		26.89	1
7	342	7		44.57		434	3		43.67	1
8	27	4	1	27.00		33	- 1		33.00	1
9	349	6		53.47		68	2		34.00	1
40	394	10	L	39.40		220	6		36.67	_
1878	6808	141	48,28	493.84	49.38	4076	104	39.49	284.26	35.5
1010	2225	42	)	52.98		1472	38		38.74	
2	339	6	Į.	56.50		166	3		55,33	1
3	334	6	1	55.67		160	3		53,33	
4	274	5	1	54.20		125	2		62.50	
5		, ,	1	04.20		30	i		30.00	1

Beob-		ı	Sintri	tte	1		1	ustri	tte	
achter	ΣV	n	$V_q$	$V_i$	V <sub>3</sub>	ΣV	n	V <sub>a</sub>	V.	V,
6	86"	2	-	43,00						
9	1205	47		70.88	i i	549"	9		57.67	1
10						103	9		54.50	
44	1264	24		52.67		676	44		48.29	ĺ
12	1506	27		55.78		1014	25		40.56	
	7230	129	56,705	441.68	55.24	4265	97	43.97	437.92	48.66
1887								ļ		i
- 4	127	2		63.50						į .
2	57	- 4		57.00		1		l	l l	
3	49	- 1		49.00						l.
- 4	143	4		35.60						ţ
5	95	2		47.50		104	2		52.00	
6	494	3		63.67		114	2	ì	57.00	
7	270	5		54.00		253	5		50.60	
8	262	- 6		65.50		222	- 6	1	55.50	
9	344	7		48.74		322	7		46.00	
	1535	29	52.93	484.48	53.83	1015	20	50.75	261.10	52.25
1888										
- 11						52	1		52.00	1
9	72	- 1		72.00		77	- 1		77.00	1
3						432	2		66.00	[
4				10.00		564	.7		80.57	1
5	1222	25		48.88		758	4.5		54.44	
6	96	2		48.00		6.5	1		44.00	1
7	54	- 1		51.00		35	4		35.00	
8	0.0					343	7		49.00	
9	343 28	7		19.00 28.00		123	4		30.75	
10	28	1		28.00		26			26.00	
11	74	١.		74.00		45	4		15.00	
43	35	1		35.00		10	1		15.00	
	77	1 ;		77.00						
14	37	1 ;		37.00						
15	2032	61	49.56	546.88	51.69	2469	40	54.22	599.46	48.43
1889	2032	1 *1	*9.00	010.00	91.69	4109	*0	34.22	023.46	*0.10
1	1681	35		48.03						
2	1887	34		60.87		899	45	į.	59.93	
3	987	24		47.00		254	6		42.33	
	4555	87	10 20	155,90	K4 07		21	E 4 00	102.26	K . 15

Lassen wir dagegen die Unterscheidung zwischen Ein- und Austritten fallen, bezeichnen also mit  $\mathcal{L}V$  die Summe aller V der Finsterniss etc., so erhalten wir die folgenden Zahlen:

Ein- und Austritte												
Finsterniss	2.6	н	F.,	1,	Finsterniss	$\Sigma V$	n	1,	_ V <sub>3</sub>			
1802	3728"	65	57.35	44.96	1819	4358"	94	46.36	42"1			
1805	831	17	48.88	51.23	4852	9492	184	51.59	53.53			
1806	5879	410	53.45	50.43	1856	8190	183	44.75	46.43			
1809	3243	57	56.89	34.60	1858	4953	100	49.53	51.70			
1811	2542	42	60.52	56.88	1860	8369	167	50.44	50.4			
1813	1657	28	59.48	59,00	1863	5214	117	44.56	42.8			
1816 1	455	- 8	56.88	56,88	1867	9970	189	52.75	53.2			
4846 II	4404	92	47.87	48.47	1876	8379	159	52.70	54.4			
1818	2590	38	68.46	55.76	1877 1	12157	260	46.76	46.6			
1841	3802	74	54.38	54.56	1877 tl	10884	245	44.42	43.2			
1842	4551	86	52,92	54.56	1878	11495	226	50.86	51.7			
1844 1	21513	122	50,98	52.12	1887	2550	49	52.04	53.2			
1814 11	7045	143	49.27	56.22	1888	4201	81	51.86	49.8			
1845	1700	33	51.52	50.12	1889	5708	108	52.85	54.6			

47.

Wie man in der letzten Tafel sieht, stimmen namentlich bei den neueren Finsternissen V, und V, immer äusserst nahe überein; die grösste überhaupt vorkommende Differenz ist 12"40 (1818), seit 1850 bleibt sie stets kleiner als 21". Diese gute Uebereinstimmung darf uns nun aber nicht verleiten, etwa anzunehmen, die scheinbare Grösse des Schattenhalbmessers sei für diese letzteren Finsternisse auf 4" bis 2" sicher bestimmt; dieselbe besagt nur, dass aus den hier benutzten Beobachtungen, wie man letztere auch immer behandeln möge, stets wieder Mittelwerthe  $V_n$  folgen werden, welche sich von unseren V, kaum mehr als 2" unterscheiden können. Sollten jedoch für eine dieser Finsternisse noch neue Reihen von Beobachtungen aufgefunden werden, oder wollte man von den hier benutzten Beobachtungen noch eine oder die andere Reihe fortlassen, so wurden sich dadurch V, und V, leicht noch um mehr als 3", gelegentlich vielleicht bis zu 10" ändern können. Ueberhaupt lehrt eine aufmerksame Vergleichung der Werthe von V, und V, dass sich alle Schwankungen, welche die Werthe von V, noch zeigen, hinreichend durch das rein zufällige Zusammenwirken verschiedener Beobachter erklären. Am deutlichsten zeigt sich dies in der am Schluss beigefügten schematischen Darstellung. Jeder Finsterniss entspricht eine der senkrechten Linien und auf letzteren ist der Werth von V, durch einen Punkt markirt, während die

kurzen borizontalen Striche den grössten und kleinsten Werth von F, darstellen, Bei der Finstensies 1816 I wurden diese Striche fortgelassen, weil sie beide zusammenfallen würden, da die Beobachtungen nur von einem einzigen Beobachter herruhren. Die Erklärung der Kreuze × folgt im nächsten Paragraphen.

Zunächst erkennt man auf den ersten Blick einen wesentlichen Unterschied zwischen den Finsternissen vor und nach der Linie A: es sind erstens die Schwankungen von V, in dem Zeitraume vor A mehr als doppelt so gross, als in der noch dazu längeren Zeit nach A, und zweitens ist V, im Durchsehnitt vor A beträchtlich grösser, als nachher; in den beiden Zeiträumen einzeln genommen verräth sich dagegen durchans keine der Zeit proportionale Aenderung von V. Auch die beiden als unbrauchbar verworfenen Finsternisse gehören der Zeit vor A an, Dieser grosse Untersehied wird uns sofort begreiflich, wenn wir bedenken, dass bis 4824 die einzige brauehbare Mondkarte eine kleine Karte von aeht Zoll Durehmesser war, welche auf Tobias Mayer's Beobachtungen beruhte. Da diese Karte natürlich vieler Details ermangelte, so mussten nothwendiger Weise zu jener Zeit Verwechslungen der versehiedenen Formationen sehr häufig vorkommen. 1824 erschienen die ersten Blätter von Lohrmann's »Topographie der sichtbaren Mondoberfläche«, 1838 dessen ansgezeichnete kleinere Karte (151/4 Zoll Durchmesser) und 4837 die grosse Mondkarte von Bren und Mädler.

Ein weiterer Grund für die geringe Uebereinstinnung der Werte von V, in der ersten Periode, welcher gleichzeitig auch den grösseren Betrag von V, erklart, liegt darin, dass die Beobachter damals durchselmittlich viel schwächere Fernröhre henutzt haben. Fast überall wird inan die Regel bestätigt finden, dass geußbere Beobachter und bessere Instrumente einen kleineren Werth für V ergeben. So schreibt auch Oppolizus in seinen Syzygien-Tafeln pag. 31: »Die Grössen der Finssternisse werden alle recht gut dargestellt, wenn man für die ülteren Finssternisse ine Vergrösserung des Erdschattens um  $\frac{1}{12}$  (d. h. um 3') einführt.« Jedenfalls ist es klar, dass wir, um zu möglichst brauebbaren Resullaten zu gelangen, die beiden Perioden einzeln behandeln müssen.

Bei den 19 Finsternissen seit 1841 ist der grösste Werth von V. 52"92 (1842), der kleinste 14". 12 (1877 II), also die Differenz

heider nur 8.50. Der ohere Grenzwerth der V, hat (in derselben Zeit) seinen kleinsten Betrag 58".93 bei der Finsterniss von 1860 und zufälliger Weise erreicht bei derselben Finsterniss auch die untere Grenze ihren grössten Werth 44"20. Ziehen wir demnach im ohigen Schema durch die letzteren beiden Grenzwerthe horizontale Linien, so liegen sämmtliche V. zwischen diesen parallelen Geraden, während bei jeder Finsterniss mindestens noch ein V, oberhalb (oder wenigstens auf) der oberen Linie und mindestens ein V, unterhalb der unteren liegt. Alle 19 Werthe der V. liegen also bei jeder Finsterniss der zweiten Periode innerhalb des Gehietes, auf welchem sich die persönliche Auffassung der einzelnen Beohachter bewegt oder mit anderen Worten: jedes V, hätte ebenso gut bei jeder anderen Finsterniss beobachtet werden können, ja, ihm gleiche Werthe von V sind sogar sicher beohachtet worden. Ein gleiches Gesetz gilt, wie man sieht, für die erste Periode; beide Grenzen liegen aber hier etwas höher. Nur die äusserst unsicher beobachtete Finsterniss vom Jahre 1818 fügt sich dieser Regel nicht.

Den geringen Schwankungen der V, ist demnach, soviel sich aus unserem Beohachtungsmaterial schliessen lüsst, keine reelle Bedeutung beizulegen. Wie wir oben für jeden Beohachter einen subjectiven Theil a in dem Werthe von V annehmen mussten, so brauchen wir also nun nicht etwa noch ein Glied c einzuführen, welches sich von Finsterniss zu Finsterniss findert, sondern wir durfen V, für alle Finsternisse constant nehmen.

## 48.

Wahrend die Resultate der Beohachtungen also zu der Annahme fuhren, dass V<sub>s</sub> für alle Finsternisse constant bleiht, können gewisse theoretische Betrachtungen doch noch ein variabeles Glied darin vermuthen lassen. Nehmen wir zunächst an, die Vergrösserung des Schattens, welche wir von der Erde aus unter dem Winkel V beohachten, hätte linear gemessen immer einen und denselhen Betrag, so ist es klar, dass uns diese Strecke um so grösser erscheinen wird, je näher uns der Mond kommt, auf welchem dieselhe sich projeitri; hiernach würde also nicht V<sub>s</sub> selhst, sondern erst das Product ze V<sub>s</sub> eine Constante sein, wo n<sub>s</sub> die mittlere und π die

hei der betreffenden Finsterniss vorhandene Mondparallaxe ist. Zu ganz demselhen Resultate gelangen wir auch durch folgende Schlussweise. Nehmen wir, wie es vielfach geschehen ist, an, die Vergrösserung des Erdschattens würde lediglich durch den Schatten der Erdatmosphäre verursacht, so hätten wir den Erdradius um eine constante Grösse, die Höhe der Atmosphäre, zu vermehren, um mit diesem sodann nach der Formel  $\omega = H + \pi - H$  den theoretischen Werth von  $\omega$  zu herechnen. Der Sonnenardius H wird durch eine Vergrösserung des Halbmessers a der Erde offenhar nicht geändert, wohl aber H und  $\pi_1$  die Veränderung der Sonnenparallaxe H wird können wir veranchlässigen, das sien ur  $\pi_1^*$  derpieigen von  $\pi$  heträgt. Ist r die Entfernung des Mondes von der Erde, so ist (schr nabe)

 $\pi = \frac{a}{r}$ , also

constant sein kann.

$$\Delta \omega = \Delta \pi = \frac{\Delta a}{r} = \frac{\Delta a}{a} \pi$$

$$\frac{\Delta \omega}{\sigma} = \frac{V_a}{\sigma} = \frac{\Delta a}{a}.$$

oder

Also auch diese Annahme führt dahin, dass 
$$\frac{V_0}{\pi}$$
 eine Constante sein sollte. Aus der letzten Formel ergieht sich gleichzeitig die einfache Bedeutung des Quotienten  $\frac{V_0}{\pi}$ : er giebt die Höhe der gedachten schattenwerfenden Atmosphäre in Theilen des Erdhalbmessers an. Für die Finsternissrechnungen ist es jedenfalls anschaulicher, diese Zahl noch mit  $\pi_e$  zu multipliciren;  $\frac{n_0}{\pi}V_e$  ist dann die Vergrösserung des Erdschattens bei mittlerer Entfernung des Mondes. Für die Berechnung des in der Einleitung mehrfach erwähnten Vergrösserungsfacters  $\frac{V_0}{\pi}$  latst sich dagegen wohl kaum irgend eine Berechtigung nennen, da derselbe auch nach der Theorie nicht

Jedoch ist auch die ehen aufgestellte Reduction auf mittlere Bernard von der die Gescheidung des Erdschaftens nicht allein durch den Schatten usserer Atmosphäre, sondern es wird hauptsätehlich der Umstand eine Rolle spielen, dass der Beobachter im Allgemeinen den Schattenrand nicht dahin versetzt, wo der Rand des geometrischen Kernschattens die Mondoberfläche trifft, sondern wahrscheinlich weiter nach aussen. Ob nun dieser Theil von V, der Mondparallaxe proportional oder constant ist, lässt sich nur durch eine genauere Untersuchung feststellen.

Um zu schen, ob sich in unseren Werthen von  $V_a$  nicht vieleicht schon eine Abhängigkeit von  $\pi$  zeigt, habe ich in der schematischen Darstellung die Betrüge von  $\pi_a$ ; 60 durch Kreuze markirt. An mehreren Stellen zeigt sich allerdings ganz deutlich in gleichzeitiges Ab- und Zunehmen von  $V_a$  (1856 und 1863)  $\pi_a$  sehr gross; das Maximum (1842) und Minimum (1877II) von  $V_a$  (1856 und 1863)  $\pi_a$  sehr gross; das Maximum (1842) und Minimum (1877III) von  $V_a$  (1816 dagege wieder recht gut mit sehr grossen und sehr kleinen Werthen von  $\pi_a$  zusammen. Zufälliger Weise erscheint in der Periode vor 1824 die Abhängigkeit von  $\pi$  fast noch deutlicher ausgeprügt, als bei den viel genaueren Zuhlen der zweiten Periode.

## 49.

Nach diesen Bemerkungen k\u00f6nnen wir endlich dazu \u00e4bergeben, aus den Beobachtungen aller Finsternisse einen Mittelwerth von V abzuleiten. Wir werden diese Mittelbildung bei den beiden Perioden vor und nach 1824 getrennt vornehmen, da nur der Mittelwerth der zweiten Periode der jetzigen Genauigkeit der Beobachtungen und Instrumente entsprechen wird.

Um die Frage nach der Constanz von  $V_*$  oder von  $\frac{V_0}{\pi}$  noch offen zu hassen, führen wir die Mittelbildung einmal direct mit den oben gefundenen Werthen der  $V_*$  aus, sodann aber auch noch, nachdem wir jedes  $V_*$  durch Mulpiteation nit  $\frac{\pi_0}{\pi_0}$  auf mittlere Entfernung des Mondes reducirt haben. Als  $\pi_*$  haben wir immer den Ilassas'schen Werth 577 2'.06 anzunehmen.

Um endlich noch zu zeigen, welchen Einfluss eine möglichst verschiedensrüge Vertheilung der Gewichte auf den resultirenden Mittehverth noch haben kann, berechnen wir für letzteren zwei Werthe  $V_i$  und  $V_g$  genau analog der früheren Berechnung von  $V_g$  und  $V_g$ , ist somit das arithmetische Mittel aller einzelnen V

$$V_4 = \frac{\sum V}{n}$$

und V, das arithmetische Mittel aller V,

$$V_s = \frac{\Sigma V_s}{n_s}$$
.

Aus unseren früheren Betrachtungen geht hervor, dass auch hier  $V_{\star}$  als der sicherste Mittelwerth anzunehmen ist.

Zur Vergleichung setze ich in die folgende Tabelle auch noch die Werthe von  $V_{\rm s}$ 

				E i n -	u n	d Au	stritte		
Finster	niss	3	Nicht a	uf no redu	eirt		Auf :	o reducirl	
		$\Sigma V$	n	$\Sigma V_i$	$n_{\rm t}$	$V_{\pi}$	$\Sigma V$	$\Sigma V_{i}$	$V_{\rm g}$
L Periode.	1802	3728	65	629747	11	57.35	3468.0	585,57	53,35
	1805	831	47	204.94	4	18,88	875.4	245.78	
	4806	5879	110.	958,24	49	53.45	5454.8	889,09	49.59
	1809	3243	57	382.47	7	56.89	3031.5	357.25	53.48
	1811	2512	4.2	682,62	12	60,52	2360.4	633.86	56,20
	1843	1657	28	472,02	8	59.48	1660.0	472.88	59.29
	18161	455	8	56.88	- 4	56.88	448.3	56,03	56.03
	181611	\$404	92	529.84	4.1	17.87	4514,4	542.73	49,03
	1848	2590	38	724.94	13	68.46	2442.3	683,60	64.27
		25329	157	4611.09	89		21251.5	4436.79	
		$V_4 = 55$	42,	$V_s = 52$ .	15,	F	= 53.07	$V_s = 4$	19.85 ;
II. Periode.		3802		545,63		51.38			
	1842	4551	86	381.94		52.92	4226.6	354.72	
	18441	24543	122	2032.65		50.98		1893.68	
	1844 II		143	449.72		49.27		474.99	
	1845	1700	33	300.73	6	51.52	4739,6	307.71	52.72
	1819	4358	94	379.07		46.36	4374.1	380.21	
	1852	9492	184	749.11		54.59	9256.3	730.80	
	4856	8190	183	603.82		44.75	7603.6	560.58	
	1858	1953	100	1708.07		19.53	4887.0	4685.30	
	1860	8169	167	504.60	10	50.41	7778.2	468,98	\$6,57
	1863	5211	447	\$71.62		14.56		443.26	41.88
	4867	9970	189	852,53		52.75		862.43	53,36
	1876	8379	159	1082.18	20	52.70	8599.5	1110.66	54.09
	18771	12157	260	933,36	20	46.76	41405.6	875.67	13,87
	1877 11	10884	245	778.10	18	44.42	14497.7	821.97	16.92
	1878	11495	226	879,60				913.05	52.79
	1887	2550	49	745,58	44	52.04	2644.3	764.38	53.35
	1888	4201	81	1046.34		31.86		1025,68	50.84
	1889	5708	108	258.16		52.85	5902.3	266,95	54.65
		144531	2920	14703.14	294		144980.4	14454.72	

Wie wir am Schlusse noch sehen werden, ist es jedenfalls richtiger, die Reduction auf  $\pi_{\bullet}$  vorzunehmen. Als sichersten Werth von V haben wir daher anzunehmen:

Vergrösserung des Schattenhalbmessers bei mittlerer Mondparallaxe  $V_* = 45^\circ.62^\circ.$ 

Bevor Genaueres über die Veränderlichkeit von V ermittelt ist, hat man also für jede Finsterniss den speciellen Werth von V zu berechnen nach der Formel

 $V = 48.62 \frac{\pi}{\pi_0}$ 

oder

$$V = 0.01421 \pi = \frac{4}{70.38} \pi$$
.

Der genaue Logarithmus von 0.01421.. ist 8.15256. Zur Bildung dieses Mittelwerthes sind 2920 Beobachtungen benutzt.

#### 50.

Zum Schluss will ich noch auf einige Nebenumstände aufmerksam machen, welche vielleicht nicht gauz ohne Bedeutung sind. Zumächst ist es auffällig, dass bei den Mittelbildungen die Eintritte überall größere Werthe von V ergeben, als die Austritte. So findet man aus den Seite 526—531 gegebenen Werthen von  $\Sigma V$  folgende Werthe von  $V_{\bullet}$  (nicht auf  $\pi_{e}$  reducirt):

für	die	Eintritte	59".19	50.93
für	die	Austritte	49.30	47.46.

Periode I Periode II

Zu demselben Resultate führt eine Vergleichung der einzelnen V.

bei Ein- und Austritten: ein Blick auf die zuletzt genannte Zusammenstellung zeigt, dass bei den Finsternissen von 1802, 1803, 1811,
1818, 1818, 1860 und 1889 allen Beobachtern, sofern sie übernupt beides bedachtet haben, bei den Eintritten V grösser
erschienen ist, als bei den Austritten; das Umgekehrte ist bei keiner
einzigen Finsterniss der Fall. Ferner ist aur bei 7 Finsternissen
(181611, 42, 441, 63, 76, 88, 89) V, für die Austritte grösser, als
für die Eintritte. 1eh will hier aus dieser Erscheinung keine weiteren Schlüsse ziehen, da für diesen Zweck erst noch die Resultate
der mikrometrischen und photographischen Messungen abzuwarten

539

sein dürften. Vorläufig kann man die in Rede stehende Differenz sehr gut durch einen systematischen Beobachtungsfehler erklären: man hraucht nur anzunebmen, dass im Durchschnitt die Beobachter geneigt sind, die Zeiten der Contacte etwas zu früh zu schätzen. Dieser merkwürdige Umstand musste den früheren Rechnern, welche die Manarysche Sehnenmethode benutzten, nothwendig entgehen.

Dass in der That bei diesen Antrittsbeobachtungen systematische Fehler von grossem Betrage durch eigenthümliche optische Vorgänge hervorgerufen werden, zeigt sich noch deutlicher an einer zweiten Erscheinung: dem scheinharen Kleinerwerden des Schattens mit zunehmender Verfinsterung des Mondes und seinem Wiederanwachsen bei abnehmender Verfinsterung. Man kann diesen sonderbaren Vorgang fast in allen besseren Reihen von Beobachtungen mit geringerer oder grösserer Deutlichkeit erkennen. In kleineren und unsicheren Reihen wird er durch die zufälligen Beobachtungsfehler verdeckt. In Folge dieser Erscheinung häufen sich um die Mitte der Finsterniss die negativen Werthe von R zusammen, während zu Anfang und Ende positive Vorzeichen vorberrschen. Nur die Beobachtungen am Mondrande selhst nehmen gewöhnlich wieder eine Ausnahmestellung ein. Als Beispiele betrachte man die Reihen 4806, 6; 4809, 2; 4816H, 5; 4844, 3; 48441, 9, 42, 43, 45, 46, 47, 20; 1814 II, 1, 6 und zahlreiche andere. Auch für die Erklärung dieser Erscheinung dürfte die Discussion der photographischen Aufnahmen entscheidend sein.

Man sieht, dass der zuletzt besprochene Vorgang am Anfange und am Ende der Finsternisse Fehler von etwa + 20", in der Mitte von - 20" hervorbringt. Von demselben Betrage ist durchschnittlich der Unterschied zwischen den einzelnen V, der Eintritte und der Austritte eines und desselben Beobachters, und von derselben Ordnung sind endlich die Abweichungen der verschiedenen Beobachter von einander. Aus alledem geht hervor, dass diese Contactbeohachtungen durch eine solche Menge persönlicher, zum Theil sogar systematischer Auffassungsfehler entstellt sind, dass es nicht rathsam erscheint, auf Grund derselben noch nach feineren Gesetzen in der Form des Schattens zu suchen. Es ware z. B. jetzt ein Leichtes, die Werthe der V nach dem Winkel z zu ordnen; man würde hierdurch die interessante Frage beantworten können, ob die

Abplatung der Atmosphäre eine andere ist, als die der festen Erde. Ferner könnte nian durch eine andere Ordnung der V den Einfluss zu bestimmen suchen, welchen die grösseren Meere und Continente auf die Höhe des Schattens haben, sobald sie den schattenwerfenden Rand der Erde bilden. Zu diesen beiden Zwecken habe ich die Winkel  $\chi$  oben mit angegeben. Ordnet man ferner unsere auf  $\pi_i$  reducirten  $V_i$  nach der Grösse der Finsternisse, so zeigt sich zienlich deutlich das Gesetz, dass die totalen Finsternisse kleinere Werthe von V ergeben, als die partiellen. Doch ich glaube, dass auf alle so zu findenden Regeln nur ein sehr geringer Werth zu legen ist, solange sich dieselben allein auf die Antrittsbeobachtungen gründen.

Die sicherste Grundlage für diese feineren Untersuchungen werden ohne Zweifel photographische Aufnahmen des verfinsterten Mondes bilden, da man auch hei mikrometrischen Messungen vor systematischen Beoluschtungsfehlern, wie Ermidung des Beohachters der Schwankungen in der Durchsichtigkeit der Luft, durchaus nicht geschützt ist. Es ist ein neuer und nicht gering zu sehttzender Vorzug der Himmelsphotographie, dass uns dieselhe ermöglicht, Erscheinungen, welche sich schneller verändern, und die man früher nur durch successive Messungen in ihren einzelnen Theilen beobachten konnte, jetzt in allen ihren Theilen gleichzeitig, also unter ganz gleichen Boubachtungsverhaltlinissen auf der photographischen Platte festzuhalten. Namentlich wird sich die äussere Form der Atmosphäre, welche ja ziemlich den interessantesten Theil dieser Untersuchungen ausmacht, aus photographischen Aufnahmen lassen.

Wollte man nur nach der Grösse ihres wahrscheinlichen Fehlers die Zuverlässigkeit der Beobachtungen beurtheilen, so dürfte man allerdings schon mehrere Reihen der Contactbeobachtungen für sicher genug halten, um weitere Schlüsse daraus zu ziehen. Lassen wir Reihen von weniger als 5 Beobachtungen, bei denen die Bestimmung des w. F. gar zu unsicher ist, ausser Acht, so ist die beste Reihe die Gruppe von acht Beobachtungen von Gassa 1816 II mit einem w. F. einer Beobachtung von nur 3:83; sodann folgen mehrere Reihen von Schwur, welche zugleich zahlreichere Beobachtungen umfassen, 1819 35 Eintritte mit dem w. F. 4:48, dann 1878 38 Austritte mit dem w. F. 4:50 u. s. w. Diese Zahlen repräsentiren die grösste Genauigkeit, welche bei den Antrittsbeobachtungen bis

jetzt von dem geübtesten und eifrigsten Beobachter erreicht worden sit. Etwas kleiner würden diese w. F. noch ausfallen, wenn die selenographischen Positionen der beobachteten Punkte genauer bekannt wären und wenn man die Abnahme des Schattendurchmessers nach der Mitte der Finsterniss zu in Rechnung Prächtle.

Absichtlich habe ich die Berechnung der w. F. von V., V. und V, vermieden, da dicselbe nur ein falsches Vertrauen auf die Zuverlässigkeit dieser Zahlen hervorrufen und nicht einmal einer so klaren Deutung fähig sein würde, wie die zum Ersatze dafür ausgeführte Berechnung von V, und V. Doch auch diese Zahlen dürfen uns nicht irre leiten. Allerdings wird es nicht möglich sein, nur durch eine zulässige andere Gewichtsvertheilung aus den hier benutzten Beobachtungen einen Werth von V abzulciten, welcher von 48"62 um mehr als eine Secunde verschieden wäre. Ein anderes Beobachtungsmaterial wird jedoch immer noch eine Veränderung von V, um etwa höchstens 3" bewirken können. So geben z. B. die 948 Beobachtungen von Schmidt allein V, == 46"44 (nicht auf π reducirt) und zu fast demselben Werthe führen die 430 Beobachtungen Madler's. Dieses ist auch der sicherste Beweis für die oben erwähnte Regel, dass geübtere Beobachter den Schatten kleiner zu schätzen pflegen. Auf alle Fälle zu klein ist der Mittelwerth  $\frac{4}{\kappa \kappa}$  t), welchen Brosinsky für den Vergrösserungsfactor findet; diese Zahl würde V= 44"9 ergeben. Noch unzulässiger endlich wird die fernere Benutzung von Mayer's  $\frac{4}{60}$  sein.

Wir durfen jedenfalls annehmen, dass für die Vorausberechnung der Mond finsternisse der Werth von V mit gentgeader Schärfe hestimmt ist. Für Durchschnittsbeobachter kann man den abgerundeten Werth 197° annehmen und wird sich gowiss dann am wenigsten von der Wahrheit entfernen; sehr gute Beohachter können noch etwa 3° tiefer in den Schatten eindringen. Dass wir über die Form unserer Atmosphäre aus den Contactbeobachtungen keine Schlüsse ziehen durfen, wurde bereits gesagt. Doch wir sind vorläufig auch noch weit entfernt, aus V, die Höhe der Atmosphäre

<sup>1)</sup> V<sub>0</sub> == 48"62 würde den Vergrösserungsfactor 4 ergeben.

berechnen zu können. Für die Höhe der in § 48 mehrfach erwähnten gedachten schattenwerfenden Atmosphäre ergiebt sich  $\frac{4}{76.38}$  des Erdhalbmessers, d. i. 90.6 kilometer. Eine reelle Bedeutung hat diese Zahl jedoch vorläuße nicht.

Um aus den Finsternissbeobachtungen einen Rucksebluss auf die Entstehung der Atmosphäre zu ermöglichen, wird zunächst die Entstehung der scheinbaren Schattengrenze einer genaueren theoretischen und experimentellen Untersuchung zu unterziehen sein. Zunächst untersuche man experimentelle als Halbschattenphänomen unter Beiseticlassung der Refraction in möglichst einfachen geometrischen Verhältissen. Alsdann suche man auf Grund der Refractionsformeln sowie der experimentell untersuchten absorbirenden Wirkung der Luft die Vertheilung des Lichtes zu berechnen, welche durch die Brechung in der Atmosphäre noch über dem Schatten entsteht. In dieser Rechnung werden dann irgend welche von der Höhe und Schichtung der Atmosphäre sohie untersuchen siehen wird untersichen Beträge dieser Glieder vorkommen; hat man dann die numerischen Beträge dieser Glieder aus den Beobachtungen bestimmt, so wird man daraus rückwärts auf die Form der Atmosphäre schliesen Konnen.

Nehmen wir an, dass die geringe Menge des durch die Refraction über den ganzen Mond verbreiteten Lichtes die Lage der Schattengrenze nicht wesentlich ändere, so besteht die ganze Wirkung der Atmosphäre darin, dass sie den Radius der schattenwerfenden Erde um einen kleinen Betrag vergrössert, ist also von der Form, welche die Reduction von V auf mittlere Mondparallaxe verlangt. Die oben besprochenen Experimente müssen nun sicher ergeben, dass man einen und denselben Kernschatten durchschnittlich linear um einen constanten Betrag zu gross schätzt. Da nun die Helligkeitsvertheilung in der Nähe der geometrischen Schattengrenze mit wechselnder Mondparallaxe kaum merklich schwanken kann, so wird auch dieser zweite Theil von V, da er auf dem Monde linear stets von gleicher Grösse ist, nach § 48 die Reduction auf  $\pi_a$  erfordern. Wie aus diesen Betrachtungen hervorgeht, ist also wenigstens vorläufig die Reduction der beobachteten Werthe von V auf mittlere Mondparallaxe das correctere Verfahren.

Ostern 1891.

Tafel I. Libration.

		l s	2	- 1					P.P. für
B' 1 II E' C	++	+ -	+ + + -	+ - + + +	В'	ł D'	E'	c	l — Ω 4.′875 5.625 9.375
_	00	180°	180°	360°	0,'0	37	0.'0	1932/1	13.125
	4	179	181	359	1.6	37	0,0	1 32.1	16,870
	2	178	182	358	3.2	37	0.0	4 32.4	20.020
	3	177	183	357	1.8	37	0,0	4 32.0	24.370
	1 4	176	184	356	6, 8	37	0.4	1 31,9	28.120
	5	175	185	355	8.0	37	0.4	1.31.8	34,879
	6	174	186	354	9,6	38	0.4	1 31.6	35.625
	7	173	187	353	11.2	38	0.4	4 34.5	39.375
	8	172	188	352	12.8	38	0.2	1 31.3	\$3,425
	9	174	189	354	44.5	38	0.2	4 34.0	46.875
	10	170	190	350	16.0	38	0.2	1 30.8	50.625 54.375

Tafel II. Selenographische Positionen.

Object	λ	β	Anmerkungen
Agatharchides	 -3002	- 1925	Mitte
Agrippa	+ 10.4	+ 4.1	1. Ord. Centralbg.
Albategnius	+ 4.0	- 11.6	I. Ord. Centrallig.
Alhazen	 + 70.7	+ 46.4	Mitte
Alpetragius	 - 5.3	- 16.0	II. Ord. Centralspitze
Alphons	 - 3.2	-43.0	1. Ord. Centralspitze A
Anaxagoras	- 12.5	+74.5	
Apollonius	+ 59.8	+ 4.9	Mitte
Arage	 + 21.2		II, Ord. Centrallig,
Archimed	 - 4.3	+ 29.7	Mitte
Aristarch	 - 47.2	+ 23.3	I, Ord. Centralbg.
Aristoteles	 +16.9	+ 50.2	Mitte
Atlas	 + 43.7	+ 48.1	II. Ord. Centralspitze Γ
Bessarion	 - 37.0	+ 15.0	I. Ord. Krater E
Bessel	 + 17.6	+ 21.9	I. Ord. Mitte
Billy	- 50.0		
Bescovich	 + 10.6	+ 9.1	II. Ord, helle Spitze A
Briggs	 - 67.9	+ 26.2	fl. Ord. Hauptcentralspitze
Bulliald	 - 22.1		
Byrgius 1	 - 63.5	- 24.4	l. Ord. bei Vollmond deutlich
Calippus	 + 10.1	+38,3	Mitte
Campanus	 - 27.5	- 27.6	I. Ord. Centralbg.
Canuanus	- 96.0	- 33.6	

Object		λ	β	Anmorkungon
Cardanus		-7209	+ 13%	
Cassini		+ 4.4	+ 40.4	
Cavalerius		- 67.0	+ 5.2	
Cavendish		- 52.0 + 32.5	- 23.8 - 0.4	
Censorinus Cleomed		+ 32.5		
Colombo		+ 44.6		
Copernicus		- 19.9		I. Ord. Centralbg.
Delambre		+ 17.3	- 4.8	I. Ord. Centralsp.
Dionys		+ 17.2	+ 2.8	
Diophantus		- 33.8	+ 27.4	II. Ord. Mitte
Doppelmayer		- 41.2	- 28.0	II. Ord. Centralsp. A
Eimmart		+ 65.5		
Encke		+ 54.5		
Eratosthenes		- 11.6		
Euclid		- 29.3		
Eudoxus		+ 45.7	+ 44.1	
Euler		- 28.9	+ 23.0	I. Ord. Centralbg.
Firmicus		+ 62.4	+ 8.1	
Flamsteed Fontana		- 44.2	- 4.5	
Fontana		- 56.9		
		- 56.8		
		+ 32.5		II. Ord. Centralsp. B
Galiloi				· ·
Galilei y = Reiner	r .		+ 8.2	
Gambart		- 48.8		l, Ord, Krater A
Gassendi			- 47.0	I. Ord. Centralsp. β
Gay-Lussac		- 20.4		II. Ord. Ringebene A
Gocionius		+ 44.5		
Godin				
Grimaldi Guorike C		- 67.2	- 5.5 - 41.8	
Guttenberg A .		+ 39.8		I. Ord. Mitte II. Ord. heller Krater
Hansteen		- 54.4		
Harpalus		- 43,6	+ 52.5	I, Ord. Centralbg.
Helikon		- 22.9		
Hell		- 8.3		I. Ord. Centralsp.
Horaclid (Cap)				
Hercules			+ 46.4	
Herodot		- 49.3		
Horschel				
Hesiod Hesiod B		- 16.0		Mitte I. Ord. einzelner Krator
Hippareh		+ 5,0		
Isidor und Capella		+ 34.5	- 7.5	
Jansen			+ 13.6	

Object	λ	ß	Anmerkungen
Kant	+ 2001	- 1098	II. Ord. Centralsp.
Kepler	- 37.7	+ 7.9	I. Ord. Mitte
Kraft	- 72.1	+ 16.8	Mitte
Kruger	- 66.7	- 46.8	1. Ord. Mitte
Lagrange	- 67.7	-31.6	II. Ord, Krater A
Lahire (isol. Berg)	- 25.2	+ 27.3	I, Ord, Mitte
Lambert	- 20.8	+ 25.4	II. Ord. Centralsp.
Lambert F	- 17.6	+ 25.9	II. Ord.
Landsberg	-26.5	- 0.5	1. Ord. Centralsp.
Langrenus	+ 60.6	- 8.4	I. Ord. Centralsp. B
Lapeyrouse	+ 73.9	- 9.4	1. Ord.
Laplace	- 26.6	+ 43.3	I. Ord. Krater A
Lemonnior	+ 29.1	+ 26.0	I. Ord. Spitze A
Lichtenberg	- 67.1	+34.4	I. Ord. Mitte
Linné	+ 11.5	+ 27.8	I. Ord.
Lohrmann	- 66.8	- 0.1	Mitte
ongomontanus	~ 20.9	- 49.7	Mitte, sehr unsicher
ubieniezky	- 23.5	- 17.5	II. Ord. Mitte
faerobius	+ 45.4	+ 20.7	Mitte
Madler = Theophilus . /.	+ 29.6	- 44.0	H. Ord. Centralsp.
Maginus	- 7.1	- 50.0	I. Ord. Centralsp. A
Manilius	+ 8.8	+ 16.6	I. Ord. Centralbg.
Marius	- 50.0	+ 12.0	I. Ord. Mitte
fayer	- 28.8	+ 45.5	I. Ord. Centralbg.
denelaus	+ 15.5	+ 46.4	I. Ord, Contralbg.
Mercator	- 25.3	- 29.1	Mitte
Mersonius	- 47.9	- 20.8	Mitte
Messala	+ 57.2	+ 39.0	Mitte
fessier	+ 46.7	- 2.0	Mitte beider
Ncander	+ 39.4	- 31.0	II. Ord. Centralsp.
Olbers	- 77.5	+ 7.9	I. Ord. Centralbg.
Pallas	- 4.8	+ 5.4	II. Ord. Centralsp.
Petavius	+ 59.3	- 21.6	
Piazzi	- 65.4	- 34.7	
Picard	+ 53.9	+ 16.6	
Pico (isol. Spitze)	- 9.2	+ 45.5	
Pico A (heller Berg)	~ 8,5	+ 43.1	II. Ord.
Pico B (Krater)	- 15.5	+ 46.1	II, Ord.
Pitatus	- 43.7	- 29.4	
Plato	- 9.5	+ 50.9	Mitte
Plinius	+ 23.1	+ 15.3	
Polybius A	+ 27.1	- 22.3	Mitte
Posidonius	+ 29.1	+34.6	
Proclus	+46.5	+ 16.2	
Ptolemaeus	- 2.3	- 9.1	Mitte
Purbach	- 2.6	- 25.5	II. Ord. Centralkrater A
Pytheas	- 20.6	+ 20.2	I. Ord. Centralbg.
		- 32.4	I. Ord. Spitze a
Ramsden	- 31.7		

Object	λ	β	Anmerkungen
Reiner F	- 5894	+ 802	II. Ord. beller Fleck
Reinhold	- 22.6	+ 3.9	I. Ord. Centralsp.
Riccioli	- 74.5	- 1.9	Mitte
Römer	+ 36.3	+ 25.3	l. Ord. Centralbg.
Ross	+ 21.5	+ 11.6	II. Ord. Centralbg.
Rosse	+ 34.3	- 17.8	I. Ord.
Schickard	- 55.2	- 64.1	
Schiller	- 38.1	- 51.6	
Schubert	+ 77.3	+ 2.5	
Seloucus	- 65.8	+ 20.9	
Snellius	+ 54.6	- 29.4	
Sosigenes	+ 17.6	+ 9.0	
Stöffer	+ 6,6		
Struve	+ 64.8		
Sulpicius Gallus	+ 11.3	+ 19.5	Il. Ord. Mitto
Taquet	+ 18.9	+ 16.5	
Taruntius	+ 46.0		
Theophilus	+ 26.3		
Theophilus A	+ 29.6		
Timocharis	- 43.0		
Triesnecker	+ 6.4		
Tycho	- 11.9	- 42.9	1. Ord. Centralbg.
Vieta	- 55.6		
Vitello	- 37.1		
Vitello A	- 38.6		
Vitravius	+ 31.0	+ 17.6	I. Ord. Centralbg.
Wilson	- 39.0		Mitte
Wurzelbau	- 16.0	- 33.7	Mitto
Zupus	- 52.5	- 17.2	Mitte.
	1	1	

Die Positionen I. und II. Ordnung beruhen auf den Messungen von Lobbmann, Boevard, Nicoler, Möder und Neison. Die übrigen Punkte wurden aus den Karten von Mäder und Neison entnommen.

Tafel III. Kraterränder.

+	Arcl	nimed	Aris	tarch	Bul	iald	Coper	nicus	Endy	mion	Eud	orus	Prac	+	
) - (c		Γ.		١.								T	-	<u> </u>	(0)
8-	λ	β	λ	β	λ	β	λ	β	λ	ß	λ	ß	λ	β	8
00	2.6	2909	16,3	23.4	2008	2094	1897	990	55%	5200	1791	13°9	34.2	2097	180
10		30.0		23.6		20,3	18,7	9.3	56.0	52.3	17.1	\$4.0	34.4	20.5	190
20		30.2		23.7		20.1	18.8			53.0		44.2		20.0	200
30		30.6		23.8		20.0	18.9			53.2		44.7		19.9	210
40		30.8	16.8	23.9		19.7		9.9		53.7		44.7		19.8	220
50	3.0	30.8	47.0	24.0	21.4	19.4	19.3	10.2	57.6	54.5	17.0	44.8	33.4	19.6	230
60		34.0		24.0		19.3		10.3		55.4	16.9	44.9	33.3	19.6	240
70		34.4		24.0		19.2		10,3		56.0	16.4	45.2	32.9	19.5	250
80		31.1		24.0		19.2		10.4		56.0		45.3		19.4	260
90	4.2	31.2		24.0	21.9	19.9	20.2	10.4	55.8	56.0	15.7	45.3	32.5	19.4	270
100	4.6	34.4	17.2	24.0	22.2	19.2	20.4	10.4	55.6	56.0	15.1	45.3	32.1	19.5	280
110	4.8	34.4	47.4	24.0	22.3	19.3	20.6	10.4		56.0	15.9	45.2	31.9	19.5	290
120	5.2	30.8	47.5	24.0	22.6	19.4	20.7	10.3	55.0	55.9	15.0	\$5.4	34.5	19.6	300
130	5.6	30.7	47.7	23.9	22.7	19.5	20.8	10.2	54.9	55.9	14.8	45.0	34.4	19.9	340
140	5.6	30.7	47.8	23.7	22.8	19.7	21.0	10.0	54.8	55.8	14.8	45.0	31.0	20.4	320
150	5.7	30.4	\$7.9	23.6	23.0	19.8	21.2	9.8	54.4	55.8	14.7	44.8	30.8	20,3	330
160	5.8	30,1	47.9	23.4	23.2	19.9	21.3	9.6	54.1	55.7	14.6	\$4.7	30,8	20.5	340
170	5.9	29.8	47.9	23.3	23.2	20.2	21.4	9.4	53.7	55.4	14.5	44.6	30.8	20.9	350
180	5.9	29.8	47.8	23.2	23.3	20.3	21.4	9.2	52.9	55.0	14.5	44.3	30.9	24.3	. 0
190	5.8	29.4		22.8	23.3	20.7	21.3	9.0	52.0	54.8	14.6	44.0	34.0	24.7	10
200	5,8	29.1	47.5	22.7	23.3	20.9	21.9	8.8	52.0	54.7	14.4	43.7	31.2	22.4	20
210	5.7	29.0	47.4	22.5	23,3	21.1	21.1	8.6	51.6	54.0	14.5	13.5	31.4	22.4	30
220		28.9		22.5	23.2	21.2	21.0	8.4	54.3	53.5	14.5	13.4	34.6	22.6	40
230	5,3	28.5	47.4	22.5	23.0	21.4	20.8	8.2	54.4	52.9	14.6	43.3	31.8	22.7	50
240	5.2	28.5	47.3	22.5		21.6	20.7			52.0	44.6	\$3.2	34.9	22.8	60
250	5.0	28.4	17.3	22.5	22.6	21.7	20.5	8.0	52.5	51.6	14.9	43.4	32.1	8.55	70
260	4.9	28.3	\$7.2	22.5	22.4	21.7	20.3	8.0	53,3	54.4	15.3	13.0	32.3	22.9	80
270	4.6	28.3	47.0	22.5	22.2	21.7	20.0	8.0	53.4	54.3	15.6	43.0	32.4	22.9	90
280	4.0	28.4	\$7.0	22.5	22.0	21.7	19.8	8.0	53,6	51.3	15.9	43.0	32.7	22.9	100
290	3.8	28.5	46.8	22.5	21.8	21.6	19.6	8.0	54.0	51.4	16.3	43.4	32.9	22.9	110
300	3.2	28.7	46.7	22.6	21.6	21.6	19.3	8.2	54.4	51.4	16.4	43.4	33.2	22.7	120
310	3.0	28.8	46.6	22.7	21.6	21.6	19.0	8.3	54.3	51.5	16.7	13.2	33.8	22.2	130
320		29.0		22.8		21.4				54.6		43,3		21.8	110
330	2.7	29.4	46.3	22.9	21.2	21.2	18.8	8.6	54.5	54.6	17.0	43.7	31.2	21.7	150
340		29,3		23.4		20.9	18.7	8.7	54.8	51.7		43.7		21.5	160
350	2.6	29.5		23.2	20.9	20.7	18.7		55.1	54.8	17.0	43.7	34.2		170
360	9 6	29.9	16.3	1 26	90.8	20.4	18.7	9.0	55 5	52.0	17 1	13.9	31.0	20.7	180

Linkes Argument: { Eintritt Rand I. | Rechtes Argument: { Austritt Rand II. | Eintritt Rand II. |

+	Gal	ilei	Gas	endi	Grin	aldi	Kep	ler	Lang	renus	Mar	ilius	Men	+	
b - (C	λ	β	λ	β	λ	β	λ	β	λ	β	λ	β	λ	ß	D) - 4
00	620	1001	389	1791	64.2	598	37%	7.6	63.3	8.4	995	1493	16%	1692	1800
10	62.0	10.2	38.0	17.0	61.1	4.7	37.5	7.7	63.0	7.9	9.4	14.4	16.4	16.3	190
20		10.2		16.6		4.3	37.5		62.6		9.4	14.5		16.4	200
30		10.3		16.5	65.7	3.0	37.6		62.1	7.0	9.4	14.6		16.5	210
40	62.0	10.3	38,3	16.4	66,0	2.7	37.7	8.4	64.7	6.7	9.4	14.8		16.6	220
50	62.0	10.3	38.7	15.9	66.6	2.5	37.8	8.2	61.5	6.6	9.3	14.9	16.2	16.6	230
60		10.3		15.7	67.2	2.3	37.8		61.4	6.5		15.0		16.7	240
70	62.4	10.3	39.3	15.6	67.4	2.3	37.9	8.3	61.0			15.0		16.7	250
80		10.3		15,6	67.5		38.0		60.9			15.0		16.7	260
90		10.3		15,5	67.6		38.0		60.6			15.0		16.7	270
100	62.2	10,3	39.9	15.5	67.6	2.3	38.4	8.3	60.2	6.5	8.7	15.0	15.7	16.6	280
110	62.3	10.2	40.1	15.6	67.8	2.3	38.2	8.2	59.9	6.6	8.5	15.0	15.6	16.6	290
120	62.3	10.2	40.3	15.6	67.9	2.3	38.3	8.2	59.6	6.6	8.4	14.9	15.6	16.6	300
130		10.2		15.7	68.1	2.4	38.3		59.5		8.4	14.9		16.6	310
140		10.2		15,9	68.5		38.4	8.1	59.2		8.3	1 6.8		16.6	320
150	62.5	10.2	44.0	16.1	69.0	2.8	38.6	8.0	58.8	7.2	8.3	16.7	15.4	16.5	330
160	62.5			16.2	69.2	3,0	38.6	7.8	58.7		8.2	14.6		16.4	340
170	62.6			16.3	69.7	3.6	38.6		58.5		8.4	14.5		16,3	350
180	62.6			16.5	70.2	4.7	38.6		58.6		8.1	14.3		16.2	0
190	62.6			17.0	70.3	7.2	38.5		58.8		8.1	14.4		16.1	10
200	62,5	10.1	\$1.2	17.5	70.0	8.0	38.5	7.3	59.0	9.7	8.1	14.0	15.3	16.0	20
210	62.5			17.7	69.7	8.3	38.4	7.2		10.2	8.2	14.0		15.9	30
220		10.0		17.8	69.7	8.3	38.4		59.8		8.2	13.9		15.8	40
230		10.0		18.1	69.3	8.7	38.2		59.9		8.3	13.8		15.7	50
240		10.0		18.3	68.7	8.8	38.4	7.0		10.5	8.5	13.7		15.6	60
250	62.3	10.0	40.3	18.3	68.4	8.8	38.0	7.0	60.5	10.5	8.6	13.6	15.6	15.6	70
260		10.0		18.4	68.0	8.9	38.0		60,5		8.7	13.6		15.6	80
270		10.0		18.4	68.0	8.9	38.0	7.0	60.8		8.8	13,6		15.6	90
280		10.0		18.4	67.9	8.9	37.9			10.6	8.9	13.6		15.6	100
290		10.0		18.4	67.5	8.8	37.8			10.5	9.0	13.6		15.7	110
300	62.1	10.0	39.1	18.4	67.3	8.8	37.7	7.0	61.8	10.4	9.4	13.7	16.1	15.7	120
310		10.0		18.2	67.0		37.6		62.2		9.2	13.7		15.7	130
320		10.0		18.1	66.5		37.6			10.2		13.8		15.8	140
330		10.0		17.9	66,0		37.5		62.7		9.4	13.9		15.8	150
340		10.0		17.7	65.5		37.5		63.1		9.4	16.1		15.9	160
350	62.0	10.0	38.2	17.4	64.6	7.0	37.5	7.4	63,3	8.9	9.4	16.1	16.4	16.0	170
360	62.0	10.1	38.1	17.1	64.2	5.8	37.4	7.6	63.3	8.4	9.5	14.3	16.4	16.2	180

 $Linkes\ Argument\colon \left\{ \begin{array}{ll} Eintritt\ Rand\ I. \\ Austritt\ Rand\ II. \end{array} \right. \quad Rechtes\ Argument\colon \left\{ \begin{array}{ll} Austritt\ Rand\ I. \\ Eintritt\ Rand\ II. \end{array} \right.$ 

+	Pite	tus	Pi	ato	PHI	rius	Posid	onius	Pro	clus	8chie	kard	Ty	cho	(C+v
9 - IC	λ	β	λ	ß	λ	β	λ	β	λ	β	λ	β	λ	β	) — d
00	1199	2997	790	50.7	24.52	1593	3193	3 <sup>+</sup> 75	4791	1509	1909	4509	9.7	1208	180°
10	11.9	29.4	7.0	50,9	24.2	15.5	31.3	31.6	47.1	16.0	49,6	45.7	9,6	42.5	190
20		29.2		54.3	24.2		31.3	33.8	\$7.4	16.1	49.1	\$5.2		12.3	200
30		28.9		51.6	24.2		31.3			16.3		\$5.0		\$2.1	210
40	12.3			54.9			34.2			16.1		\$ 5.4		41.9	220
50	12.3	28.6	8.0	52.2	24.4	15.9	31.0	32.1	46.9	16.5	49.3	13.3	10.1	41.6	230
60		28.3		52.5		16.0	30.7		16.8	16.5	50.8			41.4	240
70		28.1		52.7	23.8		30.2			16.5	53.4			\$1.2	250
80		28.0		52.8	23.7		29.7			16.6		10.8		\$1.4	260
90		28.0		52.8	23.4		29.4			16.6	55.0			44.4	270
100	13.6	28.0	10.1	52.8	23.3	16.1	29.0	33.0	46,7	16.6	56.0	10.8	12.0	\$1.1	280
110	13.9			52.7	23.2		28.8			16.5	57.2			41.2	290
120		28.2		52.3		16.0				16.4	37.6		12.7	41.3	300
130		28.6		52.1		16.0	28.2			16.4	58.0			44.4	340
140	14.7			54.8		16.0	28.0			16.4	58.5			41.5	320
150	14.8	28.8	11.8	54.5	22.9	15.8	27.9	32.6	46.0	16.3	59.0	61.6	13.2	\$1.8	330
160	45.0			54.3	22.8		27.7			16.2	59,4			\$2.0	340
170		29.3		54.4	22.7		27.7			16.1		\$1.9		12.1	350
180		29.7		50.9			27.6			16.0	60.4			\$2.6	0
190		29.9		50,5		15.0	27.5			15.9		\$2.5		12.7	10
200	15.2	30,0	11.5	50.0	22.8	14.8	27.5	34.5	45.8	15.8	64.2	12.8	13.7	\$3.0	20
210		30.2		49.8	22.8		27,5			15.8	61.5			13.3	30
550		30.3		49.4	22.8		27.6			15.7		43.6		43,5	40
230		30.5		49.3	22.9		28.0			15.6		44.8		\$3.8	50
510		30.7		19.2		44.5	28,3			15,6		16.1		\$4.0	60
250	14.5	30.9	10.4	49.4	23.4	44.5	28.6	30.3	46.2	15,5	58,4	\$6.9	12.9	\$4.4	70
260		31.0		49.0	23.2		29.0	30,3	46.3	15.5	56.2	17.1	12.1	14.2	80
270		34.0		49.0	23.3		29.2			15.5	54.8			\$4.3	90
280		30.9		49.0		14.5	29.7			15.5	53.8			\$4.2	100
290		30.8		\$9.1		14.5	30.0			15.5		17.3		\$ 5.4	410
300	12.8	30.8	7.9	49.3	23.8	14.5	30.3	30.4	46.6	15.6	52.8	\$7.2	10.8	11.0	120
310		30.7		49.5		14.6	30.7	30.6	16.8	15.6	52.0	47.0	10.5	\$3.9	130
320		30.3		19.9			30,8			15.7		16.9		13.6	140
330		30,0		50.2	24.4		30.9			15.7	54.3			43.3	150
340		29.9		50,6	24.4		31.0			15.7	50.7			\$3.2	160
350	11.9	29.8	7.0	50.7	24.2	15.0	34.4	31.1	47.0	15.8	49.9	\$5.9	9.7	13.0	170
360	110	29.7	70	50.7	91.0	15.3	313	31.5	47.1	15.9	49.9	45.0	9.7	12.8	180

Linkes Argument: { Eintriu Rand I. Rechtes Argument: { Austritt Rand I. Eintritt Rand II.

Tafel IV. u cos' x.

		χ		8.78	9,"2	9."6	10.0	1074	10.8	11.2	14.6	12.0	1 51	12.8
00	180°	1800	360°	8.8	9"2	9.76	1070	10.4	1078	1172	1176	12,0	1274	120
2	178	182	358	8.8	9.2	9,6	10.0	10.4	10.8	11.2	11.6	12.0	12.4	12.8
4	176	184	356	8.8	9.2	9.6	10.0	10.3	10.7	11.4	11.5	11.9	12.3	12.
6	174	186	354	8.7	9.1	9.5	9.9	10.3	10.7	11.4	11.5	11.9	12.3	12.
8	172	188	352	8.6	9.0	9.4	9.8	10.2	10.6	11.0	11.5	11.8	12.2	12.
10	170	190	350	8.5	8.9	9,3	9.7	10.1	10.5	10.9	11.3	11.6	12.0	12.
12	168	192	348	8.4	8.8	9.2	9.6	10.0	10.3	10.7	11.4	11.5	14.9	12.
11	166	194	346	8.3	8.7	9.0	9.4	9.8	10.2	10.5	10.9	11.3	11.6	12.
16	164	196	314	8.4	8.5	8.9	9.2	9.6	10.0	10.3	10.7	11.1	11.5	11.
18	162	198	345	8.0	8.3	8.7	9.0	9.4	9.8	10.1	10.5	10.9	11.2	11.
05	160	200	310	7.8	8.4	8.5	8.9	9.2	9.5	9,9	10.2	10.6	10.9	14.3
25	158	202	338	7.6	7.9	8.2	8,6	9,0	9.3	9.6	9.9	10,3	10.6	11.0
24	156	204	336	7.3	7.7	8.0	8,3	8.7	9.0	9.3	9.7	10.0	10.3	10.
26	154	206	334	7.1	7.4	7.8	8.4	8.4	8.7	9,0	9.4	9.7	10.0	40.3
28	152	208	332	6.9	7.2	7.5	7.8	8.4	8.4	8.7	9.0	9.4	9.7	10.
30	150	210	330	6.6	6.9	7.2	7.5	7.8	8.4	8.4	8.7	9.0	9.3	9.
12	148	212	328	6.3	6.6	6.9	7.2	7.5	7.8	8.4	8.3	8.6	8.9	9.
3 5	146	214	:126	6.0	6.3	6.6	6.9	7.4	7.4	7.7	8.0	8.2	8.5	8.
36	155	216	324	5.8	6,0	6.3	6.5	6.8	7.4	7.3	7.6	7.9	8.1	8.
38	142	218	322	5,5	5.7	6.0	6.2	6.5	6.7	7.0	7.2	7.5	7.7	7.
64	140	220	320	5.2	5.4	5.6	5.9	6.4	6.3	6.6	6.8	7.0	7.3	7.
12	138	222	318	4.9	5.1	5.3	5.5	5.7	6.0	6.2	6.4	6.6	6.8	7.
11	136	224	346	4.6	4.8	5.0	5.2	5.4	5.6	5.8	6.0	6.2	6.4	6.
16	134	226	344	4.2	4.4	4.6	4.8	5.0	5.2	5.4	5.6	5.8	6.0	6.
18	132	228	312	3.9	4.1	4.3	4.5	4.7	4.8	5.0	5.2	5.4	5.6	5.
50	130	230	340	3.6	3.8	4.0	5.4	4.3	4.5	4.6	4.8	5.0	5.4	5.
52	128	232	308	3.3	3.5	3.6	3.8	3.9	4.4	4.2	6.4	4.6	4.7	4.
54	126	234	306	3.0	3.2	3.3	3.5	3.6	3.7	3.9	4.0	6.4	4.3	4.
56	124	236	301	2.8	2.9	3.0	3.4	3.3	3.4	3.5	3.6	3.8	3.9	4.
58	122	238	302	2.5	2.6	2.7	2.8	2.9	3.0	3.4	3.3	3.4	3.5	3.
60	120	240	300	2.2	2.3	2.4	2.5	2.6	2.7	2.8	2.9	3.0	3.4	3.
62	118	515	298	1.9	2.0	2.4	2.2	2.3	2.4	2.5	2.6	2.6	2.7	2.
64	116	211	296	4.7	1.8	4.8	1.9	2.0	2.4	2.2	2.2	2.3	2.4	2.
66	115	246	294	4.5	1.5	1.6	1.7	1.7	1.8	4.9	1.9	2.0	2.0	2.
68	112	248	292	1.2	1.3	1.3	1.5	1.5	1.5	1.6	1.6	1.7	1.7	1.
70	110	250	290	1.0	4.4	4.4	1.2	1.2	1.3	4.3	1.4	4.4	1.5	4.
72	108	252	288	0.8	0.9	0.9	1.0	1.0	1.0	4.4	4.4	4.4	1.2	1.
74	106	254	286	0.7	0.7	0.7	0.8	0.8	0.8	0.9	0.9	0.9	0.9	4.
76	104	256	581	0.5	0.5	0.6	0.6	0.6	0.6	0.7	0.7	0.7	0.7	0.
78	102	258	282	0.4	0.4	0.4	0.4	0.4	0,5	0.5	0.5	0.5	0.5	0.
80	100	260	280	0.3	0.3	0.3	0.3	0.3	0.3	0.3	0.3	0.4	0.4	0.
32	98	262	278	0.2	0.2	0.2	0.2	0.2	0.2	0.2	0.2	0.2	0.2	0.
84	96	264	276	0.4	0,1	0.4	0.4	0.4	0,4	0.4	0.4	0.4	0.4	0.
86	94	266	274	0.0	0.0	0.0	0.0	0.4	0.4	0.1	0.4	0.4	0.4	0.
88	92	268	272	0.0	0.0	0.0	0.0	0.0	0.0	0.0	0.0	0.0	0.0	0.
90	90	270	270	0.0	0.0	0.0	0.0	0.0	0.0	0.0	0.0	0.0	0.0	0.

Tafel V. f cos F.

F	13.78	14.72	14.6	45.0	4574	15."8	16."2	16.6	17.0	17.14	17.78	18."2	18.
00	13."8	14.2	14."6	15.0	15.74	15.8	16.2	16.6	17.0	17%	17.8	18.2	18.
2	13.8	14.2	14.6	45.0	15.4	15.8	16.2	16.6	17.0	47.4	17.8	18.2	18.
4	43.8	14.2	14.6	45.0	15.4	15.8	16.2	16.6	47.0	47.4	17.8	18.2	18,
6	13.7	14.1	14.5	14.9	15.3	15.7	16.1	16.5	16.9	17,3	17.7	18.1	18.
8	13.7	16.1	14.5	44.9	15.2	15.6	16.0	46.4	16.8	17.2	17.6	18.0	18.
0	13.6	14.0	14.4	14.8	15.2	15.6	16.0	16.3	16.7	47.4	47.5	17.9	48.
2	13.5	13.9	14.3	44.7	15.1	15.4	15.8	16.2	16.6	47.0	17.4	17.8	18.
4	13.4	13.8	14.2	14.6	14.9	15.3	15.7	16.1	16.5	16.9	47.3	17.7	48.
6	13.3	13.7	14.0	14.6	14.8	15.2	15.6	16.0	16.3	46.7	47.1	17.5	47.
8	13.1	13.5	13.9	14.3	14.6	15.0	15.4	15.8	16.2	16.5	16.9	17.3	47.
0	13.0	13.3	43.7	44.4	14.5	14.8	15.2	15.6	16.0	46.4	16.7	47.4	47.
2	12.8	13.2	13.5	13.9	14.3	14.6	15.0	15.4	45.8	16.1	16.5	16.9	47.
4	12.6	13.0	13.3	13.7		14.4	14.8	15.2	15.5	45.9	16.3	16.6	47.
6	12.4	12.8	13.1	13.5		14.2		14.9	15.3	45.6	16.0	16.4	16.
8	12.2	12.5	12.9	13.2	13.6	13.9	14.3	14.7	45.0	45.4	45.7	16.1	16.
0	11.9	12.3	12.6	43.0	13.3	13.7	14.0	14.6	44.7	45.1	45.4	15.8	16.
2	11.7	12.0	12.4	12.7	13.1	13.4	13.7	14.4	44.6	14.8	45.4	15.4	15.
4	11.6	11.8	12.1	12.4	12.8	13.1	13.4	13.8	16.4	44.4	14.8	15.1	15.
6	11.2	11.5	11.8	12.1	12.5	12.8	13.1	13.4	13.8	44.4	14.4	14.7	45.
8	10.9	1,1.2	14.5	11.8	12.1	12.5	12.8	13.1	43.4	13.7	14.0	14.3	44.
0	10.6	10.9	11.2	11.5	11.8	12.1	12.4	12.7	13.0	13.3	13.6	13.9	44.
2	10.3	10.6	10.8	11.1	41.6	44.7	12.0	12.3	12.6	12.9	13.2	13.5	13.
4	9.9	10.2	10.5	10.8	44.4	44.4	11.7	11.9	12.2	42.5	12.8	13.1	13.
6	9.6	9.9	10.1	40.4	10.7	44.0	11.2	11.5	11.8	12.1	12.5	12.6	12.
8	9.2	9.5	9.8	10.0	10.3	10.6	10.8	44.4	41.4	44.6	11.9	12,2	12.
0	8.9	9.4	9.4	9.6	9.9	10.2	10.4	10.7	10.9	11.2	44.4	11.7	12.
2	8.5	8.7	9.0	9.2	9.5	9.7	10.0	10.2	10.5	10.7	11.0	44.2	44.
4	8.4	8.3	8.6	8.8	9.4	9.3	9.5	9.8	10.0	10.2	10.5	10.6	10.
6	7.7	7.9	8.2	8.4	8.6	8.8	9.4	9.3	9.5	9.7	10.0	10.2	10.
8	7.3	7.5	7.7	7.9	8.2	8.4	8.6	8.8	9.0	9.2	9.4	9.6	9.
0	6.9	7.4	7.3	7.5	7.7	7.9	8.4	8,3	8.5	8.7	8.9	9.4	9.
2	6.5	6.7	6.9	7.0	7.2	7.4	7.6	7.8	8.0	8.2	8.4	8.5	8.
4	6.0	6.2	6.4	6.6	6.8	6.9	7.4	7.3	7.5	7.6	7.8	8.0	8.
6	5.6	5.8	5.9	6.4	6.3	6.4	6.6	6,8	6.9	7.1	7.2	7.4	7.
8	5.2	5.3	5.5	5.6	5.8	5.9	6.4	6.2	6.4	6.5	6.7	6.8	7.
0	4.7	4.9	5.0	5.4	5.3	5.4	5.5	5.7	5.8	6.0	6.1	6.2	6.
2	4.3	4.4	4.5	4.6	4.8	4.9	5.0	5.4	5,3	5.4	5.5	5.6	5.
4	3.8	3.9	4.0	5.1	1.2	4.4	4.5	4.6	4.7	4.8	4.9	5.0	5.
6	3.3	3.4	3.5	3.6	3.7	3.8	3.9	4.0	4.4	4.2	4.3	4.4	4.
8	2.9	3.0	3.0	3.4	3.2	3.3	3.4	3.5	3.5	3.6	3.7	3.8	3.
0	2.4	2.5	2.5	2.6	2.7	2.7	2.8	2.9	3.0	3.0	3.4	3.4	3.
2	1.9	2.0	2.0	2.4	2.4	2.2	2.3	2.3	2.4	2.4	2.5	2.5	2.
14	4.5	4.5	1.5	1.6	1.6	1.7	4.7	1.8	1.8	4.8	1.9	1.9	4.
6	1.0	1.0	1.0	1.0	4.4	4.4	4.4	1.2	1.2	1.2	1.2	4.3	4.
88	0.5	0.5	0.5	0,5	0.6	0,6	0.6	0.6	0.6	0.6	0.6	0.6	0.
0	0.0	0.0	0.0	0.0	0.0	0.0	0.0	0.0	0.0	0.0	0,0	0.0	0.

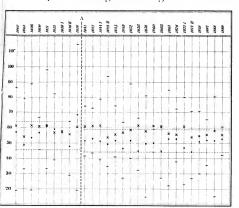
# Inhalt.

191	l 1	ES	Erd	6СНАТ	TEN	8 B	EI	M	ON	DF	IN	STE	in N	188	EN	١.						553
30.	Mondfinsterniss	am	24.	Nove	mb	er f	84	4														Sette 452
31.	,		13.	Nove	mbe	r i	84	5														456
32.			8.	März	18	49																458
33.			6.	Janua	r 1	852																461
34.	3		13.	Octol	er	185	6															466
35.			27.	Febr	ıar	185	8															472
36.			6.	Febr	ısı	486	0															477
37.	19		4.	Juni	186	3.																484
38.	3		13.	Septe	mb	er f	86	7														484
39.		ь	3.	Septe	mb	er f	87	6														490
40.			27.	Febr	ar	187	7											٠.				494
41.	3		23.	Augu	st i	877	١.															501
42.			12.	Augu	st	1878	١.															507
43.	21		3.	Augu	st i	88	١.									,	٠					544
44.	2		28.	Janua	r f	888																546
45.	2			Janua																		
46.	Bildung der M	ittels	verth	e vo	ľ	für	je	de	F	ins	lei	ni	58									524
	Erklärung der																					
	Abhängigkeit d																					
49.	Zusammenfassu	ng a	ller	Resul	tate	zu	ei	nei	n	Mi	Itel	w	ert	he								536
50.	Schluss			٠.			٠	٠	٠	٠	•	٠	٠	٠	٠	٠	٠		٠	٠	٠	538
					т	a f	ė	1:	n.													
1.	Libration																					543
II.	Selenographisch	e P	usitic	nen									i		i	ì						543
	Kraterränder .																					
	4 COS* 7																					
	f cos F																					

Druck von Brestkopf & Hartel in Leipzig.

-

# Graphische Darstellung der Schwankungen von V.



• .....V2, Mittelwerth der Finsterniss.

\_ . . . . . . . . . Grenzwerthe von V.

----

This book should be returned to the Library on or before the last date stamped below.

A fine is incurred by retaining it beyond the specified time. Please return promptly.

